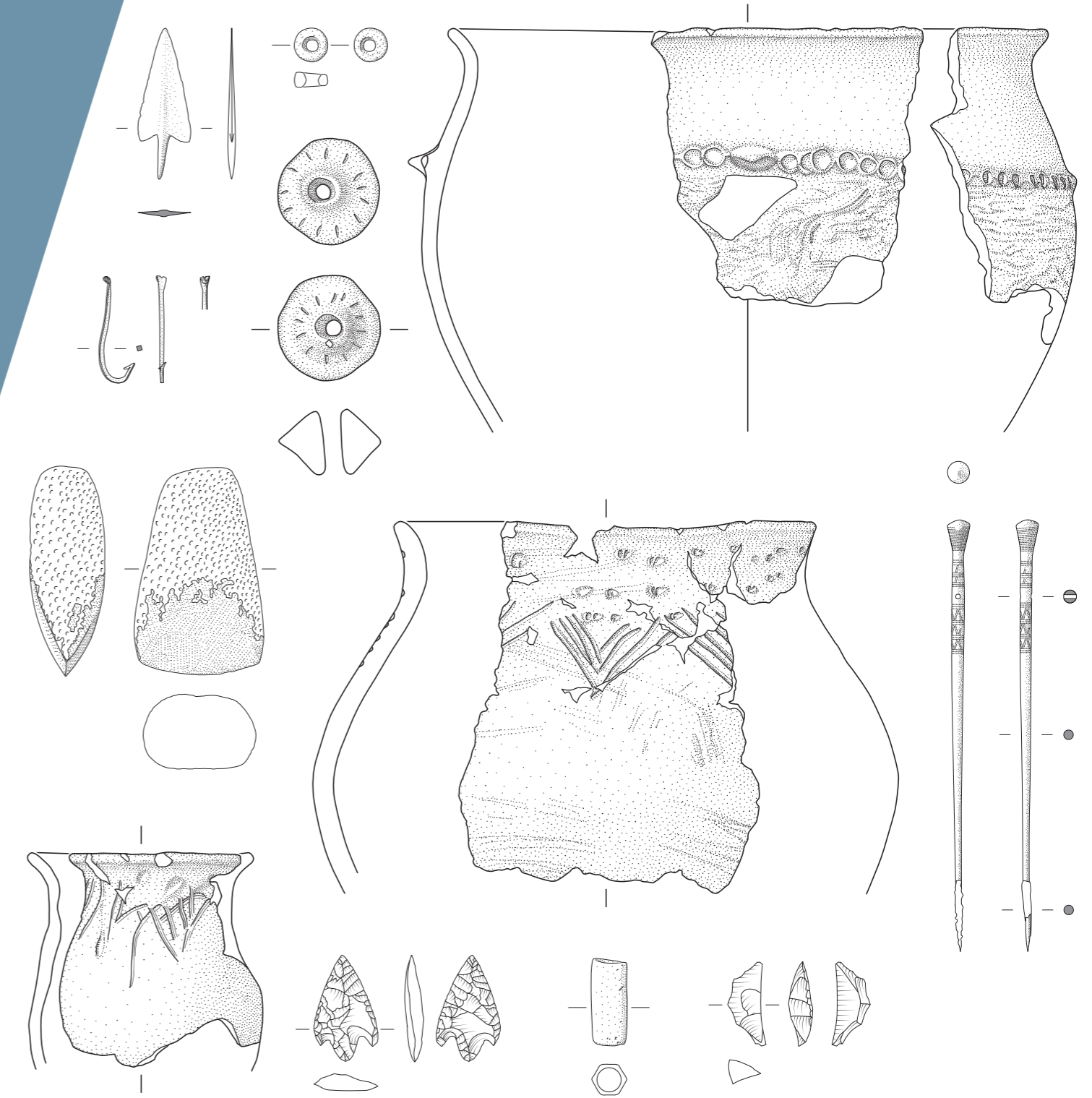


Annick de Capitani Die Seeufersiedlungen von Cham-Bachgraben (Kanton Zug) Antiqua 57/3

DIE SEEUFERSIEDLUNGEN VON CHAM-BACHGRABEN (KANTON ZUG)

Band 3: Katalog, Tafeln und Verzeichnisse

Annick de Capitani



Antiqua 57/3

Annick de Capitani

Die Seeufersiedlungen von Cham-Bachgraben (Kanton Zug)

Band 3:
Katalog, Tafeln und Verzeichnisse

ANTIQUA 57/3

Veröffentlichung der
Archäologie Schweiz

Publication
d'Archéologie Suisse

Pubblicazione
d'Archeologia Svizzera

Publication of
Swiss Archaeology

Die Seeufersiedlungen von Cham-Bachgraben (Kanton Zug)

Band 3:
Katalog, Tafeln und Verzeichnisse

Annick de Capitani

Zu den Beiträgen von Jehanne Affolter, Markus Binggeli, Niels Bleicher, Thomas Burri, Despoina Diamantopoulou, Ulrich Eberli, Urs Eggenberger, Frank Gfeller, Eda Gross, Urs Gut, Stefan Hochuli, Beda Hofmann, Renata Huber, Kristin Ismail-Meyer, Anna Kienholz, Oliver Mecking, Fabienne Médard, Christine Pümpin, Antoinette Rast-Eicher, Jochen Reinhard, Gishan Schaeren, Felix Walder und Anna Barbara Widmer



Die Bände der Reihe «Antiqua» von Archäologie Schweiz unterliegen einem Peer-review-Verfahren. – Les volumes de la série «Antiqua» d'Archéologie Suisse sont soumis à un processus d'évaluation par les pairs. – I volumi della serie «Antiqua» d'Archeologia Svizzera sono sottoposti a un processo di peer review.



Herausgegeben vom Amt für Denkmalpflege und Archäologie des Kantons Zug (ADA ZG),
Direktion des Innern. Publiziert mit Unterstützung des Kantons Zug.

Redaktionelle Projektleitung, Buchgestaltung und Satz: Edition arcHart, Daniel Hartmann, Muri AG.
Gestalterische Projektleitung Abbildungen: Eva Kläui, ADA ZG.
Druck und Ausrüstung: Multicolor Print AG, Baar ZG.



Vervielfältigung und Weiterverbreitung unter Bedingung der Namensnennung,
nicht kommerzieller Verwendung und ohne Bearbeitung erlaubt.


Verlag: Archäologie Schweiz, Basel.

Copyright © 2023 by Archäologie Schweiz, Basel.

ISBN: 978-3-906182-33-9

Umschlag
Cham-Bachgraben.
Zeichnerische Umset-
zung einer Auswahl
an Funden.

Inhaltsverzeichnis Band 3

I.	Anhänge	7	
1	Anhänge zu Band 1	7	
	Anhang 1	8	<i>Annick de Capitani</i>
	Anhang 2	10	<i>Kristin Ismail-Meyer,</i>
	Anhang 3	12	<i>Christine Pümpin</i>
	Anhang 4	13	<i>Niels Bleicher,</i>
	Anhang 5	14	<i>Felix Walder,</i>
	Anhang 6	17	<i>Urs Gut</i>
	Anhang 7	18	
	Anhang 8	21	
2	Anhänge zu Band 2	23	
	Anhang 9	24	<i>Jehanne Affolter</i>
	Anhang 10	34	<i>Stefan Hochuli</i>
	Anhang 11	35	
3	Online-Anhänge 1–8 zu den Bänden 1 und 2	36	
	DOI: https://doi.org/10.5281/zenodo.6701500		
II.	Katalog und Tafeln	37	
1	Mikromorphologie	37	<i>Kristin Ismail-Meyer,</i>
	Tafeln 1–35	38	<i>Christine Pümpin</i>
2	Gefässkeramik	73	<i>Annick de Capitani</i>
2.1	Katalog Gefässkeramik	74	
2.2	Tafeln 36–97	92	
	Signaturen Gefässkeramik und Textileramik	92	
3	Felsgesteinsartefakte	155	<i>Anna Barbara Widmer</i>
	Einleitung Katalog und Tafeln Felsgesteinsartefakte	155	
3.1	Katalog Felsgesteinsartefakte	156	
3.2	Tafeln 98–122	166	
	Signaturen Felsgesteinsartefakte	166	
	Abwicklung und Ansichten Felsgesteinsartefakte	166	
4	Silices	193	<i>Anna Kienholz,</i>
4.1	Katalog Silices	194	<i>in Zusammenarbeit mit</i>
4.2	Tafeln 123–141	202	<i>Jehanne Affolter</i>
	Signaturen Silices	202	
5	Textileramik	222	<i>Annick de Capitani</i>
5.1	Katalog Textileramik	222	
5.2	Tafeln 142–148	224	
	Signaturen Gefässkeramik und Textileramik	224	
6	Kupferfunde, Bronzefunde und Golddraht	232	<i>Markus Binggeli,</i>
6.1	Katalog Kupferfunde	233	<i>Eda Gross,</i>
6.2	Katalog Bronzefunde und Golddraht	234	<i>Stefan Hochuli,</i>
6.3	Tafeln 149–152	238	<i>Gishan F. Schaeren</i>
7	Bernsteinartefakte	243	<i>Jochen Reinhard</i>
7.1	Katalog Bernsteinartefakte	244	
7.2	Tafel 153	246	
8	Artefakte aus Quarzkeramik («Fayence»)	247	<i>Jochen Reinhard</i>
8.1	Katalog Artefakte aus Quarzkeramik («Fayence»)	248	
8.2	Tafel 154	250	
9	Textilreste	251	<i>Fabienne Médard</i>
9.1	Katalog Textilreste	252	
9.2	Tafel 155	254	

10	Altfunde	255
10.1	Katalog Gefäßkeramik (und Geweih)	255
10.2	Katalog Felsgesteinsartefakte	255
10.3	Katalog Silices	256
10.4	Tafeln 156–162	258
III.	Verzeichnisse	266
1	Abkürzungsverzeichnis	266
1.1	Allgemeine Abkürzungen	266
1.2	Literatur und Institutionen	267
2	Literaturverzeichnis	267
2.1	Quellen	267
2.2	Literatur	267
3	Abbildungsnachweise	287
3.1	Textabbildungen Band 1	287
3.2	Textabbildungen Band 2	289
3.3	Anhang	290
3.4	Tafeln	290
3.5	Beilagen	295
3.6	Umschläge	295
3.7	Vorsatz	295
4	Alphabetisches Verzeichnis der Autorinnen und Autoren	296
	AS-Publikationen/Publications d'AS/Pubblicazioni d'AS	298

I. Anhänge

1 Anhänge zu Band 1

Anhänge 1–8

Schicht	Lehm Nr.	Grösse (m)	Mächtigkeit (cm)	Fette, plastische Partien	(Leicht) verziegelte Partien	Holzkohle	Gerölle (meist mit Rötungen/Abplatzungen)	Kiesel	Sand/Kies	Brandgerötete Kuppe/brandgerötetes Zentrum	Weisse Flecken/Schlieren	Position	Mikromorphologieprobe (MM)	Abbildung Band 1	Tafel	Beilage
1A	1	2,5 x 3	4	x	x	x	x	x				3628	65	53, 54	5,2; 17 links, Pos. 3628	
1A	2	3 x 3	5	x	x	x		x	x			2939		53		2
1C	3	?	12	x	x	x	x	x	x	x		2564		56		
1C	4A	3,5 x 4,5	8	x	x	x	x	x		x		3622, 3729 unten	65	54, 56, 57	5,2; 17 links, Pos. 3622	6
1C	4B	4 x 4	2	x	x	x	x	x	x			3598	65	54, 56, 57	5,2; 17 links, Pos. 3598	6
1C	4C	4 x 4	10	x	x	x	x					2806, 3489, 3729 oben	65, 66	54, 56	5,2; 17 links und rechts, Pos. 3489	6
1C	5	5 x 7	15	x	x	x		x		x	x	2606, 3209, 3281, 3298, 3796, 4087	80	56, 61, 77	6,3; 21 rechts, Pos. 2606	
1C	6	4 x 6	16	x	x	x	x	x	x	x	x	1590, 2761, 3368, 3439, 4247, 4249	38, 49, 61	56, 58, 59	1,3; 3,2; 4,2; 9 rechts, Pos. 1590; 12 rechts, Pos. 2761; 15 links, Pos. 3368	2, 6
1C	7A	4,5 x 5,5	18	x	x	x		x			x	2561 unten	48	56, 60	3,1; 12 links, Pos. 2561 unten	2
1C	7B	3 x 3,5	16	x	x	x		x		x		2854, 2561 oben	48	56, 60	3,1; 12 links, Pos. 2561 oben	2
1	8	2,5 x 3	7	x	x	x	x	x	x			3467	75, 78	61, 62, 65	6,1; 6,2; 19 rechts, Pos. 3467; 20 rechts, Pos. 3467	
1	9	?	9	x	x	x	x	x	x			160, 1668		62		
1	10	3 x 3,5	18	x	x	x		x	x	x		27, 64, 2023		62		
1	11	?	10	x	x	x		x	x			1164, 1176, 1337, 2024, 2262		62		
1	12	? x 4	10	x	x	x	x	x				2250, 2560		62		
1	13A	3 x 3,5	10	x	x	x	x	x	x	x		3687, 3843		62, 64		
1	13B	3 x 3,5	4	x	x		x	x	x			3601		62, 64		
1	14	4,5 x 5	20	x	x	x		x		x		591, 820, 821, 822, 939, 3505, 3959	23	62, 64	1,2; 8 links, Pos. 820, 821, 822	
1	15	? x 2,5	20	x	x	x	x	x		x		381, 464, 631, 632		62, 63		
2A	16A	2,5 x 3	10	(x)	x	x	x		x		x	3148	75, 76	76, 77	6,1; 19 rechts, Pos. 3148; 20 links, Pos. 3148	
2A	16B	2,5 x 3	20	(x)	x	x	x	x	x		x	2338, 4142, 2587	75, 76	76	6,1; 19 rechts, Pos. 2338 und 2587; 20 links, Pos. 2338 und 2587	
2A	17	?	18	(x)	x		x		x	x		1148, 1149, 1167, 1340, 1909, 1911, 1956	46	76, 79, 80		2
2A	18	2,5 x 3	12	(x)	x	x	x	x	x			3486		64, 76		
2	19	2 x 3	5	x		x		x	x			2368	76	82, 83	20 links, Pos. 2368 und 2325	
2	20A	?	?	x	x	x	x		x			3695		82		
2	20B	1 x 1,5	3	(x)	x	x	x	x	x			2419, 3660	53	82	3,3; 13 links, Pos. 2419	
2	21	2 x ?	10	x			x		x			62		82		1
2	22	3 x 3	10	x	x		x	x		x		2478, 3369		82		6
2	23	?	8	x	x	x	x	x	x			3793, 4084		82		
2	24	?	?	(x)	x	x	x	x	x		x	4681		82		
2	25	3 x ?	10	x	x	x	x		x			4730, 4733, 4734, 4649		82		

Anhang 1 Cham-Bachgraben. Masse und Bestandteile aller Lehme. x: vorhanden; (x): schwach vorhanden.

Fazies

Fazies	Schicht	Struktur	Zusammensetzung (%)	Sand	Aquatische Elemente	Chara-Oogonien	Mollusken	Mollusken Taphonomie	Holzkohlen	Karbonatische	und silikatische Aschen	Holzreste	Samen	Organische Reste	Taphonomie organ. Reste	Knochen und ihre Taphonomie	Koprolithen	Lehmart	Lehmaggregate Form	Einschwemmungen	Biorturbation	
139 Seekreidefazies																						
140 Sand mit Karbonatförmigen																						
141 Sand mit Seekreide																						
142 Deltainische Fazies																						
143 Deltainische Schichten																						
144 Anthropogene sandige Fazies																						
145 Ackerreicher Sand																						
146 Sandige Schicht (ohne Spezifizierung)																						
147 Karerische Schicht																						

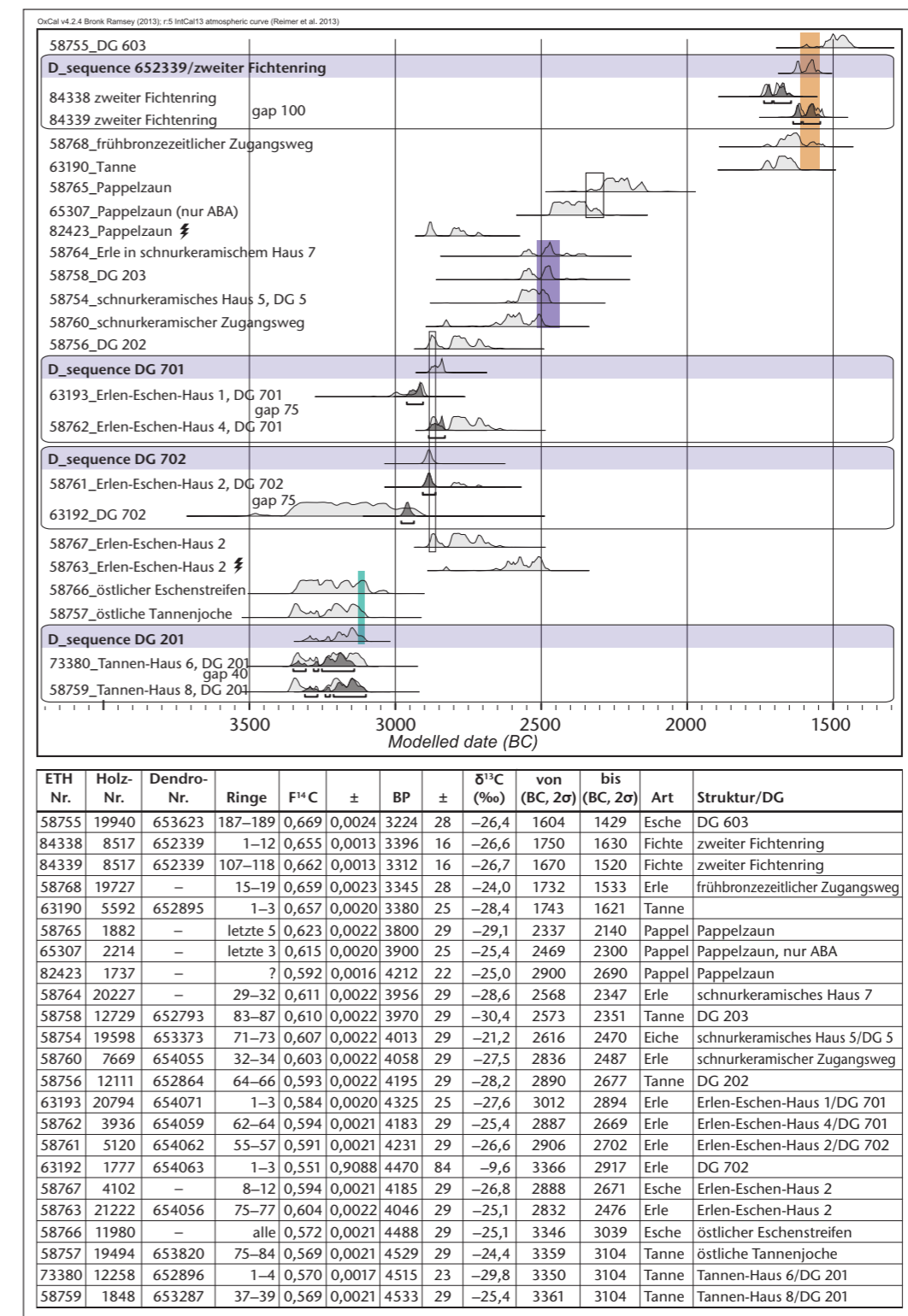
Legende zu den im Kopf verwendeten Farben und Abkürzungen:

- Menge in Prozent
- Menge/Stärke geschätzt (0-3), umgerechnet auf 0-100
- Stotigkeit in Prozent (Anteil der Schichten, die dieses Kriterium erfüllen)
- Andere Einheit (in Klammer angegeben)
- AI Oberbodenhorizont
- BI Unterbodenhorizont

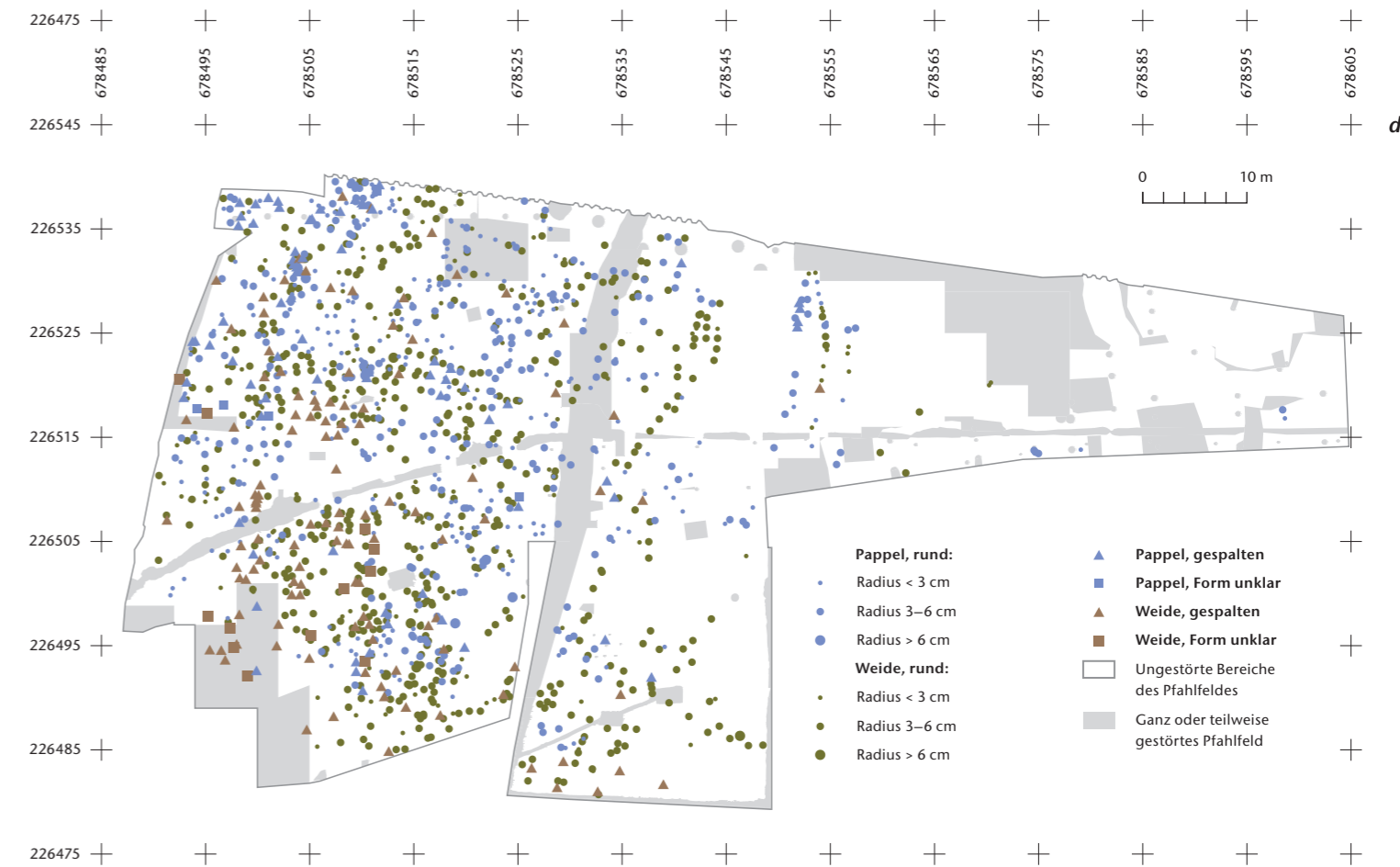
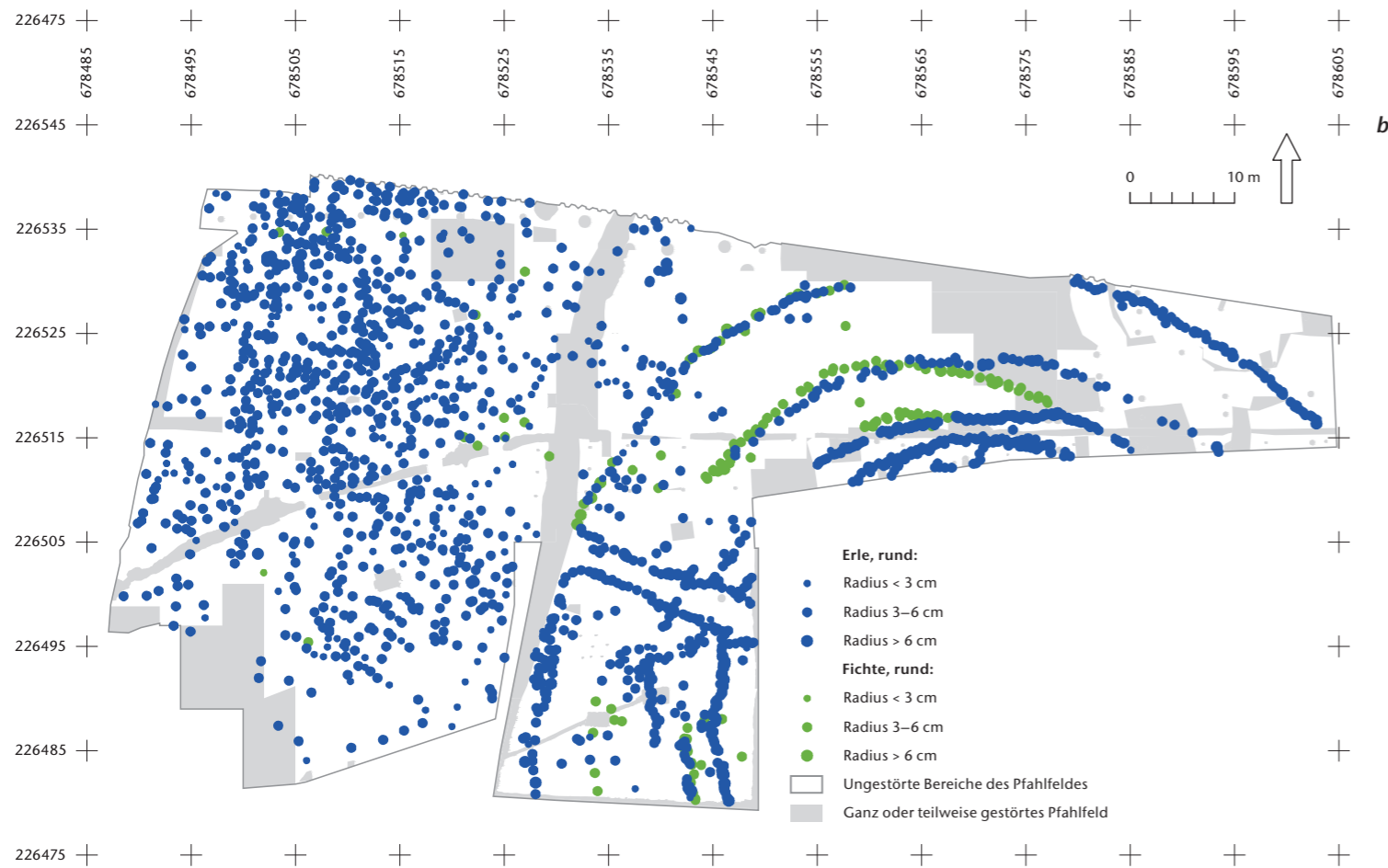
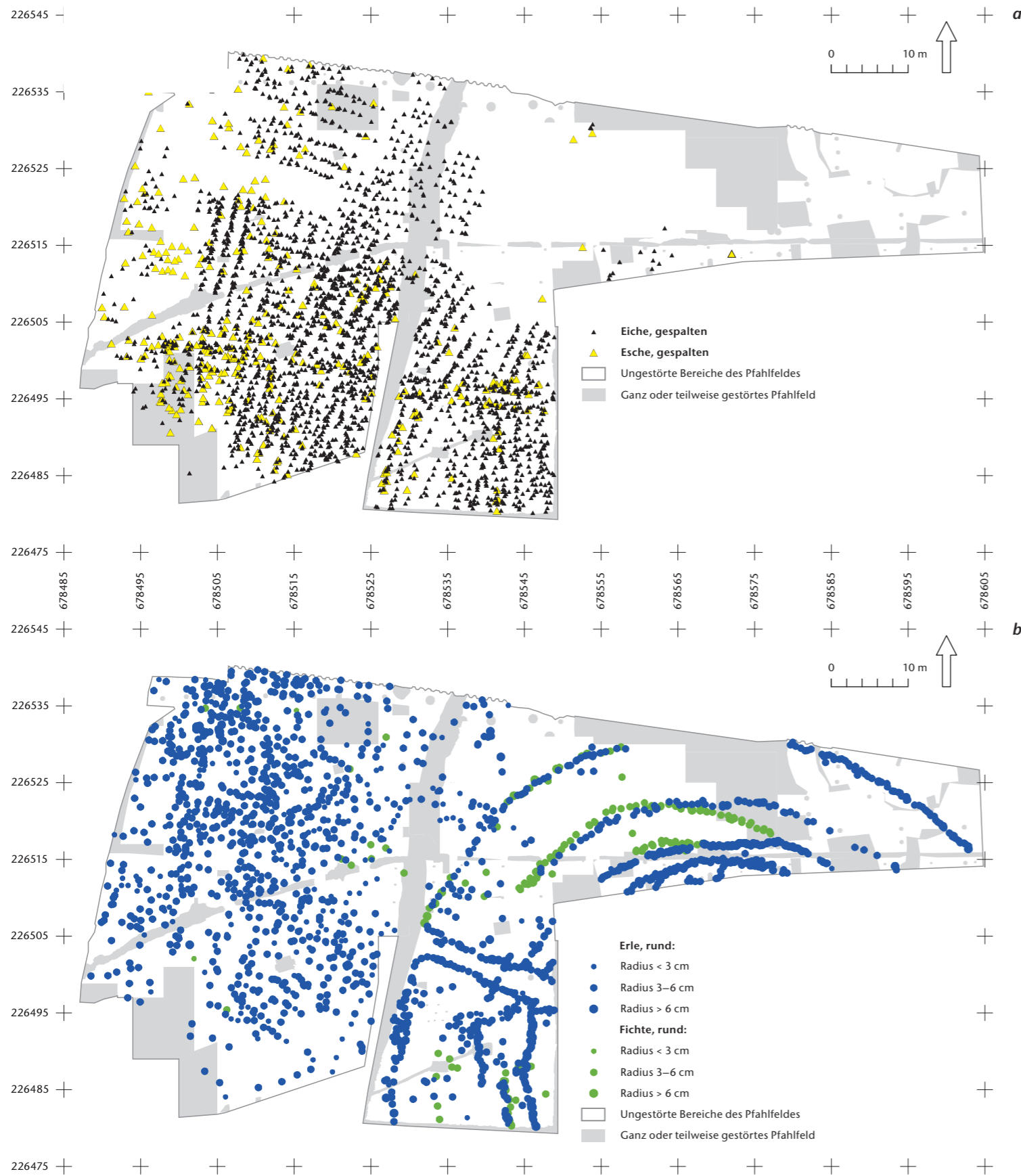
Anhang 2 Cham-Bachgraben. Tabellarische Zusammenfassung der Datenbank, aufgegliedert in Fazies (oben) und archäologische Schichten (unten). In der Fazies-Tabelle sind 364 Datensätze berücksichtigt (ohne zwei rezente Bodenbildungen in MM 23 und eine Mikroschicht in MM 55, die aus einem Stein besteht). In der Schichten-Tabelle sind 357 Datensätze aufgelistet. Die Schichten 0.2 und 3 werden hier nicht aufgeführt, da sie nicht sicher gefasst werden konnten (siehe Band 1, Kap. III.5.6-7); Schicht 4 ist aufgrund von starken modernen Störungen ebenfalls nicht aufgeführt. Die Farben der Fazies entsprechen denjenigen auf den Tafeln 7-35.

Anhang 3 Cham-Bachgraben. Anteile der Fazies und archäologischen Schichten in Relation zueinander (in Prozent). Die Schichten 0,2 und 3 werden hier aufgeführt, damit mit der gesamten Anzahl an Datensätzen (363) gearbeitet werden kann. Die Farben der Fazies entsprechen denjenigen auf den Tafeln 7-35.

Archäologische Schichten		Anteile der Fazies in Prozent pro archäologische Schicht (Summe 100%)		Anteile der archäologischen Schichten in Prozent pro Fazies (Summe 100%)	
5	0	5	0	50	0
0,3	0	14	11	55	24
3	0	0	0	0	0
0,2	0	0	0	0	0
2C	0	25	50	0	0
2B	0	0	0	0	0
2A	0	0	0	0	0
2	0	10	0	0	0
0,1	0	5	0	0	0
1C	0	0	0	0	0
1B	0	0	0	0	0
1A	0	0	0	0	0
1	0	0	0	0	0
0,0	0	2	0	0	0
	9	11	4	35	9
		Seekreide-Fazies			
Gebänderte Seekreiden	0	0	0	0	0
Lockere Seekreiden	0	0	0	0	0
Sandige Seekreiden	0	0	0	0	0
Massive Seekreiden	0	0	0	0	0
Onkoidschichten	0	0	0	0	0
Seekreiden mit organischem Detritus	0	0	0	0	0
Seekreiden mit Kulturschichtmaterial	0	0	0	0	0
Seekreidehaltige Schicht	0	0	0	0	0
Ausgewaschene Seekreiden	0	0	0	0	0
Bioturbirte Seekreiden	0	0	0	0	0
		Löss-Fazies			
Sand mit Karbonatkörnern	0	0	0	0	0
Sand mit Seekreide	0	0	0	0	0
		Detritusreiche Fazies			
Detritusreiche Schicht	0	0	0	0	0
		Homogene karbonatische Fazies			
Homogene karbonatische Schicht	0	0	0	0	0
		Holzkohlreiche Fazies			
Holzkohlreiche Schichten	0	0	0	0	0
Knochenreiche Schichten	0	0	0	0	0
Aschereiche Schichten	0	0	0	0	0
		Lehmreiche Fazies			
Homogener Lehm	0	0	0	0	0
Heterogener Lehm	0	0	0	0	0
Bioturbierter Lehm	0	0	0	0	0
		Anthropogene sandreiche Fazies			
Aschereicher Sand	0	0	0	0	0
Sandreiche Schicht (ohne Spezifizierung)	0	0	0	0	0
Kiesreiche Schicht	0	0	0	0	0
		Rezente Bodenbildung			
Total Prozentanteile von allen 363 Datensätzen	2	8	12	38	36
Anzahl Datensätze (Total 363)	8	19	18	42	11



Anhang 4 Cham-Bachgraben. Die ¹⁴C-Daten von Cham-Bachgraben in grafischer und tabellarischer Darstellung. Die farbigen senkrechten Balken symbolisieren dendrochronologische Schlagphasen. In der grafischen Darstellung sind wiggle matchings separat gruppiert und als «D-sequence» beschriftet. Gezackte Pfeile verweisen auf Ausreisser. «ABA» meint eine reduzierte chemische Probenaufbereitung im ¹⁴C-Labor (Säure-Base-Säure-Behandlung).



Anhang Sa, b Cham-Bachgraben. Kartierungen von Pfählen mit gemeinsamen Holzeigenschaften (fett hervorgehoben).

Anhang Sc, d Cham-Bachgraben. Kartierungen von Pfählen mit gemeinsamen Holzeigenschaften (fett hervorgehoben).



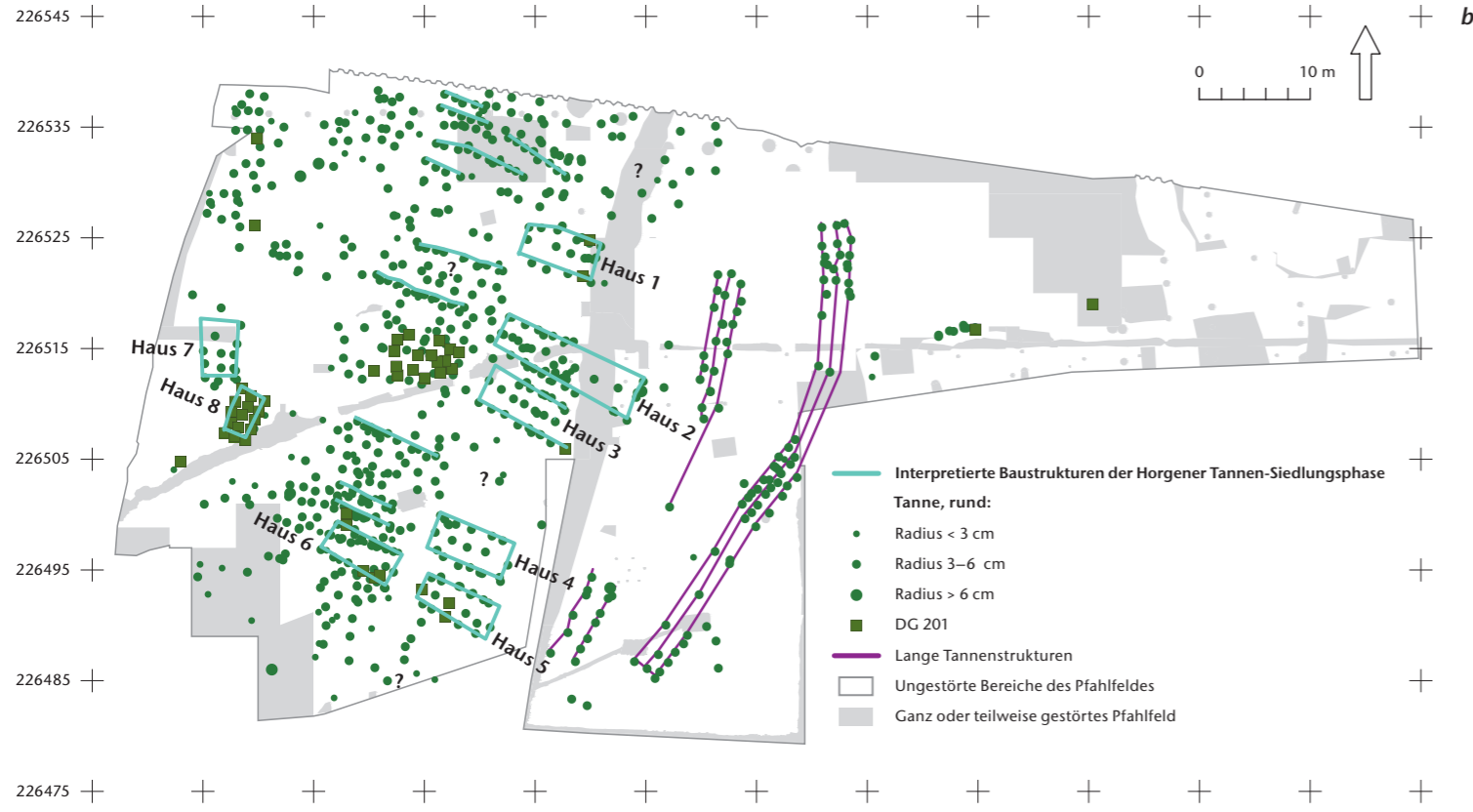
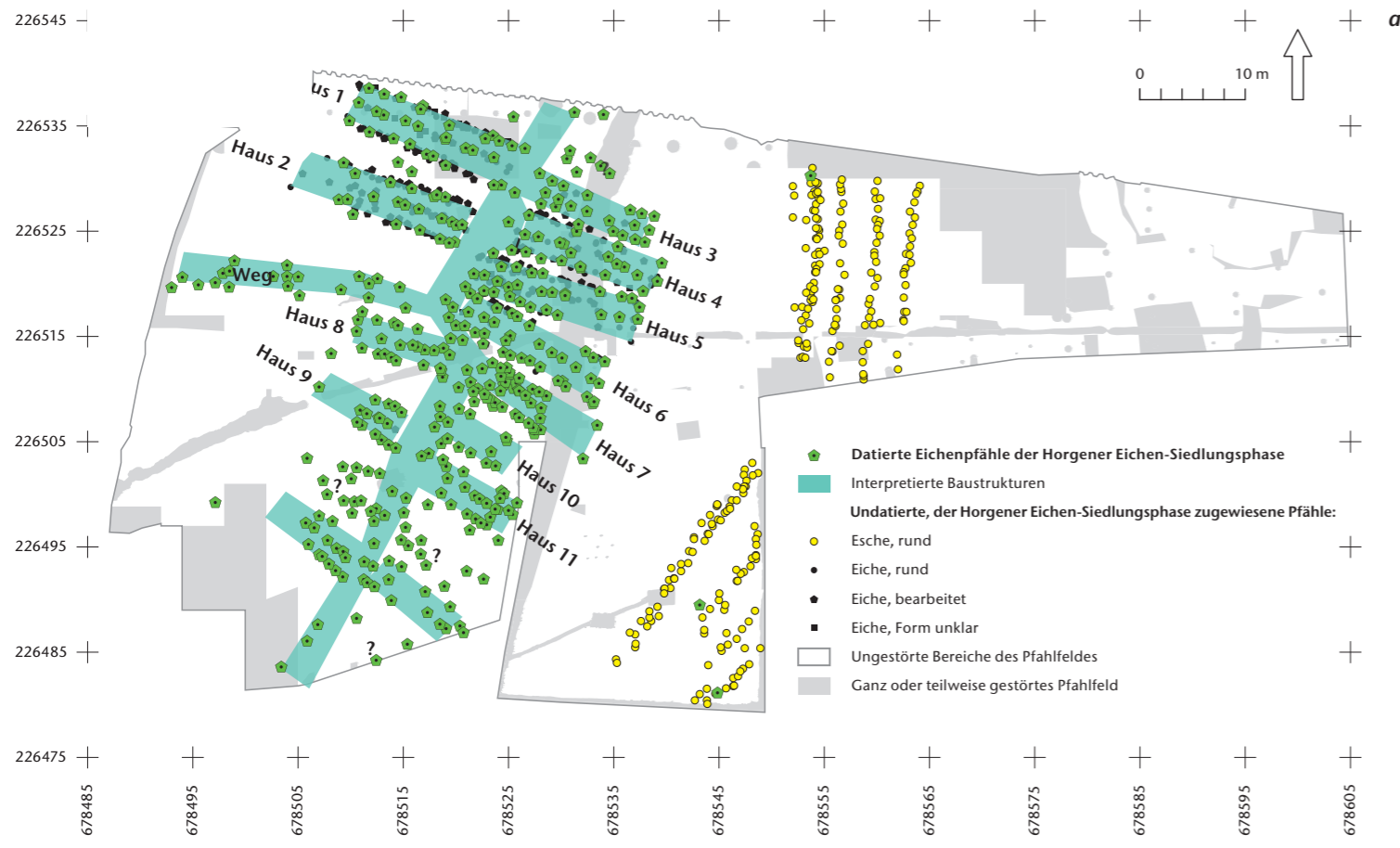
Anhang Se, f Cham-Bachgraben. Kartierungen von Pfählen mit gemeinsamen Holzeigenschaften (fett hervorgehoben).

Jahr	Haus 1	Haus 2	Haus 3	Haus 4	Haus 5	Haus 6	Haus 7	Haus 8	Haus 9	Haus 10	Haus 11	Alle
älter								1				1
-3150												
-3149												
-3148												
-3147												
-3146												
-3145												
-3144					1							1
-3143												
-3142												
-3141												
-3140					2							2
-3138	1											1
-3137		1										1
-3136	2						1					3
-3135	2	1										3
-3134	1	1			1						1	1/3
-3133												
-3132												
-3131					1							1
-3130			2				1	1				2/2
-3129			3/1				2					3/3
-3128	1		1/1	2			4			1		4/5
-3127			1/1			1	1		2	1		4/3
-3126			1	5/1	3	2	2	2	1			13/4
-3125		2	5/	6/1	7	12/1	2/1	6	1/1	3	2/1	46/6
-3124	1/1	4		4	2/1	15	9/	9/	5/	5	10/	64/8
-3123	1	1		1	1	1/1	2		1			5/4
-3122					1	1	2/1					2/3
-3121					1			1		1		3
-3120								1	1		1	3
-3119												
-3118	1	1								1	3	1/5
-3117								1	1			2
-3116								1		1	1	3
-3115								1			2	3
-3114												
-3113					1							1
-3112												
-3111												
-3110							3					3
-3109							4/1					4/1
-3108						2						2
-3107						1						1
-3106												
-3105												
-3104											1	1
-3103												
-3102												
-3101												
-3100												

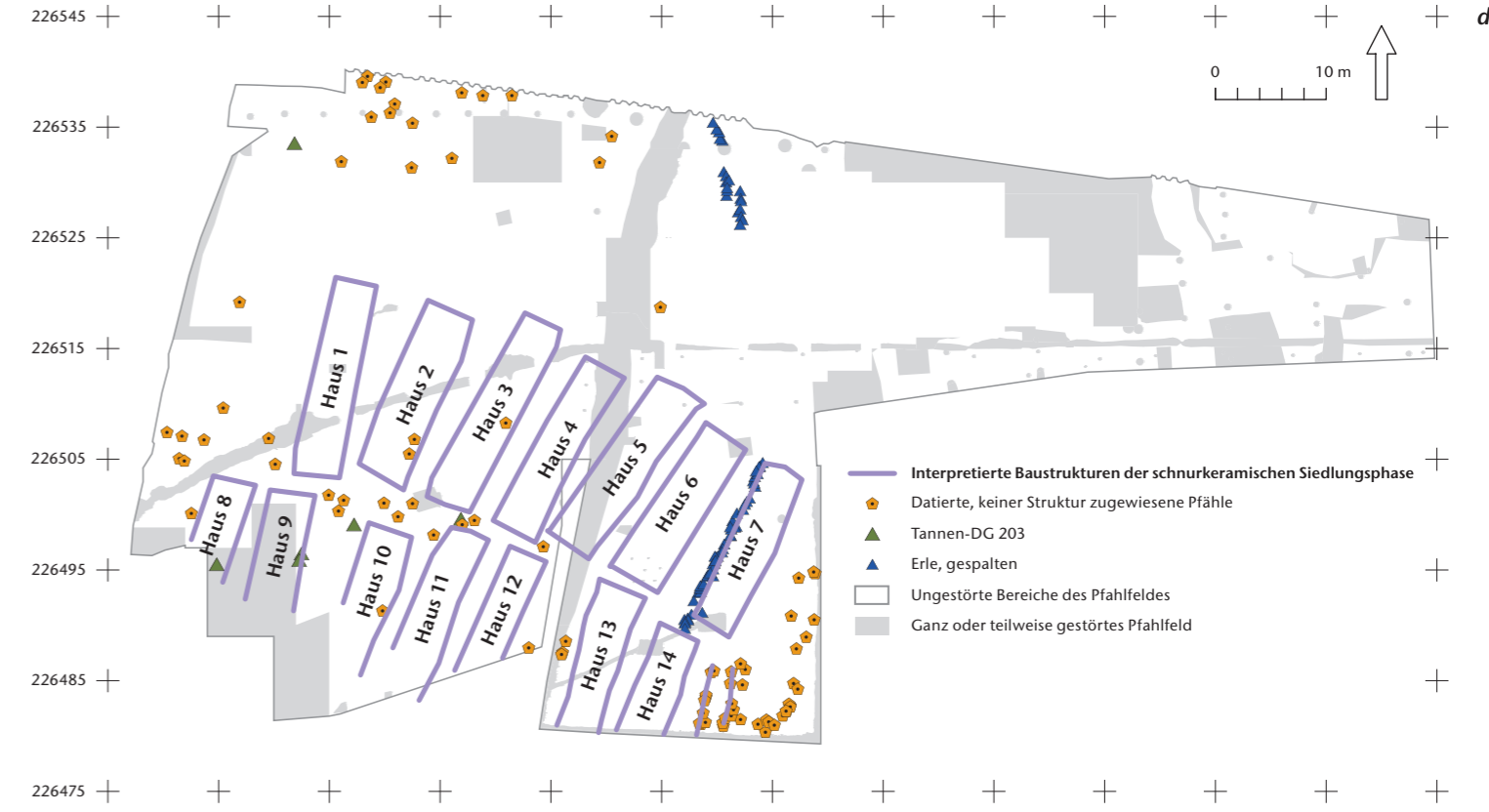
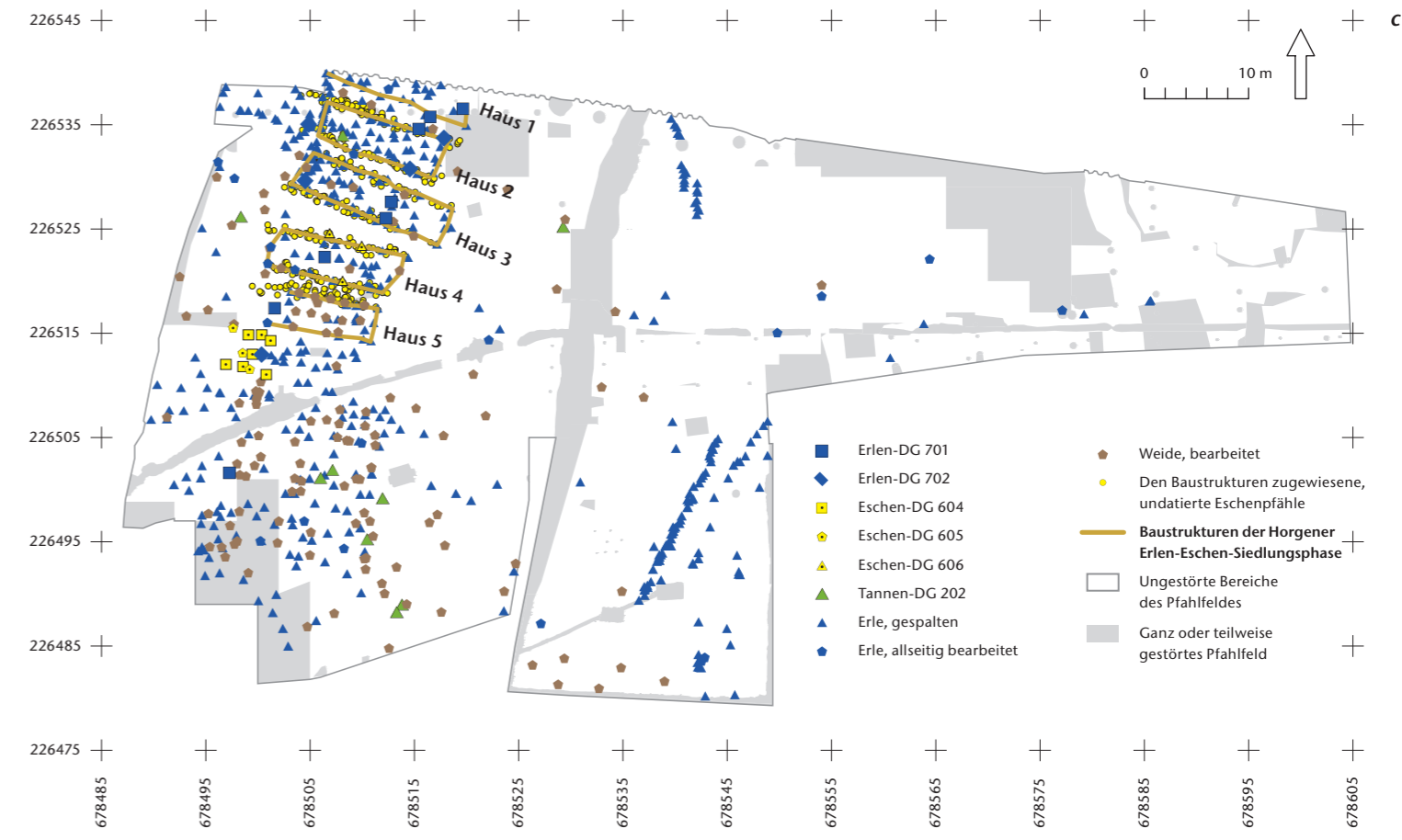
Anhang 6 Cham-Bachgraben. Schlagdatenverteilung der Siedlungsphase des späten 32. Jahrhunderts v. Chr., aufgeteilt nach Gebäuden. Schwarze Ziffern markieren Waldkantendaten, graue Ziffern Splintschätzungen (bei Splintschätzungsdaten wird anhand der vorhandenen Splintringe das Waldkantendatum statistisch geschätzt). Es wurde nicht zwischen a- und b-Datierungen unterschieden.

Legende:

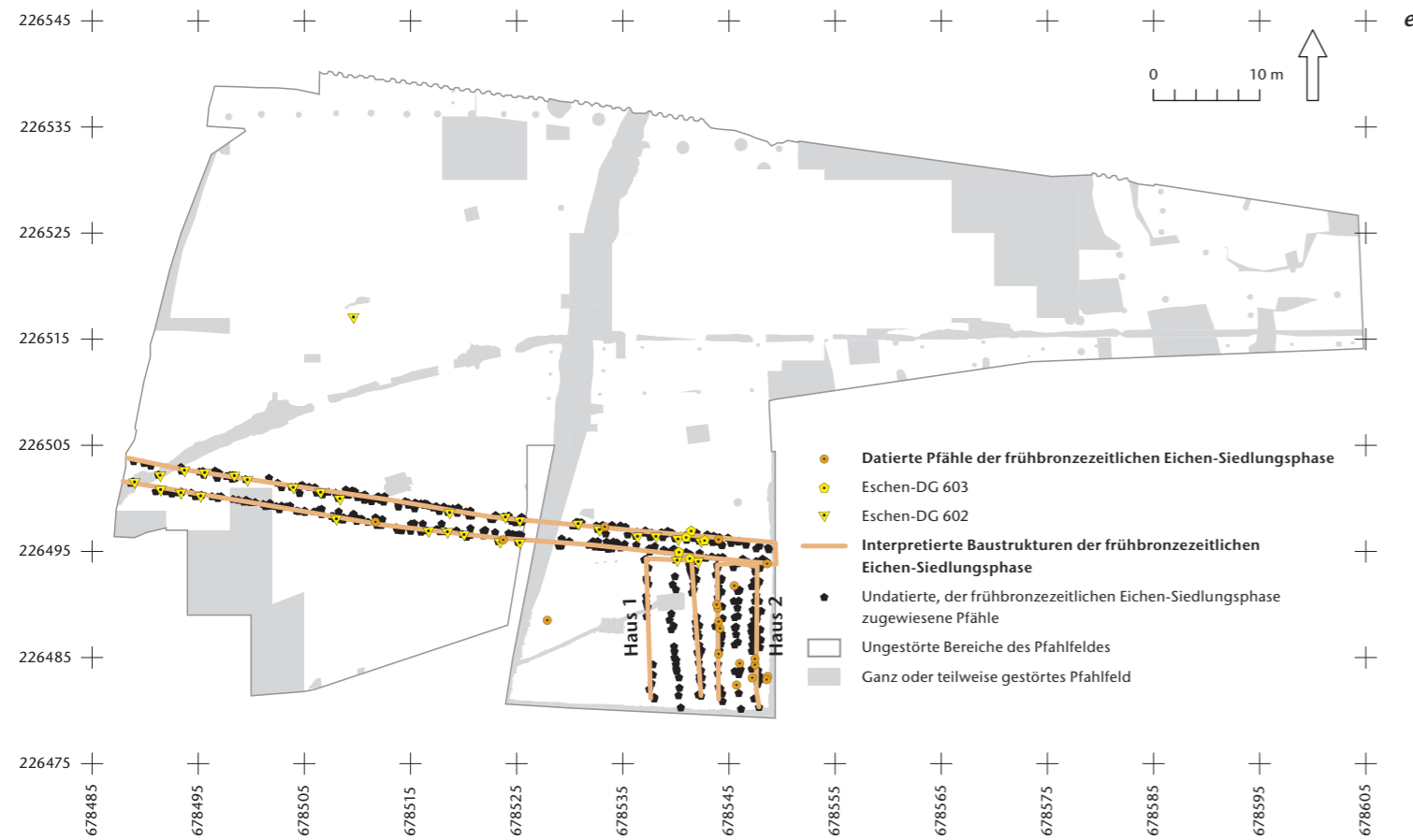
- Ausschliesslich durch b-Daten belegt
- Mutmassliche Baujahre
- Fälle, bei denen unklar ist, welches Jahr das Baujahr ist



Anhang 7a, b Cham-Bachgraben. Pläne der interpretierten Baustrukturen, getrennt nach den einzelnen Phasen (fett hervorgehoben).



Anhang 7c, d Cham-Bachgraben. Pläne der interpretierten Baustrukturen, getrennt nach den einzelnen Phasen (fett hervorgehoben).



Anhang 7e Cham-Bachgraben. Pläne der interpretierten Baustrukturen, getrennt nach den einzelnen Phasen (fett hervorgehoben).

Datierung	Baustruktur	Länge (m)	Vollständig	Breite (m)	Vollständig
Horgen, Eichen-Siedlungsphase	Haus 1	16	x	3,75	x
Horgen, Eichen-Siedlungsphase	Haus 2	16,5	x	3,75	x
Horgen, Eichen-Siedlungsphase	Haus 3	11	?	2,5	?
Horgen, Eichen-Siedlungsphase	Haus 4	14	?	3	x
Horgen, Eichen-Siedlungsphase	Haus 5	16,5	x	3,5	x
Horgen, Eichen-Siedlungsphase	Haus 6	15,75	x	3,75	x
Horgen, Eichen-Siedlungsphase	Haus 7	13	x	3	x
Horgen, Eichen-Siedlungsphase	Haus 8	9,5	?	3	x
Horgen, Eichen-Siedlungsphase	Haus 9	9	?	3,25	x
Horgen, Eichen-Siedlungsphase	Haus 10	7,75	?	3	x
Horgen, Eichen-Siedlungsphase	Haus 11	10	?	3,75	x
Horgen, Tannen-Siedlungsphase	Haus 1	7	?	3,5	x
Horgen, Tannen-Siedlungsphase	Haus 2	13,5	x	3,75	x
Horgen, Tannen-Siedlungsphase	Haus 3	9	?	3,5	x
Horgen, Tannen-Siedlungsphase	Haus 4	7,25	x	3,5	x
Horgen, Tannen-Siedlungsphase	Haus 5	7,25	x	3,25	x
Horgen, Tannen-Siedlungsphase	Haus 6	7	?	3	x
Horgen, Tannen-Siedlungsphase	Haus 7	5	?	3	x
Horgen, Tannen-Siedlungsphase	Haus 8	4,5	x	2,5	x
Horgen, Erlen-Eschen-Siedlungsphase	Haus 1	14,5	?	3	–
Horgen, Erlen-Eschen-Siedlungsphase	Haus 2	12,25	?	3,75	x
Horgen, Erlen-Eschen-Siedlungsphase	Haus 3	15,25	x	4	x
Horgen, Erlen-Eschen-Siedlungsphase	Haus 4	12,75	x	4	x
Horgen, Erlen-Eschen-Siedlungsphase	Haus 5	10	?	3,5	x
Schnurkeramische Siedlungsphase	Haus 1	17,75	x	4	x
Schnurkeramische Siedlungsphase	Haus 2	16,25	x	4,75	x
Schnurkeramische Siedlungsphase	Haus 3	18,75	x	4,25	x
Schnurkeramische Siedlungsphase	Haus 4	17	x	4,25	x
Schnurkeramische Siedlungsphase	Haus 5	17,5	x	4,5	x
Schnurkeramische Siedlungsphase	Haus 6	15,5	x	4,75	x
Schnurkeramische Siedlungsphase	Haus 7	15,75	x	4	x
Schnurkeramische Siedlungsphase	Haus 8	9	–	4	x
Schnurkeramische Siedlungsphase	Haus 9	10,5	–	4	x
Schnurkeramische Siedlungsphase	Haus 10	13	–	4,25	x
Schnurkeramische Siedlungsphase	Haus 11	15,5	–	4,25	x
Schnurkeramische Siedlungsphase	Haus 12	12	–	3,75	x
Schnurkeramische Siedlungsphase	Haus 13	13	–	4,25	x
Schnurkeramische Siedlungsphase	Haus 14	10,5	–	4,25	x
Frühbronzezeit, Eichen-Siedlungsphase	Haus 1	14	–	4,5	x
Frühbronzezeit, Eichen-Siedlungsphase	Haus 2	14	–	3,75	x

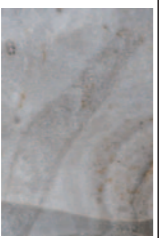



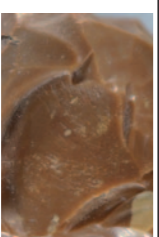
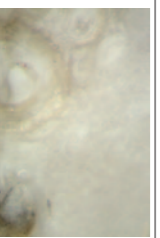
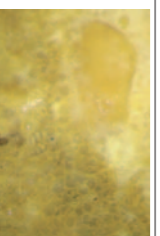

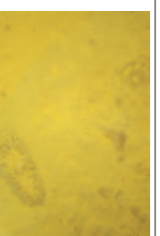
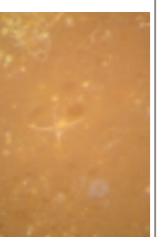
Anhang 8 Cham-Bachgraben. Masse sämtlicher interpretierter Baustrukturen.

2 Anhänge zu Band 2

Anhänge 9–11

Makrogruppe		Hornstein			
Merkmale	Typ 101	Typ 102	Typ 142	Typ 159	Typ 271
Farbcode (Munsell)	10YR7/1	10YR7/2	2.5Y6-5/2	N9/0 bis 5PB6/1	5Y5/2
Aussehen	homogen, opak, glatte Bänderung	homogen, opak, rau	homogen, undurchsichtig, glatt, manchmal gebändert	homogen, opak, matt, oft feine Bänderung	heterogen opak bis transluzid, glatt
Textur	mudstone	mudstone	mudstone/wackestone	mudstone	wackestone/boundstone
Häufigkeit	2%	2%	5–15%	1%	15–40%
Rundung	Klasse 1	Klassen 1–3	Klasse 4	Klasse 1	Klasse 3
Grösse	20–100 µ	80–2000 µ	40–80 µ	100 µ	100 µ–1 cm
Natur	Schwammnadeln, Foraminiferen, Algenbruchstücke, Quarzkörner, Eisenoxide	Foraminiferen, Algen, punktförmige Schwammnadeln	Intraklasten (Kalksandkörner), Schwammnadeln, spärliche Foraminiferen (Textulariden) und Algen	kreisförmige Schwammnadeln, Foraminiferen (cf. <i>Verneuilina</i> sp.), spärliche Seeigelstacheln	ganze Schwammstöcke, punktförmige Spicula, längliche Spicula, mikritisierte Intraklasten
Strukturen	–	Bioturbationen	–	–	biologisch
Ablagerungs-umwelt	marin, Grenze neritisch-pelagisch	marin, Grenze neritisch-pelagisch	marin, Rinne im Tiefschelf	marin offen, Grenze neritisch-pelagisch	Riffumgebung
Geologisches Alter	Kimmeridge	Sequan	Kimmeridge	Malm	Malm Epsilon
Makrofoto					
Mikrofoto					
Herkunft	Wangen bei Olten SO	Olten/Chalchoten SO	Pleigne-Löwenburg JU	Kleinkembs-/steiner Klotz (Kreis Lörrach, D)	Randengebiet SH

Anhang 9 Cham-Bachgraben. Die wichtigsten petrographischen Merkmale der Slices.

Makrogruppe		Hornstein				Silex	
Merkmale	Typ 311	Typ 256	Typ 146/002	Typ 152	Typ 260		
Farbcode (Munsell)	N9/0; 10YR8/1	10YR8/3 bis 10Y6/6	10YR8/1	7.5R3/4; 10YR5/8; 10YR6/6	7.5YR7/4; 7.5YR8/2; 10R4/6		
Aussehen	homogen, opak, glatt, Bänderung	heterogen, opak, glänzend, gelegentlich gebändert	homogen oder heterogen opak, glatt	homogen oder heterogen, opak, glänzend	homogen oder heterogen, opak, glänzend		
Textur	mudstone/packstone	wackestone/packstone	mudstone/packstone	mudstone/wackestone	wackestone		
Häufigkeit	1–50%	5–30%	2–20%	1–5%	2–5%		
Rundung	Klasse 1	Klasse 4	Klassen 1–2	Klasse 4	Klasse 1		
Grösse	bis 1 cm	bis 2 mm	200–800 µ	80–600 µ	80–800 µ		
Natur	Serpulidenröhre, Crinoid-Stielglieder, Foraminiferen (<i>Verneuilina</i> sp.)	Schwammbruchstücke, spärliche Foraminiferen (Textulariden)	Foraminiferen, Schwämme und Schwammnadeln, Bryozoen, Seeigelstacheln, Intraklasten	Bryozoenbruchstücke, dünne Muschelschalenbruchstücke, Ostrakoden, spärliche abgerundete Quarzkörner; Eisenoxide in der Matrix	kalkige Intraklasten, Radiolarien-Gespenster, Foraminiferen (Globotruncanidae, Hedbergellidae, Nodosariidae)		
Strukturen	–	–	spärliche Wurmgänge	–	–		
Ablagerungs-umwelt	flachmarin, stilles Wasser	marin, externe Plattform	marin, externer Riffhang	marin, tiefneritisch	marin, offene untiefe Plattform		
Geologisches Alter	Malm	Malm	Kimmeridge	Malm (im Eozän umgelagert)	Obere Kreide		
Makrofoto							
Mikrofoto							
Herkunft	Egerkingen-Oberbuchstien SO	Flintsbach-Hardt (Kreis Deggen Dorf, D)	Lägern AR-ZH	Auggen (Kreis Mühldheim, D)	Arten, Monte Avena (Belluno, I)		

Anhang 9 (Fortsetzung) Cham-Bachgraben. Die wichtigsten petrographischen Merkmale der Slices.

Makrogruppe		Silex			
Merkmale	Typ 157	Typ 141	Typ 282	Typ 515	Typ 419
Farbcode (Munsell)	10YR7/2	2,5Y7/1; 5PB6/1	2,5Y6/1-3, Fleck 2,5Y8/3	10YR4/1	5PB6/1; 2,5YR4; 2,5Y7/1
Aussehen	heterogen, opak, fett	homogen, opak bis halbdurchscheinend, fett	homogen oder heterogen, halbdurchscheinend, glänzend	homogen, opak, glänzend; Schichtung	homogen bis heterogen, opak, glatt
Textur	mudstone/packstone	wackestone/packstone	mudstone	grainstone	packstone/grainstone
Häufigkeit	1–10%	10%	1–2%	60–80%	30–50%
Rundung	Klasse 4	Klasse 1	Klasse 4	Klasse 1	Klasse 4
Grösse	50 µ–3 mm	50–300 µ	1 mm–1 cm	200–300 µ	200 µ (1 mm)
Natur	kalkhaltige Intraklasten, Radiolarien, Kettenpyrit, selten haarfeine Spicula, Kalzitkristalle, Foraminiferen, Foraminiferen-Algen-Onkoid	Radiolarien, Algenfilamente, seltene Foraminiferen, Holzkohle, seltene Bruchstücke von Zweischalern und Seeigelstacheln	mikritisierte Bryozoenbruchstücke, grosse Intraklasten, Plankton	ooidisierte Peloide, spärliche Gastropoden	Peloide, Peloid-Aggregate, spärliche Muschel- und Gastropodenbruchstücke, Seeigelstacheln, Krustenalgen
Strukturen	Stromungsmarken; Schichtung möglich	Slumps	Schichtung	(ausgewaschen)	Gärungserscheinungen
Ablagerungs-umwelt	marin, Fuss des Kontinentalhangs bis pelagisch	marin, untere Kante des Kontinentalhangs	Anfang der abysssalen Ebene	marin, Flachmeer, untief	marin, Flachmeer, untief
Geologisches Alter	Kreide (Biancone)	Kreide	Kreide	Muschelkalk	Muschelkalk
Makrofoto					
Mikrofoto					
Herkunft	Cerro Lessini (Vicenza, I)	Monte Baldo (Trentino, I)	Monte Gargano (Foggia, I)	Lupsingen BL	Dossenbach/Frickstalten, Dinkelberg (Kreis Lörrach, D)

Anhang 9 (Fortsetzung) Cham-Bachgraben. Die wichtigsten petrographischen Merkmale der Silexes.

Makrogruppe		Silex			
Merkmale	Typ 112	Typ 113	Typ 119	Typ 381	Typ 382
Farbcode (Munsell)	7,5Y4/2 bis 7,5Y7/2	5Y5-8/3	10YR7/1	10YR8/4	7,5YR7/3-4
Aussehen	heterogen, opak bis durchscheinend, matt oder glänzend	homogen, durchscheinend, glänzend	homogen bis heterogen, opak, matt	homogen, opak, glänzend	homogen, opak, glänzend
Textur	mudstone	mudstone	mudstone (boundstone)	packstone	grainstone
Häufigkeit	1–5%	2%	1% (100%)	30%	20–50%
Rundung	Klasse 4	Klassen 3–4	Klasse 1	Klasse 3	Klasse 2
Grösse	40–100 µ	bis 0,5 mm	40–100 µ	80–1200 µ	800 µ–1,6 mm
Natur	Algenfilamente, spärliche Foraminiferen (Miliolidae), Organismus <i>inertae sedis</i> (weisser konischer Tubus mit offenen Enden), spärliche Muschelbruchstücke	Schwammnadeln, Organismus <i>inertae sedis</i> (weisser konischer Tubus mit offenen Enden) Foraminiferen (<i>Hebergella</i> sp., cf. <i>Whitnells</i> sp.), spärliche grosse Intraklasten	Schwammbruchstücke, Makrosklera und Mikrosklera, mehr oder weniger in Konnexion	Seeigelstacheln, Muschelgrus, längliche Schwammnadeln und Crionidenglieder	Muschelschill aus Zweischalern und Gastropoden
Strukturen	–	–	(biologisch)	Einregelung	starke Einregelung
Ablagerungs-umwelt	marin, interne Plattform	marin, pelagisch	interne Rifflumgebung	marin, Strandfluss bis oberstes Infratidal	marin, Intertidal (Strandbasis)
Geologisches Alter	Endturon bis Coniac	Senon	?	Kreide	(im Tertiär umgelagert)
Makrofoto					
Mikrofoto					
Herkunft	Paron (Dép. Yonne, F)	Arces-Dilo/Charnes (Dép. Yonne, F)	Poncin-Saint-Alban (Dép. Ain, F)	Halblech/Kesselwand, Ammergebirge (Kreis Ostalbgäu, D)	Maurach/Rofan (Tirol, A)


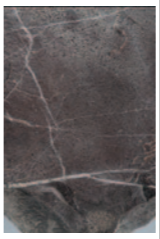
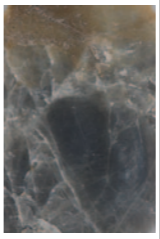


Anhang 9 (Fortsetzung) Cham-Bachgraben. Die wichtigsten petrographischen Merkmale der Silexes.

Makrogruppe		Silix				Radiolarite	
Merkmale		Typ 723	Typ 757	Typ 207-B	Typ 652	Typ 162	
Farbcode (Munsell)	10YR6/6 bis 10YR7/4	10YR6/6 bis 10YR7/4	5YR2/2; 5YR4/6	5PB7/1; 5Y8/2	7.5R4/6 bis 10R5/4		
Aussehen	homogen oder heterogen, halbdurchscheinend, glänzend	heterogen, opak, matt oder glänzend	homogen, opak bis durchscheinend, matt	homogen bis heterogen, halbdurchscheinend, glatt	homogen, opak, glatt		
Textur	grainstone	grainstone	wackestone	(umkristallisiert)	mudstone/packstone		
Häufigkeit	40–70%	20–30%	10–30%	1–30 %	1–30%		
Rundung	Klassen 2–3	Klasse 2	Klasse 1	Klasse 1	Klasse 1		
Grösse	80 µ–2 mm	80 µ–1 cm	40 µ–1 cm	bis 1cm	50–100 µ		
Natur	Sandkörner, Algen-, Muschel-, Bryozoen-fragmente, Foraminiferen, Quarzkörner, Eisenoxide	Muschelschalen, Bryozoenkolonien, kalkige Klaster, seltener Sandkörner und unbestimmte chitinoide Reste, Eisenoxide	Charophyten- und Oogonienbruchstücke (<i>Harrisichara tuberculata</i>), Ostrakoden, Gastropoden, Intraklasten	Wurzelspuren	Kalkbruchstücke, Phantombilder von Radiolarien		
Strukturen	gelegentliche Schichtung	Schichtung	Kornsortierung möglich	Trocknungsrisse	Schlieren von kleinen Kalkbruchstücken		
Ablagerungs-umwelt	marin, Infratidal	marin, ziemlich bewegtes Infratidal	Süswasser, Uferterrasse	Freilandbildung	marin, distaler Rand des offenen Schelfes		
Geologisches Alter	Kreide (Turon)	Kreide (Valangin)	Oligozän	Trias	Malm		
Makrofoto							
Mikrofoto							
Herkunft	Le Grand-Pressigny (Dép. Indre-et-Loire, F)	Champagne-en-Valromey (Dép. Ain, F)	Mont-lès-Étrelles (Dép. Haute-Saône, F)	Lupsingen BL	Maurach/Rofan 4, Schrotter (Tirol, A)		






Anhang 9 (Fortsetzung) Cham-Bachgraben. Die wichtigsten petrographischen Merkmale der Silices.

Makrogruppe		Radiolarite				
Merkmale		Typ 601	Typ 622	Typ 627	Typ 632	Typ 646
Farbcode (Munsell)	7.5R3/4	7.5R3/4	7.5R3/4	10R3/6; 10BG6/1; 7.5GY5/1	10R2/3	
Aussehen	homogen, opak, glatt	heterogen, opak, glänzend	heterogen, opak, glänzend	homogen bis heterogen, opak, glatt bis leicht glänzend	homogen bis heterogen, halbdurchsichtig, glänzend	
Textur	mudstone	mudstone	mudstone	mudstone/packstone	mudstone	
Häufigkeit	1%	1–2%	1–2%	1–40 %	30%	
Rundung	Klasse 1	Klasse 1	Klasse 4	Klasse 4	Klasse 4	
Grösse	20–50 µ	50–400 µ	50–80 µ	20–100 µ	100–200 µ	
Natur	Radiolarien, Algenfilamente, Dolomitkristalle	gut erhaltene Radiolarien, authigene Kalzitkristalle, seltene Foraminiferen, Eisenoxide in der Matrix	Radiolarien	Phantombilder von Radiolarien, spärliche Algenfilamente, Dolomitkristalle	spärliche Phantombilder von Radiolarien, organische Stoffe, kleine Kohlestücke	
Strukturen	Slumps	unregelmässige Schichtung	(starke Schieferung) Opalschlieren	Slumps	(tektonische Adern)	
Ablagerungs-umwelt	marin, tiefpelagisch	marin pelagisch (oberhalb der CCD)	marin, tiefpelagisch	marin, tiefpelagisch	marin pelagisch	
Geologisches Alter	Dogger bis Malm	Dogger	Dogger?	Dogger	Dogger bis Malm	
Makrofoto						
Mikrofoto						
Herkunft	Alpen; örtliche Moränen	Oberberg/ Unter Cholplatz SZ	Alpen; nicht genau bestimmt	Napf-Schüttung	Monte Generoso T ₁ ; Wildfysch der Säntisdecke?	

Anhang 9 (Fortsetzung) Cham-Bachgraben. Die wichtigsten petrographischen Merkmale der Silices. CCD: Karbonat-Kompensationsstufe

Makrogruppe		Radiolarite			
Merkmale	Typ 666	Typ 626	Typ 108	Typ 169	Typ 198
Farbcode (Munsell)	7.5R3/4; 7.5R5/3	10R4/3; 5B4/1; 5PB4/1	5B6/1	5B7/1; 10B6 6-4/1	5Y6/3
Aussehen	homogen bis heterogen, opak, glänzend	homogen, opak, glänzend	homogen, durchscheinend, glänzend	homogen bis heterogen, halbdurchscheinend, glatt bis glänzend	heterogen, opak, glänzend
Mikroskopisch					
Komponente					
Strukturen	leichte Schichtung (tektonische Adern mit Opal gefüllt)	Slumps	–	Slumps	–
Ablagerungs-umwelt	marin pelagisch, bei einer steilen Küste	marin, tiefpelagisch	marin, Tiefsee	marin, Fuss des Kontinentalthangs	marin, offen, tiefneritisch
Geologisches Alter	Malm	Dogger	untere Kreide (Neokom)	?	Kreide, im Tertiär umgelagert
Makrofoto					
Mikrofoto					
Herkunft					
	Arzo TI	Sonntag/Buchboden (Vorarlberg, A)	Albeuve/Neirivue FR; Sense-Schotter, Moränen des südlichen Mittelandes	Arzo TI	Maurach/Rofan (Tirol, A)

Anhang 9 (Fortsetzung) Cham-Bachgraben. Die wichtigsten petrographischen Merkmale der Slices.

Makrogruppe		Radiolarite				Quarzite
Merkmale	Typ 608	Typ 633	Typ 645	Typ 620	Typ 351	
Farbcode (Munsell)	5Y2/2	5Y2/2	5B5/1; 5RP5/1; 2.5Y6-5/3	7.5R4/3; 5G7-4/1	5Y2/2	
Aussehen	homogen, durchscheinend, glänzend	homogen, halbdurchscheinend, fett	homogen, in der Mitte durchscheinend, glänzend	heterogen, opak, glatt bis glänzend	heterogen, opak bis halbdurchscheinend, glänzend; z. T. gebändert	
Makroskopisch						
Textur						
	mudstone/wackestone	mudstone	wackestone	mudstone	wackestone/packstone	
Mikroskopisch						
Komponente						
Häufigkeit	5–15%	1%	5%	< 1%	20–30%	
Rundung	Klasse 4	Klassen 1–2	Klassen 2–3	Klasse 4	Klassen 1 und 4	
Grösse	50–100 µ	50–500 µ	50–150 µ	50–80 µ	50–400 µ	
Natur	Organismus cf. <i>Aeolisaccus</i> , Phantome von Radiolarien, Schwefelkies, Kohlestücke, Dolomit	Plankton, spärliche Radiolarienphantome, grosse Kohlebruchstücke	Radiolarien (gut erhalten, aber mit gebrochenen Nadeln), inkohlte Holzstücke, unbestimmte Kalktrümmer	Radiolarienphantome	detritische Quarzkörner, Dolomit- und Kalzitkristalle, Glaukonit, Schwefelkies, inkohlte Stoffe, spärliche Schwammnadelphantome, Organismus <i>inertae sedis</i> (cf. <i>Aeolisaccus</i>)	
Strukturen	Schlieren	Schichtung	Strömungen	(tektonische Adern)	unregelmässige Feinschichtung möglich; Wickselschichtung	
Ablagerungs-umwelt	marin, tiefpelagisch	marin, pelagisch	marin tieferitisch bei einer steilen Küste	marin, tiefpelagisch	marin, pelagisch offen, steile Küste	
Geologisches Alter	Dogger?	Dogger	Dogger	Dogger bis Malm?	?	
Makrofoto						
Mikrofoto						
Herkunft						
	Alpen; örtliche Moränen	Chur GR	Sonntag/Buchboden (Vorarlberg, A)	Oberberg/ Helkentobel SZ	Im Fang/Kleimontbach FR; Moräne und Schotter, Freiburger und Berner Mittelland	

Anhang 9 (Fortsetzung) Cham-Bachgraben. Die wichtigsten petrographischen Merkmale der Slices.

Makrogruppe		Quarzite			
Merkmale	Typ 359	Typ 399	Typ 667	Typ 621	Typ 623
Farbcode (Munsell)	5Y2/2	N2/0	5GY6/1	7.5YR6/3 bis 7.5YR8/1	N6/0; 5PB6/1
Aussehen	heterogen, durchscheinend bis opak, glänzend, feingeschichtet	homogen, opak, glänzend/schimmernd	homogen, opak, schimmernd	homogen oder heterogen, opak, glatt; geschichtet	homogen, opak, halbdurchscheinend
Textur	wackestone/packstone	packstone	grainstone	wackestone/packstone	wackestone
Häufigkeit	10–40%	15–25%	95%	20%	7–10%
Rundung	Klassen 1 und 4	Klassen 1 und 4	Klasse 1	Klasse 4	Klasse 3
Grösse	80–100 µ	50–150 µ	50–80 µ	50–100 µ	40–200 µ (Kohle bis 400 µ)
Natur	Glaukonit, Quarzkörner, Kalzitkristalle, organische Stoffe	Lagen von Peloidphantomen, Glaukonitkörner, unbestimmbare Kalkpartikel, seltene inkohlte Elemente	Detritische Quarzkörner, spärliche Opaken	Kalkkörner, spärliche Quarzkörner, cf. Radiolarienphantome, unbestimmte Foraminiferen	inkohlte Holzbruchstücke, Schwammnadeln, seltene Foraminiferen (cf. <i>Heterostegina</i>)
Strukturen	Kornsortierung	unregelmässige Schichtung	–	wahrscheinlich vollständige Bioturbation	Bioturbationen, Strömungen
Ablagerungs-umwelt	marin, Flysch (Kontinentalhang)	marin, bewegtes Infratidal unweit einer Flussmündung	verkieserter Sand (Orthoquarzit)	marin, tiefneritisch ruhig	marin, neritisch offen, bewegt
Geologisches Alter	Dogger bis Malm	Paläozän	?	?	?
Makrofoto					
Mikrofoto					
Herkunft	Moräne nördliches Mittelland	Oberberg/ Isentobel SZ	Voralpen (?): örtliche Moränen und Schotter	Alpen; Moränen des nördlichen Schweizer Mittellandes	Tätztaler Tal, Tiefenbach (Kreis Ostallgäu, D)

Anhang 9 (Fortsetzung) Cham-Bachgraben. Die wichtigsten petrographischen Merkmale der Silices.

Makrogruppe		Quarzite	
Merkmale	Typ 3400	Typ 446	
Farbcode (Munsell)	5PB7/1	5Y5/1	
Aussehen	homogen, opak, matt	homogen gebändert, opak, matt oder glänzend	
Textur	packstone	grainstone	
Häufigkeit	20–25%	80%	
Rundung	Klasse 4	Klasse 4	
Grösse	50–100 µ	50–100 µ	
Natur	Schwammnadeln (längliche und kreisförmige), Kalksandkörner, Muschelschalensbruchstücke, unbestimmbare chitinoide Komponenten	Peloide (zum Teil umkristallisiert), spärliche unbestimmte Kalkkomponenten, Radiolarienstücke, unbestimmte chitinoide Reste	
Strukturen	Strömungen, Bioturbationen	starke Schichtung	
Ablagerungs-umwelt	marin, tiefneritisch, innere Plattform	marin, innere Plattform, sauerstoffarm	
Geologisches Alter	?	Trias?	
Makrofoto			
Mikrofoto			
Herkunft	noch nicht lokalisiert	noch nicht lokalisiert	

Anhang 9 (Fortsetzung) Cham-Bachgraben. Die wichtigsten petrographischen Merkmale der Silices.

Tafel	FK	Messort	Cu	Sn	Zn	Fe	Sonstiges	Bemerkung	Analyse-Nr.
149,10	448.2742.1	Rollkopf	57,7	19,5	0,8	21,8			1650
149,11	448.2887.1	Kopf	77,7	17,4	1	3,3			1641
149,12	448.2847.1	Mitte	83	11,1	1	4,3			1646
149,13	448.2888.1	dickes Stück bei Bruchstelle	70,1	22,7	0,9	5,7			1658
149,14	448.2932.1	Beuge	47,1	27,1	0,5	25	0,5% Pb		1731
150,1	448.15294.1	verschraubte Stelle	75,9	21,3	0,9	1,2			1645
150,2	448.14232.1	Öse	72,5	22,7	1,1	3,5			1636
150,3	448.15293.1	oberes Viertel	73,3	22,3	1	2,9			1649
150,4	448.14829.1	Knoten	64,2	27,4	0,8	6,9			1654
150,5	448.14830.1	dickes Stück unterhalb Knoten	70,2	24	1	3,7			1657
150,6	448.14100.1	Nadelkopf	83,4	13,5	1,1	1,3			1632
150,7	448.14888.1	goldfarbene Stelle unten	69,3	22,3	1	7,4			1667
150,8	448.14888.1	Kopf	74	20,1	1	5			1670
150,9	448.15295.1	Kopf	69,2	27,3	0,9	1,2			1661
150,9	448.15297.1	dickste Stelle, siehe Bild	32,9	52,5	0,5	13,5			1628
150,10	448.12656.1	dickes Ende	75,1	20,1	1,2	3,2			1615
150,11	448.12634.1	dickes Ende	80,9	15,6	1	1,8			1607
150,12	448.15777.1	Aussenseite des Armreifs	85	12,9	1	0,9			1666
150,13	448.15296.1	Stelle siehe Bild	71,2	23,5	1	3,4			1735
150,14	448.15691.1	Mitte	49,1	45,7	0,7	3,8			1726
150,15	448.15298.1	zweite Schleife, siehe Bild	31	17,3	50,5	0			1620
150,16	448.14897.1	dickste Stelle?	89,8	0,4	6,2		2,8% Pb	modern?	1624
150,17	448.12582.1	Mitte	70	27	1	1,9	0,1% Ni		1727
150,18	448.13268.1	dickes Ende	61,2	30,3	1	7,2	0,3% Pb		1610
	448.12656.2	konvexe Seite	79,2	16,9	1,2	2,2			1611
	448.14202.1	Mitte der konvexen Seite	83,9	13,7	0,9	1			1690
	448.14208.1	Mitte der glatteren Seite	90,9	7,4	1	0,3			1691
	448.14200.1	Mitte der flachen Seite	95,3	0	1,4	0	3,3% Ni, 0,01% Ag		1698
	448.12714.1	Mitte der flacheren Seite	98,7	0	1,2	0	0,1% Ni		1699
	448.14039.1	Mitte der konvexen Seite	98,2	0	1,4	0			1702
	448.15497.1	grösste flache Seite	76,3	20,6	1,1	1,4	Ni, Pb und As		1703
	448.12665.1	flachste Seite	97,1	0	1,4	0	0,9% Ni, 0,2% Ag		1707
	448.12647.1	Mitte	72,4	22,9	0,9	3,7			1715
	448.12647.2	breite Unterseite	72,3	24	1,2	2,5			1718
151,1	448.15292.1	Mitte	87,4	7,8	1,1	1,6	1,7% Ni		1662
151,2	448.14040.1	Schwerpunkt	76,3	20,4	0,9	1,8			1671
151,3	448.15775.1	dickste Stelle	68,3	26,5	0,9	3,2	0,7% Ni		1679
151,4	448.13044.1	dickste Stelle	77,8	19,8	1	0,8	0,5% Ni		1678
151,5	448.14347.1	Fischerhaken, dickste Stelle unten	72,6	19,7	1	6,4			1633
151,6	448.12222.1	Mitte	93,6	4,6	1,1	0,7			1629
151,7	448.14037.1	dickeres Ende, bei einem Drittel	47,8	44,7		6,1	Ni, Pb		1719
151,8	448.15083.1	konvexe Seite	89,8	0	8,1	0	2% Pb	modern?	1674
151,9	448.12716.1	flache Seite	69	26,6	1,1	3,2	0,1% Ni		1706
151,10	448.12715.2	ebenste Seite	72,3	22,8	1	3,6			1710
151,12	448.14632.1	Mitte der konvexen Seite	80,2	0	11,2	0	8,4% Ni		1687
151,13	448.2575.1	Kopf	75,7	18,6	1	4,4			1637
151,15	448.15686.1	dickste Stelle	80,4	17,8	1,1	0,5			1623
151,16	448.2576.1	dickes Ende	59	33,6	0,9	6			1616
151,17	448.12443.1	Verzweigung	72	23,6	1	1,2	1% Ni, As, Sb		1722
152,1	448.12518.1	Nadel, Kopf	56,2	34,8	0,8	6,9	0,7% Ni, 0,6% Pb		1686
152,2	448.12441.1	konvexe Seite	78,2	16,6	1,2	3,8			1606
152,3	448.12516.1	zusammengeschoben	71,7	3,5	9,8	0,5	14,4% Pb		1730
152,4	448.12386.1	Mitte	84,1	13,7	0,9	0,9	0,3% Ni		1694
152,5	448.12460.1	oberstes Viertel, dickste Seite	51,1	30,2	0	17,5			1714
152,6	448.6649.1	Spirale mit Bügel	88,7	8,4	1	0,5	1,2% Ni		1675
152,7	448.321.1	oberes Drittel	81,5	14	1,1	3,1			1653
152,8	448.1199.1	Mitte der konvexen Seite	76,5	18	1	4,1			1682
152,10	448.458.3	dickste (?) Stelle	32,1	44,9		17,2	4,6% Pb, Sb		1723
152,12	448.12284.1	Stelle siehe Bild	74,8	20,6	1,27	1,65	1,2% Pb, 0,4% Ni, As		1738
152,13	448.12469.1	Kopf	72,9	20,8	1,1	5,2			1640
	448.3325.1	Mittelteil	6,3	67,8	0	3,6	21,2% Pb		1619

Anhang 10. Cham-Bachgraben. Bronzeobjekte, Ergebnisse der pXRF-Messungen nach Guhl 2016. Zusammensetzung in Masseprozent.

Objekt	Angelhaken Taf. 149,15 448.4556.1	Dolch Taf. 151,11 448.14544.1	Dolch Taf. 151,14 448.15776.1	Dolch, Niete Taf. 151,14 448.15776.1	Dolchspitze (?) Taf. 152,9 448.2296.5	Dolch Taf. 152,11 448.1161.1	Dolch, Niete Taf. 152,11 448.1161.1	Dolch Taf. 152,12 448.12284.1	Dolch, Niete Taf. 152,12 448.12284.1
Messungen (n)	4	5	5	3	5	1	1	1	1
Alle Angaben in Gewichtsprozent									
Mn ⁵⁵	0,0007 ± 0,0005	0,0010 ± 0,0004	0,0009 ± 0,0001	0,0010 ± 0,0006	0,0007 ± 0,0006				
Fe ⁵⁷	0,11 ± 0,05	0,45 ± 0,12	0,2 ± 0,1	0,3 ± 0,02	0,08 ± 0,03	0,36 ± 0,01	0,29 ± 0,02	0,09 ± 0,02	0,043 ± 0,008
Co ⁵⁹	0,0100 ± 0,0006	0,025 ± 0,002	0,033 ± 0,002	0,003 ± 0,002	0,0216 ± 0,0005	0,0214 ± 0,0007	0,0171 ± 0,0001	0,0584 ± 0,0008	0,0048 ± 0,0002
Ni ⁶⁰	0,177 ± 0,003	0,252 ± 0,013	0,618 ± 0,008	0,11 ± 0,06	0,43 ± 0,04	0,803 ± 0,025	0,184 ± 0,003	0,71 ± 0,02	0,283 ± 0,011
Zn ⁶⁶	0,0008 ± 0,0001	0,0016 ± 0,0002	0,0012 ± 0,0002	< 0,003	0,0019 ± 0,0003	0,00124 ± 0,00005	0,00079 ± 0,00007	0,006 ± 0,001	0,00135 ± 0,00015
As ⁷⁵	0,25 ± 0,01	0,206 ± 0,012	0,66 ± 0,06	0,9 ± 0,7	0,15 ± 0,01	0,49 ± 0,02	0,357 ± 0,004	0,64 ± 0,02	0,22 ± 0,01
Se ⁸²	0,004 ± 0,001	0,0038 ± 0,0003	< 0,006	< 0,006	0,007 ± 0,003	< 0,0035	< 0,01	< 0,012	< 0,015
Ag ¹⁰⁷	0,0110 ± 0,0003	0,0065 ± 0,0008	0,083 ± 0,011	0,040 ± 0,005	0,007 ± 0,001	0,0064 ± 0,0002	0,00669 ± 0,00009	0,071 ± 0,003	0,0143 ± 0,0005
Sb ¹²¹	9,7 ± 1,0	21 ± 2	10,2 ± 1,0	7,4 ± 2,0	3,4 ± 0,7	0,043 ± 0,001	0,159 ± 0,002	10,9 ± 0,4	1,13 ± 0,05
Te ¹²⁸	0,0006 ± 0,0001	< 0,0006	< 0,0007	< 0,001	0,0014 ± 0,0010	0,043 ± 0,001	nicht analysiert	0,37 ± 0,02	0,53 ± 0,02
Te ¹²⁵	nicht analysiert	nicht analysiert	nicht analysiert	nicht analysiert	nicht analysiert	< 0,001	< 0,004	< 0,01	nicht analysiert
Au ¹⁹⁷	0,00019 ± 0,00001	0,00021 ± 0,00006	0,00063 ± 0,00005	< 0,002	0,00020 ± 0,00003	0,00017 ± 0,00001	0,00014 ± 0,00001	0,00044 ± 0,00004	0,0030 ± 0,0001
Pb ²⁰⁸	0,004 ± 0,001	0,0020 ± 0,0003	0,067 ± 0,002	0,02-0,1	0,003 ± 0,001	0,00260 ± 0,00009	0,00455 ± 0,00004	0,022 ± 0,003	0,0047 ± 0,0003
Bi ²⁰⁹	0,0006 ± 0,0002	0,0003 ± 0,0001	0,0031 ± 0,0006	0,0018 ± 0,0005	0,0012 ± 0,0003	0,00062 ± 0,00003	0,000319 ± 0,000007	0,0018 ± 0,0002	0,00035 ± 0,00002
Literatur	Hubert/Wörle 2015	Hubert/Wörle 2016	Hubert/Wörle 2016	Hubert/Wörle 2016	Hubert/Wörle 2016	Hubert/Wörle 2015	Hubert/Wörle 2012	Hubert/Wörle 2012	Hubert/Wörle 2012

Anhang 11. Cham-Bachgraben. Bronzeobjekte, Messergebnisse der LA-ICP-Massenspektrometrie. Elementkonzentrationen in Gewichtsprozent ± Standardabweichung aus der angegebenen Anzahl Messungen. Der Kupferanteil ergibt sich aus der Differenz zwischen der Summe der Gewichtszusammensetzung der Spurenelemente zu 100%.

3 Online-Anhänge zu den Bänden 1 und 2

Online-Anhänge 1–8



DOI: <https://doi.org/10.5281/zenodo.6701500>

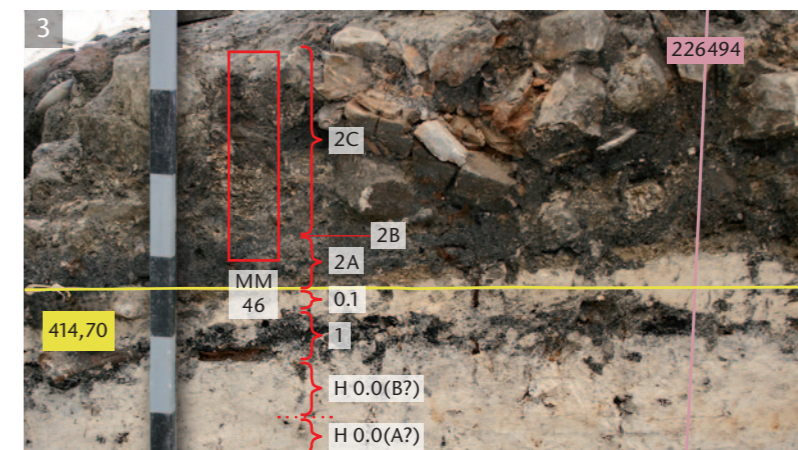
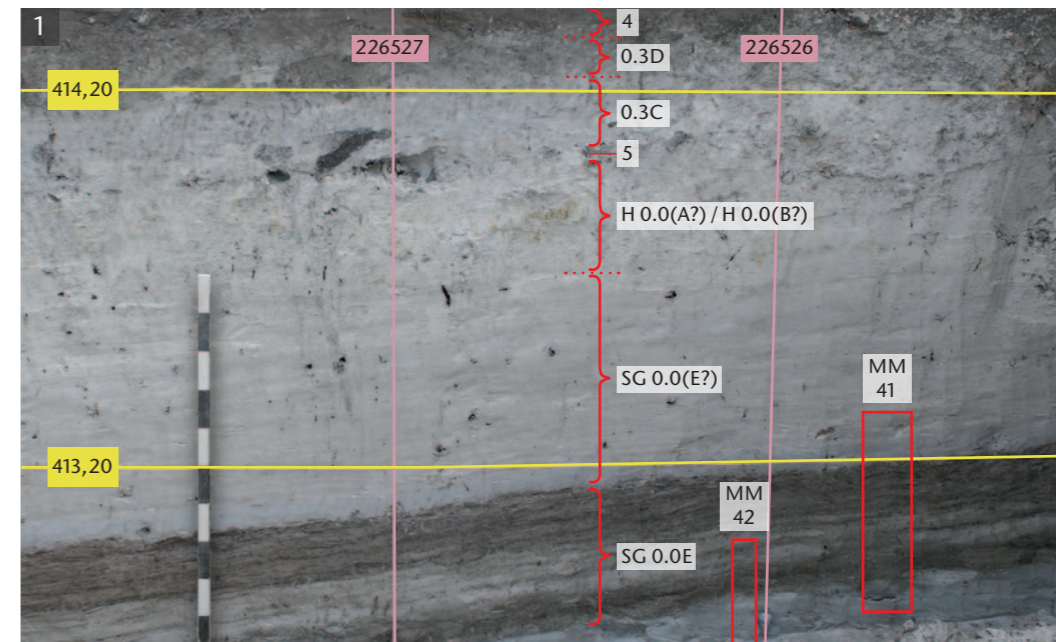
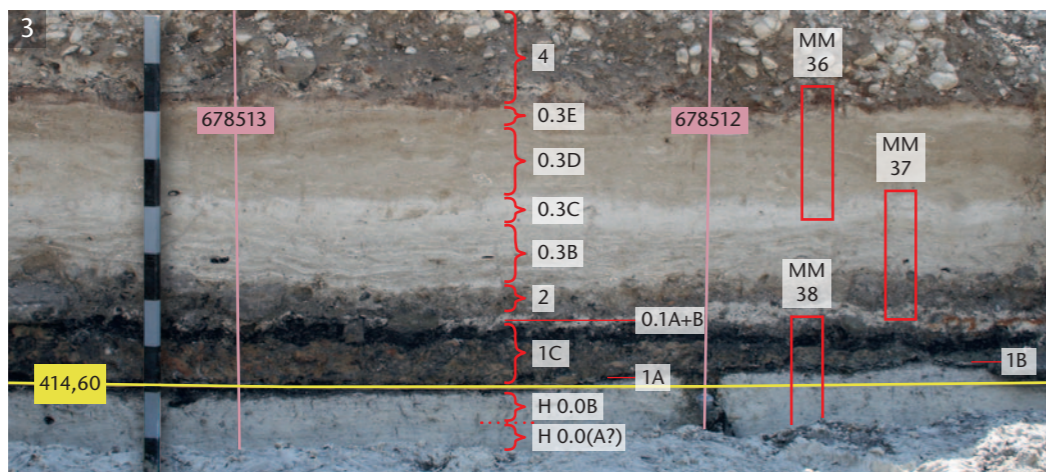
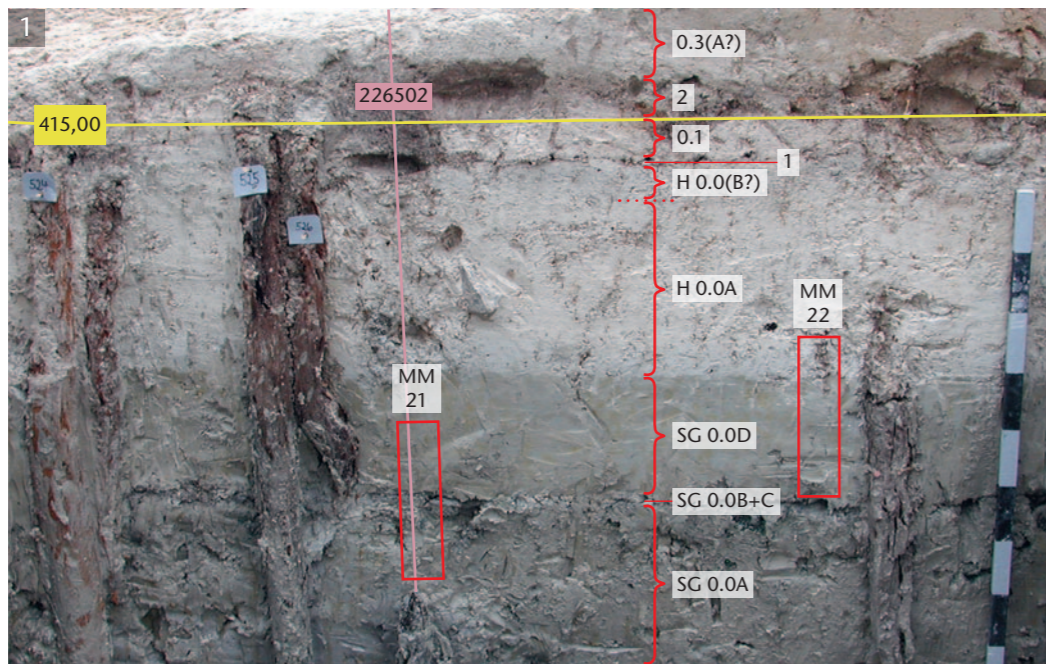
II. Katalog und Tafeln

1 Mikromorphologie

*Kristin Ismail-Meyer,
Christine Pümpin*

Zu Band 1, Kap. III

Tafeln 1–35



Tafel 1 Cham-Bachgraben. Mikromorphologie.

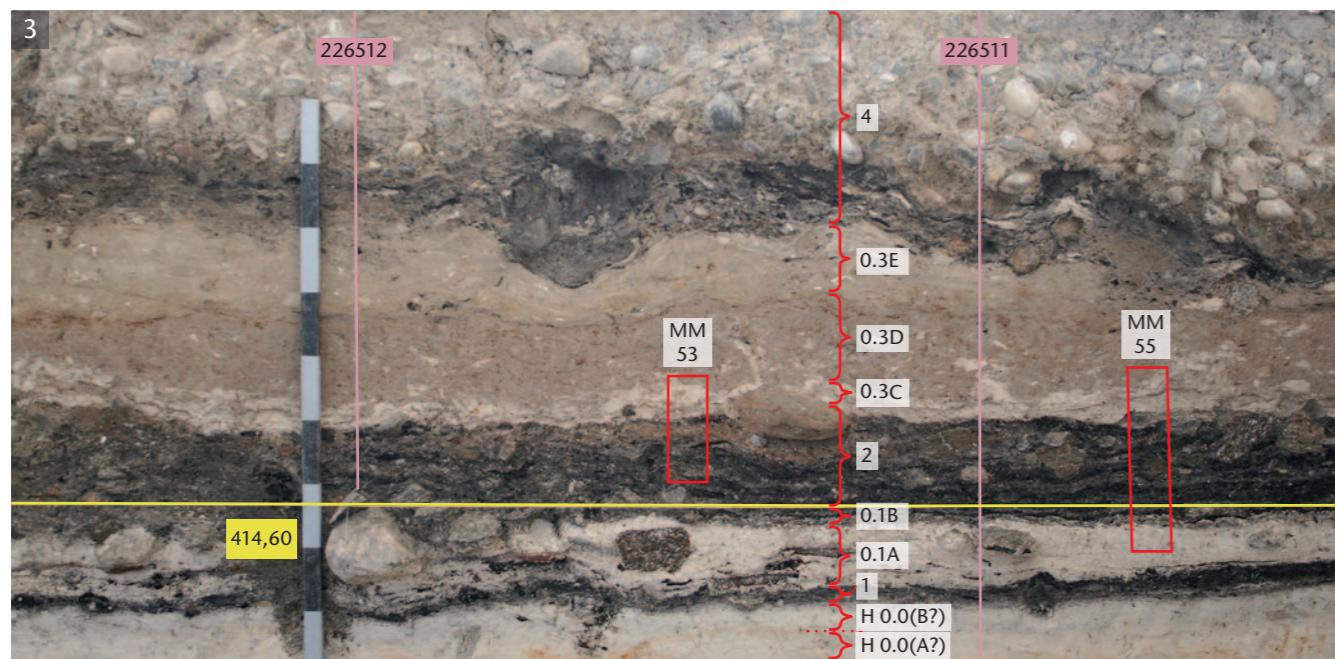
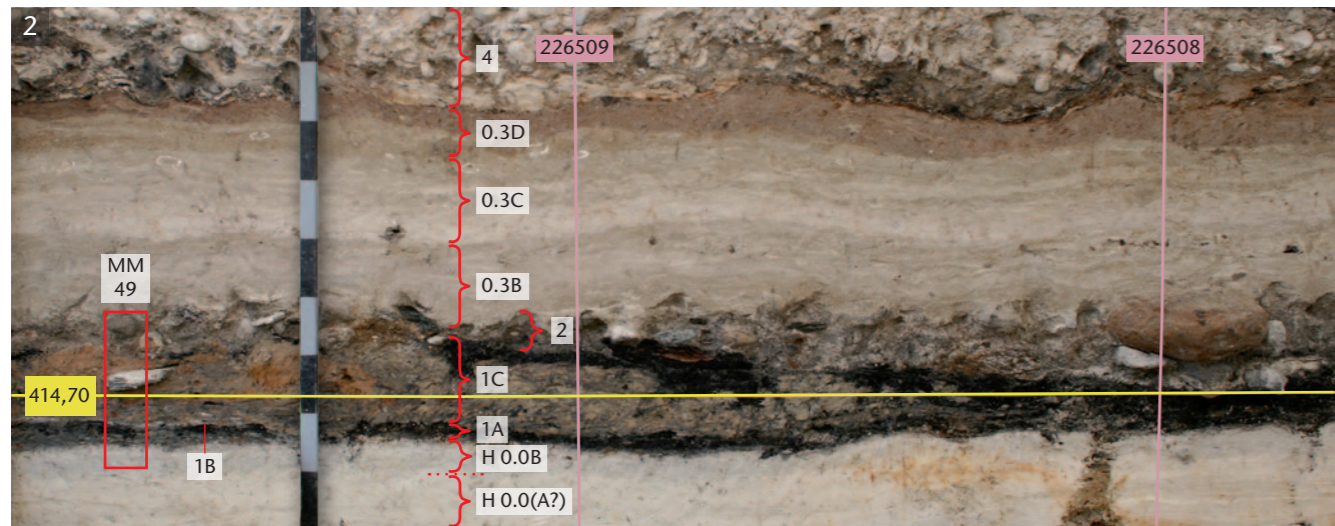
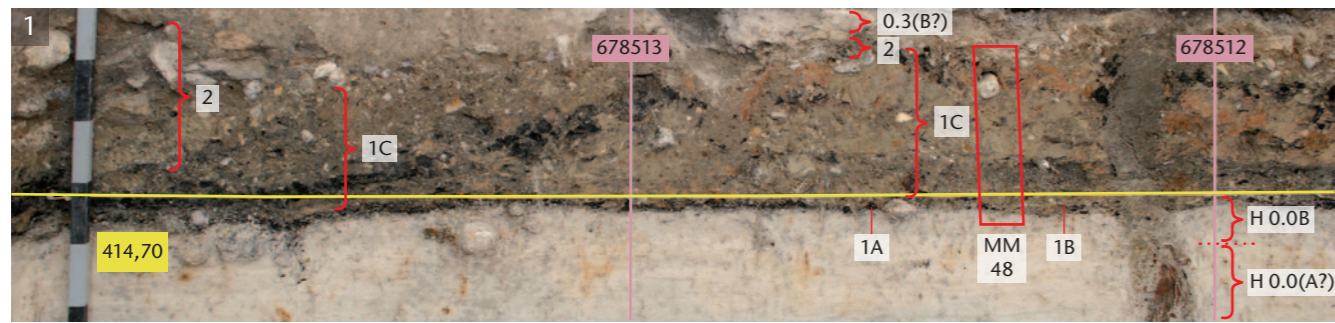
Profile mit eingezeichneten Schichtbezeichnungen und Entnahmestellen von Mikromorphologieproben (MM).

- 1) Grabungsfoto vom 16. September 2009, Ostprofil von Feld 51 auf Achse 678 498, Ausschnitt 226 501–226 502,50;
- 2) Grabungsfoto vom 30. September 2009, Nordprofil von Feld 46 auf Achse 226 493, Ausschnitt 678 506,50–678 509;
- 3) Grabungsfoto vom 30. März 2010, Südprofil von Feld 69 auf Achse 226 510, Ausschnitt 678 511–678 513,50.

Tafel 2 Cham-Bachgraben. Mikromorphologie.

Profile mit eingezeichneten Schichtbezeichnungen und Entnahmestellen von Mikromorphologieproben (MM).

- 1) Grabungsfoto vom 14. April 2010, Ostprofil von Feld 75 auf Achse 678 530, Ausschnitt 226 525–226 528;
- 2) Grabungsfoto vom 30. April 2010, Ostprofil von Feld 85 auf Achse 678 546,50, Ausschnitt 226 482–226 483;
- 3) Grabungsfoto vom 26. Mai 2010, Westprofil von Feld 70 auf Achse 678 514, Ausschnitt 226 493–226 494.



Tafel 3 Cham-Bachgraben. Mikromorphologie.

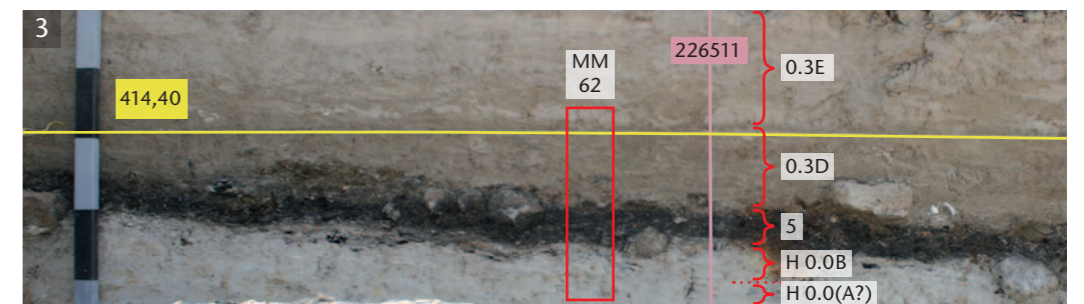
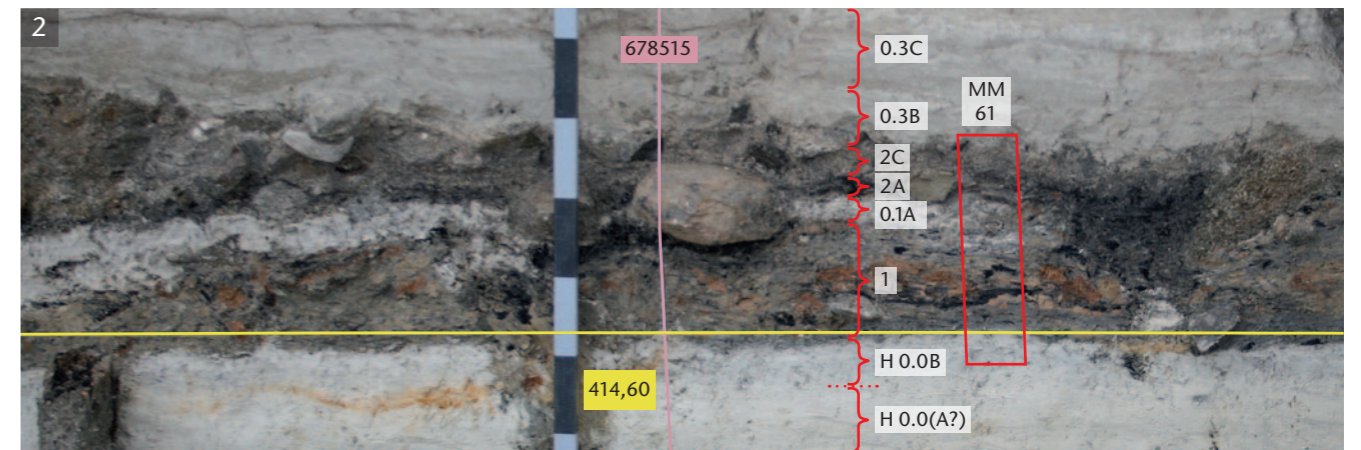
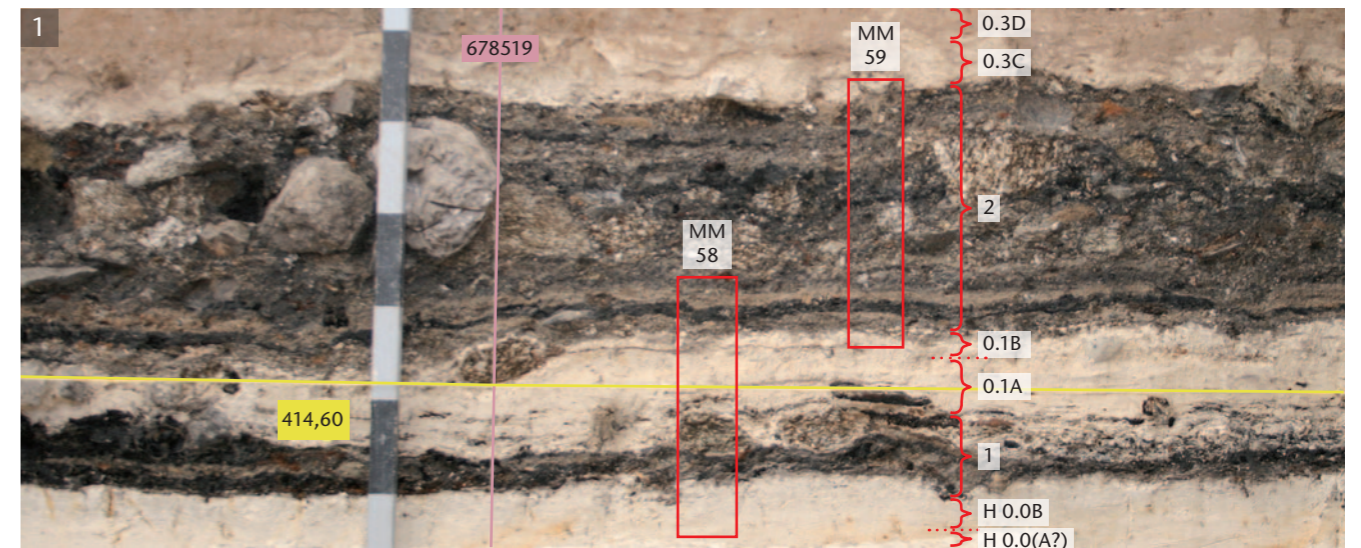
Profile mit eingezeichneten Schichtbezeichnungen und Entnahmestellen von Mikromorphologieproben (MM).

1) Grabungsfoto vom 9. Juli 2010, Südprofil von Feld 98 auf Achse 226 505, Ausschnitt 678 512–678 514;

2) Grabungsfoto vom 9. Juli 2010, Ostprofil von Feld 98 auf Achse 678 514, Ausschnitt 226 508–226 510;

3) Grabungsfoto vom 9. Juli 2010, Ostprofil von Feld 91 auf Achse 678 522, Ausschnitt 226 510,50–226 512,50.

3) Grabungsfoto vom 20. August 2010, Westprofil von Feld 122 auf Achse 678 538, Ausschnitt 226 510–226 511,50;



Tafel 4 Cham-Bachgraben. Mikromorphologie.

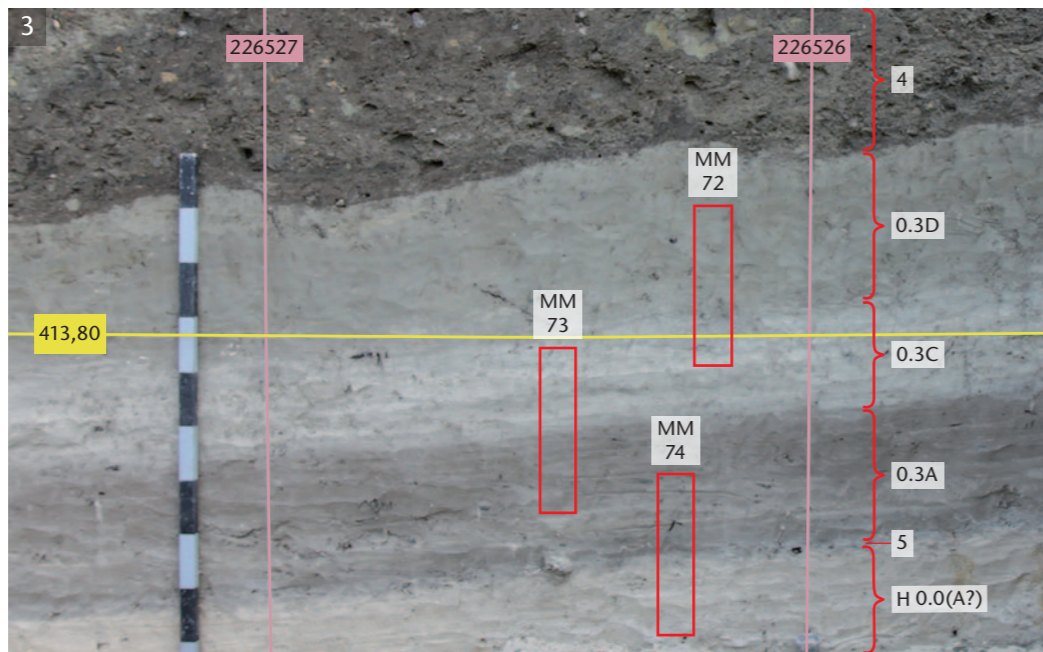
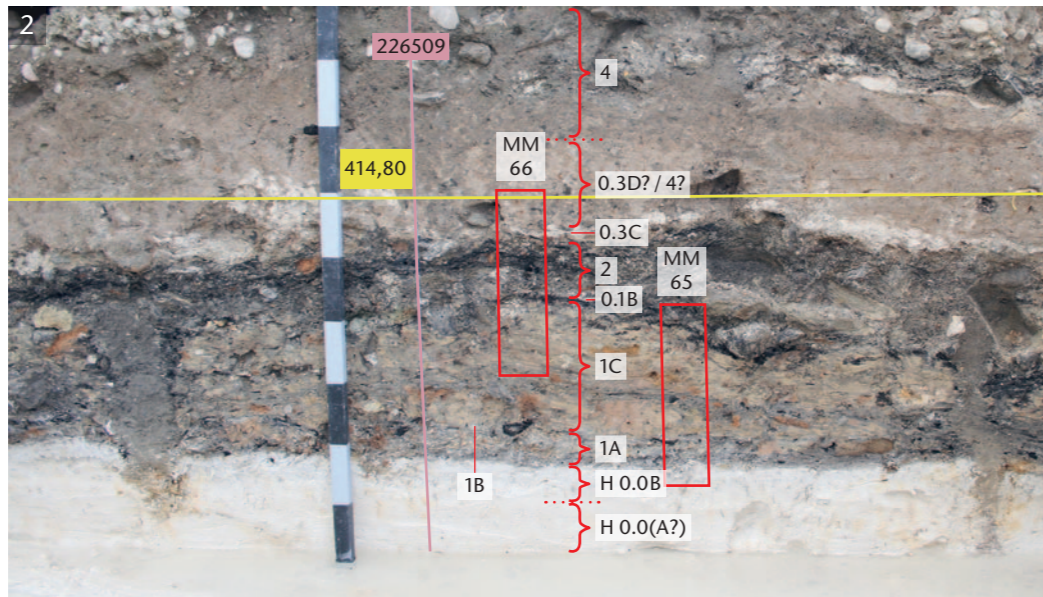
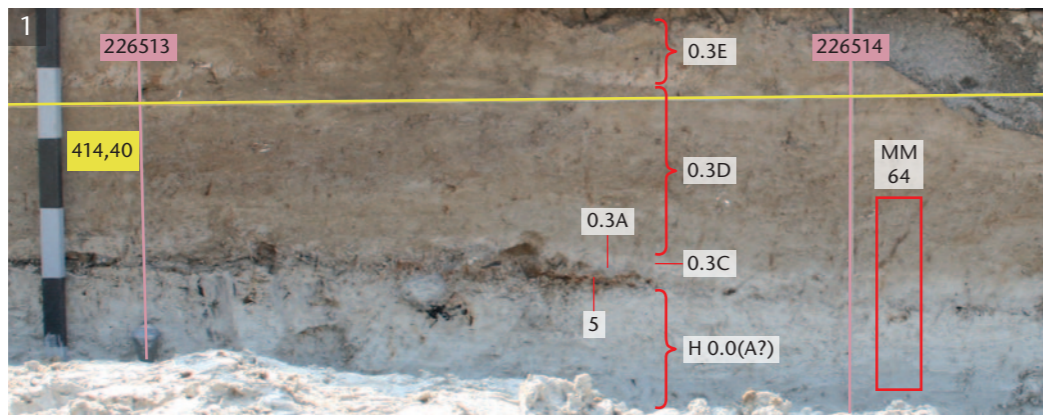
Profile mit eingezeichneten Schichtbezeichnungen und Entnahmestellen von Mikromorphologieproben (MM).

1) Grabungsfoto vom 9. Juli 2010, Südprofil von Feld 91 auf Achse 226 510, Ausschnitt 678 518–678 519,50;

2) Grabungsfoto vom 13. August 2010, Südprofil von Feld 117 auf Achse 226 510, Ausschnitt 678 514–678 516;

3) Grabungsfoto vom 20. August 2010, Westprofil von Feld 122 auf Achse 678 538, Ausschnitt 226 510–226 511,50;

4) Grabungsfoto vom 20. August 2010, Westprofil von Feld 122 auf Achse 678 538, Ausschnitt 226 512–226 513.



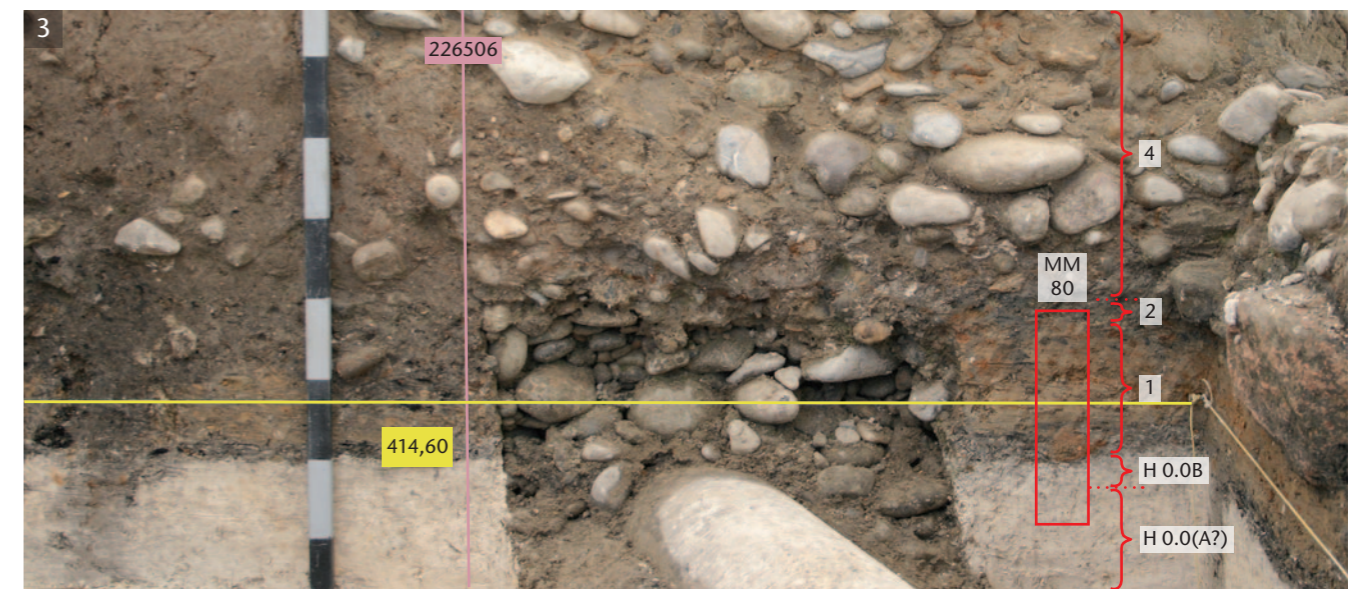
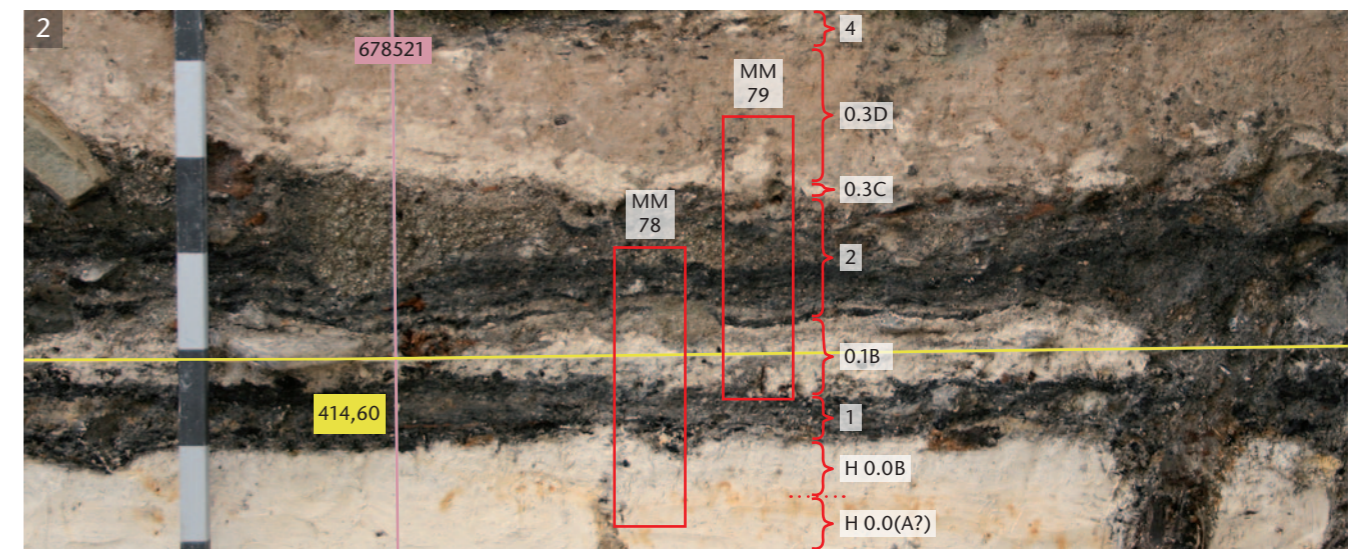
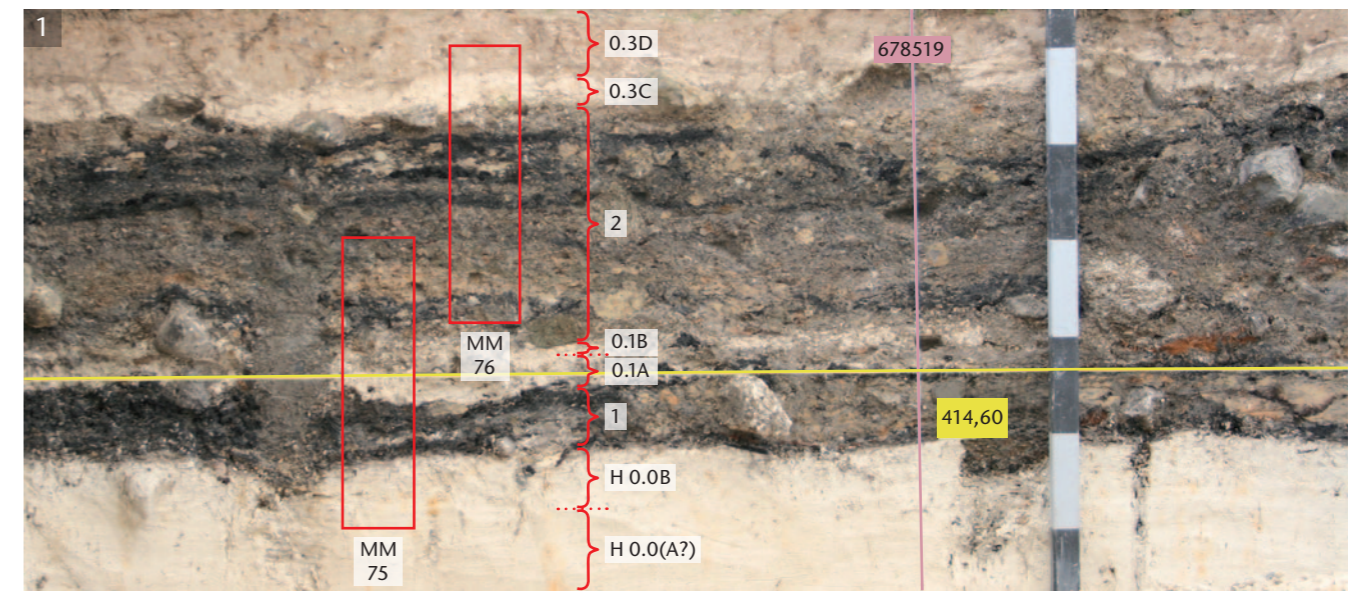
Tafel 5 Cham-Bachgraben. Mikromorphologie.

Profile mit eingezeichneten Schichtbezeichnungen und Entnahmestellen von Mikromorphologieproben (MM).

1) Grabungsfoto vom 20. August 2010, Westprofil von Feld 122 auf Achse 678 538, Ausschnitt 226 513–226 514;

2) Grabungsfoto vom 6. September 2010, Westprofil von Feld 114 auf Achse 678 526, Ausschnitt 226 508,50–226 510;

3) Grabungsfoto vom 6. Oktober 2010, Ostprofil von Feld 137 auf Achse 678 578, Ausschnitt 226 525,50–226 527,50.



Tafel 6 Cham-Bachgraben. Mikromorphologie.

Profile mit eingezeichneten Schichtbezeichnungen und Entnahmestellen von Mikromorphologieproben (MM).

1) Grabungsfoto vom 3. September 2010, Nordprofil von Feld 92 auf Achse 226 510, Ausschnitt 678 518–678 519,50;

2) Grabungsfoto vom 3. September 2010, Nordprofil von Feld 92 auf Achse 226 510, Ausschnitt 678 520,50–678 522;

3) Grabungsfoto vom 3. September 2010, Ostprofil von Feld 92 auf Achse 678 522, Ausschnitt 226 505–226 506,50.

1 Cham-Bachgraben MM 23		Feld 46/Nordprofil		OK: 415,05 m ü. M.		
S.E.	Anschliff	Pos.	Dünnschliffe	M.S.	Fazies	A.S.
0.3		213		0.3a	Rezente Bodenbildung, bioturbiert	0.3
2		215		2b	Rezente Bodenbildung, bioturbiert	2
				Za	Bioturbierter Lehm	
				1e	Bioturbierter Lehm	
				1d	Bioturbierter Lehm	
				1c	Bioturbierter Lehm	1
		821		1b	Bioturbierter Lehm	
1		820		1a	Kiesreiche Schicht	


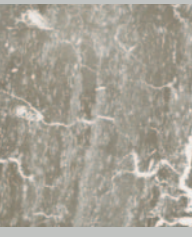

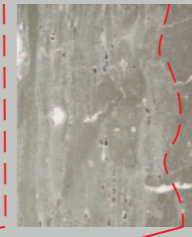

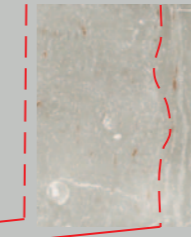


2 Cham-Bachgraben MM 36		Feld 69/Südprofil		OK: 415,25 m ü. M.		
S.E.	Anschliff	Pos.	Dünnschliffe	M.S.	Fazies	A.S.
4		1541		4a	Homogene karbonatische Schicht	4
0.3E		1663		0.3f	Massive Seekreide	
				0.3e	Seekreidehaltige Schicht	
				0.3d	Sand mit Karbonatkörnern	
				0.3c	Seekreidehaltige Schicht	0.3
0.3D		1542				
0.3C		1543		0.3b	Sand mit Karbonatkörnern	
				0.3a	Gebänderte Seekreide	

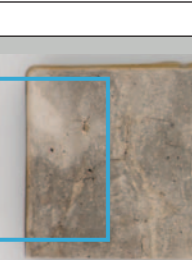
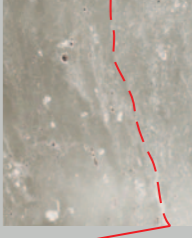

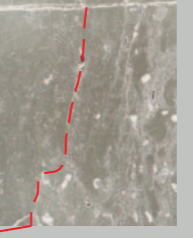
Tafel 8 Cham-Bachgraben. Mikromorphologie.
 Anschliffe und Dünnschliffe von Mikromorphologieproben (MM). 1) MM 23; 2) MM 36.
 S.E.: Schichtereignis; Pos.: Positionsnnummer; M.S.: Mikroschliff; A.S.: archäologische Schicht.

1 Cham-Bachgraben MM 21		Feld 51/Ostprofil		OK: 414,50 m ü. M.		
S.E.	Anschliff	Pos.	Dünnschliffe	M.S.	Fazies	A.S.
SG 0.0D		641		0.0d	Massive Seekreide	
SG 0.0B+C		150		0.0b	Kiesreiche Schicht	0.0
SG 0.0A		642		0.0a	Homogene karbonatische Schicht, tonig	






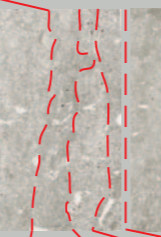
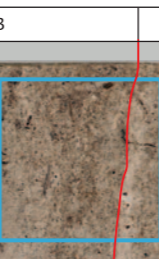



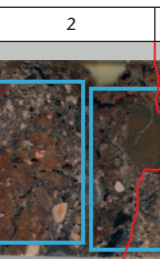


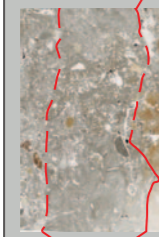
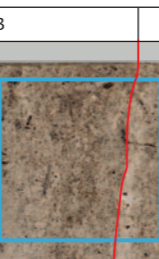



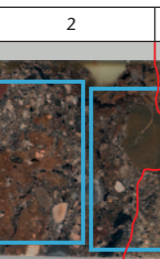


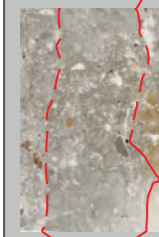
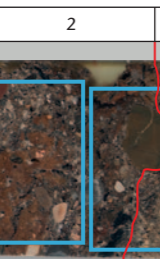


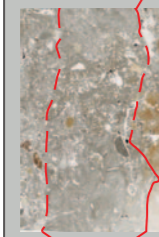

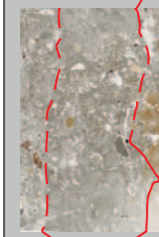

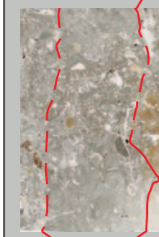

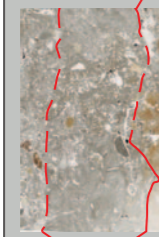

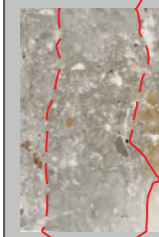
2 Cham-Bachgraben MM 22		Feld 51/Ostprofil		OK: 414,64 m ü. M.		
S.E.	Anschliff	Pos.	Dünnschliffe	M.S.	Fazies	A.S.
H 0.0A		566		0.0b	Massive Seekreide; Onkoidschicht	
SG 0.0D		641		0.0a	Massive Seekreide	0.0












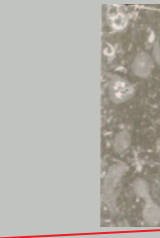
















Tafel 7 Cham-Bachgraben. Mikromorphologie.
 Anschliffe und Dünnschliffe von Mikromorphologieproben (MM). 1) MM 21; 2) MM 22.
 S.E.: Schichtereignis; Pos.: Positionsnnummer; M.S.: Mikroschliff; A.S.: archäologische Schicht.

1 Cham-Bachgraben MM 41		Feld 75/Ostprofil		OK: 413,29 m ü. M.		
S.E.	Anschnitt	Pos.	Dünnschliffe	M.S.	Fazies	A.S.
		1702		0.0e	Gebänderte Seekreide	
		1756		0.0d	Massive Seekreide	
		1757		0.0c	Gebänderte Seekreide	0.0
		1758		0.0a	Lockere Seekreide	

2 Cham-Bachgraben MM 42		Feld 75/Ostprofil		OK: 412,90 m ü. M.		
S.E.	Anschnitt	Pos.	Dünnschliffe	M.S.	Fazies	A.S.
		1757		0.0d	Schwach gebänderte Seekreide	
		1758		0.0c	Seekreide mit organischem Detritus	

Tafel 10 Cham-Bachgraben. Mikromorphologie.
 Anschnitte und Dünnschnitte von Mikromorphologieproben (MM). 1) MM 41; 2) MM 42.
 S.E.: Schichtereignis; Pos.: Positionsnummer; M.S.: Mikroschicht; A.S.: archäologische Schicht.

1 Cham-Bachgraben MM 37		Feld 69/Südpprofil		OK: 415,02 m ü. M.		
S.E.	Anschnitt	Pos.	Dünnschliffe	M.S.	Fazies	A.S.
		1542		0.3i	Sand mit Seekreide	
		1543		0.3k	Schwach gebänderte Seekreide	
		1543		0.3j	Lockere Seekreide; aus-gewaschene Seekreide	
		1543		0.3i	Lockere Seekreide	
		1543		0.3h	Sandige Seekreide	
		1543		0.3g	Schwach gebänderte Seekreide	0.3
		1543		0.3f	Lockere Seekreide; sandige Seekreide	
		1544		0.3e	Lockere Seekreide	
		1544		0.3d	Lockere Seekreide	
		1544		0.3c	Sand mit Seekreide	
		1544		0.3b	Sandige Seekreide	
		1545		0.3a	Sand mit Seekreide	
		1538		2c	Heterogener Lehm; Bioturbierter Lehm	2
		1538		2b	Kiesreiche Schicht	
		1538		2a	Bioturbierter Lehm	
		1545		0.1b	Onkoidschicht, ausgewaschen	
		1545		0.1a	Onkoidschicht, ausgewaschen	0.1

2 Cham-Bachgraben MM 38		Feld 69/Südpprofil		OK: 414,74 m ü. M.		
S.E.	Anschnitt	Pos.	Dünnschliffe	M.S.	Fazies	A.S.
		1545		0.1a	Bioturbierte Seekreide	0.1
		1546		1cI	Kiesreiche Schicht	
		1590		1cE	Bioturbierter Lehm	
		1647		1cD	Holzkohlereiche Schicht	
		1547		1cC	Sandreiche Schicht (mit vielen Lehm-aggregaten)	1c
		1547		1cB	Homogener Lehm	
		1547		1cA	Bioturbierter Lehm	
		1547		1bA	Massive Seekreide	1b
		1547		1aA	Holzkohlereiche Schicht	1a
		1547		0.0e	Seekreide mit organischem Detritus	
		1547		0.0d	Sand mit Seekreide	
		1547		0.0c	Sandige Seekreide	
		1547		0.0b	Sandige Seekreide	
		1547		0.0a	Massive Seekreide	

Tafel 9 Cham-Bachgraben. Mikromorphologie.
 Anschnitte und Dünnschnitte von Mikromorphologieproben (MM). 1) MM 37; 2) MM 38.
 S.E.: Schichtereignis; Pos.: Positionsnummer; M.S.: Mikroschicht; A.S.: archäologische Schicht.

1 Cham-Bachgraben MM 48 **Feld 98/Südpfprofil** **OK: 414,96 m ü. M.**

S.E.	Anschliff	Pos.	Dünnschliffe	M.S.	Fazies	A.S.
2		2476		2a	Kiesreiche Schicht	2
		2858		1Cf	Holzkohlreiche Schicht	
		2565		1Ce	Bioturbierter Lehm	
		2561		1Cd	Sandreiche Schicht (mit vielen Lehmagregaten)	1C
				1Cc	Bioturbierter Lehm	
				1Cb	Holzkohlreiche Schicht	
				1Ca	Bioturbierter Lehm	
				1Ba	Bioturbierte Seekreide	1B
		2889		1Aa	Holzkohlreiche Schicht	1A
		2804				
		2805		0.0a	Bioturbierte Seekreide	0.0

2 Cham-Bachgraben MM 49 **Feld 98/Ostprofil** **OK: 414,85 m ü. M.**

S.E.	Anschliff	Pos.	Dünnschliffe	M.S.	Fazies	A.S.
2		2476		1Ce	Homogener Lehm	
				1Cd	Heterogener Lehm	
				1Cc	Bioturbierter Lehm	1C
				1Cb	Holzkohlreiche Schicht	
				1Ca	Bioturbierter Lehm	
				1Ba	Massive Seekreide	1B
				1Af	Bioturbierte Seekreide	
				1Ae	Holzkohlreiche Schicht	
				1Ad	Bioturbierte Seekreide	
				1Ac	Bioturbierter Lehm	1A
				1Ab	Aschereicher Sand	
				1Aa	Sand mit Seekreide	
				0.0e	Lockere Seekreide	
				0.0d	Massive Seekreide	
				0.0c	Lockere Seekreide	
				0.0b	Massive Seekreide	
				0.0a	Onkoidische Schicht	

Tafel 12 Cham-Bachgraben. Mikromorphologie.
Anschliffe und Dünnschliffe von Mikromorphologieproben (MM). 1) MM 48; 2) MM 49.
S.E.: Schichtereignis; Pos.: Positionsnummer; M.S.: Mikroschliff; A.S.: archäologische Schicht.

1 Cham-Bachgraben MM 43 **Feld 89/Ostprofil** **OK: 414,90 m ü. M.**

S.E.	Anschliff	Pos.	Dünnschliffe	M.S.	Fazies	A.S.
4?		2014		4a	Homogene karbonatische Schicht	4?
				0.3d	Massive Seekreide	
				0.3c	Massive Seekreide	
				0.3b	Sandige Seekreide	0.3?
		2015		0.3a	Homogene karbonatische Schicht	
				0.3a	Homogene karbonatische Schicht	
		1907		3b	Homogene karbonatische Schicht	3?
				3a	Homogene karbonatische Schicht	
				0.2d	Homogene karbonatische Schicht	
				0.2c	Sandige Seekreide	0.2?
				0.2b	Massive Seekreide	
				0.2a	Massive Seekreide	
				2b	Ausgewaschene Seekreide	
				2a	Seekreide mit Kulturschichtmaterial	2?
		2017				
		1933		0.0a	Massive Seekreide	0.0?

2 Cham-Bachgraben MM 46 **Feld 70/Westprofil** **OK: 415,04 m ü. M.**

S.E.	Anschliff	Pos.	Dünnschliffe	M.S.	Fazies	A.S.
2A		1909		2Aa	Holzkohlreiche Schicht	
				2Ab	Sand mit Seekreide?	2A
				2Ac	Holzkohlreiche Schicht	
				2Ad	Kiesreiche Schicht	
				2Ba	Kiesreiche Schicht	2B
				2Ca	Kiesreiche Schicht, zerfallener Stein	
		1562				
				2C		2C

Tafel 11 Cham-Bachgraben. Mikromorphologie.
Anschliffe und Dünnschliffe von Mikromorphologieproben (MM). 1) MM 43; 2) MM 46.
S.E.: Schichtereignis; Pos.: Positionsnummer; M.S.: Mikroschliff; A.S.: archäologische Schicht.

1 Cham-Bachgraben MM 58 **OK: 414,74 m ü. M.**

Feld 91/Südpprofil

S.E.	Anschliff	Pos.	Dünnschliffe	M.S.	Fazies	A.S.
2		2359		2k	Sandreiche Schicht	2
				2l	Detritusreiche Schicht	
				2i	Aschereicher Sand	
				2h	Aschereicher Sand	
				2g	Aschereicher Sand	
				2f	Sandreiche Schicht	
				2e	Holzkohlereiche Schicht	
				2d	Kiesreiche Schicht	
				2c	Holzkohlereiche Schicht	
				2b	Sand mit Karbonat-körnern	
				2a	Seekreide mit Kulturschichtmaterial	
1		2502		0.1a	Bioturbierte Seekreide	1
				1i	Detritusreiche Schicht	
				1h	Kiesreiche Schicht	
				1g	Holzkohlereiche Schicht	
				1f	Sand mit Seekreide	
				1e	Holzkohlereiche Schicht	
				1d	Seekreidehaltige Schicht	
				1c	Sand mit Seekreide	
				1b	Sand mit Seekreide	
				1a	Seekreide mit organischem Detritus	
				0.0a	Massive Seekreide	
H 0.0B		2987				0.0

2 Cham-Bachgraben MM 59 **OK: 414,94 m ü. M.**

Feld 91/Südpprofil

S.E.	Anschliff	Pos.	Dünnschliffe	M.S.	Fazies	A.S.
0.3C		2244		0.3a	Sandige Seekreide	0.3
				2l	Kiesreiche Schicht	
				2i	Kiesreiche Schicht	
				2k	Holzkohlereiche Schicht	
				2j	Kiesreiche Schicht	
				2i	Kiesreiche Schicht	
				2h	Kiesreiche Schicht	
				2g	Heterogener Lehm	
				2f	Holzkohlereiche Schicht	
				2e	Holzkohlereiche Schicht	
				2d	Holzkohlereiche Schicht	
2		2359		2i	Sandreiche Schicht	2
				2h	Heterogener Lehm	
				2g	Holzkohlereiche Schicht	
				2f	Holzkohlereiche Schicht	
				2e	Sand mit Seekreide?	
				2d	Holzkohlereiche Schicht	
				2c	Holzkohlereiche Schicht	
				2b	Onkoidschicht	
				2a	Sand mit Seekreide	
				0.1b	Seekreidehaltige Schicht	
				0.1a	Ausgewaschene Seekreide	
0.3D		2245		0.3f	Ausgewaschene Seekreide	0.3
				0.3e	Seekreidehaltige Schicht	
				0.3d	Massive Seekreide	
				0.3c	Sandreiche Schicht	
				0.3b	Sandige Seekreide	
				0.3a	Seekreidehaltige Schicht	
				2q	Stein	
				2p	Sandreiche Schicht	
				2o	Holzkohlereiche Schicht	
				2n	Sandreiche Schicht	
				2m	Holzkohlereiche Schicht	
2l	Sandreiche Schicht					
2k	Knochenreiche Schicht mit Stein					
2j	Sandreiche Schicht					
2i	Heterogener Lehm					
2h	Holzkohlereiche Schicht					
2g	Holzkohlereiche Schicht					
2f	Holzkohlereiche Schicht					
2e	Sand mit Seekreide?					
2d	Holzkohlereiche Schicht					
2c	Holzkohlereiche Schicht					
2b	Onkoidschicht					
2a	Sand mit Seekreide					
0.1b	Seekreidehaltige Schicht					
0.1a	Ausgewaschene Seekreide					
0.3D		2244		0.3f	Ausgewaschene Seekreide	0.3
				0.3e	Seekreidehaltige Schicht	
				0.3d	Massive Seekreide	
				0.3c	Sandreiche Schicht	
				0.3b	Sandige Seekreide	
				0.3a	Seekreidehaltige Schicht	
				2q	Stein	
				2p	Sandreiche Schicht	
				2o	Holzkohlereiche Schicht	
				2n	Sandreiche Schicht	
				2m	Holzkohlereiche Schicht	
2l	Sandreiche Schicht					
2k	Knochenreiche Schicht mit Stein					
2j	Sandreiche Schicht					
2i	Heterogener Lehm					
2h	Holzkohlereiche Schicht					
2g	Holzkohlereiche Schicht					
2f	Holzkohlereiche Schicht					
2e	Sand mit Seekreide?					
2d	Holzkohlereiche Schicht					
2c	Holzkohlereiche Schicht					
2b	Onkoidschicht					
2a	Sand mit Seekreide					
0.1b	Seekreidehaltige Schicht					
0.1a	Ausgewaschene Seekreide					

Tafel 14 Cham-Bachgraben. Mikromorphologie.
 Anschliffe und Dünnschliffe von Mikromorphologieproben (MM). 1) MM 58; 2) MM 59.
 S.E.: Schichtereignis; Pos.: Positionsnnummer; M.S.: Mikroschicht; A.S.: archäologische Schicht.

1 Cham-Bachgraben MM 53 **OK: 414,80 m ü. M.**

Feld 91/Ostprofil

S.E.	Anschliff	Pos.	Dünnschliffe	M.S.	Fazies	A.S.
2		2359		0.3e	Massive Seekreide	2
				0.3d	Sand mit Seekreide	
				0.3c	Massive Seekreide	
				0.3b	Sand mit Seekreide	
				0.3a	Sandige Seekreide	
				2j	Kiesreiche Schicht	
				2i	Heterogener Lehm	
				2h	Kiesreiche Schicht	
				2g	Sandreiche Schicht	
				2f	Holzkohlereiche Schicht	
				2e	Sandreiche Schicht	
2d	Detritusreiche Schicht					
2c	Holzkohlereiche Schicht					
2b	Heterogener Lehm					
2a	Holzkohlereiche Schicht					
0.3D		2244		0.3e	Massive Seekreide	0.3
				0.3d	Sand mit Seekreide	
				0.3c	Massive Seekreide	
				0.3b	Sand mit Seekreide	
				0.3a	Sandige Seekreide	
				2j	Kiesreiche Schicht	
				2i	Heterogener Lehm	
				2h	Kiesreiche Schicht	
				2g	Sandreiche Schicht	
				2f	Holzkohlereiche Schicht	
				2e	Sandreiche Schicht	
2d	Detritusreiche Schicht					
2c	Holzkohlereiche Schicht					
2b	Heterogener Lehm					
2a	Holzkohlereiche Schicht					
0.3D		2245		0.3e	Massive Seekreide	0.3
				0.3d	Sand mit Seekreide	
				0.3c	Massive Seekreide	
				0.3b	Sand mit Seekreide	
				0.3a	Sandige Seekreide	
				2j	Kiesreiche Schicht	
				2i	Heterogener Lehm	
				2h	Kiesreiche Schicht	
				2g	Sandreiche Schicht	
				2f	Holzkohlereiche Schicht	
				2e	Sandreiche Schicht	
2d	Detritusreiche Schicht					
2c	Holzkohlereiche Schicht					
2b	Heterogener Lehm					
2a	Holzkohlereiche Schicht					

2 Cham-Bachgraben MM 55 **OK: 414,81 m ü. M.**

Feld 91/Ostprofil

S.E.	Anschliff	Pos.	Dünnschliffe	M.S.	Fazies	A.S.
0.3D		2244		0.3f	Ausgewaschene Seekreide	0.3
				0.3e	Seekreidehaltige Schicht	
				0.3d	Massive Seekreide	
				0.3c	Sandreiche Schicht	
				0.3b	Sandige Seekreide	
				0.3a	Seekreidehaltige Schicht	
				2q	Stein	
				2p	Sandreiche Schicht	
				2o	Holzkohlereiche Schicht	
				2n	Sandreiche Schicht	
				2m	Holzkohlereiche Schicht	
2l	Sandreiche Schicht					
2k	Knochenreiche Schicht mit Stein					
2j	Sandreiche Schicht					
2i	Heterogener Lehm					
2h	Holzkohlereiche Schicht					
2g	Holzkohlereiche Schicht					
2f	Holzkohlereiche Schicht					
2e	Sand mit Seekreide?					
2d	Holzkohlereiche Schicht					
2c	Holzkohlereiche Schicht					
2b	Onkoidschicht					
2a	Sand mit Seekreide					
0.1b	Seekreidehaltige Schicht					
0.1a	Ausgewaschene Seekreide					
0.3C		2245		0.3f	Ausgewaschene Seekreide	0.3
				0.3e	Seekreidehaltige Schicht	
				0.3d	Massive Seekreide	
				0.3c	Sandreiche Schicht	
				0.3b	Sandige Seekreide	
				0.3a	Seekreidehaltige Schicht	
				2q	Stein	
				2p	Sandreiche Schicht	
				2o	Holzkohlereiche Schicht	
				2n	Sandreiche Schicht	
				2m	Holzkohlereiche Schicht	
2l	Sandreiche Schicht					
2k	Knochenreiche Schicht mit Stein					
2j	Sandreiche Schicht					
2i	Heterogener Lehm					
2h	Holzkohlereiche Schicht					
2g	Holzkohlereiche Schicht					
2f	Holzkohlereiche Schicht					
2e	Sand mit Seekreide?					
2d	Holzkohlereiche Schicht					
2c	Holzkohlereiche Schicht					
2b	Onkoidschicht					
2a	Sand mit Seekreide					
0.1b	Seekreidehaltige Schicht					
0.1a	Ausgewaschene Seekreide					
0.3D		2244		0.3f	Ausgewaschene Seekreide	0.3
				0.3e	Seekreidehaltige Schicht	
				0.3d	Massive Seekreide	
				0.3c	Sandreiche Schicht	
				0.3b	Sandige Seekreide	
				0.3a	Seekreidehaltige Schicht	
				2q	Stein	
				2p	Sandreiche Schicht	
				2o	Holzkohlereiche Schicht	
				2n	Sandreiche Schicht	
				2m	Holzkohlereiche Schicht	
2l	Sandreiche Schicht					
2k	Knochenreiche Schicht mit Stein					
2j	Sandreiche Schicht					
2i	Heterogener Lehm					
2h	Holzkohlereiche Schicht					
2g	Holzkohlereiche Schicht					
2f	Holzkohlereiche Schicht					
2e	Sand mit Seekreide?					
2d	Holzkohlereiche Schicht					
2c	Holzkohlereiche Schicht					
2b	Onkoidschicht					
2a	Sand mit Seekreide					
0.1b	Seekreidehaltige Schicht					
0.1a	Ausgewaschene Seekreide					

Tafel 13 Cham-Bachgraben. Mikromorphologie.
 Anschliffe und Dünnschliffe von Mikromorphologieproben (MM). 1) MM 53; 2) MM 55.
 S.E.: Schichtereignis; Pos.: Positionsnnummer; M.S.: Mikroschicht; A.S.: archäologische Schicht.

1 Cham-Bachgraben MM 63		Feld 122/Westprofil		OK: 414,30 m ü. M.		
S.E.	Anschliff	Pos.	Dünnschliffe	M.S.	Fazies	A.S.
0.3D		3587		0.3a	Sandige Seekreide	0.3
0.3C		3586		5c	Sand mit Karbonat-körnern	5
5		3539		5b	Sand mit Karbonat-körnern	
H 0.0(A?)		3585		0.0d	Onkoidschicht, ausgewaschen	0.0
				0.0c	Seekreidehaltige Schicht	
				0.0b	Ausgewaschene Seekreide	
				0.0a	Massive Seekreide	

2 Cham-Bachgraben MM 64		Feld 122/Westprofil		OK: 414,25 m ü. M.		
S.E.	Anschliff	Pos.	Dünnschliffe	M.S.	Fazies	A.S.
0.3D		3587		0.3d	Sandige Seekreide	0.3
0.3C		3586		0.3b	Gebänderte Seekreide	
5		3539		0.3a	Massive Seekreide	5
H 0.0(A?)		3585		5a	Onkoidschicht?	
				0.0a	Massive Seekreide	

Tafel 16 Cham-Bachgraben. Mikromorphologie.
 Anschnitte und Dünnschnitte von Mikromorphologieproben (MM). 1) MM 63; 2) MM 64.
 S.E.: Schichtereignis; Pos.: Positionsnummer; M.S.: Mikroschicht; A.S.: archäologische Schicht.

1 Cham-Bachgraben MM 61		Feld 117/Südprofil		OK: 414,88 m ü. M.		
S.E.	Anschliff	Pos.	Dünnschliffe	M.S.	Fazies	A.S.
0.3B		3165		0.3a	Sand mit Seekreide	0.3
2C		3164		2Cb	Sand mit Seekreide	2C
2A		3279		2Ca	Kiesreiche Schicht	
0.1A		3300		2Ac	Holzkohlereiche Schicht	2A
				2Ab	Sand mit Seekreide	
				0.1a	Massive Seekreide	0.1
				1n	Bioturbierter Lehm	
				1m	Seekreide mit Kulturschichtmaterial	1
				1l	Seekreide mit Kulturschichtmaterial	
				1k	Aschereiche Schicht	1
				1j	Aschereiche Schicht	
				1i	Bioturbierter Lehm	1
				1h	Holzkohlereiche Schicht	
				1g	Knochenreiche Schicht	1
				1f	Holzkohlereiche Schicht	
				1e	Homogener Lehm	1
				1d	Holzkohlereiche Schicht	
				1c	Seekreide mit Kulturschichtmaterial	1
				1b	Heterogener Lehm	
				1a	Seekreide mit Kulturschichtmaterial	0.0
H 0.0B		3292		0.0a	Massive Seekreide	

2 Cham-Bachgraben MM 62		Feld 122/Westprofil		OK: 414,46 m ü. M.		
S.E.	Anschliff	Pos.	Dünnschliffe	M.S.	Fazies	A.S.
0.3E		3588		0.3k	Sand mit Karbonat-körnern	0.3
0.3D		3587		0.3j	Massive Seekreide	
				0.3i	Massive Seekreide	0.3
				0.3h	Massive Seekreide	
				0.3g	Massive Seekreide	0.3
				0.3f	Sand mit Karbonat-körnern	
				0.3e	Homogene karbonatische Schicht	0.3
				0.3d	Sand mit Karbonat-körnern	
				0.3c	Ausgewaschene Seekreide	0.3
				0.3b	Massive Seekreide	
				0.3a	Sand mit Karbonat-körnern	5
				5d	Kiesreiche Schicht	
				5c	Holzkohlereiche Schicht	5
				5b	Sandreiche Schicht	
				5a	Holzkohlereiche	5
				0.0e	Seekreide mit Kulturschichtmaterial	
				0.0d	Massive Seekreide	0.0
				0.0c	Seekreide mit Kulturschichtmaterial	
				0.0b	Ausgewaschene Seekreide	0.0
H 0.0(A?)		3585		0.0a	Onkoidschicht	

Tafel 15 Cham-Bachgraben. Mikromorphologie.
 Anschnitte und Dünnschnitte von Mikromorphologieproben (MM). 1) MM 61; 2) MM 62.
 S.E.: Schichtereignis; Pos.: Positionsnummer; M.S.: Mikroschicht; A.S.: archäologische Schicht.

S.E.	Anschliff	Pos.	Dünnschliffe	M.S.	Fazies	A.S.
1 Cham-Bachgraben MM 72		3853		0.3C	0.3c	Homogene karbonatische Schicht
				3854	0.3b	Sand mit Karbonatkörnern
				3855	0.3d	Homogene karbonatische Schicht
				3853	0.3a	Homogene karbonatische Schicht
OK: 413,02 m ü. M.						

S.E.	Anschliff	Pos.	Dünnschliffe	M.S.	Fazies	A.S.
2 Cham-Bachgraben MM 73		3852		0.3A	0.3f	Lockere Seekreide
				0.3C	0.3d	Lockere Seekreide
				0.3C	0.3e	Massive Seekreide
				0.3C	0.3c	Massive Seekreide
				0.3C	0.3b	Massive Seekreide
				0.3C	0.3a	Massive Seekreide
OK: 412,78 m ü. M.						

Tafel 18 Cham-Bachgraben. Mikromorphologie.

Anschliffe und Dünnschliffe von Mikromorphologieproben (MM). 1) MM 72; 2) MM 73.

S.E.: Schichtereignis; Pos.: Positionsnummer; M.S.: Mikroschicht; A.S.: archäologische Schicht.

S.E.	Anschliff	Pos.	Dünnschliffe	M.S.	Fazies	A.S.
1 Cham-Bachgraben MM 65		3284		2	Zb	Kiesreiche Schicht
				3285	Za	Holzkohlereiche Schicht
				3286	0.1b	Sand mit Seekreide? Ohkoxide
				3489	0.1a	Sand mit Karbonatkörnern
				3598	1Cf	Holzkohlereiche Schicht
				3622	1Ce	Homogener Lehm
				3629	1Cd	Bioturbierter Lehm
				3628	1Cb	Bioturbierter Lehm
				3628	1Ca	Homogener Lehm
				3628	1Cb	Homogener Lehm
				3628	1Cb	Homogener Lehm
				3628	1Cb	Homogener Lehm
				3628	1Cb	Homogener Lehm
				3628	1Cb	Homogener Lehm
				3628	1Cb	Homogener Lehm
OK: 414,64 m ü. M.						

S.E.	Anschliff	Pos.	Dünnschliffe	M.S.	Fazies	A.S.
2 Cham-Bachgraben MM 66		3107		0.3D?/4?	4a	Seekreidehaltige Schicht
				3217	0.3b	Sandige Seekreide
				3218	0.3a	Kiesreiche Schicht
				3219	2c	Holzkohlereiche Schicht
				3284	2b	Kiesreiche Schicht
				3285	2a	Holzkohlereiche Schicht
				3286	0.1a	Aschereiche Schicht
				3489	0.1a	Aschereiche Schicht
				3489	1Cb	Holzkohlereiche Schicht
				3489	1Ca	Heterogener Lehm
OK: 414,82 m ü. M.						

Tafel 17 Cham-Bachgraben. Mikromorphologie.

Anschliffe und Dünnschliffe von Mikromorphologieproben (MM). 1) MM 65; 2) MM 66.

S.E.: Schichtereignis; Pos.: Positionsnummer; M.S.: Mikroschicht; A.S.: archäologische Schicht.

1 Cham-Bachgraben MM 76 **Field 92/Nordprofil** **OK: 414,95 m ü. M.**

S.E.	Anschliff	Pos.	Dünnschliffe	M.S.	Fazies	A.S.
2		2248		0.3e	Massive Seekreide	2
		2248		0.3d	Sandreiche Schicht	
		2264		0.3c	Sandreiche Schicht	
		2264		0.3b	Ausgewaschene Seekreide	
		2264		0.3a	Ausgewaschene Seekreide	
		2249		2p	Sandreiche Schicht	
		2323		2n / 2o	Holzkohlereiche Schicht, heterogener Lehm	
		2368		2m	Homogener Lehm	
		2361		2l	Holzkohlereiche Schicht	
		2361		2k	Sandreiche Schicht	
2338		2j	Holzkohlereiche Schicht			
3210		2d	Sandreiche Schicht			
3149		2c	Seekreidehaltige Schicht			
3149		2b	Homogener Lehm			
3148		2a	Holzkohlereiche Schicht, mit Stein			

2 Cham-Bachgraben MM 78 **Field 92/Nordprofil** **OK: 414,71 m ü. M.**

S.E.	Anschliff	Pos.	Dünnschliffe	M.S.	Fazies	A.S.
2		2360		2i	Kiesreiche Schicht	2
		2361		2h	Holzkohlereiche Schicht	
		2587		2g	Aschereicher Sand	
		3930		2f	Holzkohlereiche Schicht	
		3210		2e	Aschereicher Sand	
		3149		2d	Holzkohlereiche Schicht	
		3350		2c	Onkoidschicht	
		3351		2a	Sandreiche Schicht	
		3211		0.1d	Onkoidschicht	
		3467		0.1b	Sand mit Seekreide	
		3541		0.1a	Onkoidschicht	
		3565		1g	Kiesreiche Schicht	
		3566		1f	Holzkohlereiche Schicht	
		3566		1e	Holzkohlereiche Schicht	
		3566		1d	Bioturrierter Lehm	
3566		1c	Kiesreiche Schicht			
3566		1b	Holzkohlereiche Schicht			
3566		1a	Lockere Seekreide			
3566		0.0a	Massive Seekreide			

Tafel 20 Cham-Bachgraben. Mikromorphologie.
Anschliffe und Dünnschliffe von Mikromorphologieproben (MM). 1) MM 76; 2) MM 78.
S.E.: Schichtereignis; Pos.: Positionsnnummer; M.S.: Mikroschicht; A.S.: archäologische Schicht.

1 Cham-Bachgraben MM 74 **Field 137/Ostprofil** **OK: 412,78 m ü. M.**

S.E.	Anschliff	Pos.	Dünnschliffe	M.S.	Fazies	A.S.
5		3852		0.3f	Lockere Seekreide	5
		3852		0.3e	Massive Seekreide	
		3852		0.3d	Lockere Seekreide	
		3852		0.3c	Massive Seekreide	
		3852		0.3b	Massive Seekreide	
		3839		0.3a	Lockere Seekreide	
		3839		5d	Sandige Seekreide	
		3839		5c	Sandige Seekreide	
		3839		5b	Sandige Seekreide	
		3839		5a	Sandige Seekreide	
3851		0.0a	Lockere Seekreide			

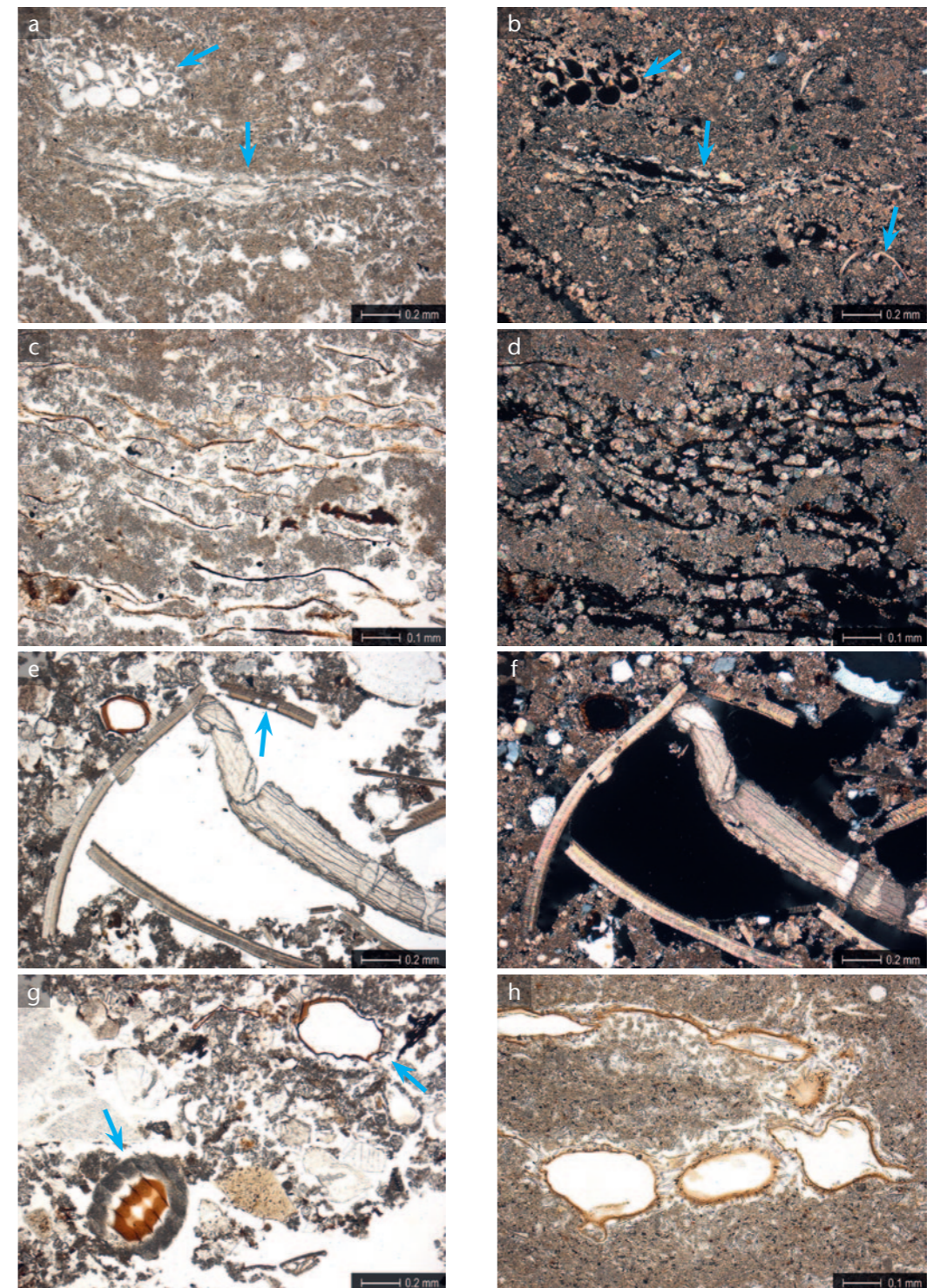
2 Cham-Bachgraben MM 75 **Field 92/Nordprofil** **OK: 414,75 m ü. M.**

S.E.	Anschliff	Pos.	Dünnschliffe	M.S.	Fazies	A.S.
2		2587		2h	Bioturrierter Lehm	2
		2338		2g	Heterogener Lehm?	
		3149		2f	Sandreiche Schicht	
		3210		2e	Holzkohlereiche Schicht	
		3148		2d	Heterogener Lehm	
		3148		2c	Holzkohlereiche Schicht	
		3350		2b	Lockere Seekreide mit Lehmaggregat	
		3350		2a	Lockere Seekreide	
		3351		0.1a	Lockere Seekreide	
		3211		1h	Holzkohlereiche Schicht	
		3211		1g	Holzkohlereiche Schicht	
		3211		1f	Holzkohlereiche Schicht	
		3211		1e	Sandreiche Schicht	
		3467		1d	Holzkohlereiche Schicht	
		3565		1c	Heterogener Lehm	
3565		1b	Holzkohlereiche Schicht			
3566		1a	Detritusreiche Schicht			
3566		0.0b	Seekreide mit organischem Detritus			
3566		0.0a	Massive Seekreide			

Tafel 19 Cham-Bachgraben. Mikromorphologie.
Anschliffe und Dünnschliffe von Mikromorphologieproben (MM). 1) MM 74; 2) MM 75.
S.E.: Schichtereignis; Pos.: Positionsnnummer; M.S.: Mikroschicht; A.S.: archäologische Schicht.

1 Cham-Bachgraben MM 79		Field 92/Nordprofil		OK: 414,85 m ü. M.		
S.E.	Anschnitt	Pos.	Dünnschliffe	M.S.	Fazies	A.S.
0.3D		2248		0.3d	Sandige Seekreide	0.3
0.3C		2264		0.3c	Sand mit Seekreide	0.3
2		2249		0.3b	Knochenreiche Schicht	0.3
2		2325		0.3a	Sand mit Seekreide	0.3
2		2360				
2		2361				
2		2587				
2		2930				
2		3210				
2		3149		Zb	Kiesreiche Schicht	2
2		3350				
2		3351		Za	Holzkohlereiche Schicht	2
1		3211				

2 Cham-Bachgraben MM 80		Field 92/Ostprofil		OK: 414,72 m ü. M.		
S.E.	Anschnitt	Pos.	Dünnschliffe	M.S.	Fazies	A.S.
2		2604		2b	Sand mit Seekreide	2
1		2606		1d	Heterogener Lehm	1
1		2606		1c	Bioturbierter Lehm	1
1		2610		1b	Holzkohlereiche Schicht	1
1		2610		1a	Sand mit Seekreide	1
H 0.0(A?)		2609		0.0a	Onkoidschicht	0.0

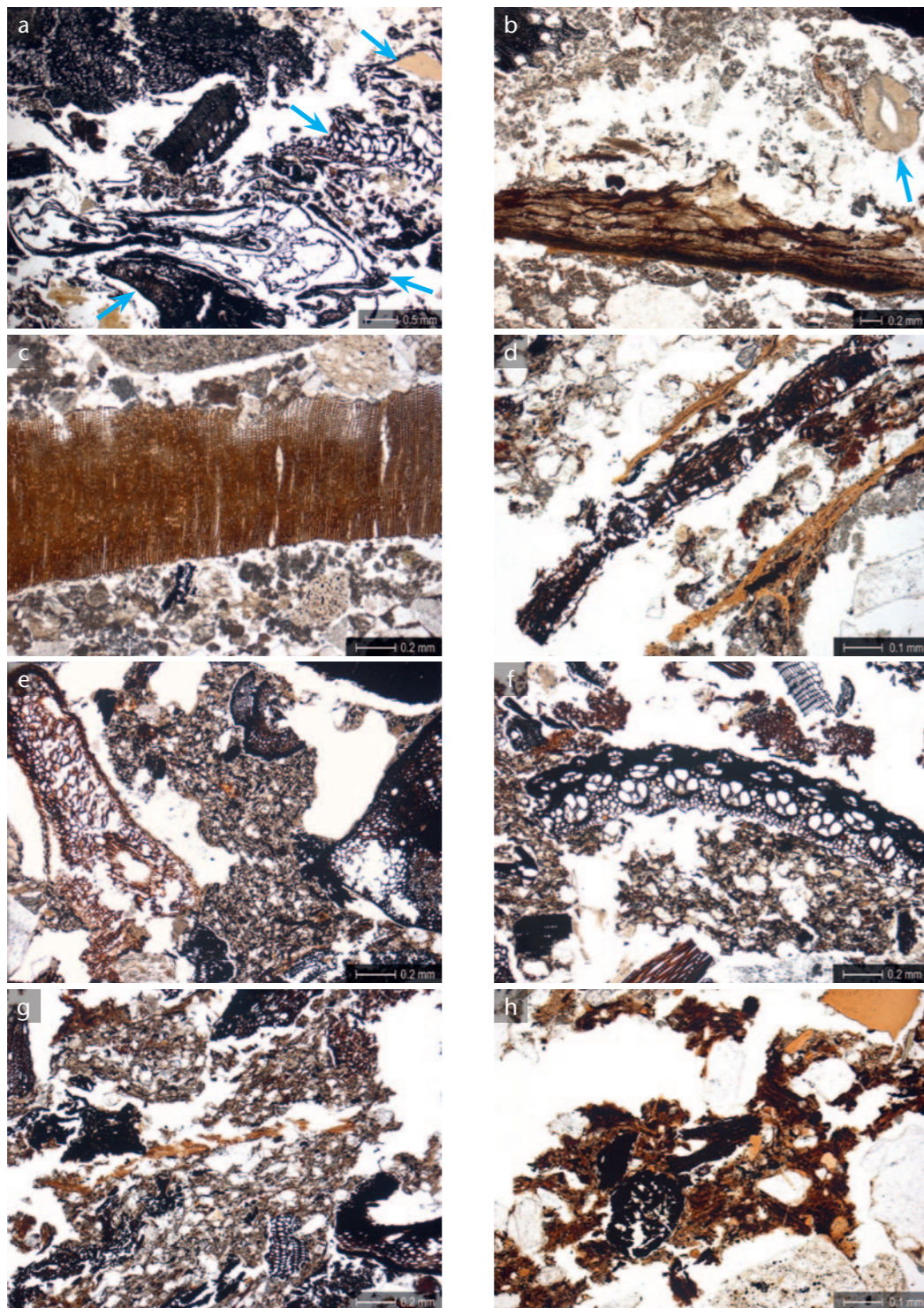


Tafel 22 Cham-Bachgraben. Mikromorphologie.

Mikroskopische Aufnahmen: aquatische Elemente.

- a) Mikrit (beige) mit Negativen von Characeenstengeln (quer geschnitten oberer Pfeil, längs geschnitten mittlerer Pfeil). MM 74.2, Mikroschicht 5d, PPL (Durchlicht).
- b) Wie a), jedoch XPL (polarisiertes Licht). Die Characeenstengel sind mit Sparitkristallen umhüllt (obere Pfeile), gut sichtbar eine Ostracodenschale (unterer Pfeil).
- c) Lockerer Mikrit mit länglichen organischen Resten (hellbraun), die auf der Ober- und Unterseite rundliche Ausfällungen von Spariten in Form von Ketten aufzeigen. Es handelt sich dabei vermutlich um Blätter von Wasserpflanzen, auf denen sich Sparitkristalle ausgefällt haben. MM 41.2, Mikroschicht 0.0c, PPL.
- d) Wie c), jedoch XPL. Die Sparitkristalle sind gut erkennbar (grünlich pink).
- e) Mehrere Schalenfragmente von Gastropoden (dünne Schalen), die stellenweise leichte Verwitterung aufzeigen (graue Verfärbung und Poren; Pfeil). Im Zentrum befindet sich eine grosse angewitterte Bivalvenschale und oben links eine Oogonie (braune runde Struktur). Nicht ausgewertete Probe MM 60.2, archäologische Schicht 0.0, PPL.
- f) Wie e), jedoch XPL. Die Schalen sind gut erkennbar (beige bis rosa).
- g) Detail von zwei Oogonien (Pfeile). Die untere hat eine gut erkennbare Sparithülle, die obere könnte leicht verwittert sein. Nicht ausgewertete Probe MM 60.2, archäologische Schicht 0.0, PPL.
- h) Süßwasserschwamm *Eunapius fragilis*. Es handelt sich um Reste des Überdauerungsstadiums (bräunliche Strukturen; Brutknospen, Gemmulae), die länglichen grauen bis transparenten Nadeln aus Silizium haften an den Gemmulae. MM 74.1, Mikroschicht 0.3e, PPL.

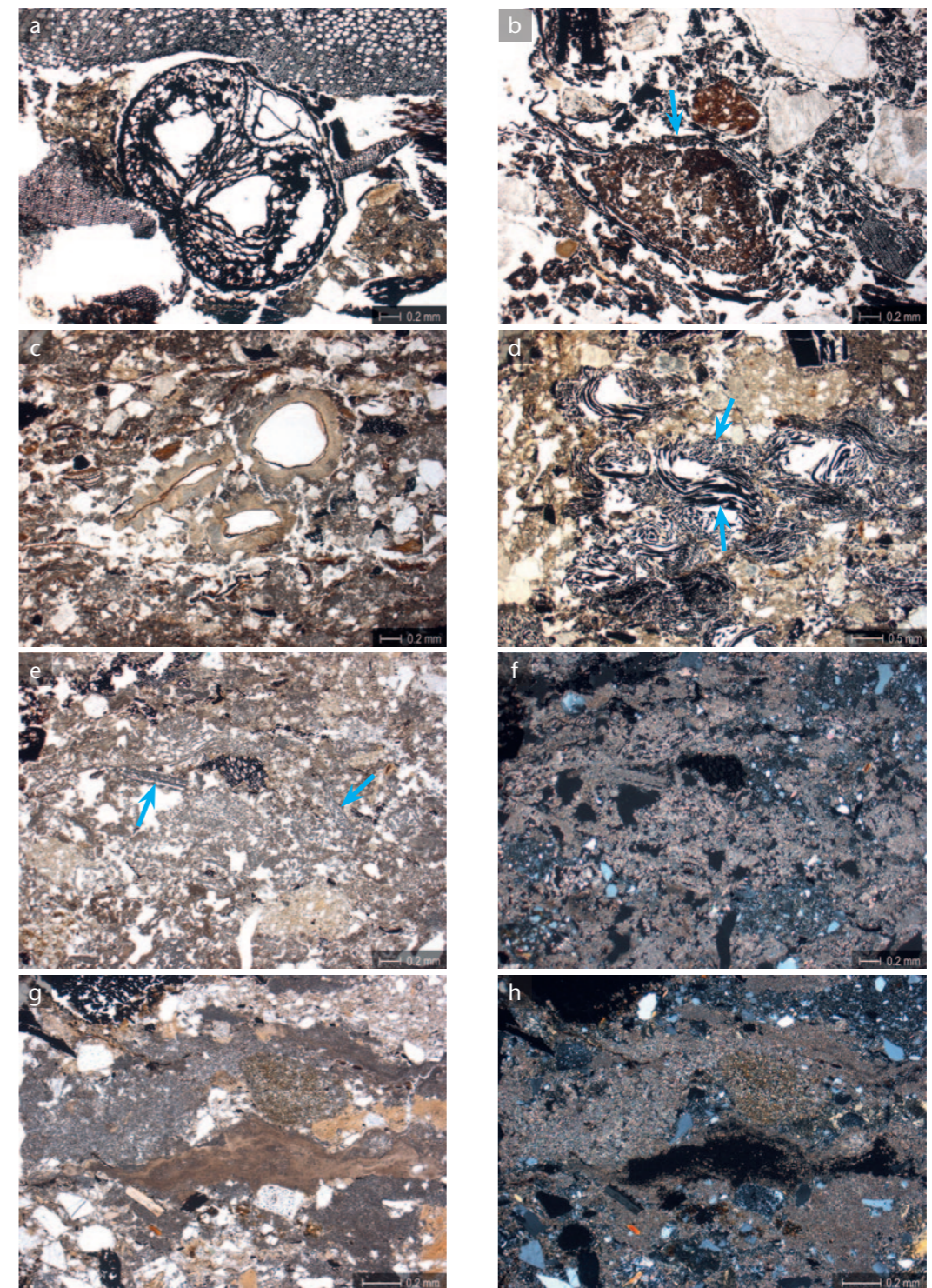
Tafel 21 Cham-Bachgraben. Mikromorphologie.
Anschnitte und Dünnschnitte von Mikromorphologieproben (MM). 1) MM 79; 2) MM 80.
S.E.: Schichtreignis; Pos.: Positionsnnummer; M.S.: Mikroschicht; A.S.: archäologische Schicht.



Tafel 23 Cham-Bachgraben. Mikromorphologie.

Mikroskopische Aufnahmen: organische Elemente.

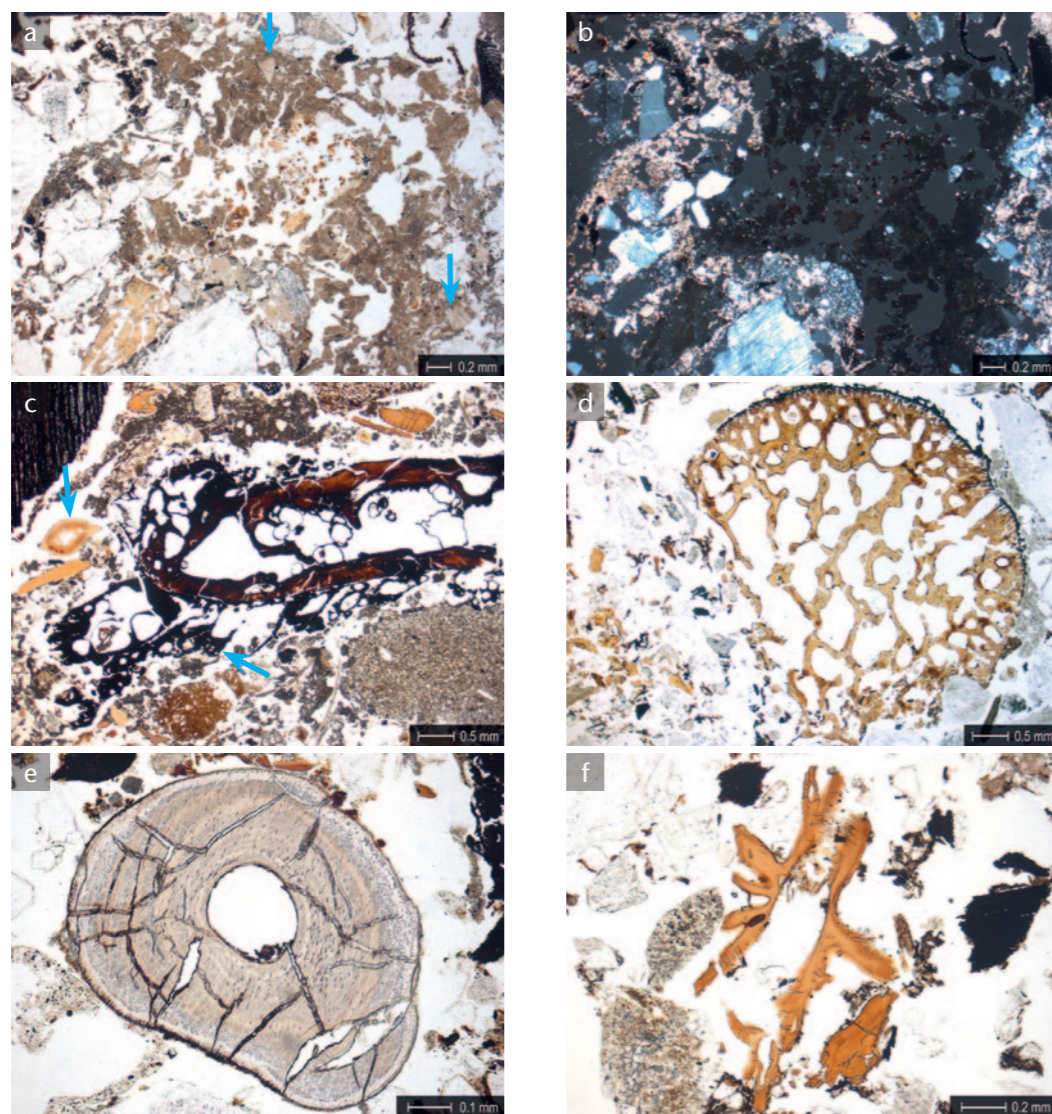
- a) Holzkohlen (oben links), ein verkohltes Getreidekorn (poröse, ovale Struktur unten) mit Spelzen (untere Pfeile), ein Rest eines Getreidebreis (mittlerer Pfeil) und ein Knochenfragment (beige; oberer Pfeil). MM 55.3, Mikroschicht 2g, PPL (Durchlicht).
- b) Gut erhaltenes Fragment einer Baumrinde (unverkohlt; braun) in einem porösen karbonatischen Sediment; oben rechts ein Samen einer Brombeere (Pfeil). MM 58.2, Mikroschicht 1c, PPL.
- c) Leicht abgebautes Holzfragment. Die feinen Poren deuten auf Nadelholz hin (Weisstanne). MM 49.3, Mikroschicht 1Aa, PPL.
- d) Mehrere stark abgebaute organische Reste (hellbraun), dazwischen ein gut erhaltenes, unverkohltes Laubblatt. MM 78.3, Mikroschicht 1f, PPL.
- e) Unverkohlte Nadel einer Weisstanne (braun, links) und eine verkohlte Spelze (schwarz, rechts). Das poröse karbonatische Sediment wirkt bioturbiert. MM 76.3, Mikroschicht 2j, PPL.
- f) Fragment eines Grashalms (vermutlich Getreide; schwarz, in der Mitte). MM 55.3, Mikroschicht 2h, PPL.
- g) Degradiertes organisches Material (braun bis dunkelbraun) mit organischem Detritus (Mikroholzkohlen und Holzkohlen; schwarz) in einem sandig-karbonatischen Sediment. MM 55.4, Mikroschicht 2f, PPL.
- h) Amorphe Abbauprodukte von organischen Resten im wassergesättigten Milieu (AOM, Dopplerit). MM 53.2, Mikroschicht 2c, PPL.



Tafel 24 Cham-Bachgraben. Mikromorphologie.

Mikroskopische Aufnahmen: Samen, Geflecht und Aschen.

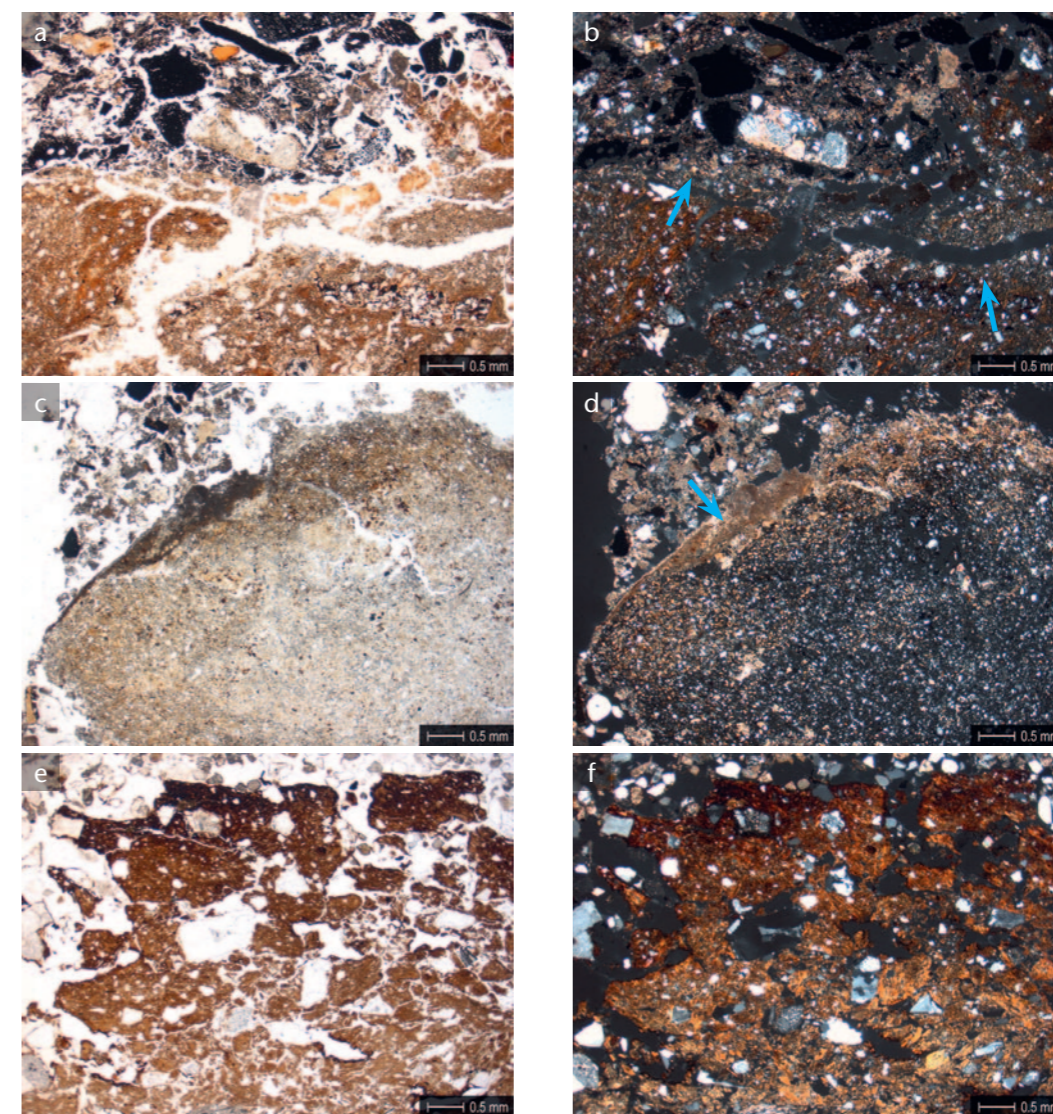
- a) Verkohltes Getreidekorn im Querschnitt (Mitte). Die Stärke im Innern ist aufgeplatzt wie Popcorn. MM 38.1, Mikroschicht 1Cd, PPL (Durchlicht).
- b) Verbranntes Getreidekorn im Längsschnitt (Mitte), das noch von Spelzen umhüllt ist (Pfeil). Im Innern sind Aschen erkennbar (dunkelgrau und braun). Das umgebende Sediment ist reich an Holzkohlen (schwarz) und Kies (gräulich bis transparent). MM 58.1, Mikroschicht 2c, PPL.
- c) Drei Himbeer- oder Brombeersamen, eingebettet in ein sandig-karbonatisches Sediment. MM 38.3, Mikroschicht 1Aa, PPL.
- d) Verkohltes Geflecht. Die quer geschnittenen Faserbündel (rundliche Strukturen; oberer Pfeil) sind gut von den längs geschnittenen (geschwungene Strukturen; unterer Pfeil) zu unterscheiden. MM 75.1, Mikroschicht 2e, PPL.
- e) Lockere karbonatische Aschen, teils mit den erhaltenen pseudomorphen organischen Strukturen (Pfeile). MM 61.3, Mikroschicht 1k, PPL.
- f) Wie e), jedoch XPL (polarisiertes Licht). Zwischen den Aschen (beige meliert) sind mehrere Tonaggregate vorhanden (grau bis dunkelgrau meliert).
- g) Detail einer Ascheakkumulation mit karbonatischen Aschen (grau) und phosphatischen Aschen (bräunlich grau). Bei den gelblichen Stellen handelt es sich um Tonaggregate (Bt-Material). MM 66.2, Mikroschicht 0.1a, PPL.
- h) Wie g), jedoch XPL. Die karbonatische Asche lässt sich an der grau melierten Farbe erkennen, während die phosphatische Asche isotrop ist, also schwarz erscheint.



Tafel 25 Cham-Bachgraben. Mikromorphologie.

Mikroskopische Aufnahmen: Koproolithen und Knochen.

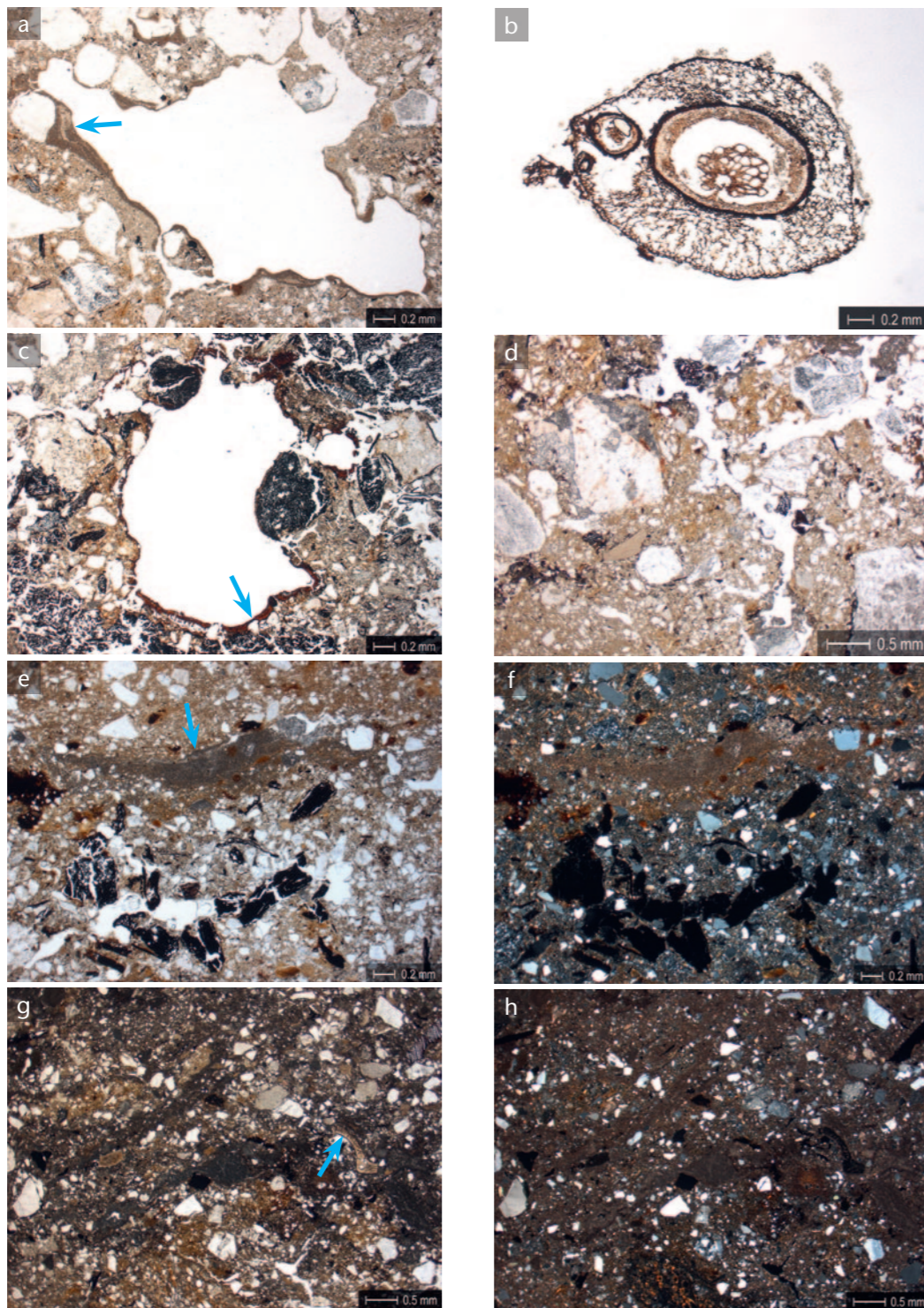
- a) Fragment eines Karnivorenexkremments, das verbrannt ist. Es sind mehrere gelbliche Knochenfragmente erkennbar. Kalzinierte Knochen sind ebenfalls vorhanden (Pfeile). MM 59.2, Mikroschicht 2h, PPL (Durchlicht).
- b) Wie a), jedoch XPL (polarisiertes Licht). Der isotrope Koproolith (schwarz) ist von karbonatischen Aschen (beige), Sand und Kies (bläulich grau bis weiss) umgeben.
- c) Knochenfragment eines Grosstiers (Mitte). Es ist so stark verkohlt, dass die Knochenstruktur blasig geworden ist. Im unteren Bereich könnten noch Reste von verkohltem Fleisch und/oder Knochenhaut vorhanden sein (unterer Pfeil). Um den Knochen sind mehrere leicht verbrannte Knöchelchen vorhanden (hellbraun), eines davon stammt von einem Kleintier (oberer Pfeil). MM 55.4, Mikroschicht 2a, PPL.
- d) Fragment eines Gelenkkopfs eines Grosstiers. Die Oberseite zeigt sehr starke Brandspuren (schwarzer Rand). MM 59.1, Mikroschicht 2k, PPL.
- e) Kalziniertes Kleintierknochen. Die Risse gehen auf die starke Hitzeeinwirkung zurück. MM 53.2, Mikroschicht 2c, PPL.
- f) Längs geschnittener Fischwirbel mit Brandspuren. MM 55.2, Mikroschicht 2m, PPL.



Tafel 26 Cham-Bachgraben. Mikromorphologie.

Mikroskopische Aufnahmen: Lehm.

- a) Lehmaggregat (braun, unten), das von einer eingeregelten Schicht mit vielen Holzkohlen überlagert ist. MM 75.2, Mikroschicht 2b, PPL (Durchlicht).
- b) Wie a), jedoch XPL (polarisiertes Licht). Die Oberseite des Tonaggregates ist vermutlich durch Brand überprägt (grünlich melierter Bereich bei den Pfeilen). Das überlagernde Sediment enthält viele karbonatische Aschen (grünlich bis bräunlich), Sand und Kies (grau bis weiss).
- c) Stark verbranntes Lehmaggregat (Verlust der Farbe in mehreren Bereichen). Nicht ausgewertete Probe MM 60.1, archäologische Schicht 2, PPL.
- d) Wie c), jedoch XPL. Das Lehmaggregat weist an seiner Oberseite eine Aschekruste auf (bräunlich; Pfeil).
- e) Keramikfragment, das Verwitterungsspuren aufweist (planare Risse, Poren mit dunkeln Einschwemmungen). Oben sieht man vermutlich die Aussenseite des Gefässes, die dem Feuer ausgesetzt war. MM 62.2, Mikroschicht 5d, PPL.
- f) Wie e), jedoch XPL. Die grobe Sandmagerung der Keramik ist gut erkennbar (Quarzsand; weiss bis grau). Oberhalb der Keramik ist ein sandreiches Sediment (Mikroschicht 0.3a) abgelagert.



Tafel 27 Cham-Bachgraben. Mikromorphologie.

Mikroskopische Aufnahmen: sekundäre Prozesse und Trampling.

Sekundäre Prozesse:

- a) Pore in einem lehmigen Bereich, die siltige Einschwemmungen aufweist (grau; Pfeil). MM 48.1, Mikroschicht 1Cf, PPL (Durchlicht).
- b) Gut erhaltene rezente Wurzel in einem Wurzelkanal. MM 23.2, Mikroschicht 1d, PPL.
- c) Eisen-/Phosphatkruste (Pfeil) in einem Wurzelkanal. Das umgebende Sediment enthält Holzkohlen (schwarz) und Lehm (beige bis grau). Nicht ausgewertete Probe MM 28.2, archäologische Schicht 1, PPL.
- d) Lehmreiche Schicht mit deutlichen Bioturbationsspuren (Wurzelkanälen). MM 76.5, Mikroschicht 2e, PPL.

Trampling:

- e) Lehmreiches Sediment mit einer siltigen Kruste (slaking crust; Pfeil); ein Anzeichen für eine terrestrische, vegetationsfreie Oberfläche. MM 65.2, Mikroschicht 1Cb, PPL (Durchlicht).
- f) Wie e), jedoch XPL (polarisiertes Licht). Der verschlammte Bereich erscheint dunkelbraun, während der liegende Lehm grau meliert ist.
- g) Deutlich geschichtetes, eingeregeltetes karbonatisch-lehmiges Sediment, das stark kompaktiert wurde, vermutlich infolge Begehung. Rechts lässt sich ein kalziniertes Kleintierknochenfragment erkennen (Pfeil). MM 61.2, Mikroschicht 1m, PPL.
- h) Wie g), jedoch XPL. Die von Aschen stammenden karbonatischen Bereiche erscheinen dunkelgrau und extrem dicht.

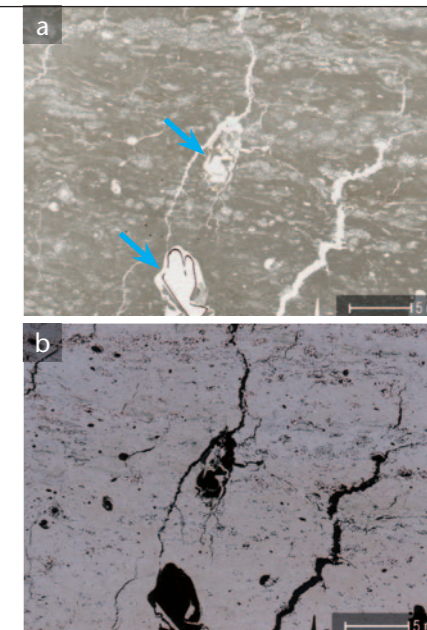
Seekreide-Fazies

Gebänderte Seekreiden

Beschreibung: Gebänderte Seekreiden bestehen aus rund 70% Karbonat, 10% organischem Material und 4% Sand – der niedrigste Sandgehalt aller Fazies; die Porosität beträgt 16%. Typische und häufige Elemente sind Characeenstengel, Oogonien, Sparitketten, gut erhaltene Bivalven, Ostracoden und Gastropoden. Regelmässig ist verwittertes Laub und organischer Detritus vorhanden.

Interpretation: Die gebänderte Seekreide ist eine *in situ* ausgefällte limnische Ablagerung, die sich unter Wasserbedeckung von mindestens einem Meter unterhalb der Wellenbasis abgelagerte. Die Bänderung kann auf saisonale Wechsel zurückgehen. Regelmässig vorkommende Laubreste gelangten wohl auf natürlichem Weg in die Ablagerungen.

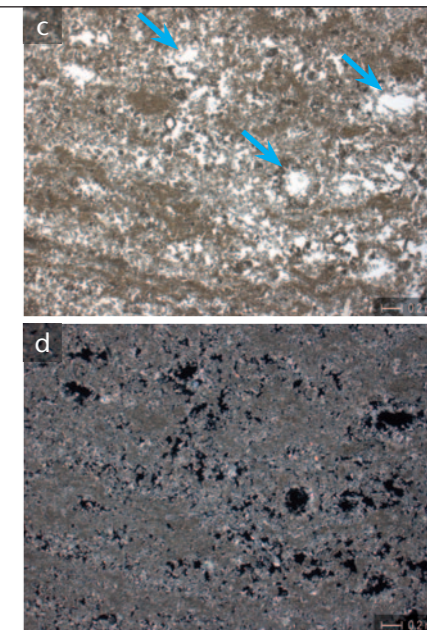
Gebänderte Seekreiden entsprechen ungestörten Seeablagerungen, wie sie in zahlreichen Alpenrandseen ab dem Bølling-Interstadial nachgewiesen sind.



Lockere Seekreiden

Beschreibung: Die leicht geschichteten, lockeren Seekreiden bestehen aus 60% Karbonat, 11% Sand (und Kies), 7% organischem Material und 5% Lehmaggregaten; die Porosität macht 17% aus. Characeenreste und Sparitketten sind regelmässig vorhanden; Oogonien – oft mit Spuren von Aufarbeitung – erreichen hier den höchsten Wert aller Fazies. Die Erhaltung der Molluskschalen ist deutlich schlechter als in den gebänderten Seekreiden, aber Holzkohlen und Holzreste kommen leicht häufiger vor. Hinzu kommen Laubreste, geringe Mengen an Aschen, Samen, selten Kleintierknochen und deformierte Lehmaggregate.

Interpretation: Lockere Seekreiden sind als *In-situ*-Ausfällungen zu interpretieren, wobei Verwitterungsspuren an den Molluskschalen auf ein ufernahes Milieu mit saisonalen Seespiegelschwankungen hinweisen. Sand und Molluskenfragmente gehen auf Anreicherung durch Wellenschlag zurück. Dieser führte auch zum Verlust von Feinschichtungen und der Auswaschung von feineren Komponenten wie Mikrit. Der geringe Sandanteil deutet auf schwachen Wellenschlag und geringe Erosion hin. Knochenreste und Lehmaggregate sind selten und gehen vermutlich auf menschliche Präsenz in der näheren Umgebung zurück.



Seekreidehaltige Schichten (ohne Abbildung)

Beschreibung: In einzelnen Fällen wurden Seekreiden aufgenommen, welche sich nicht eindeutig einer Fazies zuordnen liessen. Ihre Charakterisierung kommt derjenigen der lockeren und sandigen Seekreiden recht nahe, wobei der Erhaltungszustand der Oogonien und Molluskschalen deutlich schlechter war.

Interpretation: Das Milieu dieser Seekreiden ist ebenfalls im ufernahen Bereich anzusiedeln bei einem Aufarbeitungsgrad, der sich vermutlich zwischen demjenigen der lockeren und jenem der sandigen Seekreiden bewegt.

Tafel 28 Cham-Bachgraben. Mikromorphologie.

Mikroskopische Aufnahmen: Seekreide-Fazies.

Die Fotos in PPL (Durchlicht) zeigen Kalziumkarbonat in Hellgrau bis Beige (Mikrit), Quarz erscheint transparent, Holzkohlen sind schwarz, Porenraum ist weiss. Auf den Fotos mit XPL (gekreuzten Polarisatoren) erscheint Kalziumkarbonat bräunlich grau (Mikrit) oder bläulich pink (Kalzit/Aragonit von Molluskschalen und Sparitketten), Quarz weiss bis bläulich grau, Holzkohlen und Porenraum sind schwarz.

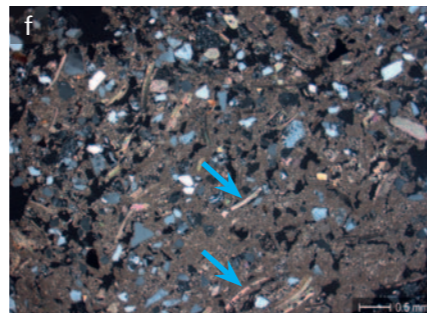
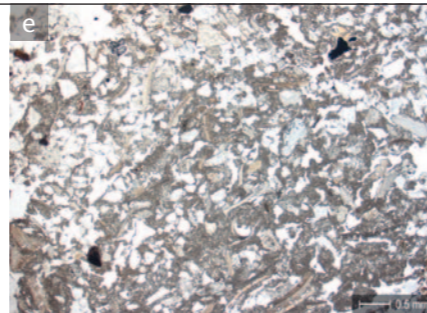
- a) Die helleren Bänder bestehen vorwiegend aus Characeenresten. Es sind Trockenrisse und Wurzelspuren erkennbar (Pfeile). MM 41.1, Mikroschicht 0.0e, PPL.
- b) Wie a), jedoch XPL. Man beachte, dass kein Quarzsand in der Schicht vorhanden ist.
- c) Im Mikrit sind mehrere Characeenstengel (Pfeile) erkennbar. MM 74.2, Mikroschicht 0.0a, PPL.
- d) Wie c), jedoch XPL. Im Ausschnitt ist kaum Quarzsand vorhanden, die Kristalle der Sparitketten und Characeenstengel sind schwach erkennbar (bläulich rosa).

Seekreide-Fazies

Sandige Seekreiden

Beschreibung: Die sandigen Seekreiden sind den lockeren Seekreiden bezüglich der Zusammensetzung sehr nahe, wobei der Karbonatgehalt bei rund 50% liegt, während der Sandanteil hohe 23% erreicht. Die Porosität beträgt 16%. Gastropoden erreichen hier den höchsten Wert aller Fazies.

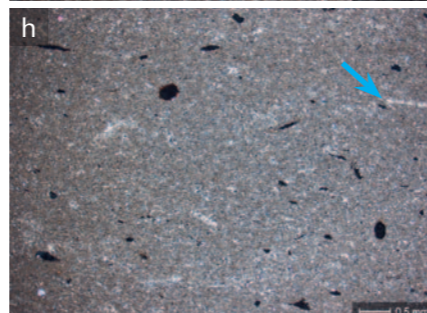
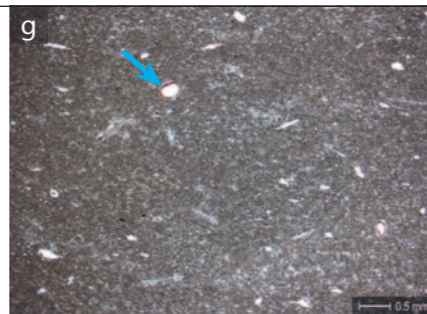
Interpretation: Sandige Seekreiden bildeten sich *in situ* in einem ähnlichen Milieu wie die lockeren Seekreiden. Die Anreicherung von Sand war hier deutlich ausgeprägter als bei den lockeren Seekreiden, was für eine stärkere Aufarbeitung durch Wellenschlag bei niedrigerem Seespiegel spricht. Auch hier muss mit erosiven Prozessen gerechnet werden.



Massive Seekreiden

Beschreibung: Massive Seekreiden unterscheiden sich in ihrer Zusammensetzung nur geringfügig von lockeren Seekreiden. Sie enthalten durchschnittlich 70% Karbonat, 8% Sand und 6% organische Reste. Ihre Porosität ist mit 12% deutlich niedriger als diejenige der lockeren und sandigen Seekreiden. Regelmässig vorhanden sind Characeenstengel, Oogonien, Sparitketten und Onkoide. Mollusken, oft mit Verwitterungsspuren, sind häufiger vorhanden als in gebänderten Seekreiden.

Interpretation: Massive Seekreiden entstanden wohl in einem ähnlichen Milieu wie lockere Seekreiden; ihre Kompaktheit scheint auf ein geringeres Vorkommen von Characeen zurückzugehen. Die fehlende Feinschichtung könnte ebenfalls auf geringe Vorkommen von Characeen zurückzuführen sein, was am ehesten mit Strömung zusammenhängen könnte (Wellenschlag hätte zu einer Anreicherung von Sand geführt).



Tafel 29 Cham-Bachgraben. Mikromorphologie.

Mikroskopische Aufnahmen: Seekreide-Fazies (Fortsetzung).

Die Fotos in PPL (Durchlicht) zeigen Kalziumkarbonat in Hellgrau bis Beige (Mikrit), Quarz erscheint transparent, Holzkohlen sind schwarz, Porenraum ist weiss. Auf den Fotos mit XPL (gekreuzten Polarisatoren) erscheint Kalziumkarbonat bräunlich grau (Mikrit) oder bläulich pink (Kalzit/Aragonit von Molluskenschalen und Sparitketten), Quarz weiss bis bläulich grau, Holzkohlen und Porenraum sind schwarz.

e) Der poröse, ungeschichtete Mikrit ist mit Molluskenschalen durchsetzt. MM 66.1, Mikroschicht 0.3b, PPL.

f) Wie e), jedoch XPL. Der Quarzsand und die Molluskenschalen (Pfeile) sind gut erkennbar.

g) Der strukturlose Mikrit enthält eine Oogonie (Pfeil). MM 73.1, Mikroschicht 0.3a, PPL.

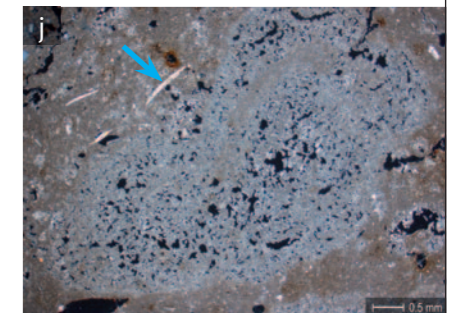
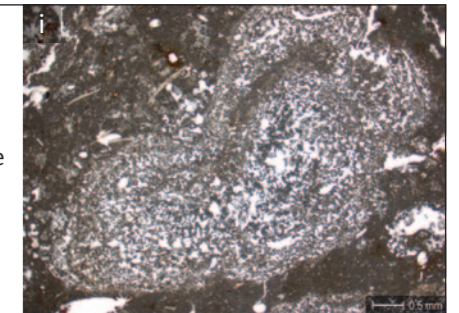
h) Wie g), jedoch XPL. Es lassen sich mehrere verwitterte Molluskenschalen ausmachen (Pfeil).

Seekreide-Fazies

Onkoidschichten

Beschreibung: Diese Seekreiden bestehen aus rund 65% Karbonat, 10% Sand und Kies, 7% organischen Resten und wenig Lehm; die Porosität beträgt 16%. Damit stehen sie, was ihre Zusammensetzung betrifft, den massiven und lockeren Seekreiden am nächsten. Die Onkoide weisen meist mehrere Anwachsäume auf, ihre Oberflächen wirken intakt (mit Ausnahme der Onkoide aus Schicht 5, wo sie oft fragmentiert vorkommen). Characeenstengel sind etwa gleich stark vertreten wie in gebänderten Seekreiden. Gastropoden sind häufig und zeigen ein breites Erhaltungsspektrum von frisch bis verwittert. Die Holzkohlenwerte sind deutlich höher als in den anderen Seekreidefazies; selten sind auch Aschen, Samen, Laubreste, Knochen und Lehmaggregate vorhanden.

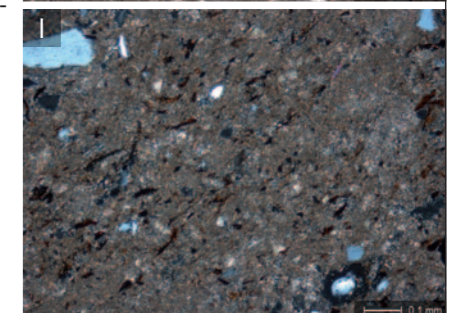
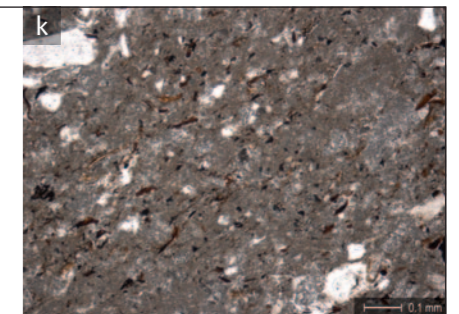
Interpretation: Die Matrix ist gut vergleichbar mit den massiven Seekreiden, was ein ähnliches Bildungsmilieu andeutet. Die Onkoide sind *in situ* entstanden; ihr Wachstum setzt eine gewisse Strömung voraus. Das gleichzeitige Vorkommen von Onkoiden und Characeen spricht für lichtdurchflutetes Wasser (Lichtmangel hemmt das Onkoidenwachstum) und zeigt, dass das Milieu für beide stimmte. Der mehrschichtige Aufbau der Onkoide deutet an, dass diese über mehrere Jahre gebildet wurden. Sie lagen nicht über längere Zeit an der Luft, wobei dennoch mit kurzen Trockenphasen, die zur Verwitterung von Gastropodenschalen geführt haben, gerechnet werden muss. Der deutliche Anteil an Kulturschichtresten weist auf menschliche Präsenz hin.



Seekreiden mit organischem Detritus

Beschreibung: Dieser selten vorkommende Sedimenttyp besitzt ein auffällig massives Gefüge und einen hohen organischen Anteil in Form von Detritus von 17%. Der Karbonatanteil beträgt rund 50%, der Sandgehalt 13%, die Porosität macht 14% aus. Algenreste, v. a. Characeenstengel, Oogonien und Sparitketten, sind häufig. Schwammnadeln kommen regelmässig vor. Molluskenreste sind etwa gleich häufig wie in den massiven Seekreiden. Holzkohlen erreichen ähnliche Werte wie bei der Onkoidfazies, während die Aschenwerte in den detritusreichen Seekreiden deutlich höher sind, wie auch degradierte Rinden und Samen. Laub, Dopplerit und Pilzsporen sind – neben organischem Detritus – oft vorhanden. Knochen kommen deutlich häufiger vor als in anderen Seekreidefazies. Viele Reste zeigen eine ausserordentlich gute Erhaltung.

Interpretation: Seekreiden mit organischem Detritus wurden im ufernahen Bereich *in situ* ausgefällt. Das Vorkommen von feinsten organischen Partikeln deutet an, dass das Milieu sehr ruhig gewesen sein muss, wobei Pilzsporen auch auf trockene Episoden hinweisen. Der organische Detritus in den Seekreiden geht auf stark fragmentiertes organisches Material zurück, das nicht mehr näher bestimmt werden kann. Das Ausgangsmaterial kann natürlichen oder anthropogenen Ursprungs sein. In der Folge wurde es durch Wellenschlag und/oder aerobe Zersetzung fragmentiert.



Tafel 30 Cham-Bachgraben. Mikromorphologie.

Mikroskopische Aufnahmen: Seekreide-Fazies (Fortsetzung).

Die Fotos in PPL (Durchlicht) zeigen Kalziumkarbonat in Hellgrau bis Beige (Mikrit), Quarz erscheint transparent, Holzkohlen sind schwarz, Porenraum ist weiss. Auf den Fotos mit XPL (gekreuzten Polarisatoren) erscheint Kalziumkarbonat bräunlich grau (Mikrit) oder bläulich pink (Kalzit/Aragonit von Molluskenschalen und Sparitketten), Quarz weiss bis bläulich grau, Holzkohlen und Porenraum sind schwarz.

i) Einzelnes, etwa 7 mm grosses Onkoid, dessen poröser und feingeschichteter Aufbau gut erkennbar ist. MM 62.3, Mikroschicht 0.0a, PPL.

j) Wie i), jedoch XPL. Der Mikrit um das Onkoid enthält Fragmente von Molluskenschalen (Pfeil).

k) Schräg geschichteter, dichter Mikrit mit bräunlichen organischen Feinresten (Detritus). MM 75.4, Mikroschicht 0.0b, PPL.

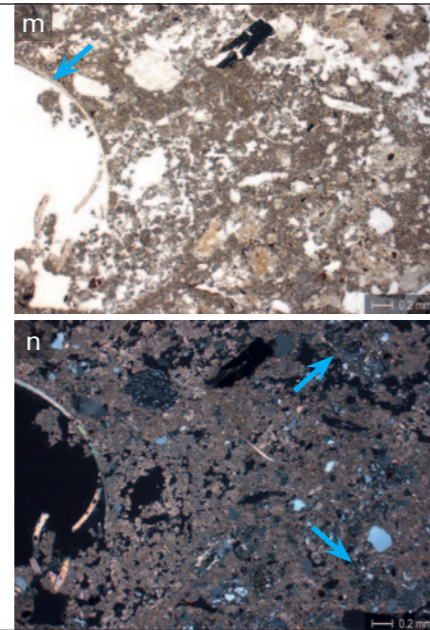
l) Wie k), jedoch XPL. Im Mikrit ist regelmässig Quarzsand eingebettet.

Seekreide-Fazies

Seekreiden mit Kulturschichtmaterial

Beschreibung: Diese Seekreide-Fazies ist zwar selten, aber auffällig. Die gut geschichteten Ablagerungen sind kompakt (13% Porosität), enthalten fast 25% Sand und Kies und je rund 15% organisches Material sowie Lehmaggregate. Aquatische Elemente (Schwammnadeln, Oogonien, Characeenstengel, Sparitketten und Onkoide) sind selten, wie auch Mollusken; ihre Erhaltung ist generell schlecht. Holzkohlen und v. a. Aschen sind häufiger als in Seekreiden mit Detritus; organischer Detritus, Holzreste und Samen kommen hingegen seltener vor. Die Erhaltung des organischen Materials ist auffällig gut. Alle Ablagerungen enthalten grössere Mengen an Fischknochen, oft gut erhalten und mit Brandspuren. Lehmaggregate sind überall vorhanden, meist verrundet oder flach, teilweise auch mit auffälligen Feinschichtungen.

Interpretation: Seekreiden mit Kulturschichtmaterial enthalten Merkmale für eine *In-situ*-Bildung, wobei der Sandanteil und die Molluskenerhaltung auf niedrige und wechselnde Wasserbedeckung hinweisen. Die reichen anthropogenen Reste, vor allem Lehmaggregate und Aschen, zeigen eindeutig menschliche Präsenz an – im Gegensatz zu den Seekreiden mit organischem Detritus. Die deutlichen Anzeichen von Kompaktion gehen möglicherweise auf Begehung während trockenerer Phasen zurück.

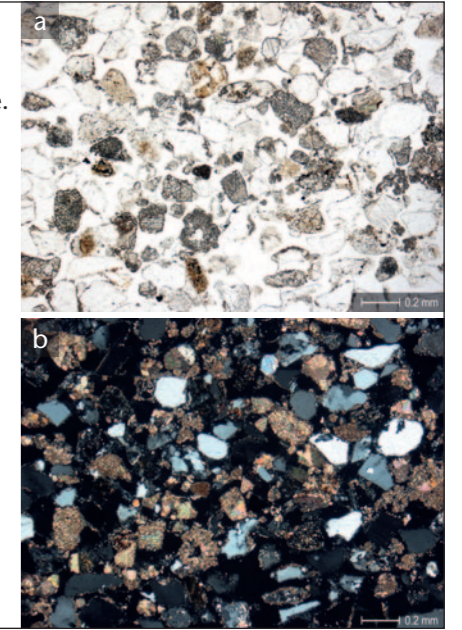


Limnische sandreiche Fazies

Sand mit Karbonatkörnern

Beschreibung: Sandige Ablagerungen mit einem hohen Anteil an Karbonatkörnern sind leicht geschichtet, mit deutlich ausgeprägter unterer Schichtgrenze. Sie bestehen aus rund 40% Karbonat, 30% Quarzsand und je rund 5% organischem Material und Lehm (Porosität 18%). Molluskenschalen sind ähnlich häufig wie in den Seekreide-Fazies, Characeenstengel und Sparitketten hingegen sind deutlich seltener. Oogonien in allen Erhaltungsstufen kommen regelmässig vor, vereinzelt auch Onkoide. Holzkohlen, geringe Mengen an Aschen und Quarzkörner mit Schmelzsäumen sind stets vorhanden. Holzreste und Samen (verkohlte Getreidekörner) kommen selten, fragmentierte Kleintierknochen hingegen recht regelmässig vor, öfters mit Brandspuren. Verrundete Lehmaggregate sind in 60% der Mikroschichten anzutreffen.

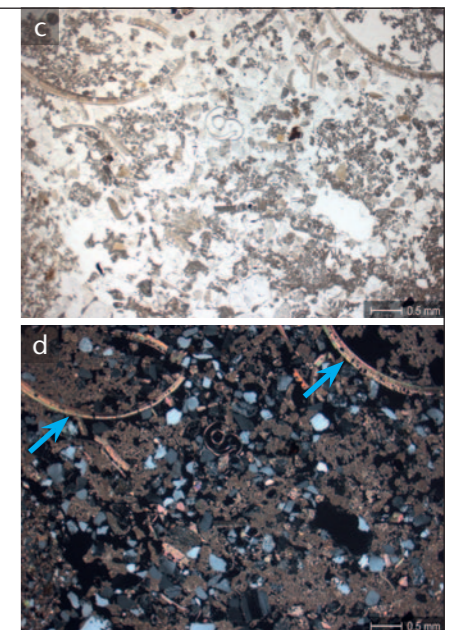
Interpretation: Mikroschichten reich an Karbonatkörnern bildeten sich im ufernahen Bereich und waren markantem Wellenschlag ausgesetzt, was auch die deutlichen Schichtuntergrenzen und die aufgearbeiteten Oogonien anzeigen. Die Karbonatkörner sind natürlichen Ursprungs; als deren Quelle kommen limnische oder fluviale Ablagerungen infrage. Sand und Karbonatkörner akkumulierten sich infolge von Wellenaktivität. Die Onkoide haben sich vermutlich ebenfalls in diesem Milieu gebildet, was auf Strömung hindeutet. Die anthropogenen Reste zeigen eindeutig menschliche Präsenz an.



Sand mit Seekreide

Beschreibung: Sandige Ablagerungen mit Seekreide sind leicht geschichtet und haben eine deutliche Untergrenze. Sie setzen sich aus fast 40% gut sortiertem Sand, rund 25% Karbonat, 10% organischen Resten und 7% Lehm zusammen (Porosität 19%). Karbonatkörner sind regelmässig vorhanden. Algenreste gehen v. a. auf Oogonien zurück. Mollusken sind recht häufig und weisen einen eher schlechten Erhaltungszustand auf. Holzkohlen treten etwa gleich häufig auf wie bei der Fazies Sand mit Karbonatkörnern. Gut vertreten sind Holzreste, Rinden und Aschen. Samen sind etwas häufiger anzutreffen als in der Sandfazies mit Karbonatkörnern. Knochen kamen in fast allen Mikroschichten vor, oft mit Brandspuren. Regelmässig treten verrundete Lehmaggregate auf.

Interpretation: Die Zusammensetzung deutet an, dass die sandreiche Fazies mit Seekreide im Uferbereich infolge von Wellenschlag entstanden sein dürfte. Das häufigere Vorkommen von Kulturschichtresten geht am ehesten darauf zurück, dass limnische und anthropogene Ablagerungen miteinander vermischt worden sind.



Tafel 31 Cham-Bachgraben. Mikromorphologie.

Mikroskopische Aufnahmen: Seekreide-Fazies (Fortsetzung).

Die Fotos in PPL (Durchlicht) zeigen Kalziumkarbonat in Hellgrau bis Beige (Mikrit), Quarz erscheint transparent, Holzkohlen sind schwarz, Porenraum ist weiss. Auf den Fotos mit XPL (gekreuzten Polarisatoren) erscheint Kalziumkarbonat bräunlich grau (Mikrit) oder bläulich pink (Kalzit/Aragonit von Molluskenschalen und Sparitketten), Quarz weiss bis bläulich grau, Holzkohlen und Porenraum sind schwarz.

m) Poröser Mikrit mit einem Gastropoden (Pfeil), einer grösseren Holzkohle (oben, schwarz) und diffusen Lehmaggregaten (beige). MM 61.5, Mikroschicht 1a, PPL.

n) Wie m), jedoch XPL. Die Lehmaggregate lassen sich gut erkennen (Pfeile), ebenso Quarzsand und Molluskenschalen.

Tafel 32 Cham-Bachgraben. Mikromorphologie.

Mikroskopische Aufnahmen: limnische sandreiche Fazies.

Die Fotos in PPL (Durchlicht) zeigen Kalziumkarbonat in Hellgrau bis Beige, Quarz erscheint transparent und Porenraum weiss. Auf den Fotos mit XPL (gekreuzten Polarisatoren) erscheint Kalziumkarbonat bräunlich grau (Mikrit) oder bläulich pink (Kalzit/Aragonit von Molluskenschalen), Quarz weiss bis bläulich grau und Porenraum schwarz.

a) Der lockere Sand besteht aus Quarz- und Karbonatkörnern. MM 62.1, Mikroschicht 0.3k, PPL.

b) Wie a), jedoch XPL. Der Quarzsand und die Karbonatkörner lassen sich gut erkennen.

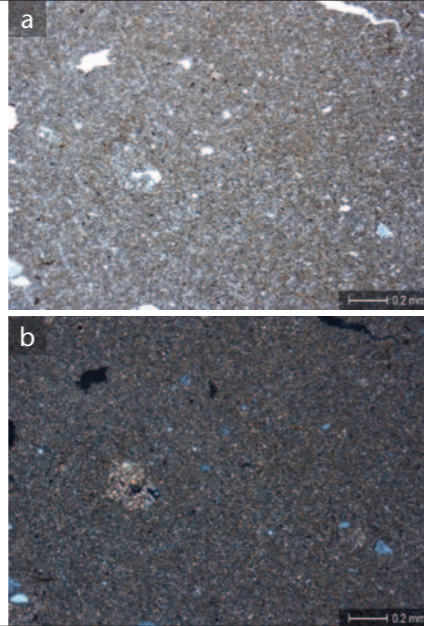
c) Der poröse, ungeschichtete Mikrit enthält viele Molluskenfragmente. MM 37.3, Mikroschicht 0.3a, PPL.

d) Wie c), jedoch XPL. Die Molluskenschalen lassen teils deutliche Verwitterungsspuren erkennen (Poren in den Schalen; Pfeile). Der Sandanteil ist deutlich erkennbar.

Homogene karbonatische Fazies

Beschreibung: Diese seltene Fazies setzt sich aus rund 40% Karbonat, 15% gut sortiertem Sand, 8% organischen Resten und einem Tonanteil von 20% zusammen (Tonminerale und Mikrit bilden eine homogene Matrix); die Porosität beträgt 15%. An limnischen Anzeigern sind Schwammnadeln am häufigsten, seltener kommen auch Diatomeen, Oogonien und Sparitketten vor. Mollusken sind fast immer vorhanden, weisen aber geringere Werte und eine schlechtere Erhaltung auf als in Seekreide- und sandigen Fazies. Hinzu kommen selten verrundete Holzkohlen, Holzreste, Getreidekörner, Kleintierknochen und Phosphataggregate. Diese Ablagerungen sind häufig von Würmern bioturbiert und enthalten regelmässig Pilzsporen.

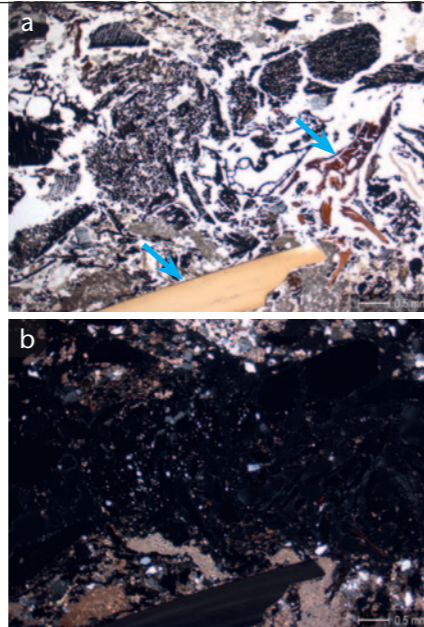
Interpretation: Diese Fazies zeigt eine leichte Seebeeinflussung und führt mehr anthropogene Reste als alle anderen limnischen Fazies – es handelt sich aber weder um eine Seekreide noch um eine Kulturschicht. Aufgrund der Homogenität lässt sie sich am ehesten als Hochflutablagerung eines Flusses interpretieren, wobei auch aufgeschwemmte Seekreide in die Mikroschichten gelangen konnte, möglicherweise unter wechselndem Einfluss von limnischen und fluvialen Milieus. Die feinkörnige Granulometrie deutet auf sehr geringe Fliessgeschwindigkeit des Gewässers. Die regelmässig vorkommenden Kulturschichtreste stammen wohl aus erodierten Siedlungsablagerungen.



Holzkohlereiche (knochen- und aschereiche) Fazies

Beschreibung: Diese Ablagerungen bestehen aus 36% organischem Material, 19% Sand, 16% Karbonat und 12% Lehm (Porosität 18%). An aquatischen Anzeigern liegen Schwammnadeln, Molluskenschalen in allen Erhaltungsstufen sowie selten Oogonien vor. Holzkohlen erreichen oft eine Grösse von über 2 mm. Fast 80% der Mikroschichten enthielten auch Aschen. Regelmässig sind Getreidereste (verkohlte Körner, Spelzen, Breireste) und Samen, Reste von Gräsern (Getreide und Stroh), seltener Laubblätter und Weisstannennadeln vorhanden. Die Erhaltung der pflanzlichen Elemente ist gut. Fast 80% aller Mikroschichten enthalten Knochenreste in allen Erhaltungsstufen; Brandspuren sind besonders häufig. Selten sind Spuren von Koprolithen erkennbar (Karnivoren und Omnivoren). Lehmaggregate kommen überall in geringen Mengen vor; flache Aggregate und solche mit Brandspuren sind in rund 30% der Mikroschichten vorhanden.

Interpretation: Holzkohlereiche Ablagerungen dokumentieren vor allem anthropogene Prozesse. Aschen und eckige Holzkohlen zeigen, dass sie ohne grössere Verlagerungen im Bereich von Häusern akkumulierten und rasch überdeckt wurden. Ein Teil der Aschen könnte auf ausgeräumte Feuerstellen zurückgehen oder in unmittelbarer Nähe zu einer Feuerstelle akkumuliert worden sein. Verfeuert wurde neben Holz vermutlich auch Dung. Koprolithen sprechen für die Präsenz von Haustieren, flachgepresste Lehmaggregate deuten auf Begehung hin. Schwammwachstum an Pfählen widerspiegelt Phasen mit höherem Wasserstand (saisonal im Frühjahr?).



Tafel 33 Cham-Bachgraben. Mikromorphologie.

Mikroskopische Aufnahmen: homogene karbonatische Fazies und holzkohlereiche (knochen- und aschereiche) Fazies.

Homogene karbonatische Fazies:

In PPL (Durchlicht) erscheint Kalziumkarbonat hellgrau bis beige (Mikrit), Quarz transparent und Porenraum schwarz. In XPL (gekreuzte Polarisatoren) ist Kalziumkarbonat bräunlich, Quarz weiss bis bläulich grau und Porenraum schwarz.

a) Homogener, ungeschichteter Mikrit. MM 72.1, Mikroschicht 0.3d, PPL.

b) Wie a), jedoch XPL. Im Mikrit ist regelmässig Quarzsand erkennbar.

Holzkohlereiche (knochen- und aschereiche) Fazies:

Die Fotos in PPL (Durchlicht) zeigen Kalziumkarbonat in Hellgrau bis Beige, Quarz erscheint transparent, Holzkohlen sind schwarz, Knochen beige bis braun, Porenraum ist weiss. Auf den Fotos mit XPL (gekreuzten Polarisatoren) erscheint Kalziumkarbonat bräunlich grau (Mikrit/Aschen), Quarz weiss bis bläulich grau, Knochen sind dunkelgrau bis schwarz, Holzkohlen und Porenraum erscheinen schwarz.

a) Zwischen den Holzkohlen sind Knochen (Pfeile) vorhanden. MM 55.4, Mikroschicht 2c, PPL.

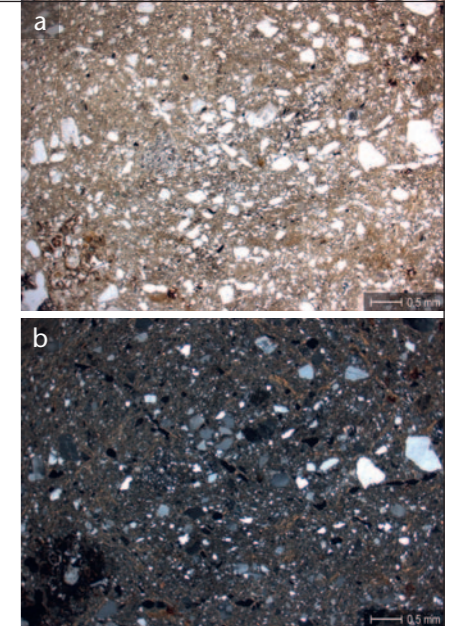
b) Wie a), jedoch XPL. Am unteren und oberen Bildrand sind karbonatische Aschen erkennbar (beigebraun).

Lehmreiche Fazies

Homogene Lehme

Beschreibung: Diese Lehme bilden durchgehende Straten mit deutlichen unteren Schichtgrenzen. Der Lehmanteil liegt bei rund 70%, organische Reste, Sand und Karbonat machen zusammen 20% aus; die Porosität liegt bei niedrigeren 10%. Aquatische Elemente kommen selten vor und gehen auf Schwammnadeln und verwitterte Mollusken zurück. Holzkohlen, meist in eckiger Form, kommen in Spuren vor. Grasreste sind in homogenen Lehmen am häufigsten von allen Fazies vorhanden. Brandspuren am Lehm sind oft präsent.

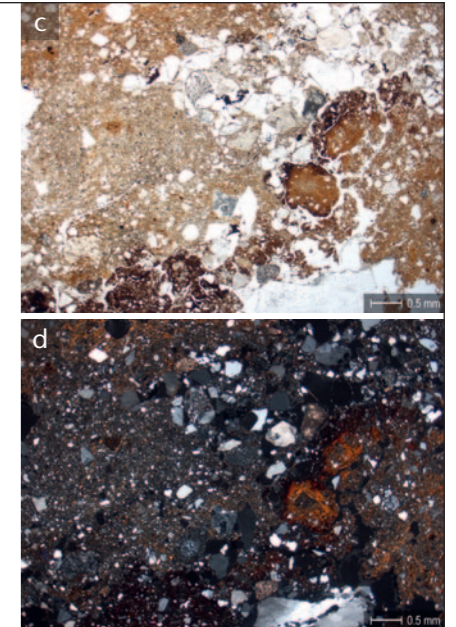
Interpretation: Homogene Lehme entsprechen gut erhaltenen Lehmablagerungen. Die eckigen Holzkohlen belegen, dass diese Lehme wenig bewegt wurden und ausserdem eine schützende Wirkung ausübten. Der geringe anthropogene Anteil und diverse Brandspuren sprechen für Herdstellenbefunde. Ob die regelmässig vorkommenden Grasreste (Stroh?) als Magerung zu deuten sind, muss offenbleiben; bis anhin konnten in Schweizer Seeufersiedlungen mikromorphologisch keine mit Stroh gemagerten Lehme nachgewiesen werden.



Heterogene Lehme

Beschreibung: Heterogene Lehmablagerungen bestehen aus Lehmaggregaten, die oft mehrere Zentimeter gross sind. Der Lehmgehalt beträgt 44%, der Sandanteil 17%, organisches Material macht 13%, Karbonat 12% und Porosität 14% aus. Aquatische Elemente sind selten (Schwammnadeln, verwitterte Mollusken). Aschen, v. a. phosphatische Aschen, sind besonders häufig in dieser Fazies. Auch Getreidekörner und Knochen – regelmässig mit Brandspuren – treten oft auf. Flache Lehmaggregate sowie solche mit auffälligen Feinschichtungen kommen regelmässig vor.

Interpretation: Heterogene Lehme zeigen vor allem aufgrund ihres hohen Aschegehaltes einen starken Bezug zu Feuerstellen. Es wäre vorstellbar, dass es sich bei diesen Schichten entweder um *in situ* gelegene oder um entsorgte oder verstürzte Feuerstellen handelt. Knochen und Samen repräsentieren wohl Nahrungsreste, während Aschen, Holzkohlen und eventuell auch phosphatische Aschen das Feuerungsmaterial darstellen (Holz, Laub, Tannennadeln und eventuell Dung). Es gibt immer wieder Anzeichen dafür, dass die heterogenen Lehme Begehung ausgesetzt waren.



Tafel 34 Cham-Bachgraben. Mikromorphologie.

Mikroskopische Aufnahmen: lehmreiche Fazies.

Auf den Fotos in PPL (Durchlicht) erscheint Lehm grau bis beige, Lehm mit Brandspuren auch orange bis bräunlich, Quarz transparent und Porenraum weiss. Auf den Fotos mit XPL (gekreuzten Polarisatoren) ist Lehm dunkelgrau meliert, sofern er Brandspuren aufweist, auch bräunlich, Quarz weiss bis grünlich blau und Porenraum schwarz.

a) Reiner, kompakter und homogener Lehm, möglicherweise mit schwachen Brandspuren. MM 76.5, Mikroschicht 2b, PPL.

b) Wie a), jedoch XPL. Der Lehm besteht aus verwittertem Moränenmaterial (Al-/Bt-Horizont).

c) Der heterogene Lehm besteht aus einzelnen, teils stark brandüberprägten Lehmaggregaten (rot bis dunkelbraun). MM 53.1, Mikroschicht 2i, PPL.

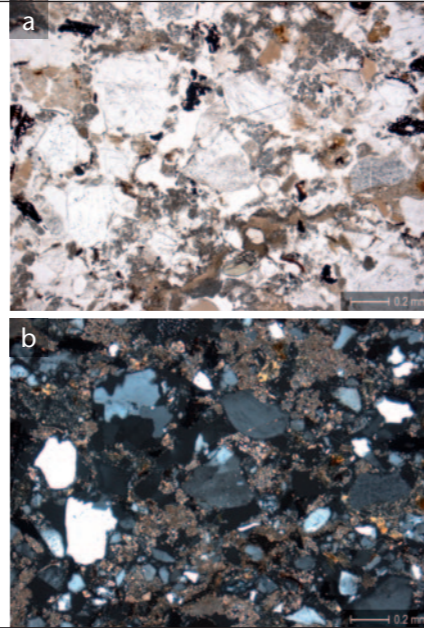
d) Wie c), jedoch XPL. Zwischen den Aggregaten lässt sich unregelmässig verteilter Quarzsand und -kies erkennen.

Anthropogene sandreiche Fazies

Aschereicher Sand

Beschreibung: Aschereiche Sande sind gut geschichtet und haben eine deutliche Untergrenze. Sie setzen sich aus rund 40% schlecht sortiertem Sand und Kies, über 20% Karbonat und je ungefähr 10% Lehm und organischem Material zusammen (Porosität 17%). Oft sind verwitterte Mollusken vorhanden, die höhere Werte als in anderen anthropogenen Ablagerungen erreichen. Eckige Holzkohlen sind rar. Aschen in allen aufgenommenen Formen sind häufig, wie auch Quarzkörner mit Schmelzsäumen. Auch Samen (oft Himbeeren/Brombeeren), Dopplerit und Koprolithen erreichen hohe Werte. Knochen sind häufig, eher gut erhalten und zeigen regelmässig Brandspuren. Kleine verrundete Lehmaggregate, ebenfalls oft mit Brandspuren, sind jeweils in geringen Mengen vorhanden.

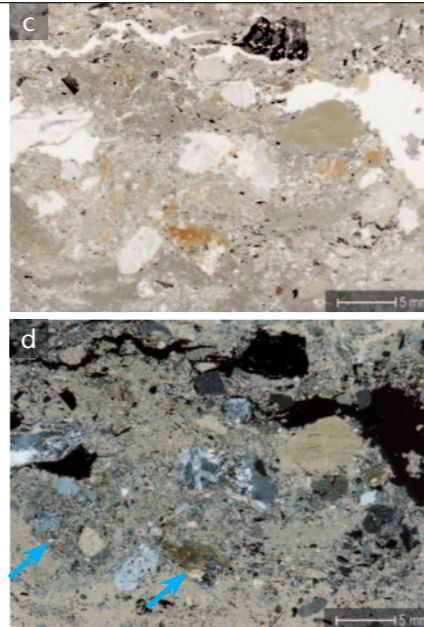
Interpretation: Aschereiche Sande zeigen Indizien für Erosionsprozesse, enthalten wenig Seekreide und hohe Anteile an Kulturschichtresten, oft mit Brandspuren. Der Sand dürfte auf fragmentierte Hitzesteine und verwitterten oder ausgewaschenen Lehm zurückgehen. Aschen und Knochen wurden wohl durch Steine, Keramik und Lehm vor Erosion geschützt. Möglicherweise gehen diese Ablagerungen auf Herdstellen zurück – ähnlich wie heterogene Lehme. Die Taphonomie der Aschen, vor allem Anzeichen von Kalklösung und Rekristallisation, deutet auf wechselfeuchte Ablagerungsverhältnisse hin.



Sand- und kiesreiche Schichten (ohne nähere Spezifizierung)

Beschreibung: Diese Fazies ist den aschereichen Sanden bezüglich ihrer Zusammensetzung recht ähnlich. Sie hat eine deutliche Untergrenze, ist aber schlechter geschichtet. Sie enthält 44% Sand und je 10–15% Kalziumkarbonat, organisches Material und Lehm (Porosität 19%). Die regelmässig beobachteten Mollusken sind hier besser erhalten als in den aschereichen Sanden. Selten kommen Schwammnadeln und verwitterte Oogonien vor. Verrundete Holzkohlen sind in über 80% der Mikroschichten enthalten, auch Aschen sind gut vertreten. 15–20% der Mikroschichten enthalten ein breites Spektrum an Samen (Getreidekörner, Himbeeren/Brombeeren, Kohlartige und Mohn). Kleintierknochen in allen Erhaltungsstufen sind häufig. Bei den Lehmaggregaten fällt auf, dass flache Aggregate in fast 30% der Mikroschichten vorhanden sind.

Interpretation: Die Entstehung der sand- und kiesreichen Ablagerungen ist vergleichbar mit derjenigen der aschereichen Sandfazies, wobei ein Teil der Ablagerungen auf aufgearbeitete, natürliche Sande und/oder Seekreiden zurückgehen könnte.



Tafel 35 Cham-Bachgraben. Mikromorphologie.

Mikroskopische Aufnahmen: anthropogene sandreiche Fazies.

Die Fotos in PPL (Durchlicht) zeigen Kalziumkarbonat in Hellgrau bis Beige (Mikrit/Aschen), Quarz erscheint transparent, Holzkohlen sind schwarz, Lehmaggregate beige, Porenraum ist weiss. Auf den Fotos mit XPL (gekreuzten Polarisatoren) erscheint Kalziumkarbonat bräunlich grau (Mikrit/Aschen), Quarz weiss bis bläulich grau, Lehmaggregate sind beige-grau meliert, Holzkohlen und Porenraum schwarz.

a) Zwischen den Quarzsandkörnern lassen sich Holzkohlen und grosse Mengen an karbonatischen Aschen erkennen (grau bis beige). MM 58.1, Mikroschicht 2j, PPL.

b) Wie a), jedoch XPL. Die karbonatischen Aschen treten gut hervor.

c) Im dichten Karbonat lassen sich Kies, diffuse Lehmaggregate (bräunlich) und grössere Holzkohlen beobachten. MM 65.4 (Dünnschliff-Scan), Mikroschicht 1Ab, PPL.

d) Wie c), jedoch XPL. Der Quarzkies und die Lehmaggregate sind gut erkennbar (Pfeile). Ein Teil des Kalziumkarbonates könnte auf Seekreide zurückgehen.

2 Gefässkeramik

Annick de Capitani

Zu Band 2, Kap. II

2.1 Katalog Gefäßkeramik

Taf.	Kat.	Zeitstellung	Gefäßstyp	Magerung	Oberfläche	Kurzbeschreibung Verzierung und Handhaben	Zusätzliche Angaben zur Erhaltung	Y-Koord.	X-Koord.	Ereignis	FK	Laufnr.	Feld	Pos.	Schicht
36	1	mittleres Horgen	Topf	grob	verstrichen	Kannelur, Randlochung		–	226497	448	203	1	41	44	Schicht 1 (vermisches Schichtinventar)
36	2	mittleres Horgen	Topf	grob	verstrichen	Kannelur, Randlochung	Gefäß durch Schichtdruck verformt	678504	226503	448	5205	2	100	2573	Schicht 1 (Horgen)
37	1	mittleres Horgen	Topf	grob	verstrichen	Kannelur, Randlochung		678525	226508	448	11814	1	149	4235	Schicht 1 (Horgen)
37	2	mittleres Horgen	Topf	grob	verstrichen	Kannelur, Randlochung		678514	226495	448	3852	1	70	2172	Schicht 1 (vermisches Schichtinventar)
37	3	mittleres Horgen	Topf	grob	unbestimmbar	Kannelur, Randlochung	Gefäß durch Schichtdruck verformt	678503	226503	448	5116	1	100	2573	Schicht 1 (Horgen)
38	1	mittleres Horgen	Topf	grob	verstrichen	Kannelur	Gefäß durch Schichtdruck verformt	678535	226510	448	8485	1	125	3706/3722	Schicht 1 (Horgen)
38	2	mittleres Horgen	Topf	grob	verstrichen	Kannelur		678520	226497	448	201	1	41	44	Schicht 1 (vermisches Schichtinventar)
39	1	mittleres Horgen	Topf	grob	verstrichen	unverziert	Gefäß durch Schichtdruck verformt	678507	226503	448	3688	1	90	2143	Schicht 1 (Horgen)
39	2	mittleres Horgen	Topf	grob	verstrichen	Kannelur		678510	226500	448	4705	1	99	2560	Schicht 1 (Horgen)
39	3	mittleres Horgen	Topf	grob	verstrichen	unverziert	Gefäß durch Schichtdruck verformt	678506	226503	448	3689	3	90	2143	Schicht 1 (Horgen)
40	1	mittleres Horgen	Topf	grob	verstrichen	Randlochung	Gefäß durch Schichtdruck verformt	678536	226510	448	8484	1	125	3706/3722	Schicht 1 (Horgen)
40	2	mittleres Horgen	Topf	grob	verstrichen	unverziert		678520	226497	448	201	5	41	44	Schicht 1 (vermisches Schichtinventar)
40	3	mittleres Horgen	Topf	grob	verstrichen	unverziert		678510	226496	448	7964	2	107	3564	Schicht 1 (vermisches Schichtinventar)
40	4	mittleres Horgen	Topf	grob	verstrichen	unverziert	Gefäß durch Schichtdruck verformt	678505	226499	448	5090	1	100	2573	Schicht 1 (Horgen)
40	5	mittleres Horgen	Topf	grob	verstrichen	unverziert	Gefäß durch Schichtdruck verformt	678503	226494	448	11229	1	151	4169	Schicht 1 (Horgen)
41	1	mittleres Horgen	Topf	grob	verstrichen	Kannelur, Randlochung		678508	226499	448	3562	3	90	2143	Schicht 1 (Horgen)
41	2	mittleres Horgen	Topf	grob	unbestimmbar	Rille, Randlochung		678526	226508	448	7756	1	114	3598	Schicht 1 (vermisches Schichtinventar)
41	3	mittleres Horgen	Topf	grob	unbestimmbar	Kannelur, Randlochung		678523	226504	448	8905	1	131	3795	Schicht 1 (Horgen)
41	4	mittleres Horgen	Topf	grob	verstrichen	Kannelur, Randlochung		678535	226512	448	8490	1	125	3706/3722	Schicht 1 (Horgen)
41	5	mittleres Horgen	Topf	grob	verstrichen	Rillen, Randlochung		678510	226494	448	7935	1	107	3564	Schicht 1 (vermisches Schichtinventar)
41	6	mittleres Horgen	Topf	grob	verstrichen	Rille, Randlochung		678525	226501	448	8905	2	131	3795	Schicht 1 (Horgen)
41	7	mittleres Horgen	Topf	grob	unbestimmbar	Rille, Randlochung		678512	226510	448	2733	1	69	1647/1590	Schicht 1 (Horgen)
41	8	mittleres Horgen	Topf	grob	unbestimmbar	Rillen, Randlochung	Gefäß durch Schichtdruck verformt	678528	226511	448	5013	1	97	2809	Schicht 1 (Horgen)
42	1	mittleres Horgen	Topf	grob	verstrichen	Rillen, Randlochung	Gefäß durch Schichtdruck verformt	678515	226504	448	10527	1	132	3962	Schicht 1 (Horgen)
42	2	mittleres Horgen	Topf	grob	verstrichen	Rillen, Randlochung		678525	226510	448	10359	1	123	3816/3860	Schicht 1 (Horgen)
42	3	mittleres Horgen	Topf	grob	verstrichen	Rillen, Randlochung	Gefäß durch Schichtdruck verformt	678514	226505	448	12133	1	150	3541	Schicht 1 (Horgen)
42	4	mittleres Horgen	Topf	grob	verstrichen	Rillen, Randlochung	Gefäß durch Schichtdruck verformt	678500	226491	448	8649	1	129	3727	Schicht 1 (vermisches Schichtinventar)
42	5	mittleres Horgen	Topf	grob	verstrichen	Rillen, Randlochung	Gefäß durch Schichtdruck verformt	678514	226505	448	12132	1	150	3541	Schicht 1 (Horgen)
43	1	mittleres Horgen	Topf	grob	verstrichen	Rillen	Gefäß durch Schichtdruck verformt	678514	226498	448	3474	1	70	2172	Schicht 1 (vermisches Schichtinventar)
43	2	mittleres Horgen	Topf	grob	verstrichen	Rille		678513	226491	448	2419	1	45	853	Schicht 1 (vermisches Schichtinventar)
43	3	mittleres Horgen	Topf	grob	verstrichen	Rillen		678527	226505	448	8277	1	114	3671	Schicht 1 (vermisches Schichtinventar)
43	4	mittleres Horgen	Topf	grob	verstrichen	Rillen		678510	226508	448	5648	1	98	UK 2565	Schicht 1 (Horgen)
44	1	mittleres Horgen	Topf	grob	verstrichen	glatte Leiste	Gefäß durch Schichtdruck verformt	678509	226499	448	3594	1	90	2143	Schicht 1 (Horgen)
44	2	mittleres Horgen	Topf	grob	verstrichen	glatte Leiste		678514	226499	448	10578	1	132	3962	Schicht 1 (Horgen)
44	3	mittleres Horgen	Topf	grob	verstrichen	glatte Leiste		678524	226501	448	10021	1	131	3795	Schicht 1 (Horgen)
44	4	mittleres Horgen	Topf	grob	verstrichen	glatte Leiste	Gefäß durch Schichtdruck verformt	678514	226497	448	3502	1	70	2172	Schicht 1 (vermisches Schichtinventar)
44	5	mittleres Horgen	Topf	grob	verstrichen	glatte Leiste		678514	226498	448	3542	1	70	2172	Schicht 1 (vermisches Schichtinventar)
44	6	mittleres Horgen	Topf	grob	verstrichen	Eindruckverzierung		678516	226500	448	10627	1	132	3962	Schicht 1 (Horgen)
45	1	mittleres Horgen	unbestimmbar	grob	verstrichen	–		678535	226510	448	8695	2	125	3706/3722	Schicht 1 (Horgen)
45	2	mittleres Horgen	unbestimmbar	grob	verstrichen	–		678516	226499	448	10553	1	132	3962	Schicht 1 (Horgen)
45	3	mittleres Horgen	unbestimmbar	grob	verstrichen	–		678524	226504	448	10362	1	131	3795	Schicht 1 (Horgen)
45	4	mittleres Horgen	unbestimmbar	grob	verstrichen	–		678500	226491	448	8648	1	129	3727	Schicht 1 (vermisches Schichtinventar)
45	5	mittleres Horgen	unbestimmbar	grob	verstrichen	–		678514	226496	448	3503	7	70	2172	Schicht 1 (vermisches Schichtinventar)
45	6	mittleres Horgen	unbestimmbar	grob	verstrichen	–		678524	226510	448	8622	1	123	3694	Schicht 1 (Horgen)
45	7	mittleres Horgen	unbestimmbar	grob	verstrichen	–		678514	226496	448	3503	1	70	2172	Schicht 1 (vermisches Schichtinventar)
45	8	mittleres Horgen	unbestimmbar	grob	verstrichen	–		678510	226502	448	4577	1	99	2521	Schicht 1 (Horgen)
45	9	mittleres Horgen	unbestimmbar	grob	verstrichen	–		678515	226497	448	3541	1	70	2172	Schicht 1 (vermisches Schichtinventar)
45	10	mittleres Horgen	unbestimmbar	grob	verstrichen	–		678506	226503	448	3689	4	90	2143	Schicht 1 (Horgen)
45	11	mittleres Horgen	unbestimmbar	grob	verstrichen	–		678516	226493	448	3637	2	70	2262	Schicht 1 (vermisches Schichtinventar)
46	1	Schnurkeramik	unbestimmbar	grob	verstrichen	Schnurverzierung		678513	226492	448	2410	1	45	853	Schicht 1 (vermisches Schichtinventar)
46	2	Schnurkeramik	unbestimmbar	grob	verstrichen	Eindruckverzierung		678506	226501	448	3750	1	90	2143	Schicht 1 (Horgen)
46	3	Schnurkeramik	unbestimmbar	grob	verstrichen	Fingertupfen		678515	226494	448	3719	1	70	2172	Schicht 1 (vermisches Schichtinventar)
46	4	Schnurkeramik	unbestimmbar	grob	verstrichen	Fingertupfen		678507	226495	448	10340	1	128	3601	Schicht 1 (vermisches Schichtinventar)
46	5	Schnurkeramik	unbestimmbar	grob	verstrichen	Fingertupfen		678503	226505	448	2447	41	58	1436	Schicht 1 (vermisches Schichtinventar)
46	6	Schnurkeramik	unbestimmbar	grob	verstrichen	Eindruckverzierung		678506	226508	448	3734	1	89	2139	Schicht 1 (Horgen)
46	7	Schnurkeramik	unbestimmbar	grob	verstrichen	–		678514	226502	448	9867	1	132	3870	Schicht 1 (Horgen)
46	8	Schnurkeramik	Topf	grob	verstrichen	Fingertupfen		678513	226491	448	2418	2	45	853	Schicht 1 (vermisches Schichtinventar)
46	9	mittleres Horgen	Topf	grob	verstrichen	Kannelur, Randlochung		678519	226509	448	10337	2	92	3351	Schicht 0.1 (vermisches Schichtinventar)
46	10	mittleres Horgen	unbestimmbar	grob	verstrichen	–		678526	226505	448	7944	1	114	3285	Schicht 0.1 (vermisches Schichtinventar)
46	11	Horgen	unbestimmbar	grob	unbestimmbar	–		678510	226490	448	1957	1	45	855	Schicht 0.1 (vermisches Schichtinventar)
46	12	mittleres Horgen	Topf	grob	unbestimmbar	Kannelur, Randlochung		678519	226510	448	4754	1	91	2502	Schicht 0.1 (vermisches Schichtinventar)
46	13	Schnurkeramik	unbestimmbar	grob	verstrichen	Schnurverzierung		678516	226508	448	11965	1	150	UK 4185	Schicht 0.1 (vermisches Schichtinventar)
46	14	Schnurkeramik	unbestimmbar	grob	verstrichen	–		678513	226492	448	2331	1	45	855	Schicht 0.1 (vermisches Schichtinventar)
46	15	Früh-/Mittelbronzezeit	Topf	grob	verstrichen	Fingertupfenleiste		678507	226495	448	9581	2	128	3841	Schicht 0.1 (vermisches Schichtinventar)
47	1	spätes Horgen	Topf	grob	unbestimmbar	Kannelur, Randlochung		678508	226488	448	839	1	46	469	Schicht 2 (vermisches Schichtinventar)
47	2	spätes Horgen	Topf	grob	unbestimmbar	Kannelur, Randlochung		678502	226487	448	537	6	47	219	Schicht 2 (vermisches Schichtinventar)
47	3	spätes Horgen	Topf	grob	verstrichen	Kannelur, Randlochung	Gefäß durch Schichtdruck verformt	678501	226500	448	9038	1	130	3771	Schicht 2 (vermisches Schichtinventar)
48	1	spätes Horgen	Topf	grob	unbestimmbar	Kannelur, Randlochung		678502	226488	448	559	1	47	219	Schicht 2 (vermisches Schichtinventar)
48	2	spätes Horgen	Topf	grob	verstrichen	Kannelur, Randlochung		678501	226499	448	8923	1	130	3771	Schicht 2 (vermisches Schichtinventar)
48	3	spätes Horgen	Topf	grob	verstrichen	Kannelur, Randlochung		678511	226501	448	4133	1	99	2480	Schicht 2 (vermisches Schichtinventar)
48	4	spätes Horgen	Topf	grob	verstrichen	Rille, Randlochung		678505	226493	448	11139	1	151	4149	Schicht 2 (vermisches Schichtinventar)
49	1	spätes Horgen	Topf	grob	unbestimmbar	Randlochung		678509	226490	448	1889	1	46	215	Schicht 2 (vermisches Schichtinventar)
49	2	spätes Horgen	Topf	grob	verstrichen	Randlochung		678502	226500	448	4432	1	100	2518	Schicht 2 (vermisches Schichtinventar)
49	3	spätes Horgen	Topf	grob	unbestimmbar	Randlochung	Gefäß durch Schichtdruck verformt	678509	226498	448	9555	1	128	3736	Schicht 2 (vermisches Schichtinventar)
49	4	spätes Horgen	Topf	grob	verstrichen	Randlochung		678512	226497	448	7136	13	107	3466	Schicht 2 (vermisches Schichtinventar)
49	5	spätes Horgen	Topf	grob	verstrichen	Randlochung		678498	226496	448	9039				

Taf.	Kat.	Zeitstellung	Gefässtyp	Magerung	Oberfläche	Kurzbeschreibung Verzierung und Handhaben	Zusätzliche Angaben zur Erhaltung	Y-Koord.	X-Koord.	Ereignis	FK	Laufnr.	Feld	Pos.	Schicht
50	3	spätes Horgen	Topf	grob	verstrichen	Kannelur, Randlochung	Gefäss durch Schichtdruck verformt	–	226505	448	2471	1	89	2083	Schicht 2 (vermisches Schichtinventar)
50	4	spätes Horgen	Topf	grob	verstrichen	Kannelur, Randlochung		678504	226502	448	3885	1	100	2518	Schicht 2 (vermisches Schichtinventar)
50	5	spätes Horgen	unbestimmbar	grob	verstrichen	–		678499	226496	448	9035	1	130	3771	Schicht 2 (vermisches Schichtinventar)
50	6	spätes Horgen	unbestimmbar	grob	unbestimmbar	–		678500	226489	448	478	1	47	219	Schicht 2 (vermisches Schichtinventar)
50	7	spätes Horgen	unbestimmbar	grob	verstrichen	–		678503	226498	448	11548	2	152	4171	Schicht 2 (vermisches Schichtinventar)
50	8	spätes Horgen	unbestimmbar	grob	verstrichen	–		678508	226504	448	3882	1	90	2050	Schicht 2 (vermisches Schichtinventar)
50	9	spätes Horgen	unbestimmbar	grob	verstrichen	–		678513	226499	448	4415	1	99	2480	Schicht 2 (vermisches Schichtinventar)
51	1	Schnurkeramik	Topf	grob	verstrichen	Fingertupfenleiste	Gefäss durch Schichtdruck verformt	678519	226511	448	4758	1	91	2501	Schicht 2 (Schnurkeramik)
51	2	Schnurkeramik	Topf	grob	verstrichen	eindruckverzierte Leiste		678513	226497	448	6318	1	107	3146	Schicht 2 (vermisches Schichtinventar)
51	3	Schnurkeramik	unbestimmbar	grob	verstrichen	Fingertupfenleiste		678511	226493	448	6992	2	107	3465	Schicht 2 (vermisches Schichtinventar)
51	4	Schnurkeramik	Topf	grob	verstrichen	Fingertupfenleiste		678502	226491	448	11145	1	151	4149	Schicht 2 (vermisches Schichtinventar)
51	5	Schnurkeramik	Topf	grob	verstrichen	Fingertupfenleiste		678533	226511	448	6955	1	120	3296	Schicht 2 (Schnurkeramik)
51	6	Schnurkeramik	Topf	grob	verstrichen	Fingertupfenleiste		678535	226510	448	7827	1	125	3630	Schicht 2 (Schnurkeramik)
52	1	Schnurkeramik	unbestimmbar	grob	verstrichen	eindruckverzierte Leiste		678518	226508	448	6716	1	92	3350	Schicht 2 (Schnurkeramik)
52	2	Schnurkeramik	unbestimmbar	grob	verstrichen	eindruckverzierte Leiste		678525	226499	448	8988	1	131	3773	Schicht 2 (Schnurkeramik)
52	3	Schnurkeramik	unbestimmbar	grob	verstrichen	eindruckverzierte Leiste		678517	226508	448	11514	9	150	2587	Schicht 2 (Schnurkeramik)
52	4	Schnurkeramik	unbestimmbar	grob	verstrichen	Fingertupfenleiste		678523	226512	448	8723	2	123	3695/3719	Schicht 2 (Schnurkeramik)
52	5	Schnurkeramik	Topf	grob	verstrichen	eindruckverzierte Leiste		678523	226508	448	8813	1	149	4151	Schicht 2 (Schnurkeramik)
52	6	Schnurkeramik	unbestimmbar	grob	verstrichen	Fingertupfenleiste		678508	226494	448	9453	1	128	3486	Schicht 2 (vermisches Schichtinventar)
52	7	Schnurkeramik	unbestimmbar	grob	verstrichen	Fingertupfenleiste		678517	226504	448	9944	1	132	3840	Schicht 2 (Schnurkeramik)
52	8	Schnurkeramik	unbestimmbar	grob	verstrichen	Fingertupfenleiste		678519	226506	448	5883	1	92	2338	Schicht 2 (Schnurkeramik)
52	9	Schnurkeramik	Topf	grob	verstrichen	Fingertupfenleiste		678512	226493	448	2970	1	107	3146	Schicht 2 (vermisches Schichtinventar)
52	10	Schnurkeramik	unbestimmbar	grob	verstrichen	Fingertupfenleiste		678516	226504	448	10072	1	132	UK 3840	Schicht 2 (Schnurkeramik)
52	11	Schnurkeramik	unbestimmbar	grob	verstrichen	Fingertupfenleiste		678499	226501	448	1271	3	52	583	Schicht 2 (vermisches Schichtinventar)
52	12	Schnurkeramik	unbestimmbar	grob	verstrichen	Fingertupfenleiste		678516	226508	448	11389	1	150	4173	Schicht 2 (Schnurkeramik)
52	13	Schnurkeramik	unbestimmbar	grob	unbestimmbar	Fingertupfenleiste		678502	226492	448	11241	2	151	4149	Schicht 2 (vermisches Schichtinventar)
53	1	Schnurkeramik	unbestimmbar	grob	unbestimmbar	Fingertupfen		678512	226493	448	6793	1	107	3228	Schicht 2 (vermisches Schichtinventar)
53	2	Schnurkeramik	Topf	grob	verstrichen	Fingertupfen		678523	226511	448	8424	1	123	3694	Schicht 2 (Schnurkeramik)
53	3	Schnurkeramik	unbestimmbar	grob	verstrichen	Fingertupfen		678514	226495	448	3224	4	70	1923	Schicht 2 (vermisches Schichtinventar)
53	4	Schnurkeramik	Topf	grob	verstrichen	Eindruckverzierung		678541	226495	448	15056	2	180	4718	Schicht 2 (vermisches Schichtinventar)
53	5	Schnurkeramik	Topf	grob	verstrichen	Fingertupfen	Gefäss durch Schichtdruck verformt	678513	226499	448	4240	1	99	2480	Schicht 2 (vermisches Schichtinventar)
53	6	Schnurkeramik	unbestimmbar	grob	verstrichen	Eindruckverzierung		678514	226497	448	3078	2	70	1766	Schicht 2 (vermisches Schichtinventar)
53	7	Schnurkeramik	unbestimmbar	grob	verstrichen	Fingertupfen		678514	226496	448	3237	1	70	1923	Schicht 2 (vermisches Schichtinventar)
53	8	Schnurkeramik	unbestimmbar	grob	verstrichen	Fingertupfen		678520	226508	448	3990	1	92	2249	Schicht 2 (Schnurkeramik)
53	9	Schnurkeramik	unbestimmbar	grob	unbestimmbar	Fingertupfen		678511	226494	448	6482	2	107	3146	Schicht 2 (vermisches Schichtinventar)
53	10	Schnurkeramik	unbestimmbar	grob	unbestimmbar	Fingertupfen		678537	226488	448	13449	1	163	4428	Schicht 2 (vermisches Schichtinventar)
53	11	Schnurkeramik	Topf	grob	verstrichen	Eindruckverzierung	Gefäss durch Schichtdruck verformt	678517	226508	448	11053	1	150	4141	Schicht 2 (Schnurkeramik)
54	1	Schnurkeramik	Topf	grob	verstrichen	Eindruckverzierung		678514	226510	448	6536	1	117	3279	Schicht 2 (Schnurkeramik)
54	2	Schnurkeramik	unbestimmbar	grob	verstrichen	Eindruckverzierung		678504	226500	448	4729	7	100	2518	Schicht 2 (vermisches Schichtinventar)
54	3	Schnurkeramik	unbestimmbar	grob	verstrichen	Eindruckverzierung		678528	226512	448	4483	1	97	2469	Schicht 2 (Schnurkeramik)
54	4	Schnurkeramik	unbestimmbar	grob	verstrichen	Eindruckverzierung		678514	226507	448	11294	14	150	4173	Schicht 2 (Schnurkeramik)
54	5	Schnurkeramik	unbestimmbar	grob	verstrichen	Eindruckverzierung		678513	226499	448	4309	1	99	2480	Schicht 2 (vermisches Schichtinventar)
54	6	Schnurkeramik	unbestimmbar	grob	verstrichen	Eindruckverzierung		678506	226503	448	3485	3	90	2050	Schicht 2 (vermisches Schichtinventar)
54	7	Schnurkeramik	Topf	grob	verstrichen	Eindruckverzierung		678519	226511	448	4016	2	91	2245	Schicht 2 (Schnurkeramik)
54	8	Schnurkeramik	unbestimmbar	grob	verstrichen	Eindruckverzierung		678513	226497	448	6318	12	107	3146	Schicht 2 (vermisches Schichtinventar)
54	9	Schnurkeramik	unbestimmbar	grob	verstrichen	Eindruckverzierung		678517	226499	448	9878	1	132	3840	Schicht 2 (Schnurkeramik)
54	10	Schnurkeramik	unbestimmbar	grob	verstrichen	Eindruckverzierung		678500	226497	448	9053	1	130	3771	Schicht 2 (vermisches Schichtinventar)
54	11	Schnurkeramik	unbestimmbar	grob	verstrichen	Eindruckverzierung		678523	226508	448	11539	1	149	4170	Schicht 2 (Schnurkeramik)
54	12	Schnurkeramik	unbestimmbar	grob	verstrichen	Eindruckverzierung		678507	226504	448	3903	3	90	2050	Schicht 2 (vermisches Schichtinventar)
55	1	Schnurkeramik	Topf	grob	verstrichen	Fingertupfen, glatte Leiste		678508	226493	448	439	1	128	3713	Schicht 2 (vermisches Schichtinventar)
55	2	Schnurkeramik	Topf	grob	verstrichen	Fingertupfen, Fingertupfenleiste		678522	226507	448	6066	1	149	4170	Schicht 2 (Schnurkeramik)
55	3	Schnurkeramik	unbestimmbar	grob	verstrichen	Eindruckverzierung		678514	226498	448	3211	1	70	1923	Schicht 2 (vermisches Schichtinventar)
55	4	Schnurkeramik	unbestimmbar	grob	verstrichen	Eindruckverzierung, eindruckverzierte Leiste		678513	226492	448	2413	1	45	1335	Schicht 2 (vermisches Schichtinventar)
55	5	Schnurkeramik	Topf	grob	verstrichen	Fingertupfen, Fingertupfenleiste		678516	226493	448	2885	3	70	1562	Schicht 2 (vermisches Schichtinventar)
55	6	Schnurkeramik	Topf	grob	unbestimmbar	Fingertupfen, Fingertupfenleiste		678513	226492	448	2412	1	45	1335	Schicht 2 (vermisches Schichtinventar)
55	7	Schnurkeramik	unbestimmbar	grob	verstrichen	Fingertupfen, Fingertupfenleiste		678522	226510	448	8421	1	123	3694	Schicht 2 (Schnurkeramik)
55	8	Schnurkeramik	unbestimmbar	grob	verstrichen	Fingertupfen		678513	226499	448	4315	16	99	2480	Schicht 2 (vermisches Schichtinventar)
55	9	Schnurkeramik	unbestimmbar	grob	verstrichen	Eindruckverzierung		678509	226490	448	1892	1	46	215	Schicht 2 (vermisches Schichtinventar)
55	10	Schnurkeramik	unbestimmbar	grob	verstrichen	Fingertupfen		678505	226497	448	6005	1	152	4171	Schicht 2 (vermisches Schichtinventar)
55	11	Schnurkeramik	unbestimmbar	grob	verstrichen	Fingertupfen		678513	226499	448	4309	3	99	2480	Schicht 2 (vermisches Schichtinventar)
55	12	Schnurkeramik	unbestimmbar	grob	verstrichen	Eindruckverzierung		678506	226501	448	3483	8	90	2050	Schicht 2 (vermisches Schichtinventar)
55	13	Schnurkeramik	unbestimmbar	grob	verstrichen	Fingertupfen		678522	226512	448	8049	1	123	3660	Schicht 2 (Schnurkeramik)
55	14	Schnurkeramik	unbestimmbar	grob	verstrichen	Fingertupfen, eindruckverzierte Leiste		678507	226487	448	846	1	46	469	Schicht 2 (vermisches Schichtinventar)
55	15	Schnurkeramik	unbestimmbar	grob	verstrichen	Eindruckverzierung		678515	226496	448	3170	4	70	1766	Schicht 2 (vermisches Schichtinventar)
55	16	Schnurkeramik	unbestimmbar	grob	verstrichen	Eindruckverzierung		678505	226504	448	4431	2	100	2518	Schicht 2 (vermisches Schichtinventar)
55	17	Schnurkeramik	unbestimmbar	grob	verstrichen	Fingertupfen		678522	226495	448	2675	1	65	1618	Schicht 2 (vermisches Schichtinventar)
55	18	Schnurkeramik	unbestimmbar	grob	verstrichen	Eindruckverzierung, eindruckverzierte Leiste		678533	226508	448	10056	1	134	3446	Schicht 2 (Schnurkeramik)
56	1	Schnurkeramik	Topf	grob	verstrichen	Eindruckverzierung		678517	226511	448	6349	4	117	3163	Schicht 2 (Schnurkeramik)
56	2	Schnurkeramik	unbestimmbar	grob	verstrichen	Eindruckverzierung	Gefäss durch Schichtdruck verformt	678509	226491	448	1958	1	46	UK 215	Schicht 2 (vermisches Schichtinventar)
56	3	Schnurkeramik	unbestimmbar	grob	verstrichen	Fingertupfen, Eindruckverzierung		678513	226493	448	7236	1	107	3484	Schicht 2 (vermisches Schichtinventar)
56	4	Schnurkeramik	unbestimmbar	grob	verstrichen	Eindruckverzierung		678525	226508	448	6909	1	149	4151	Schicht 2 (Schnurkeramik)
56	5	Schnurkeramik	unbestimmbar	grob	verstrichen	Eindruckverzierung		678509	226493	448	2975	1	128	3736	Schicht 2 (vermisches Schichtinventar)
56	6	Schnurkeramik	unbestimmbar	grob	unbestimmbar	Eindruckverzierung		678525	226508	448	11086	1	149	4117	Schicht 2 (Schnurkeramik)
56	7	Schnurkeramik	Topf	grob	verstrichen	Eindruckverzierung		678507	226496	448	8882	1	128	3736	Schicht 2 (vermisches Schichtinventar)
56	8	Schnurkeramik	Topf	grob	unbestimmbar	Eindruckverzierung		678546	226497	448	15965	1	169	4605	Schicht 2 (vermisches Schichtinventar)
56	9	Schnurkeramik	unbestimmbar	grob	verstrichen	Eindruckverzierung		678510	226493	448	7074	3	107	3465	Schicht 2 (vermisches Schichtinventar)
56	10	Schnurkeramik	Topf	grob	unbestimmbar	Eindruckverzierung		678537	226499	448	16394	1	176	4682	Schicht 2 (vermisches Schichtinventar)
56	11	Schnurkeramik	unbestimmbar	mittel	verstrichen	Fingertupfen		678516	226506	448	11217	1	150	4172	Schicht 2 (Schnurkeramik)
57	1	Schnurkeramik	Topf	grob	verstrichen	Eindruckverzierung	Gefäss durch Schichtdruck verformt	678517	226510	448	6493	1	117	3163	Schicht 2 (Schnurkeramik)

Taf.	Kat.	Zeitstellung	Gefäßstyp	Magerung	Oberfläche	Kurzbeschreibung Verzierung und Handhaben	Zusätzliche Angaben zur Erhaltung	Y-Koord.	X-Koord.	Ereignis	FK	Laufnr.	Feld	Pos.	Schicht
57	2	Schnurkeramik	unbestimmbar	grob	verstrichen	Eindruckverzierung	Gefäß durch Schichtdruck verformt	678523	226511	448	8698	3	123	3694	Schicht 2 (Schnurkeramik)
57	3	Schnurkeramik	unbestimmbar	grob	verstrichen	Ritzverzierung		678547	226490	448	12774	1	160	4526	Schicht 2 (vermisches Schichtinventar)
57	4	Schnurkeramik	unbestimmbar	grob	verstrichen	Eindruckverzierung		678509	226491	448	1942	1	46	215	Schicht 2 (vermisches Schichtinventar)
57	5	Schnurkeramik	Topf	grob	verstrichen	Eindruckverzierung		678520	226506	448	3914	1	92	2249	Schicht 2 (Schnurkeramik)
57	6	Schnurkeramik	unbestimmbar	grob	verstrichen	Eindruckverzierung		678513	226496	448	6991	2	107	3465	Schicht 2 (vermisches Schichtinventar)
57	7	Schnurkeramik	unbestimmbar	grob	verstrichen	Eindruckverzierung		678516	226497	448	3186	1	70	1808	Schicht 2 (vermisches Schichtinventar)
57	8	Schnurkeramik	unbestimmbar	grob	verstrichen	Eindruckverzierung		678504	226502	448	4731	2	100	2518	Schicht 2 (vermisches Schichtinventar)
57	9	Schnurkeramik	unbestimmbar	grob	verstrichen	Eindruckverzierung		678505	226500	448	4826	2	100	2518	Schicht 2 (vermisches Schichtinventar)
58	1	Schnurkeramik	unbestimmbar	grob	verstrichen	Schnurverzierung, Ritzverzierung		678516	226512	448	6411	4	117	3163	Schicht 2 (Schnurkeramik)
58	2	Schnurkeramik	unbestimmbar	grob	verstrichen	Schnurverzierung, Ritzverzierung		678520	226503	448	6365	1	113	3220	Schicht 2 (Schnurkeramik)
58	3	Schnurkeramik	unbestimmbar	grob	verstrichen	Ritzverzierung		678518	226509	448	10581	1	92	3350	Schicht 2 (Schnurkeramik)
58	4	Schnurkeramik	unbestimmbar	grob	verstrichen	Schnurverzierung, Ritzverzierung		678505	226488	448	1433	1	47	219	Schicht 2 (vermisches Schichtinventar)
58	5	Schnurkeramik	Becher	grob	verstrichen	Schnurverzierung, Ritzverzierung		678532	226507	448	9892	1	134	3296	Schicht 2 (Schnurkeramik)
58	6	Schnurkeramik	Becher	grob	verstrichen	Schnurverzierung, Ritzverzierung		678507	226487	448	731	1	46	UK 213	Schicht 2 (vermisches Schichtinventar)
58	7	Schnurkeramik	Becher	grob	verstrichen	Schnurverzierung, Ritzverzierung		678505	226491	448	1790	1	151	4149	Schicht 2 (vermisches Schichtinventar)
58	8	Schnurkeramik	unbestimmbar	grob	verstrichen	Schnurverzierung, Ritzverzierung		678523	226508	448	11201	6	149	4151	Schicht 2 (Schnurkeramik)
58	9	Schnurkeramik	unbestimmbar	grob	unbestimmbar	Schnurverzierung, Ritzverzierung		678498	226496	448	8999	1	130	3771	Schicht 2 (vermisches Schichtinventar)
58	10	Schnurkeramik	unbestimmbar	grob	verstrichen	Schnurverzierung, Ritzverzierung		678506	226503	448	3485	2	90	2050	Schicht 2 (vermisches Schichtinventar)
58	11	Schnurkeramik	unbestimmbar	grob	verstrichen	Schnurverzierung		678524	226508	448	11264	14	149	4151	Schicht 2 (Schnurkeramik)
59	1	Schnurkeramik	Becher	grob	verstrichen	Ritzverzierung		678515	226510	448	6440	1	117	3279	Schicht 2 (Schnurkeramik)
59	2	Schnurkeramik	unbestimmbar	grob	verstrichen	Eindruckverzierung, Ritzverzierung		678547	226482	448	12254	9	153	4275	Schicht 2 (Schnurkeramik)
59	3	Schnurkeramik	unbestimmbar	grob	verstrichen	Ritzverzierung		678509	226495	448	8787	1	128	3736	Schicht 2 (vermisches Schichtinventar)
59	4	Schnurkeramik	unbestimmbar	grob	verstrichen	Ritzverzierung		678508	226501	448	3512	1	90	2050	Schicht 2 (vermisches Schichtinventar)
59	5	Schnurkeramik	Becher	grob	unbestimmbar	Eindruckverzierung, Ritzverzierung		678515	226491	448	1807	1	44	1122	Schicht 2 (vermisches Schichtinventar)
59	6	Schnurkeramik	Becher	grob	verstrichen	Ritzverzierung	Gefäß durch Schichtdruck verformt	678520	226511	448	4084	1	91	2359	Schicht 2 (Schnurkeramik)
59	7	Schnurkeramik	Becher	grob	verstrichen	Eindruckverzierung, Ritzverzierung		678534	226510	448	6830	1	125	3630	Schicht 2 (Schnurkeramik)
59	8	Schnurkeramik	unbestimmbar	grob	verstrichen	–		678512	226495	448	6795	13	107	3228	Schicht 2 (vermisches Schichtinventar)
59	9	Schnurkeramik	Becher	grob	verstrichen	Eindruckverzierung, Ritzverzierung	Gefäß durch Schichtdruck verformt	678545	226494	448	15443	2	170	4601	Schicht 2 (vermisches Schichtinventar)
59	10	Schnurkeramik	unbestimmbar	grob	verstrichen	Ritzverzierung		678522	226507	448	6166	4	149	4170	Schicht 2 (Schnurkeramik)
60	1	Schnurkeramik	Becher	grob	verstrichen	Schnurverzierung, Eindruckverzierung		678533	226509	448	7254	1	134	3446	Schicht 2 (Schnurkeramik)
60	2	Schnurkeramik	Becher	grob	verstrichen	Schnurverzierung	Gefäß durch Schichtdruck verformt	678545	226501	448	17255	1	179	4754/4755	Schicht 2 (vermisches Schichtinventar)
60	3	Schnurkeramik	unbestimmbar	grob	verstrichen	Schnurverzierung		678521	226507	448	6173	1	92	2930	Schicht 2 (Schnurkeramik)
60	4	Schnurkeramik	unbestimmbar	grob	verstrichen	Wickelschnurverzierung		678536	226510	448	8204	3	125	3630	Schicht 2 (Schnurkeramik)
60	5	Schnurkeramik	unbestimmbar	grob	verstrichen	Schnurverzierung		678513	226499	448	4240	4	99	2480	Schicht 2 (vermisches Schichtinventar)
60	6	Schnurkeramik	unbestimmbar	grob	verstrichen	Wickelschnurverzierung		678518	226505	448	6166	1	92	3150	Schicht 2 (Schnurkeramik)
60	7	Schnurkeramik	verstrichen	grob	verstrichen	Schnurverzierung		678510	226496	448	7109	1	107	3465	Schicht 2 (vermisches Schichtinventar)
60	8	Schnurkeramik	unbestimmbar	grob	verstrichen	Schnurverzierung		678515	226498	448	3201	1	70	1808	Schicht 2 (vermisches Schichtinventar)
60	9	Schnurkeramik	unbestimmbar	grob	verstrichen	Schnurverzierung		678515	226507	448	11421	5	150	4173	Schicht 2 (Schnurkeramik)
60	10	Schnurkeramik	unbestimmbar	grob	verstrichen	Schnurverzierung		678535	226512	448	8013	2	125	3630	Schicht 2 (Schnurkeramik)
60	11	Schnurkeramik	unbestimmbar	grob	verstrichen	Schnurverzierung		678518	226509	448	10213	1	92	2361	Schicht 2 (Schnurkeramik)
60	12	Schnurkeramik	unbestimmbar	mittel	verstrichen	Schnurverzierung		678524	226496	448	2773	4	65	1618	Schicht 2 (vermisches Schichtinventar)
60	13	Schnurkeramik	unbestimmbar	mittel	verstrichen	Schnurverzierung		678516	226501	448	9975	1	132	3840	Schicht 2 (Schnurkeramik)
61	1	Schnurkeramik	unbestimmbar	grob	verstrichen	Eindruckverzierung, Ritzverzierung		678524	226500	448	8312	9	131	3773	Schicht 2 (Schnurkeramik)
61	2	Schnurkeramik	unbestimmbar	grob	verstrichen	Eindruckverzierung, Schnurverzierung		678507	226497	448	8472	1	128	3713	Schicht 2 (vermisches Schichtinventar)
61	3	Schnurkeramik	Becher	grob	verstrichen	Ritzverzierung, Eindruckverzierung		678508	226495	448	8470	1	128	3715	Schicht 2 (vermisches Schichtinventar)
61	4	Schnurkeramik	unbestimmbar	mittel	verstrichen	Eindruckverzierung, Ritzverzierung		678519	226505	448	5571	1	92	2587	Schicht 2 (Schnurkeramik)
61	5	Schnurkeramik	unbestimmbar	grob	verstrichen	Schnurverzierung, Eindruckverzierung		678516	226508	448	11717	6	150	3149/4184	Schicht 2 (Schnurkeramik)
61	6	Schnurkeramik	unbestimmbar	grob	verstrichen	–		678525	226500	448	9349	1	131	3818	Schicht 2 (Schnurkeramik)
61	7	Schnurkeramik	Becher	grob	verstrichen	unverziert		678521	226508	448	3888	1	92	2249	Schicht 2 (Schnurkeramik)
61	8	Schnurkeramik	unbestimmbar	grob	verstrichen	Ritzverzierung		678505	226501	448	4569	4	100	2518	Schicht 2 (vermisches Schichtinventar)
61	9	Schnurkeramik	Becher	grob	verstrichen	unverziert		678517	226500	448	9875	2	132	3840	Schicht 2 (Schnurkeramik)
61	10	Schnurkeramik	unbestimmbar	grob	verstrichen	–		678522	226496	448	2794	2	65	1618	Schicht 2 (vermisches Schichtinventar)
62	1	Schnurkeramik	unbestimmbar	grob	verstrichen	–		678510	226495	448	6479	20	107	3146	Schicht 2 (vermisches Schichtinventar)
62	2	Schnurkeramik	unbestimmbar	grob	verstrichen	–		678533	226509	448	10335	2	134	3446	Schicht 2 (Schnurkeramik)
62	3	Schnurkeramik	unbestimmbar	grob	verstrichen	–		678500	226497	448	9518	1	130	3771	Schicht 2 (vermisches Schichtinventar)
62	4	Schnurkeramik	unbestimmbar	grob	verstrichen	–		678516	226510	448	6538	1	117	3279	Schicht 2 (Schnurkeramik)
62	5	Schnurkeramik	unbestimmbar	grob	verstrichen	–		678512	226492	448	1543	2	45	810	Schicht 2 (vermisches Schichtinventar)
62	6	Schnurkeramik	unbestimmbar	grob	verstrichen	–		678518	226511	448	4103	1	91	2359	Schicht 2 (Schnurkeramik)
62	7	Schnurkeramik	unbestimmbar	grob	verstrichen	–		678512	226494	448	6986	4	107	3465	Schicht 2 (vermisches Schichtinventar)
62	8	Schnurkeramik	unbestimmbar	grob	verstrichen	–		678517	226508	448	11842	2	150	3149/4184	Schicht 2 (Schnurkeramik)
62	9	Schnurkeramik	unbestimmbar	grob	verstrichen	–		678504	226503	448	4536	1	100	2518	Schicht 2 (vermisches Schichtinventar)
62	10	Schnurkeramik	unbestimmbar	grob	verstrichen	–		678520	226511	448	4164	1	91	2359	Schicht 2 (Schnurkeramik)
62	11	Schnurkeramik	unbestimmbar	grob	unbestimmbar	–		678508	226489	448	838	1	46	469	Schicht 2 (vermisches Schichtinventar)
62	12	Schnurkeramik	unbestimmbar	grob	verstrichen	–		678506	226502	448	3360	1	90	2050	Schicht 2 (vermisches Schichtinventar)
62	13	Schnurkeramik	unbestimmbar	grob	verstrichen	–		678515	226508	448	12092	1	150	4184	Schicht 2 (Schnurkeramik)
62	14	Schnurkeramik	unbestimmbar	grob	verstrichen	–		678509	226487	448	1859	1	46	215	Schicht 2 (vermisches Schichtinventar)
63	1	Früh-/Mittelbronzezeit	Topf	grob	unbestimmbar	Fingertupfenleisten		678544	226480	448	12877	1	158	4372	Schicht 2 (vermisches Schichtinventar)
63	2	Früh-/Mittelbronzezeit	Topf	grob	verstrichen	Fingertupfenleiste		678522	226494	448	2695	2	65	1618	Schicht 2 (vermisches Schichtinventar)
63	3	Früh-/Mittelbronzezeit	Topf	grob	verstrichen	Fingertupfenleiste		678523	226496	448	2626	1	65	1548	Schicht 2 (vermisches Schichtinventar)
63	4	Früh-/Mittelbronzezeit	Topf	mittel	verstrichen/unbestimmbar	Fingertupfen		678541	226492	448	16094	1	177	4672	Schicht 2 (vermisches Schichtinventar)
63	5	Früh-/Mittelbronzezeit	Topf	grob	unbestimmbar	Fingertupfenleiste		678511	226509	448	4349	1	98	2476	Schicht 2 (vermisches Schichtinventar)
63	6	Früh-/Mittelbronzezeit	unbestimmbar	grob	verstrichen	–		678505	226498	448	11556	1	152	4171	Schicht 2 (vermisches Schichtinventar)
63	7	Früh-/Mittelbronzezeit	Topf	mittel	verstrichen	Fingertupfen		678507	226495	448	9095	1	128	3736	Schicht 2 (vermisches Schichtinventar)
63	8	Früh-/Mittelbronzezeit	Topf	grob	verstrichen	–		678511	226497	448	6961	1	107	3466	Schicht 2 (vermisches Schichtinventar)
63	9	Früh-/Mittelbronzezeit	unbestimmbar	grob	verstrichen	Bandhenkelansatz		678544	226496	448	16258	1	175	4667	Schicht 2 (vermisches Schichtinventar)
63	10	Früh-/Mittelbronzezeit	unbestimmbar	grob	unbestimmbar	doppelter Bandhenkel		678544	226481	448					

Taf.	Kat.	Zeitstellung	Gefäßstyp	Magerung	Oberfläche	Kurzbeschreibung Verzierung und Handhaben	Zusätzliche Angaben zur Erhaltung	Y-Koord.	X-Koord.	Ereignis	FK	Laufnr.	Feld	Pos.	Schicht
63	14	Früh-/Mittelbronzezeit	unbestimmbar	mittel	glatt/poliert	Ritzverzierung		678516	226510	448	6304	1	117	3163	Schicht 2 (Schnurkeramik)
63	15	Früh-/Mittelbronzezeit	unbestimmbar	mittel	glatt/poliert	Ritzverzierung		678515	226508	448	10889	9	150	4078	Schicht 2 (Schnurkeramik)
63	16	Früh-/Mittelbronzezeit	unbestimmbar	fein	unbestimmbar	Fingertupfen		678510	226500	448	4127	1	99	2369	Schicht 2 (vermisches Schichtinventar)
63	17	Früh-/Mittelbronzezeit	unbestimmbar	fein	verstrichen	Fingertupfen		678505	226498	448	11632	1	152	4171	Schicht 2 (vermisches Schichtinventar)
64	1	unbestimmte Zeitstellung	unbestimmbar	mittel	verstrichen	Bandhenkel		678517	226500	448	9545	3	132	3788	Schicht 2 (Schnurkeramik)
64	2	unbestimmte Zeitstellung	unbestimmbar	mittel	verstrichen	Bandhenkel		678514	226493	448	3297	1	70	1910	Schicht 2 (vermisches Schichtinventar)
64	3	unbestimmte Zeitstellung	unbestimmbar	mittel	unbestimmbar	Bandhenkel		678545	226480	448	13022	2	158	4372	Schicht 2 (vermisches Schichtinventar)
64	4	unbestimmte Zeitstellung	unbestimmbar	grob	verstrichen	Bandhenkelfragmente		678513	226493	448	6307	12	107	3146	Schicht 2 (vermisches Schichtinventar)
64	5	unbestimmte Zeitstellung	unbestimmbar	mittel	verstrichen	doppelt gelochte Öse		-	-	448	6448	5	117	3163	Schicht 2 (Schnurkeramik)
64	6	unbestimmte Zeitstellung	unbestimmbar	grob	verstrichen	einfach gelochte Öse		678545	226494	448	15575	4	170	4629	Schicht 2 (vermisches Schichtinventar)
64	7	unbestimmte Zeitstellung	unbestimmbar	grob	unbestimmbar	Fingernagelindrücke		678510	226505	448	4376	2	98	2476	Schicht 2 (vermisches Schichtinventar)
64	8	unbestimmte Zeitstellung	unbestimmbar	grob	verstrichen	Fingertupfen		678510	226496	448	6480	1	107	3146	Schicht 2 (vermisches Schichtinventar)
64	9	unbestimmte Zeitstellung	unbestimmbar	grob	verstrichen	glatte Leiste		678545	226484	448	12975	1	158	4372	Schicht 2 (vermisches Schichtinventar)
64	10	unbestimmte Zeitstellung	unbestimmbar	grob	unbestimmbar	Ritzverzierung, Knubbe		678526	226509	448	7091	1	114	3284	Schicht 2 (vermisches Schichtinventar)
64	11	unbestimmte Zeitstellung	unbestimmbar	grob	verstrichen	-		678514	226493	448	3423	1	70	2020	Schicht 2 (vermisches Schichtinventar)
64	12	unbestimmte Zeitstellung	unbestimmbar	grob	verstrichen	-		678522	226506	448	11557	1	149	4151	Schicht 2 (Schnurkeramik)
64	13	unbestimmte Zeitstellung	unbestimmbar	grob	verstrichen	Fingertupfenleiste		678511	226499	448	4497	1	99	2480	Schicht 2 (vermisches Schichtinventar)
64	14	Schnurkeramik	unbestimmbar	grob	unbestimmbar	-		678547	226499	448	14930	1	169	4604	Schicht 0.2 (vermisches Schichtinventar)
64	15	Früh-/Mittelbronzezeit	unbestimmbar	mittel	glatt/poliert	-		678548	226496	448	14861	2	169	4604	Schicht 0.2 (vermisches Schichtinventar)
64	16	Schnurkeramik	unbestimmbar	grob	verstrichen	Fingertupfen		678537	226488	448	13270	1	163	4426	Schicht 3 (vermisches Schichtinventar)
64	17	Schnurkeramik	Topf	grob	unbestimmbar	Fingertupfen		678536	226492	448	15072	1	171	4613	Schicht 3 (vermisches Schichtinventar)
65	1	Früh-/Mittelbronzezeit	Topf	grob	unbestimmbar	Fingertupfen, Fingertupfenleiste		678545	226489	448	13094	1	161	4394	Schicht 3 (Früh-/Mittelbronzezeit)
65	2	Früh-/Mittelbronzezeit	Topf	grob	unbestimmbar	Fingertupfenleisten		678540	226488	448	14066	1	162	4452	Schicht 3 (Früh-/Mittelbronzezeit)
65	3	Früh-/Mittelbronzezeit	Topf	grob	verstrichen/Schlick	Fingertupfenleisten		678547	226486	448	12626	5	155	4318	Schicht 3 (Früh-/Mittelbronzezeit)
65	4	Früh-/Mittelbronzezeit	Topf	grob	verstrichen/Schlick	Fingertupfenleisten, Griffklappen		678546	226488	448	12472	26	155	4318	Schicht 3 (Früh-/Mittelbronzezeit)
66	1	Früh-/Mittelbronzezeit	Topf	grob	verstrichen/Schlick	Fingertupfenleisten, Griffklappen		678546	226484	448	12218	1	153	4272	Schicht 3 (Früh-/Mittelbronzezeit)
66	2	Früh-/Mittelbronzezeit	Topf	grob	verstrichen	Fingertupfenleisten		678547	226488	448	12687	2	155	4318	Schicht 3 (Früh-/Mittelbronzezeit)
66	3	Früh-/Mittelbronzezeit	Topf	grob	verstrichen/Schlick	Fingertupfen, Fingertupfenleiste, Griffklappen		678548	226490	448	12520	3	160	4502	Schicht 3 (Früh-/Mittelbronzezeit)
67	1	Früh-/Mittelbronzezeit	Topf	grob	verstrichen	Fingertupfen		678547	226487	448	12616	12	155	4318	Schicht 3 (Früh-/Mittelbronzezeit)
67	2	Früh-/Mittelbronzezeit	Topf	grob	verstrichen	Fingertupfen, Fingertupfenleiste, eingedellter Griffklappen		678546	226487	448	12389	29	155	4319	Schicht 3 (Früh-/Mittelbronzezeit)
68	1	Früh-/Mittelbronzezeit	Topf	grob	verstrichen/Schlick	Fingertupfenleiste		678544	226484	448	12919	3	158	4370	Schicht 3 (Früh-/Mittelbronzezeit)
68	2	Früh-/Mittelbronzezeit	Topf	grob	verstrichen	Fingertupfenleiste		678548	226491	448	14227	4	160	4501	Schicht 3 (Früh-/Mittelbronzezeit)
68	3	Früh-/Mittelbronzezeit	Topf	grob	verstrichen	Fingertupfenleiste		678543	226484	448	13019	4	158	4370	Schicht 3 (Früh-/Mittelbronzezeit)
68	4	Früh-/Mittelbronzezeit	Topf	grob	verstrichen/Schlick	Fingertupfenleisten, Griffklappen		678546	226488	448	12615	9	155	4318	Schicht 3 (Früh-/Mittelbronzezeit)
69	1	Früh-/Mittelbronzezeit	Topf	grob	verstrichen	Fingertupfenleiste		678545	226498	448	15449	1	175	4642	Schicht 3 (Früh-/Mittelbronzezeit)
69	2	Früh-/Mittelbronzezeit	Topf	grob	verstrichen	Fingertupfenleiste		678547	226486	448	12625	52	155	4318	Schicht 3 (Früh-/Mittelbronzezeit)
69	3	Früh-/Mittelbronzezeit	Topf	grob	verstrichen	Fingertupfenleisten, Griffklappen		678546	226486	448	12666	1	155	4318	Schicht 3 (Früh-/Mittelbronzezeit)
70	1	Früh-/Mittelbronzezeit	Topf	grob	verstrichen/Schlick	Fingertupfenleiste, Griffklappen		678547	226486	448	12343	2	155	4318	Schicht 3 (Früh-/Mittelbronzezeit)
70	2	Früh-/Mittelbronzezeit	Topf	grob	verstrichen/Schlick	Fingertupfenleiste, Griffklappen		678547	226487	448	12471	1	155	4297	Schicht 3 (Früh-/Mittelbronzezeit)
71	1	Früh-/Mittelbronzezeit	Topf	grob	verstrichen/Schlick	Fingertupfenleiste, Griffklappen		678548	226486	448	12470	2	155	4297	Schicht 3 (Früh-/Mittelbronzezeit)
71	2	Früh-/Mittelbronzezeit	Topf	grob	verstrichen/Schlick	Fingertupfenleiste		678547	226481	448	12243	59	153	4275	Schicht 3 (Früh-/Mittelbronzezeit)
71	3	Früh-/Mittelbronzezeit	Topf	grob	verstrichen/Schlick	Fingertupfenleiste		678546	226488	448	12698	3	155	4318	Schicht 3 (Früh-/Mittelbronzezeit)
71	4	Früh-/Mittelbronzezeit	Topf	grob	verstrichen	Fingertupfenleiste		678547	226483	448	12242	5	153	4275	Schicht 3 (Früh-/Mittelbronzezeit)
71	5	Früh-/Mittelbronzezeit	Topf	grob	verstrichen/Schlick	Fingertupfenleiste auf Bauchknick		678546	226487	448	12615	20	155	4318	Schicht 3 (Früh-/Mittelbronzezeit)
71	6	Früh-/Mittelbronzezeit	Topf	grob	verstrichen/Schlick	Fingertupfenleiste, Griffklappen		678547	226498	448	14832	3	169	4591	Schicht 3 (Früh-/Mittelbronzezeit)
72	1	Früh-/Mittelbronzezeit	Topf	grob	verstrichen	Fingertupfen		678547	226491	448	14201	5	160	4501	Schicht 3 (Früh-/Mittelbronzezeit)
72	2	Früh-/Mittelbronzezeit	Topf	grob	verstrichen	Fingertupfen		678546	226495	448	15508	1	169	4591	Schicht 3 (Früh-/Mittelbronzezeit)
72	3	Früh-/Mittelbronzezeit	Topf	grob	verstrichen	Fingertupfen		678544	226485	448	13346	3	161	4394	Schicht 3 (Früh-/Mittelbronzezeit)
72	4	Früh-/Mittelbronzezeit	Topf	mittel	verstrichen	Fingertupfen		678546	226484	448	12245	6	153	4275	Schicht 3 (Früh-/Mittelbronzezeit)
72	5	Früh-/Mittelbronzezeit	Topf	grob	unbestimmbar	Fingertupfen, Fingertupfenleiste		678537	226486	448	13432	2	163	4426	Schicht 3 (vermisches Schichtinventar)
72	6	Früh-/Mittelbronzezeit	Topf	mittel	verstrichen	Fingertupfen		678546	226486	448	12457	3	155	4318	Schicht 3 (Früh-/Mittelbronzezeit)
72	7	Früh-/Mittelbronzezeit	Topf	grob	verstrichen	Fingertupfen		678547	226490	448	14247	14	160	4501	Schicht 3 (Früh-/Mittelbronzezeit)
72	8	Früh-/Mittelbronzezeit	Topf	grob	verstrichen/Schlick	Fingertupfenleisten	Gefäß durch Schichtdruck verformt	678546	226489	448	12632	3	155	4318	Schicht 3 (Früh-/Mittelbronzezeit)
72	9	Früh-/Mittelbronzezeit	Topf	grob	unbestimmbar	Fingertupfen		678535	226492	448	15073	1	171	4613	Schicht 3 (Früh-/Mittelbronzezeit)
72	10	Früh-/Mittelbronzezeit	Topf	mittel	unbestimmbar	Fingertupfen		678545	226491	448	15019	1	170	4599	Schicht 3 (Früh-/Mittelbronzezeit)
73	1	Früh-/Mittelbronzezeit	Topf	mittel	verstrichen	-		678542	226487	448	13308	18	161	4394	Schicht 3 (Früh-/Mittelbronzezeit)
73	2	Früh-/Mittelbronzezeit	unbestimmbar	grob	verstrichen	-		678548	226499	448	14839	4	169	4591	Schicht 3 (Früh-/Mittelbronzezeit)
73	3	Früh-/Mittelbronzezeit	Topf	grob	verstrichen	-		678548	226491	448	14225	1	160	4501	Schicht 3 (Früh-/Mittelbronzezeit)
73	4	Früh-/Mittelbronzezeit	Topf	grob	verstrichen	-		678547	226486	448	12625	38	155	4318	Schicht 3 (Früh-/Mittelbronzezeit)
73	5	Früh-/Mittelbronzezeit	Topf	mittel	verstrichen	-		678547	226486	448	12625	19	155	4318	Schicht 3 (Früh-/Mittelbronzezeit)
73	6	Früh-/Mittelbronzezeit	unbestimmbar	grob	verstrichen	-		678546	226489	448	12694	61	155	4318	Schicht 3 (Früh-/Mittelbronzezeit)
73	7	Früh-/Mittelbronzezeit	unbestimmbar	mittel	unbestimmbar	-		678545	226491	448	15011	5	170	4599	Schicht 3 (Früh-/Mittelbronzezeit)
73	8	Früh-/Mittelbronzezeit	Topf	grob	verstrichen	Fingertupfenleiste		678546	226496	448	14132	7	169	4591	Schicht 3 (Früh-/Mittelbronzezeit)
73	9	Früh-/Mittelbronzezeit	Topf	grob	verstrichen	-		678546	226489	448	12673	2	155	4318	Schicht 3 (Früh-/Mittelbronzezeit)
73	10	Früh-/Mittelbronzezeit	Topf	grob	verstrichen	-		678546	226486	448	12618	2	155	4318	Schicht 3 (Früh-/Mittelbronzezeit)
73	11	Früh-/Mittelbronzezeit	Topf	grob	verstrichen	-		678543	226490	448	15037	1	170	4599	Schicht 3 (Früh-/Mittelbronzezeit)
74	1	Früh-/Mittelbronzezeit	Knickwandschüssel	fein	glatt/poliert	Bauchknick		678546	226486	448	12616	5	155	4318	Schicht 3 (Früh-/Mittelbronzezeit)
74	2	Früh-/Mittelbronzezeit	Knickwandschüssel	fein	glatt/poliert	Bauchknick		678548	226493	448	14197	1	160	4501	Schicht 3 (Früh-/Mittelbronzezeit)
74	3	Früh-/Mittelbronzezeit	Knickwandschüssel	mittel	glatt/poliert	Bauchknick		678546	226492	448	12748	86	160	4501	Schicht 3 (Früh-/Mittelbronzezeit)
74	4	Früh-/Mittelbronzezeit	Knickwandschüssel	mittel	glatt/poliert	Bauchknick		678542	226488	448	13308	4	161	4394	Schicht 3 (Früh-/Mittelbronzezeit)
74	5	Früh-/Mittelbronzezeit	Knickwandschüssel	fein	glatt/poliert	Bauchknick		678548	226480	448	12229	1	153	4275	Schicht 3 (Früh-/Mittelbronzezeit)
74	6	Früh-/Mittelbronzezeit	Knickwandschüssel	mittel	glatt/poliert	feiner Griffklappen auf Bauchknick?		678544	226493	448	15385	1	170	4599	Schicht 3 (Früh-/Mittelbronzezeit)
74	7	Früh-/Mittelbronzezeit	Knickwandschüssel	fein	glatt/poliert	Bauchknick		678548	226483	448	12237	8	153	4275	Schicht 3 (Früh-/Mittelbronzezeit)
74	8	Früh-/Mittelbronzezeit	Knickwandschüssel	fein	glatt/poliert	Bauchknick		678543	226487	448	13273	9	161	4394	Schicht 3 (Früh-/Mittelbronzezeit)
74	9	Früh-/Mittelbronzezeit	Knickwandschüssel	fein	glatt/poliert	Bauchknick		678547	226491	448	14201	22	160	4501	Schicht 3 (Früh-/Mittelbronzezeit)
74	10	Früh-/Mittelbronzezeit	Knickwandschüssel	fein	glatt/poliert	Bauchknick		678545	226486	448	12268	29	161	4394	Schicht 3 (Früh-/Mittelbronzezeit)
74	11	Früh-/Mittelbronzezeit	Knickwandschüssel	fein	glatt/poliert	Bauchknick		678544	226488	448	13264	3	161	4394	Schicht 3 (Früh-/Mittelbronzezeit)
74	12	Früh-/Mittelbronzezeit	Knickwandschüssel	mittel	glatt/poliert	ausgebrogener Henkel auf Bauchknick		678544	226490	448	15036	14	170	4599	Schicht 3 (Früh-/Mittelbronzezeit)
74	13	Früh-/Mittelbronzezeit	Knickwandschüssel	mittel	glatt/poliert	ausgebrogener Bandhenkel über Bauchknick		678547	226486	448	12229	8	155	4318	Schicht 3 (Früh-/Mittelbronzezeit)

Taf.	Kat.	Zeitstellung	Gefäßstyp	Magerung	Oberfläche	Kurzbeschreibung Verzierung und Handhaben	Zusätzliche Angaben zur Erhaltung	Y-Koord.	X-Koord.	Ereignis	FK	Laufnr.	Feld	Pos.	Schicht
74	14	Früh-/Mittelbronzezeit	Knickwandschüssel	mittel	unbestimmbar	Bauchknick		678541	226487	448	13837	8	162	4452	Schicht 3 (Früh-/Mittelbronzezeit)
74	15	Früh-/Mittelbronzezeit	Knickwandschüssel	mittel	unbestimmbar	Bauchknick		678547	226481	448	12243	33	153	4275	Schicht 3 (Früh-/Mittelbronzezeit)
74	16	Früh-/Mittelbronzezeit	Knickwandschüssel	mittel	unbestimmbar	Bauchknick		678542	226487	448	13341	3	161	4394	Schicht 3 (Früh-/Mittelbronzezeit)
74	17	Früh-/Mittelbronzezeit	Knickwandschüssel	mittel	unbestimmbar	Bauchknick		678541	226487	448	13837	17	162	4452	Schicht 3 (Früh-/Mittelbronzezeit)
74	18	Früh-/Mittelbronzezeit	Knickwandschüssel	mittel	unbestimmbar	Bauchknick		678548	226485	448	12530	1	155	4297	Schicht 3 (Früh-/Mittelbronzezeit)
74	19	Früh-/Mittelbronzezeit	Knickwandschüssel	mittel	unbestimmbar	Bauchknick		678540	226488	448	14064	5	162	4452	Schicht 3 (Früh-/Mittelbronzezeit)
74	20	Früh-/Mittelbronzezeit	Knickwandschüssel	grob	glatt/poliert	Bauchknick		678548	226485	448	12784	3	155	4318	Schicht 3 (Früh-/Mittelbronzezeit)
75	1	Früh-/Mittelbronzezeit	Tasse	mittel	glatt/poliert	Knubbe, Bandhenkel		678544	226486	448	3147	1	161	4394	Schicht 3 (Früh-/Mittelbronzezeit)
75	2	Früh-/Mittelbronzezeit	Tasse	fein	glatt/poliert	Bandhenkelansatz		678544	226489	448	13251	1	161	4394	Schicht 3 (Früh-/Mittelbronzezeit)
75	3	Früh-/Mittelbronzezeit	Tasse	fein	glatt/poliert	Henkelansatz		678540	226487	448	14063	4	162	4452	Schicht 3 (Früh-/Mittelbronzezeit)
75	4	Früh-/Mittelbronzezeit	unbestimmbar	fein	verstrichen	Bandhenkel		678546	226488	448	12675	41	155	4318	Schicht 3 (Früh-/Mittelbronzezeit)
75	5	Früh-/Mittelbronzezeit	unbestimmbar	mittel	verstrichen	Bandhenkel		678544	226489	448	13251	49	161	4394	Schicht 3 (Früh-/Mittelbronzezeit)
75	6	Früh-/Mittelbronzezeit	unbestimmbar	grob	verstrichen	Bandhenkel		678547	226482	448	12251	27	153	4275	Schicht 3 (Früh-/Mittelbronzezeit)
75	7	Früh-/Mittelbronzezeit	unbestimmbar	mittel	verstrichen	Bandhenkel		678546	226487	448	12751	1	155	4318	Schicht 3 (Früh-/Mittelbronzezeit)
75	8	Früh-/Mittelbronzezeit	unbestimmbar	grob	unbestimmbar	Bandhenkelansatz		678544	226491	448	15038	7	170	4599	Schicht 3 (Früh-/Mittelbronzezeit)
75	9	Früh-/Mittelbronzezeit	unbestimmbar	grob	verstrichen	Bandhenkel		678546	226486	448	12618	11	155	4318	Schicht 3 (Früh-/Mittelbronzezeit)
75	10	Früh-/Mittelbronzezeit	unbestimmbar	mittel	verstrichen	Bandhenkel		678545	226488	448	13198	1	161	4394	Schicht 3 (Früh-/Mittelbronzezeit)
75	11	Früh-/Mittelbronzezeit	unbestimmbar	grob	verstrichen	Bandhenkel		678548	226490	448	14221	25	160	4501	Schicht 3 (Früh-/Mittelbronzezeit)
75	12	Früh-/Mittelbronzezeit	unbestimmbar	grob	verstrichen	Bandhenkel		678547	226488	448	12658	22	155	4318	Schicht 3 (Früh-/Mittelbronzezeit)
75	13	Früh-/Mittelbronzezeit	sonstige Form	grob	glatt/poliert	Bandhenkel, Knubbe?		678542	226485	448	13279	1	161	4394	Schicht 3 (Früh-/Mittelbronzezeit)
76	1	Früh-/Mittelbronzezeit	unbestimmbar	mittel	glatt/poliert	–		678548	226486	448	12628	73	155	4318	Schicht 3 (Früh-/Mittelbronzezeit)
76	2	Früh-/Mittelbronzezeit	unbestimmbar	mittel	glatt/poliert	–		678544	226487	448	13314	32	161	4394	Schicht 3 (Früh-/Mittelbronzezeit)
76	3	Früh-/Mittelbronzezeit	unbestimmbar	fein	glatt/poliert	–		678548	226487	448	12623	31	155	4318	Schicht 3 (Früh-/Mittelbronzezeit)
76	4	Früh-/Mittelbronzezeit	unbestimmbar	mittel	glatt/poliert	–		678546	226486	448	12457	6	155	4291	Schicht 3 (Früh-/Mittelbronzezeit)
76	5	Früh-/Mittelbronzezeit	unbestimmbar	grob	glatt/poliert	–		678543	226486	448	13276	8	161	4394	Schicht 3 (Früh-/Mittelbronzezeit)
76	6	Früh-/Mittelbronzezeit	unbestimmbar	fein	glatt/poliert	–		678548	226497	448	14837	2	169	4591	Schicht 3 (Früh-/Mittelbronzezeit)
76	7	Früh-/Mittelbronzezeit	unbestimmbar	fein	glatt/poliert	–		678544	226486	448	13349	14	161	4394	Schicht 3 (Früh-/Mittelbronzezeit)
76	8	Früh-/Mittelbronzezeit	unbestimmbar	fein	glatt/poliert	–		678545	226485	448	13345	19	161	4394	Schicht 3 (Früh-/Mittelbronzezeit)
76	9	Früh-/Mittelbronzezeit	unbestimmbar	mittel	glatt/poliert	–		678546	226486	448	12618	182	155	4318	Schicht 3 (Früh-/Mittelbronzezeit)
76	10	Früh-/Mittelbronzezeit	unbestimmbar	fein	glatt/poliert	–		678544	226492	448	15318	3	170	4599	Schicht 3 (Früh-/Mittelbronzezeit)
76	11	Früh-/Mittelbronzezeit	unbestimmbar	fein	glatt/poliert	–		678545	226499	448	15455	4	175	4642	Schicht 3 (Früh-/Mittelbronzezeit)
76	12	Früh-/Mittelbronzezeit	unbestimmbar	mittel	unbestimmbar	Schulterabsatz		678537	226499	448	15945	1	176	4657	Schicht 3 (Früh-/Mittelbronzezeit)
76	13	Früh-/Mittelbronzezeit	unbestimmbar	fein	glatt/poliert	Schulterabsatz		678545	226493	448	15780	24	170	4599	Schicht 3 (Früh-/Mittelbronzezeit)
76	14	Früh-/Mittelbronzezeit	unbestimmbar	fein	glatt/poliert	Schulterabsatz		678547	226489	448	12632	86	155	4318	Schicht 3 (Früh-/Mittelbronzezeit)
76	15	Früh-/Mittelbronzezeit	unbestimmbar	fein	glatt/poliert	feiner Griffappen auf Bauchknick		678547	226481	448	12243	28	153	4275	Schicht 3 (Früh-/Mittelbronzezeit)
76	16	Früh-/Mittelbronzezeit	unbestimmbar	fein	glatt/poliert	eingedellter Griffappen auf Schulterabsatz		678548	226486	448	12695	7	155	4318	Schicht 3 (Früh-/Mittelbronzezeit)
76	17	Früh-/Mittelbronzezeit	unbestimmbar	fein	glatt/poliert	Schulterabsatz		678545	226487	448	13077	3	161	4394	Schicht 3 (Früh-/Mittelbronzezeit)
77	1	Früh-/Mittelbronzezeit	Becher	fein	glatt/poliert	Ritzverzierung, sekrecht durchbohrte Öse		678548	226488	448	12689	1	155	4318	Schicht 3 (Früh-/Mittelbronzezeit)
77	2	Früh-/Mittelbronzezeit	Knickwandkrug	mittel	glatt/poliert	Ritzverzierung auf und unter Schulterabsatz		678548	226487	448	12400	5	155	4318	Schicht 3 (Früh-/Mittelbronzezeit)
77	3	Früh-/Mittelbronzezeit	sonstige Form	fein	glatt/poliert	inkrustierte Ritzverzierung und feine, vertikal durchbohrte Öse auf Bauchknick		678548	226486	448	12470	10	155	4297	Schicht 3 (Früh-/Mittelbronzezeit)
77	4	Früh-/Mittelbronzezeit	unbestimmbar	fein	glatt/poliert	Ritzverzierung, Knubbe		678546	226488	448	12617	17	155	4318	Schicht 3 (Früh-/Mittelbronzezeit)
77	5	Früh-/Mittelbronzezeit	unbestimmbar	fein	glatt/poliert	Ritzverzierung, Bandhenkelansatz		678544	226487	448	13269	105	161	4394	Schicht 3 (Früh-/Mittelbronzezeit)
77	6	Früh-/Mittelbronzezeit	Knickwandkrug	mittel	glatt/poliert	Ritzverzierung		678544	226495	448	15576	16	175	4642	Schicht 3 (Früh-/Mittelbronzezeit)
77	7	Früh-/Mittelbronzezeit	Knickwandkrug	mittel	glatt/poliert	Ritzverzierung		678537	226487	448	13478	1	163	4426	Schicht 3 (vermisches Schichtinventar)
77	8	Früh-/Mittelbronzezeit	unbestimmbar	mittel	glatt/poliert	Ritzverzierung		678548	226485	448	12784	31	155	4318	Schicht 3 (Früh-/Mittelbronzezeit)
77	9	Früh-/Mittelbronzezeit	Knickwandkrug	mittel	glatt/poliert	Ritzverzierung		678547	226486	448	12544	105	155	4318	Schicht 3 (Früh-/Mittelbronzezeit)
77	10	Früh-/Mittelbronzezeit	unbestimmbar	fein	glatt/poliert	Ritzverzierung		678547	226481	448	12243	36	153	4275	Schicht 3 (Früh-/Mittelbronzezeit)
77	11	Früh-/Mittelbronzezeit	unbestimmbar	grob	verstrichen	Ritzverzierung		678546	226490	448	14147	12	160	4501	Schicht 3 (Früh-/Mittelbronzezeit)
77	12	Früh-/Mittelbronzezeit	unbestimmbar	mittel	glatt/poliert	Ritzverzierung, Einstichverzierung		678547	226488	448	12658	15	155	4318	Schicht 3 (Früh-/Mittelbronzezeit)
77	13	Früh-/Mittelbronzezeit	unbestimmbar	fein	glatt/poliert	Ritzverzierung über Bauchknick		678547	226491	448	14201	17	160	4501	Schicht 3 (Früh-/Mittelbronzezeit)
77	14	Früh-/Mittelbronzezeit	Knickwandkrug	fein	glatt/poliert	Ritzverzierung, Einstichverzierung und Knubben auf Bauchbruch	zerdrücktes Gefäß	678548	226487	448	12625	35	155	4318	Schicht 3 (Früh-/Mittelbronzezeit)
77	15	Früh-/Mittelbronzezeit	Knickwandkrug	fein	glatt/poliert	Ritzverzierung		678546	226497	448	14866	14	169	4591	Schicht 3 (Früh-/Mittelbronzezeit)
77	16	Früh-/Mittelbronzezeit	Knickwandkrug	mittel	glatt/poliert	Ritzverzierung		678547	226486	448	12472	41	155	4297	Schicht 3 (Früh-/Mittelbronzezeit)
77	17	Früh-/Mittelbronzezeit	Knickwandkrug	fein	glatt/poliert	inkrustierte Ritz- und Stempelverzierung		678546	226489	448	12254	2	155	4318	Schicht 3 (Früh-/Mittelbronzezeit)
78	1	Früh-/Mittelbronzezeit	sonstige Form	grob	verstrichen	Fingernageleindrücke		678544	226485	448	12390	5	161	4394	Schicht 3 (Früh-/Mittelbronzezeit)
78	2	Früh-/Mittelbronzezeit	sonstige Form	grob	unbestimmbar	Eindruckverzierung		678541	226488	448	13820	3	162	4452	Schicht 3 (Früh-/Mittelbronzezeit)
78	3	Früh-/Mittelbronzezeit	sonstige Form	mittel	glatt/poliert	Fingernageleindrücke unter Schulterabsatz		678545	226486	448	13251	17	161	4393	Schicht 3 (Früh-/Mittelbronzezeit)
78	4	Früh-/Mittelbronzezeit	unbestimmbar	grob	unbestimmbar	Fingertupfen		678545	226490	448	15034	8	170	4599	Schicht 3 (Früh-/Mittelbronzezeit)
78	5	Früh-/Mittelbronzezeit	unbestimmbar	grob	verstrichen	Fingertupfen		678546	226487	448	12472	82	155	4319	Schicht 3 (Früh-/Mittelbronzezeit)
78	6	Früh-/Mittelbronzezeit	unbestimmbar	mittel	verstrichen	Fingernageleindrücke		678548	226486	448	12628	22	155	4318	Schicht 3 (Früh-/Mittelbronzezeit)
78	7	Früh-/Mittelbronzezeit	unbestimmbar	mittel	unbestimmbar	Fingernageleindrücke		678548	226490	448	14238	2	160	4501	Schicht 3 (Früh-/Mittelbronzezeit)
78	8	Früh-/Mittelbronzezeit	unbestimmbar	fein	unbestimmbar	Fingernageleindrücke		678544	226484	448	12930	12	158	4370	Schicht 3 (Früh-/Mittelbronzezeit)
78	9	Früh-/Mittelbronzezeit	unbestimmbar	mittel	glatt/poliert	Fingernageleindrücke		678547	226482	448	12251	29	153	4275	Schicht 3 (Früh-/Mittelbronzezeit)
78	10	Früh-/Mittelbronzezeit	unbestimmbar	mittel	verstrichen	Fingernageleindrücke über Bauchknick		678543	226494	448	15411	3	170	4599	Schicht 3 (Früh-/Mittelbronzezeit)
78	11	Früh-/Mittelbronzezeit	unbestimmbar	mittel	unbestimmbar	Fingernageleindrücke		678545	226497	448	15580	5	175	4642	Schicht 3 (Früh-/Mittelbronzezeit)
78	12	Früh-/Mittelbronzezeit	unbestimmbar	mittel	glatt/poliert	feiner Griffappen auf Bauchknick, darunter flächige Eindruckverzierung		678544	226487	448	13269	8	161	4394	Schicht 3 (Früh-/Mittelbronzezeit)
78	13	Früh-/Mittelbronzezeit	unbestimmbar	mittel	glatt/poliert	Eindruckverzierung		678548	226491	448	14146	27	160	4501	Schicht 3 (Früh-/Mittelbronzezeit)
78	14	Früh-/Mittelbronzezeit	unbestimmbar	grob	verstrichen	Eindruckverzierung		678547	226489	448	12632	82	155	4318	Schicht 3 (Früh-/Mittelbronzezeit)
78	15	Früh-/Mittelbronzezeit	unbestimmbar	mittel	unbestimmbar	Fingernageleindrücke auf Schulterabsatz		678543	226484	448	13066	28	158	4370	Schicht 3 (Früh-/Mittelbronzezeit)
78	16	Früh-/Mittelbronzezeit	unbestimmbar	grob	verstrichen	eindruckverzierte Scherbe, Bandhenkelansatz		678548	226498	448	14798	1	169	4591	Schicht 3 (Früh-/Mittelbronzezeit)
78	17	Früh-/Mittelbronzezeit	unbestimmbar	grob	verstrichen	flächig eindruckverzierter Bandhenkel		678547	226489	448	12739	1	155	4318	Schicht 3 (Früh-/Mittelbronzezeit)
78	18	Früh-/Mittelbronzezeit	unbestimmbar	fein	glatt/poliert	eindruckverzierte Leiste auf Bauchknick, darunter flächige, aus Fingerkniffen gebildete Verzierung		678543	226488	448	13313	8	161	4394	Schicht 3 (Früh-/Mittelbronzezeit)
78	19	Früh-/Mittelbronzezeit	sonstige Form	grob	verstrichen	Eindruckverzierung, darunter flächige, aus Fingerkniffen gebildete Verzierung, Bandhenkel		678542	226492	448	3145	2	170	4597/4598	Schicht 3 (Früh-/Mittelbronzezeit)
79	1	Früh-/Mittelbronzezeit	Schale	grob	verstrichen	–		678547	226487	448	12636	2	155	4318	Schicht 3 (Früh-/Mittelbronzezeit)
79	2	Früh-/Mittelbronzezeit	sonstige Form	mittel	Schlick	–		678546	226486	448	12627	7	155	4318	Schicht 3 (Früh-/Mittelbronzezeit)
79	3	Früh-/Mittelbronzezeit	sonstige Form	fein	glatt/poliert	–		678548	226491	448	14199	1	160	4501	Schicht 3 (Früh-/Mittelbronzezeit)
79	4	Früh-/Mittelbronzezeit	Schale	mittel	unbestimmbar	–		678546	226487	448	12363	1	155	4291	Schicht 3 (Früh-/Mittelbronzezeit)
79	5	Früh-/Mittelbronzezeit	Schale	fein	verstrichen	–		678545	226485	448	12805	2	161	4394	Schicht 3 (Früh-/Mittelbronzezeit)
79	6	Früh-/Mittelbronzezeit	Kleingefäß	grob	verstrichen	–		678546	226487	448	12472	77	155	4319	Schicht 3 (Früh-/Mittelbronzezeit)




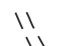
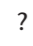









Taf.	Kat.	Zeitstellung	Gefäßstyp	Magerung	Oberfläche	Kurzbeschreibung Verzierung und Handhaben	Zusätzliche Angaben zur Erhaltung	Y-Koord.	X-Koord.	Ereignis	FK	Laufnr.	Feld	Pos.	Schicht
79	7	Früh-/Mittelbronzezeit	Kleingefäß	mittel	verstrichen	Fingernageleindrücke		678544	226485	448	13197	5	161	4394	Schicht 3 (Früh-/Mittelbronzezeit)
79	8	Früh-/Mittelbronzezeit	unbestimmbar	mittel	verstrichen	Eindruckverzierung, Griffklappen		678542	226487	448	13308	20	161	4394	Schicht 3 (Früh-/Mittelbronzezeit)
79	9	Früh-/Mittelbronzezeit	unbestimmbar	grob	verstrichen	eingedellter Griffklappen		678547	226486	448	12522	9	155	4297	Schicht 3 (Früh-/Mittelbronzezeit)
79	10	Früh-/Mittelbronzezeit	Deckel	fein	glatt/poliert	–		678548	226489	448	12665	75	155	4318	Schicht 3 (Früh-/Mittelbronzezeit)
79	11	Früh-/Mittelbronzezeit	Deckel	mittel	verstrichen	–		678545	226487	448	13300	57	161	4394	Schicht 3 (Früh-/Mittelbronzezeit)
79	12	Früh-/Mittelbronzezeit	Sieb	grob	verstrichen	Lochung		678544	226485	448	12664	19	161	4394	Schicht 3 (Früh-/Mittelbronzezeit)
79	13	Früh-/Mittelbronzezeit	Sieb	mittel	verstrichen	Lochung		678546	226493	448	13308	13	160	4501	Schicht 3 (Früh-/Mittelbronzezeit)
79	14	Früh-/Mittelbronzezeit	unbestimmbar	grob	verstrichen	eindruckverzierte Leiste		678543	226489	448	13316	1	161	4394	Schicht 3 (Früh-/Mittelbronzezeit)
79	15	Früh-/Mittelbronzezeit	unbestimmbar	fein	glatt/poliert	eindruckverzierte Leiste		678547	226489	448	12426	6	155	4296	Schicht 3 (Früh-/Mittelbronzezeit)
79	16	Früh-/Mittelbronzezeit	unbestimmbar	mittel	verstrichen	eindruckverzierte Leiste		678548	226485	448	12611	5	155	4318	Schicht 3 (Früh-/Mittelbronzezeit)
79	17	Früh-/Mittelbronzezeit	unbestimmbar	fein	glatt/poliert	Eindruckverzierung		678544	226487	448	12981	24	161	4394	Schicht 3 (Früh-/Mittelbronzezeit)
80	1	Früh-/Mittelbronzezeit	unbestimmbar	mittel	glatt/poliert	–		678545	226486	448	13443	4	161	4394	Schicht 3 (Früh-/Mittelbronzezeit)
80	2	Früh-/Mittelbronzezeit	unbestimmbar	mittel	glatt/poliert	–		678545	226487	448	13471	5	161	4394	Schicht 3 (Früh-/Mittelbronzezeit)
80	3	Früh-/Mittelbronzezeit	unbestimmbar	mittel	unbestimmbar	–		678541	226487	448	13790	3	162	4452	Schicht 3 (Früh-/Mittelbronzezeit)
80	4	Früh-/Mittelbronzezeit	unbestimmbar	grob	verstrichen	–		678545	226487	448	13253	1	161	4394	Schicht 3 (Früh-/Mittelbronzezeit)
80	5	Früh-/Mittelbronzezeit	unbestimmbar	grob	unbestimmbar	–		678543	226499	448	15448	6	175	4642	Schicht 3 (Früh-/Mittelbronzezeit)
80	6	Früh-/Mittelbronzezeit	unbestimmbar	mittel	glatt/poliert	–		678548	226481	448	12228	2	153	4275	Schicht 3 (Früh-/Mittelbronzezeit)
80	7	Früh-/Mittelbronzezeit	unbestimmbar	grob	verstrichen	–		678547	226489	448	12632	11	155	4318	Schicht 3 (Früh-/Mittelbronzezeit)
80	8	Früh-/Mittelbronzezeit	unbestimmbar	grob	verstrichen	–		678542	226484	448	13013	9	158	4370	Schicht 3 (Früh-/Mittelbronzezeit)
80	9	Früh-/Mittelbronzezeit	unbestimmbar	grob	verstrichen	–		678546	226487	448	12472	21	155	4319	Schicht 3 (Früh-/Mittelbronzezeit)
80	10	Früh-/Mittelbronzezeit	unbestimmbar	mittel	glatt/poliert	–		678547	226486	448	12522	1	155	4297	Schicht 3 (Früh-/Mittelbronzezeit)
80	11	Früh-/Mittelbronzezeit	unbestimmbar	mittel	glatt/poliert	–		678544	226487	448	13314	3	161	4394	Schicht 3 (Früh-/Mittelbronzezeit)
80	12	Früh-/Mittelbronzezeit	unbestimmbar	grob	unbestimmbar	–		678539	226487	448	13797	1	162	4452	Schicht 3 (Früh-/Mittelbronzezeit)
80	13	Früh-/Mittelbronzezeit	unbestimmbar	fein	glatt/poliert	–		678543	226484	448	13019	7	158	4370	Schicht 3 (Früh-/Mittelbronzezeit)
80	14	Früh-/Mittelbronzezeit	unbestimmbar	fein	glatt/poliert	–		678547	226486	448	12625	72	155	4318	Schicht 3 (Früh-/Mittelbronzezeit)
80	15	Früh-/Mittelbronzezeit	unbestimmbar	grob	Schlick	–		678543	226486	448	13303	1	161	4394	Schicht 3 (Früh-/Mittelbronzezeit)
81	1	Früh-/Mittelbronzezeit	unbestimmbar	grob	unbestimmbar	–		678545	226487	448	13300	6	161	4394	Schicht 3 (Früh-/Mittelbronzezeit)
81	2	Früh-/Mittelbronzezeit	unbestimmbar	fein	verstrichen	–		678546	226486	448	12666	2	155	4318	Schicht 3 (Früh-/Mittelbronzezeit)
81	3	Früh-/Mittelbronzezeit	unbestimmbar	grob	verstrichen	–		678547	226487	448	12616	2	155	4318	Schicht 3 (Früh-/Mittelbronzezeit)
81	4	Früh-/Mittelbronzezeit	unbestimmbar	mittel	verstrichen	–		678548	226487	448	12664	2	155	4318	Schicht 3 (Früh-/Mittelbronzezeit)
81	5	Früh-/Mittelbronzezeit	unbestimmbar	mittel	verstrichen	–		678547	226486	448	12625	114	155	4318	Schicht 3 (Früh-/Mittelbronzezeit)
81	6	Früh-/Mittelbronzezeit	unbestimmbar	fein	verstrichen	–		678548	226491	448	14234	3	160	4501	Schicht 3 (Früh-/Mittelbronzezeit)
81	7	Früh-/Mittelbronzezeit	unbestimmbar	grob	unbestimmbar	–		678539	226499	448	16937	2	180	4714	Schicht 3 (Früh-/Mittelbronzezeit)
81	8	Früh-/Mittelbronzezeit	unbestimmbar	fein	unbestimmbar	–		678547	226489	448	12531	1	155	4297	Schicht 3 (Früh-/Mittelbronzezeit)
81	9	Früh-/Mittelbronzezeit	unbestimmbar	grob	verstrichen	–		678546	226489	448	12673	4	155	4318	Schicht 3 (Früh-/Mittelbronzezeit)
81	10	Früh-/Mittelbronzezeit	unbestimmbar	mittel	glatt/poliert	–		678544	226485	448	13346	12	161	4394	Schicht 3 (Früh-/Mittelbronzezeit)
81	11	Früh-/Mittelbronzezeit	unbestimmbar	fein	glatt/poliert	–		678544	226485	448	13346	1	161	4394	Schicht 3 (Früh-/Mittelbronzezeit)
81	12	Früh-/Mittelbronzezeit	unbestimmbar	mittel	verstrichen	–		678547	226486	448	12625	26	155	4318	Schicht 3 (Früh-/Mittelbronzezeit)
81	13	Früh-/Mittelbronzezeit	unbestimmbar	fein	glatt/poliert	–		678543	226486	448	13102	3	161	4394	Schicht 3 (Früh-/Mittelbronzezeit)
81	14	Früh-/Mittelbronzezeit	unbestimmbar	mittel	verstrichen	–		678547	226501	448	16857	2	173	4692	Schicht 3 (Früh-/Mittelbronzezeit)
82	1	Schnurkeramik	Topf	grob	verstrichen	Fingertupfenleiste		678528	226513	448	4169	2	97	2472	Schicht 0.3 (vermisches Schichtinventar)
82	2	Schnurkeramik	unbestimmbar	grob	verstrichen	Eindruckverzierung		678522	226511	448	7396	1	123	3562	Schicht 0.3 (vermisches Schichtinventar)
82	3	Schnurkeramik	unbestimmbar	grob	verstrichen	Eindruckverzierung		678524	226504	448	8782	1	131	3760	Schicht 0.3 (vermisches Schichtinventar)
82	4	Schnurkeramik	Topf	grob	verstrichen	Eindruckverzierung, Fingertupfenleiste		678523	226494	448	2547	1	65	1487	Schicht 0.3 (vermisches Schichtinventar)
82	5	Schnurkeramik	unbestimmbar	grob	unbestimmbar	Eindruckverzierung		678522	226511	448	7456	1	123	3562	Schicht 0.3 (vermisches Schichtinventar)
82	6	Schnurkeramik	unbestimmbar	grob	verstrichen	Eindruckverzierung		678527	226512	448	4180	4	97	2472	Schicht 0.3 (vermisches Schichtinventar)
82	7	Schnurkeramik	unbestimmbar	grob	unbestimmbar	Eindruckverzierung, Ritzverzierung		678536	226502	448	16306	1	178	4684	Schicht 0.3 (vermisches Schichtinventar)
82	8	Schnurkeramik	unbestimmbar	grob	verstrichen	Eindruckverzierung, Ritzverzierung		678526	226509	448	6180	1	114	3217/3218	Schicht 0.3 (vermisches Schichtinventar)
82	9	Schnurkeramik	unbestimmbar	grob	unbestimmbar	Schnurverzierung, Ritzverzierung		678537	226502	448	16270	1	178	4684	Schicht 0.3 (vermisches Schichtinventar)
82	10	Schnurkeramik	unbestimmbar	grob	verstrichen	Ritzverzierung		678525	226497	448	2541	3	65	1487	Schicht 0.3 (vermisches Schichtinventar)
82	11	Schnurkeramik	unbestimmbar	grob	unbestimmbar	Ritzverzierung		678527	226512	448	4180	1	97	2472	Schicht 0.3 (vermisches Schichtinventar)
82	12	Früh-/Mittelbronzezeit	Topf	grob	verstrichen	Fingertupfenleiste		678525	226497	448	2541	1	65	1487	Schicht 0.3 (vermisches Schichtinventar)
82	13	Früh-/Mittelbronzezeit	Topf	grob	verstrichen	Fingertupfenleiste		678522	226493	448	2994	9	64	1486	Schicht 0.3 (vermisches Schichtinventar)
82	14	Früh-/Mittelbronzezeit	Topf	grob	unbestimmbar	Fingertupfenleiste		678527	226508	448	6547	6	114	3217/3218	Schicht 0.3 (vermisches Schichtinventar)
82	15	Früh-/Mittelbronzezeit	Topf	grob	unbestimmbar	Griffklappen		678527	226511	448	4179	10	97	2472	Schicht 0.3 (vermisches Schichtinventar)
82	16	Früh-/Mittelbronzezeit	Topf	grob	verstrichen	Fingertupfenleiste		678520	226500	448	6008	1	113	3108	Schicht 0.3 (vermisches Schichtinventar)
82	17	Früh-/Mittelbronzezeit	unbestimmbar	mittel	unbestimmbar	Fingertupfen auf Bauchknick		678528	226508	448	6548	1	114	3217/3218	Schicht 0.3 (vermisches Schichtinventar)
82	18	Früh-/Mittelbronzezeit	Knickwandschüssel	fein	glatt/poliert	Fingernageleindrücke auf Bauchknick		678524	226498	448	2538	9	65	1487	Schicht 0.3 (vermisches Schichtinventar)
82	19	Früh-/Mittelbronzezeit	Knickwandkrug	mittel	unbestimmbar	Ritzverzierung		678528	226513	448	4169	1	97	2472	Schicht 0.3 (vermisches Schichtinventar)
82	20	Früh-/Mittelbronzezeit	sonstige Form	grob	unbestimmbar	eindruckverzierte Leiste, darunter Eindruckverzierung		678543	226490	448	14378	2	170	4597/4598	Schicht 0.3 (vermisches Schichtinventar)
82	21	Früh-/Mittelbronzezeit	unbestimmbar	mittel	glatt/poliert	–		678539	226494	448	15937	3	177	4668	Schicht 0.3 (vermisches Schichtinventar)
82	22	Früh-/Mittelbronzezeit	unbestimmbar	mittel	unbestimmbar	Bandhenkelansatz		678544	226490	448	14961	1	170	4597/4598	Schicht 0.3 (vermisches Schichtinventar)
83	1	unbestimmte Zeitstellung	unbestimmbar	fein	unbestimmbar	Bandhenkel		678524	226493	448	2996	3	64	1486	Schicht 0.3 (vermisches Schichtinventar)
83	2	unbestimmte Zeitstellung	unbestimmbar	grob	verstrichen	–		678527	226513	448	4181	4	97	2472	Schicht 0.3 (vermisches Schichtinventar)
83	3	Früh-/Mittelbronzezeit	unbestimmbar	mittel	glatt/poliert	–		678547	226486	448	12455	21	155	4291	Schicht 4 (vermisches Schichtmaterial)
83	4	mittleres Horgen	Topf	grob	verstrichen	unverziert		678521	226497	448	169	1	41	29	Schicht 5 (vermisches Schichtinventar)
83	5	mittleres Horgen	Topf	grob	verstrichen	Kannelur, Randlochung		678521	226496	448	210	1	41	29	Schicht 5 (vermisches Schichtinventar)
83	6	mittleres Horgen	unbestimmbar	grob	verstrichen	–		678521	226497	448	169	17	41	29	Schicht 5 (vermisches Schichtinventar)
83	7	mittleres Horgen	Topf	grob	verstrichen	glatte Leiste		678518	226496	448	211	3	41	29	Schicht 5 (vermisches Schichtinventar)
84	1	Horgen	Topf	grob	verstrichen	Kannelur		678507	226512	448	2483	1	61	1473	Schicht 5 (vermisches Schichtinventar)
84	2	Horgen	Topf	grob	verstrichen	Kannelur, Randlochung		678512	226513	448	2578	1	69	1539	Schicht 5 (vermisches Schichtinventar)
84	3	Horgen	Topf	grob	verstrichen	Kannelur, Randlochung		–	–	448	2743	20	56	1393	Schicht 5 (vermisches Schichtinventar)
84	4	Horgen	Topf	grob	unbestimmbar	Rillen, Randlochung		–	–	448	3184	1	86	1957	Schicht 5 (vermisches Schichtinventar)
84	5	Horgen	Topf	grob	unbestimmbar	Kannelur, Randlochung		678503	226482	448	503	1	47	219	Schicht 5 (vermisches Schichtinventar)
84	6	Horgen	Topf	grob	unbestimmbar	Randlochung		–	–	448	2812	16	62	1472	Schicht 5 (vermisches Schichtinventar)
84	7	Horgen	unbestimmbar	grob	verstrichen	–		678511	226513	448	2577	1	69	1539	Schicht 5 (vermisches Schichtinventar)
84	8	Horgen	Topf	grob	verstrichen	glatte Leiste		678510	226513	448	2579	1	69	1539	Schicht 5 (vermisches Schichtinventar)
85	1	Schnurkeramik	unbestimmbar	grob	verstrichen	Fingertupfenleiste		678510	226513	448	2759	1	69	1539	Schicht 5 (vermisches Schichtinventar)
85	2	Schnurkeramik	unbestimmbar	grob	verstrichen	Fingertupfenleiste		–	–	448	3131	12	81	1795	Schicht 5 (vermisches Schichtinventar)

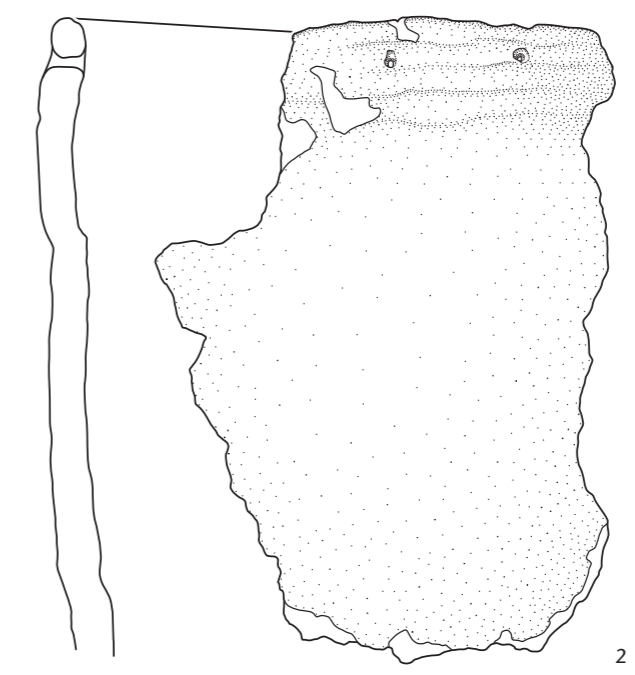
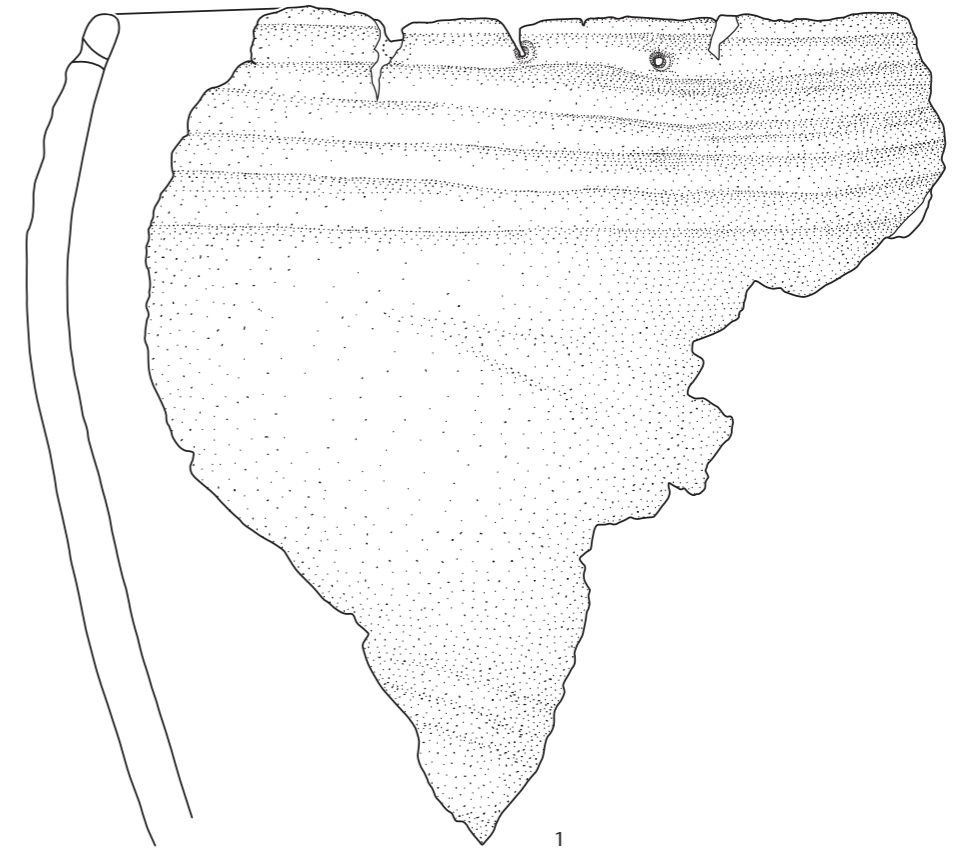
Taf.	Kat.	Zeitstellung	Gefäßstyp	Magerung	Oberfläche	Kurzbeschreibung Verzierung und Handhaben	Zusätzliche Angaben zur Erhaltung	Y-Koord.	X-Koord.	Ereignis	FK	Laufnr.	Feld	Pos.	Schicht
85	3	Schnurkeramik	unbestimmbar	grob	verstrichen	eindruckverzierte Leiste		–	–	448	3142	1	84	1888	Schicht 5 (vermisches Schichtinventar)
85	4	Schnurkeramik	Topf	grob	unbestimmbar	Fingertupfenleiste		–	–	448	6050	1	115	3106	Schicht 5 (vermisches Schichtinventar)
85	5	Schnurkeramik	unbestimmbar	grob	verstrichen	eindruckverzierte Leiste		678531	226489	448	13902	1	164	4459	Schicht 5 (vermisches Schichtinventar)
85	6	Schnurkeramik	unbestimmbar	grob	verstrichen	–		678525	226496	448	2653	1	65	1548	Schicht 5 (vermisches Schichtinventar)
85	7	Schnurkeramik	unbestimmbar	grob	verstrichen	Fingertupfen		678522	226512	448	3131	11	123	3660	Schicht 5 (vermisches Schichtinventar)
85	8	Schnurkeramik	unbestimmbar	grob	verstrichen	Fingertupfen		678529	226490	448	14134	2	166	4505	Schicht 5 (vermisches Schichtinventar)
85	9	Schnurkeramik	unbestimmbar	grob	unbestimmbar	Eindruckverzierung		678529	226485	448	13517	1	165	4406	Schicht 5 (vermisches Schichtinventar)
85	10	Schnurkeramik	unbestimmbar	grob	verstrichen	Eindruckverzierung		678533	226481	448	12686	1	157	4345	Schicht 5 (vermisches Schichtinventar)
85	11	Schnurkeramik	unbestimmbar	grob	verstrichen	Fingertupfen		678518	226495	448	86	1	41	29	Schicht 5 (vermisches Schichtinventar)
85	12	Schnurkeramik	unbestimmbar	grob	verstrichen	Eindruckverzierung, Ritzverzierung		678534	226503	448	16848	1	178	4688	Schicht 5 (vermisches Schichtinventar)
85	13	Schnurkeramik	unbestimmbar	grob	verstrichen	Eindruckverzierung		678544	226503	448	17340	1	179	4754/4755	Schicht 5 (vermisches Schichtinventar)
85	14	Schnurkeramik	unbestimmbar	grob	unbestimmbar	Fingertupfen		678527	226492	448	14172	1	166	4514	Schicht 5 (vermisches Schichtinventar)
85	15	Schnurkeramik	unbestimmbar	grob	verstrichen	Eindruckverzierung		678521	226492	448	1437	1	43	647	Schicht 5 (vermisches Schichtinventar)
85	16	Schnurkeramik	unbestimmbar	grob	unbestimmbar	Fingertupfen		678499	226525	448	480	1	49	226	Schicht 5 (vermisches Schichtinventar)
85	17	Schnurkeramik	unbestimmbar	grob	verstrichen	Eindruckverzierung		678520	226488	448	2779	1	64	1623	Schicht 5 (vermisches Schichtinventar)
85	18	Schnurkeramik	unbestimmbar	grob	unbestimmbar	Fingertupfenleiste		678535	226504	448	16505	1	178	4685	Schicht 5 (vermisches Schichtinventar)
86	1	Schnurkeramik	Becher	grob	verstrichen	Schnurverzierung, Ritzverzierung		678527	226488	448	13686	1	165	4406	Schicht 5 (vermisches Schichtinventar)
86	2	Schnurkeramik	Becher	grob	unbestimmbar	Wickelschnurverzierung, Ritzverzierung		678536	226503	448	16373	7	178	4685	Schicht 5 (vermisches Schichtinventar)
86	3	Schnurkeramik	unbestimmbar	grob	verstrichen	Ritzverzierung		678528	226486	448	13523	1	165	4433	Schicht 5 (vermisches Schichtinventar)
86	4	Schnurkeramik	Becher	grob	unbestimmbar	Schnurverzierung, Ritzverzierung		678528	226487	448	13522	1	165	4433	Schicht 5 (vermisches Schichtinventar)
86	5	Schnurkeramik	Becher	grob	unbestimmbar	Schnurverzierung, Ritzverzierung		678529	226483	448	13053	2	159	4376	Schicht 5 (vermisches Schichtinventar)
86	6	Schnurkeramik	unbestimmbar	grob	verstrichen	Schnurverzierung, Ritzverzierung		678520	226492	448	1326	1	43	640	Schicht 5 (vermisches Schichtinventar)
86	7	Schnurkeramik	unbestimmbar	grob	verstrichen	Eindruckverzierung, Ritzverzierung		–	–	448	2503	59	59	1433	Schicht 5 (vermisches Schichtinventar)
86	8	Schnurkeramik	unbestimmbar	grob	unbestimmbar	Eindruckverzierung, Ritzverzierung		678501	226515	448	759	11	49	226	Schicht 5 (vermisches Schichtinventar)
86	9	Schnurkeramik	verstrichen	grob	verstrichen	Eindruckverzierung, Ritzverzierung		678534	226503	448	16848	2	178	4688	Schicht 5 (vermisches Schichtinventar)
86	10	Schnurkeramik	verstrichen	grob	verstrichen	Eindruckverzierung		678515	226489	448	1724	1	44	212	Schicht 5 (vermisches Schichtinventar)
86	11	Schnurkeramik	unbestimmbar	grob	verstrichen	Eindruckverzierung, Ritzverzierung		678518	226489	448	1184	2	43	449	Schicht 5 (vermisches Schichtinventar)
86	12	Schnurkeramik	unbestimmbar	grob	verstrichen	Eindruckverzierung		678516	226486	448	1791	5	44	212	Schicht 5 (vermisches Schichtinventar)
86	13	Schnurkeramik	unbestimmbar	grob	verstrichen	–		678526	226482	448	12861	1	159	4365	Schicht 5 (vermisches Schichtinventar)
86	14	Schnurkeramik	unbestimmbar	grob	verstrichen	–		678516	226489	448	2009	1	44	1150	Schicht 5 (vermisches Schichtinventar)
87	1	Früh-/Mittelbronzezeit	Topf	grob	unbestimmbar	Fingertupfen, Fingertupfenleisten, Griffklappen		678558	226516	448	4242	1	147	4076	Schicht 5 (Früh-/Mittelbronzezeit?)
87	2	Früh-/Mittelbronzezeit	Topf	grob	unbestimmbar	Fingertupfenleiste		678572	226517	448	10428	2	142	3945	Schicht 5 (Früh-/Mittelbronzezeit?)
87	3	Früh-/Mittelbronzezeit	Topf	grob	unbestimmbar	Fingertupfenleiste		678562	226517	448	10918	48	146	4002	Schicht 5 (Früh-/Mittelbronzezeit?)
87	4	Früh-/Mittelbronzezeit	Topf	grob	unbestimmbar	Fingertupfenleiste		678542	226517	448	5193	1	118	3212	Schicht 5 (vermisches Schichtinventar)
87	5	Früh-/Mittelbronzezeit	Topf	grob	verstrichen	Fingertupfenleiste		678517	226492	448	2325	1	44	1122	Schicht 5 (vermisches Schichtinventar)
87	6	Früh-/Mittelbronzezeit	Topf	grob	unbestimmbar	Fingertupfenleiste	Gefäß verzogen durch starken Sekundärbrand	678548	226512	448	8071	18	126	3632	Schicht 5 (Früh-/Mittelbronzezeit?)
87	7	Früh-/Mittelbronzezeit	Topf	grob	verstrichen	Fingertupfenleiste		678560	226516	448	4397	12	147	4076	Schicht 5 (Früh-/Mittelbronzezeit?)
87	8	Früh-/Mittelbronzezeit	Topf	grob	unbestimmbar	Fingertupfenleisten		678550	226514	448	8128	12	127	3669	Schicht 5 (Früh-/Mittelbronzezeit?)
87	9	Früh-/Mittelbronzezeit	Topf	grob	verstrichen	Fingertupfenleiste		678521	226496	448	228	9	41	29	Schicht 5 (vermisches Schichtinventar)
87	10	Früh-/Mittelbronzezeit	Topf	grob	unbestimmbar	Fingertupfenleiste		678536	226502	448	16486	2	178	4685	Schicht 5 (vermisches Schichtinventar)
87	11	Früh-/Mittelbronzezeit	Topf	grob	verstrichen	Fingertupfenleiste		678545	226514	448	7581	3	124	3600	Schicht 5 (vermisches Schichtinventar)
87	12	Früh-/Mittelbronzezeit	Topf	grob	unbestimmbar	Fingertupfenleiste		678574	226518	448	9870	1	140	3882	Schicht 5 (Früh-/Mittelbronzezeit?)
87	13	Früh-/Mittelbronzezeit	Topf	grob	unbestimmbar	Fingertupfenleiste		678563	226529	448	9222	5	133	3799	Schicht 5 (Früh-/Mittelbronzezeit?)
87	14	Früh-/Mittelbronzezeit	Topf	grob	verstrichen	Fingertupfenleiste		678518	226494	448	85	1	41	29	Schicht 5 (vermisches Schichtinventar)
87	15	Früh-/Mittelbronzezeit	Topf	grob	verstrichen	Fingertupfenleiste		–	–	448	4185	23	102	2483	Schicht 5 (Früh-/Mittelbronzezeit?)
88	1	Früh-/Mittelbronzezeit	Topf	grob	unbestimmbar	Fingertupfenleiste, Griffklappen		678555	226516	448	10951	3	148	4077	Schicht 5 (Früh-/Mittelbronzezeit?)
88	2	Früh-/Mittelbronzezeit	Topf	grob	unbestimmbar	Fingertupfenleiste		678553	226517	448	6761	22	121	3341	Schicht 5 (Früh-/Mittelbronzezeit?)
88	3	Früh-/Mittelbronzezeit	Topf	grob	unbestimmbar	Fingertupfenleiste, Griffklappen		678558	226516	448	10941	3	147	4076	Schicht 5 (Früh-/Mittelbronzezeit?)
88	4	Früh-/Mittelbronzezeit	Topf	grob	unbestimmbar	Fingertupfenleiste, Griffklappen		678556	226519	448	10967	2	148	4077	Schicht 5 (Früh-/Mittelbronzezeit?)
88	5	Früh-/Mittelbronzezeit	Topf	grob	unbestimmbar	Fingertupfenleiste		678543	226516	448	6201	1	118	3212	Schicht 5 (vermisches Schichtinventar)
88	6	Früh-/Mittelbronzezeit	Topf	grob	verstrichen	Fingertupfenleiste, Griffklappen		678517	226492	448	2397	1	44	1362	Schicht 5 (vermisches Schichtinventar)
88	7	Früh-/Mittelbronzezeit	Topf	grob	unbestimmbar	Fingertupfenleiste, Griffklappen		678570	226517	448	10420	5	142	3945	Schicht 5 (Früh-/Mittelbronzezeit?)
88	8	Früh-/Mittelbronzezeit	Topf	grob	unbestimmbar	Fingertupfenleiste, Griffklappen		678560	226516	448	4392	1	147	4076	Schicht 5 (Früh-/Mittelbronzezeit?)
88	9	Früh-/Mittelbronzezeit	Topf	grob	verstrichen	Fingertupfenleiste		678520	226498	448	54	1	41	29	Schicht 5 (vermisches Schichtinventar)
88	10	Früh-/Mittelbronzezeit	Topf	mittel	unbestimmbar	Fingertupfenleiste		678552	226518	448	6894	3	121	3341	Schicht 5 (Früh-/Mittelbronzezeit?)
88	11	Früh-/Mittelbronzezeit	Topf	grob	unbestimmbar	Fingertupfenleiste		678544	226517	448	6203	1	118	3212	Schicht 5 (vermisches Schichtinventar)
88	12	Früh-/Mittelbronzezeit	Topf	grob	verstrichen	Fingertupfenleiste		678576	226527	448	9762	3	137	3839	Schicht 5 (Früh-/Mittelbronzezeit?)
89	1	Früh-/Mittelbronzezeit	Topf	grob	unbestimmbar	Fingertupfen		678555	226524	448	4944	9	104	2645	Schicht 5 (Früh-/Mittelbronzezeit?)
89	2	Früh-/Mittelbronzezeit	Topf	grob	unbestimmbar	Fingertupfen		678549	226513	448	7767	1	126	3632	Schicht 5 (Früh-/Mittelbronzezeit?)
89	3	Früh-/Mittelbronzezeit	Topf	grob	unbestimmbar	Fingertupfen, Fingertupfenleiste	Gefäß verzogen und aufgebläht durch starken Sekundärbrand	678550	226514	448	6896	15	127	3669	Schicht 5 (Früh-/Mittelbronzezeit?)
89	4	Früh-/Mittelbronzezeit	Topf	grob	unbestimmbar	Fingertupfen		678565	226526	448	9222	8	133	3799	Schicht 5 (Früh-/Mittelbronzezeit?)
89	5	Früh-/Mittelbronzezeit	Topf	grob	unbestimmbar	Fingertupfen, Fingertupfenleiste		678541	226513	448	7252	1	122	3539	Schicht 5 (vermisches Schichtinventar)
89	6	Früh-/Mittelbronzezeit	Topf	grob	verstrichen	Fingertupfen		678544	226512	448	7575	14	124	3600	Schicht 5 (vermisches Schichtinventar)
89	7	Früh-/Mittelbronzezeit	Topf	grob	verstrichen	Fingertupfen		678548	226515	448	6426	20	119	3245	Schicht 5 (vermisches Schichtinventar)
89	8	Früh-/Mittelbronzezeit	Topf	grob	unbestimmbar	Fingertupfen		678545	226516	448	6233	1	118	3212	Schicht 5 (vermisches Schichtinventar)
89	9	Früh-/Mittelbronzezeit	Topf	grob	unbestimmbar	Fingertupfen		678568	226520	448	10921	1	143	3950	Schicht 5 (Früh-/Mittelbronzezeit?)
89	10	Früh-/Mittelbronzezeit	Topf	grob	unbestimmbar	Fingertupfen		678562	226522	448	10707	1	145	4001	Schicht 5 (Früh-/Mittelbronzezeit?)
89	11	Früh-/Mittelbronzezeit	Topf	grob	unbestimmbar	Fingertupfen		678559	226517	448	4937	2	147	4076	Schicht 5 (Früh-/Mittelbronzezeit?)
89	12	Früh-/Mittelbronzezeit	Topf	grob	verstrichen	Fingertupfen		678493	226514	448	870	4	50	470	Schicht 5 (vermisches Schichtinventar)
89	13	Früh-/Mittelbronzezeit	Topf	grob	verstrichen	Fingertupfen		678566	226519	448	10698	10	144	3961	Schicht 5 (Früh-/Mittelbronzezeit?)
90	1	Früh-/Mittelbronzezeit	Topf	mittel	unbestimmbar	–		678544	226513	448	7717	4	124	3600	Schicht 5 (vermisches Schichtinventar)
90	2	Früh-/Mittelbronzezeit	Topf	mittel	unbestimmbar	–		678562	226518	448	10848	18	146	4002	Schicht 5 (Früh-/Mittelbronzezeit?)
90	3	Früh-/Mittelbronzezeit	Topf	mittel	verstrichen	–		678550	226517	448	6884	1	121	3341	Schicht 5 (Früh-/Mittelbronzezeit?)
90	4	Früh-/Mittelbronzezeit	Topf	grob	unbestimmbar	–		678541	226517	448	6127	3	116	3147	Schicht 5 (vermisches Schichtinventar)
90	5	Früh-/Mittelbronzezeit	Topf	mittel	verstrichen	–		678521	226494	448	53	1	41	6	Schicht 5 (vermisches Schichtinventar)
90	6	Früh-/Mittelbronzezeit	Topf	mittel	unbestimmbar	–		–	–	448	4411	50	103	2519	Schicht 5 (Früh-/Mittelbronzezeit?)
90	7	Früh-/Mittelbronzezeit	Topf	grob	verstrichen	–		678563	226525	448	9748	1	133	3799	Schicht 5 (Früh-/Mittelbronzezeit?)
90	8	Früh-/Mittelbronzezeit	Topf	grob	unbestimmbar	–		678570	226518	448	10422	1	142	3945	Schicht 5 (Früh-/Mittelbronzezeit?)
90	9	Früh-/Mittelbronzezeit	Topf	mittel	verstrichen	–		–	–	448	4185	27	102	2483	Schicht 5 (Früh-/Mittelbronzezeit?)

Taf.	Kat.	Zeitstellung	Gefässtyp	Magerung	Oberfläche	Kurzbeschreibung Verzierung und Handhaben	Zusätzliche Angaben zur Erhaltung	Y-Koord.	X-Koord.	Ereignis	FK	Laufnr.	Feld	Pos.	Schicht
90	10	Früh-/Mittelbronzezeit	Topf	grob	unbestimmbar	–		678549	226513	448	7767	19	126	3632	Schicht 5 (Früh-/Mittelbronzezeit?)
90	11	Früh-/Mittelbronzezeit	Topf	grob	unbestimmbar	–		678562	226517	448	10918	45	146	4002	Schicht 5 (Früh-/Mittelbronzezeit?)
90	12	Früh-/Mittelbronzezeit	Topf	grob	unbestimmbar	–		678550	226513	448	8131	16	127	3669	Schicht 5 (Früh-/Mittelbronzezeit?)
91	1	Früh-/Mittelbronzezeit	Topf	grob	unbestimmbar	erodierte Leiste		678560	226518	448	11003	1	147	4076	Schicht 5 (Früh-/Mittelbronzezeit?)
91	2	Früh-/Mittelbronzezeit	Topf	grob	unbestimmbar	erodierte Leiste		678554	226520	448	4929	4	104	2645	Schicht 5 (Früh-/Mittelbronzezeit?)
91	3	Früh-/Mittelbronzezeit	Topf	grob	verstrichen	Schulterabsatz		678545	226518	448	6368	1	118	3212	Schicht 5 (vermisches Schichtinventar)
91	4	Früh-/Mittelbronzezeit	Topf	mittel	unbestimmbar	–		678563	226516	448	10766	9	146	4002	Schicht 5 (Früh-/Mittelbronzezeit?)
91	5	Früh-/Mittelbronzezeit	Topf	grob	unbestimmbar	–		678552	226519	448	5003	1	121	3341	Schicht 5 (Früh-/Mittelbronzezeit?)
91	6	Früh-/Mittelbronzezeit	Topf	grob	verstrichen	–		678548	226512	448	7881	1	126	3632	Schicht 5 (Früh-/Mittelbronzezeit?)
91	7	Früh-/Mittelbronzezeit	Topf	grob	unbestimmbar	–		678567	226521	448	10540	1	143	3950	Schicht 5 (Früh-/Mittelbronzezeit?)
91	8	Früh-/Mittelbronzezeit	unbestimmbar	mittel	unbestimmbar	–		678519	226493	448	713	1	43	228	Schicht 5 (vermisches Schichtinventar)
91	9	Früh-/Mittelbronzezeit	Topf	grob	verstrichen	–		678545	226519	448	6276	2	118	3212	Schicht 5 (vermisches Schichtinventar)
91	10	Früh-/Mittelbronzezeit	Topf	grob	unbestimmbar	Fingertupfenleisten		–	–	448	3027	1	80	1789	Schicht 5 (vermisches Schichtinventar)
91	11	Früh-/Mittelbronzezeit	Topf	grob	unbestimmbar	glatte Leisten		678572	226521	448	10270	1	141	3890	Schicht 5 (Früh-/Mittelbronzezeit?)
91	12	Früh-/Mittelbronzezeit	Topf	grob	verstrichen	gekerbte Leiste?		678490	226498	448	958	1	50	470	Schicht 5 (vermisches Schichtinventar)
92	1	Früh-/Mittelbronzezeit	Knickwandschüssel	mittel	glatt/poliert	Bauchknick		678577	226518	448	10491	2	140	3882	Schicht 5 (Früh-/Mittelbronzezeit?)
92	2	Früh-/Mittelbronzezeit	Knickwandschüssel	mittel	unbestimmbar	Knubben auf Bauchknick		678563	226528	448	9323	1	133	3799	Schicht 5 (Früh-/Mittelbronzezeit?)
92	3	Früh-/Mittelbronzezeit	Knickwandschüssel	mittel	glatt/poliert	Bauchknick		678549	226516	448	6414	1	119	3245	Schicht 5 (vermisches Schichtinventar)
92	4	Früh-/Mittelbronzezeit	Knickwandschüssel	fein	unbestimmbar	feiner Griffappen?		678571	226526	448	9497	2	136	3831	Schicht 5 (Früh-/Mittelbronzezeit?)
92	5	Früh-/Mittelbronzezeit	Knickwandschüssel	fein	glatt/poliert	Henkelansatz?		678567	226519	448	10702	9	144	3961	Schicht 5 (Früh-/Mittelbronzezeit?)
92	6	Früh-/Mittelbronzezeit	Knickwandschüssel	grob	unbestimmbar	Griffappen auf Bauchknick		678575	226520	448	10143	1	138	3865	Schicht 5 (Früh-/Mittelbronzezeit?)
92	7	Früh-/Mittelbronzezeit	Knickwandschüssel	fein	glatt/poliert	auf dem Bauchknick in regelmässigen Abständen fein eingestochene Löcher		678550	226517	448	5226	1	121	3341	Schicht 5 (Früh-/Mittelbronzezeit?)
92	8	Früh-/Mittelbronzezeit	Knickwandschüssel	mittel	unbestimmbar	Bandhenkel, Bauchknick		678562	226518	448	10848	3	146	4002	Schicht 5 (Früh-/Mittelbronzezeit?)
92	9	Früh-/Mittelbronzezeit	Knickwandschüssel	grob	unbestimmbar	Bauchknick		678549	226519	448	6416	12	119	3245	Schicht 5 (vermisches Schichtinventar)
92	10	Früh-/Mittelbronzezeit	Knickwandschüssel	mittel	unbestimmbar	Bauchknick		678544	226523	448	5486	1	108	2861	Schicht 5 (vermisches Schichtinventar)
92	11	Früh-/Mittelbronzezeit	Knickwandschüssel	grob	unbestimmbar	Bandhenkel		–	–	448	4185	2	102	2483	Schicht 5 (Früh-/Mittelbronzezeit?)
92	12	Früh-/Mittelbronzezeit	Knickwandschüssel	mittel	unbestimmbar	Bauchknick		678545	226513	448	7580	2	124	3600	Schicht 5 (vermisches Schichtinventar)
92	13	Früh-/Mittelbronzezeit	Knickwandschüssel	mittel	unbestimmbar	Bauchknick		678546	226512	448	7720	1	126	3632	Schicht 5 (Früh-/Mittelbronzezeit?)
92	14	Früh-/Mittelbronzezeit	Knickwandschüssel	mittel	unbestimmbar	Knubben auf Bauchknick		678565	226518	448	10760	3	146	4002	Schicht 5 (Früh-/Mittelbronzezeit?)
92	15	Früh-/Mittelbronzezeit	Knickwandschüssel	mittel	glatt/poliert	Bandhenkel, Bauchknick		678546	226520	448	5310	2	106	2855	Schicht 5 (vermisches Schichtinventar)
92	16	Früh-/Mittelbronzezeit	Knickwandschüssel	mittel	unbestimmbar	Bauchknick		678549	226518	448	6438	1	119	3245	Schicht 5 (vermisches Schichtinventar)
92	17	Früh-/Mittelbronzezeit	Knickwandschüssel	mittel	unbestimmbar	Bandhenkel, Bauchknick		678572	226520	448	10135	4	141	3890	Schicht 5 (Früh-/Mittelbronzezeit?)
92	18	Früh-/Mittelbronzezeit	Knickwandschüssel	fein	unbestimmbar	Bauchknick		678575	226517	448	10050	1	140	3882	Schicht 5 (Früh-/Mittelbronzezeit?)
93	1	Früh-/Mittelbronzezeit	Knickwandschüssel	mittel	unbestimmbar	Knubben auf Bauchknick	Gefäss verzogen und aufgebläht durch starken Sekundärbrand	678554	226518	448	10970	1	148	4077	Schicht 5 (Früh-/Mittelbronzezeit?)
93	2	Früh-/Mittelbronzezeit	unbestimmbar	fein	unbestimmbar	Knubbe auf Bauchknick		678561	226519	448	11035	4	147	4076	Schicht 5 (Früh-/Mittelbronzezeit?)
93	3	Früh-/Mittelbronzezeit	Tasse	grob	unbestimmbar	Bandhenkel, flächige Eindruckverzierung unterhalb Bauchknick		678543	226514	448	7573	2	124	3600	Schicht 5 (vermisches Schichtinventar)
93	4	Früh-/Mittelbronzezeit	Tasse	mittel	unbestimmbar	Bauchknick		678549	226519	448	6416	6	119	3245	Schicht 5 (vermisches Schichtinventar)
93	5	Früh-/Mittelbronzezeit	Tasse	mittel	unbestimmbar	Bauchknick		–	–	448	4411	3	103	2519	Schicht 5 (Früh-/Mittelbronzezeit?)
93	6	Früh-/Mittelbronzezeit	Tasse	fein	glatt/poliert	Bauchknick		678551	226521	448	5222	1	105	2784	Schicht 5 (Früh-/Mittelbronzezeit?)
93	7	Früh-/Mittelbronzezeit	unbestimmbar	mittel	unbestimmbar	Bandhenkel		678570	226517	448	10420	8	142	3945	Schicht 5 (Früh-/Mittelbronzezeit?)
93	8	Früh-/Mittelbronzezeit	unbestimmbar	mittel	unbestimmbar	Bandhenkel mit Mittelrippe		678565	226519	448	10759	1	146	4002	Schicht 5 (Früh-/Mittelbronzezeit?)
93	9	Früh-/Mittelbronzezeit	unbestimmbar	mittel	unbestimmbar	Bandhenkel		678554	226515	448	10967	6	148	4077	Schicht 5 (Früh-/Mittelbronzezeit?)
93	10	Früh-/Mittelbronzezeit	unbestimmbar	grob	unbestimmbar	«Pseudohenkel» (nicht durchbohrt)		678564	226520	448	10739	1	145	4001	Schicht 5 (Früh-/Mittelbronzezeit?)
93	11	Früh-/Mittelbronzezeit	unbestimmbar	grob	unbestimmbar	Bandhenkelansatz		678572	226524	448	10136	1	141	3890	Schicht 5 (Früh-/Mittelbronzezeit?)
93	12	Früh-/Mittelbronzezeit	unbestimmbar	grob	unbestimmbar	doppelter Bandhenkel		678559	226516	448	10808	3	147	4076	Schicht 5 (Früh-/Mittelbronzezeit?)
93	13	Früh-/Mittelbronzezeit	unbestimmbar	grob	unbestimmbar	Bandhenkelansatz		–	–	448	6050	14	115	3106	Schicht 5 (vermisches Schichtinventar)
94	1	Früh-/Mittelbronzezeit	Becher	mittel	glatt/poliert	Ritzverzierung		–	–	448	4125	52	101	2424	Schicht 5 (Früh-/Mittelbronzezeit?)
94	2	Früh-/Mittelbronzezeit	Knickwandkrug	mittel	unbestimmbar	Ritzverzierung		678553	226513	448	8082	3	127	3669	Schicht 5 (Früh-/Mittelbronzezeit?)
94	3	Früh-/Mittelbronzezeit	unbestimmbar	fein	glatt/poliert	Ritzverzierung über Bauchknick		678551	226513	448	8076	28	127	3669	Schicht 5 (Früh-/Mittelbronzezeit?)
94	4	Früh-/Mittelbronzezeit	Knickwandkrug	mittel	unbestimmbar	Ritzverzierung, Bandhenkel		678571	226518	448	10418	2	142	3945	Schicht 5 (Früh-/Mittelbronzezeit?)
94	5	Früh-/Mittelbronzezeit	Knickwandkrug	mittel	unbestimmbar	Ritzverzierung, Henkelansatz (nicht abgebildet)		–	–	448	4185	3	102	2485	Schicht 5 (Früh-/Mittelbronzezeit?)
94	6	Früh-/Mittelbronzezeit	Knickwandkrug	fein	unbestimmbar	Ritzverzierung	Gefäss verzogen durch starken Sekundärbrand	–	–	448	4125	27	101	2424	Schicht 5 (Früh-/Mittelbronzezeit?)
94	7	Früh-/Mittelbronzezeit	Knickwandkrug	fein	glatt/poliert	Ritzverzierung auf und unter Schulterabsatz		678555	226515	448	10877	4	148	4077	Schicht 5 (Früh-/Mittelbronzezeit?)
94	8	Früh-/Mittelbronzezeit	Knickwandkrug	mittel	glatt/poliert	Ritzverzierung		678548	226518	448	6429	5	119	3245	Schicht 5 (vermisches Schichtinventar)
94	9	Früh-/Mittelbronzezeit	Knickwandkrug	mittel	unbestimmbar	Ritzverzierung, Griffappen oder Henkelansatz auf Bauchknick		–	–	448	4125	74	101	2424	Schicht 5 (Früh-/Mittelbronzezeit?)
94	10	Früh-/Mittelbronzezeit	Knickwandkrug	mittel	unbestimmbar	Ritzverzierung		678575	226517	448	10260	2	140	3882	Schicht 5 (Früh-/Mittelbronzezeit?)
94	11	Früh-/Mittelbronzezeit	sonstige Form	grob	unbestimmbar	Ritzverzierung, Einstichverzierung		678566	226517	448	10697	5	144	3961	Schicht 5 (Früh-/Mittelbronzezeit?)
94	12	Früh-/Mittelbronzezeit	Knickwandkrug	mittel	unbestimmbar	Ritzverzierung, Bauchknick		678561	226523	448	4396	1	103	2519	Schicht 5 (Früh-/Mittelbronzezeit?)
94	13	Früh-/Mittelbronzezeit	sonstige Form	grob	unbestimmbar	Ritzverzierung		678577	226522	448	9871	1	138	3865	Schicht 5 (Früh-/Mittelbronzezeit?)
94	14	Früh-/Mittelbronzezeit	sonstige Form	mittel	unbestimmbar	Verzierung unbestimmbarer Machart unter Schulterabsatz		678567	226519	448	10702	1	144	3961	Schicht 5 (Früh-/Mittelbronzezeit?)
94	15	Früh-/Mittelbronzezeit	sonstige Form	grob	unbestimmbar	Ritzverzierung		678567	226518	448	10701	3	144	3961	Schicht 5 (Früh-/Mittelbronzezeit?)
94	16	Früh-/Mittelbronzezeit	Knickwandkrug	mittel	unbestimmbar	Ritzverzierung, Einstichverzierung		–	–	448	4033	12	96	2340	Schicht 5 (vermisches Schichtinventar)
95	1	Früh-/Mittelbronzezeit	sonstige Form	mittel	unbestimmbar	Knubben		678554	226518	448	10809	4	148	4077	Schicht 5 (Früh-/Mittelbronzezeit?)
95	2	Früh-/Mittelbronzezeit	unbestimmbar	grob	unbestimmbar	Knubbe auf Bauchknick		678572	226517	448	10428	4	142	3945	Schicht 5 (Früh-/Mittelbronzezeit?)
95	3	Früh-/Mittelbronzezeit	unbestimmbar	mittel	unbestimmbar	Knubben		678563	226517	448	10846	1	146	4002	Schicht 5 (Früh-/Mittelbronzezeit?)
95	4	Früh-/Mittelbronzezeit	Kleingefäss	grob	unbestimmbar	Knubbe		–	–	448	4411	20	103	2519	Schicht 5 (Früh-/Mittelbronzezeit?)
95	5	Früh-/Mittelbronzezeit	sonstige Form	grob	unbestimmbar	stark erodierte flächige Eindruckverzierung		678574	226521	448	9869	1	138	3865	Schicht 5 (Früh-/Mittelbronzezeit?)
95	6	Früh-/Mittelbronzezeit	sonstige Form	mittel	unbestimmbar	flächige Eindruckverzierung		678554	226519	448	4929	5	148	4077	Schicht 5 (Früh-/Mittelbronzezeit?)
95	7	Früh-/Mittelbronzezeit	sonstige Form	grob	unbestimmbar	flächig Eindruckverzierte Scherbe	Gefäss verzogen und aufgebläht durch starken Sekundärbrand	678549	226520	448	5303	1	106	2855	Schicht 5 (vermisches Schichtinventar)
95	8	Früh-/Mittelbronzezeit	Knickwandschüssel	mittel	unbestimmbar	Bauchknick		678553	226517	448	6760	13	121	3341	Schicht 5 (Früh-/Mittelbronzezeit?)
95	9	Früh-/Mittelbronzezeit	Schale	mittel	glatt/poliert	–		678531	226494	448	14569	5	167	4530	Schicht 5 (vermisches Schichtinventar)
95	10	Früh-/Mittelbronzezeit	unbestimmbar	mittel	unbestimmbar	Fingernageleindrücke auf Bauchknick		678572	226519	448	10523	4	142	3945	Schicht 5 (Früh-/Mittelbronzezeit?)
95	11	Früh-/Mittelbronzezeit	Sieb	mittel	unbestimmbar	Lochung		678563	226516	448	10766	23	146	4002	Schicht 5 (Früh-/Mittelbronzezeit?)
95	12	Früh-/Mittelbronzezeit	unbestimmbar	fein	unbestimmbar	gedellte Knubbe		678548	226520	448	5307	2	106	2855	Schicht 5 (vermisches Schichtinventar)
96	1	Früh-/Mittelbronzezeit	unbestimmbar	mittel	unbestimmbar	–		–	–	448	4411	2	103	2519	Schicht 5 (Früh-/Mittelbronzezeit?)
96	2	Früh-/Mittelbronzezeit	unbestimmbar	grob	unbestimmbar	–		678543	226514	448	7573	1	124	3600	Schicht 5 (vermisches Schichtinventar)
96	3	Früh-/Mittelbronzezeit	unbestimmbar	fein	unbestimmbar	–		678575	226521	448	9903	1	138	3865	Schicht 5 (Früh-/Mittelbronzezeit?)
96	4	Früh-/Mittelbronzezeit	unbestimmbar	grob	unbestimmbar	–		678572	226517	448	10428	1	142	3945	Schicht 5 (Früh-/Mittelbronzezeit?)
96	5	Früh-/Mittelbronzezeit	unbestimmbar	fein	unbestimmbar	–		678553	226516	448	6758	14	121	3341	Schicht 5 (Früh-/Mittelbronzezeit?)

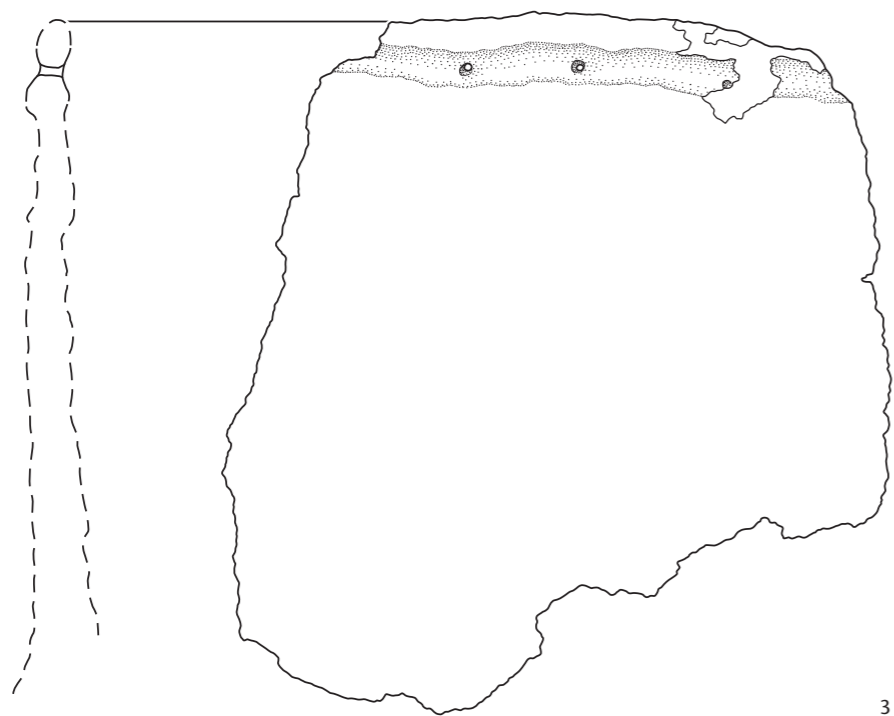
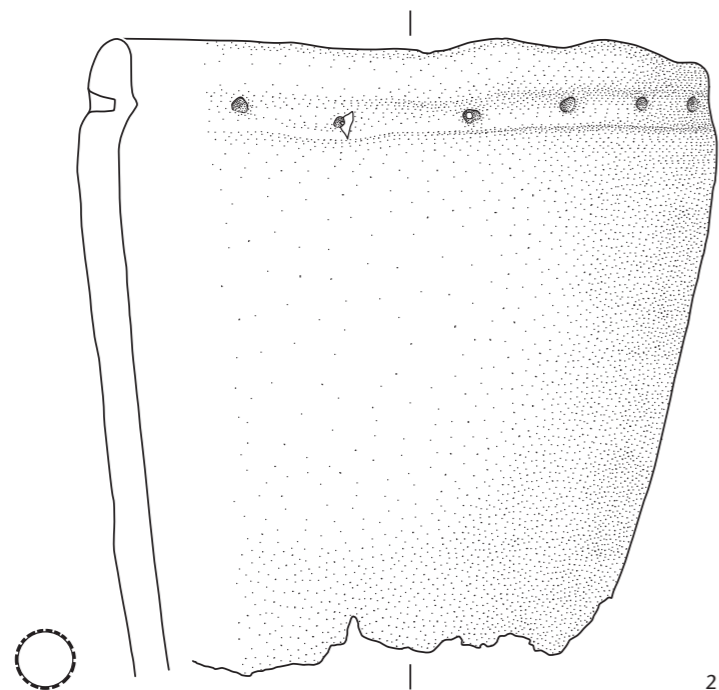
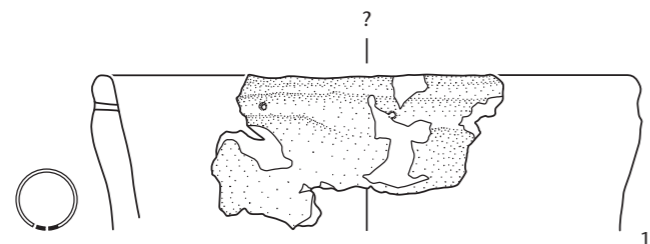
Taf.	Kat.	Zeitstellung	Gefäßtyp	Magerung	Oberfläche	Kurzbeschreibung Verzierung und Handhaben	Zusätzliche Angaben zur Erhaltung	Y-Koord.	X-Koord.	Ereignis	FK	Laufnr.	Feld	Pos.	Schicht
96	6	Früh-/Mittelbronzezeit	unbestimmbar	grob	unbestimmbar	–		678547	226512	448	7795	75	126	3632	Schicht 5 (Früh-/Mittelbronzezeit?)
96	7	Früh-/Mittelbronzezeit	unbestimmbar	grob	unbestimmbar	–		678533	226482	448	12682	1	157	4345	Schicht 5 (vermishtes Schichtinventar)
96	8	Früh-/Mittelbronzezeit	unbestimmbar	mittel	glatt/poliert	–		678549	226516	448	6414	2	119	3245	Schicht 5 (vermishtes Schichtinventar)
96	9	Früh-/Mittelbronzezeit	unbestimmbar	grob	unbestimmbar	–		678572	226523	448	10075	1	141	3890	Schicht 5 (Früh-/Mittelbronzezeit?)
96	10	Früh-/Mittelbronzezeit	unbestimmbar	fein	unbestimmbar	–		678551	226513	448	8080	2	127	3669	Schicht 5 (Früh-/Mittelbronzezeit?)
96	11	Früh-/Mittelbronzezeit	unbestimmbar	grob	unbestimmbar	–		678553	226514	448	8083	1	127	3669	Schicht 5 (Früh-/Mittelbronzezeit?)
96	12	Früh-/Mittelbronzezeit	unbestimmbar	grob	unbestimmbar	–		–	–	448	4033	55	96	2340	Schicht 5 (vermishtes Schichtinventar)
97	1	unbestimmte Zeitstellung	unbestimmbar	grob	verstrichen	Eindruckverzierung		678495	226497	448	130	1	42	10	Schicht 5 (vermishtes Schichtinventar)
97	2	unbestimmte Zeitstellung	unbestimmbar	fein	glatt	Bandhenkelansatz		678520	226492	448	1240	6	43	449	Schicht 5 (vermishtes Schichtinventar)
97	3	unbestimmte Zeitstellung	unbestimmbar	grob	unbestimmbar	–		678501	226524	448	639	2	49	226	Schicht 5 (vermishtes Schichtinventar)
97	4	unbestimmte Zeitstellung	unbestimmbar	mittel	verstrichen	–		678489	226502	448	957	1	50	470	Schicht 5 (vermishtes Schichtinventar)
97	5	unbestimmte Zeitstellung	unbestimmbar	grob	verstrichen	–		678497	226512	448	1023	6	51	507	Schicht 5 (vermishtes Schichtinventar)
97	6	Früh-/Mittelbronzezeit	Topf	grob	verstrichen	Fingertupfen		–	–	448	14253	5	–	–	Streuung
97	7	Schnurkeramik	unbestimmbar	grob	unbestimmbar	Ritzverzierung		678536	226496	448	15946	1	176	4663	Störung
97	8	Schnurkeramik	Topf	grob	verstrichen	Fingertupfenleiste		678521	226510	448	3838	1	91	2241	Störung
97	9	Schnurkeramik	Topf	grob	verstrichen	Eindruckverzierung		678522	226506	448	11406	1	149	4163	Störung
97	10	unbestimmte Zeitstellung	unbestimmbar	grob	verstrichen	Fingertupfen		678527	226512	448	4087	1	97	2416	Störung

Signaturen Gefäßkeramik und Textilkeramik

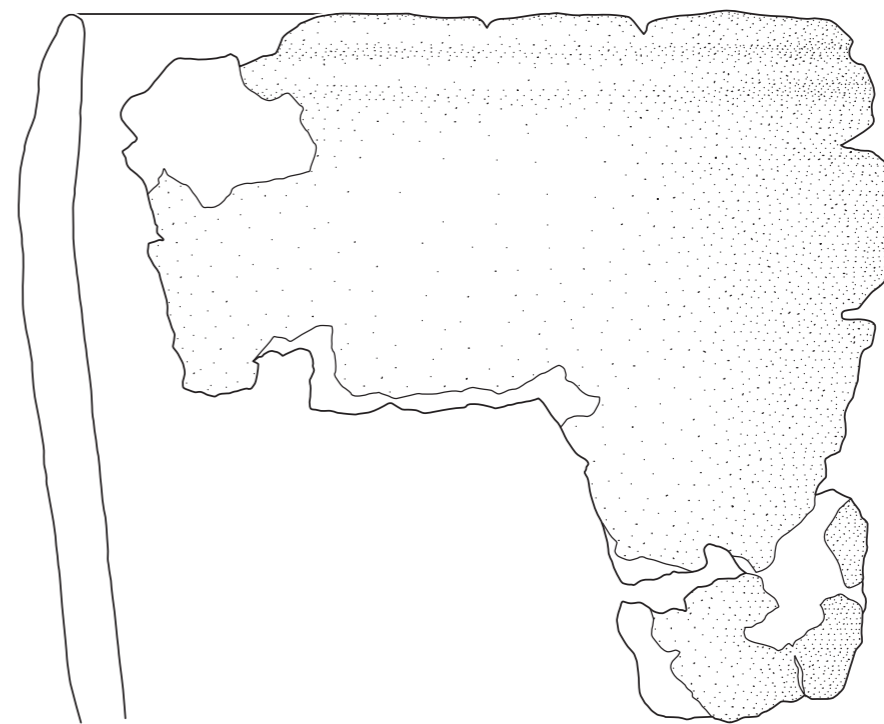
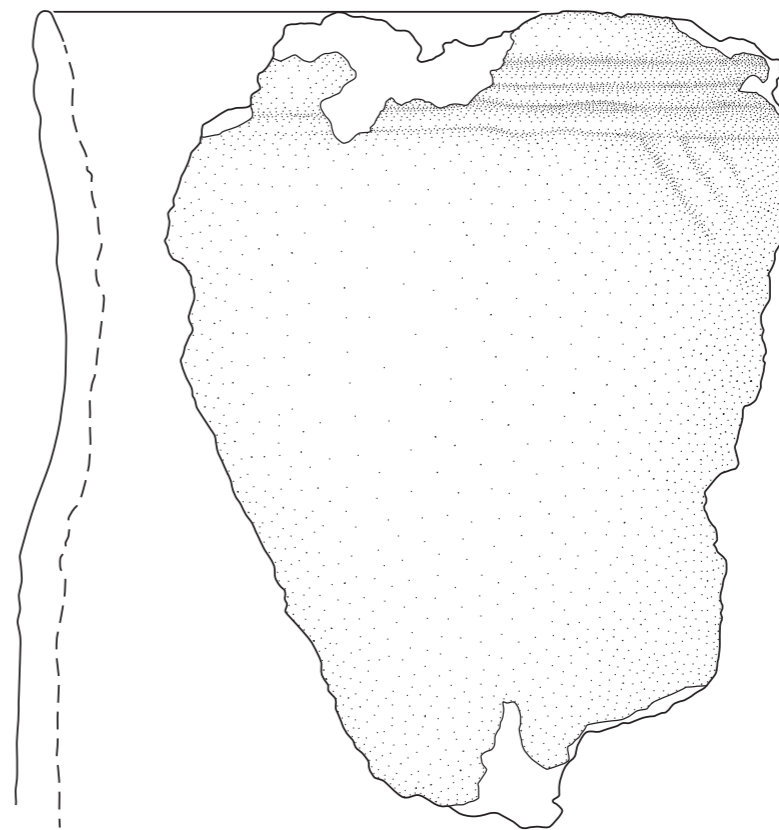
-  Intakte Oberfläche
-  Stark erodierte Oberfläche
-  Schnittebene intakt
-  Schnittebene stark erodiert
-  Unsicherer Mündungsdurchmesser
-  Angekohlte Speisekruste (schwarze Partie)
-  Gefäßprofil nicht durchgehend, sondern rekonstruiert
-  Angenommene Ergänzungen
-  Erhaltene Gefäßpartie in der Schnittebene (schwarz) mit Anzahl und Stellung der Lochreihen (durchgehend)
-  Erhaltene Gefäßpartie in der Schnittebene (schwarz) mit Anzahl und Stellung der Lochreihen (nicht durchgehend)
-  Erhaltene Gefäßpartie in der Schnittebene (schwarz) mit Anzahl und Stellung der Griffklappen sowie zugehörigen, aber nicht anpassenden Griffklappen (im Kreisinnern) und ergänzten Griffklappen (nicht schwarz), erschlossen aus der Anzahl der vorhandenen Griffklappen (gilt auch für Knubben)
-  Erhaltene Gefäßpartie in der Schnittebene (schwarz) mit Anzahl und Stellung der vorhandenen und ergänzten doppelgipfligen Griffklappen
-  Erhaltene Gefäßpartie in der Schnittebene (schwarz) mit Anzahl und Stellung der Ösen
-  Erhaltene Gefäßpartie in der Schnittebene (schwarz) mit Anzahl und Stellung der Henkel



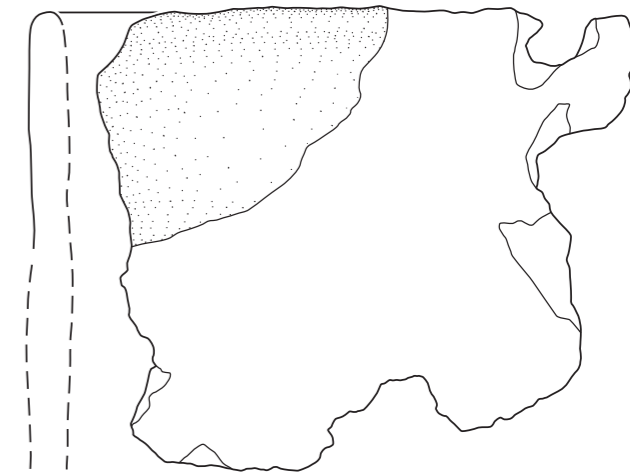
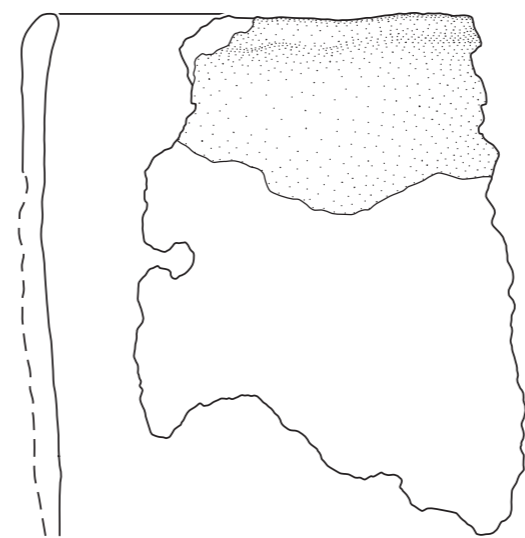
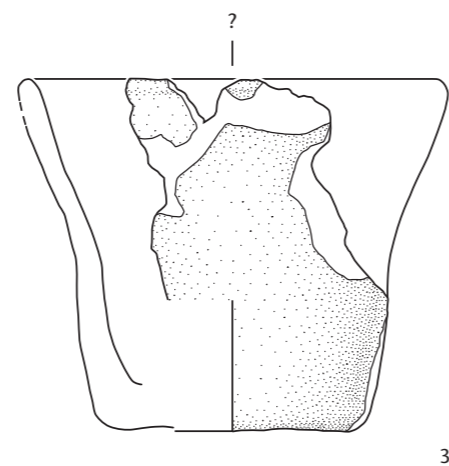
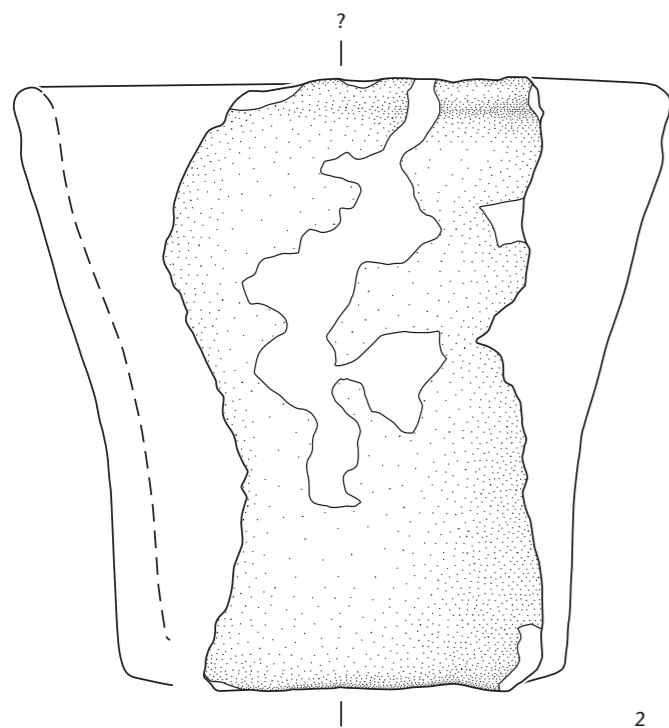
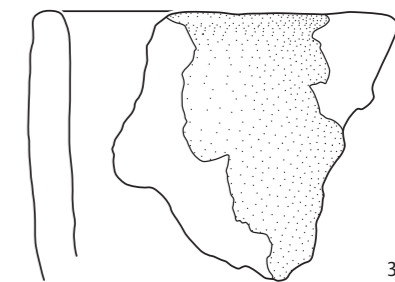
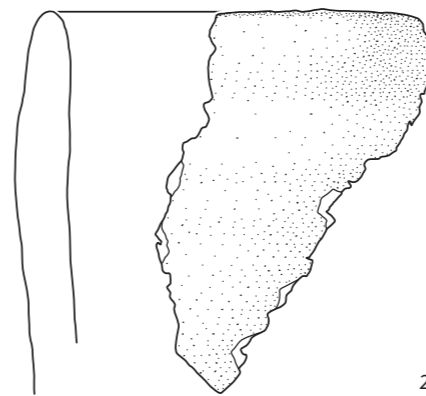
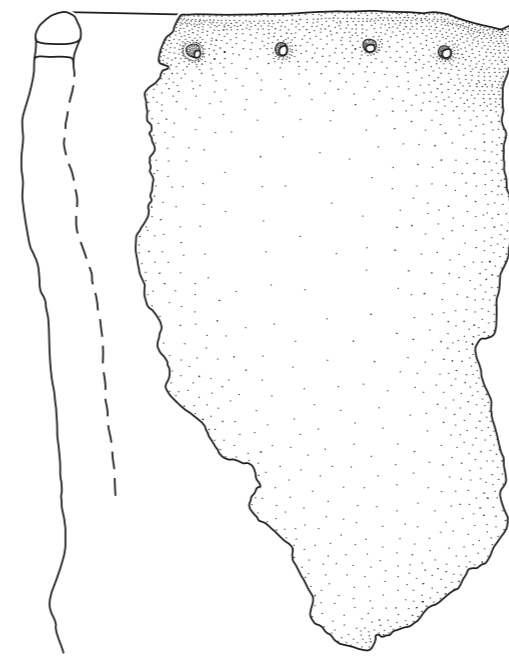
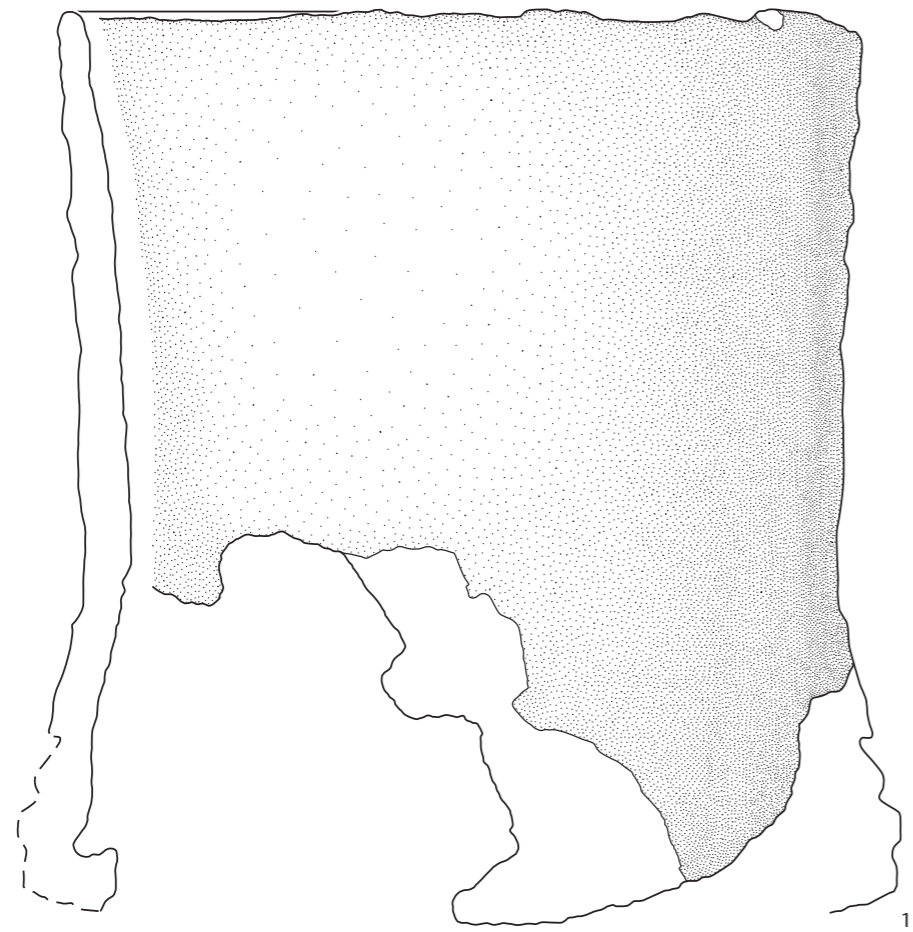
Tafel 36 Cham-Bachgraben. Gefäßkeramik.
Schicht 1: 1.2 Horgen. M. 1:3.



Tafel 37 Cham-Bachgraben. Gefäßkeramik.
Schicht 1: 1-3 Horgen. M. 1:3.

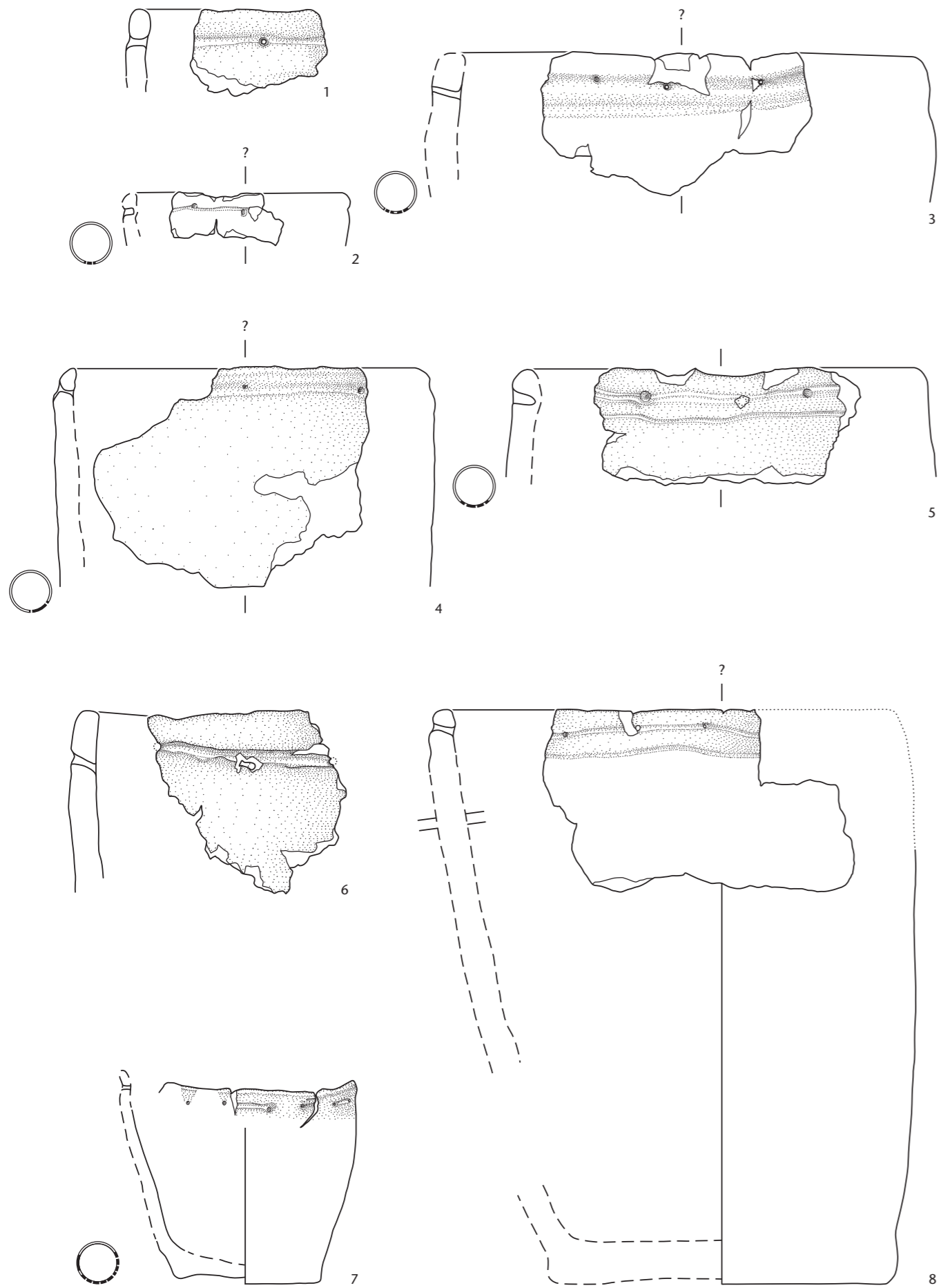


Tafel 38 Cham-Bachgraben. Gefäßkeramik.
Schicht 1: 1.2 Horgen. M. 1:3.

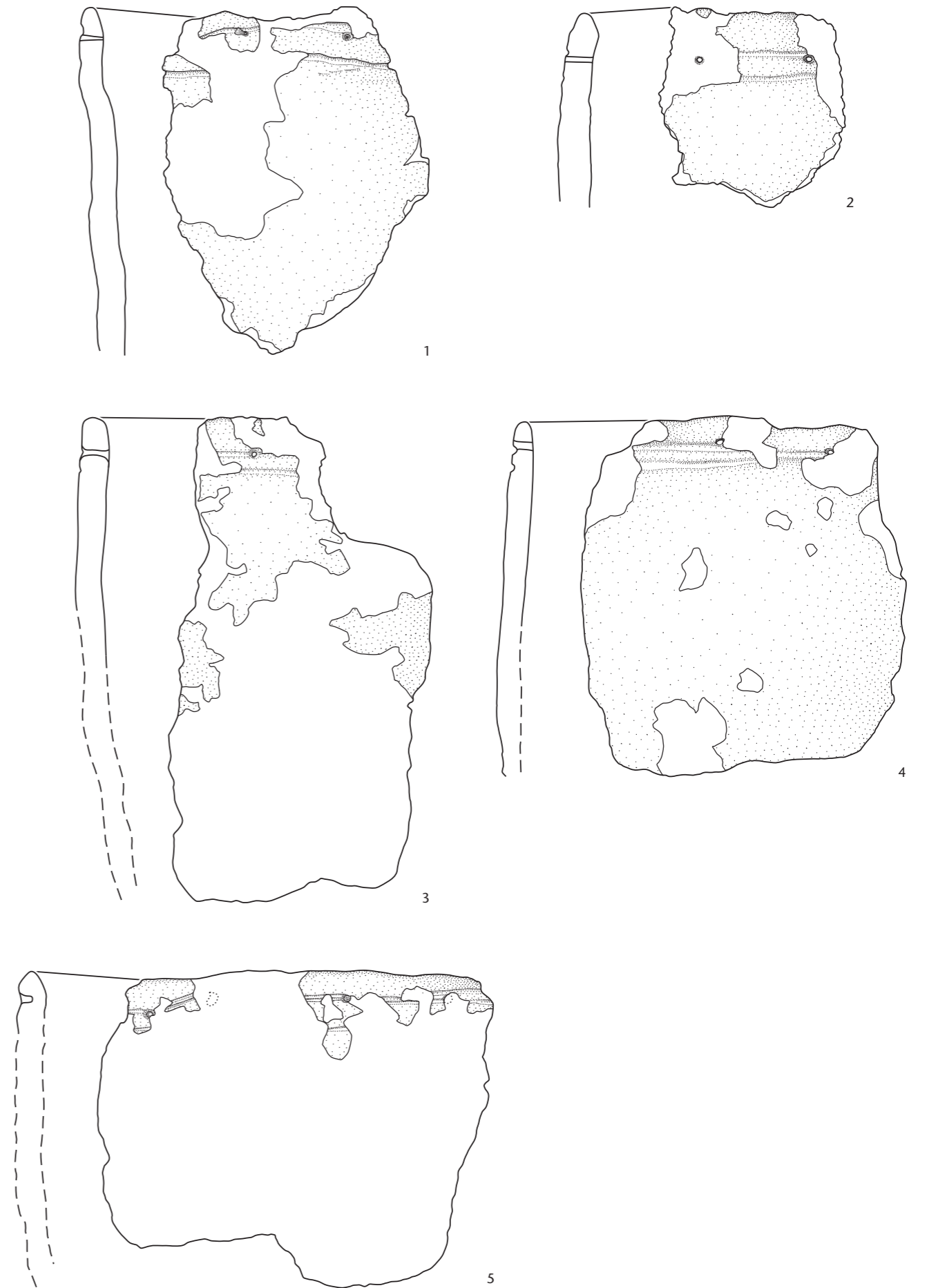


Tafel 39 Cham-Bachgraben. Gefäßkeramik.
Schicht 1: 1-3 Horgen. M. 1:3.

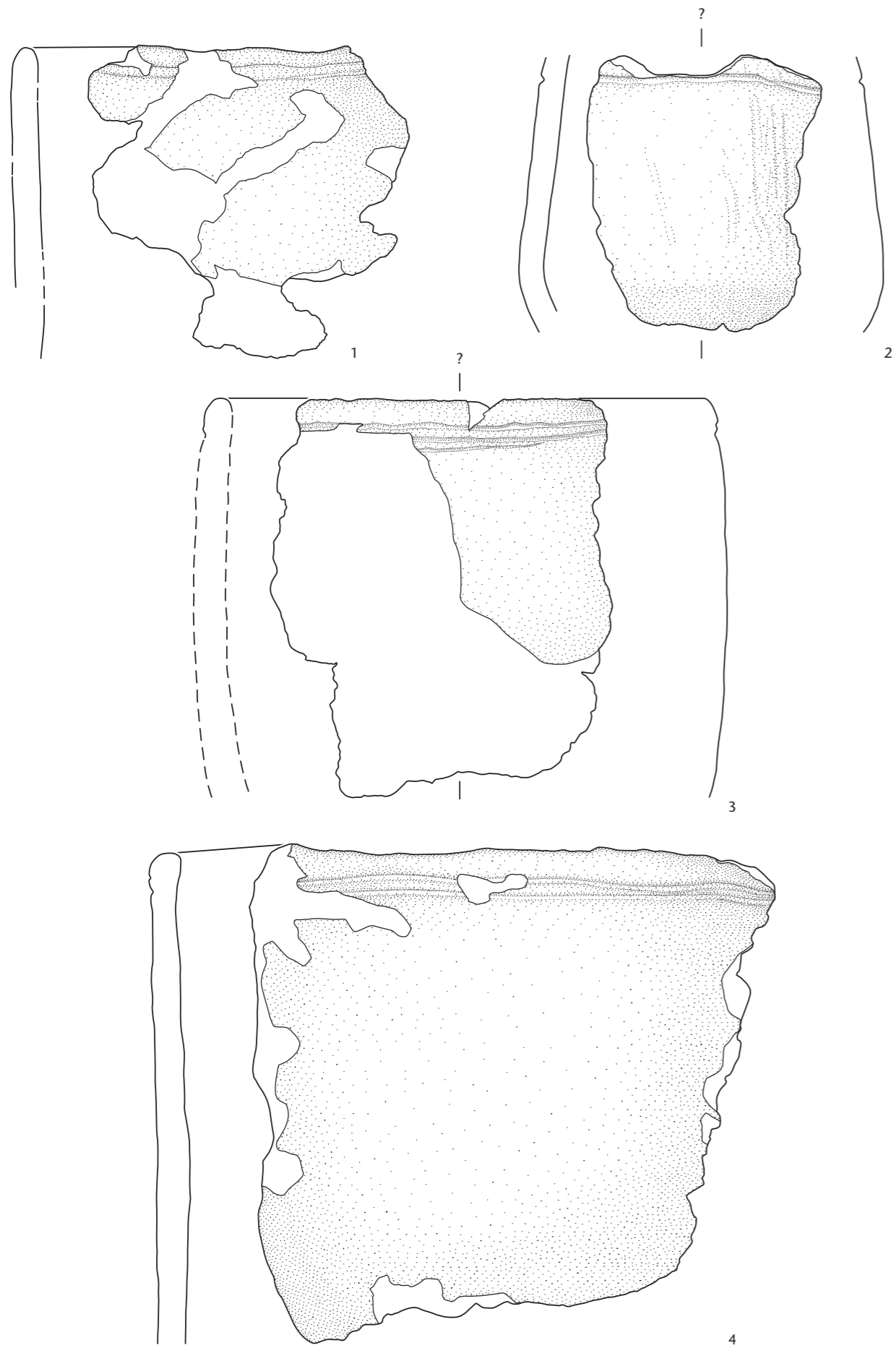
Tafel 40 Cham-Bachgraben. Gefäßkeramik.
Schicht 1: 1-5 Horgen. M. 1:3.



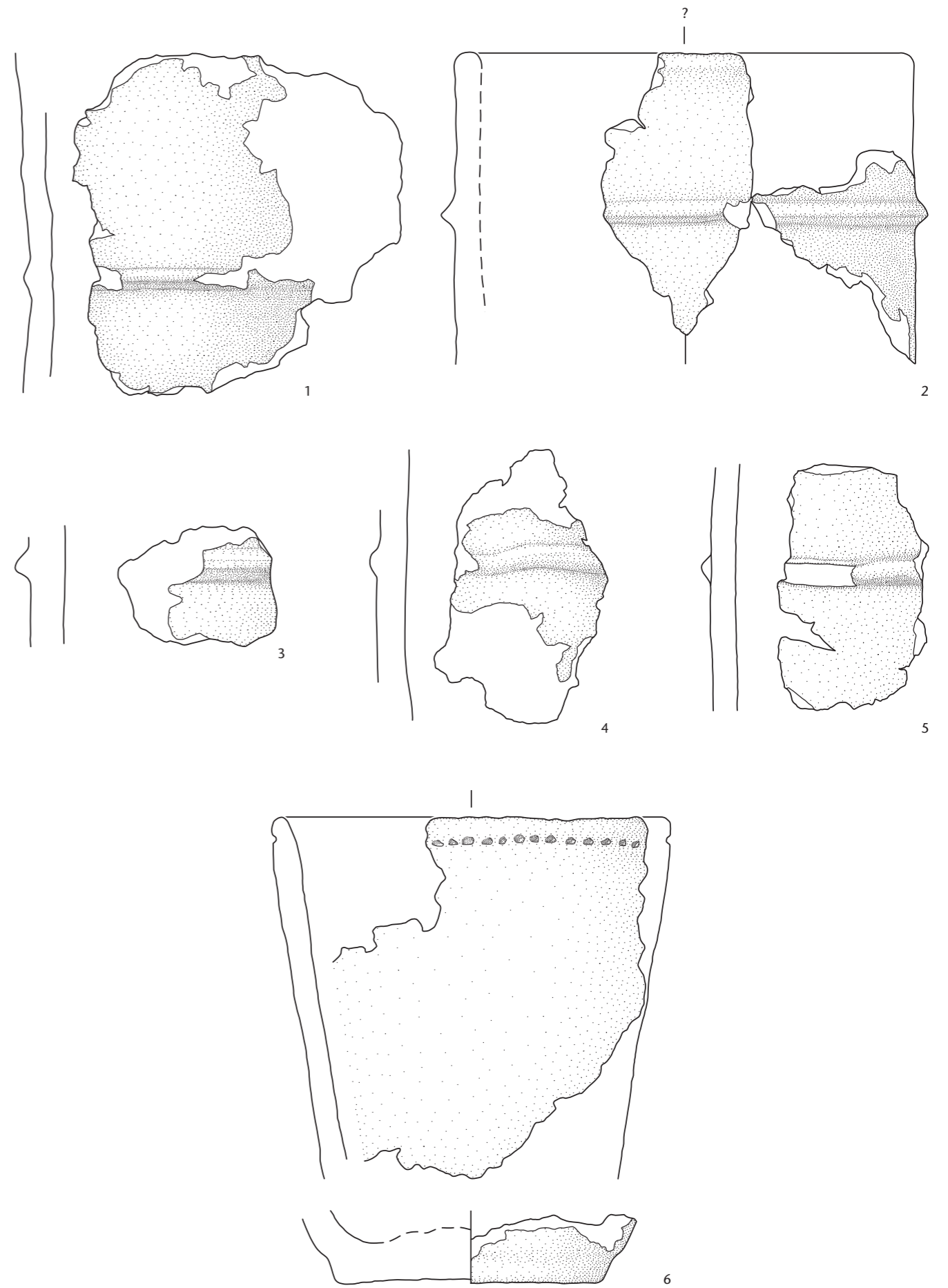
Tafel 41 Cham-Bachgraben. Gefäßkeramik.
Schicht 1: 1-8 Horgen. M. 1:3.



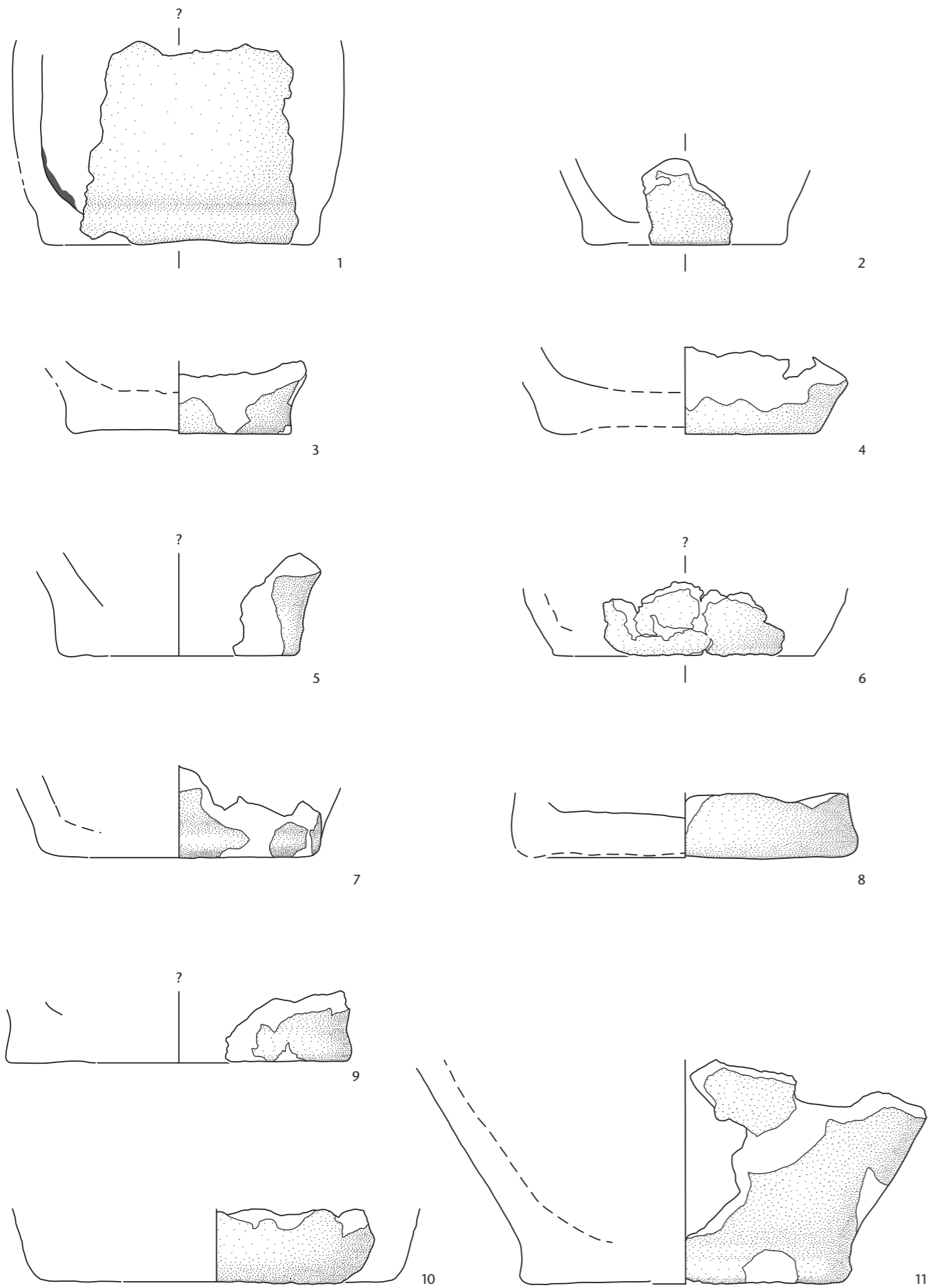
Tafel 42 Cham-Bachgraben. Gefäßkeramik.
Schicht 1: 1-5 Horgen. M. 1:3.



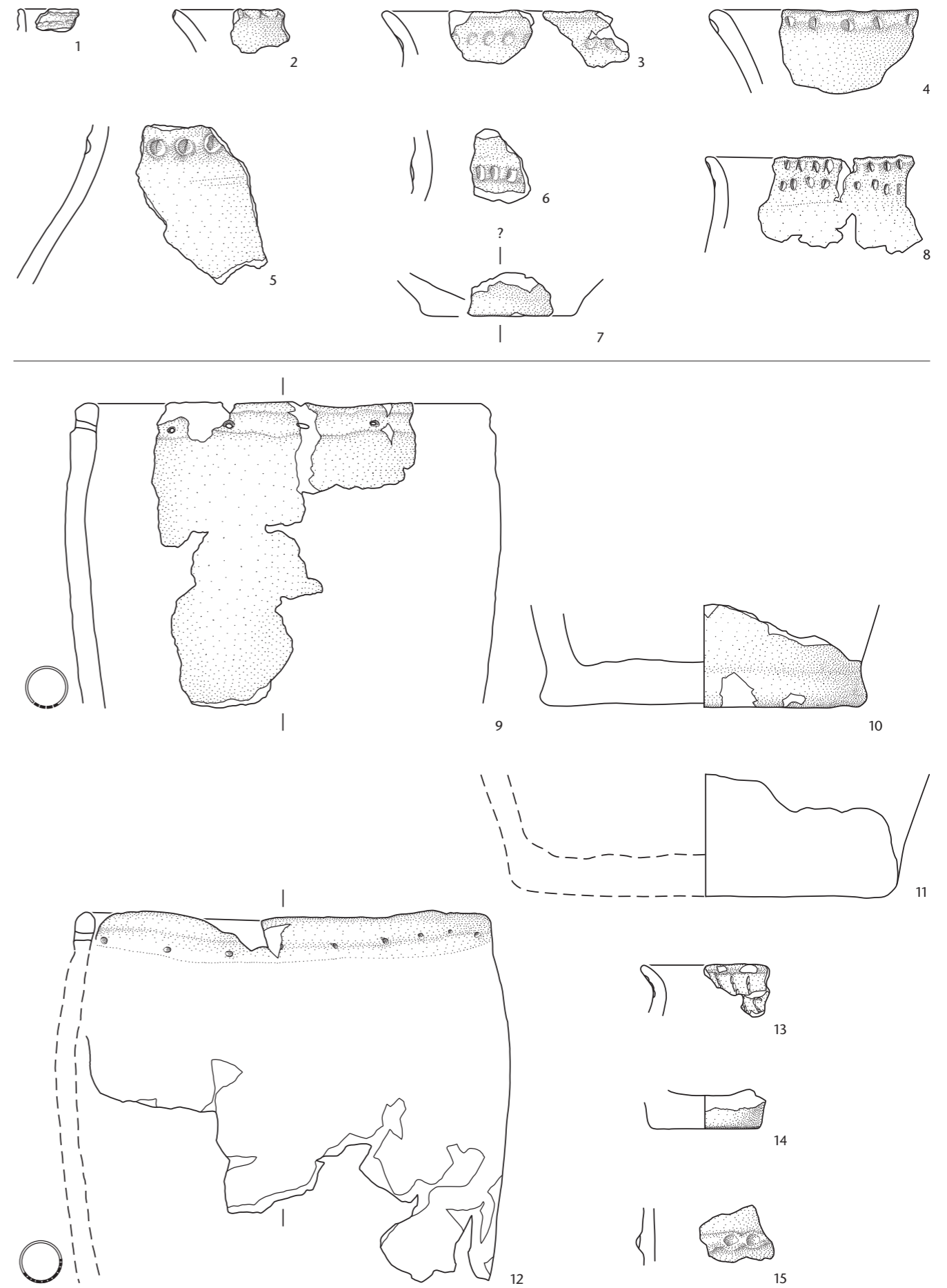
Tafel 43 Cham-Bachgraben. Gefäßkeramik.
Schicht 1: 1-4 Horgen. M. 1:3.



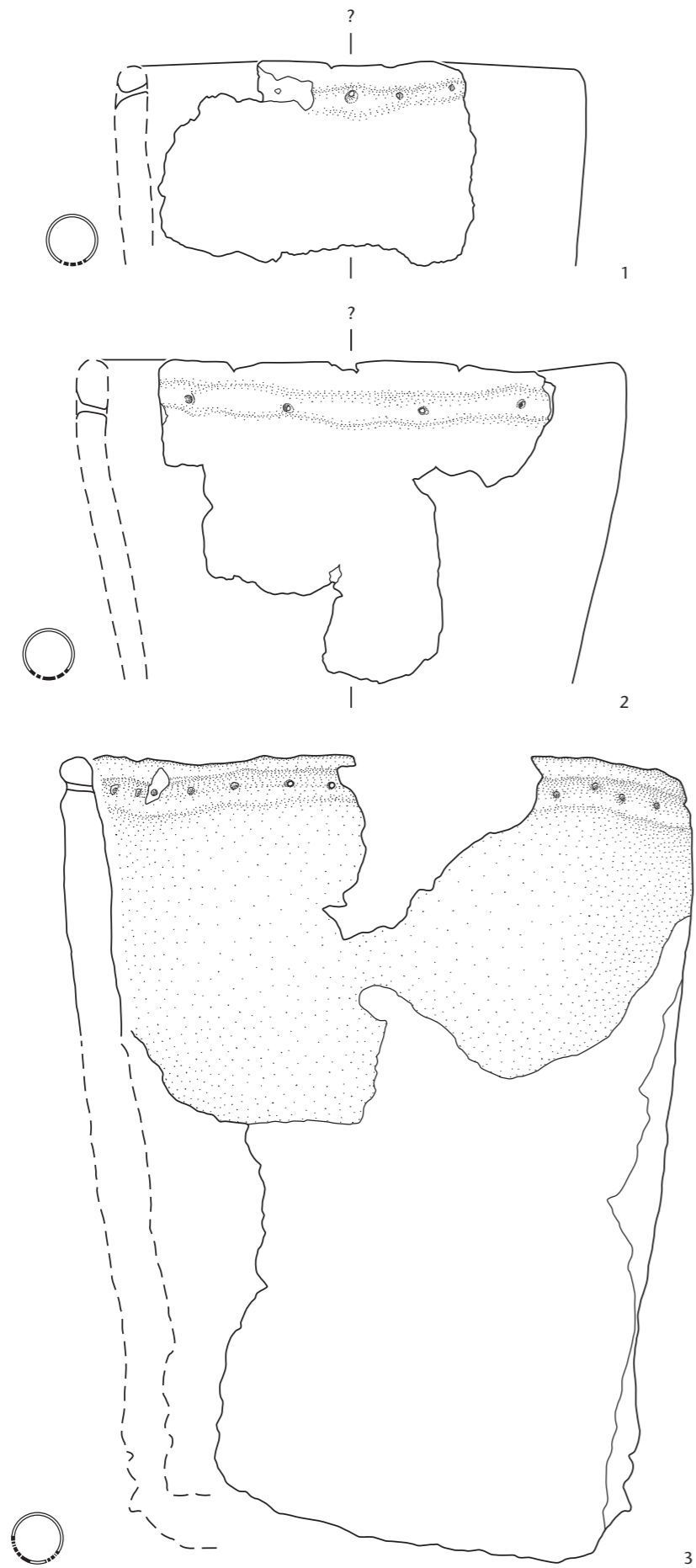
Tafel 44 Cham-Bachgraben. Gefäßkeramik.
Schicht 1: 1-6 Horgen. M. 1:3.



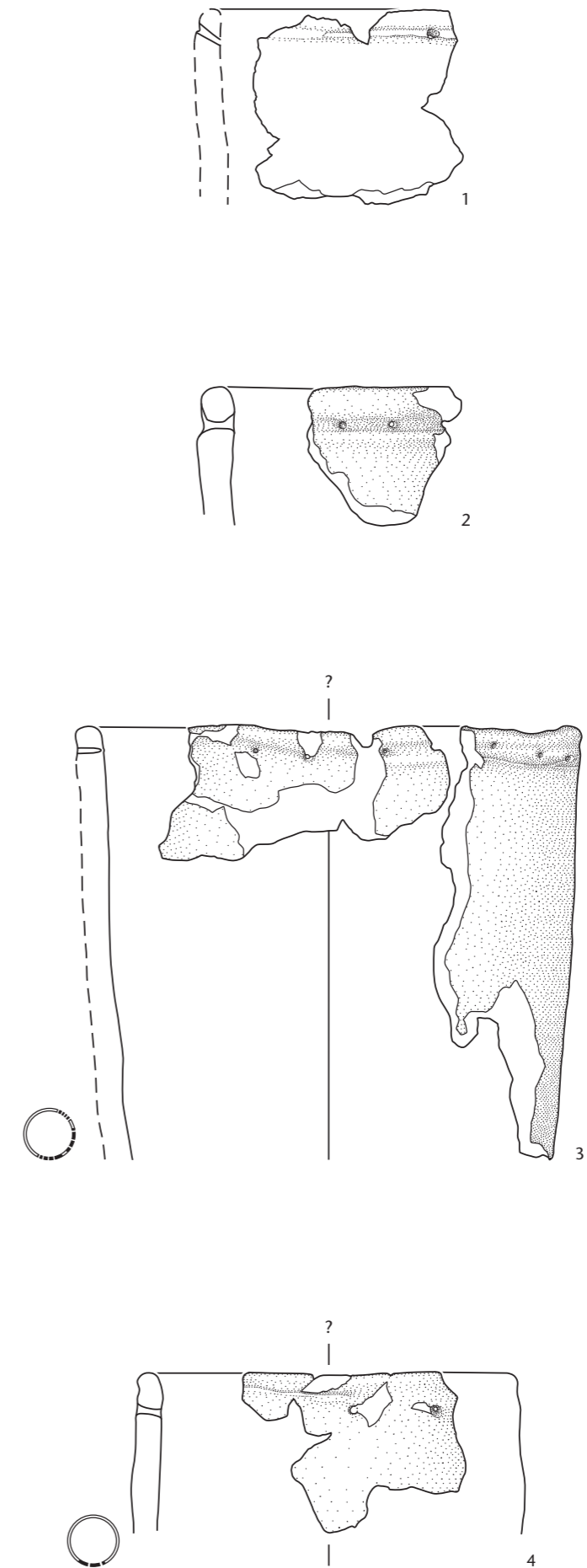
Tafel 45 Cham-Bachgraben. Gefäßkeramik.
Schicht 1: 1–11 Horgen. M. 1:3.



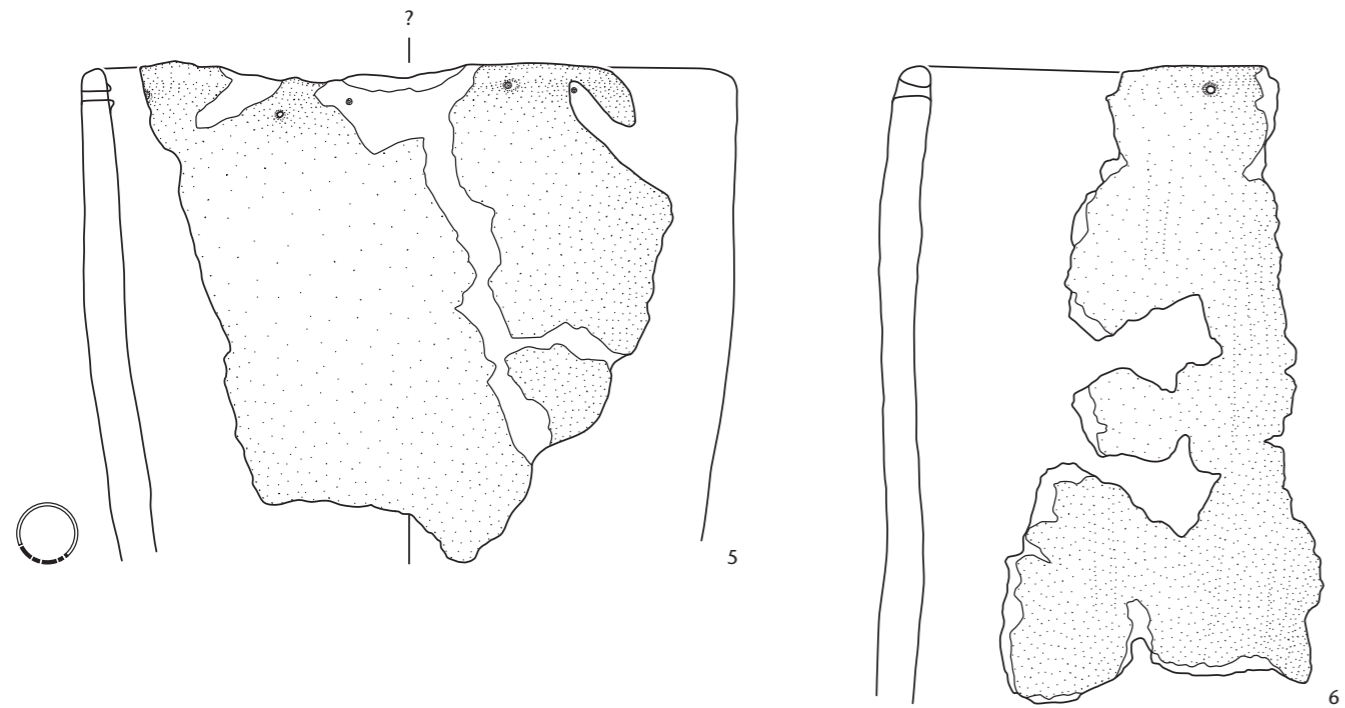
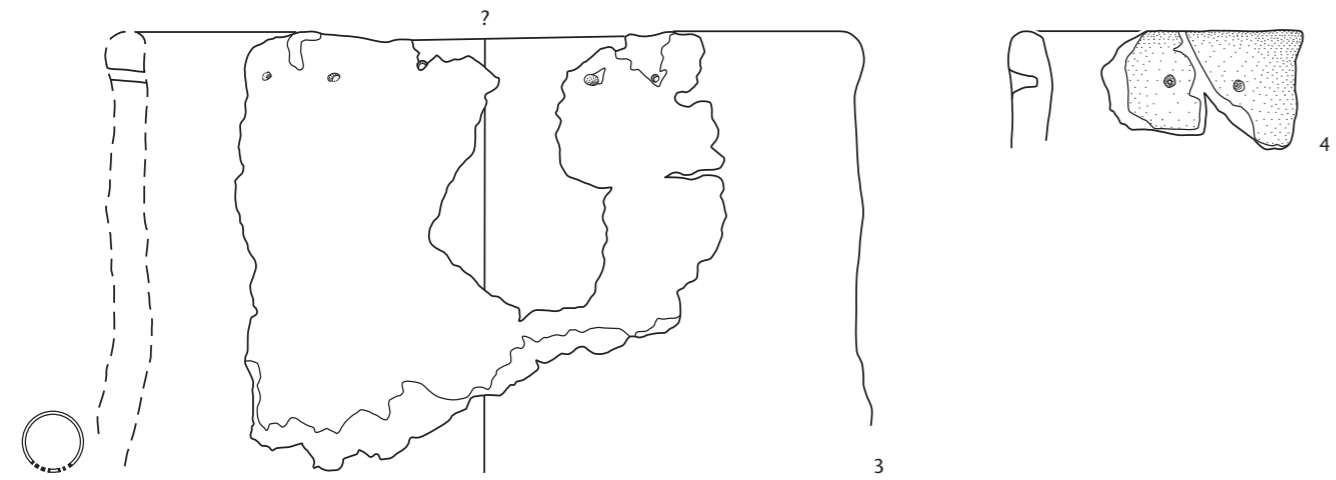
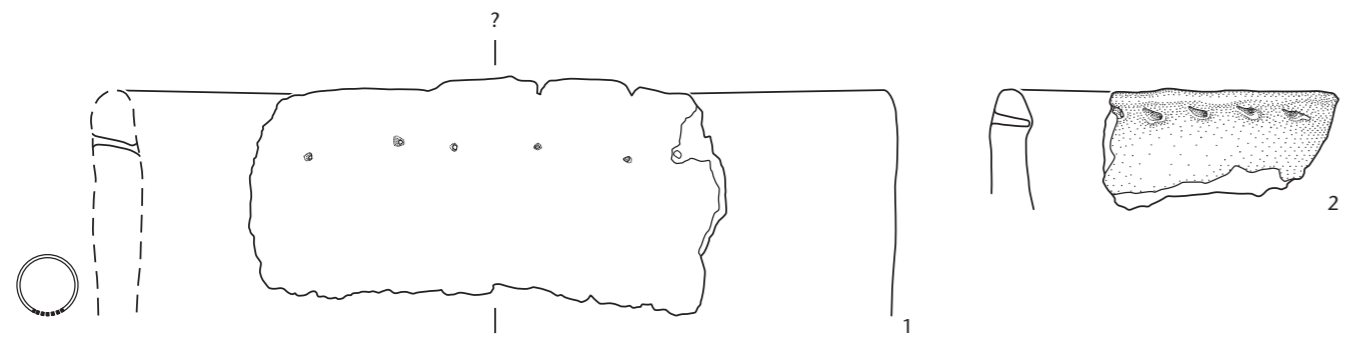
Tafel 46 Cham-Bachgraben. Gefäßkeramik.
Schicht 1: 1–8 Schnurkeramik. Schicht 0.1: 9–12 Horgen; 13, 14 Schnurkeramik; 15 Früh-/Mittelbronzezeit. M. 1:3.



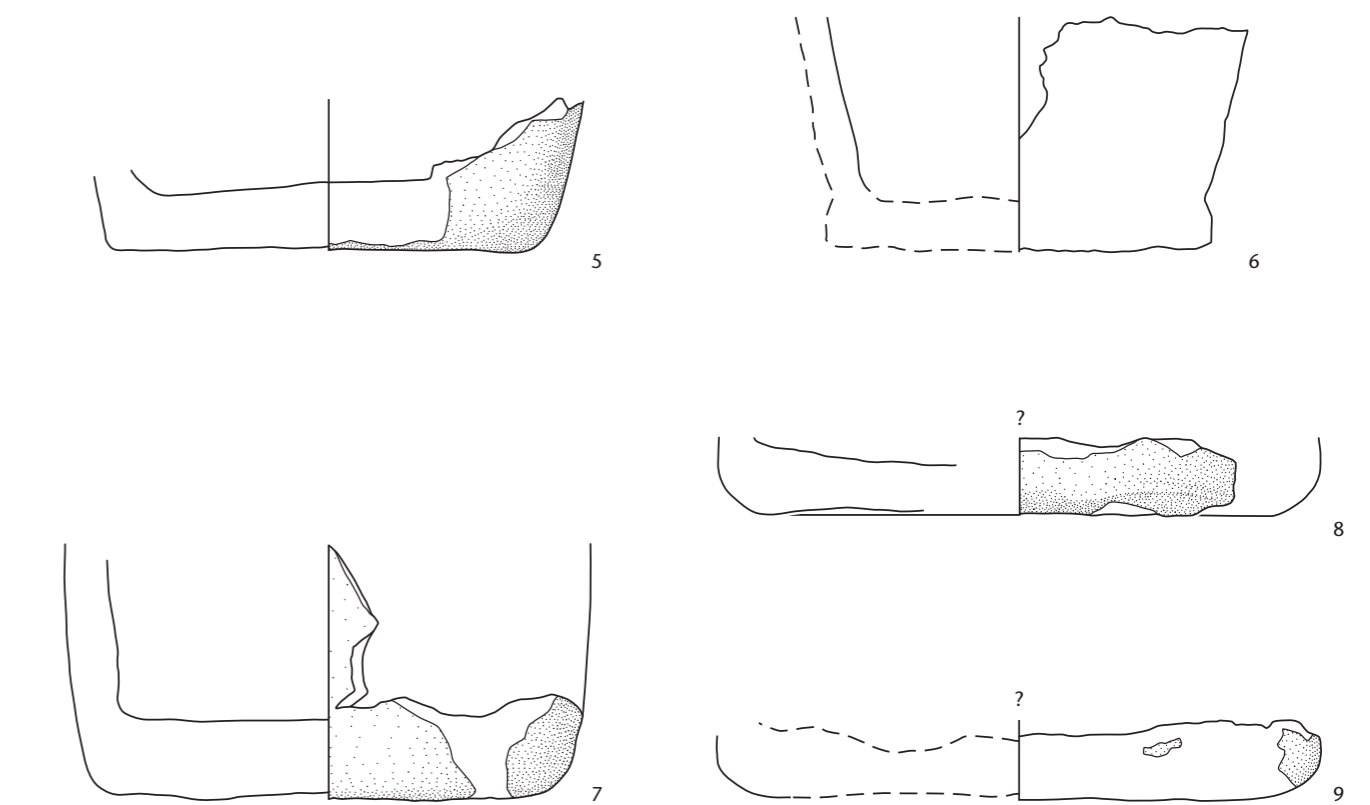
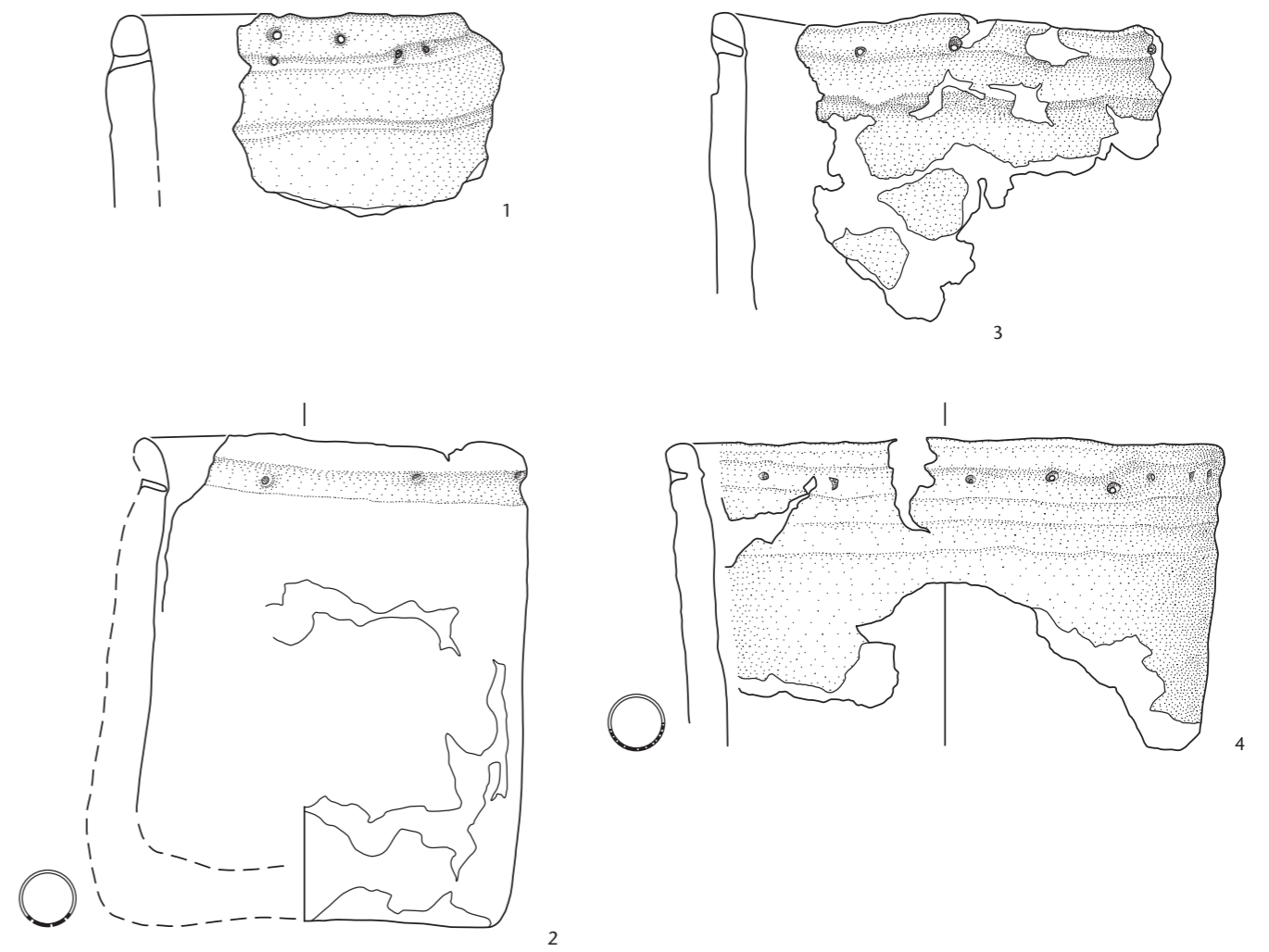
Tafel 47 Cham-Bachgraben. Gefäßkeramik.
Schicht 2: 1-3 Horgen. M. 1:3.



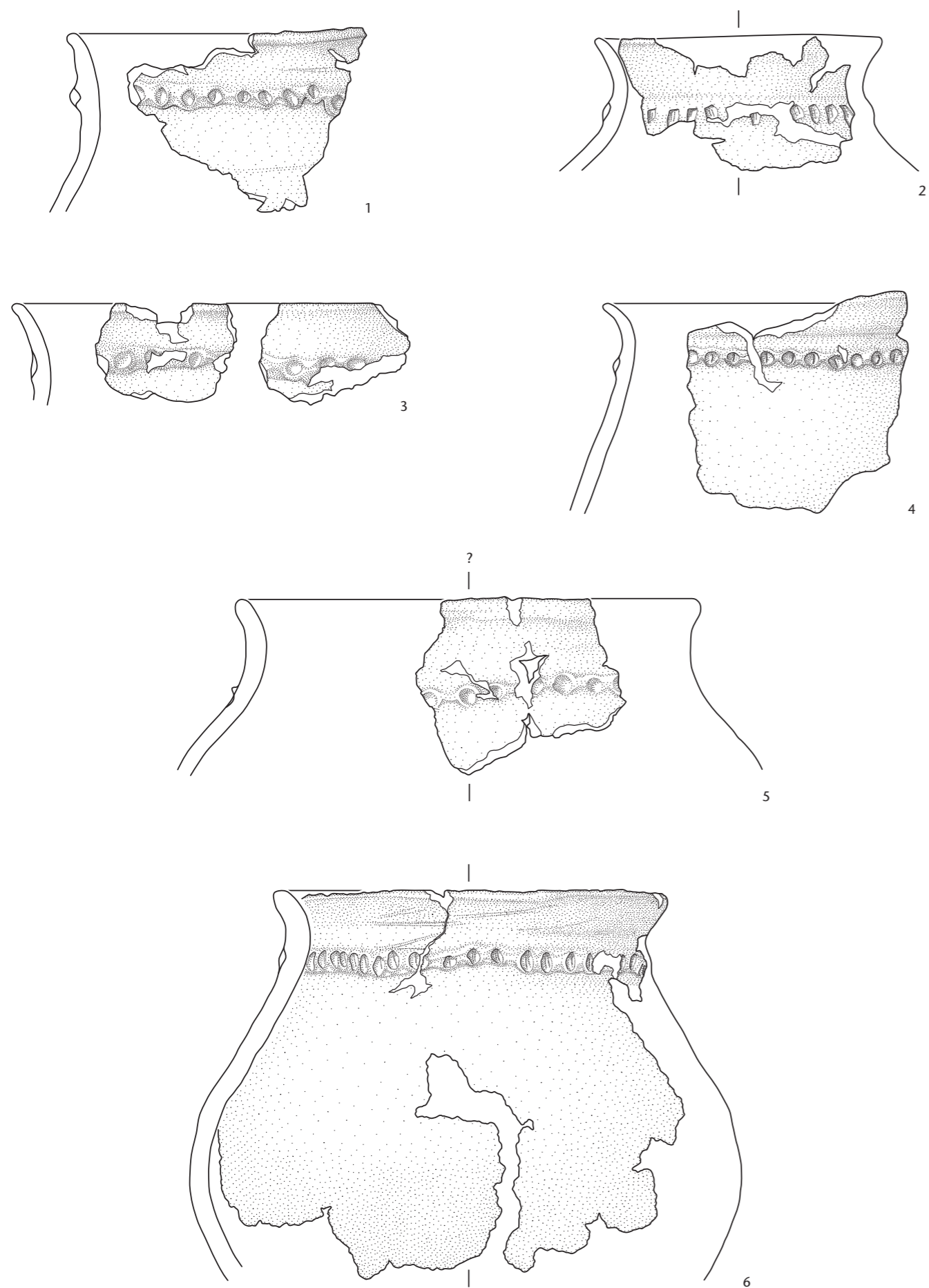
Tafel 48 Cham-Bachgraben. Gefäßkeramik.
Schicht 2: 1-4 Horgen. M. 1:3.



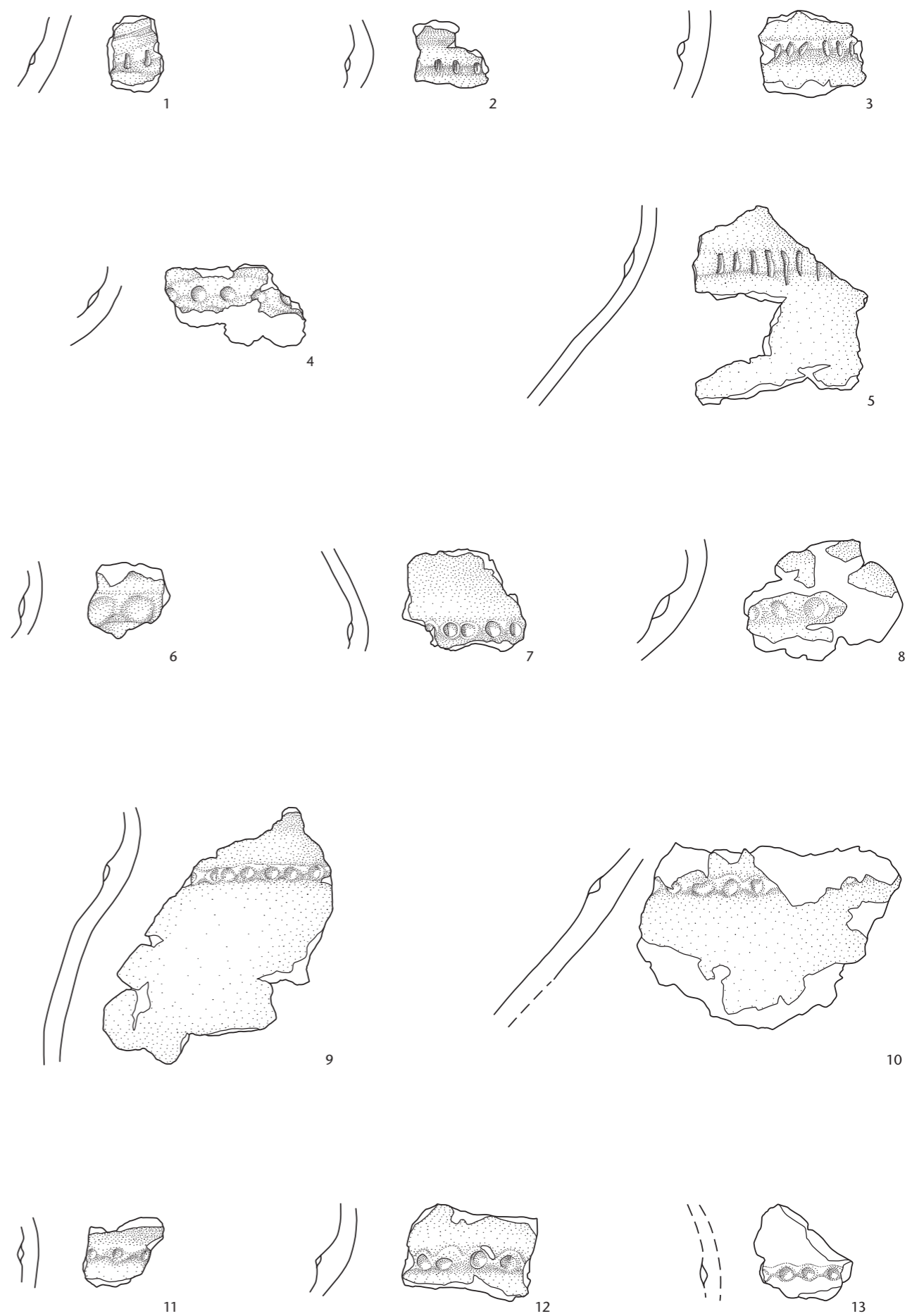
Tafel 49 Cham-Bachgraben. Gefäßkeramik.
Schicht 2: 1-6 Horgen. M. 1:3.



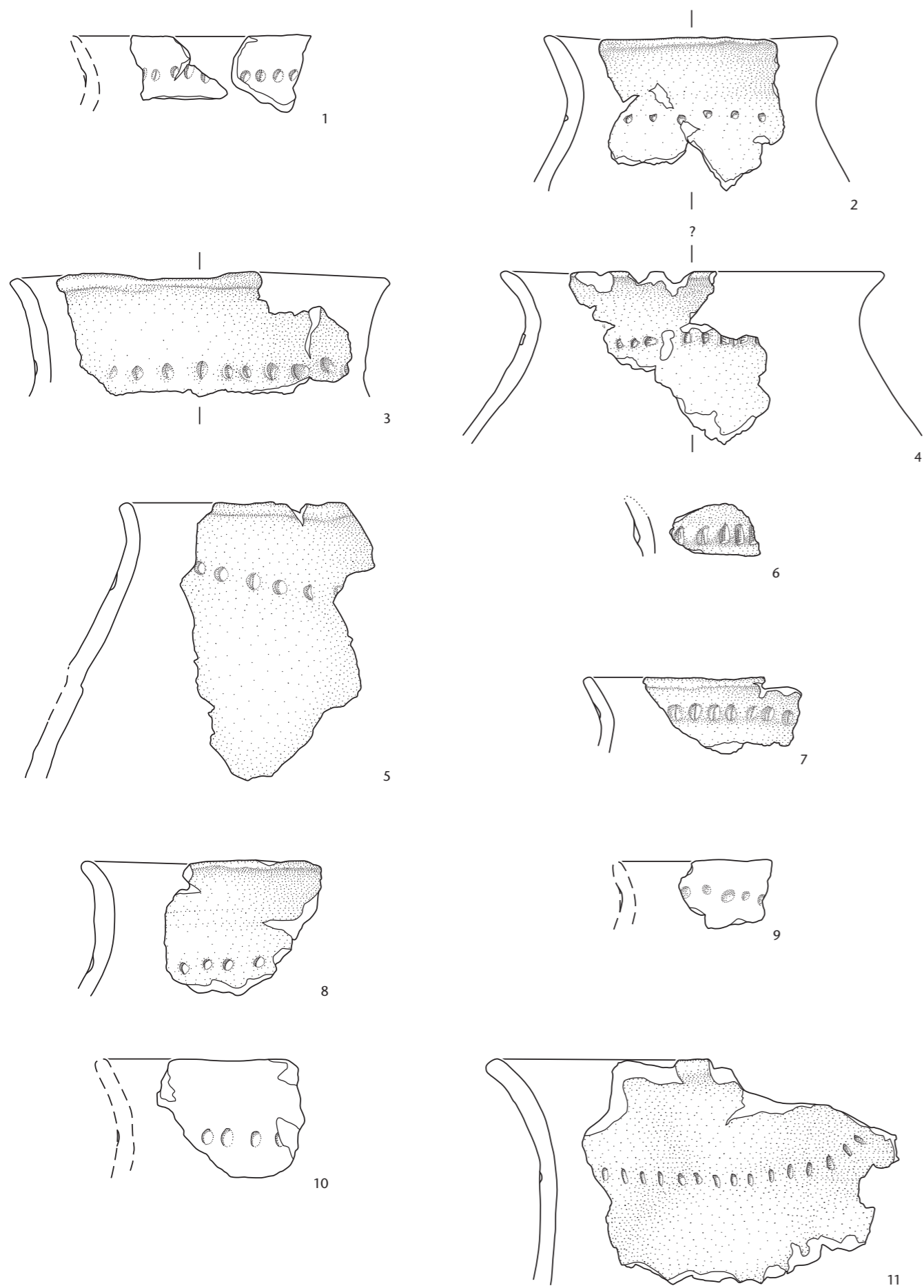
Tafel 50 Cham-Bachgraben. Gefäßkeramik.
Schicht 2: 1-9 Horgen. M. 1:3.



Tafel 51 Cham-Bachgraben. Gefäßkeramik.
Schicht 2: 1–6 Schnurkeramik. M. 1:3.



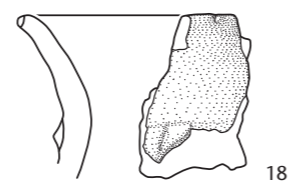
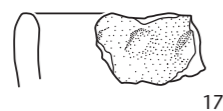
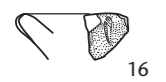
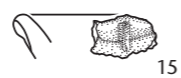
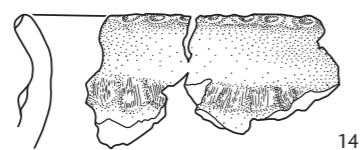
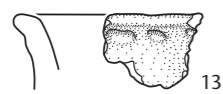
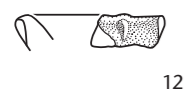
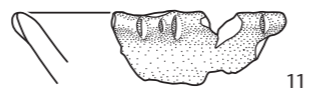
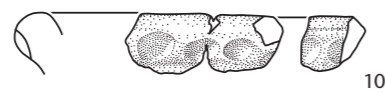
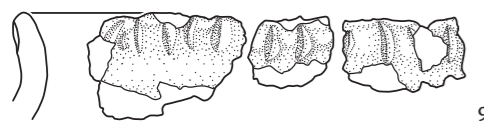
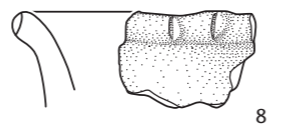
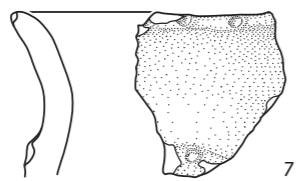
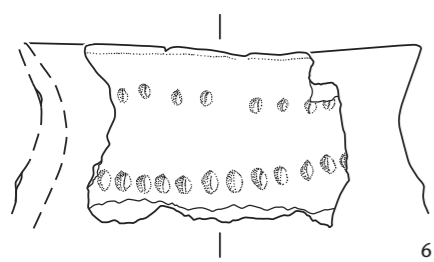
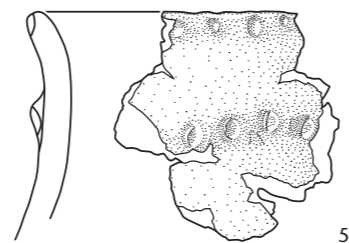
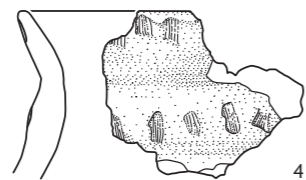
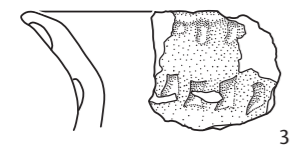
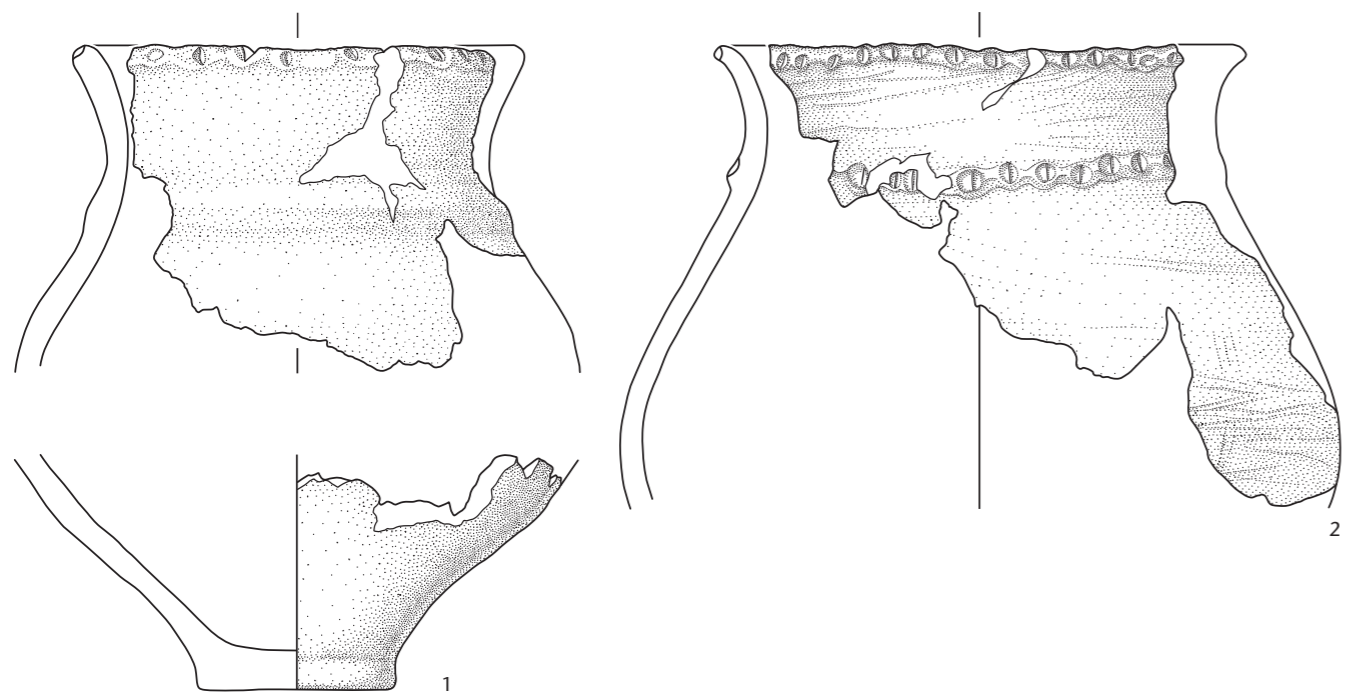
Tafel 52 Cham-Bachgraben. Gefäßkeramik.
Schicht 2: 1–13 Schnurkeramik. M. 1:3.



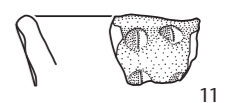
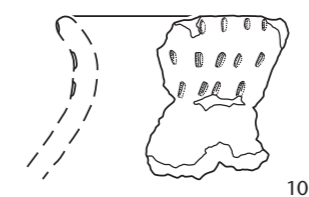
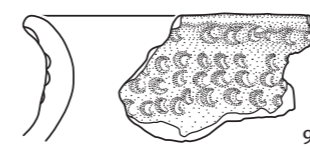
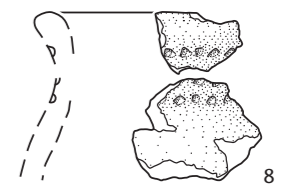
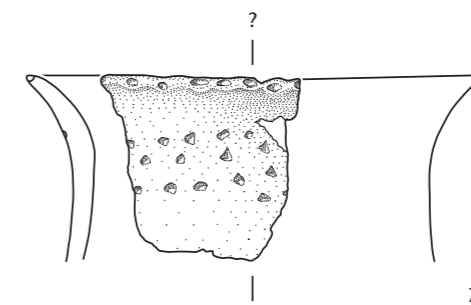
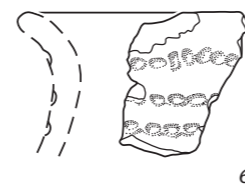
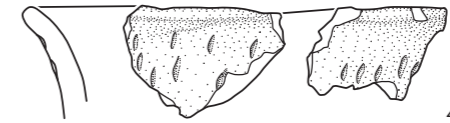
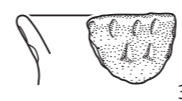
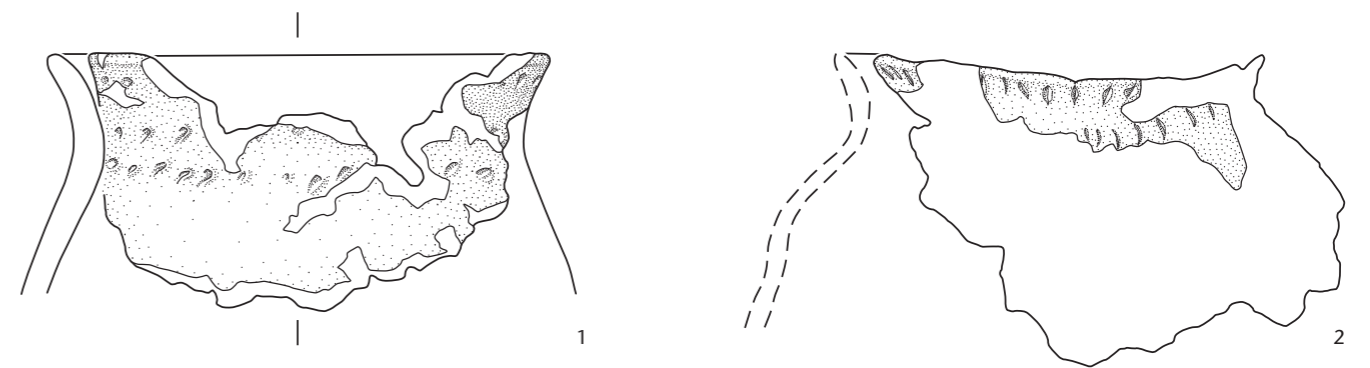
Tafel 53 Cham-Bachgraben. Gefäßkeramik.
Schicht 2: 1–11 Schnurkeramik. M. 1:3.



Tafel 54 Cham-Bachgraben. Gefäßkeramik.
Schicht 2: 1–12 Schnurkeramik. M. 1:3.



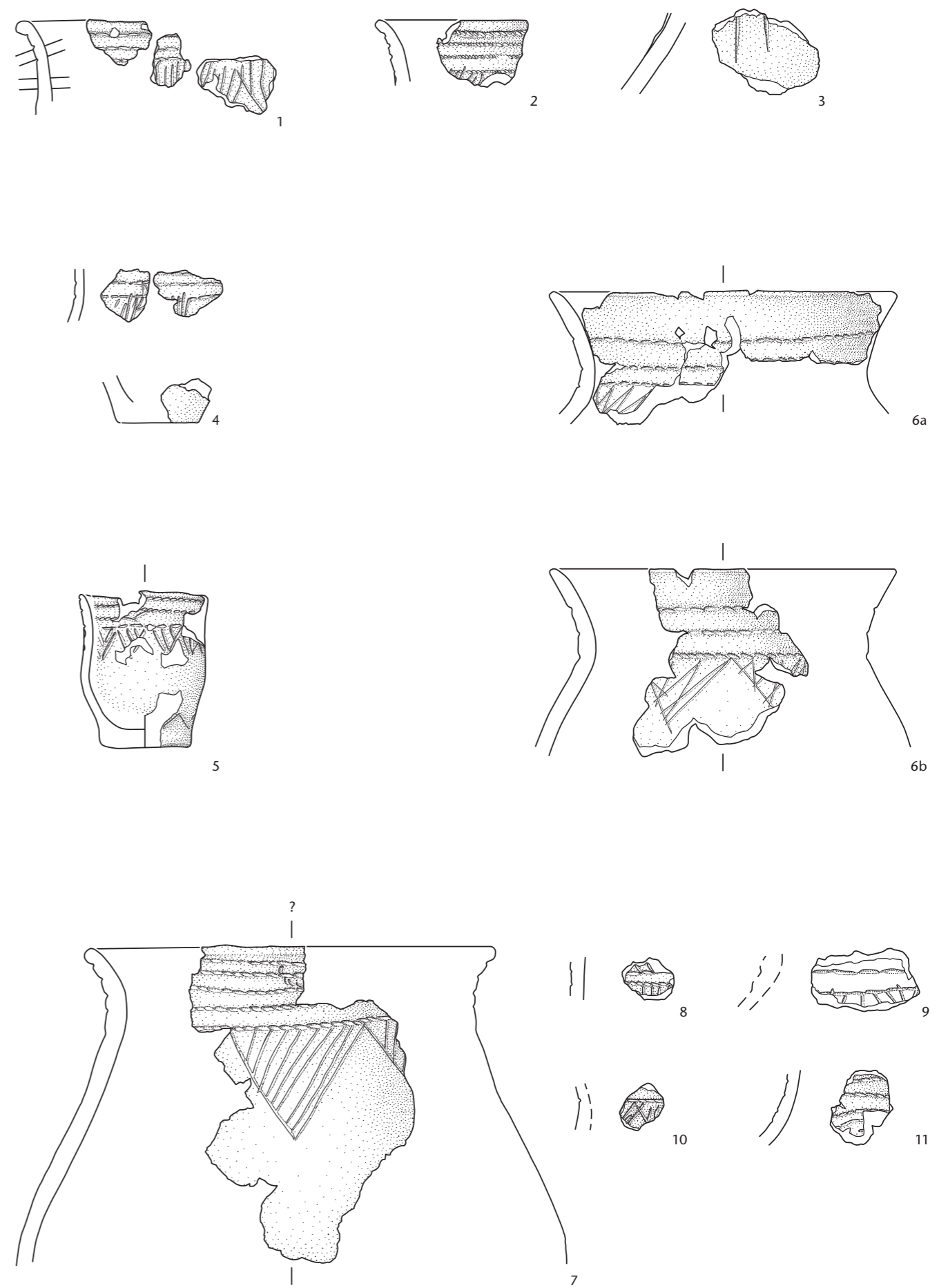
Tafel 55 Cham-Bachgraben. Gefäßkeramik.
Schicht 2: 1-18 Schnurkeramik. M. 1:3.



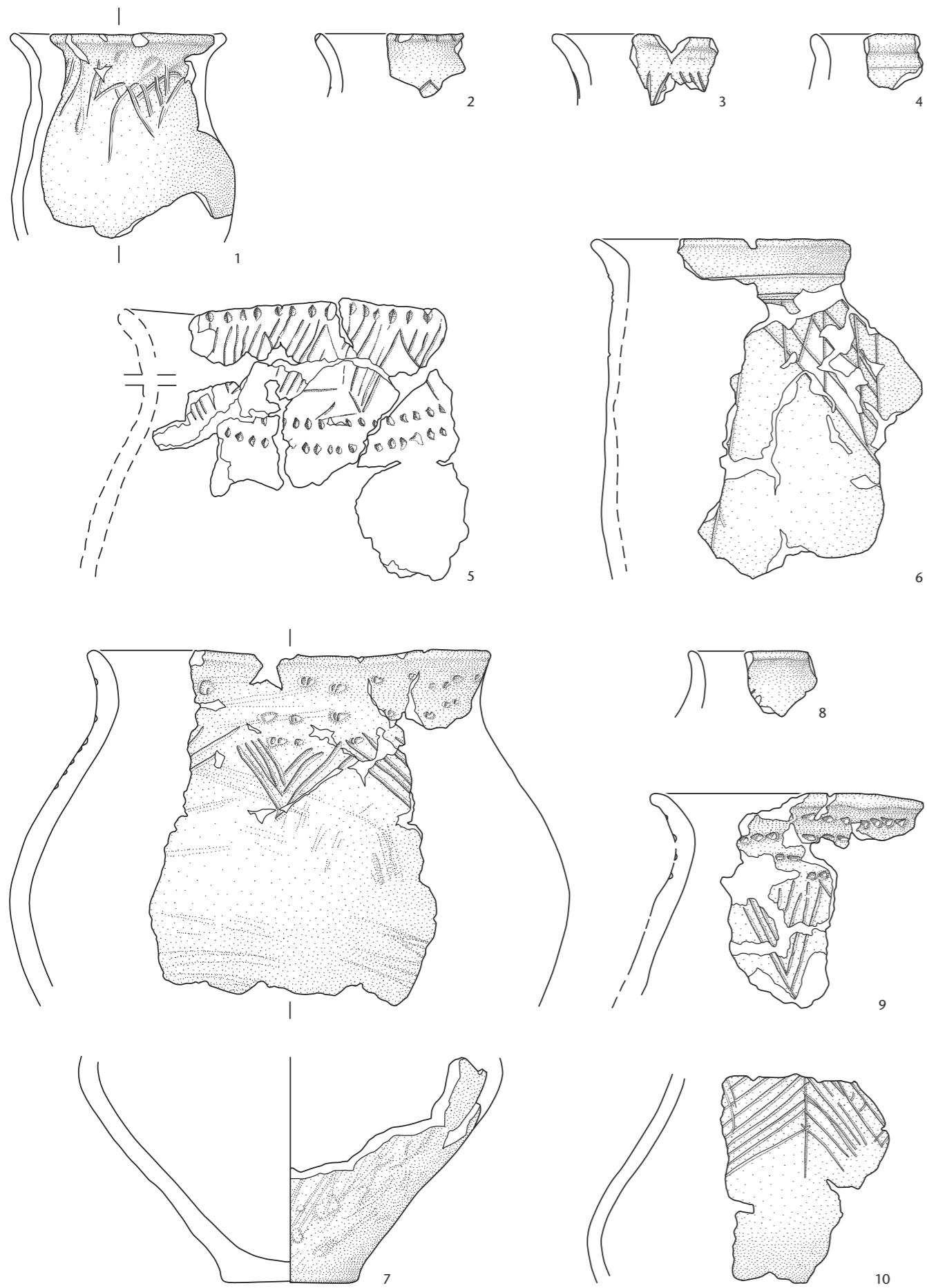
Tafel 56 Cham-Bachgraben. Gefäßkeramik.
Schicht 2: 1-11 Schnurkeramik. M. 1:3.



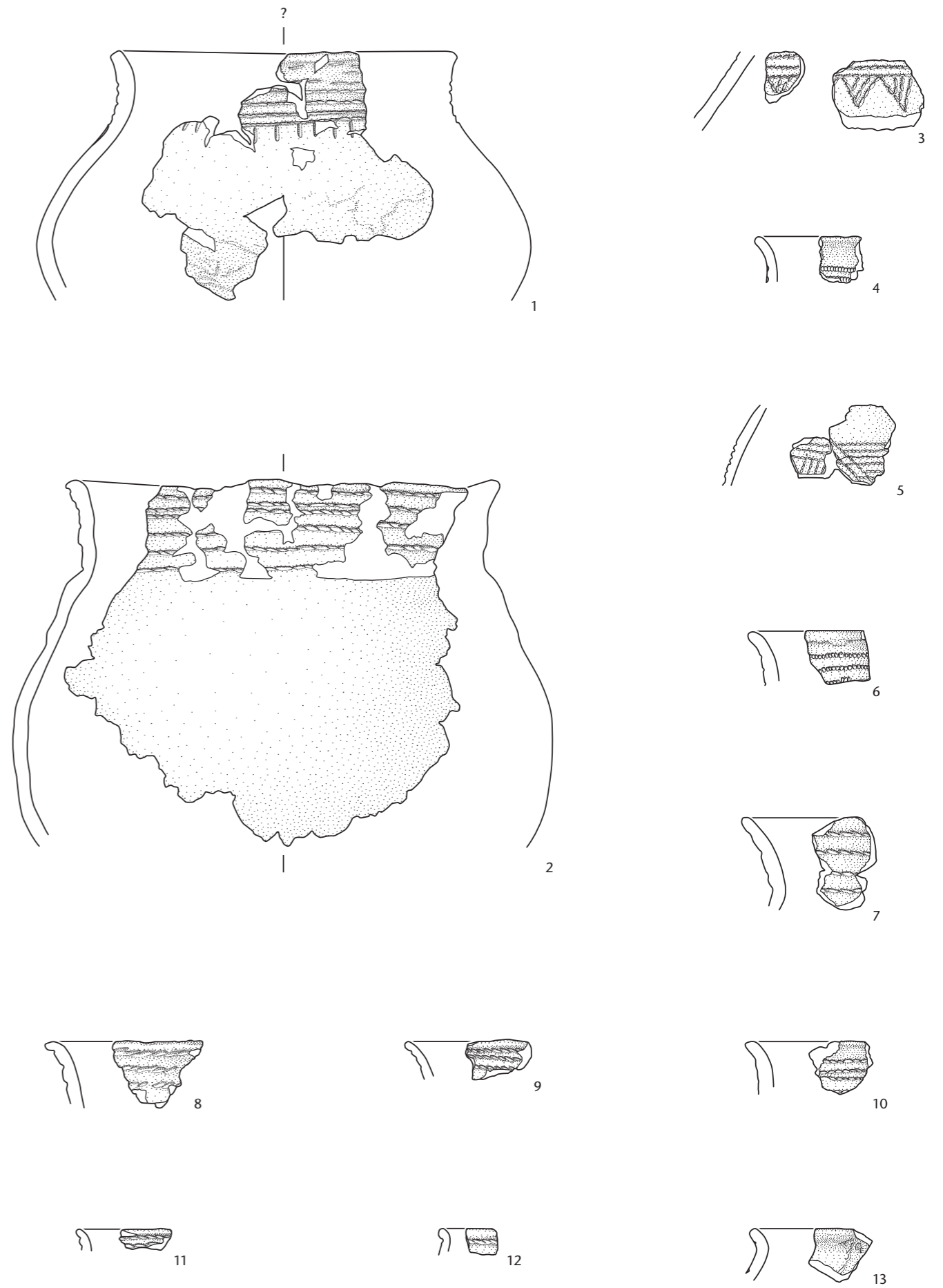
Tafel 57 Cham-Bachgraben. Gefäßkeramik.
Schicht 2: 1-9 Schnurkeramik. M. 1:3.



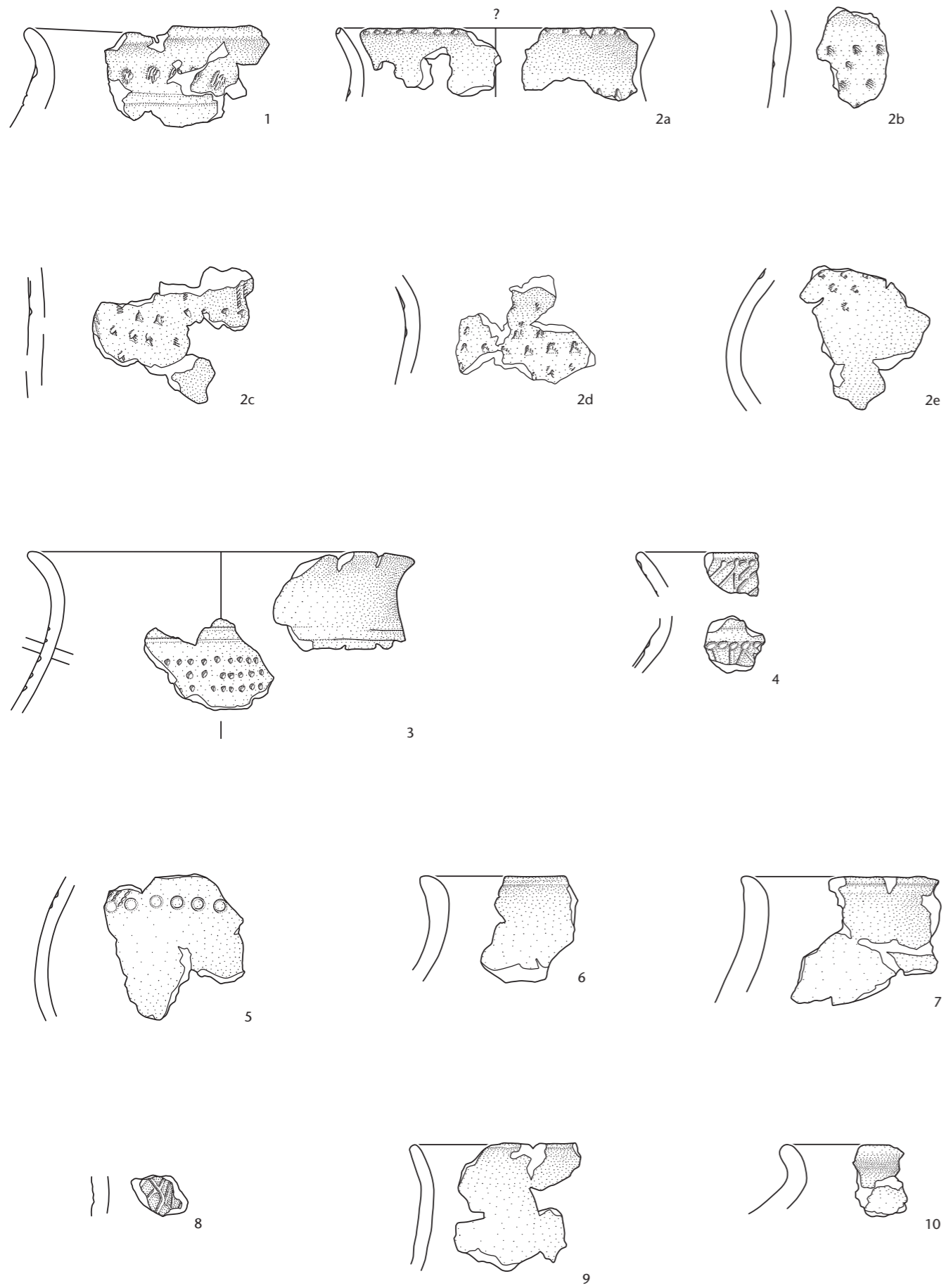
Tafel 58 Cham-Bachgraben. Gefäßkeramik.
Schicht 2: 1-11 Schnurkeramik. M. 1:3.



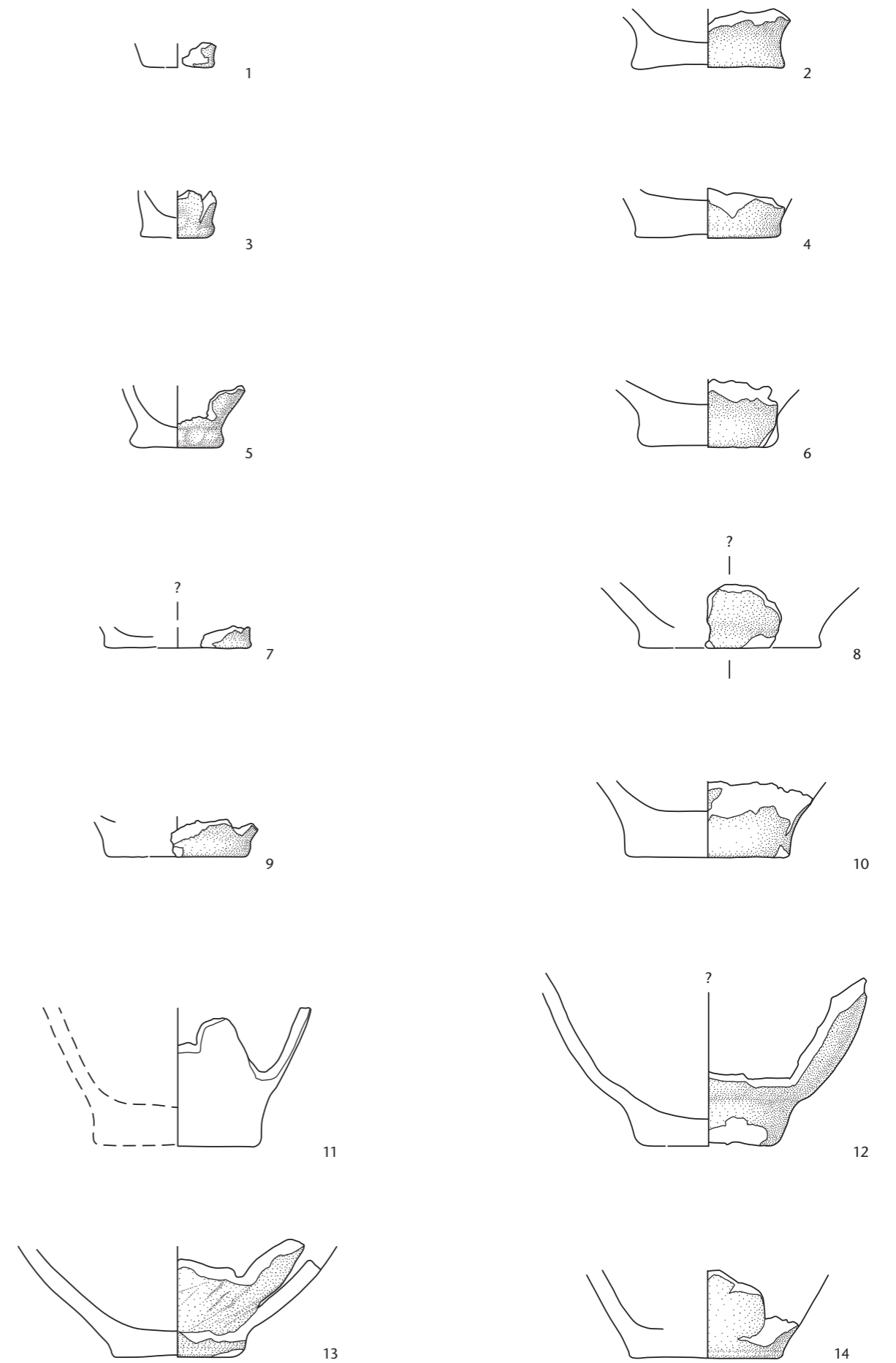
Tafel 59 Cham-Bachgraben. Gefäßkeramik.
Schicht 2: 1–10 Schnurkeramik. M. 1:3.



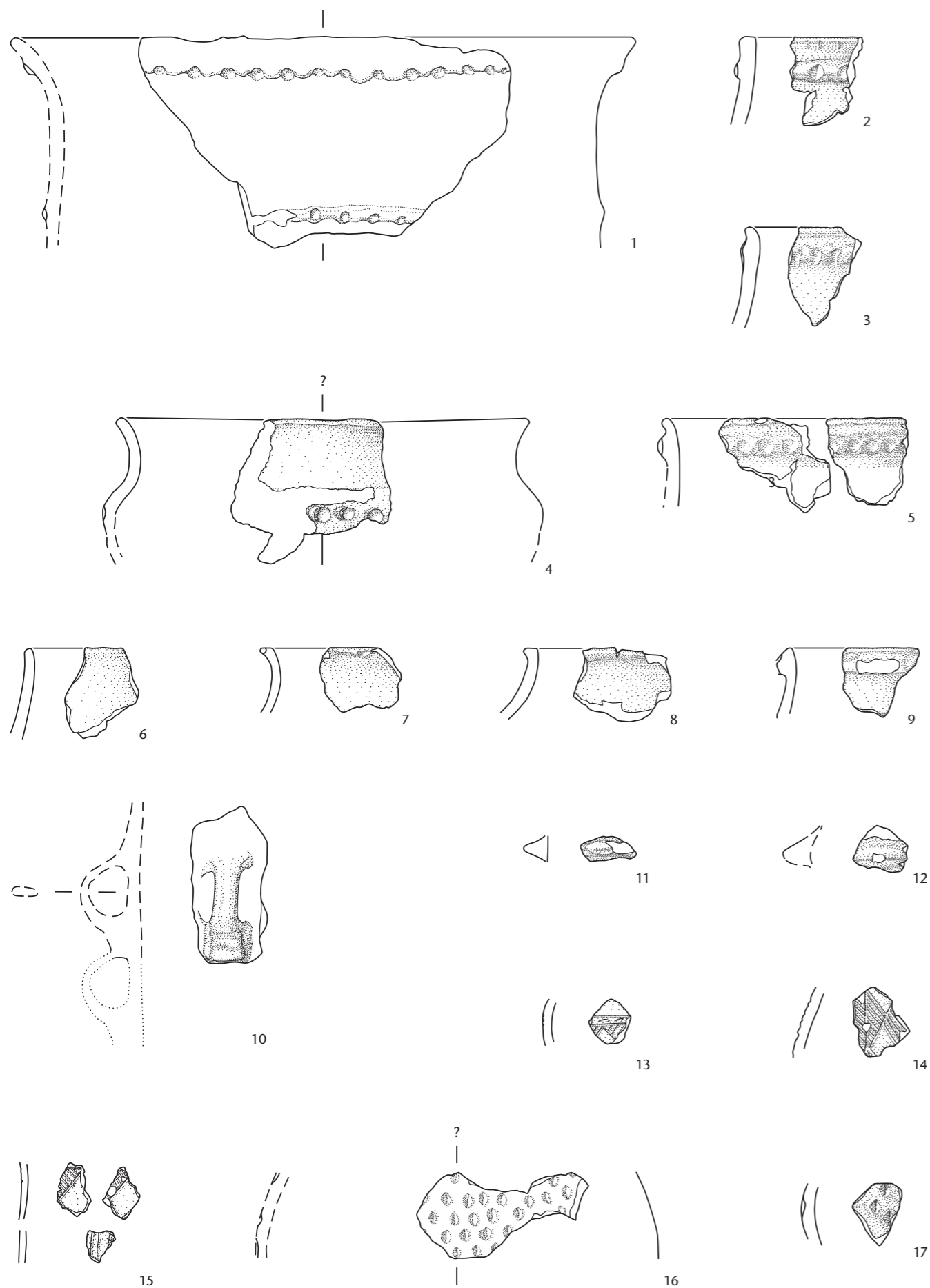
Tafel 60 Cham-Bachgraben. Gefäßkeramik.
Schicht 2: 1–13 Schnurkeramik. M. 1:3.



Tafel 61 Cham-Bachgraben. Gefäßkeramik.
Schicht 2: 1–10 Schnurkeramik. M. 1:3.



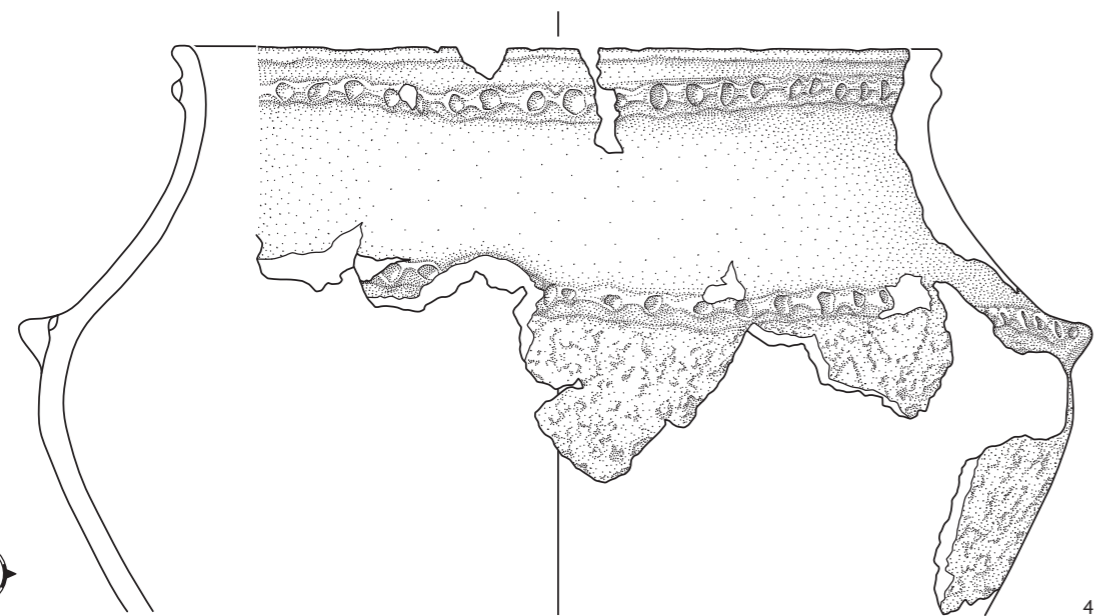
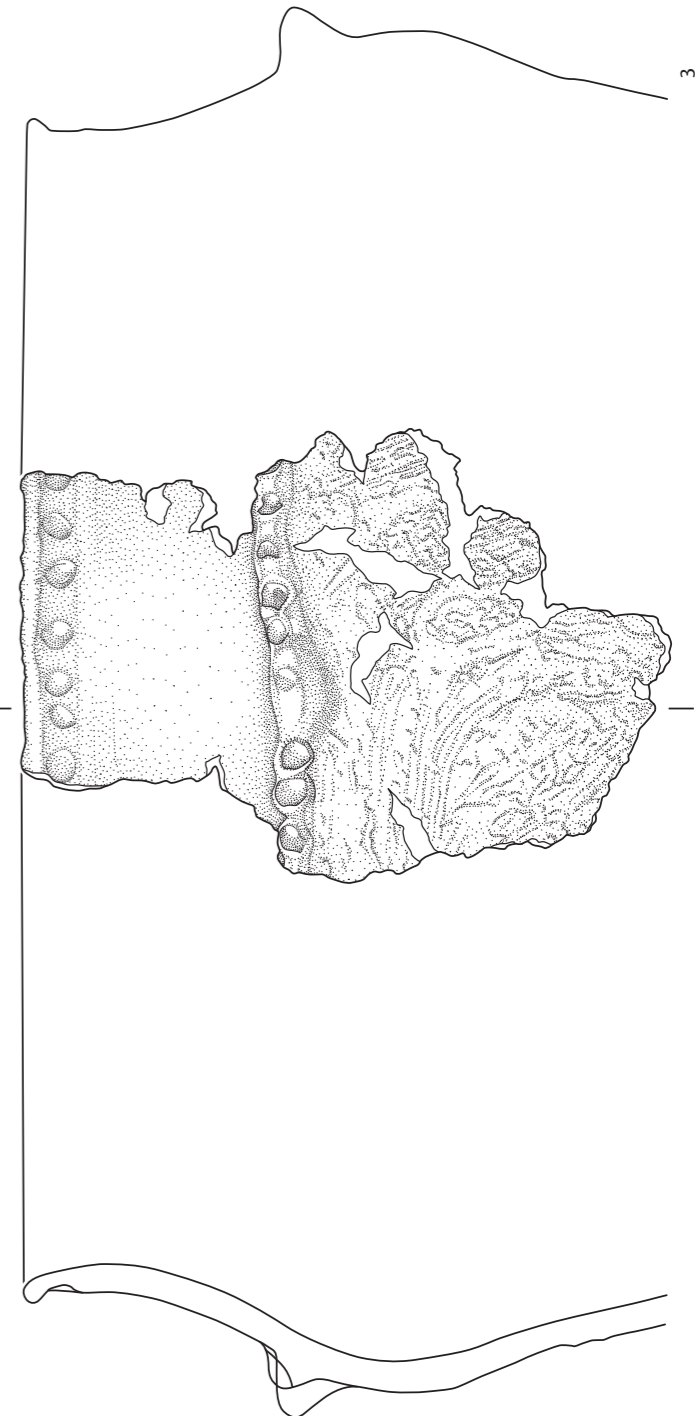
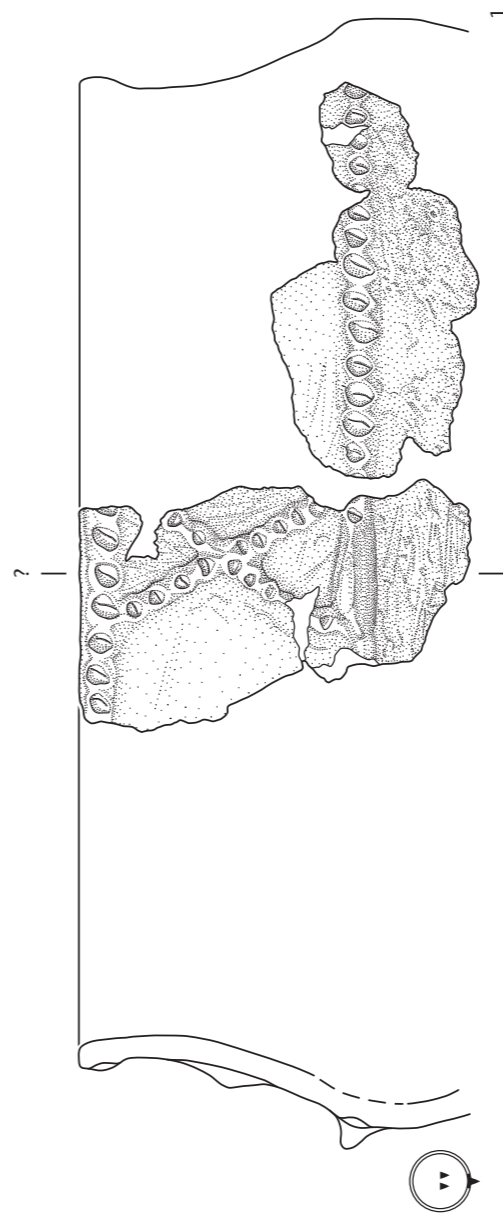
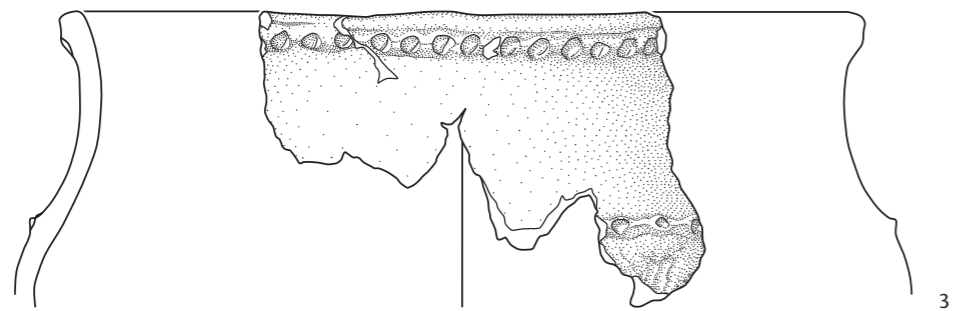
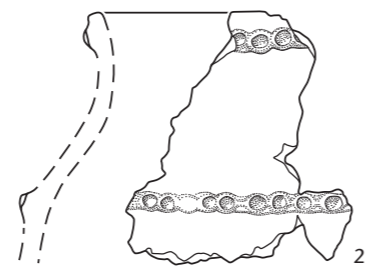
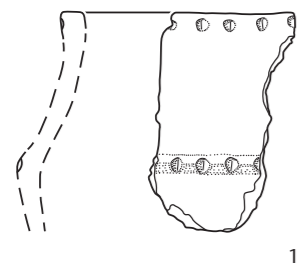
Tafel 62 Cham-Bachgraben. Gefäßkeramik.
Schicht 2: 1–14 Schnurkeramik. M. 1:3.



Tafel 63 Cham-Bachgraben. Gefäßkeramik.
Schicht 2: 1-17 Früh-/Mittelbronzezeit. M. 1:3.

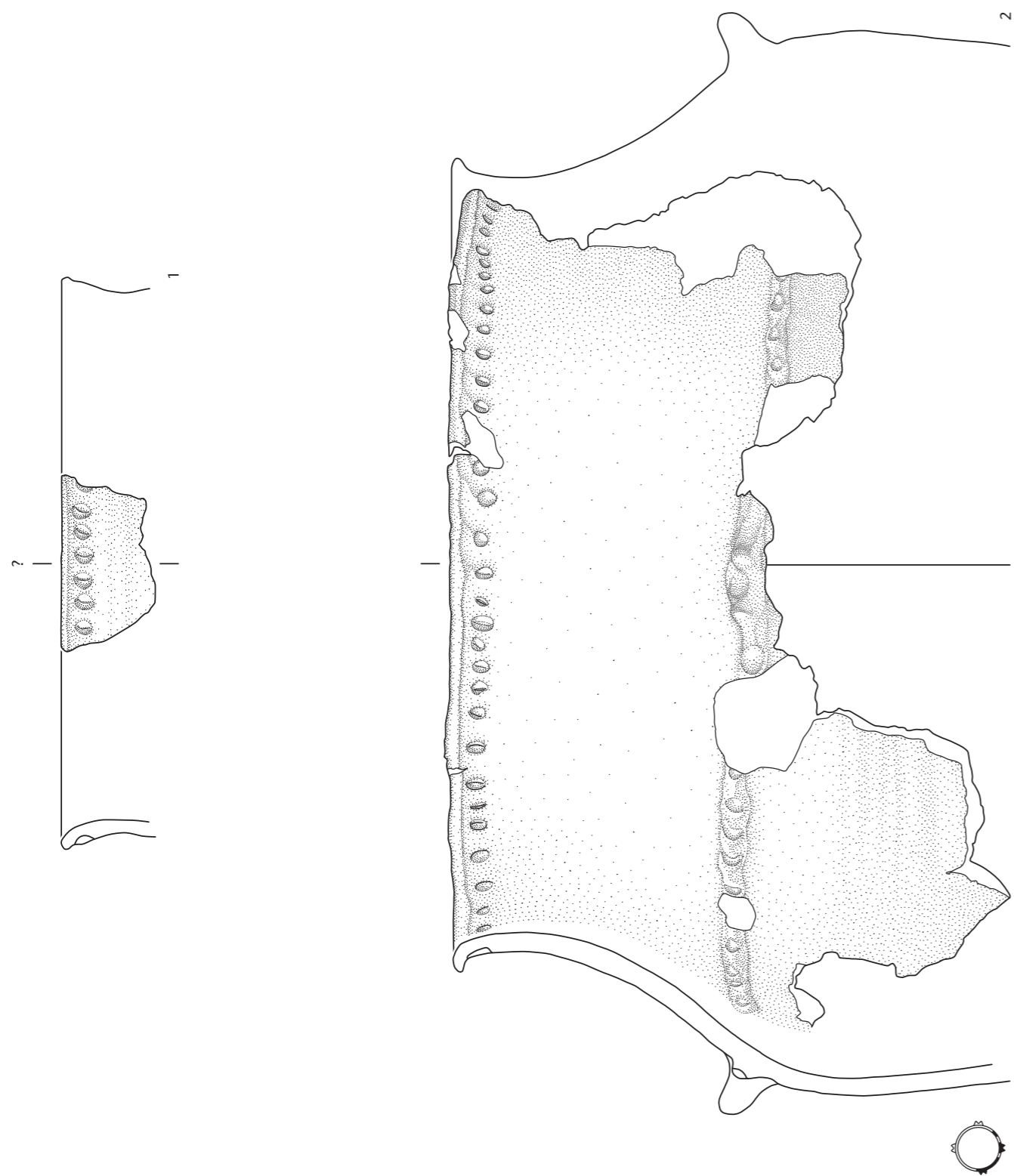


Tafel 64 Cham-Bachgraben. Gefäßkeramik.
Schicht 2: 1-13 unbestimmte Zeitstellung. Schicht 0.2: 14 Schnurkeramik; 15 Früh-/Mittelbronzezeit. Schicht 3: 16.17 Schnurkeramik. M. 1:3.

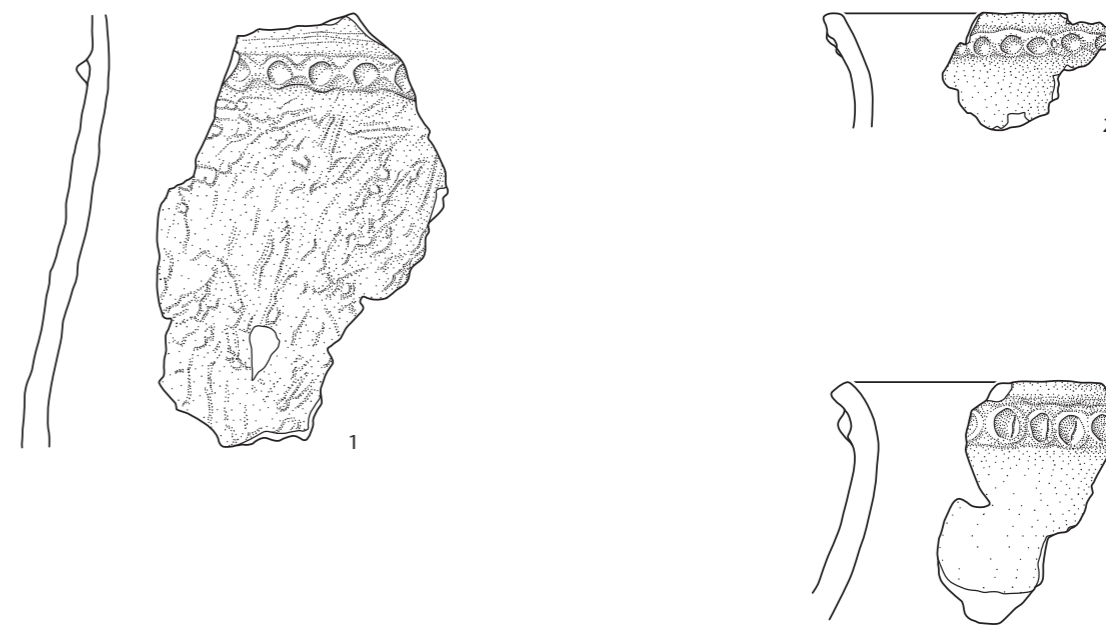


Tafel 65 Cham-Bachgraben. Gefäßkeramik.
Schicht 3: 1-4 Früh-/Mittelbronzezeit. M. 1:3.

Tafel 66 Cham-Bachgraben. Gefäßkeramik.
Schicht 3: 1-3 Früh-/Mittelbronzezeit. M. 1:3.

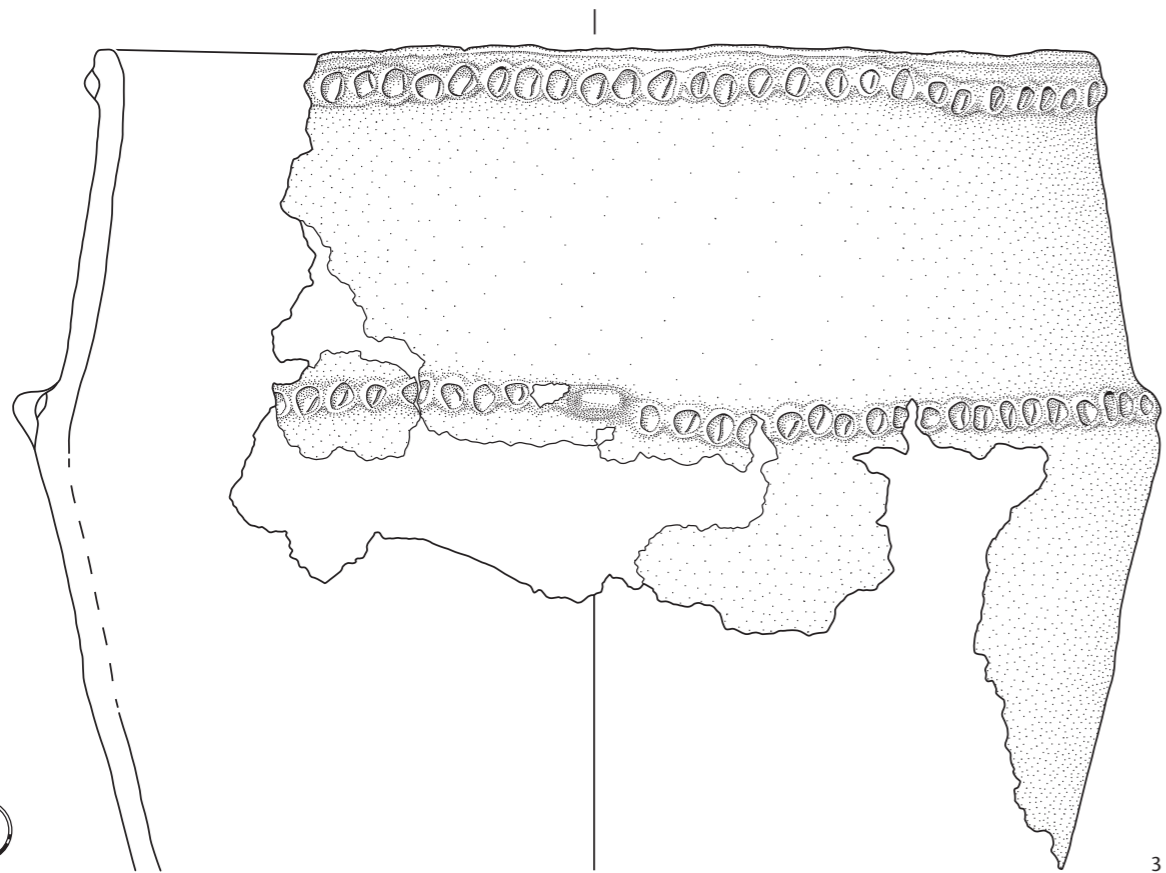
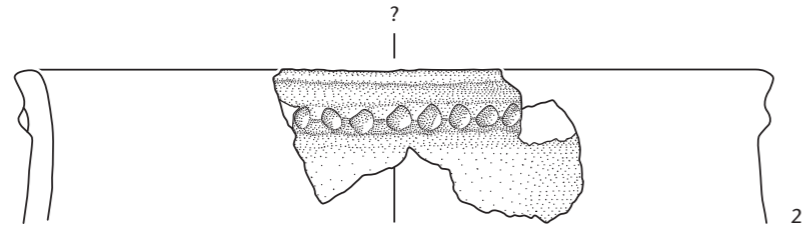
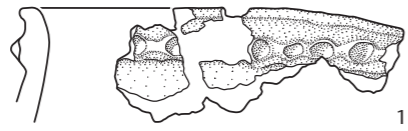


Tafel 67 Cham-Bachgraben. Gefäßkeramik.
Schicht 3: 1.2 Früh-/Mittelbronzezeit. M. 1:3.

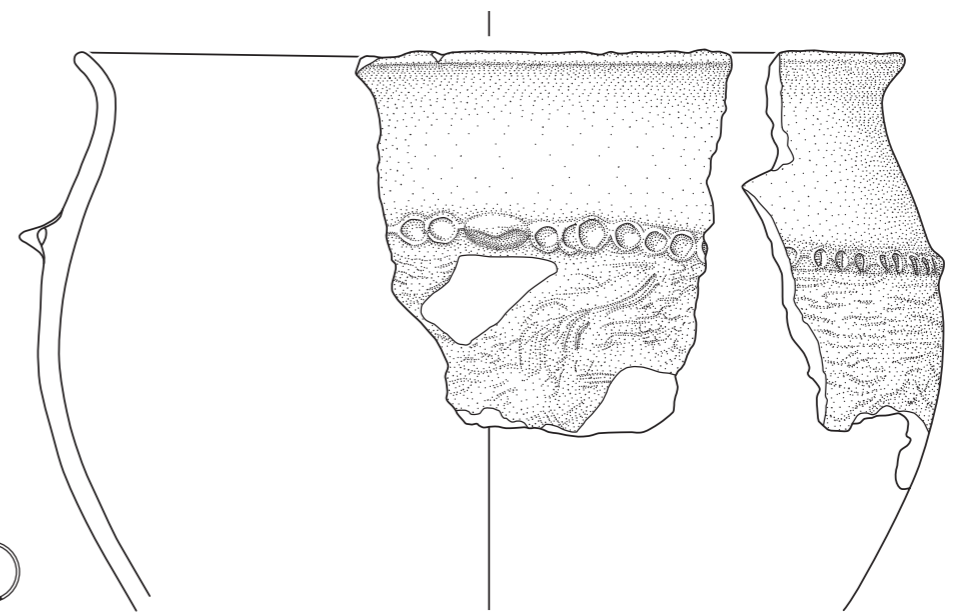
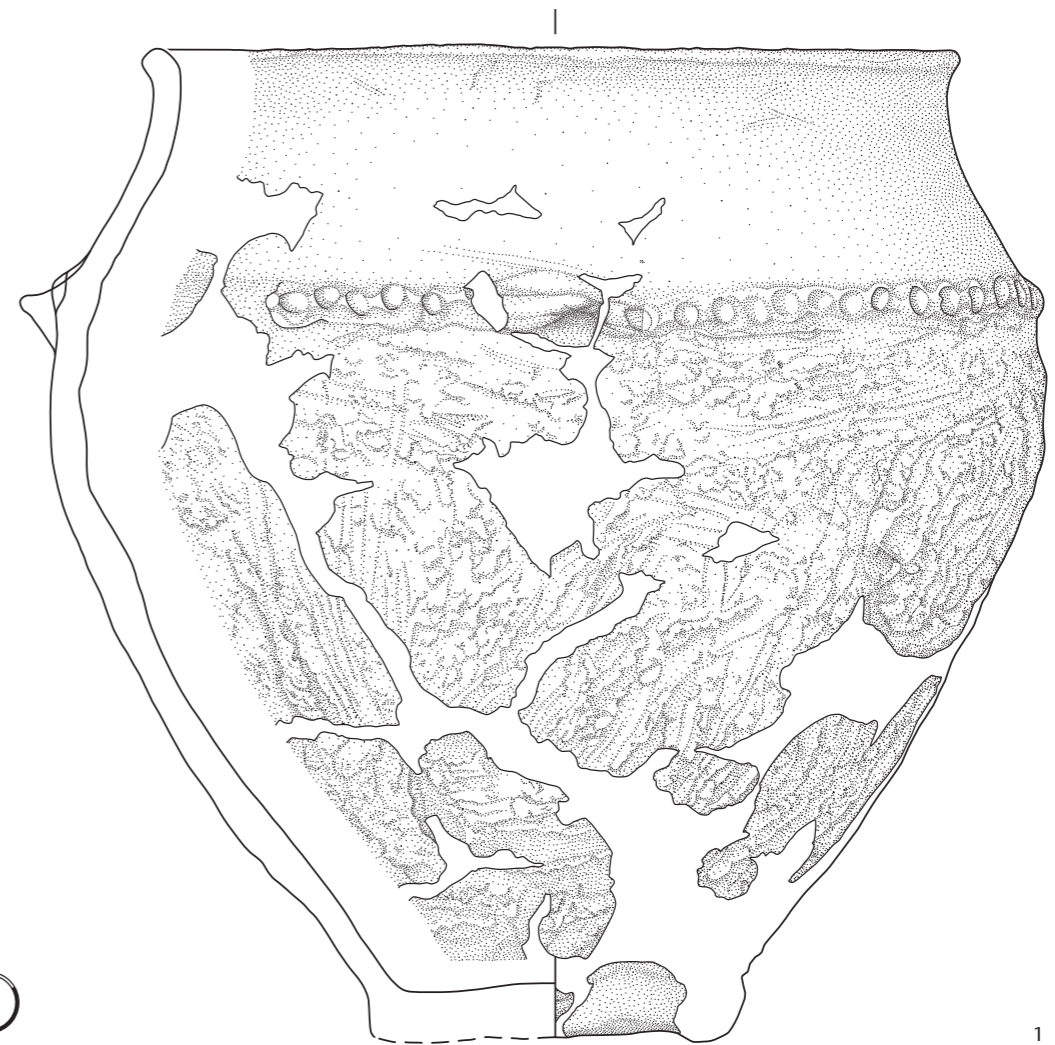


Tafel 68 Cham-Bachgraben. Gefäßkeramik.
Schicht 3: 1-4 Früh-/Mittelbronzezeit. M. 1:3.

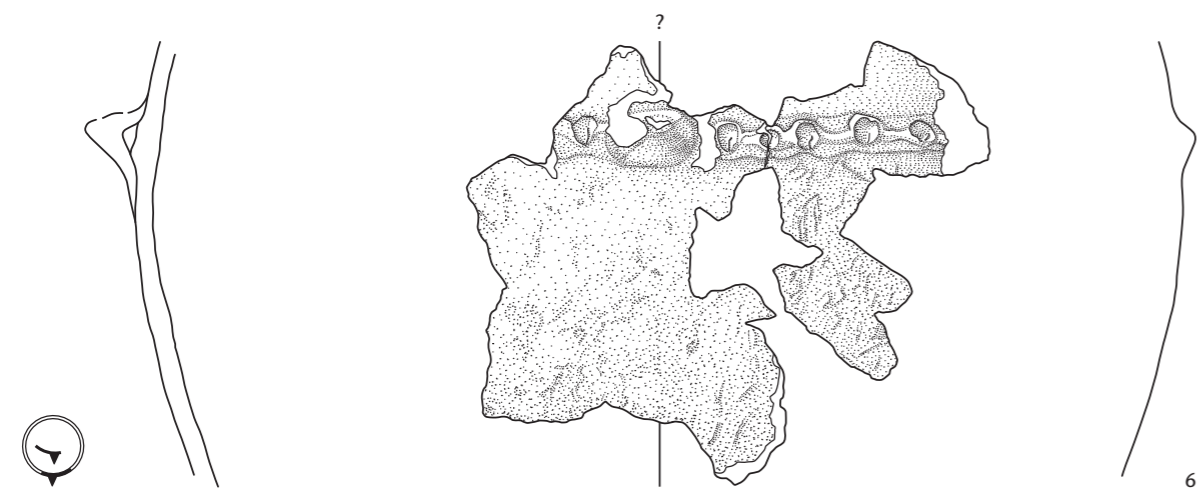
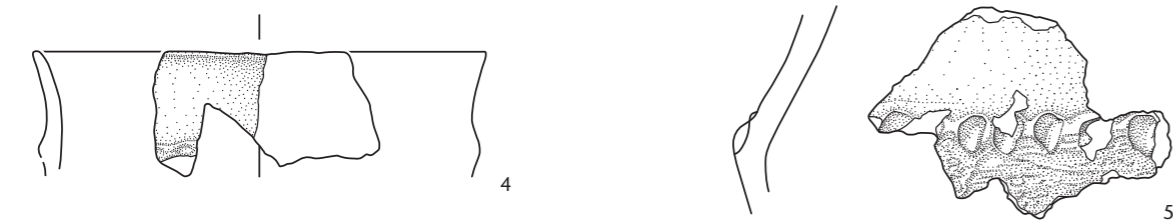
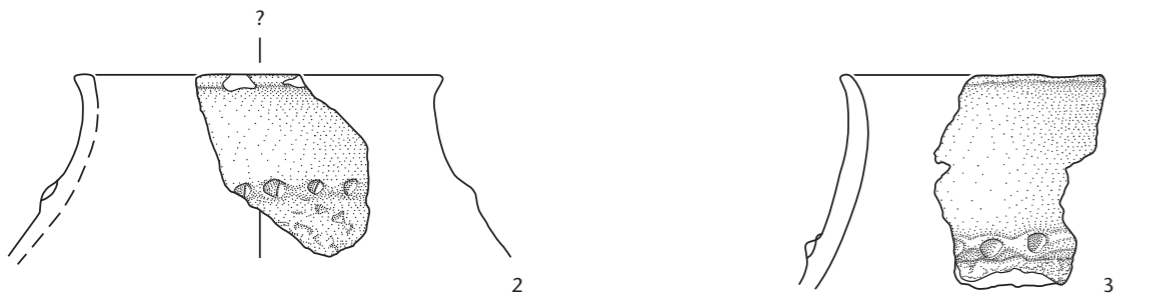
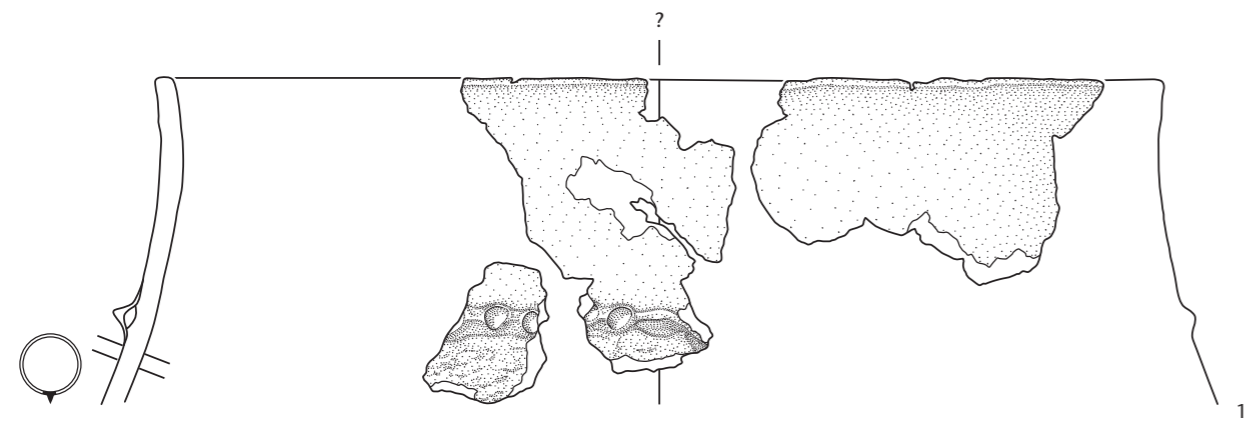




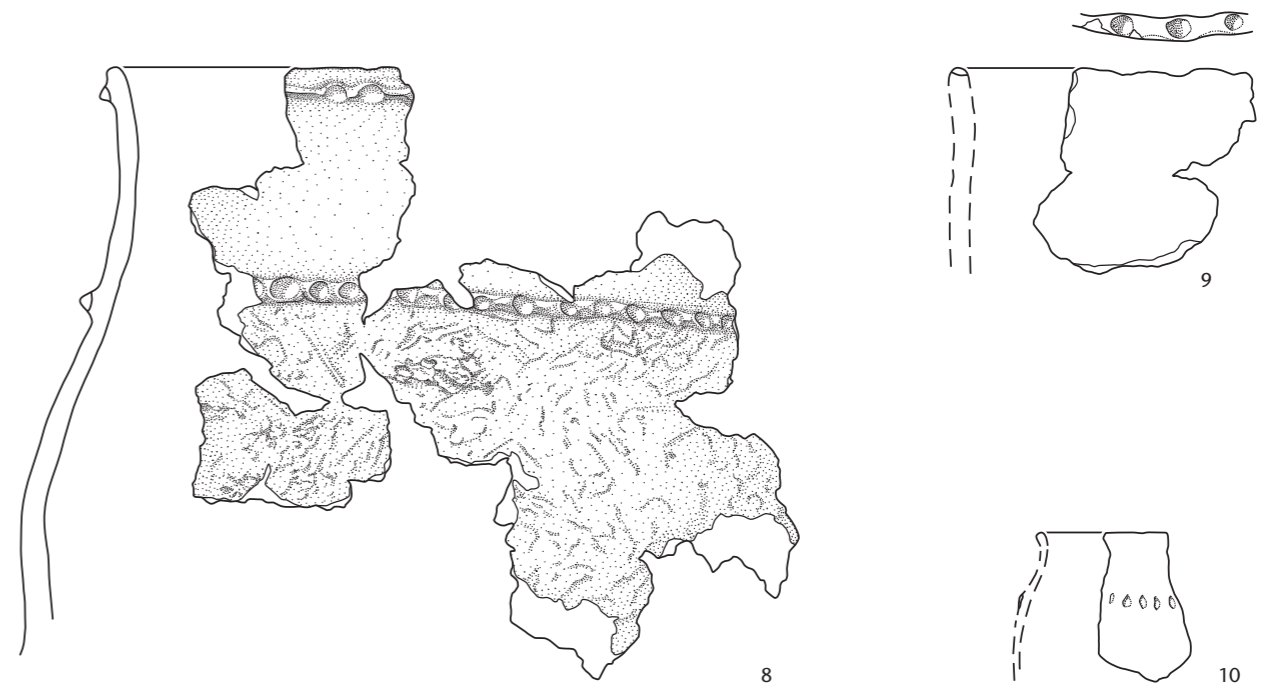
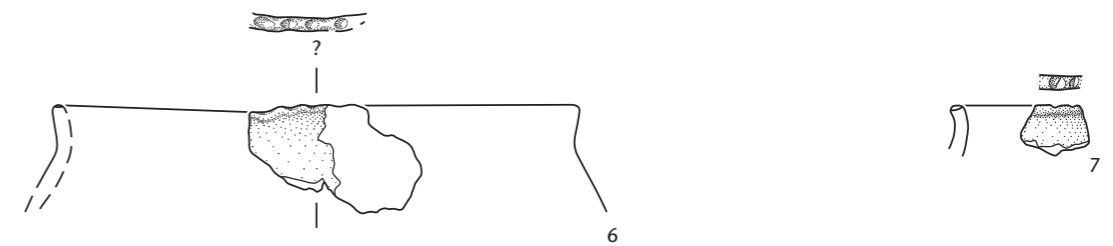
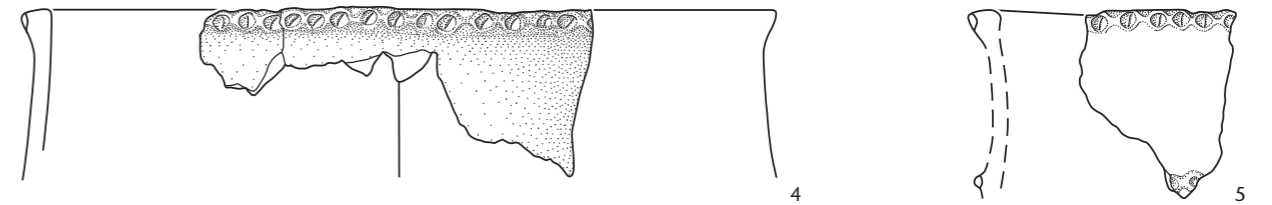
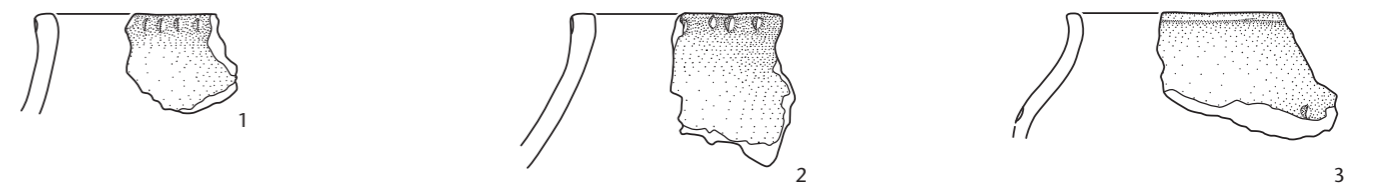
Tafel 69 Cham-Bachgraben. Gefäßkeramik.
Schicht 3: 1-3 Früh-/Mittelbronzezeit. M. 1:3.



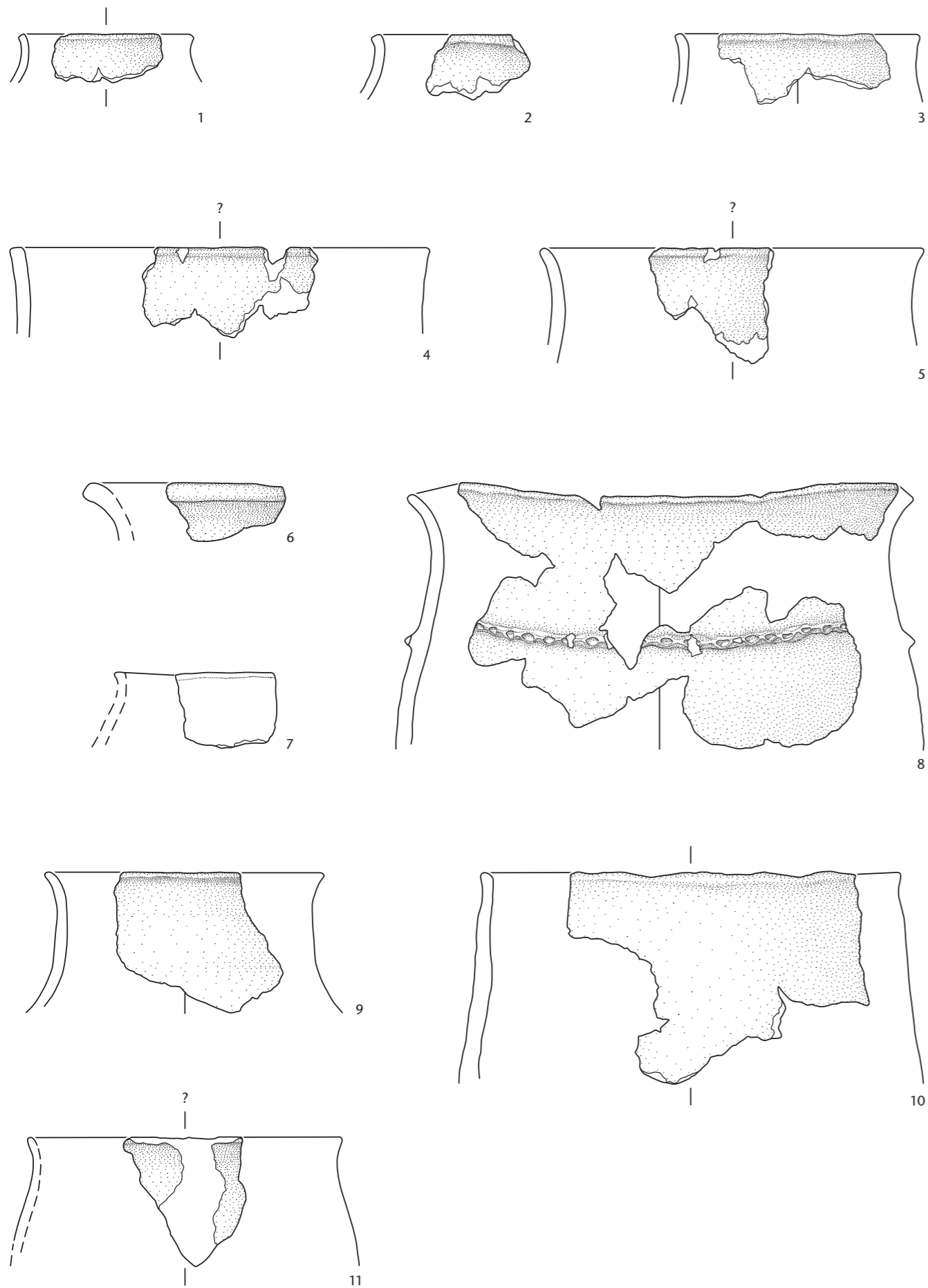
Tafel 70 Cham-Bachgraben. Gefäßkeramik.
Schicht 3: 1.2 Früh-/Mittelbronzezeit. M. 1:3.



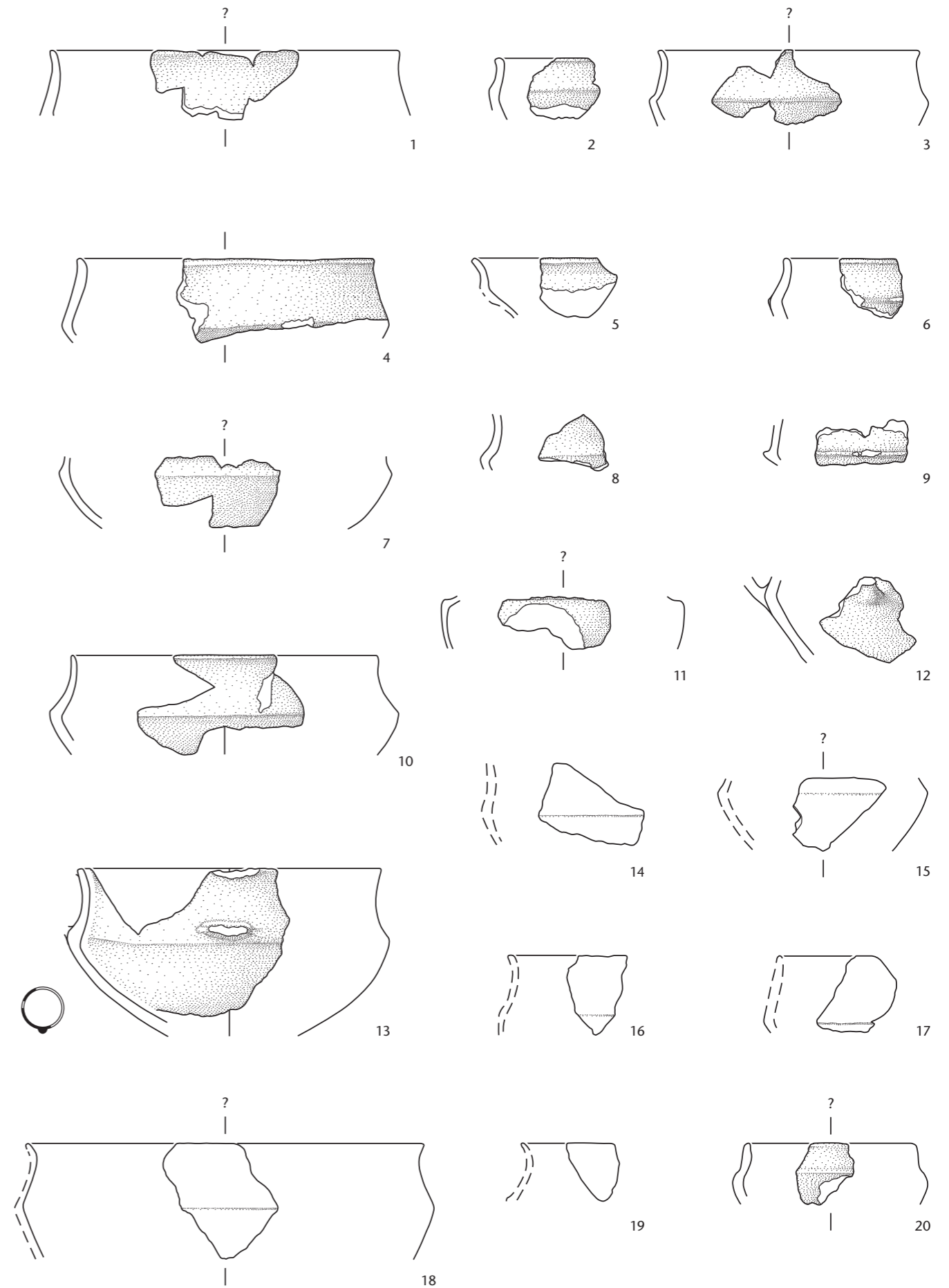
Tafel 71 Cham-Bachgraben. Gefäßkeramik.
Schicht 3: 1-6 Früh-/Mittelbronzezeit. M. 1:3.



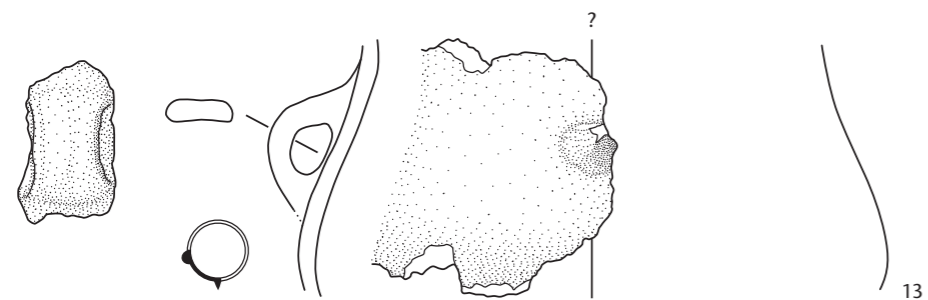
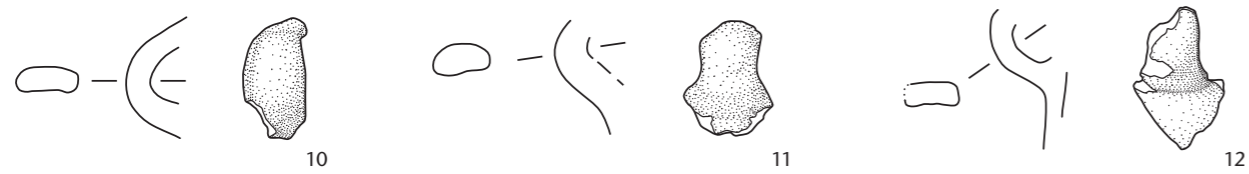
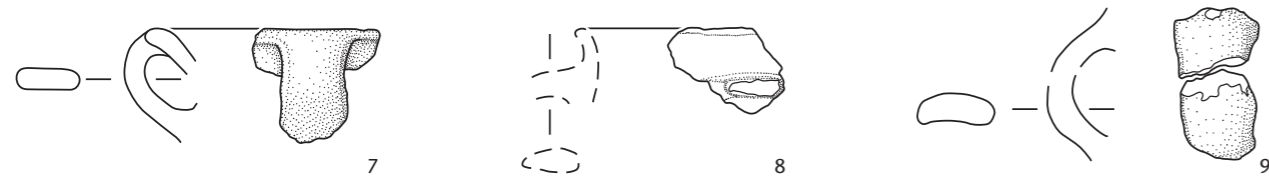
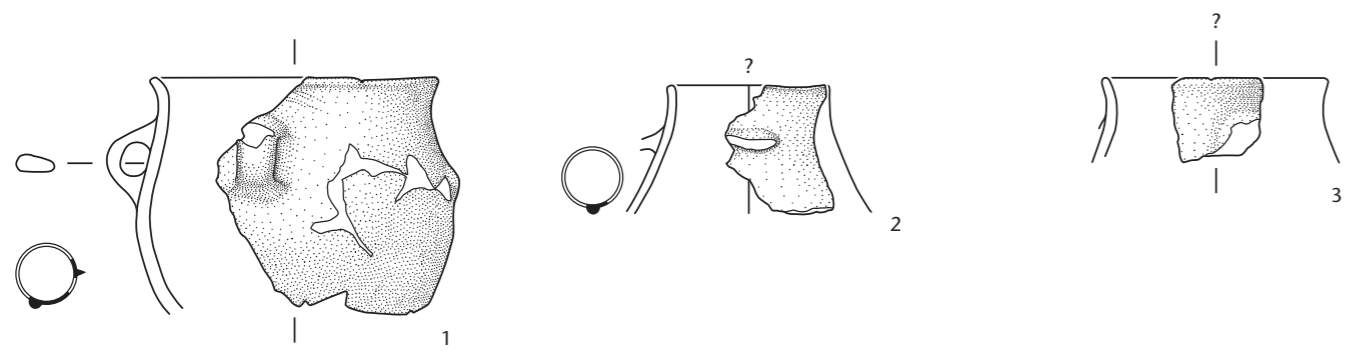
Tafel 72 Cham-Bachgraben. Gefäßkeramik.
Schicht 3: 1-10 Früh-/Mittelbronzezeit. M. 1:3.



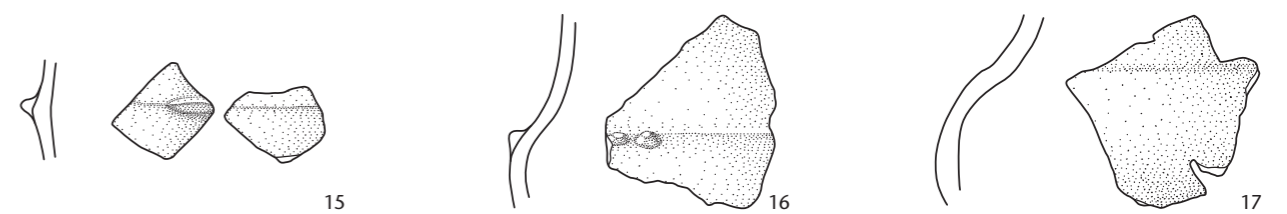
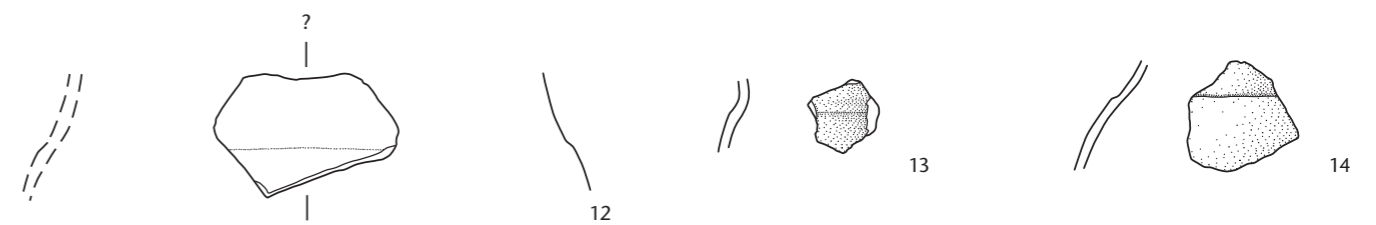
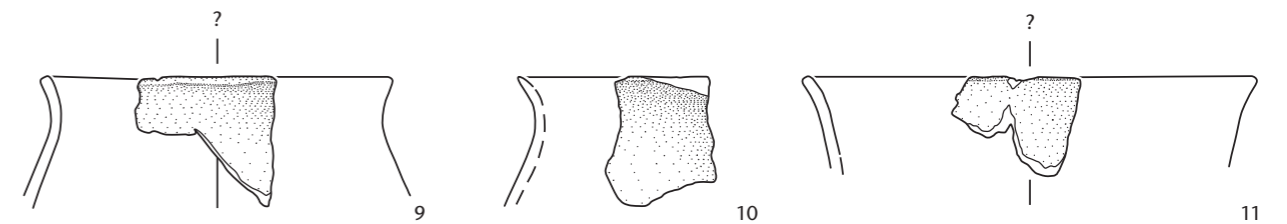
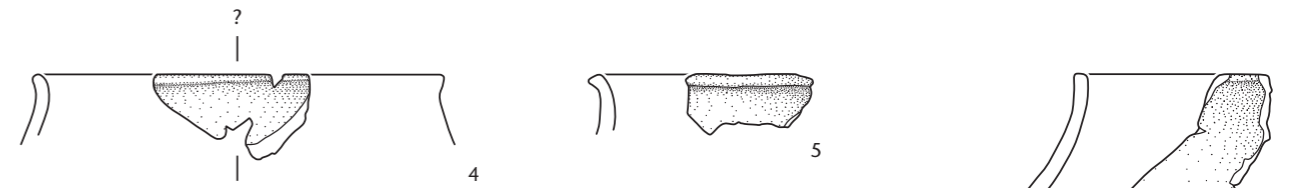
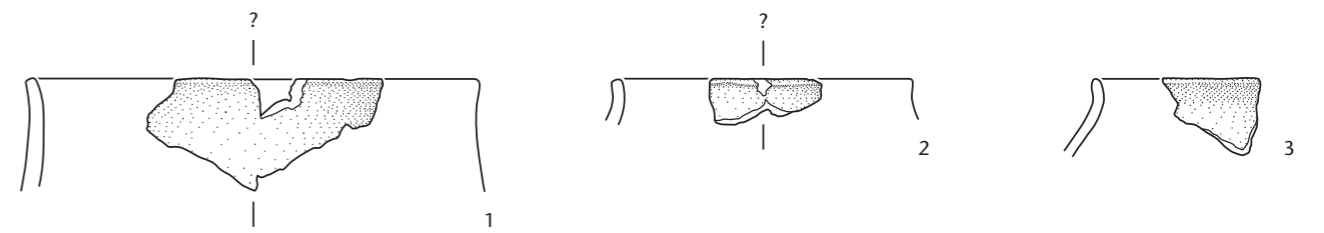
Tafel 73 Cham-Bachgraben. Gefäßkeramik.
Schicht 3: 1-11 Früh-/Mittelbronzezeit. M. 1:3.



Tafel 74 Cham-Bachgraben. Gefäßkeramik.
Schicht 3: 1-20 Früh-/Mittelbronzezeit. M. 1:3.



Tafel 75 Cham-Bachgraben. Gefäßkeramik.
Schicht 3: 1-13 Früh-/Mittelbronzezeit. M. 1:3.



Tafel 76 Cham-Bachgraben. Gefäßkeramik.
Schicht 3: 1-17 Früh-/Mittelbronzezeit. M. 1:3.



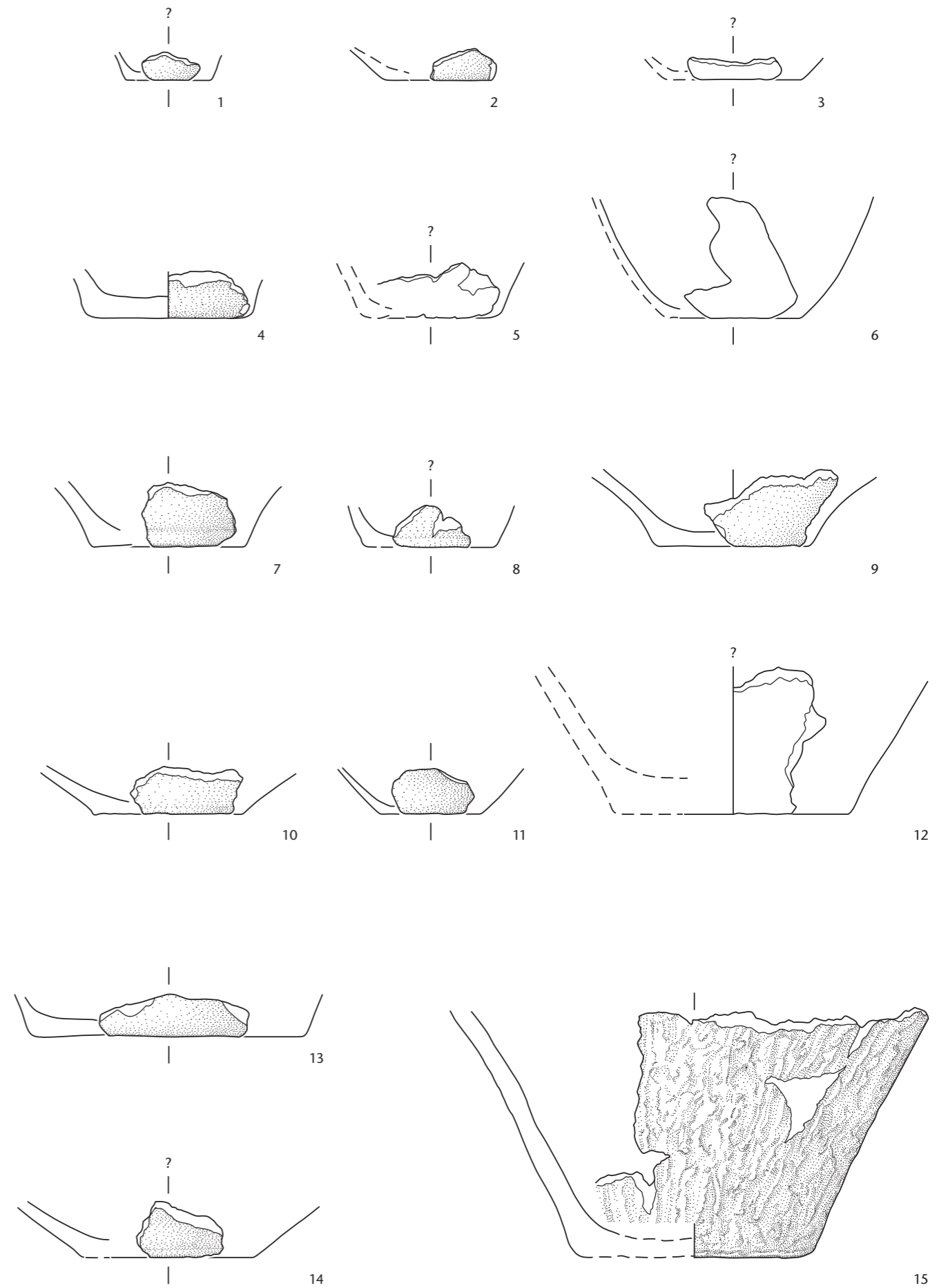
Tafel 77 Cham-Bachgraben. Gefäßkeramik.
Schicht 3: 1-17 Früh-/Mittelbronzezeit. M. 1:3.



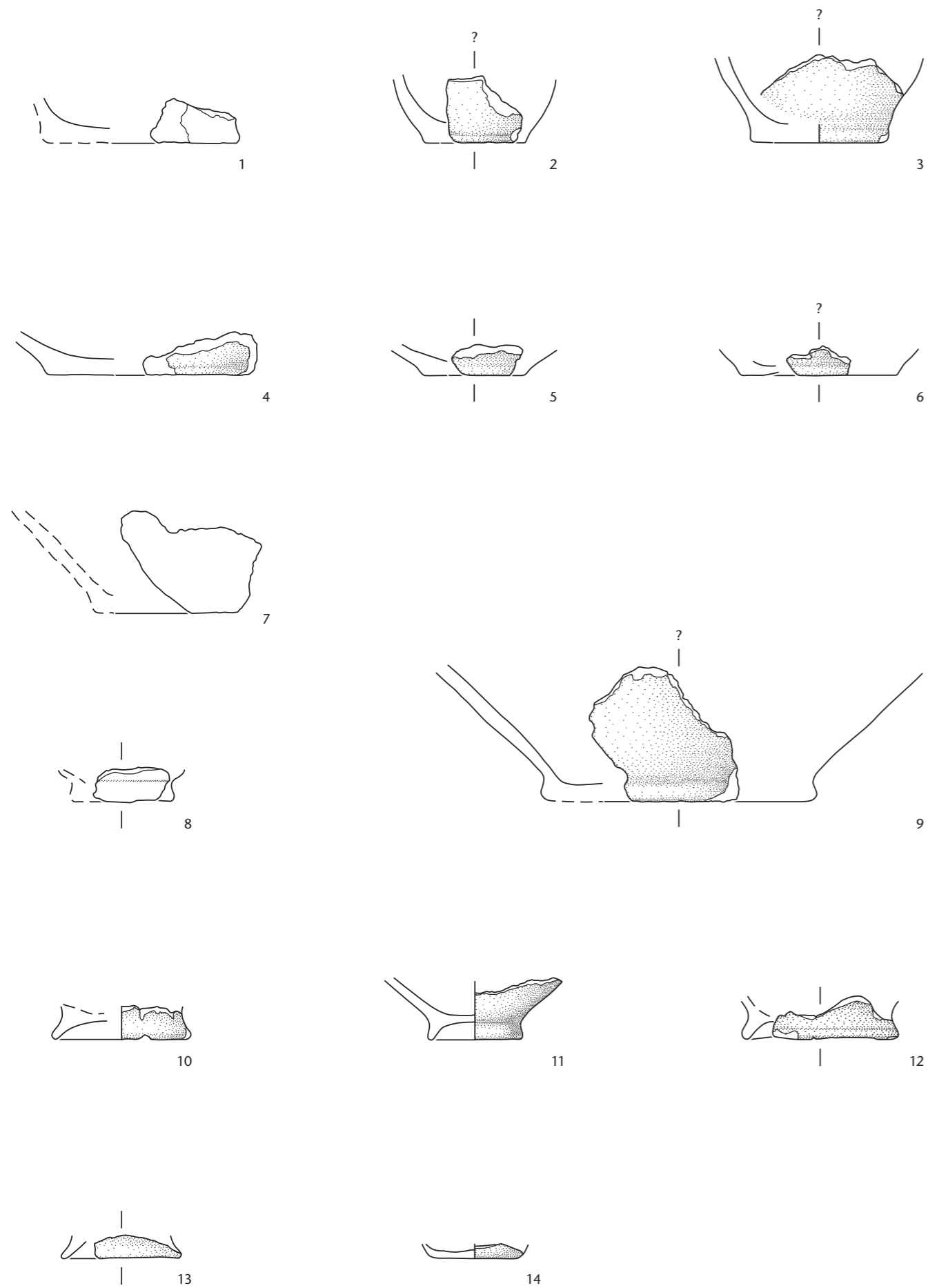
Tafel 78 Cham-Bachgraben. Gefäßkeramik.
Schicht 3: 1-19 Früh-/Mittelbronzezeit. M. 1:3.



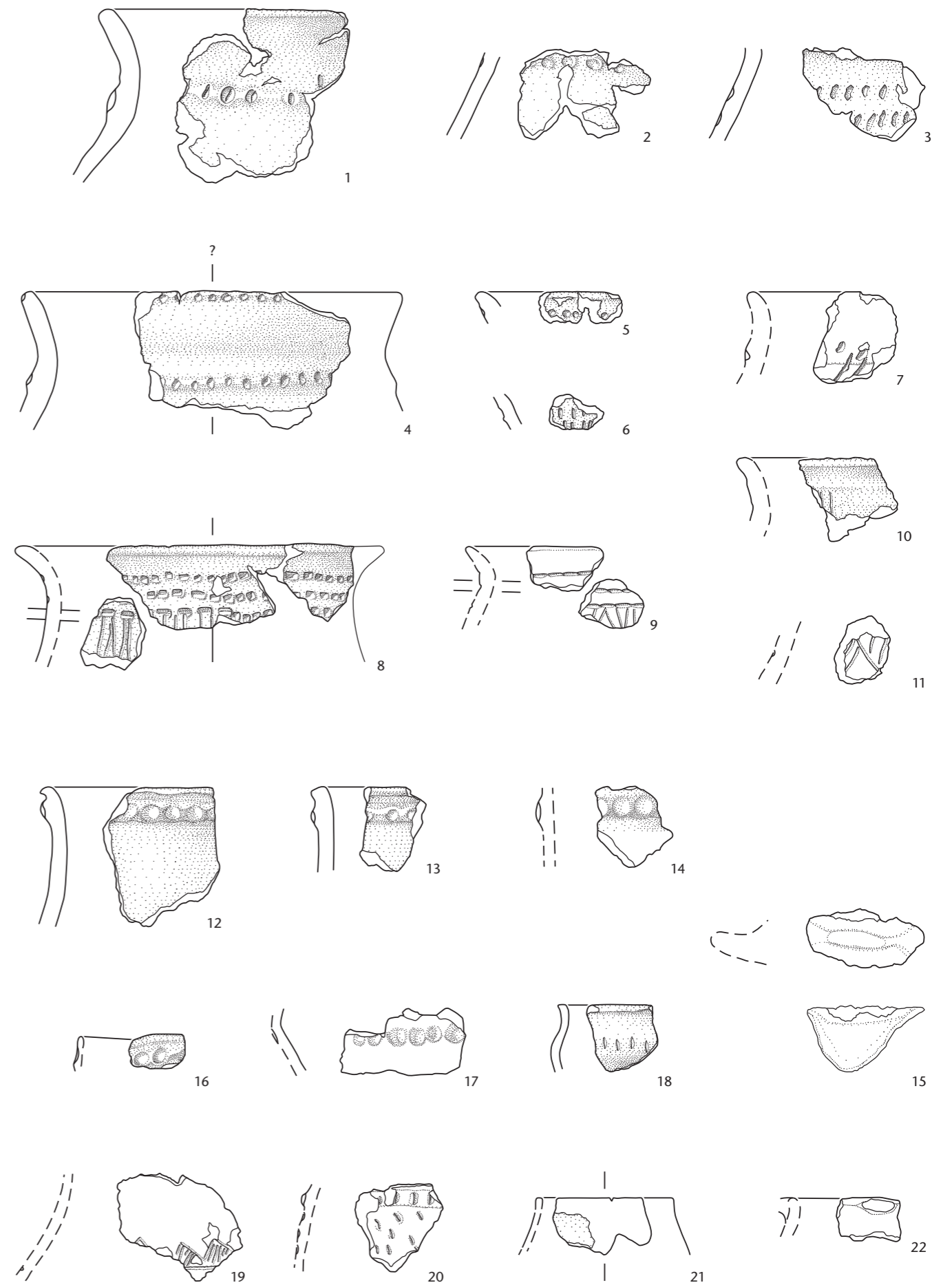
Tafel 79 Cham-Bachgraben. Gefäßkeramik.
Schicht 3: 1-17 Früh-/Mittelbronzezeit. M. 1:3.



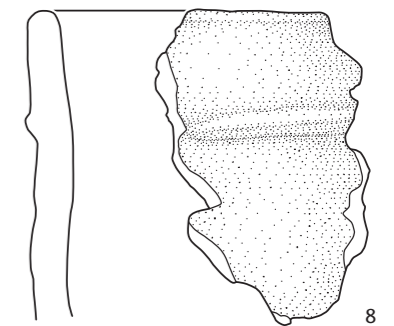
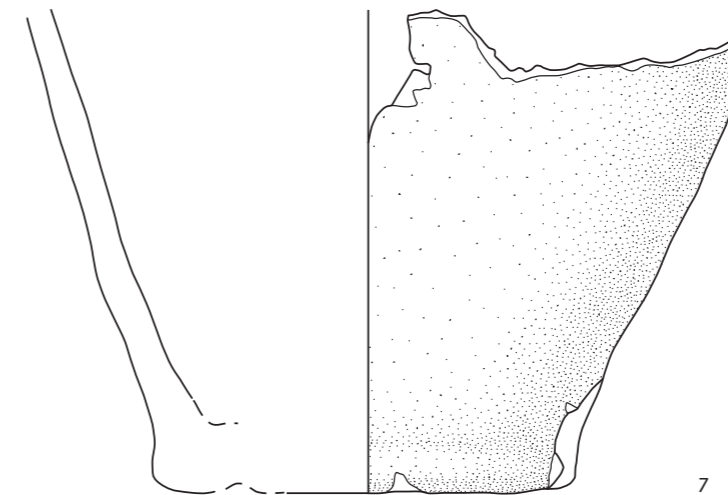
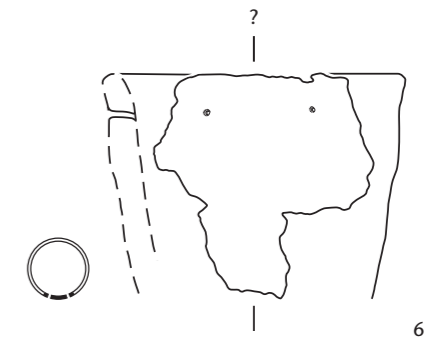
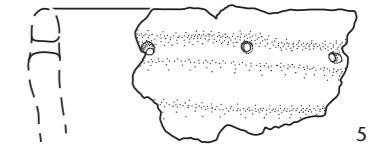
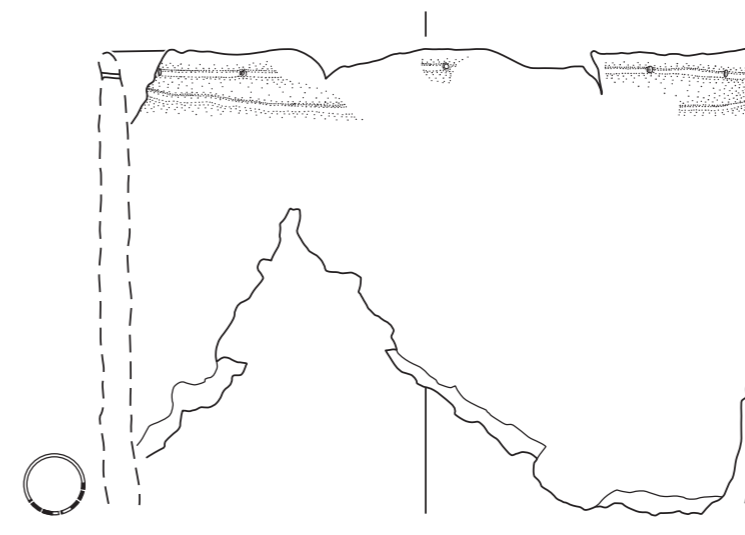
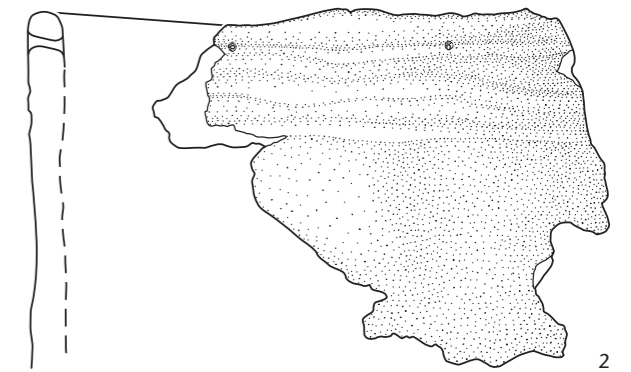
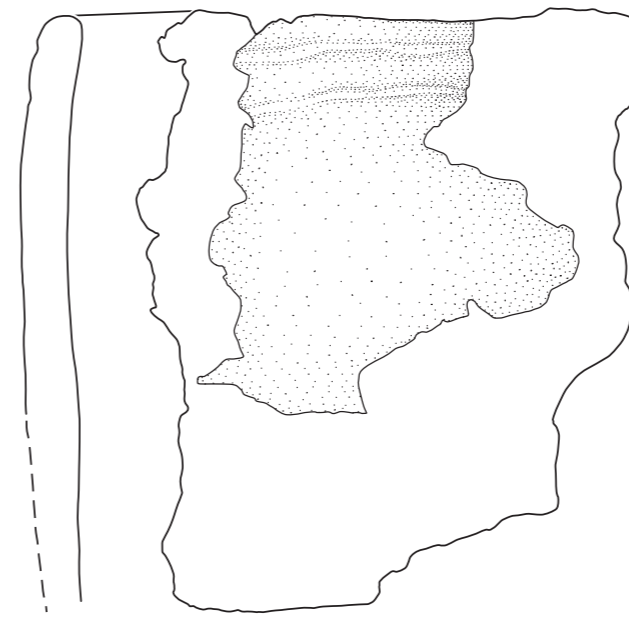
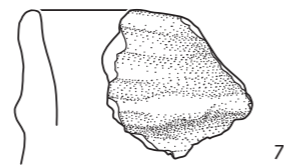
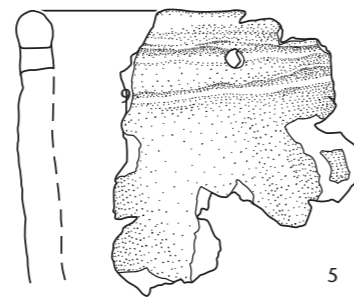
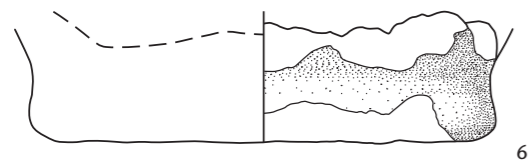
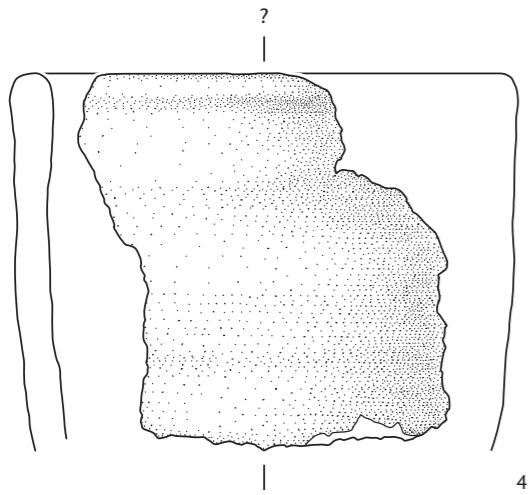
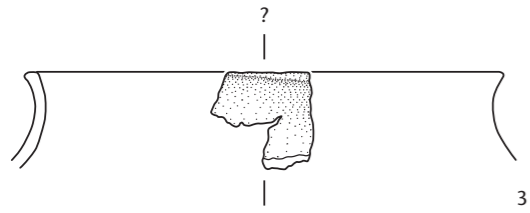
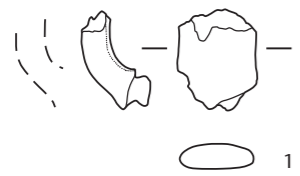
Tafel 80 Cham-Bachgraben. Gefäßkeramik.
Schicht 3: 1-15 Früh-/Mittelbronzezeit. M. 1:3.



Tafel 81 Cham-Bachgraben. Gefäßkeramik.
Schicht 3: 1–14 Früh-/Mittelbronzezeit. M. 1:3.

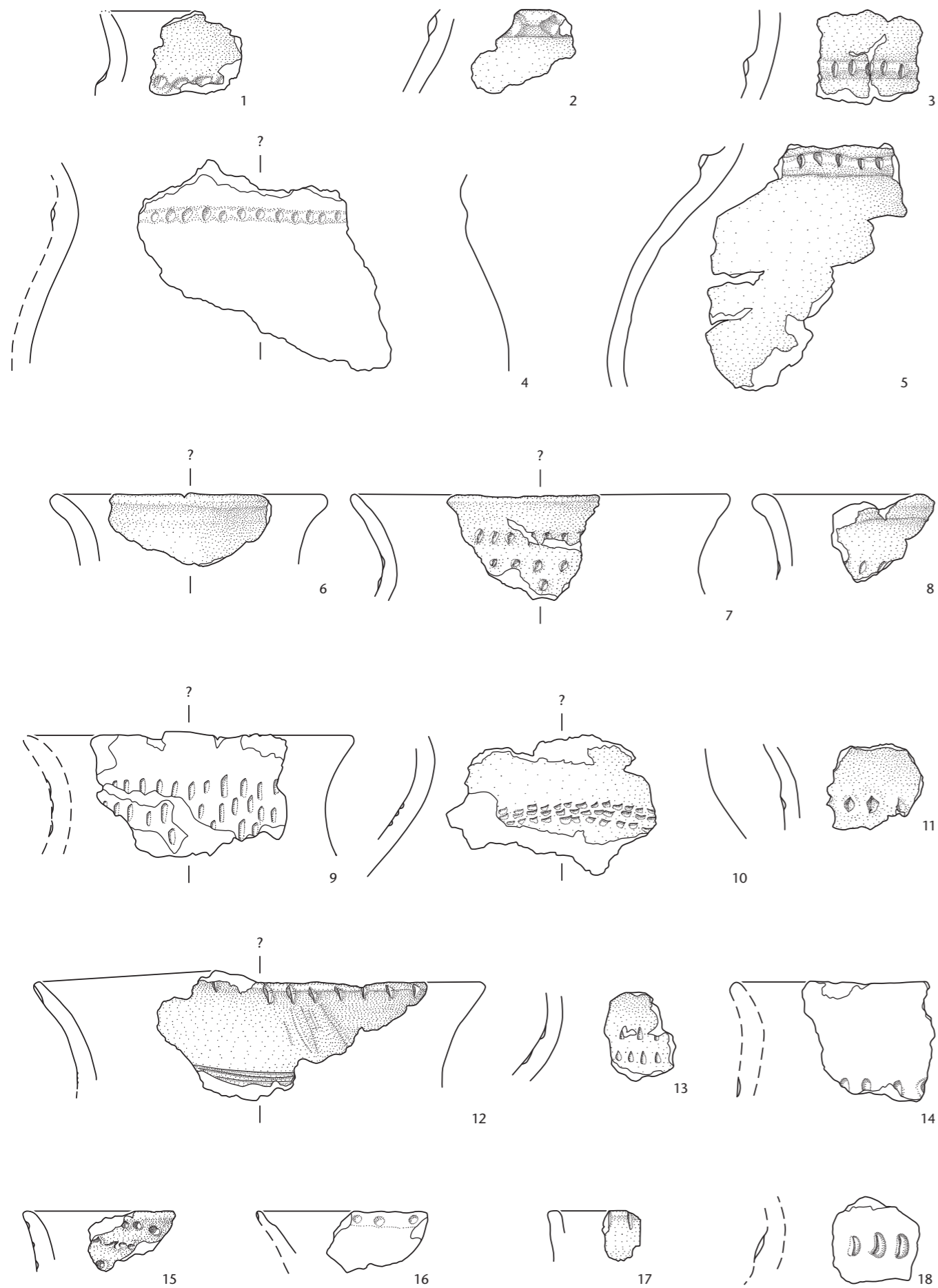


Tafel 82 Cham-Bachgraben. Gefäßkeramik.
Schicht 0.3: 1–11 Schnurkeramik; 12–22 Früh-/Mittelbronzezeit. M. 1:3.

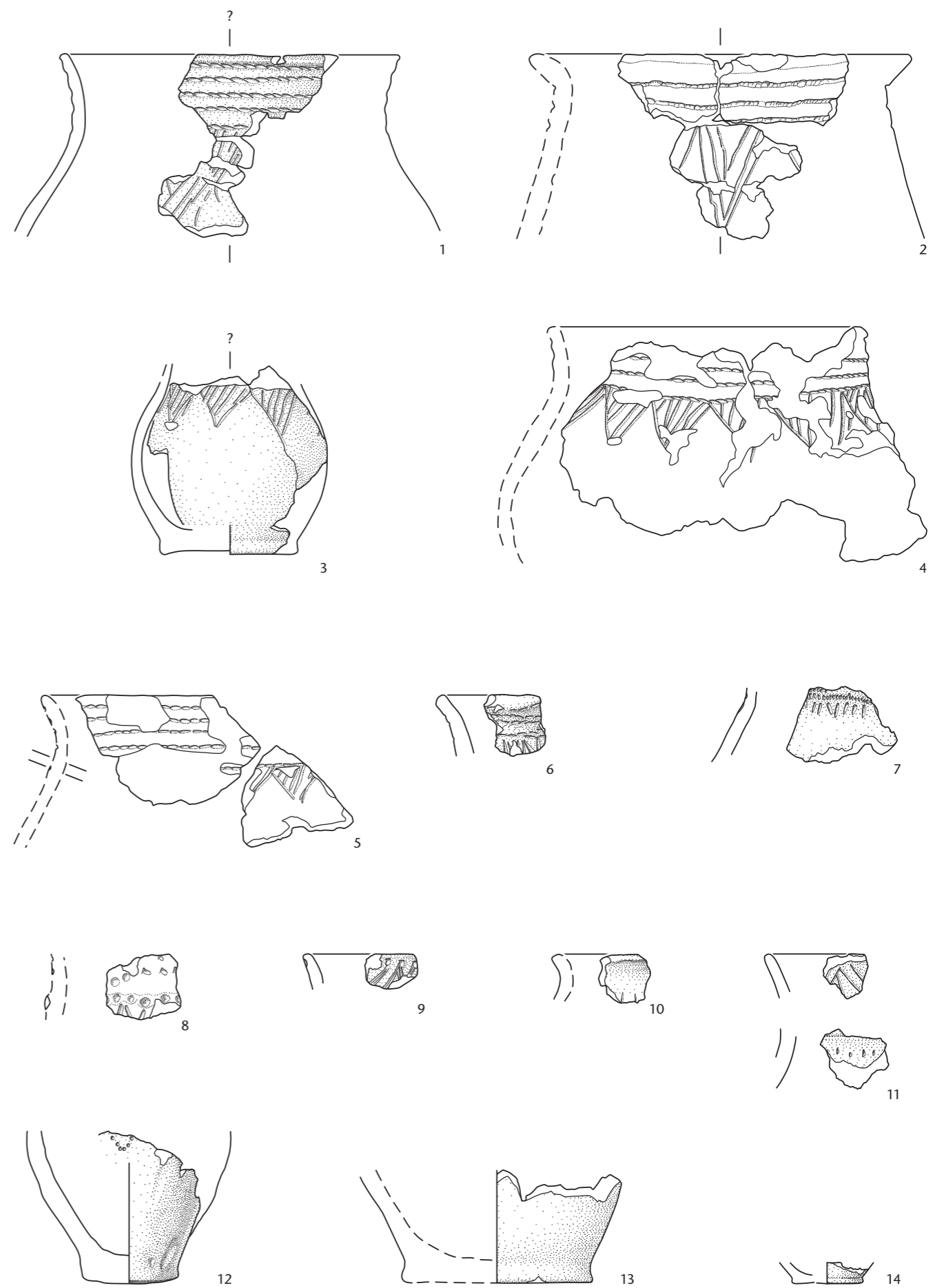


Tafel 83 Cham-Bachgraben. Gefäßkeramik.
Schicht 0.3: 1.2 unbestimmte Zeitstellung. Schicht 4: 3 Früh-/Mittelbronzezeit. Schicht 5: 4-7 Horgen. M. 1:3.

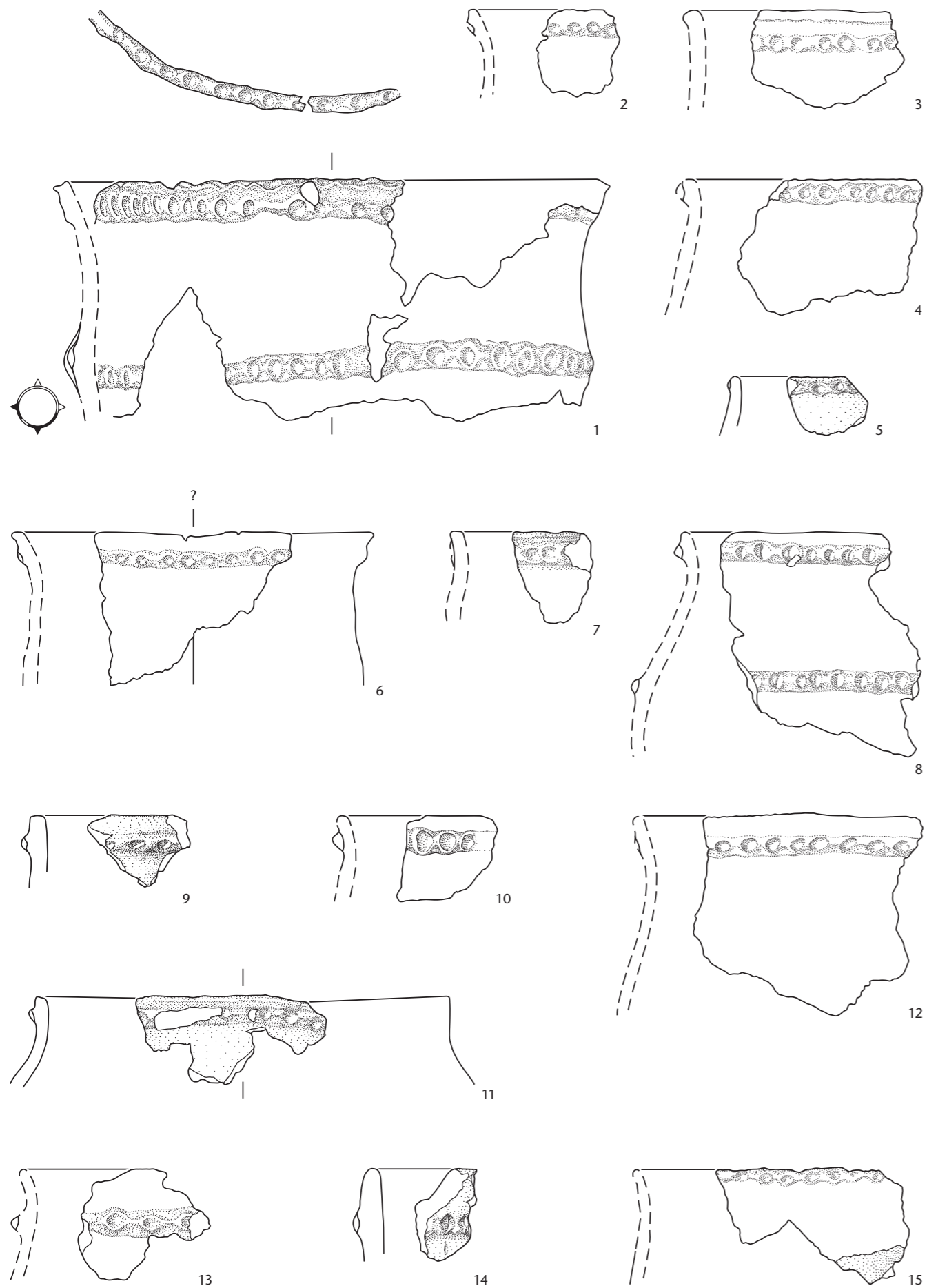
Tafel 84 Cham-Bachgraben. Gefäßkeramik.
Schicht 5: 1-8 Horgen. M. 1:3.



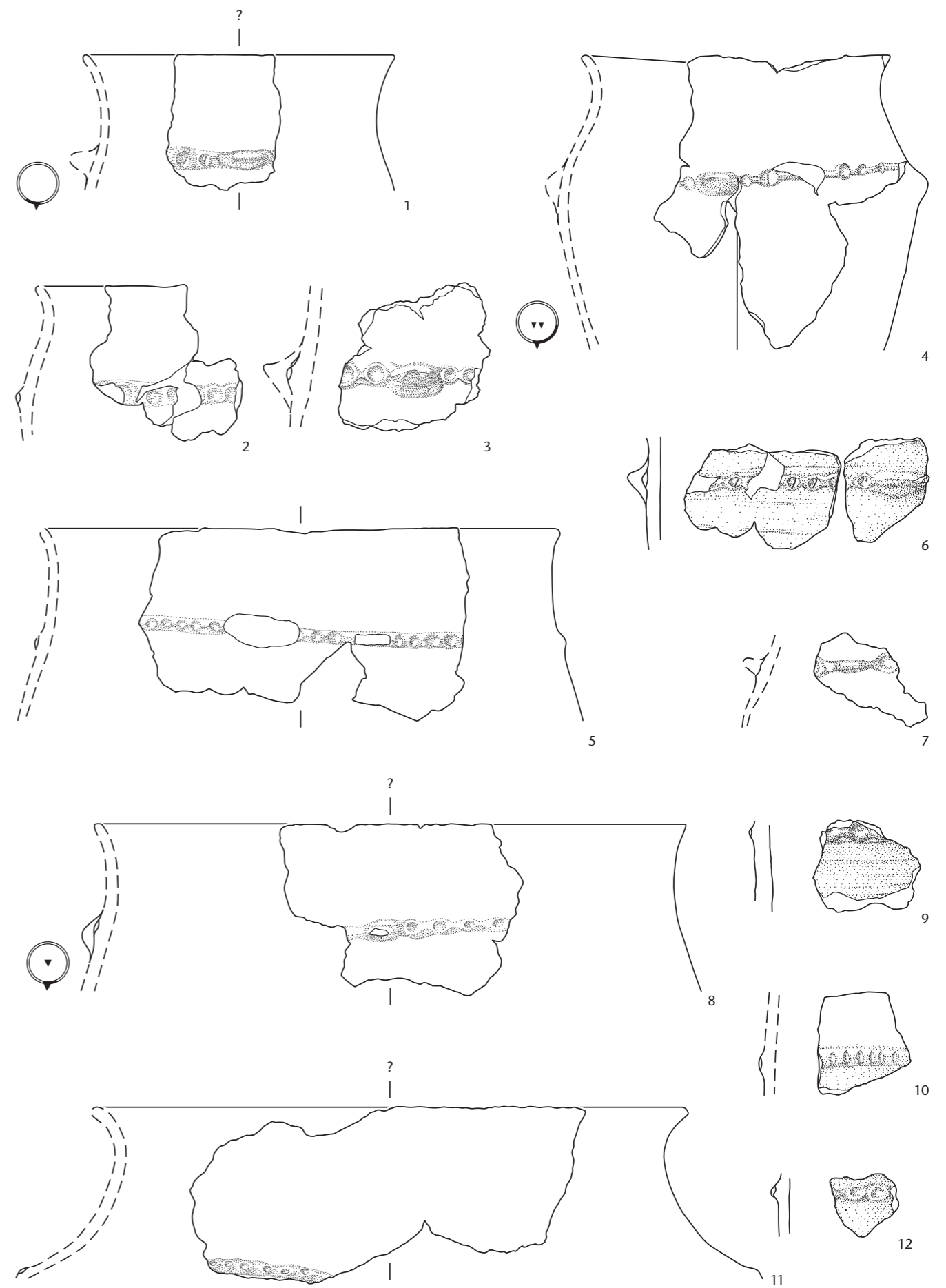
Tafel 85 Cham-Bachgraben. Gefäßkeramik.
Schicht 5: 1-18 Schnurkeramik. M. 1:3.



Tafel 86 Cham-Bachgraben. Gefäßkeramik.
Schicht 5: 1-14 Schnurkeramik. M. 1:3.



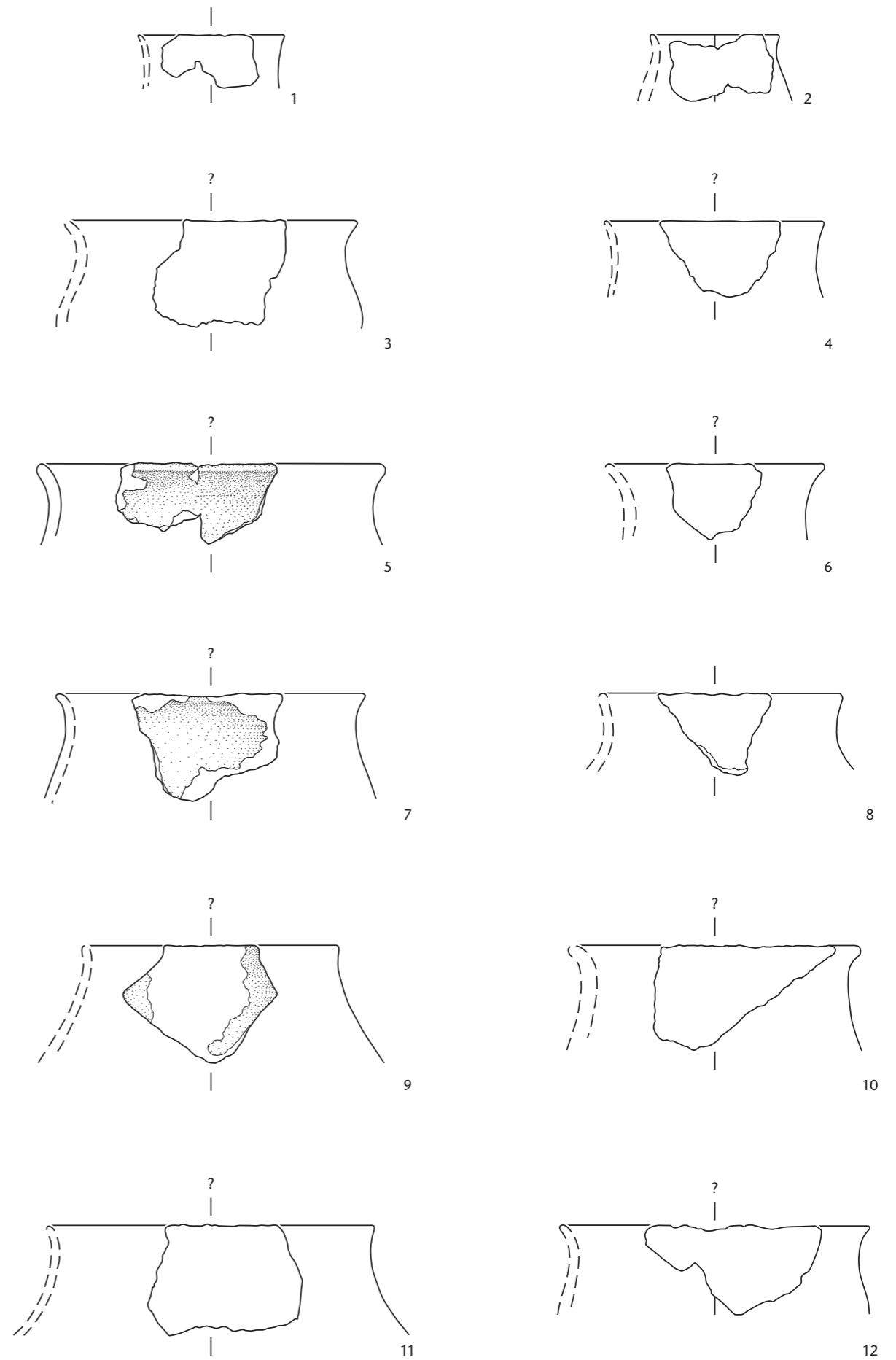
Tafel 87 Cham-Bachgraben. Gefäßkeramik.
Schicht 5: 1–15 Früh-/Mittelbronzezeit. M. 1:3.



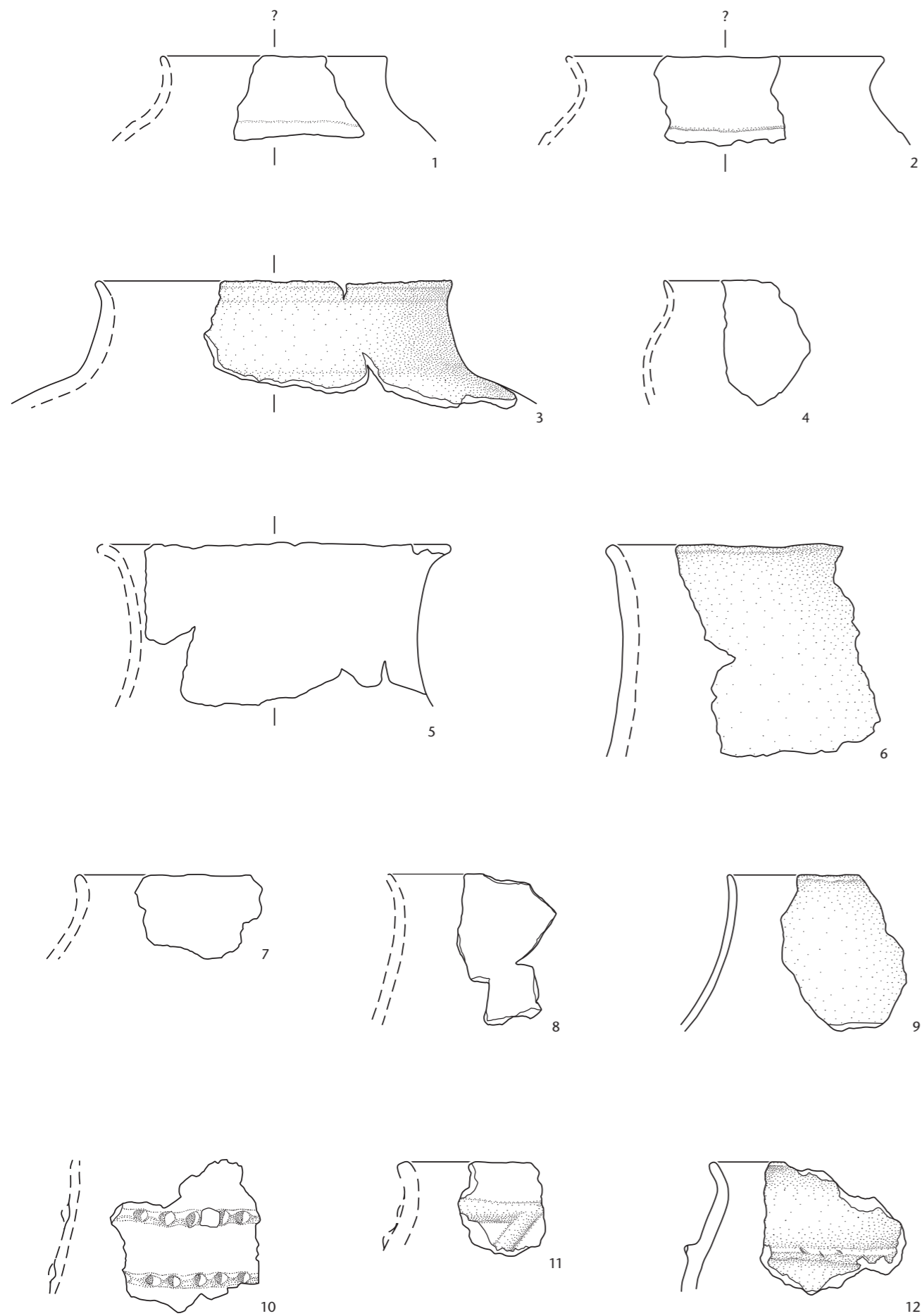
Tafel 88 Cham-Bachgraben. Gefäßkeramik.
Schicht 5: 1–12 Früh-/Mittelbronzezeit. M. 1:3.



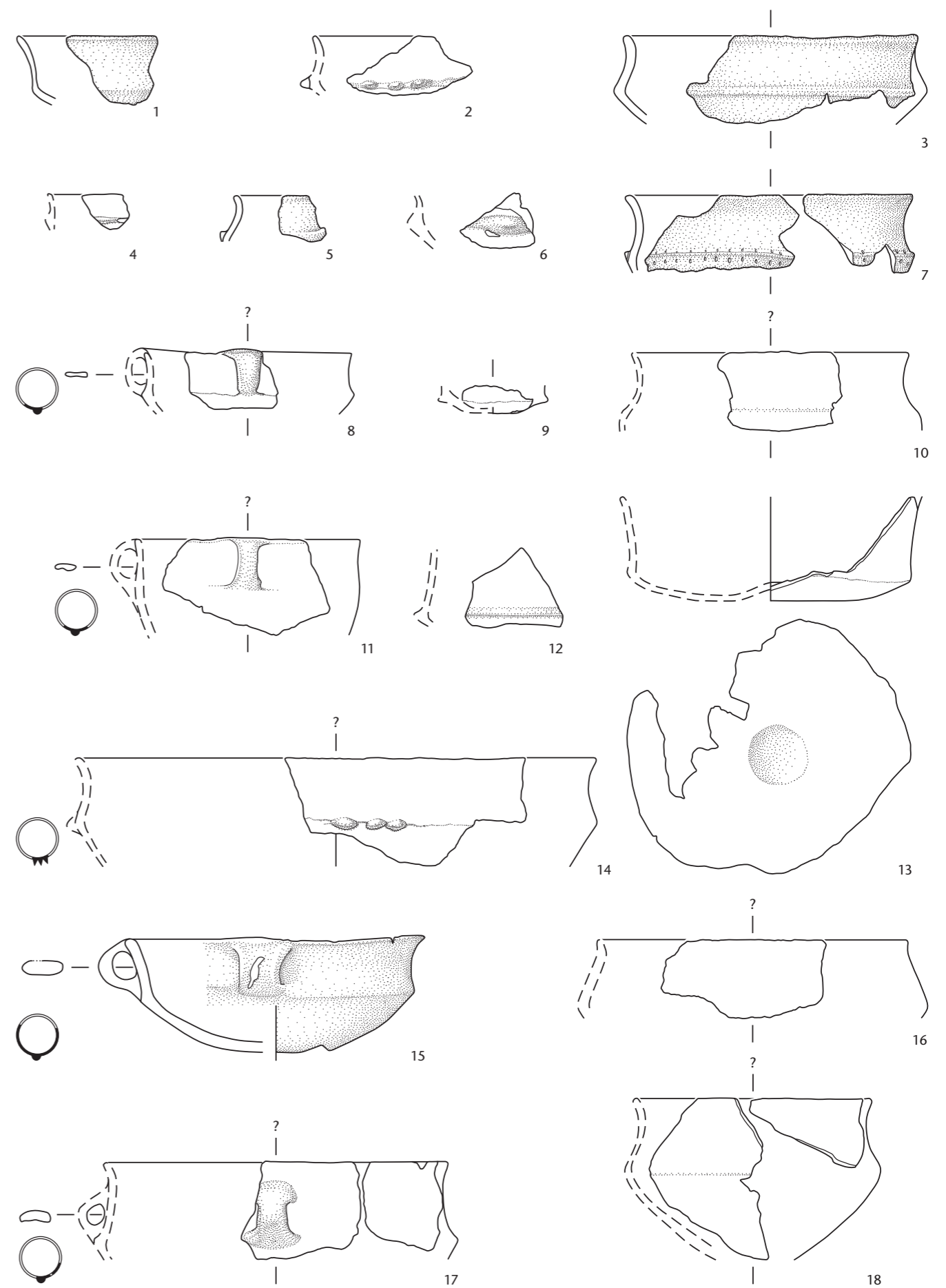
Tafel 89 Cham-Bachgraben. Gefäßkeramik.
Schicht 5: 1-13 Früh-/Mittelbronzezeit. M. 1:3.



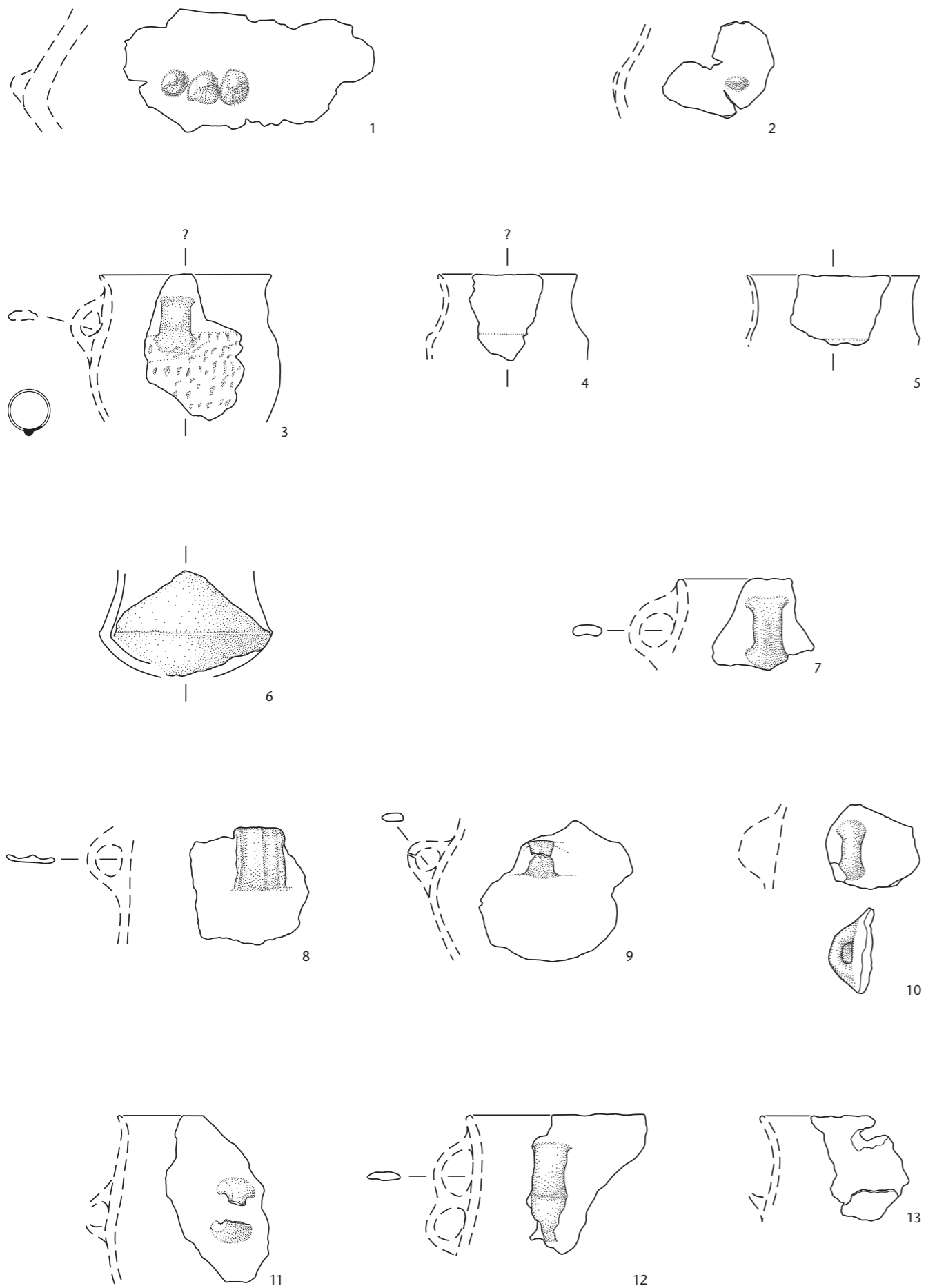
Tafel 90 Cham-Bachgraben. Gefäßkeramik.
Schicht 5: 1-12 Früh-/Mittelbronzezeit. M. 1:3.



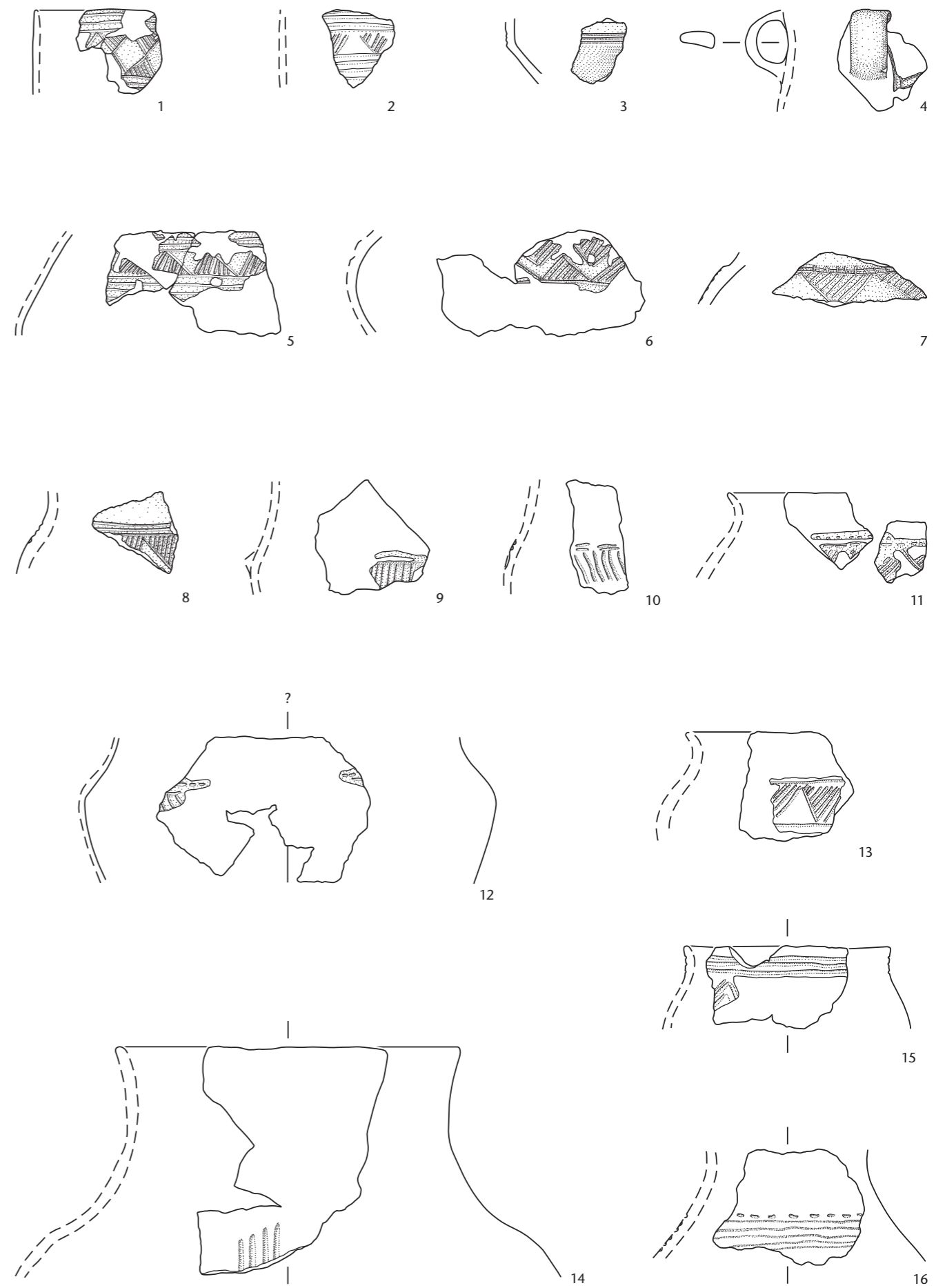
Tafel 91 Cham-Bachgraben. Gefäßkeramik.
Schicht 5: 1-12 Früh-/Mittelbronzezeit. M. 1:3.



Tafel 92 Cham-Bachgraben. Gefäßkeramik.
Schicht 5: 1-18 Früh-/Mittelbronzezeit. M. 1:3.



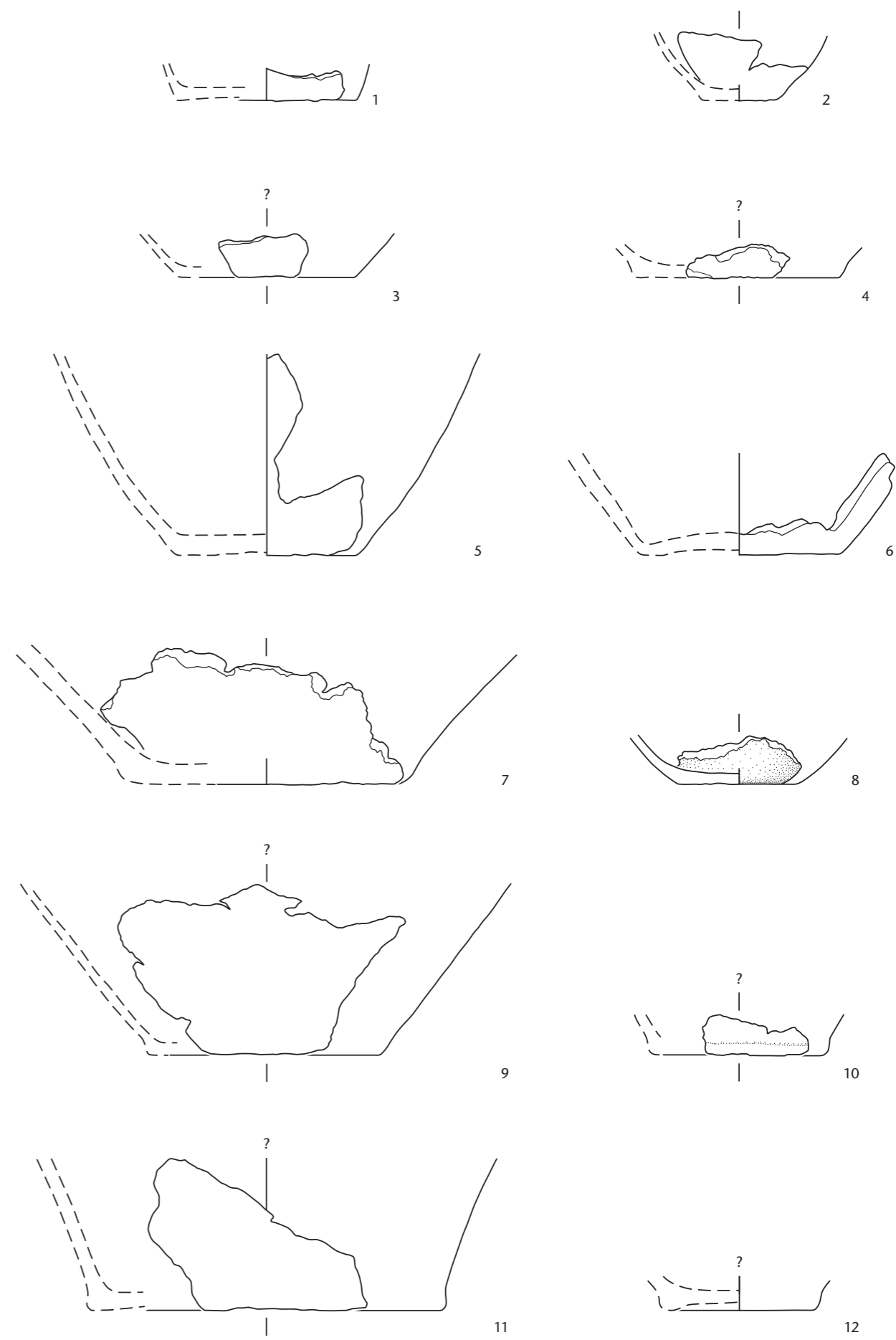
Tafel 93 Cham-Bachgraben. Gefäßkeramik.
Schicht 5: 1–13 Früh-/Mittelbronzezeit. M. 1:3.



Tafel 94 Cham-Bachgraben. Gefäßkeramik.
Schicht 5: 1–16 Früh-/Mittelbronzezeit. M. 1:3.



Tafel 95 Cham-Bachgraben. Gefäßkeramik.
Schicht 5: 1-12 Früh-/Mittelbronzezeit. M. 1:3.



Tafel 96 Cham-Bachgraben. Gefäßkeramik.
Schicht 5: 1-12 Früh-/Mittelbronzezeit. M. 1:3.



Tafel 97 Cham-Bachgraben. Gefässkeramik.

Schicht 5: 1–5 unbestimmte Zeitstellung. Streufund: 6 Früh-/Mittelbronzezeit. Störung: 7–9 Schnurkeramik; 10 unbestimmte Zeitstellung. M. 1:3.

3 Felsgesteinsartefakte

Anna Barbara Widmer

Zu Band 2, Kap. III

Einleitung Katalog und Tafeln Felsgesteinsartefakte

Aus Schicht 1 (Horgen) und Schicht 2 (Schnurkeramik) sind rund zwei Drittel aller vollständigen Steinbeilklingen sowie einzelne aussagekräftige Fragmente im Tafelteil abgebildet. Einerseits wurde versucht, eine möglichst repräsentative Auswahl zu treffen, andererseits wurden aber auch besondere Objekte in den Tafelteil aufgenommen, die somit übervertreten sind. Aus den Schichten 3 (Früh-/Mittelbronzezeit) und 5 (Früh-/Mittelbronzezeit?) sind alle Steinbeilklingen und -fragmente dargestellt.

Die Klopffsteine aus den Schichten 1–3 und 5 sind zu rund 50% abgebildet. Von den Produktionsresten, den Sägeplättchen und den Schleifsteinen wurden aus diesen Schichten nur einzelne aussagekräftige Stücke ausgewählt.

Die im Tafelteil dargestellten Lochhäxte und Schmuckartefakte stammen aus dem ganzen Grabungsareal und werden praktisch vollständig abgebildet.

Die Steinbeilklingen, Produktionsreste, Lochhäxte, Sägeplättchen, Klopffsteine und ein Grossteil der Schmuckartefakte werden im Massstab 1:2 gezeigt. Die Ausnahme bilden besondere Objekte wie Flügel-, Scheiben-, Röhren- und Dentaliumperlen sowie Unikate, die im Massstab 1:1 gezeichnet wurden. Aufgrund ihrer Grösse sind die Schleifsteine im Massstab 1:4 abgebildet.

3.1 Katalog Felsgesteinsartefakte

Taf.	Kat.	Fundobjekt	Fragmentierung	Rohmaterial (petrographisch bestimmt)	Rohmaterial (petrographisch nicht bestimmt)	Anzahl pXRF-Messungen	Erhaltungstyp Serpentin	Zusätzliche Informationen	Länge (mm)	Breite (mm)	Dicke (mm)	Gewicht (g)	Y-Koord.	X-Koord.	Ereignis	FK	Laufnr.	Feld	Pos.	Passstücke	Schicht
98	1	Steinbeilklinge		Serpentin		1	4		158	46,3	27	326,3	678503	226491	448	11233	1	151	4169		Schicht 1 (Horgen)
98	2	Steinbeilklinge		Trachytische/Dacitische Vulkanite		1			121,2	52,4	27,2	284,2	678521	226503	448	6606	3	113	3281		Schicht 1 (Horgen)
98	3	Steinbeilklinge		Serpentin		1	4		112,9	46,4	27,3	244,1	678505	226493	448	11234	1	151	4169		Schicht 1 (Horgen)
98	4	Steinbeilklinge		Serpentin		0	4		109,8	45,2	22,1	151,8	678527	226511	448	5758	1	97	2807		Schicht 1 (Horgen)
98	5	Steinbeilklinge		Serpentin		0	3		108,9	25,9	25,5	129,8	678524	226502	448	10020	1	131	3795		Schicht 1 (Horgen)
98	6	Steinbeilklinge		Nephrit		1			96,2	35,1	17,8	118,8	678527	226511	448	5755	1	97	OK 2568		Schicht 1 (Horgen)
98	7	Steinbeilklinge		Serpentin		0	4		93,2	35,3	22,8	121,8	678525	226502	448	10017	11	131	3795		Schicht 1 (Horgen)
98	8	Steinbeilklinge		Serpentin		1	1		87,3	32,8	22	104,2	678513	226511	448	2737	1	69	1647		Schicht 1 (Horgen)
98	9	Steinbeilklinge		Serpentin		0	1		83	36,9	15,8	78	678522	226512	448	8838	3	123	3728		Schicht 1 (Horgen)
98	10	Steinbeilklinge		Serpentin		0	4		79,7	30,9	17	68,8	678525	226514	448	9594	2	123	3816		Schicht 1 (Horgen)
98	11	Steinbeilklinge		Trachytische/Dacitische Vulkanite		4	4		78	35,7	19,8	92,5	678516	226503	448	10326	1	132	3870		Schicht 1 (Horgen)
99	1	Steinbeilklinge		Trachytische/Dacitische Vulkanite		1			74,1	37,9	18	81,4	678525	226508	448	11704	1	149	3598		Schicht 1 (Horgen)
99	2	Steinbeilklinge		Serpentin		0	3		75,1	34,6	17,7	65,5	678535	226512	448	8334	4	125	3706		Schicht 1 (Horgen)
99	3	Steinbeilklinge		Serpentin		1	3		73	37	18	70,2	678513	226511	448	2605	5	69	1546		Schicht 1 (Horgen)
99	4	Steinbeilklinge		Serpentin		0	4		74,5	24,4	12,7	41,3	678518	226501	448	6508	2	113	3254		Schicht 1 (Horgen)
99	5	Steinbeilklinge		Serpentin		0	4		70,3	16,8	11,8	19,3	678512	226504	448	5960	1	99	2854		Schicht 1 (Horgen)
99	6	Steinbeilklinge		Trachytische/Dacitische Vulkanite		1			69,5	37,5	17,7	68,5	678516	226509	448	11900	1	150	4186		Schicht 1 (Horgen)
99	7	Steinbeilklinge		Serpentin		0	4		67,8	43,5	20,5	97,1	678526	226513	448	5338	1	97	2564		Schicht 1 (Horgen)
99	8	Steinbeilklinge		Serpentin		0	4		66,2	39	18,2	81,1	678514	226505	448	12120	1	150	4252		Schicht 1 (Horgen)
99	9	Steinbeilklinge		Metadiorit		1			66,4	36,6	16,9	72,1	678504	226503	448	5207	6	100	2573		Schicht 1 (Horgen)
99	10	Steinbeilklinge		Serpentin		0	4		65,7	37	23,2	93,1	678517	226504	448	10076	2	132	3870		Schicht 1 (Horgen)
99	11	Steinbeilklinge		Nephrit		1			65,4	17,6	11,7	25,1	678517	226511	448	6781	2	117	3297		Schicht 1 (Horgen)
99	12	Steinbeilklinge		Serpentin		0	4		63,2	34,4	14,2	49,6	678515	226502	448	10320	1	132	3870		Schicht 1 (Horgen)
99	13	Steinbeilklinge		Serpentin		1	4		62,8	35,3	19,2	65,9	678507	226501	448	3982	1	90	2143		Schicht 1 (Horgen)
99	14	Steinbeilklinge		Metadiorit		1			63,4	35,5	17,1	67,2	678527	226512	448	5766	1	97	2875		Schicht 1 (Horgen)
99	15	Steinbeilklinge		Metadiorit		1			63,2	35,6	15	64,7	678527	226513	448	5344	2	97	2564		Schicht 1 (Horgen)
99	16	Steinbeilklinge		Serpentin		1	4		58	35,8	16,2	57,5	678521	226509	448	10637	1	92	3211		Schicht 1 (Horgen)
100	1	Steinbeilklinge		Nephrit		1			58,9	34,5	12,1	39,1	678524	226511	448	8815	1	123	OK 3730		Schicht 1 (Horgen)
100	2	Steinbeilklinge		Serpentin		0	4		57	26,5	12,9	37,3	678518	226506	448	7261	2	92	3211		Schicht 1 (Horgen)
100	3	Steinbeilklinge		Serpentin		0	3		57,1	30,6	14,8	43,7	678527	226513	448	5344	1	97	2564		Schicht 1 (Horgen)
100	4	Steinbeilklinge		Serpentin s. l.		0	4		55,5	33,3	17,3	56,7	678513	226505	448	5463	1	98	2561		Schicht 1 (Horgen)
100	5	Steinbeilklinge		Serpentin		0	4		54,5	36	16	49,5	678514	226504	448	10530	1	132	3962		Schicht 1 (Horgen)
100	6	Steinbeilklinge		Serpentin		1	4		55,5	27,7	13,2	36	678523	226499	448	10025	4	131	3795		Schicht 1 (Horgen)
100	7	Steinbeilklinge		Amphibolgneis		1			56,4	29,2	10,2	30	678515	226507	448	12181	1	150	3541/4268		Schicht 1 (Horgen)
100	8	Steinbeilklinge		Serpentin		0	4		54,2	30,5	12,2	32,3	678514	226507	448	12121	1	150	4252		Schicht 1 (Horgen)
100	9	Steinbeilklinge		Nephrit		2	3		53	32,7	17,2	46,1	678503	226494	448	11235	3	151	4169		Schicht 1 (Horgen)
100	10	Steinbeilklinge		Metagabbro (Typ Allalin)		1			52,3	32,8	18,6	48,1	678525	226511	448	9588	1	123	3816		Schicht 1 (Horgen)
100	11	Steinbeilklinge		Serpentin		1	3		50,3	40,8	21,8	63	678512	226509	448	4918	1	98	2565		Schicht 1 (Horgen)
100	12	Steinbeilklinge		Nephrit		1			48,8	24,8	11,5	24,1	678522	226505	448	11912	2	149	3872		Schicht 1 (Horgen)
100	13	Steinbeilklinge		Serpentin		1	4		49,2	31,2	14,7	36,6	678519	226512	448	5824	1	91	2524		Schicht 1 (Horgen)
100	14	Steinbeilklinge		Nephrit		1			46,6	26,2	10,8	24,1	678522	226510	448	9073	1	123	3730		Schicht 1 (Horgen)
100	15	Steinbeilklinge		Serpentin s. l.		0	3		46,6	20,4	5,6	8,4	678532	226509	448	10395	4	134	3475		Schicht 1 (Horgen)
100	16	Steinbeilklinge		Serpentin		0	4		45,4	18	10,4	13,6	678517	226506/226507	448	12058	1	150	3775		Schicht 1 (Horgen)
100	17	Steinbeilklinge		Taveyannaz-Sandstein		1			44,1	22,3	8,1	11,2	678524	226514	448	9182	3	123	3730		Schicht 1 (Horgen)
100	18	Steinbeilklinge		Nephrit		1			40,9	29,3	7,8	14,4	678510	226499	448	4795	1	99	2522		Schicht 1 (Horgen)
100	19	Steinbeilklinge		Nephrit		1			40,8	24,4	9,2	12	678522	226512	448	8838	4	123	3728		Schicht 1 (Horgen)
100	20	Steinbeilklinge		Serpentin		0	4		39,4	12,6	5,2	4,3	678510	226505	448	4924	2	98	2565		Schicht 1 (Horgen)
100	21	Steinbeilklinge		Nephrit		1			37,2	17,3	10,8	11,8	678518	226513	448	5609	2	91	2524		Schicht 1 (Horgen)
100	22	Steinbeilklinge		Serpentin		0	4		38,6	17,5	7,7	9,2	678513	226503	448	4706	1	99	2522		Schicht 1 (Horgen)
101	1	Steinbeilklinge		Nephrit		1			35,1	19,2	10,7	11,2	678524	226504	448	9851	1	131	3867		Schicht 1 (Horgen)
101	2	Steinbeilklinge		Nephrit		1			32,8	14,7	5,8	2,7	678520	226507	448	7612	2	92	3467		Schicht 1 (Horgen)
101	3	Steinbeilklinge		Diabas		3			32,4	15,2	5,8	3,3	678514	226504	448	10127	3	132	3870		Schicht 1 (Horgen)
101	4	Steinbeilklinge		Nephrit		1			31,6	18,4	9	9,3	678515	226510	448	6683	2	117	3297		Schicht 1 (Horgen)
101	5	Steinbeilklinge		Serpentin		1	3		30,3	15,3	4,9	3	678510	226501	448	4991	6	99	2560		Schicht 1 (Horgen)
101	6	Steinbeilklinge		Nephrit		1			27,5	17	8,6	6,4	678521	226506	448	8063	1	92	3565		Schicht 1 (Horgen)
101	7	Steinbeilklinge		Nephrit		1			27,9	10,5	5,5	2,6	678513	226505	448	5175	2	98	2565		Schicht 1 (Horgen)
101	8	Steinbeilklinge		Serpentin		0	4		27,4	15,1	5	2,4	678532	226510	448	7464	3	120	3475		Schicht 1 (Horgen)
101	9	Steinbeilklinge		Nephrit		1			27,4	14,9	6,2	5,3	678523	226512	448	8837	3	123	3728		Schicht 1 (Horgen)
101	10	Steinbeilklinge		Nephrit		1			25,2	16,3	6,7	4,5	678517	226501	448	10466	2	132	3870		Schicht 1 (Horgen)
101	11	Steinbeilklinge		Nephrit		1			25,7	19,5	5,8	3,5	678524	226502	448	9730	26	131	3795		Schicht 1 (Horgen)
101	12	Steinbeilklinge		Nephrit		1			22,6	19,2	5,3	4,1	678526	226511	448	5614	3	97	2807		Schicht 1 (Horgen)
101	13	Steinbeilklinge	Längsfragment	Serpentin		1	4		106,7	31	24	96,5	678517	226513	448	6783	15	117	3297		Schicht 1 (Horgen)
101	14	Steinbeilklinge	Längsfragment	Serpentin		1	4		76,5	32,2	16,8	48,2	678533	226507	448	10332	2	134	3475		Schicht 1 (Horgen)
101	15	Steinbeilklinge	Schneidenfragment	Serpentin s. l.		1	2		75,2	22,7	26,2	48,1	678517	226513	448	6783	16	117	3297		Schicht 1 (Horgen)
101	16	Steinbeilklinge	Schneidenfragment	Serpentin		0	4		50	17,5	13,6	15,8	678518	226500	448	7315	2	113	3254		Schicht 1 (Horgen)
101	17	Produktionsrest Steinbeilherstellung	Halbfabrikat Steinbeilklinge		Serpentin/Serpentin s. l.?	0	4					102,4	678518	226501	448	7316	2	113	3254		Schicht 1 (Horgen)
101	18	Produktionsrest Steinbeilherstellung	Halbfabrikat Steinbeilklinge		Serpentin/Serpentin s. l.?	0	4					112,3	678516	226509	448	12083	1	150	4186		Schicht 1 (Horgen)
101	19	Produktionsrest Steinbeilherstellung	Halbfabrikat Steinbeilklinge		Serpentin/Serpentin s. l.?	0	4					201,1	678510	226506	448	5778	1	98	2804		Schicht 1 (Horgen)
101	20	Produktionsrest Steinbeilherstellung			Serpentin/Serpentin s. l.?	0	1					61	678505	226499	448	5055	1	100	2573		Schicht 1 (Horgen)
101	21	Produktionsrest Steinbeilherstellung			Serpentin/Serpentin s. l.?	0	3					11,9									

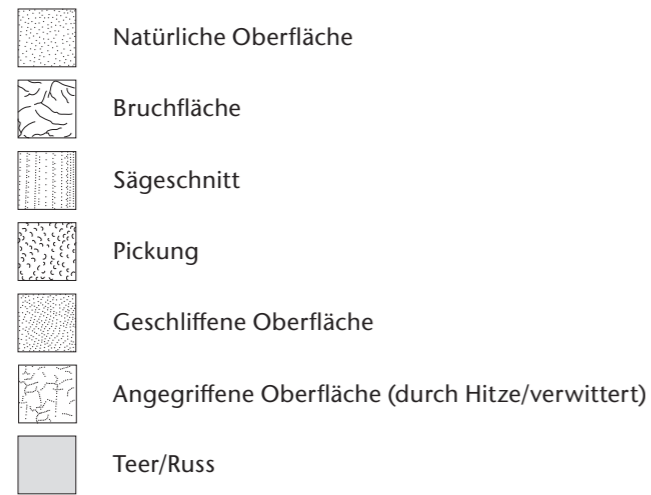
Taf.	Kat.	Fundobjekt	Fragmentierung	Rohmaterial (petrographisch bestimmt)	Rohmaterial (petrographisch nicht bestimmt)	Anzahl pXRF-Messungen	Erhaltungstyp Serpentin	Zusätzliche Informationen	Länge (mm)	Breite (mm)	Dicke (mm)	Gewicht (g)	Y-Koord.	X-Koord.	Ereignis	FK	Laufnr.	Feld	Pos.	Passstücke	Schicht
102	1	Produktionsrest Steinbeilherstellung			Serpentin/Serpentin s. l.?	0	1					559,7	678517	226503	448	10567	1	132	3870	FK 10567.2, Feld 132, Schicht 1 (Horgen)	Schicht 1 (Horgen)
102	2	Produktionsrest Steinbeilherstellung			Serpentin/Serpentin s. l.?	0	4					284,3	678522	226504	448	9895	7	131	3796		Schicht 1 (Horgen)
102	3	Produktionsrest Steinbeilherstellung			Serpentin/Serpentin s. l.?	0	1					845,9	678512	226508	448	5181	1	98	2565		Schicht 1 (Horgen)
102	4	Produktionsrest Steinbeilherstellung			Serpentin/Serpentin s. l.?	0	4					388,2	678515	226507	448	11903	1	150	4186		Schicht 1 (Horgen)
103	1	Produktionsrest Steinbeilherstellung			Serpentin/Serpentin s. l.?	0	4					351,3	678514	226504	448	10606	3	132	3870		Schicht 1 (Horgen)
103	2	Produktionsrest Steinbeilherstellung			Serpentin/Serpentin s. l.?	0	4					242,3	678516	226499	448	10322	2	132	3870		Schicht 1 (Horgen)
103	3	Lochaxt		Serpentin		1	4		140,5	45	34,3	296,4	678519	226512	448	5824	2	91	2524		Schicht 1 (Horgen)
103	4	Halbfabrikat Lochaxt	Schneidenfragment	Serpentin s. l.		4	2		117	56,9	33	263,6	678514	226507	448	12084	1	150	2561		Schicht 1 (Horgen)
103	5	Sägeplättchen			Sandstein	0						136,3	678524	226501	448	9860	2	131	3795	FK 11522.1, Feld 149, Schicht 1 (Horgen)	Schicht 1 (Horgen)
103	6	Sägeplättchen			Sandstein	0						10,9	678513	226506	448	14097	1	98	2940/2804		Schicht 1 (Horgen)
104	1	Sägeplättchen			Sandstein	0						293,6	678511	226504	448	5997	3	99	2858		Schicht 1 (Horgen)
104	2	Sägeplättchen			Sandstein	0						4	678517	226508	448	12049	3	150	4186		Schicht 1 (Horgen)
104	3	Sägeplättchen			Sandstein	0						3,6	678513	226506	448	5176	2	98	2565		Schicht 1 (Horgen)
104	4	Sägeplättchen			Sandstein	0						57,4	678515	226508	448	12119	3	150	3471		Schicht 1 (Horgen)
104	5	Sägeplättchen			Sandstein	0						23	678523	226511	448	9931	15	123	3860		Schicht 1 (Horgen)
104	6	Sägeplättchen			Sandstein	0						95,2	678528	226514	448	5775	9	97	2564	FK 5775.10, Feld 97, Schicht 1 (Horgen)	Schicht 1 (Horgen)
104	7	Sägeplättchen			Sandstein	0						76,3	678627	226511	448	5668	1	97	2809		Schicht 1 (Horgen)
104	8	Sägeplättchen			Sandstein	0						41,8	678516	226504	448	10327	1	132	3870	FK 10592.5, Feld 132, Schicht 1 (Horgen)	Schicht 1 (Horgen)
105	1	Sägeplättchen			Sandstein	0						79,8	678521	226514	448	5666	1	91	2524	FK 5666.2, Feld 91, Schicht 1 (Horgen)	Schicht 1 (Horgen)
105	2	Schleifstein			Sandstein	0						13300	678514	226506	448	12108	1	150	4186	FK 12109.1, Feld 150, Schicht 1 (Horgen)	Schicht 1 (Horgen)
105	3	Schleifstein			Sandstein	0						10200	678516	226509	448	12204	1	150	3471		Schicht 1 (Horgen)
105	4	Schleifstein			Sandstein	0						513,9	678515	226509	448	12191	1	150	3471	FK 12191.2, 12191.3, 12191.4, 12191.5, 12191.6, Feld 150, Schicht 1 (Horgen)	Schicht 1 (Horgen)
105	5	Schleifstein			Sandstein	0						2119,2	678521	226511	448	5664	1	91	2524		Schicht 1 (Horgen)
106	1	Schleifstein			Sandstein	0						1010,9	678524	226510	448	9705	1	123	3816		Schicht 1 (Horgen)
106	2	Schleifstein			Sandstein	0						1009,5	678525	226502	448	10602	1	131	3795/3867		Schicht 1 (Horgen)
106	3	Schleifstein			Sandstein	0						469,5	678511	226502	448	5103	1	99	2522		Schicht 1 (Horgen)
106	4	Klopfstein		Metagabbro		2		Handgriffglanz				380,5	678515	226507	448	12200	1	150	3541/4268		Schicht 1 (Horgen)
106	5	Klopfstein		Granit		1						246,3	678521	226501	448	6605	1	113	3281		Schicht 1 (Horgen)
106	6	Klopfstein		Metagabbro (Typ Allalin)		2		Handgriffglanz				140,8	678516	226505	448	12198	1	150	3541/4268		Schicht 1 (Horgen)
106	7	Klopfstein		Quarz-Sandstein		1						321,9	678513	226507	448	5532	2	98	2561		Schicht 1 (Horgen)
106	8	Klopfstein		Taveyannaz-Sandstein		2						405,3	678524	226513	448	9590	1	123	3816		Schicht 1 (Horgen)
106	9	Klopfstein		Taveyannaz-Sandstein		1						1224,8	678511	226504	448	5997	2	99	2858		Schicht 1 (Horgen)
107	1	Flacher Kiesel ohne Bearbeitungsspuren			Metakarbonat (Marmor)	1						10,9	678521	226508	448	8127	1	92	3658		Schicht 1 (Horgen)
107	2	Flacher Kiesel mit dezentralen Bohrspuren			Metakarbonat (Marmor)	1		einseitige Vertiefung mit Schlißspuren (Bohrlochvorbereitung)				15,5	678515	226505	448	12007	4	150	4186		Schicht 1 (Horgen)
107	3	Flacher Kiesel, bearbeitet, ohne Bohrspuren			Metakarbonat (Marmor)	0						16,8	678519	226514	448	5687	1	91	2524		Schicht 1 (Horgen)
107	4	Flacher Kiesel, bearbeitet, ohne Bohrspuren			Metakarbonat (Marmor)	0						12,9	678516	226512	448	6778	2	117	3297		Schicht 1 (Horgen)
107	5	Flacher Kiesel, bearbeitet, ohne Bohrspuren			Metakarbonat (Marmor)	0						11,1	678524	226505	448	11524	1	149	4086		Schicht 1 (Horgen)
107	6	Flacher Kiesel, bearbeitet, ohne Bohrspuren			Metakarbonat (Marmor)	0						10,8	678510	226502	448	5047	3	99	2560		Schicht 1 (Horgen)
107	7	Flacher Kiesel, bearbeitet, ohne Bohrspuren	fragmentiert		Metakarbonat (Marmor)	0						3	678515	226505	448	12007	10	150	4186		Schicht 1 (Horgen)
107	8	Flacher Kiesel, bearbeitet, ohne Bohrspuren	fragmentiert		Metakarbonat (Marmor)	1						6,8	678515	226500	448	10595	2	132	3962		Schicht 1 (Horgen)
107	9	Dentaliumperle			Karbonat (Mollusken-schale), Dentalium, Scaphopode	1						0,3	678512	226503	448	5080	2	99	2522		Schicht 1 (Horgen)
107	10	Flacher Kiesel ohne Bearbeitungsspuren			Metakarbonat (Marmor)	0						2,5	678513	226496	448	8238	2	107	3564		Schicht 1 (vermishtes Schichtinventar)
107	11	Flacher Kiesel mit dezentralen Bohrspuren			Metakarbonat (Marmor)	1		vollendetes Bohrloch				6,7	678513	226492	448	2410	3	45	853		Schicht 1 (vermishtes Schichtinventar)
107	12	Flacher Kiesel mit dezentralen Bohrspuren			Metakarbonat (Marmor)	1		einseitige Vertiefung mit Schlißspuren (Bohrlochvorbereitung)				4,4	678524	226496	448	2912	2	65	1739		Schicht 1 (vermishtes Schichtinventar)
107	13	Flacher Kiesel ohne Bearbeitungsspuren			Metakarbonat (Marmor)	0						9,3	678519	226512	448	5415	2	91	2525		Schicht 0.1 (vermishtes Schichtinventar)
107	14	Stein mit (natürlicher?) Durchbohrung			Karbonat (Sandstein/Arenit)	1						6,7	678514	226513	448	6641	3	117	3300		Schicht 0.1 (vermishtes Schichtinventar)
108	1	Steinbeilklinge			Serpentin	1	3		112,4	30,7	15,6	112,7	678522	226510	448	8421	6	123	3694		Schicht 2 (Schnurkeramik)
108	2	Steinbeilklinge			Serpentin	1	3		119	49,4	32,8	298,6	678527	226513	448	4181	6	97	UK 2472		Schicht 2 (Schnurkeramik)
108	3	Steinbeilklinge			Serpentin s. l.	1	2		113	49,2	28,5	224	678516	226499	448	9941	3	132	3840		Schicht 2 (Schnurkeramik)
108	4	Steinbeilklinge			Serpentin	0	4		105,7	58	28,5	257,4	678515	226508	448	10966	3	150	4115		Schicht 2 (Schnurkeramik)
108	5	Steinbeilklinge			Serpentin	1	3		97,3	39,8	17	109	678515	226510	448	6338	1	117	3163		Schicht 2 (Schnurkeramik)
108	6	Steinbeilklinge			Serpentin	1	4		93,4	24,3	19	56,2	678514	226510	448	6536	22	117	3279		Schicht 2 (Schnurkeramik)
108	7	Steinbeilklinge			Serpentin	1	4		91,5	49,5	25,2	155,5	678516	226502	448	9127	2	132	3798		Schicht 2 (Schnurkeramik)
108	8	Steinbeilklinge			Serpentin	0	1		90	54	24	142,5	678524	226509	448	11049	2	149	4081		Schicht 2 (Schnurkeramik)

Taf.	Kat.	Fundobjekt	Fragmentierung	Rohmaterial (petrographisch bestimmt)	Rohmaterial (petrographisch nicht bestimmt)	Anzahl pXRF-Messungen	Erhaltungstyp Serpentin	Zusätzliche Informationen	Länge (mm)	Breite (mm)	Dicke (mm)	Gewicht (g)	Y-Koord.	X-Koord.	Ereignis	FK	Laufnr.	Feld	Pos.	Passtücke	Schicht
108	9	Steinbeilklinge		Serpentin s. l.		1	2		85,7	42,3	28,8	136,9	678523	226507	448	11255	3	149	4151		Schicht 2 (Schnurkeramik)
109	1	Steinbeilklinge		Serpentin		1	4		87,2	32,9	17,2	81,8	678516	226507	448	10803	3	150	4078		Schicht 2 (Schnurkeramik)
109	2	Steinbeilklinge		Serpentin s. l.		1	3		85,5	21	15,5	43,8	678519	226503	448	6181	1	113	3154	FK 10222.1, Feld 132, Streufund	Schicht 2 (Schnurkeramik)
109	3	Steinbeilklinge		Serpentin s. l.		2	4		85,4	42,8	20,5	124,2	678523	226499	448	9420	1	131	3818		Schicht 2 (Schnurkeramik)
109	4	Steinbeilklinge		Serpentin		0	4		83,1	44,1	25,8	152,1	678524	226501	448	9071	1	131	3773		Schicht 2 (Schnurkeramik)
109	5	Steinbeilklinge		Taveyannaz-Sandstein		1			81,5	45,5	26	163,1	678517	226500	448	9800	3	132	3840		Schicht 2 (Schnurkeramik)
109	6	Steinbeilklinge		Serpentin		0	3		81	51	28,2	153,3	678519	226505	448	6164	1	92	3150		Schicht 2 (Schnurkeramik)
109	7	Steinbeilklinge		Serpentin		0	3		77	46,5	21,8	108	678547	226488	448	12770	1	155	4349		Schicht 2 (Schnurkeramik)
109	8	Steinbeilklinge		Serpentin s. l.		2	4		79,5	42,3	18,5	95,6	678524	226511	448	7401	3	123	3562		Schicht 2 (Schnurkeramik)
109	9	Steinbeilklinge		Serpentin s. l.		1	2		80	33	21,5	69,6	678536	226511	448	8206	7	125	3630		Schicht 2 (Schnurkeramik)
109	10	Steinbeilklinge		Serpentin		0	3		77,5	50,2	28,2	149,9	678536	226510	448	8204	10	125	3630		Schicht 2 (Schnurkeramik)
110	1	Steinbeilklinge		Serpentin		0	4		76,1	47,4	27,1	140,4	678525	226499	448	9072	1	131	3773		Schicht 2 (Schnurkeramik)
110	2	Steinbeilklinge		Serpentin		2	4		74,4	34	16,5	67,4	678511	226513	448	2596	1	69	UK 1538		Schicht 2 (Schnurkeramik)
110	3	Steinbeilklinge		Serpentin		2	3		74,4	35,3	25,5	95,8	678527	226511	448	4697	1	97	2562		Schicht 2 (Schnurkeramik)
110	4	Steinbeilklinge		Trachytische/Dacitische Vulkanite		1			73,8	42,1	28	134	678521	226510	448	4074	6	91	2359		Schicht 2 (Schnurkeramik)
110	5	Steinbeilklinge		Serpentin		0	4		70,7	38,5	26	108,5	678515	226499	448	9874	3	132	3840		Schicht 2 (Schnurkeramik)
110	6	Steinbeilklinge		Serpentin		1	4		69,4	50,1	26,1	131,3	678524	226510	448	7593	4	123	3573		Schicht 2 (Schnurkeramik)
110	7	Steinbeilklinge		Feinsandstein-Siltstein (Typ Plancher-les-Mines)		6			68,5	39,3	19	81	678520	226511	448	4218	8	91	2359		Schicht 2 (Schnurkeramik)
110	8	Steinbeilklinge		Serpentin		1	4		68,4	32,1	20,3	68	678518	226501	448	6331	4	113	3220		Schicht 2 (Schnurkeramik)
110	9	Steinbeilklinge		Serpentin		1	4		68	25	17	43,6	678517	226510	448	6454	82	117	3163		Schicht 2 (Schnurkeramik)
110	10	Steinbeilklinge		Serpentin		2	3		64,5	48	24,2	100,6	678520	226507	448	4493	1	92	2360		Schicht 2 (Schnurkeramik)
110	11	Steinbeilklinge		Serpentin s. l.		1	5		64,8	30,1	13,2	44	678517	226508	448	11514	11	150	2587		Schicht 2 (Schnurkeramik)
110	12	Steinbeilklinge		Serpentin		1	4		63,2	32	13	46,5	678517	226513	448	6458	10	117	3163		Schicht 2 (Schnurkeramik)
110	13	Steinbeilklinge		Serpentin		1	1		62	34,5	14,7	55,1	678520	226507	448	5567	2	92	2587		Schicht 2 (Schnurkeramik)
110	14	Steinbeilklinge		Serpentin s. l.		1	4		60	32	16,5	53,8	678546	226487	448	12845	1	155	4349		Schicht 2 (Schnurkeramik)
111	1	Steinbeilklinge		Serpentin		2	4	mit Geweihzwischenfutter	61	31,2	16,7	96,2	678519	226506	448	4786	1	92	2361		Schicht 2 (Schnurkeramik)
111	2	Steinbeilklinge		Serpentin		2	4		58,6	40,1	18,7	64,7	678547	226488	448	12769	1	155	4349		Schicht 2 (Schnurkeramik)
111	3	Steinbeilklinge		Serpentin s. l.		1	4		58,2	41,6	19,5	59,1	678517	226512	448	6456	7	117	3163		Schicht 2 (Schnurkeramik)
111	4	Steinbeilklinge		Serpentin		1	4		56,1	34,6	14	32,9	678516	226510	448	6538	18	117	3279		Schicht 2 (Schnurkeramik)
111	5	Steinbeilklinge		Serpentin		0	4		56,2	29,2	13,8	40,9	678517	226501	448	9799	2	132	3840		Schicht 2 (Schnurkeramik)
111	6	Steinbeilklinge		Serpentin		1	3		55,7	30	14	38,2	678520	226513	448	3859	6	91	2245		Schicht 2 (Schnurkeramik)
111	7	Steinbeilklinge		Serpentin		1	4		57	35,1	13,6	45,1	678521	226511	448	4075	1	91	2359		Schicht 2 (Schnurkeramik)
111	8	Steinbeilklinge		Serpentin		0	4		54,4	35,6	18	51,3	678547	226487	448	12771	1	155	4349		Schicht 2 (Schnurkeramik)
111	9	Steinbeilklinge		Grünschiefer(-stein)		2			52,5	18	16,3	30,5	678521	226507	448	4825	1	92	2361		Schicht 2 (Schnurkeramik)
111	10	Steinbeilklinge		Serpentin		0	4		48,5	29,5	13,7	31,1	678523	226504	448	8906	7	131	3773		Schicht 2 (Schnurkeramik)
111	11	Steinbeilklinge		Serpentin		1	4		50,5	41,8	19,8	59,5	678519	226506	448	3914	7	92	2249		Schicht 2 (Schnurkeramik)
111	12	Steinbeilklinge		Serpentin		0	4		49,4	38,9	15,6	38,9	678519	226509	448	10040	6	92	2249		Schicht 2 (Schnurkeramik)
111	13	Steinbeilklinge		Serpentin		0	4		47,2	42,1	18,5	53,9	678519	226512	448	3854	1	91	2244		Schicht 2 (Schnurkeramik)
111	14	Steinbeilklinge		Serpentin		0	4		46,6	37,8	14,2	38,6	678523	226501	448	8830	3	131	3759		Schicht 2 (Schnurkeramik)
111	15	Steinbeilklinge		Serpentin s. l.		1	4		43,8	38,5	15,8	41,4	678515	226500	448	9875	7	132	3840		Schicht 2 (Schnurkeramik)
112	1	Steinbeilklinge		Nephrit		1			45,8	19,7	4,7	5,8	678523	226501	448	9421	2	131	3818		Schicht 2 (Schnurkeramik)
112	2	Steinbeilklinge		Serpentin		0	4		43,7	30,3	11	22,5	678523	226499	448	9067	3	131	3773		Schicht 2 (Schnurkeramik)
112	3	Steinbeilklinge		Eklogit		0			39,8	33,7	14,2	31	678516	226508	448	11292	5	150	4172		Schicht 2 (Schnurkeramik)
112	4	Steinbeilklinge		Serpentin		1	3		39,5	31,3	15	22,3	678515	226499	448	9969	11	132	3840		Schicht 2 (Schnurkeramik)
112	5	Steinbeilklinge		Serpentin		1	1		38	30,7	13,8	25,7	678517	226501	448	9984	5	132	3840		Schicht 2 (Schnurkeramik)
112	6	Steinbeilklinge		Amphibolgneis		2			40,3	22,2	9,8	16,8	678520	226507	448	6169	6	92	2930		Schicht 2 (Schnurkeramik)
112	7	Steinbeilklinge		Jadeit(it)		1			38	26,1	11,5	16,5	678523	226505	448	11609	5	149	4084		Schicht 2 (Schnurkeramik)
112	8	Steinbeilklinge		Grünschiefer(-stein)		2			33,9	26,8	12,5	20,2	678519	226513	448	4017	10	91	2245		Schicht 2 (Schnurkeramik)
112	9	Steinbeilklinge		Jadeit(it)		1			32,8	18,3	10,8	9,3	678520	226508	448	3990	5	92	2249		Schicht 2 (Schnurkeramik)
112	10	Steinbeilklinge		Nephrit		2			32,3	30,3	7,2	12,3	678515	226504	448	9974	3	132	3840		Schicht 2 (Schnurkeramik)
112	11	Steinbeilklinge	Schneidenfragment	Amphibolit		1			95,5	28,6	32,7	164,2	678517	226509	448	11164	1	150	4141		Schicht 2 (Schnurkeramik)
112	12	Steinbeilklinge	Schneidenfragment	Serpentin		0	4		85,6	39,3	20,3	91,3	678522	226504	448	8907	1	131	3773		Schicht 2 (Schnurkeramik)
112	13	Steinbeilklinge	Schneidenfragment	Serpentin s. l.		1	3		81,6	45	19,5	122,9	678521	226502	448	6063	2	113	3154		Schicht 2 (Schnurkeramik)
112	14	Steinbeilklinge	Längsfragment	Amphibolit		3			43,4	26,5	10	18,9	678512	226513	448	2598	4	69	1538		Schicht 2 (Schnurkeramik)
112	15	Steinbeilklinge	Schneidenfragment	Jadeit(it)		1			25,2	29,2	10,1	13,7	678519	226504	448	8257	5	113	3154		Schicht 2 (Schnurkeramik)
112	16	Steinbeilklinge	Schneidenfragment	Serpentin		1	1		65,7	42,6	28,1	131,6	678516	226512	448	6451	23	117	3163		Schicht 2 (Schnurkeramik)
112	17	Steinbeilklinge	Schneidenfragment	Serpentin s. l.		1	1		69	25,4	21,8	61,1	678517	226509	448	10806	1	150	4078		Schicht 2 (Schnurkeramik)
113	1	Produktionsrest Steinbeilherstellung	Halbfabrikat Steinbeilklinge		Serpentin/Serpentin s. l.?	0	4					211,5	678519	226503	448	6326	1	113	3220		Schicht 2 (Schnurkeramik)
113	2	Produktionsrest Steinbeilherstellung	Halbfabrikat Steinbeilklinge		Serpentin/Serpentin s. l.?	0	3					172,1	678519	226508	448	7006	1	92	3350		Schicht 2 (Schnurkeramik)
113	3	Produktionsrest Steinbeilherstellung		unbestimmbar		4						197,1	678523	226508	448	11183	1	149	4081		Schicht 2 (Schnurkeramik)
113	4	Produktionsrest Steinbeilherstellung			Serpentin/Serpentin s. l.?	0	4					149			448	8826	1	131	3759		Schicht 2 (Schnurkeramik)
113	5	Produktionsrest Steinbeilherstellung			Serpentin/Serpentin s. l.?	0	4					337,4	678515	226505	448	11722	2	150	4173		Schicht 2 (Schnurkeramik)
113	6	Produktionsrest Steinbeilherstellung			Serpentin/Serpentin s. l.?	0	4					344,4	678524	226501	448	8833	5	131	3759		Schicht 2 (Schnurkeramik)
113	7	Lochaxt	mediales Fragment	Serpentin		1	4		73	52,4	17,5	58,6	678518	226512	448	4015	1	91	2245		Schicht 2 (Schnurkeramik)
113	8	Halbfabrikat Lochaxt	Längsfragment	Serpentin s. l.		2	3		73,3	35,5	17	70,1	678523	226509	448	11018	1	149	4080	FK 11018.2, Feld 149, Schicht 2 (Schnurkeramik)	Schicht 2 (Schnurkeramik)
114	1	Sägeplättchen			Sandstein	0						259	678514	226506	448	11675	1	150	4173	FK 11675.2, 11675.3, Feld 150, Schicht 2 (Schnurkeramik)	Schicht 2 (Schnurkeramik)
114	2	Sägeplättchen			Sandstein	0						10	678528	226510	448	4690	2	97	2562		Schicht 2 (Schnurkeramik)

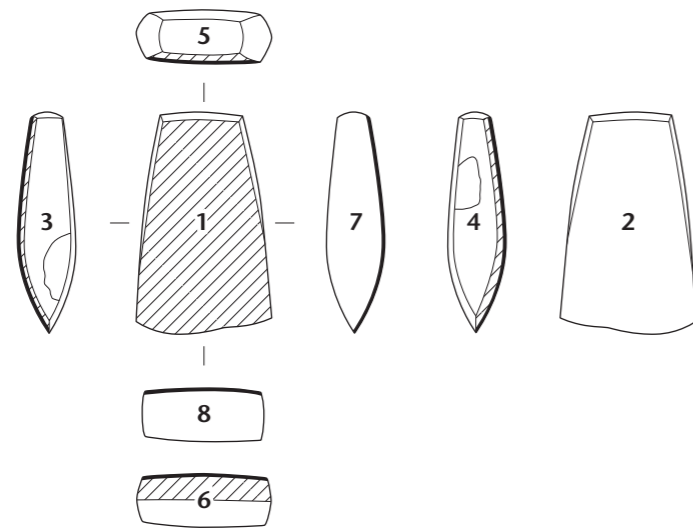
Taf.	Kat.	Fundobjekt	Fragmentierung	Rohmaterial (petrographisch bestimmt)	Rohmaterial (petrographisch nicht bestimmt)	Anzahl pXRF-Messungen	Erhaltungstyp Serpentin	Zusätzliche Informationen	Länge (mm)	Breite (mm)	Dicke (mm)	Gewicht (g)	Y-Koord.	X-Koord.	Ereignis	FK	Laufnr.	Feld	Pos.	Passtücke	Schicht
114	3	Sägeplättchen			Sandstein	0						27,1	678521	226503	448	6328	1	113	UK 3220	FK 7022.1, Feld 113, Schicht 1 (Horgen)	Schicht 2 (Schnurkeramik)
114	4	Schleifstein			Sandstein	0						8700	678549	226489	448	12773	1	155	4349		Schicht 2 (Schnurkeramik)
114	5	Schleifstein			Sandstein	0						2385,5	678520	226510	448	4022	1	91	2245		Schicht 2 (Schnurkeramik)
115	1	Schleifstein			Sandstein	0						1843	678515	226507	448	11020	2	150	4078		Schicht 2 (Schnurkeramik)
115	2	Schleifstein			Sandstein	0						624,2	678521	226503	448	6471	2	113	3154	FK 6471.3, Feld 113, Schicht 2 (Schnurkeramik)	Schicht 2 (Schnurkeramik)
115	3	Klopfstein		Amphibolit		1		Handgriffglanz				324,4	678520	226507	448	6168	1	92	2930		Schicht 2 (Schnurkeramik)
115	4	Klopfstein		Taveyannaz-Sandstein		1						575,5	678519	226509	448	10350	1	92	3210		Schicht 2 (Schnurkeramik)
115	5	Klopfstein		Taveyannaz-Sandstein		1						514,7	678521	226507	448	4491	2	92	2360		Schicht 2 (Schnurkeramik)
115	6	Klopfstein		Taveyannaz-Sandstein		1						1382,8	678516	226506	448	11679	1	150	4173		Schicht 2 (Schnurkeramik)
115	7	Klopfstein		Tonstein (-schiefer)/Mergel		2						476,1	678525	226507	448	11563	3	149	4151		Schicht 2 (Schnurkeramik)
116	1	Flacher Kiesel, bearbeitet, ohne Bohrspuren		Metakarbonat (Marmor)		1						25,8	678519	226506	448	5250	2	92	2361		Schicht 2 (Schnurkeramik)
116	2	Flacher Kiesel, bearbeitet, ohne Bohrspuren		Metakarbonat (Marmor)		0						28,6	678515	226502	448	9801	3	132	3840		Schicht 2 (Schnurkeramik)
116	3	Flacher Kiesel mit zentralen Bohrspuren		Metakarbonat (Marmor)		1		einseitig angebohrt				20,1	678521	226507	448	4172	11	92	2325		Schicht 2 (Schnurkeramik)
116	4	Flacher Kiesel mit zentralen Bohrspuren		Metakarbonat (Marmor)		1		einseitig angebohrt				17,1	678519	226511	448	4107	4	91	2359		Schicht 2 (Schnurkeramik)
116	5	Flacher Kiesel mit zentralen Bohrspuren		Metakarbonat (Marmor)		1		beidseitig gebohrtes, vollendetes Bohrloch				9,2	678519	226507	448	5482	1	92	2338		Schicht 2 (Schnurkeramik)
116	6	Flacher Kiesel mit zentralen Bohrspuren		Metakarbonat (Marmor)		0		beidseitig gebohrtes, vollendetes Bohrloch				9,6	678516	226506	448	11708	4	150	2587		Schicht 2 (Schnurkeramik)
116	7	Flacher Kiesel, bearbeitet, ohne Bohrspuren		Metakarbonat (Marmor)		0						8,3	678516	226508	448	11389	6	150	4173		Schicht 2 (Schnurkeramik)
116	8	Flacher Kiesel mit zentralen Bohrspuren	fragmentiert	Metakarbonat (Marmor)		0		beidseitig angebohrt				3,9	678520	226508	448	4013	4	92	2249		Schicht 2 (Schnurkeramik)
116	9	Dünne Steinscheibe	fragmentiert	Metakarbonat (Marmor)		0		vollendetes Bohrloch				3,4	678517	226512	448	6456	16	117	3163		Schicht 2 (Schnurkeramik)
116	10	Marmorunikat	fragmentiert	Metakarbonat (Marmor)		0						0,8	678515	226504	448	9540	3	132	3788		Schicht 2 (Schnurkeramik)
116	11	Nephritunikat mit Durchbohrung	fragmentiert	Nephrit		2						5,1	678523	226507	448	11051	1	149	4117	10023.2, Feld 131, Schicht 1 (Horgen)	Schicht 2 (Schnurkeramik)
116	12	Lochaxt	Nackenfragment	Serpentin s. l.		2	1		55,6	45,6	31,5	112	678537	226496	448	16112	1	176	4659		Schicht 2 (vermisches Schichtinventar)
116	13	Lochaxt	Schneidenfragment	Serpentin		2	4		66,7	29,4	46,1	137,1	678547	226490	448	14414	1	160	4525		Schicht 2 (vermisches Schichtinventar)
117	1	Halbfabrikat Lochaxt	Schneidenfragment	Amphibolit		3			116	44	46	355,8	678546	226493	448	15487	1	160	4525		Schicht 2 (vermisches Schichtinventar)
117	2	Lochaxt		Serpentin		1	4		120,2	60,6	37,6	311,4			448	3302	1	90	2050	14102.1, Feld 166, aus Störung	Schicht 2 (vermisches Schichtinventar)
117	3	Halbfabrikat Lochaxt		Serpentin		1	2		96,6	51	36,3	244,5	678507	226494	448	9097	2	128	3736		Schicht 2 (vermisches Schichtinventar)
117	4	Lochaxt	Nackenfragment	Serpentin		1	4		46,5	43,6	20	51,6	678502	226490	448	541	2	47	219		Schicht 2 (vermisches Schichtinventar)
118	1	Lochaxt		Serpentin		1	1		109,8	55,5	38,5	295,7	678507	226491	448	772	1	46	215	777.1, Feld 46, Schicht 2 (vermisches Schichtinventar)	Schicht 2 (vermisches Schichtinventar)
118	2	Lochaxt	Nackenfragment	Serpentin s. l.		1	3		38,7	40,8	24	58	678526	226509	448	6696	1	114	3219		Schicht 2 (vermisches Schichtinventar)
118	3	Flacher Kiesel ohne Bearbeitungsspuren		Metakarbonat (Marmor)		0						17,6	678539	226494	448	16161	8	177	4671		Schicht 2 (vermisches Schichtinventar)
118	4	Flacher Kiesel mit zentralen Bohrspuren		Metakarbonat (Marmor)		0		beidseitig angebohrt				14,4	678548	226493	448	14542	4	160	4526		Schicht 2 (vermisches Schichtinventar)
118	5	Flacher Kiesel mit zentralen Bohrspuren		Metakarbonat (Marmor)		0		beidseitig gebohrtes, vollendetes Bohrloch				9,2	678538	226494	448	16297	5	177	4672		Schicht 2 (vermisches Schichtinventar)
118	6	Flacher Kiesel mit zentralen Bohrspuren		Metakarbonat (Marmor)		0		beidseitig gebohrtes, vollendetes Bohrloch				15,2	678538	226488	448	14010	2	162	4479		Schicht 2 (vermisches Schichtinventar)
118	7	Flacher Kiesel mit zentralen Bohrspuren		Metakarbonat (Marmor)		1		beidseitig gebohrtes, vollendetes Bohrloch				4,3	678538	226487	448	13886	2	162	4478		Schicht 2 (vermisches Schichtinventar)
118	8	Flacher Kiesel mit zentralen Bohrspuren		Metakarbonat (Marmor)		0		beidseitig gebohrtes, vollendetes Bohrloch				4	678547	226492	448	14526	4	160	4526		Schicht 2 (vermisches Schichtinventar)
118	9	Flacher Kiesel mit zentralen Bohrspuren	fragmentiert	Metakarbonat (Marmor)		0		beidseitig angebohrt				2,1	678548	226493	448	14395	6	160	4525		Schicht 2 (vermisches Schichtinventar)
119	1	Flacher Kiesel, bearbeitet, ohne Bohrspuren		Metakarbonat (Marmor)		0						9,7	678504	226502	448	4731	17	100	2518		Schicht 2 (vermisches Schichtinventar)
119	2	Flacher Kiesel mit dezentralen Bohrspuren		Metakarbonat (Marmor)		0		Vertiefung mit Schliifspuren (Bohrlochvorbereitung)				12,5	678504	226502	448	4523	10	100	2518		Schicht 2 (vermisches Schichtinventar)
119	3	Flacher Kiesel mit zentralen Bohrspuren		Metakarbonat (Marmor)		0		einseitig, zweifach angebohrt				8,6	678513	226499	448	4309	18	99	2480		Schicht 2 (vermisches Schichtinventar)
119	4	Flacher Kiesel mit dezentralen Bohrspuren		Metakarbonat (Marmor)		0		beidseitig gebohrtes, vollendetes Bohrloch				25,1	678511	226504	448	5966	2	99	2480		Schicht 2 (vermisches Schichtinventar)
119	5	Flacher Kiesel mit dezentralen Bohrspuren		Metakarbonat (Marmor)		0		beidseitig gebohrtes, vollendetes Bohrloch				9,1	678511	226504	448	5966	3	99	2480		Schicht 2 (vermisches Schichtinventar)
119	6	Flacher Kiesel mit zentralen Bohrspuren		Metakarbonat (Marmor)		0		beidseitig gebohrtes, vollendetes Bohrloch				4	678512	226499	448	4293	13	99	2480		Schicht 2 (vermisches Schichtinventar)
119	7	Flacher Kiesel mit zentralen Bohrspuren	fragmentiert	Metakarbonat (Marmor)		1		beidseitig gebohrtes, vollendetes Bohrloch				4,3	678507	226500	448	3517	5	90	2050		Schicht 2 (vermisches Schichtinventar)
119	8	Dünne Steinscheibe		Metakarbonat (Marmor)		0		vollendetes Bohrloch				14,1	678502	226498	448	11547	22	152	4171		Schicht 2 (vermisches Schichtinventar)
119	9	Muschelschale mit Durchbohrung	fragmentiert	Karbonat (Mollusken-schale), <i>Glycymeris</i> sp.		1		zwei vollendete Bohrlöcher, Nutzungsspuren				4,3	678501	226501	448	1269	1	52	583		Schicht 2 (vermisches Schichtinventar)
119	10	Scheibenperle		Metakarbonat (Marmor)		1		beidseitig gebohrtes, vollendetes Bohrloch				0,1	678500	226499	448	9288	9	130	3771		Schicht 2 (vermisches Schichtinventar)
119	11	Scheibenperle		Metakarbonat (Marmor)		0		beidseitig gebohrtes, vollendetes Bohrloch				0,1	678506	226500	448	3520	9	90	2050		Schicht 2 (vermisches Schichtinventar)
119	12	Scheibenperle		Metakarbonat (Marmor)		0		beidseitig gebohrtes, vollendetes Bohrloch				0,2	678506	226501	448	3483	17	90	2050		Schicht 2 (vermisches Schichtinventar)
119	13	Scheibenperle		Metakarbonat (Marmor)		0		beidseitig gebohrtes, vollendetes Bohrloch				0,1	678503	226493	448	11275	10	151	4149		Schicht 2 (vermisches Schichtinventar)
119	14	Schieferunikat mit zweifacher Durchbohrung		Schiefer/Metapelit		1		zwei beidseitig gebohrte, vollendete Bohrlöcher, einseitig strahlenförmige Bohrgrübenverzierung				7,1	678506	226507	448	3451	1	89	2083		Schicht 2 (vermisches Schichtinventar)

Taf.	Kat.	Fundobjekt	Fragmentierung	Rohmaterial (petrographisch bestimmt)	Rohmaterial (petrographisch nicht bestimmt)	Anzahl pXRF-Messungen	Erhaltungstyp Serpentinit	Zusätzliche Informationen	Länge (mm)	Breite (mm)	Dicke (mm)	Gewicht (g)	Y-Koord.	X-Koord.	Ereignis	FK	Laufnr.	Feld	Pos.	Passstücke	Schicht
119	15	Flacher Kiesel, bearbeitet, ohne Bohrspuren		Metakarbonat (Marmor)		0						71,9	678510	226496	448	6480	8	107	3146		Schicht 2 (vermisches Schichtinventar)
119	16	Flacher Kiesel mit zentralen Bohrspuren		Metakarbonat (Marmor)		1		Vertiefung mit Schlißspuren (Bohrlochvorbereitung)				10,3	678514	226493	448	3755	9	70	2020		Schicht 2 (vermisches Schichtinventar)
119	17	Flacher Kiesel mit dezentralen Bohrspuren	fragmentiert	Metakarbonat (Marmor)		1		beidseitig gebohrtes, vollendetes Bohrloch				0,9	678506	226492	448	928	1	46	469		Schicht 2 (vermisches Schichtinventar)
119	18	Undefinierbares Fragment mit Durchbohrung	fragmentiert	Metakarbonat (Marmor)		0		vollendetes Bohrloch				0,9	678513	226496	448	6384	7	107	3146		Schicht 2 (vermisches Schichtinventar)
119	19	Röhrenperle	fragmentiert	Metakarbonat (Marmor)		1						1,6	678508	226496	448	8973	8	128	3736		Schicht 2 (vermisches Schichtinventar)
120	1	Steinbeilklinge		Eklogit		1			88,5	51,1	31,8	227,2	678546	226503	448	16650	1	173	4692		Schicht 3 (Früh-/Mittelbronzezeit)
120	2	Steinbeilklinge		Serpentinit s. l.		1			64,5	26,6	13,3	37,5	678549	226490	448	12979	1	155	4318		Schicht 3 (Früh-/Mittelbronzezeit)
120	3	Steinbeilklinge	Schneidenfragment	Serpentinit s. l.		1			81,8	52,7	32,7	98,1	678547	226481	448	12211	1	153	4275		Schicht 3 (Früh-/Mittelbronzezeit)
120	4	Steinbeilklinge	Schneidenfragment	Eklogit		1			49,8	50	17,1	60,5		226495	448	15515	22	169	4591		Schicht 3 (Früh-/Mittelbronzezeit)
120	5	Steinbeilklinge	Nackenfragment	Serpentinit s. l.		1			34,6	35,1	18	38,3	678546	226494	448	15347	21	160	4501		Schicht 3 (Früh-/Mittelbronzezeit)
120	6	Schleifstein			Sandstein	0						886,6	678546	226485	448	12620	74	155	4318		Schicht 3 (Früh-/Mittelbronzezeit)
120	7	Klopfstein		Quarz-Sandstein		2		Handgriffglanz				600,6	678548	226480	448	12283	19	153	4275		Schicht 3 (Früh-/Mittelbronzezeit)
120	8	Klopfstein		Sandstein s. l. (Arkose, Grauwacke)		0		Handgriffglanz				687	678544	226488	448	13101	3	161	4394		Schicht 3 (Früh-/Mittelbronzezeit)
120	9	Röhrenperle		Metakarbonat (Marmor)		1						1,5	678523	226490	448	2534	17	64	1486		Schicht 0.3 (vermisches Schichtinventar)
121	1	Lochaxt	Schneidenfragment	Serpentinit		1	1		71	39,3	41,7	162,3			448	6035	8	113	1		Schicht 4 (vermisches Schichtinventar)
121	2	Steinbeilklinge	mediales Fragment	Serpentinit		2	2		32	26	16	68	678549	226512	448	8072	76	126	3632		Schicht 5 (Früh-/Mittelbronzezeit?)
121	3	Undefinierbares Fragment mit Durchbohrung	fragmentiert	Karbonat (Mollusken-schale), unbestimm-bares Gehäuse		1		vollendetes Bohrloch				0,8	678548	226514	448	7792	43	126	3632		Schicht 5 (Früh-/Mittelbronzezeit?)
121	4	Klopfstein		Quarzit		1		Handgriffglanz				623,4			448	4234	37	102	2483		Schicht 5 (Früh-/Mittelbronzezeit?)
121	5	Lochaxt	Schneidenfragment	Serpentinit		1	3		83,3	56	41,7	247,7	678492	226501	448	955	5	50	470		Schicht 5 (vermisches Schichtinventar)
121	6	Halbfabrikat Lochaxt	Schneidenfragment	Taveyannaz-Sandstein		1			110,3	54,5	45	470,7	678512	226485	448	1407	1	45	221		Schicht 5 (vermisches Schichtinventar)
121	7	Halbfabrikat Lochaxt	Schneidenfragment	Serpentinit		1	1		121,3	45,1	34,9	307	678515	226490	448	1833	12	44	1122		Schicht 5 (vermisches Schichtinventar)
122	1	Flacher Kiesel, bearbeitet, ohne Bohrspuren	vollständig	Metakarbonat (Marmor)		0						19	678533	226489	448	13906	10	164	4459		Schicht 5 (vermisches Schichtinventar)
122	2	Marmorunikat	fragmentiert	Metakarbonat (Marmor)		1		beidseitig gebohrtes, vollendetes Bohrloch				2,1	678532	226492	448	14735	1	167	4541		Schicht 5 (vermisches Schichtinventar)
122	3	Flacher Kiesel mit zentralen Bohrspuren	fragmentiert	Metakarbonat (Marmor)		1		beidseitig gebohrtes, vollendetes Bohrloch				1,7	678500	226516	448	767	8	49	226		Schicht 5 (vermisches Schichtinventar)
122	4	Scheibenperle	vollständig	Metakarbonat (Marmor)		0		beidseitig gebohrtes, vollendetes Bohrloch				0,2	678499	226524	448	673	9	49	226		Schicht 5 (vermisches Schichtinventar)
122	5	Scheibenperle	vollständig	Metakarbonat (Marmor)		1		beidseitig gebohrtes, vollendetes Bohrloch				0,1	678498	226518	448	794	4	49	226		Schicht 5 (vermisches Schichtinventar)
122	6	Scheibenperle	fragmentiert	Metakarbonat (Marmor)		1		beidseitig gebohrtes, vollendetes Bohrloch				0,1	678498	226518	448	794	15	49	226		Schicht 5 (vermisches Schichtinventar)
122	7	Röhrenperle	vollständig	Metakarbonat (Marmor)		1		beidseitig gebohrtes, vollendetes Bohrloch				2,6	678501	226530	448	531	1	49	226		Schicht 5 (vermisches Schichtinventar)
122	8	Röhrenperle	vollständig	Metakarbonat (Marmor)		1		beidseitig gebohrtes, vollendetes Bohrloch				2,7	678501	226530	448	531	2	49	226		Schicht 5 (vermisches Schichtinventar)
122	9	Flügelperle	vollständig	Metakarbonat (Marmor)		1		beidseitig gebohrtes, vollendetes Bohrloch				1,1	678500	226534	448	590	1	49	224/225/226		Schicht 5 (vermisches Schichtinventar)
122	10	Undefinierbares Fragment mit Durchbohrung	fragmentiert	Karbonat (Mikrit)		1		zwei Durchbohrungen				0,4	678500	226517	448	762	3	49	226		Schicht 5 (vermisches Schichtinventar)
122	11	Undefinierbares Fragment mit Durchbohrung	fragmentiert	Metakarbonat (Marmor)		0						0,4	678499	226519	448	826	3	49	226		Schicht 5 (vermisches Schichtinventar)
122	12	Flügelperle	fragmentiert	Metakarbonat (Marmor)		1		beidseitig gebohrtes, vollendetes Bohrloch				1,1			448	1071	25	48	226		Schicht 5 (vermisches Schichtinventar)
122	13	Dentaliumperle	vollständig	Karbonat (Mollusken-schale) Dentalium, Scaphopode		1		vollendetes Bohrloch				0,9			448	1366	7	52	583		Schicht 5 (vermisches Schichtinventar)
122	14	Flacher Kiesel mit zentralen Bohrspuren	vollständig	Metakarbonat (Marmor)		1		beidseitig angebohrt				14,2			448	2437	17	55	1390		Schicht 5 (vermisches Schichtinventar)
122	15	Scheibenperle	vollständig	Metakarbonat (Marmor)		1		beidseitig gebohrtes, vollendetes Bohrloch				0,3			448	2503	126	59	1433		Schicht 5 (vermisches Schichtinventar)
122	16	Flacher Kiesel mit dezentralen Bohrspuren	vollständig	Karbonat (Sandstein/Arenit)		1		beidseitig gebohrtes, vollendetes Bohrloch				7,5			448	2670	12	71	1589		Schicht 5 (vermisches Schichtinventar)
122	17	Flacher Kiesel mit zentralen Bohrspuren	fragmentiert	Metakarbonat (Marmor)		1		beidseitig angebohrt				6,4	678516	226490	448	1991	3	44	1149		Schicht 5 (vermisches Schichtinventar)
122	18	Undefinierbares Fragment mit Durchbohrung	fragmentiert	Metakarbonat (Marmor)		1						0,7	678518	226493	448	1328	6	43	640		Schicht 5 (vermisches Schichtinventar)
122	19	Stein mit (natürlicher?) Durchbohrung	vollständig	Kalzit-Quarz-Sandstein		1						2,5	678544	226520	448	5434	2	108	2861		Schicht 5 (vermisches Schichtinventar)
122	20	Stein mit (natürlicher?) Durchbohrung	vollständig	Karbonat (Mikrit)		1						2,8	678538	226512	448	7256	5	122	3538		Schicht 5 (vermisches Schichtinventar)
122	21	Scheibenperle	vollständig	Kalzit-Quarz-Sandstein		1		beidseitig gebohrtes, vollendetes Bohrloch				0,1			448	970	22	48			Streufund
122	22	Lochaxt	Schneidenfragment	Serpentinit s. l.		1	3		57,4	22,8	38,1	63,7			448	4079	1	91	2247		Störung

Signaturen Felsgesteinsartefakte

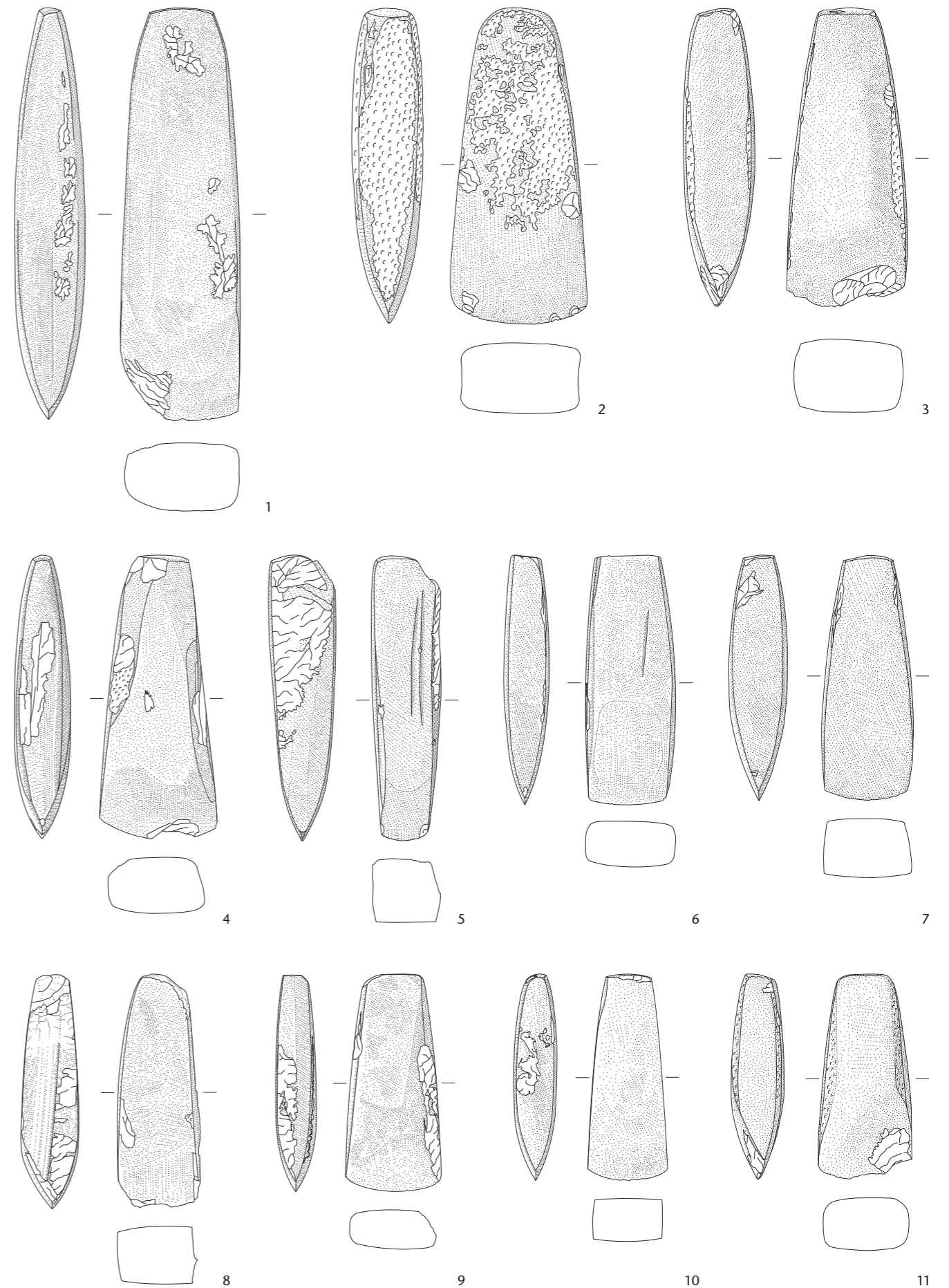


Abwicklung und Ansichten Felsgesteinsartefakte

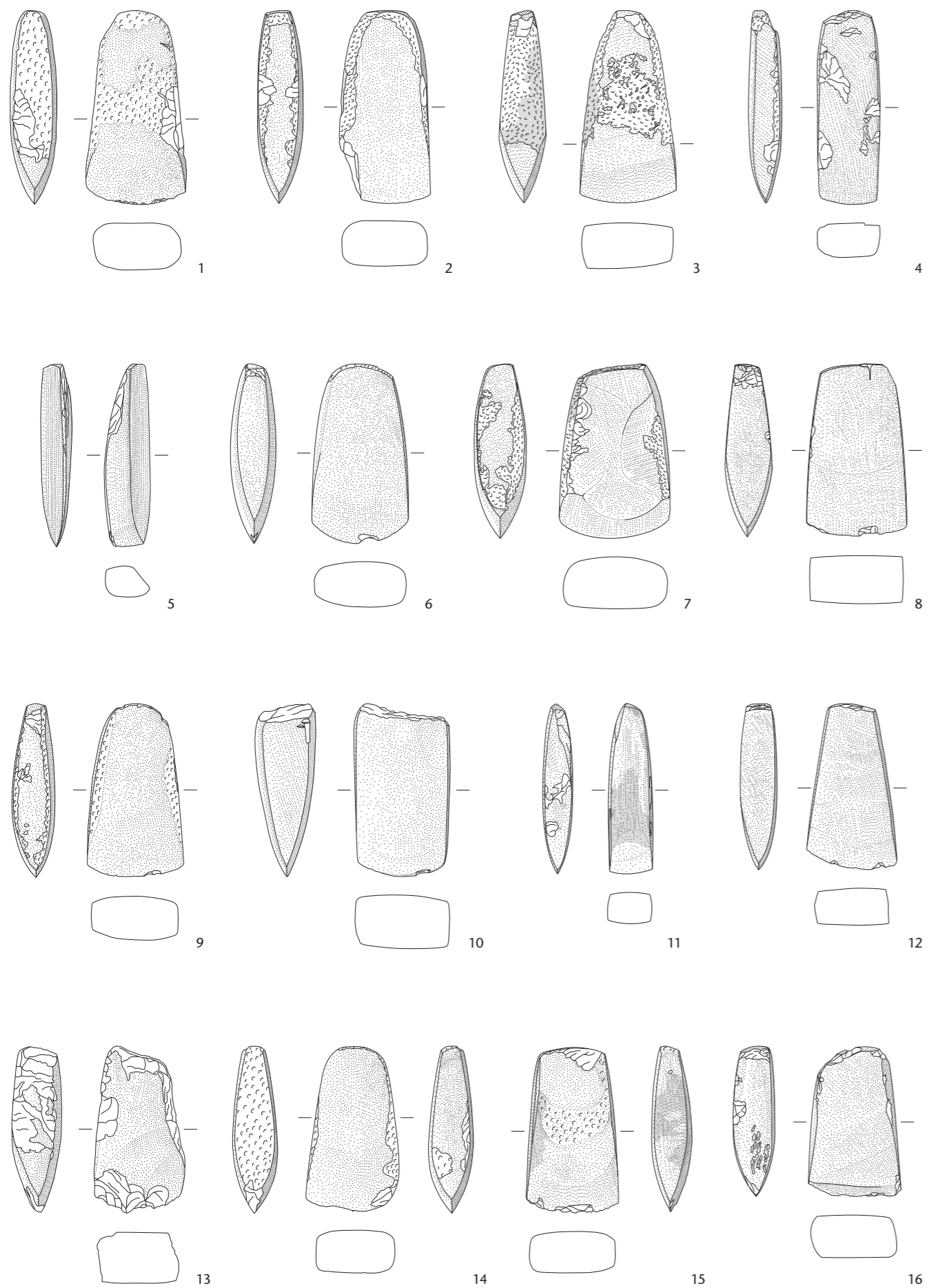


Steinbeilklingen und Lochäxte:

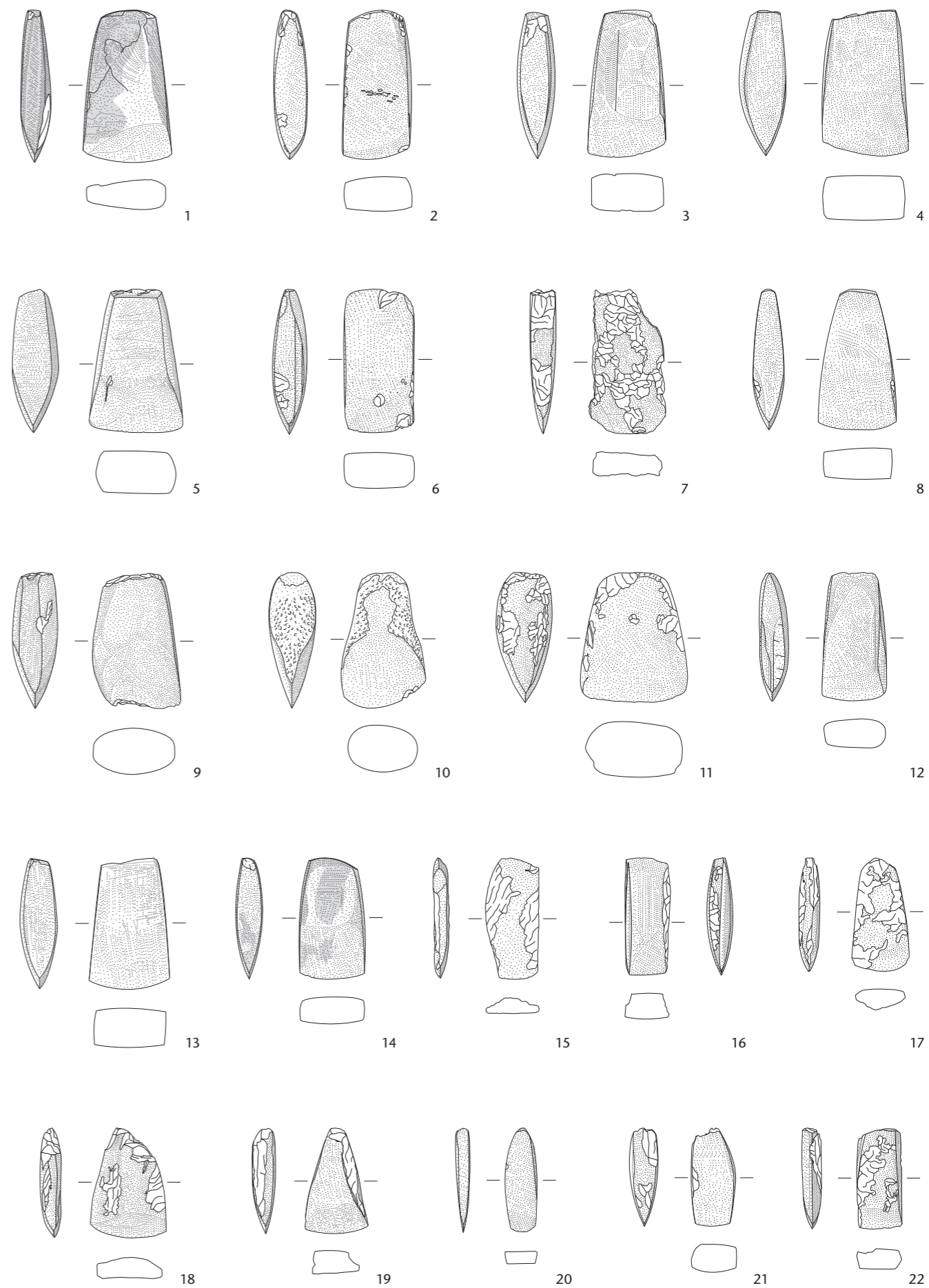
- 1 Breitseite 1
- 2 Breitseite 2
- 3 Schmalseite 1
- 4 Schmalseite 2
- 5 Nacken
- 6 Schneide
- 7 Seitenansicht
- 8 Querschnitt



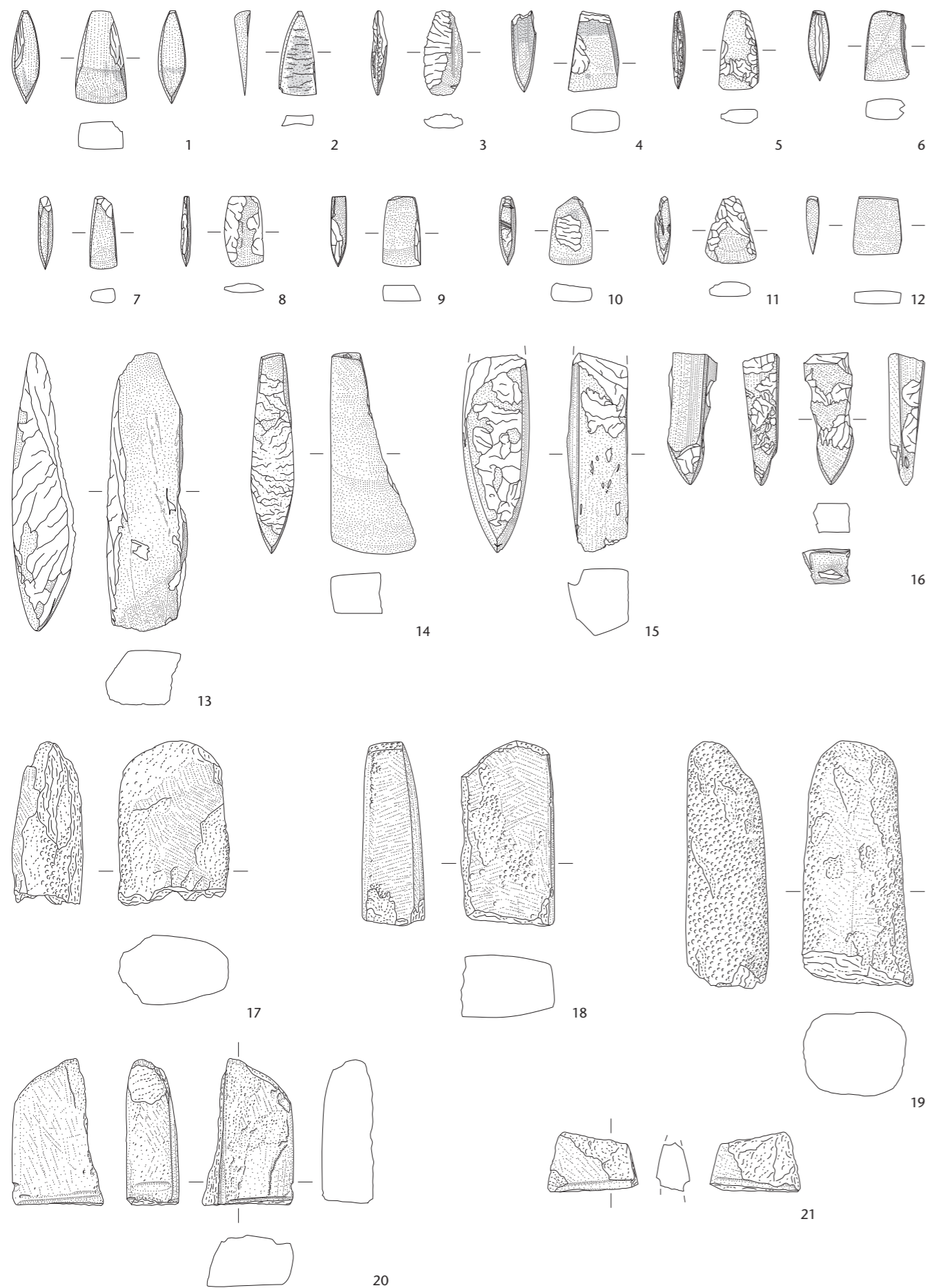
Tafel 98 Cham-Bachgraben. Felsgesteinsartefakte.
Schicht 1 (Horgen): 1–11 Steinbeilklingen. M. 1:2.



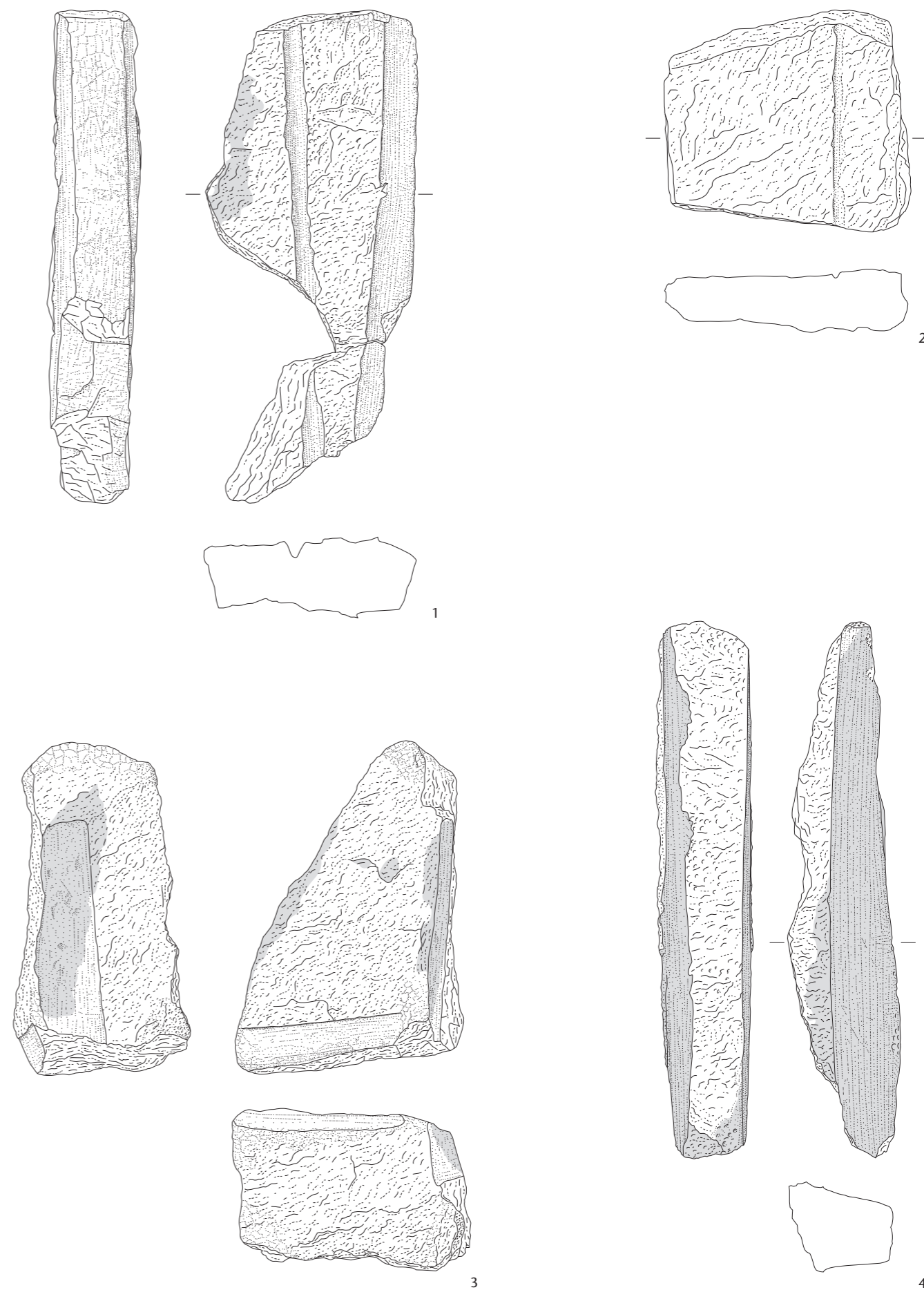
Tafel 99 Cham-Bachgraben. Felsgesteinsartefakte.
Schicht 1 (Horgen): 1-16 Steinbeilklingen. M. 1:2.



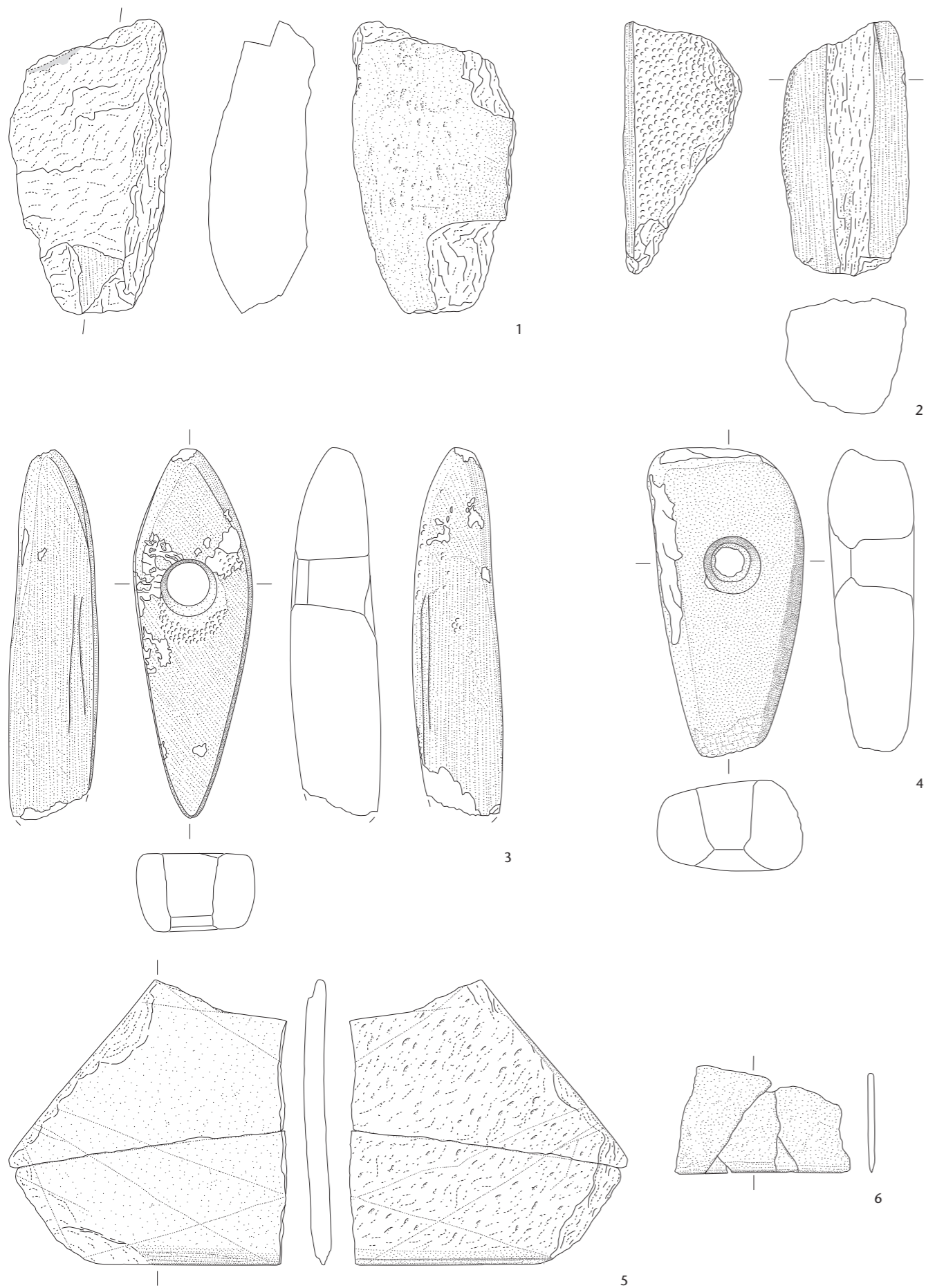
Tafel 100 Cham-Bachgraben. Felsgesteinsartefakte.
Schicht 1 (Horgen): 1-22 Steinbeilklingen. M. 1:2.



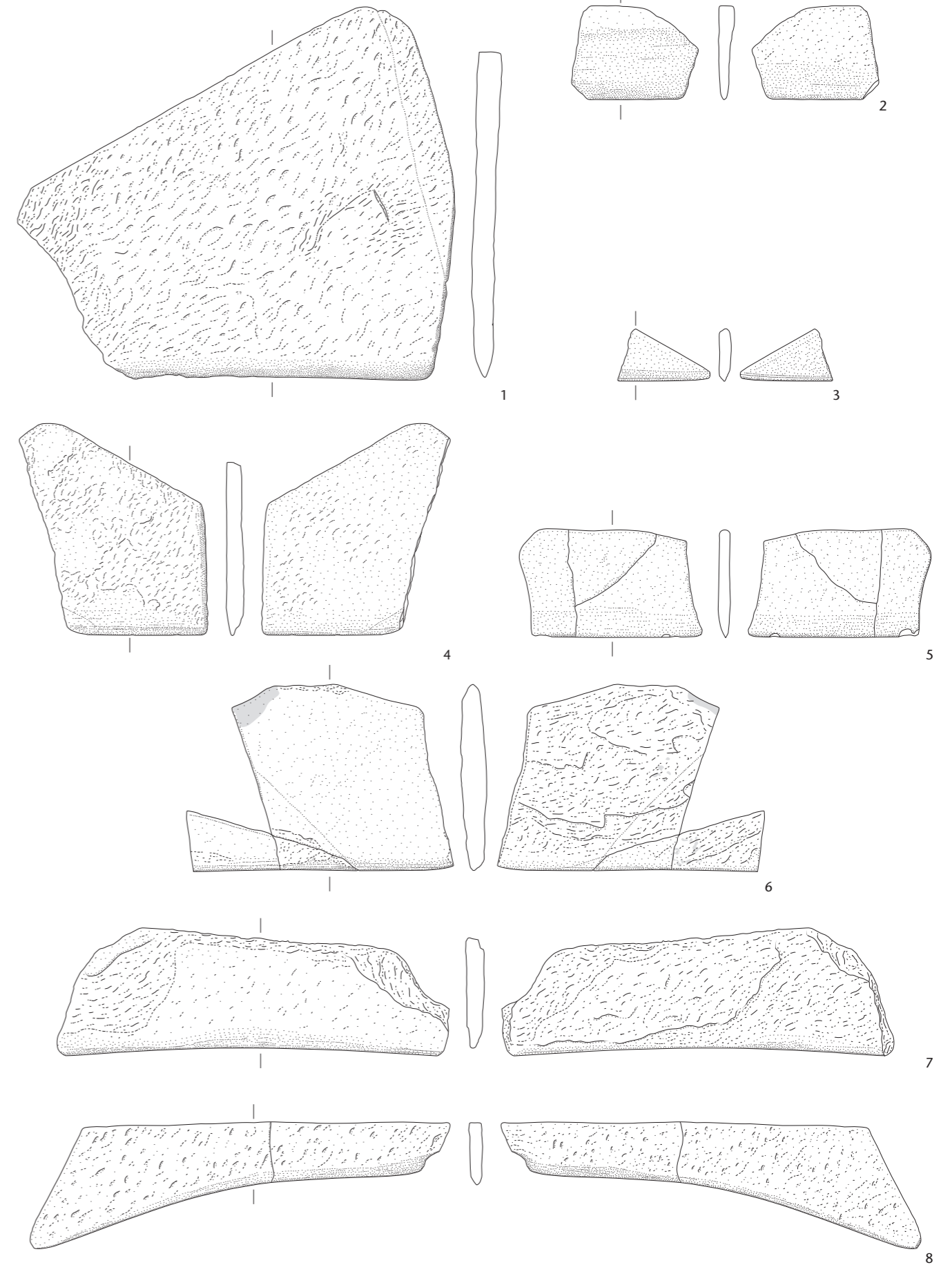
Tafel 101 Cham-Bachgraben. Felsgesteinsartefakte.
 Schicht 1 (Horgen): 1–12 Steinbeilklingen; 13–15 Steinbeilklingenfragmente; 16 Gerät aus Serpentin; 17–21 Produktionsreste Steinbeilklingenherstellung. M. 1:2.



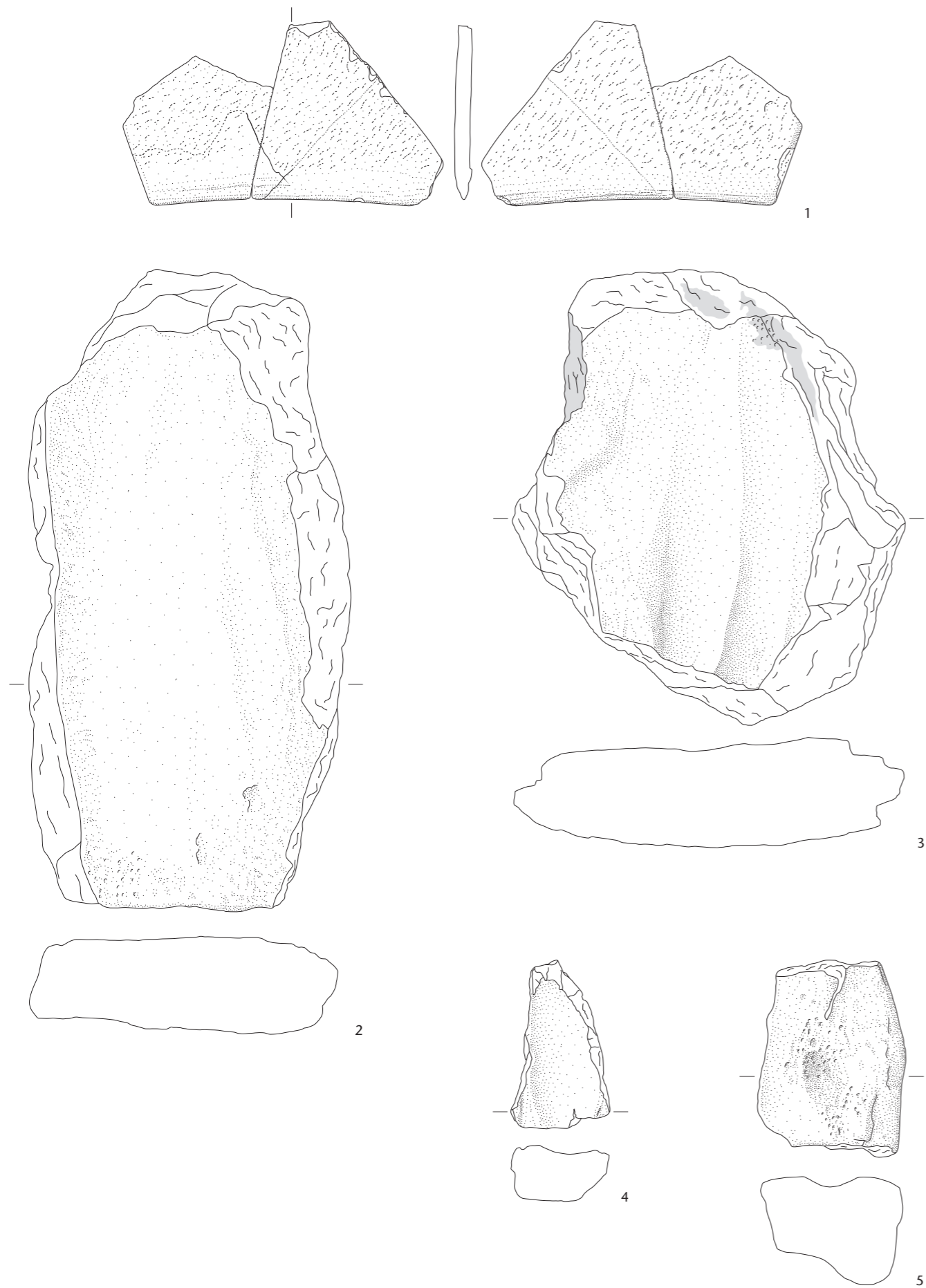
Tafel 102 Cham-Bachgraben. Felsgesteinsartefakte.
 Schicht 1 (Horgen): 1–4 Produktionsreste Steinbeilklingenherstellung. M. 1:2.



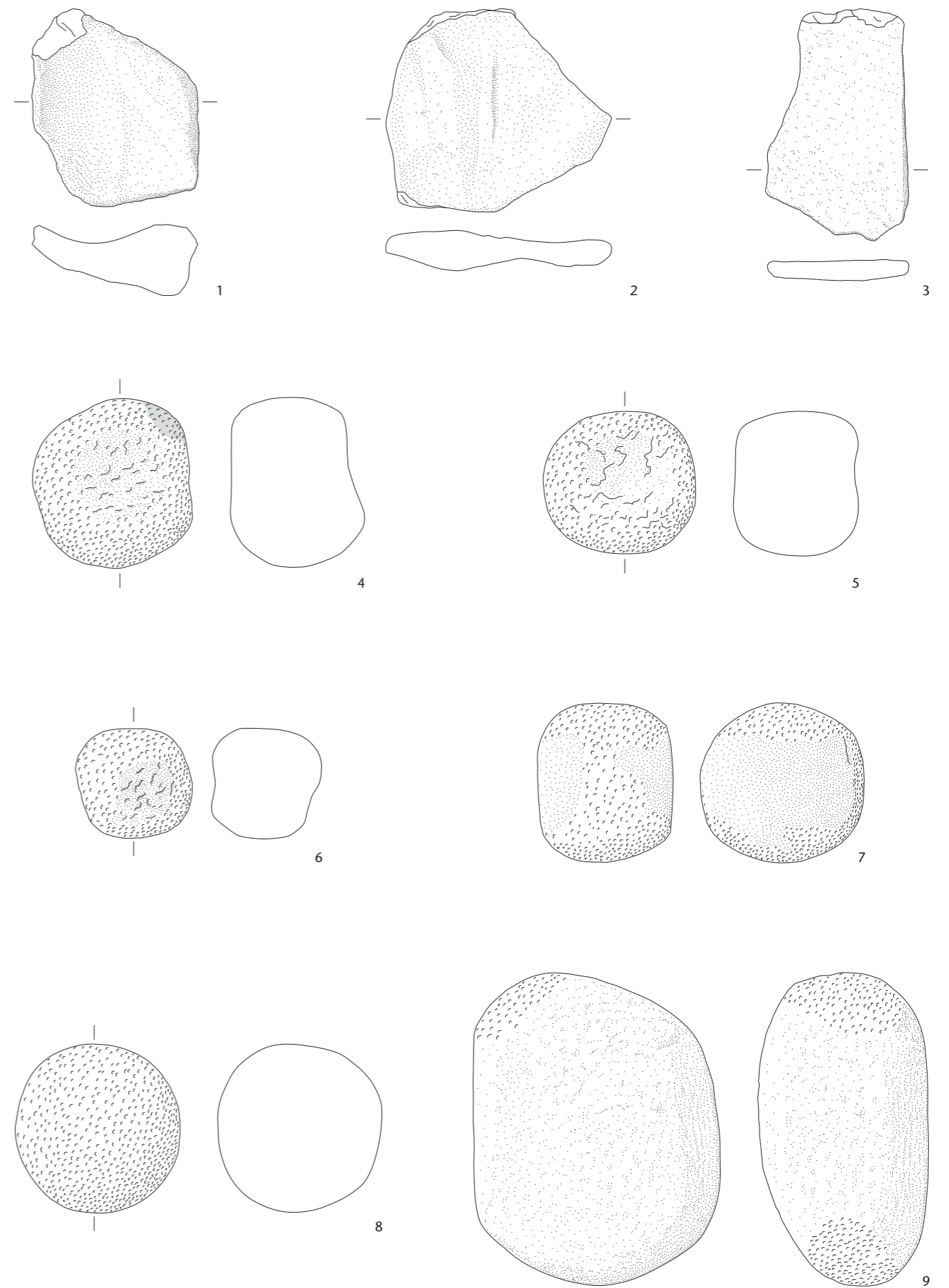
Tafel 103 Cham-Bachgraben. Felsgesteinsartefakte.
 Schicht 1 (Horgen): 1.2 Produktionsreste Steinbeilklingenherstellung; 3 Lochaxtklinge; 4 Produktionsrest Lochaxtklingenherstellung; 5.6 Sägeplättchen. M. 1:2.



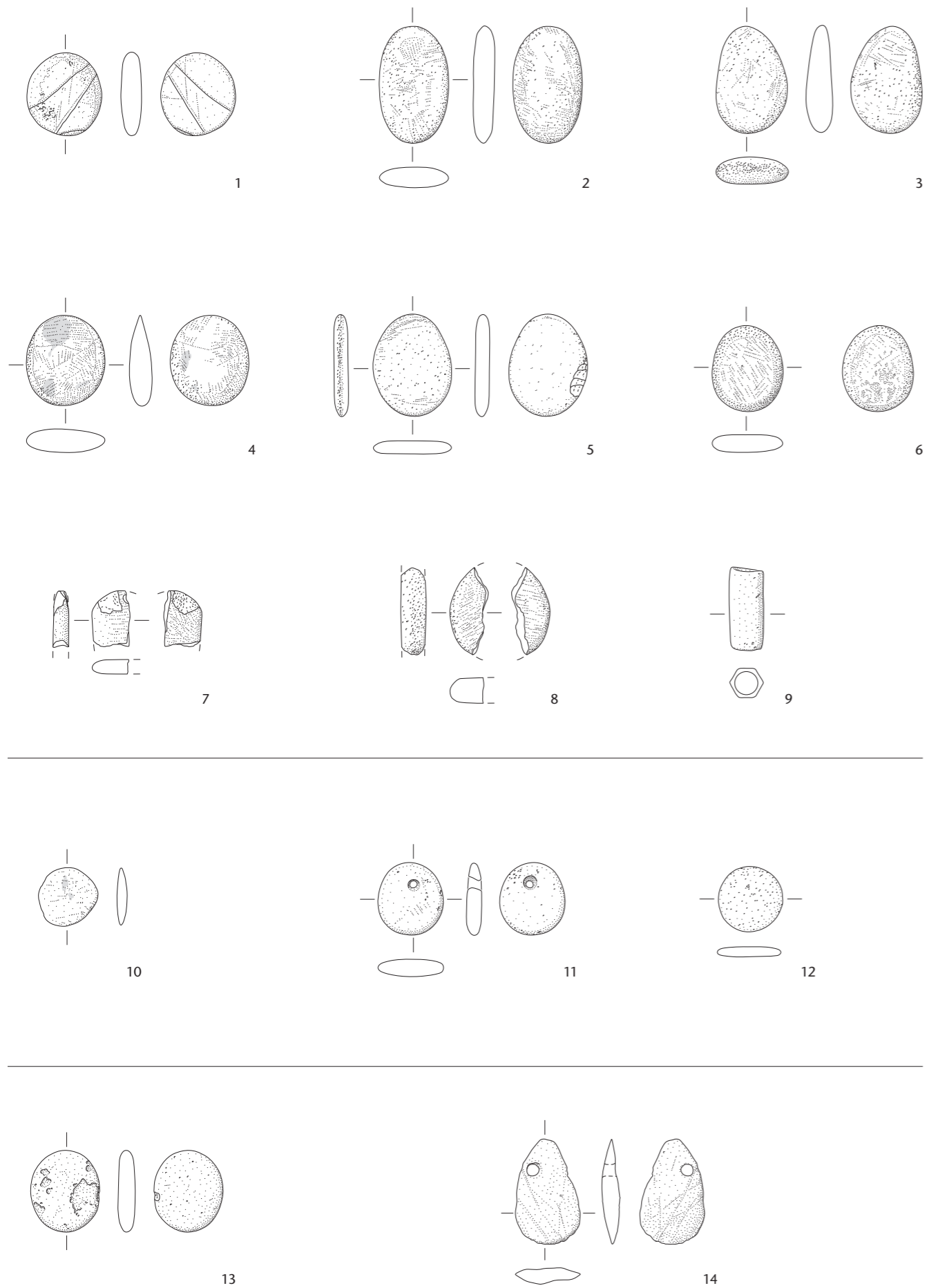
Tafel 104 Cham-Bachgraben. Felsgesteinsartefakte.
 Schicht 1 (Horgen): 1-8 Sägeplättchen. M. 1:2.



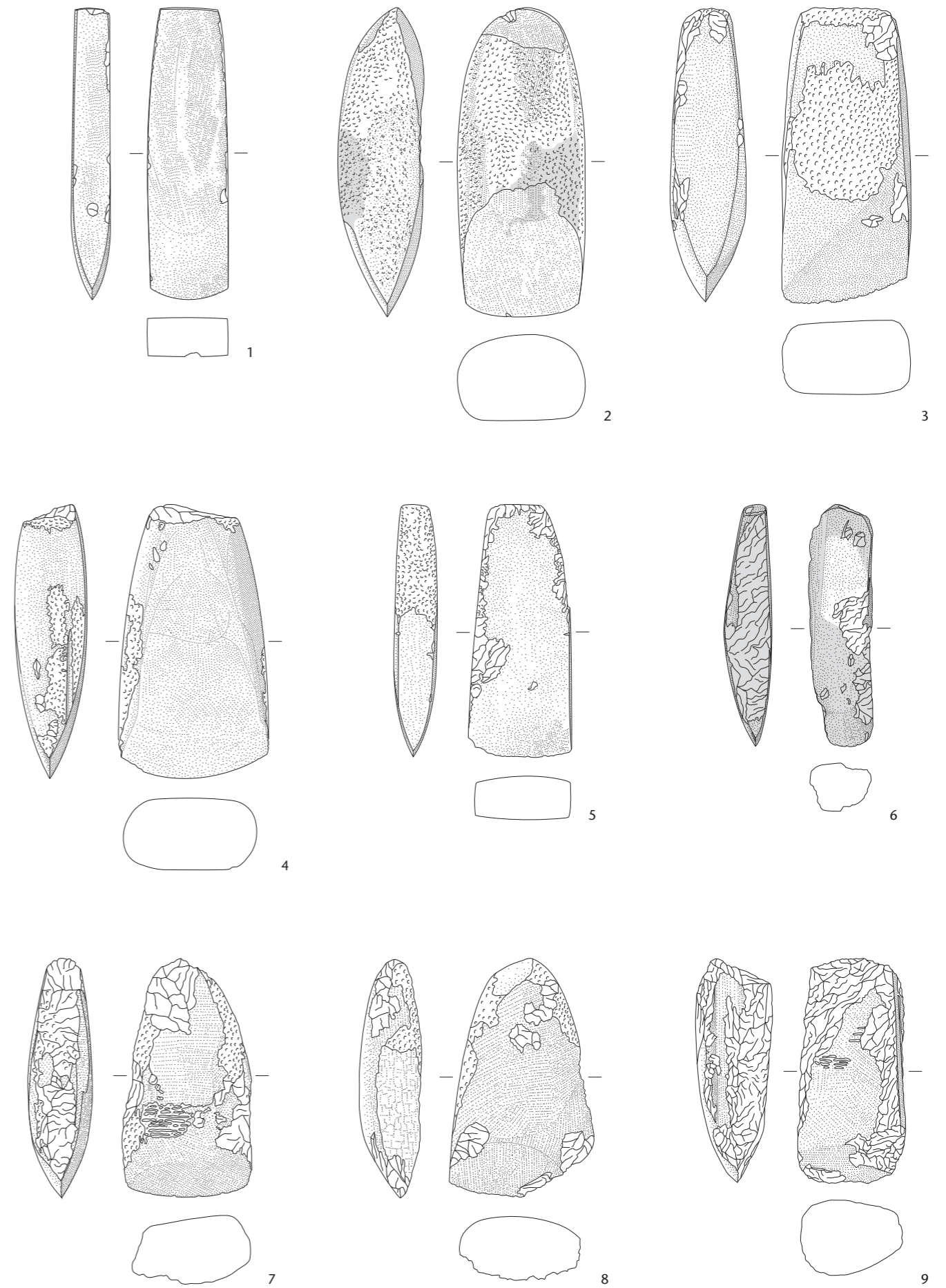
Tafel 105 Cham-Bachgraben. Felsgesteinsartefakte.
Schicht 1 (Horgen): 1 Sägeplättchen; 2-5 Schleifsteine. 1 M. 1:2; 2-5 M. 1:4.



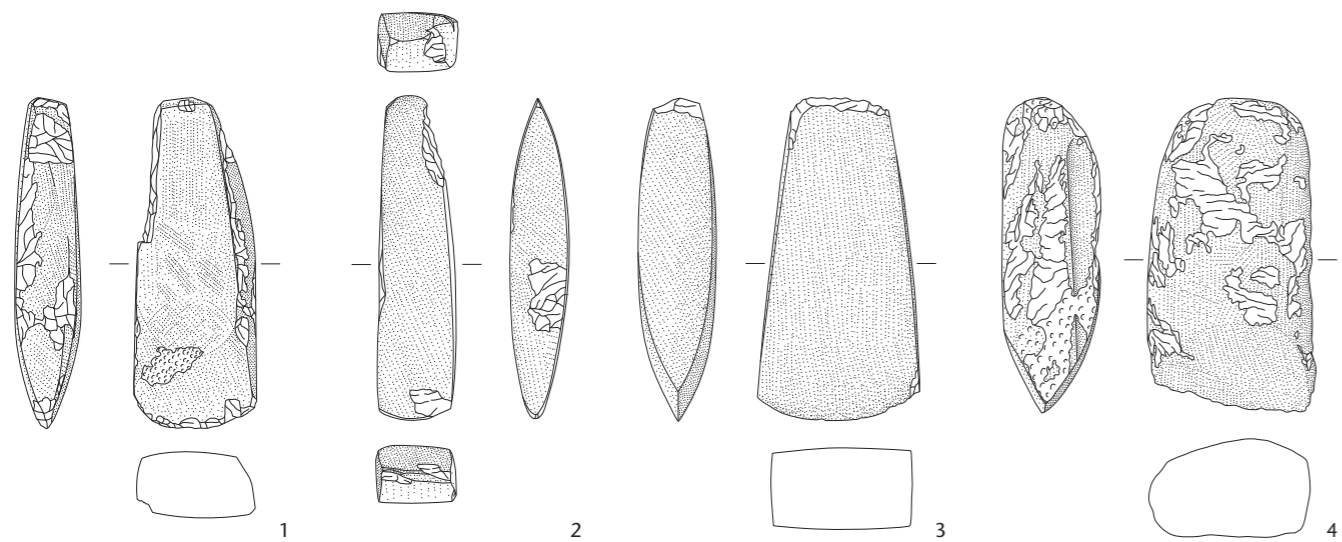
Tafel 106 Cham-Bachgraben. Felsgesteinsartefakte.
Schicht 1 (Horgen): 1-3 Schleifsteine; 4-9 Klopsteine. 1-3 M. 1:4; 4-9 M. 1:2.



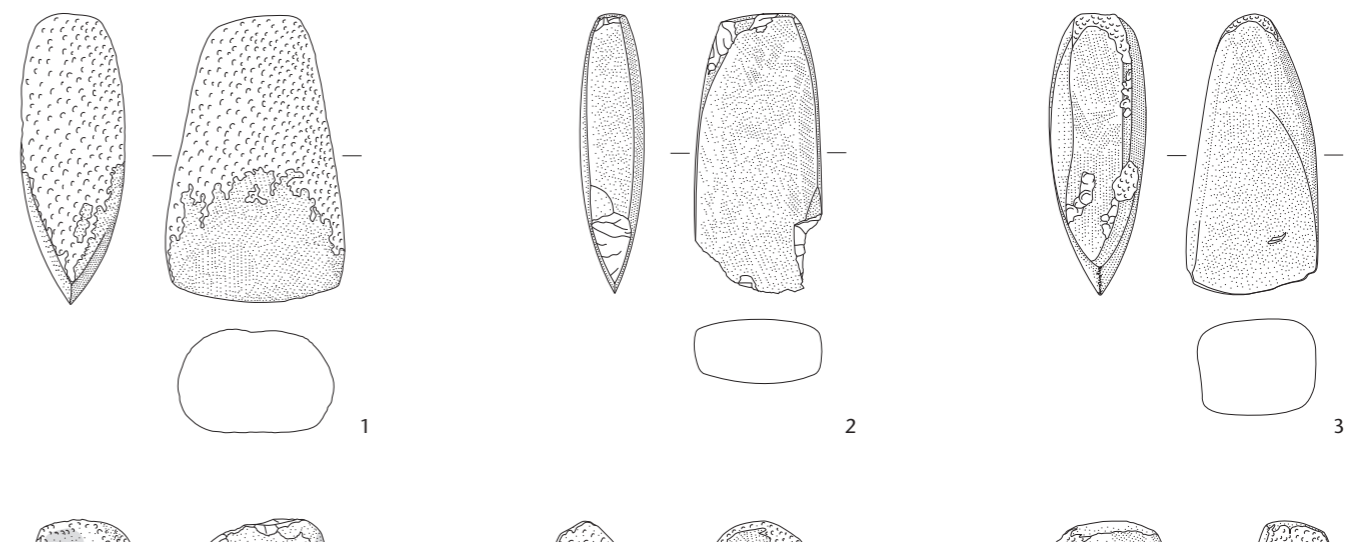
Tafel 107 Cham-Bachgraben. Felsgesteinsartefakte.
 Schicht 1 (Horgen): 1-9 Schmuck. Schicht 1 (vermishtes Schichtinventar): 10-12 Schmuck. Schicht 0.1 (vermishtes Schichtinventar): 13.14 Schmuck. 1-8, 10-14 M. 1:2; 9 M. 1:1.



Tafel 108 Cham-Bachgraben. Felsgesteinsartefakte.
 Schicht 2 (Schnurkeramik): 1-9 Steinbeilklingen. M. 1:2.



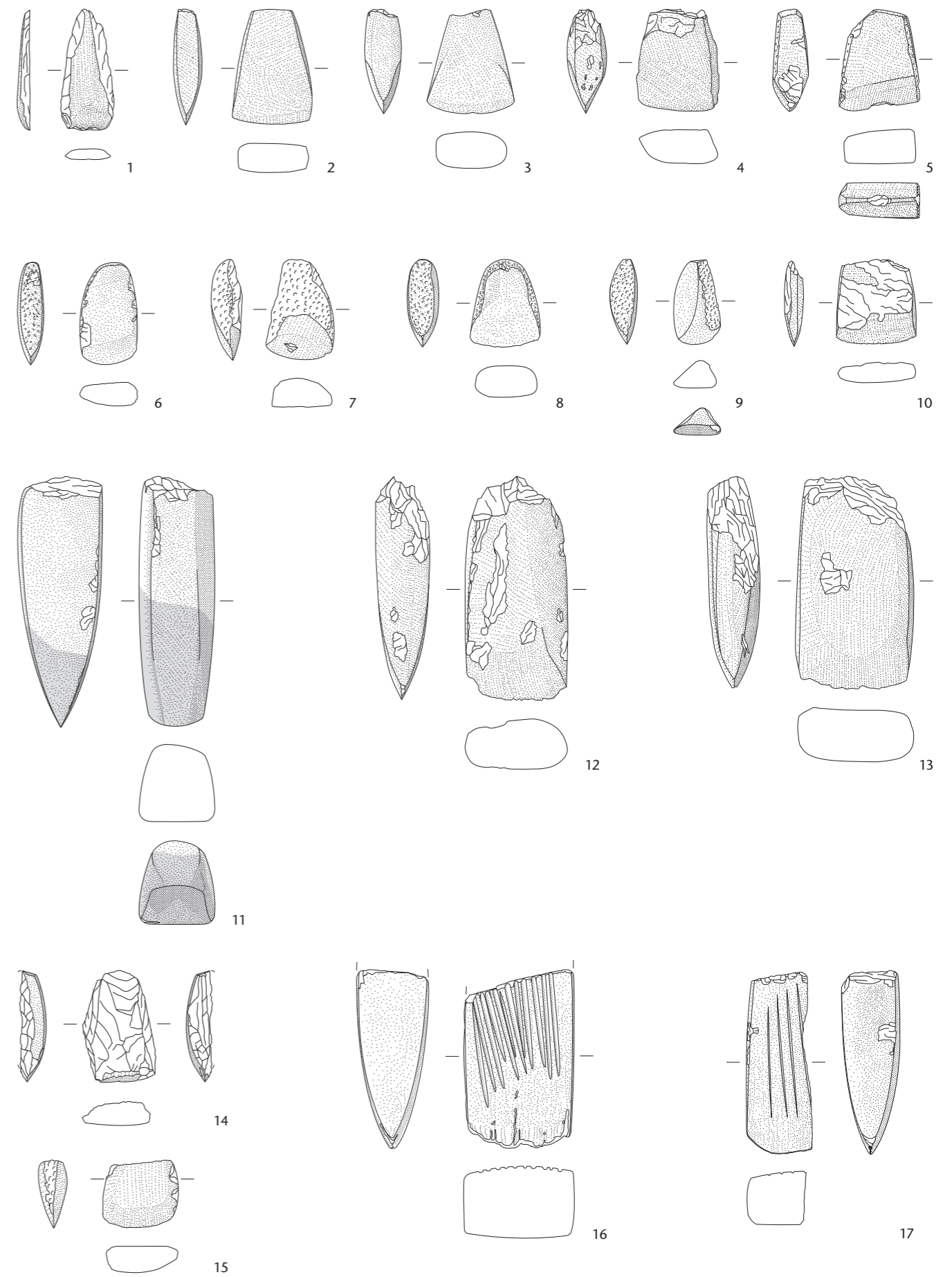
Tafel 109 Cham-Bachgraben. Felsgesteinsartefakte.
Schicht 2 (Schnurkeramik): 1-10 Steinbeilklingen. M. 1:2.



Tafel 110 Cham-Bachgraben. Felsgesteinsartefakte.
Schicht 2 (Schnurkeramik): 1-14 Steinbeilklingen. M. 1:2.



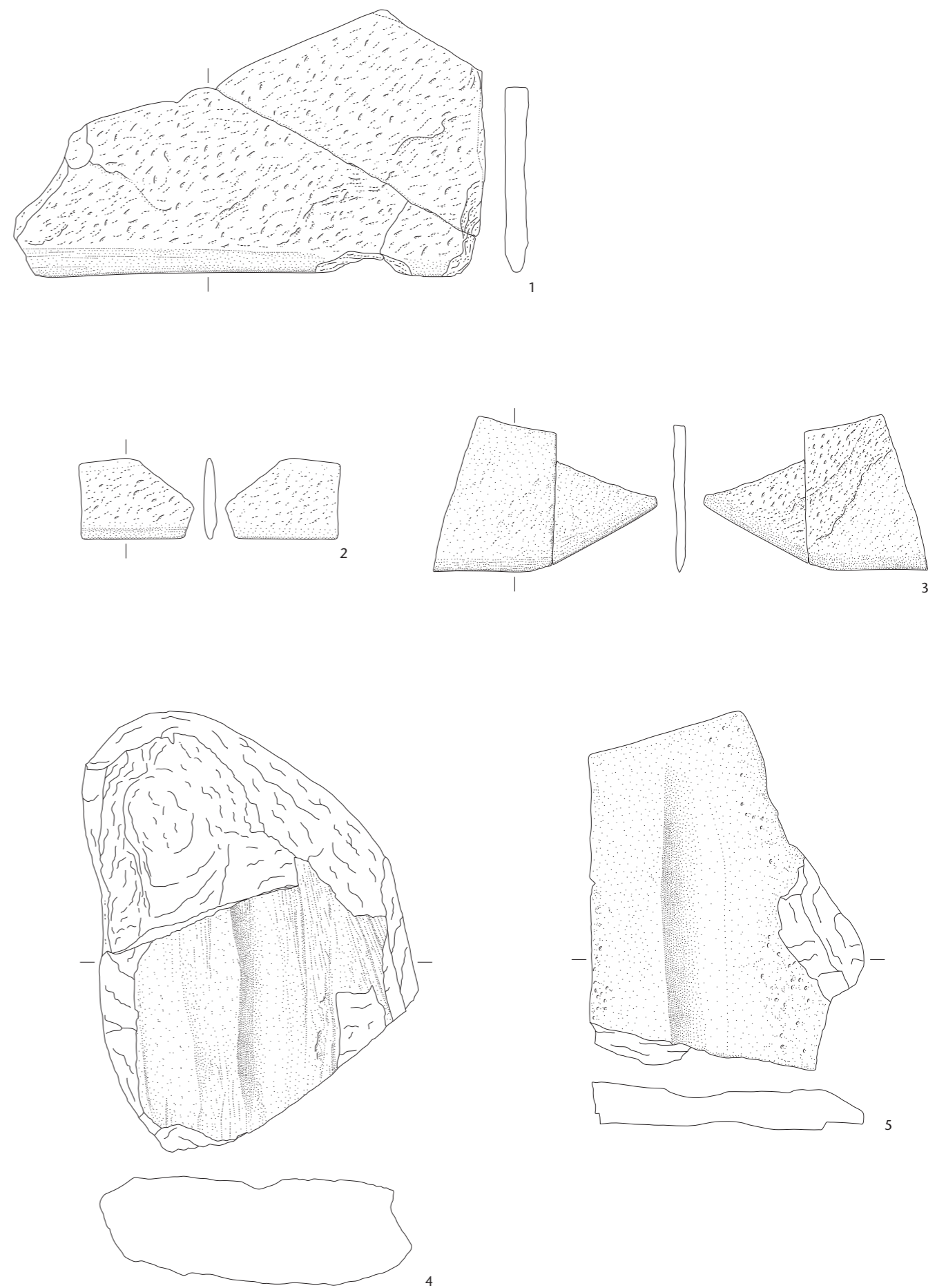
Tafel 111 Cham-Bachgraben. Felsgesteinsartefakte.
Schicht 2 (Schnurkeramik): 1-15 Steinbeilklingen. M. 1:2.



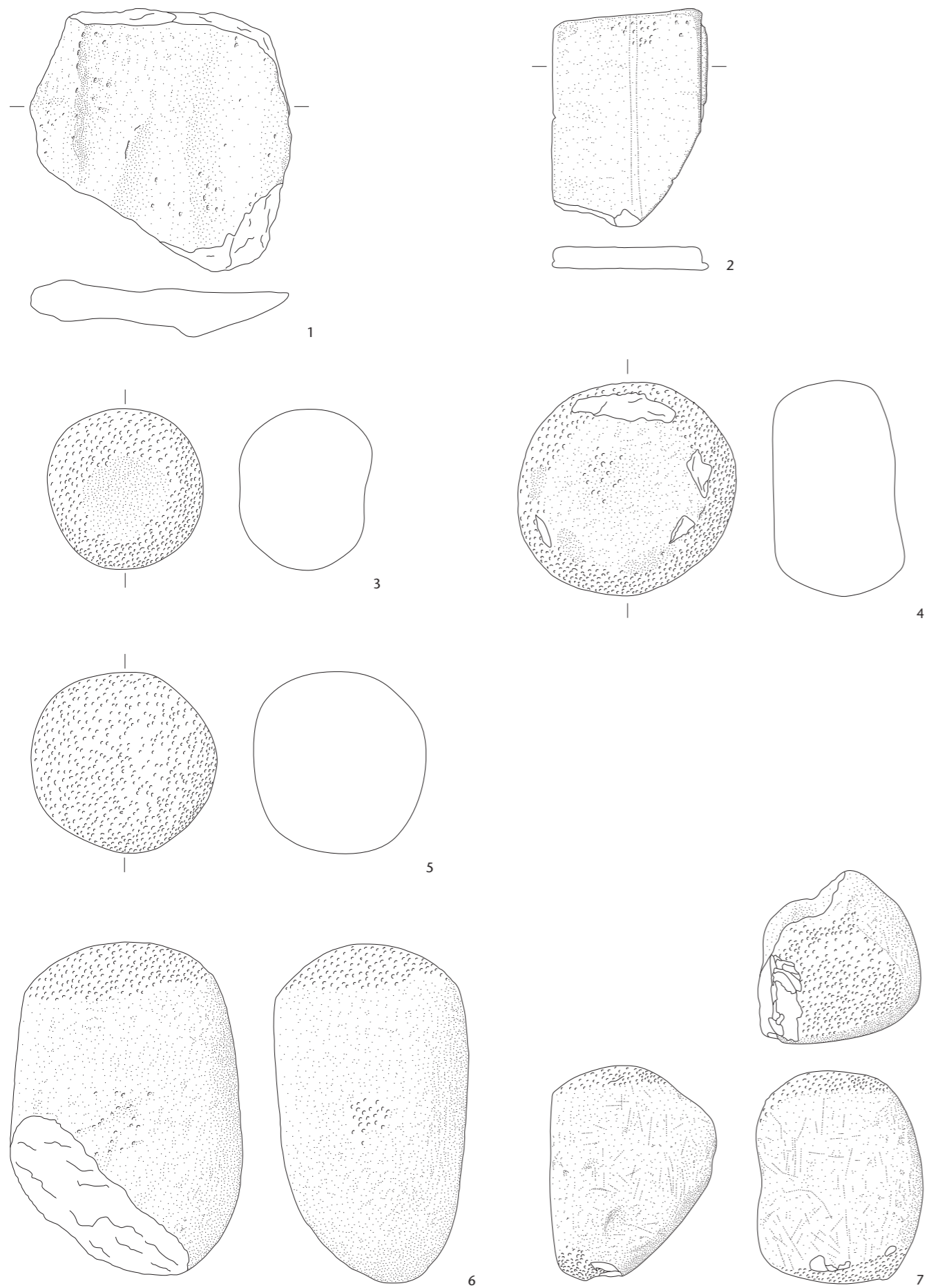
Tafel 112 Cham-Bachgraben. Felsgesteinsartefakte.
Schicht 2 (Schnurkeramik): 1-10 Steinbeilklingen; 11-17 Steinbeilklingenfragmente. M. 1:2.



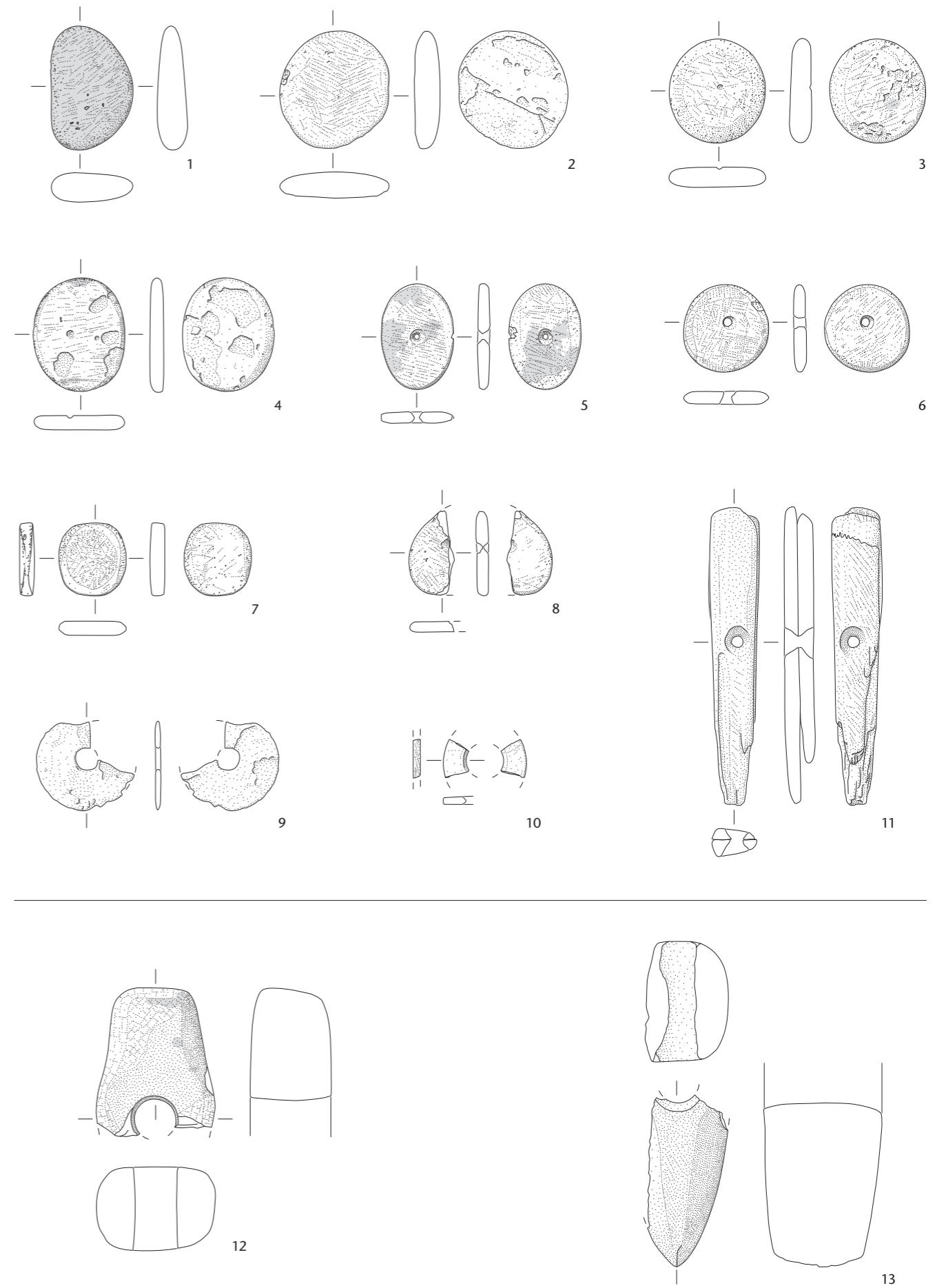
Tafel 113 Cham-Bachgraben. Felsgesteinsartefakte.
 Schicht 2 (Schnurkeramik): 1-6 Produktionsreste Steinbeilklingenherstellung; 7 Lochaxtklingenfragment; 8 Produktionsrest
 Lochaxtklingenherstellung. M. 1:2.



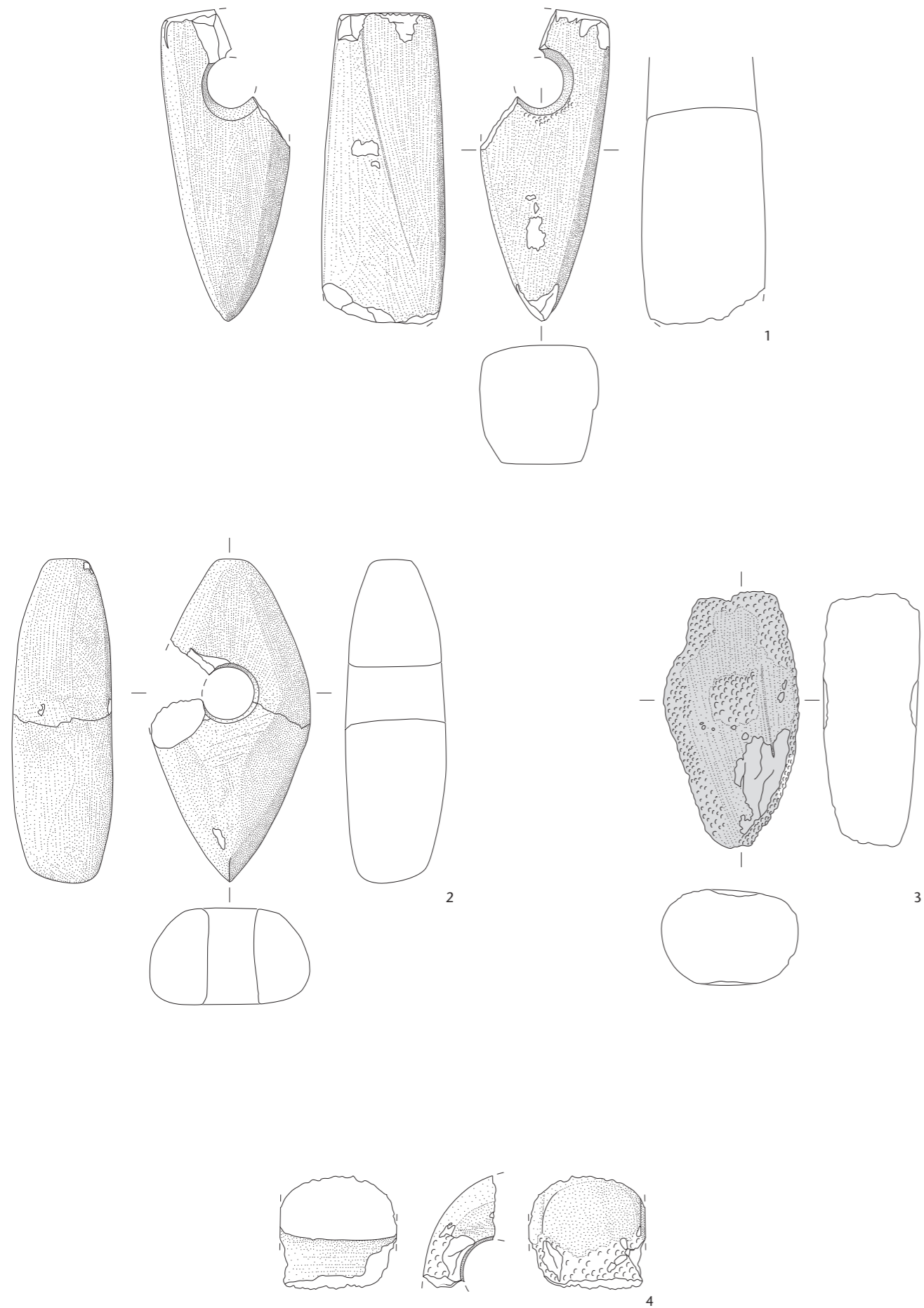
Tafel 114 Cham-Bachgraben. Felsgesteinsartefakte.
 Schicht 2 (Schnurkeramik): 1-3 Sägeplättchen; 4.5 Schleifsteine. 1-3 M. 1:2; 4.5 M. 1:4.



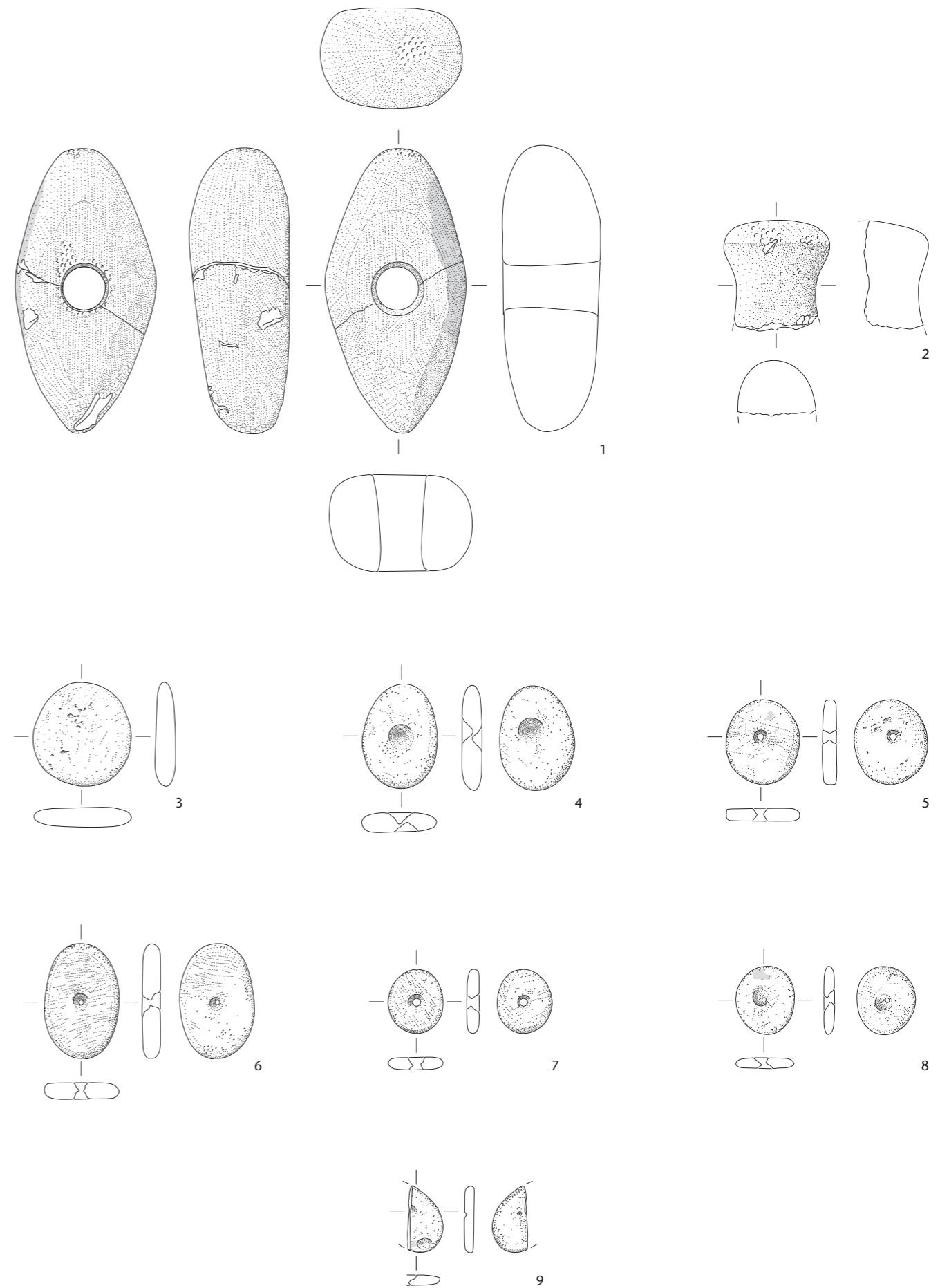
Tafel 115 Cham-Bachgraben. Felsgesteinsartefakte.
 Schicht 2 (Schnurkeramik): 1.2 Schleifsteine; 3-7 Klopffsteine. 1.2 M. 1:4; 3-7 M. 1:2.



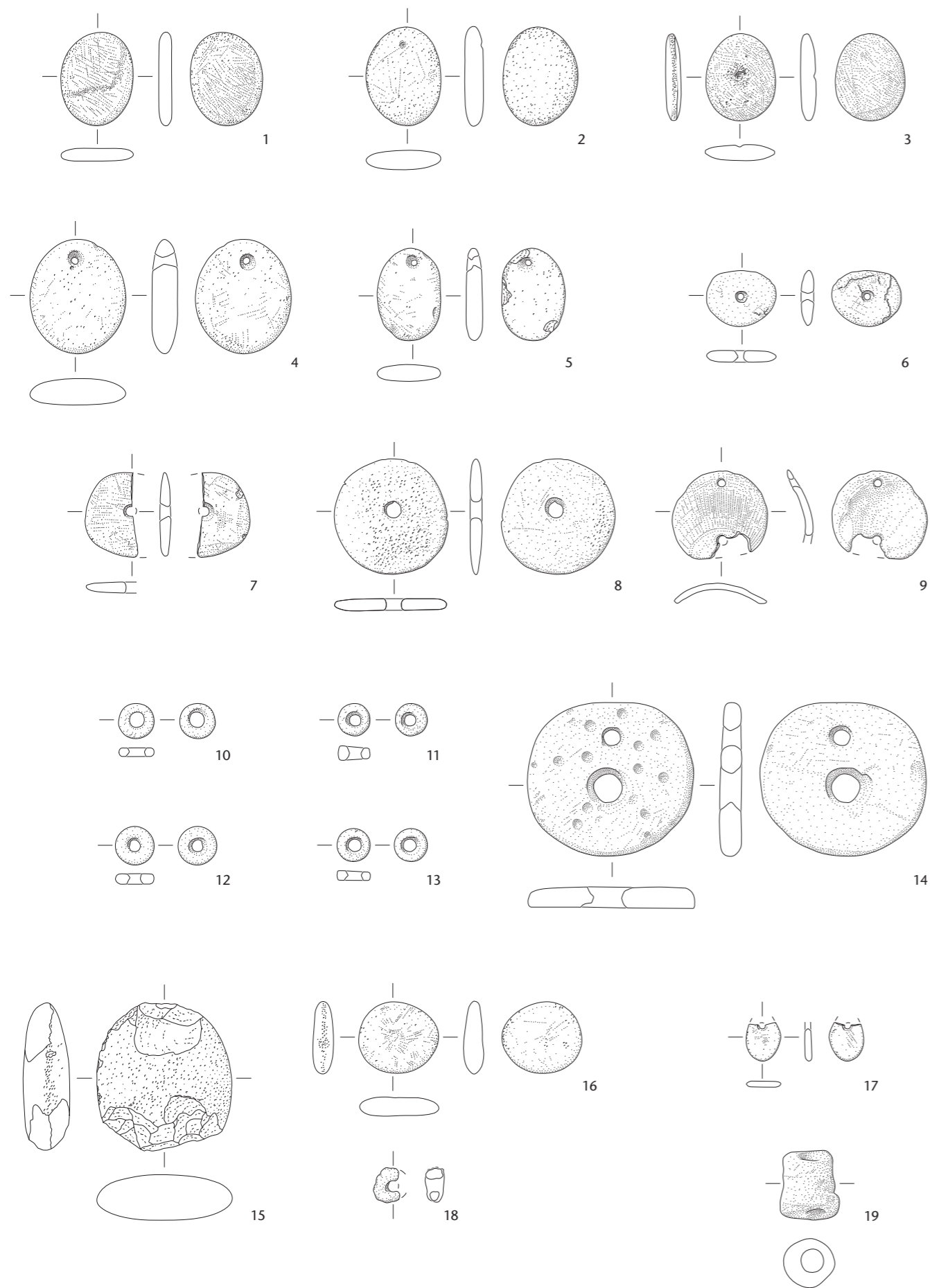
Tafel 116 Cham-Bachgraben. Felsgesteinsartefakte.
 Schicht 2 (Schnurkeramik): 1-11 Schmuck. Schicht 2 (vermishtes Schichtinventar): 12.13 Lochaxtklingenfragmente.
 1-10, 12.13 M. 1:2; 11 M. 1:1.



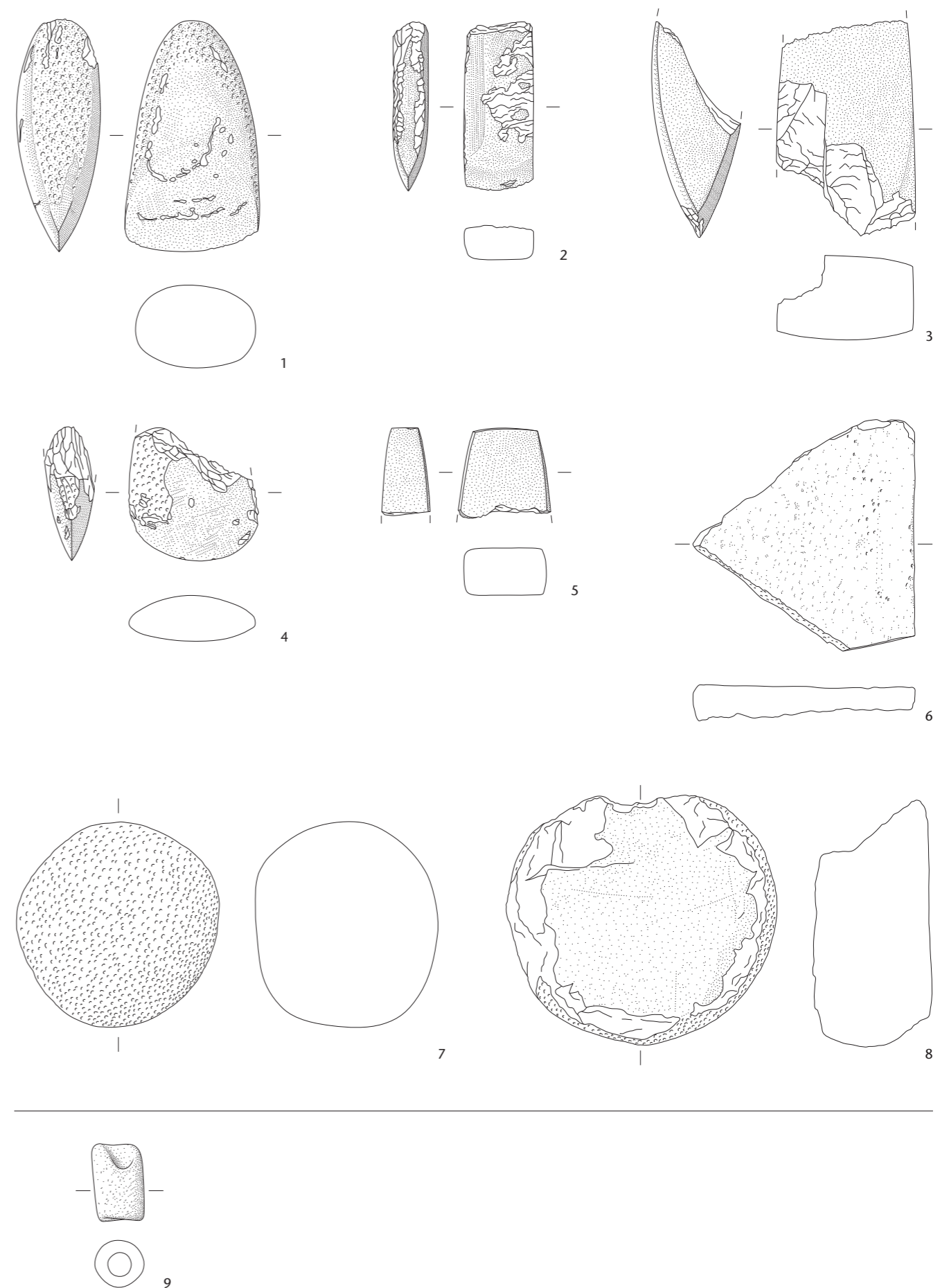
Tafel 117 Cham-Bachgraben. Felsgesteinsartefakte.
 Schicht 2 (vermishtes Schichtinventar): 1.3 Produktionsreste Lochaxtklingenherstellung; 2 Lochaxtklinge; 4 Lochaxtklingenfragment. M. 1:2.



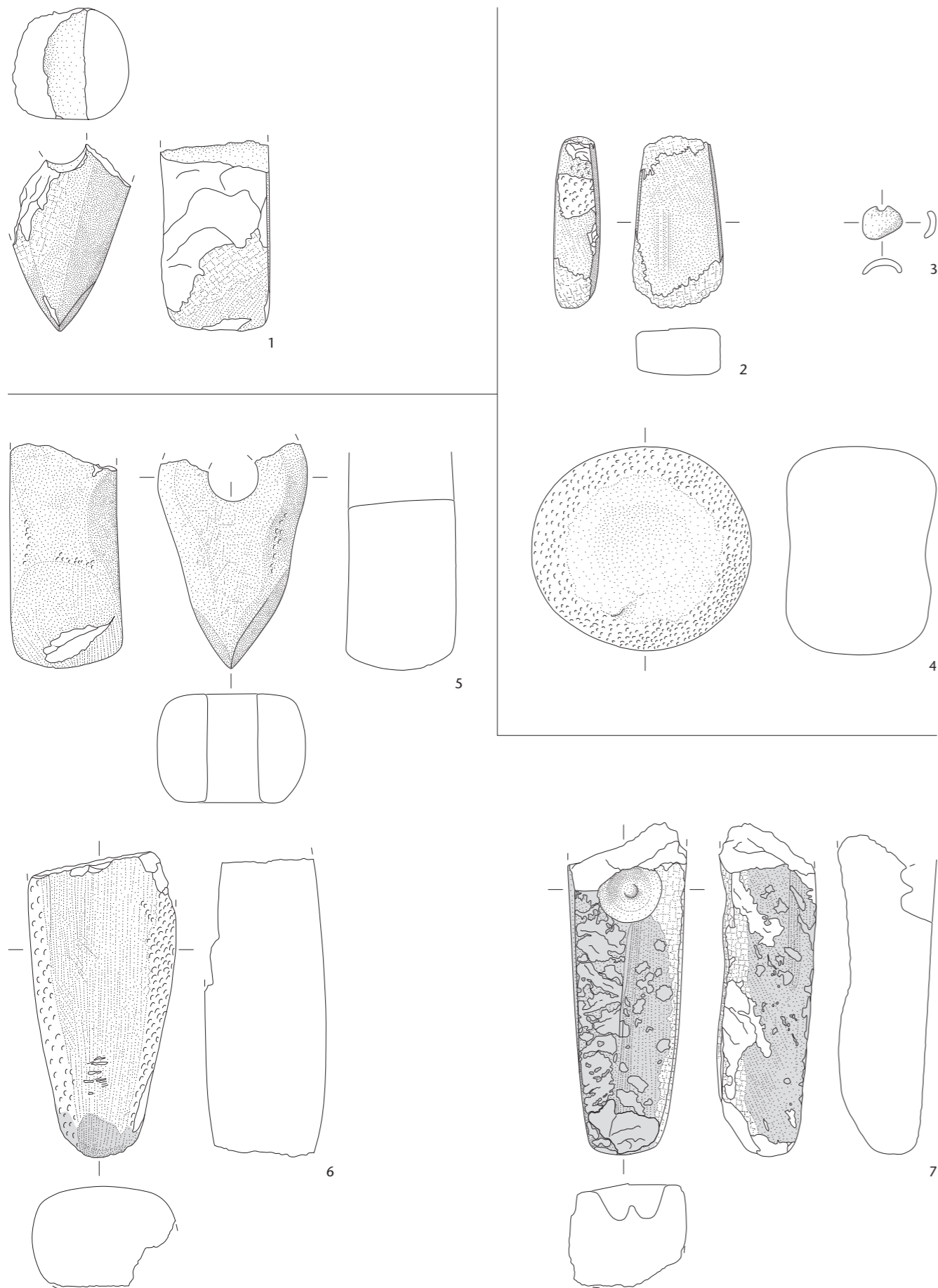
Tafel 118 Cham-Bachgraben. Felsgesteinsartefakte.
 Schicht 2 (vermishtes Schichtinventar): 1 Lochaxtklinge; 2 Lochaxtklingenfragment; 3-9 Schmuck. M. 1:2.



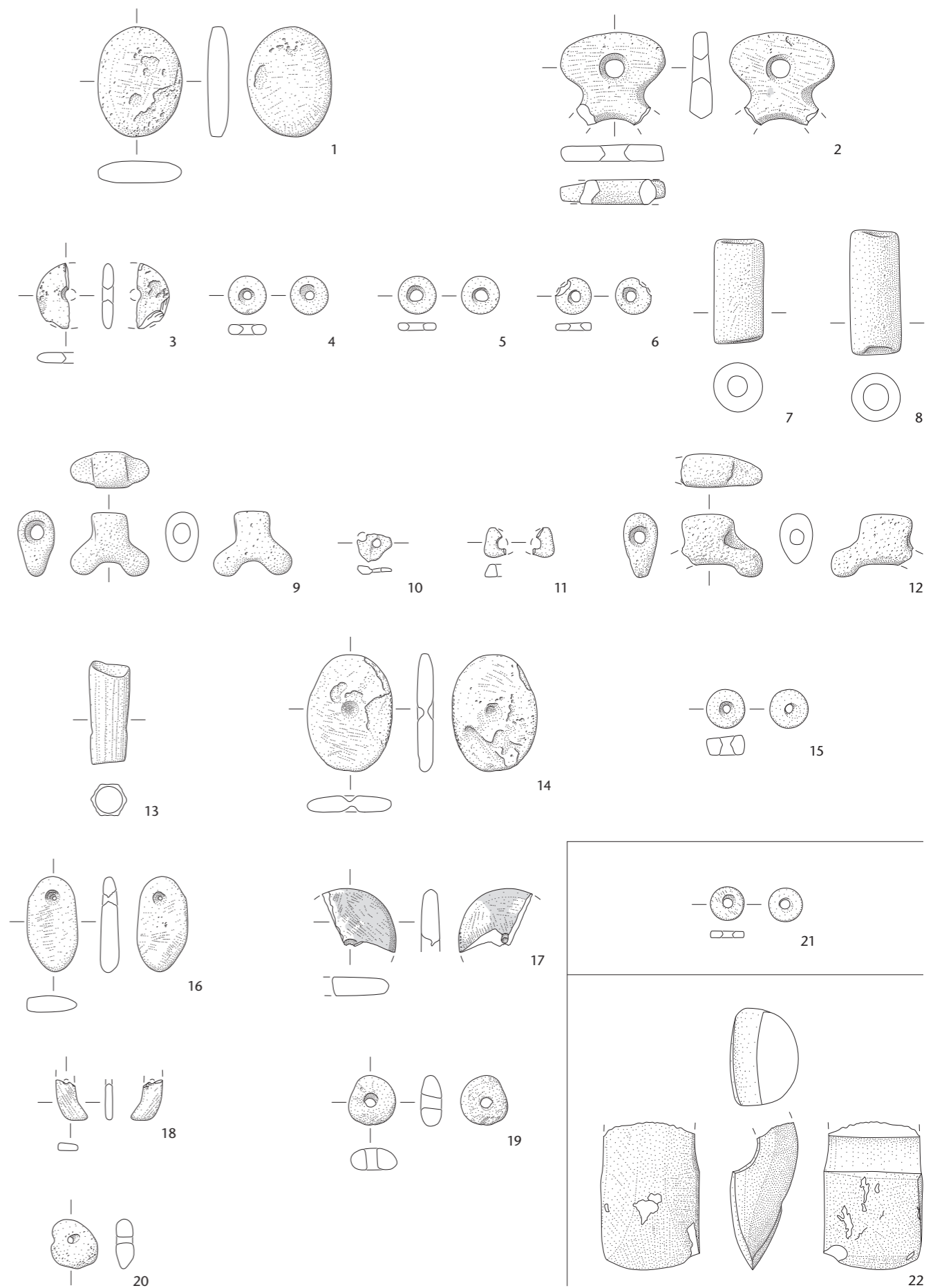
Tafel 119 Cham-Bachgraben. Felsgesteinsartefakte.
 Schicht 2 (vermishtes Schichtinventar): 1-19 Schmuck. 1-9, 15-18 M. 1:2; 10-14, 19 M. 1:1.



Tafel 120 Cham-Bachgraben. Felsgesteinsartefakte.
 Schicht 3 (Früh-/Mittelbronzezeit): 1 Steinbeilklinge; 2-5 Steinbeilklingenfragmente; 6 Schleifstein; 7, 8 Klopffeste.
 Schicht 0.3 (vermishtes Schichtinventar): 9 Schmuck. 1-5, 7, 8 M. 1:2; 6 M. 1:4; 9 M. 1:1.



Tafel 121 Cham-Bachgraben. Felsgesteinsartefakte.
 Schicht 4 (vermishtes Schichtinventar): 1 Lochaxtklingenfragment. Schicht 5 (Früh-/Mittelbronzezeit?): 2 Steinbeilklingenfragment; 3 Schmuck; 4 Klopffstein. Schicht 5 (vermishtes Schichtinventar): 5 Lochaxtklingenfragment; 6, 7 Produktionsreste Lochaxtklingenherstellung. M. 1:2.



Tafel 122 Cham-Bachgraben. Felsgesteinsartefakte.
 Schicht 5 (vermishtes Schichtinventar): 1-20 Schmuck. Streufund: 21 Schmuck. Störung: 22 Lochaxtklingenfragment. 1.3.10.11.14.16-20 M. 1:2; 2.4-9.12.13.15.21 M. 1:1.

4 Silices

Zu Band 2, Kap. V

*Anna Kienholz,
in Zusammenarbeit
mit Jehanne Affolter*

4.1 Katalog Silices

Taf.	Kat.	Typ Modifikation	Spezifische Grundform	Rohmaterial- typ	Patina (Jehanne Affolter)	Hitze- versehrt	Länge (mm)	Breite (mm)	Dicke (mm)	Gewicht (g)	Y-Koord.	X-Koord.	Ereignis	FK	Laufnr.	Feld	Pos.	Passtücke	Schicht
123	1	Pfeilspitze	unbestimmt	101	1a	x	46	14	5	2,7	678518	226512	448	5608	2	91	2524		Schicht 1 (Horgen)
123	2	Pfeilspitze	unbestimmt	102	1a		35	17	6	3	678650	226509	448	12010	3	150	4186		Schicht 1 (Horgen)
123	3	Pfeilspitze	unbestimmt	102	1a	x	34	15	5	2,4	678566	226512	448	8949	1	123	3730		Schicht 1 (Horgen)
123	4	Pfeilspitze	unbestimmt	359			32	19	6	2,6	678511	226508	448	5169	3	98	2565		Schicht 1 (Horgen)
123	5	Pfeilspitze	unbestimmt	645			24	19	5	1,9	678545	226508	448	7342	3	92	3211		Schicht 1 (Horgen)
123	6	Pfeilspitze	Abschlag	102	1a		24	19	4	1,7	678506	226503	448	3689	10	90	2143		Schicht 1 (Horgen)
123	7	Pfeilspitze	unbestimmt	311	1a	x	21	16	5	1,8	678639	226505	448	12167	6	150	2939		Schicht 1 (Horgen)
123	8	Pfeilspitze	unbestimmt	627			21	16	4	1,3	678578	226511	448	9591	2	123	3816		Schicht 1 (Horgen)
123	9	Pfeilspitze	unbestimmt	1	1b	x	19	13	4	0,7	678560	226504	448	8367	4	113	3254		Schicht 1 (Horgen)
123	10	Pfeilspitze	unbestimmt	101	1a		31	16	5	1,9	678541	226512	448	7071	2	120	3475		Schicht 1 (Horgen)
123	11	Pfeilspitze	unbestimmt	207			26	16	4	1,4	678581	226499	448	9744	11	131	3795		Schicht 1 (Horgen)
123	12	Pfeilspitze	unbestimmt	627			23	16	5	1,5	678527	226502	448	6535	3	113	3254		Schicht 1 (Horgen)
123	13	Pfeilspitze	unbestimmt	Bergkristall			19	21	4	1,5	678535	226507	448	7591	5	92	3541		Schicht 1 (Horgen)
123	14	Pfeilspitze	unbestimmt	102	1a	x	18	15	3	1	678520	226510	448	5825	5	91	2524		Schicht 1 (Horgen)
123	15	Pfeilspitze	unbestimmt	Bergkristall			21	14	4	1,3	678607	226509	448	10637	2	92	3211		Schicht 1 (Horgen)
123	16	Pfeilspitze	unbestimmt	102	1a	x	39	22	5	3,6	678637	226505	448	12167	4	150	2939		Schicht 1 (Horgen)
123	17	Lateralretuschierte Grundform	Klinge	102	1a		84	25	8	16,1	678534	226510	448	6780	3	117	3297		Schicht 1 (Horgen)
123	18	Lateralretuschierte Grundform	Klinge	101			78	28	6	17,4	678598	226502	448	10288	1	132	3870		Schicht 1 (Horgen)
123	19	Lateralretuschierte Grundform	Klinge	146/002-A	Moor		65	18	5	8,8	678511	226504	448	6047	2	99	2939		Schicht 1 (Horgen)
124	1	Lateralretuschierte Grundform	Klinge	102	1a		70	34	7	18,5	678583	226513	448	9770	2	123	3816		Schicht 1 (Horgen)
124	2	Lateralretuschierte Grundform	Klinge	359			60	21	11	14,7	678558	226504	448	8363	15	113	3281		Schicht 1 (Horgen)
124	3	Lateralretuschierte Grundform	Lamelle	102			29	11	4	1,8	678638	226505	448	12167	5	150	2939		Schicht 1 (Horgen)
124	4	Lateralretuschierte Grundform	Abschlag	101	Moor + 1b		73	36	7	18,3	678536	226506	448	7597	1	92	3541		Schicht 1 (Horgen)
124	5	Lateralretuschierte Grundform	Abschlag	102	1b		47	27	9	9,8	678627	226511	448	5668	2	97	2809		Schicht 1 (Horgen)
124	6	Lateralretuschierte Grundform	Abschlag	102	1a		44	23	8	8,3	678512	226506	448	5171	2	98	2565		Schicht 1 (Horgen)
124	7	Lateralretuschierte Grundform	Abschlag	645		x	45	30	15	21,2	678653	226508	448	12049	6	150	4186		Schicht 1 (Horgen)
124	8	Lateralretuschierte Grundform	Abschlag	399			41	37	7	14,8	678561	226504	448	8379	3	113	3254		Schicht 1 (Horgen)
124	9	Lateralretuschierte Grundform	Abschlag	Bergkristall			28	16		2,9	678559	226504	448	8363	17	113	3281		Schicht 1 (Horgen)
124	10	Lateralretuschierte Grundform	Abschlag	1		x	22	10	4	1	678512	226506	448	5656	3	98	2561		Schicht 1 (Horgen)
124	11	Klinge mit lateralen und ventralen Schäftungsretuschen	Klinge	146/002-H			93	35	7	28	678524	226513	448	8996	1	123	3730		Schicht 1 (Horgen)
124	12	Klinge mit lateralen und ventralen Schäftungsretuschen	Klinge	102			86	28	9	26,7	678569	226510	448	9076	1	123	3730		Schicht 1 (Horgen)
125	1	Klinge mit lateralen und ventralen Schäftungsretuschen	Kernkantenklinge	102	1a	x	79	30	14	34,9	678513	226511	448	2605	7	69	1546		Schicht 1 (Horgen)
125	2	Klinge mit lateralen und ventralen Schäftungsretuschen	Klinge	146/002-D		x	66	20	8	11,7	678577	226511	448	9588	2	123	3816		Schicht 1 (Horgen)
125	3	Klinge mit lateralen und ventralen Schäftungsretuschen	Klinge	102	Moor	x	33	30	5	7,8	678599	226501	448	10347	1	131	3867		Schicht 1 (Horgen)
125	4	Klinge mit lateralen und ventralen Schäftungsretuschen	Kernkantenklinge	102	1a	x	35	17	6	5,7	678521	226503	448	6340	4	113	3290		Schicht 1 (Horgen)
125	5	Kratzer	Abschlag	102	Moor + 1a	x	59	31	8	18,8	678511	226505	448	5837	1	98	2561		Schicht 1 (Horgen)
125	6	Kratzer	Kernkantenabschlag	146/002-A			37	32	12	18,5	678533	226512	448	6772	1	117	3297		Schicht 1 (Horgen)
125	7	Kratzer	Abschlag	102			33	30	8	9,5	678507	226504	448	3791	3	90	2143		Schicht 1 (Horgen)
125	8	Kratzer	Abschlag	146/002-E			29	13	15	8	678544	226505	448	7260	5	92	3211		Schicht 1 (Horgen)
125	9	Kratzer	Abschlag	146/002			17	19	6	2,3	678588	226504	448	9898	23	131	3796		Schicht 1 (Horgen)
125	10	Kratzer	Abschlag	Bergkristall			13	15	8	1,6	678511	226506	448	5551	5	98	2561		Schicht 1 (Horgen)
125	11	Kratzer	Abschlag	146/002-E			12	12	8	1,4	678563	226507	448	8463	4	92	3467		Schicht 1 (Horgen)
125	12	Kratzer	Abschlag	Bergkristall			12	10	5	0,6	678518	226512	448	5684	2	91	2524		Schicht 1 (Horgen)
125	13	Endretuschierte Grundform	Klinge	146/002-E	1a		33	14	6	2,7	678651	226507	448	12020	2	149	4244		Schicht 1 (Horgen)
125	14	Endretuschierte Grundform	Klinge	146/002-F			24	13	4	1,4	678526	226513	448	5763	4	97	2809		Schicht 1 (Horgen)
125	15	Endretuschierte Grundform	Lamelle	646		x	23	9	3	0,8	678585	226504	448	9851	6	131	3867		Schicht 1 (Horgen)
125	16	Endretuschierte Grundform	Abschlag	Bergkristall			19	10	5	1	678647	226499	448	11769	1	152	4214		Schicht 1 (Horgen)
126	1	Spitze	Klinge	102	1a		73	23	7	12,1	678513	226499	448	5083	4	99	2522		Schicht 1 (Horgen)
126	2	Spitze	Klinge	146/002-H			59	17	6	6,2	678570	226510	448	9079	3	123	3730		Schicht 1 (Horgen)
126	3	Spitze	Klinge	102	2b	x	53	23	5	6,2	678512	226504	448	6115	5	99	2939		Schicht 1 (Horgen)
126	4	Spitze	Abschlag	311	1a	x	38	27	8	8,2	678529	226500	448	6657	2	113	3254		Schicht 1 (Horgen)
126	5	Spitze	Klinge	645	Moor		38	13	5	2,9	678519	226502	448	6964	1	113	3299		Schicht 1 (Horgen)
126	6	Spitze	Abschlag	Bergkristall			26	22	8	3,6	678580	226511	448	9647	6	123	3816		Schicht 1 (Horgen)
126	7	Spitze	Abschlag	Bergkristall			23	15	5	1,8	678606	226504	448	10552	5	132	3962		Schicht 1 (Horgen)
126	8	Spitze	Abschlag	146/002-C			25	10	3	0,8	678537	226510	448	7616	1	120	3475		Schicht 1 (Horgen)
126	9	Bohrer	Abschlag	359		x	26	10	9	2,8	678543	226503	448	7231	2	113	3281		Schicht 1 (Horgen)
126	10	Bohrer	Abschlag	622			22	10	9	1,7	678511	226502	448	4982	1	99	2560		Schicht 1 (Horgen)
126	11	Bohrer	Abschlag	359		x	21	16	6	2	678565	226504	448	8469	9	113	3281		Schicht 1 (Horgen)
126	12	Bohrer	Klinge	101	1a	x	19	7	5	0,8	678646	226505	448	11735	5	149	4217		Schicht 1 (Horgen)
126	13	Bohrer	Abschlag	146/002-I			24	10	5	1	678596	226504	448	10219	7	131	3872		Schicht 1 (Horgen)
126	14	Bohrer	Abschlag	162			24	12	12	3	678511	226500	448	4993	7	99	2560		Schicht 1 (Horgen)
126	15	Bohrer	unbestimmt	359			21	11	6	1,4	678542	226508	448	7203	4	92	3473		Schicht 1 (Horgen)
126	16	Bohrer	Abschlag	645	Moor		17	11	4	0,7	678708	226499	448	10483	4	132	3870		Schicht 1 (Horgen)
126	17	Bohrer	Abschlag	146/002-A			15	12	6	0,8	678707	226513	448	5427	3	97	2564		Schicht 1 (Horgen)
126	18	Bohrer	Abschlag	102	1a	x	18	12	3	0,5	678530	226513	448	6685	4	117	3297		Schicht 1 (Horgen)
126	19	Kerbstück	Abschlag	102	1b		40	22	9	5,2	678511	226504	448	5977	2	99	2854		Schicht 1 (Horgen)
126	20	Kerbstück	Abschlag	146/002-H			27	27	5	4,1	678520	226511	448	5826	2	91	2524		Schicht 1 (Horgen)
126	21	Kombinationsgerät	Abschlag	666			26	12	8	2,6	678594	226501	448	10021	8	131	3795		Schicht 1 (Horgen)
127	1	Ausgesplittertes Stück	Abschlag	645			28	45	11	13,3	678513	226505	448	5299	4	98	2854		Schicht 1 (Horgen)
127	2	Ausgesplittertes Stück	Abschlag	666			28	31	12	9,6	678507	226501	448	3570	12	90	2143		Schicht 1 (Horgen)
127	3	Ausgesplittertes Stück	Abschlag	646			25	16	6	3	678526	226513	448	5373	4	97	2564		Schicht 1 (Horgen)
127	4	Ausgesplittertes Stück	Abschlag	101		x	23	26	7	5,8	678597	226502	448	10240	1	132	3870		Schicht 1 (Horgen)
127	5	Ausgesplittertes Stück	Abschlag	359			18	20	8	2,7	678512	226506	448	5546	2	98	2561		Schicht 1 (Horgen)
127	6	Feuerschlagstein	Klinge	102	1a	x	57	22	7	8	678579	226512	448	9595	8	123	3816		Schicht 1 (Horgen)
127	7	Feuerschlagstein	Klinge	102	1a		37	17	6	5,7	678508	226499	448	3672	2	90	2143		Schicht 1 (Horgen

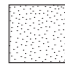




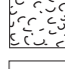



Taf.	Kat.	Typ Modifikation	Spezifische Grundform	Rohmaterial- typ	Patina (Jehanne Afolter)	Hitze- versehrt	Länge (mm)	Breite (mm)	Dicke (mm)	Gewicht (g)	Y-Koord.	X-Koord.	Ereignis	FK	Laufnr.	Feld	Pos.	Passtücke	Schicht
128	2	Pfeilspitze	unbestimmt	146/002-A			28	17	5	2,2	678554	226510	448	8204	11	125	3630		Schicht 2 (Schnurkeramik)
128	3	Pfeilspitze	unbestimmt	146/002-A	Moor		26	19	5	2	678516	226510	448	6408	14	117	3163		Schicht 2 (Schnurkeramik)
128	4	Pfeilspitze	unbestimmt	101	1a	x	19	19	5	1,1	678636	226505	448	11572	10	150	4173		Schicht 2 (Schnurkeramik)
128	5	Pfeilspitze	unbestimmt	102	2a + 1a		21	17	5	1,4	678521	226514	448	4198	1	91	2359		Schicht 2 (Schnurkeramik)
128	6	Pfeilspitze	unbestimmt	101	Moor + 1a		28	12	4	1,1	678518	226512	448	4059	4	91	2245		Schicht 2 (Schnurkeramik)
128	7	Pfeilspitze	unbestimmt	620			27	17	5	1,9	678520	226511	448	4218	14	91	2359		Schicht 2 (Schnurkeramik)
128	8	Pfeilspitze	unbestimmt	101	3b + 1a		41	20	6	3,4	678519	226511	448	3857	3	91	2244		Schicht 2 (Schnurkeramik)
128	9	Pfeilspitze	unbestimmt	146/002-E			31	16	5	1,9	678520	226507	448	4067	1	92	2249		Schicht 2 (Schnurkeramik)
128	10	Pfeilspitze	unbestimmt	146/002-H	1a		27	14	3	1,1	678660	226485	448	12791	2	155	4349		Schicht 2 (Schnurkeramik)
128	11	Pfeilspitze	unbestimmt	146/002-H			28	17	3	1,6	678519	226512	448	4003	3	91	2245		Schicht 2 (Schnurkeramik)
128	12	Pfeilspitze	unbestimmt	146/002-H			25	14	5	0,9	678519	226505	448	6251	11	92	3150		Schicht 2 (Schnurkeramik)
128	13	Pfeilspitze	unbestimmt	146/002-C			24	15	4	1,1	678548	226513	448	7535	3	123	3562		Schicht 2 (Schnurkeramik)
128	14	Pfeilspitze	unbestimmt	Bergkristall			24	13	5	1,2	678628	226508	448	11343	6	149	4170		Schicht 2 (Schnurkeramik)
128	15	Pfeilspitze	unbestimmt	1	1b		21	12	5	0,9	678600	226509	448	10387	14	92	2587		Schicht 2 (Schnurkeramik)
128	16	Lateralretuschierte Grundform	Klinge	102	1b+ Moor		72	29	5	17,3	678629	226509	448	11379	1	149	4170		Schicht 2 (Schnurkeramik)
128	17	Lateralretuschierte Grundform	Klinge	101	Moor + 1b	x	48	15	5	3,9	678652	226509	448	12025	9	150	3149/ 4184		Schicht 2 (Schnurkeramik)
128	18	Lateralretuschierte Grundform	Klinge	723	Moor + 1a		54	19	9	11,7	678614	226509	448	10820	3	149	4080		Schicht 2 (Schnurkeramik)
129	1	Lateralretuschierte Grundform	Klinge	146/002-B	Moor		37	23	6	7,5	678515	226510	448	6193	1	117	3164		Schicht 2 (Schnurkeramik)
129	2	Lateralretuschierte Grundform	Klinge	146/002-H			36	31	5	6,5	678584	226502	448	9801	4	132	3840		Schicht 2 (Schnurkeramik)
129	3	Lateralretuschierte Grundform	Abschlag	146/002-A	Moor		38	44	6	9,2	678527	226513	448	4181	7	97	UK 2472		Schicht 2 (Schnurkeramik)
129	4	Lateralretuschierte Grundform	Abschlag	146/002-E			43	28	8	12,8	678574	226499	448	9249	1	131	3818		Schicht 2 (Schnurkeramik)
129	5	Lateralretuschierte Grundform	Abschlag	146/002-E			32	18	8	5,2	678587	226500	448	9875	10	132	3840		Schicht 2 (Schnurkeramik)
129	6	Lateralretuschierte Grundform	Abschlag	723			27	20	8	3,7	678659	226486.9	448	12787	2	155	4349		Schicht 2 (Schnurkeramik)
129	7	Lateralretuschierte Grundform	Abschlag	146/002-H			19	12	5	0,8	678706	226507	448	11781	12	150	3149/ 4184		Schicht 2 (Schnurkeramik)
129	8	Lateralretuschierte Grundform	Abschlag	146/002-A	1a		19	25	7	4,7	678520	226511	448	4218	10	91	2359		Schicht 2 (Schnurkeramik)
129	9	Klinge mit lateralen und ventralen Schäftungsretuschen	Klinge	101	1b	x	69	19	7	11,8	678624	226509	448	11136	3	149	4151		Schicht 2 (Schnurkeramik)
129	10	Klinge mit lateralen und ventralen Schäftungsretuschen	Klinge	282			63	16	6	8,3	678635	226508	448	11514	13	150	2587		Schicht 2 (Schnurkeramik)
129	11	Klinge mit lateralen und ventralen Schäftungsretuschen	Klinge	102	1a		69	23	4	9,9	678586	226499	448	9874	5	132	3840		Schicht 2 (Schnurkeramik)
130	1	Kratzer	Abschlag	723			57	33	10	24	678627	226505	448	11236	2	150	4172		Schicht 2 (Schnurkeramik)
130	2	Kratzer	Klinge	146/002-H	1a		53	28	8	15,7	678520	226513	448	3859	7	91	2245		Schicht 2 (Schnurkeramik)
130	3	Kratzer	Klinge	101			56	31	8	18,6	678648	226506	448	11835	5	150	3149/ 4184		Schicht 2 (Schnurkeramik)
130	4	Kratzer	Abschlag	146/002-D			49	29	11	20,4	678522	226513	448	6458	15	117	3163		Schicht 2 (Schnurkeramik)
130	5	Kratzer	Klinge	101	Moor + 1a		38	20	6	6,3	678547	226511	448	7459	2	123	3562		Schicht 2 (Schnurkeramik)
130	6	Kratzer	Klinge	146/002-H			36	20	9	8,3	678626	226508	448	11165	1	150	4141		Schicht 2 (Schnurkeramik)
130	7	Kratzer	Abschlag	645			25	20	6	3,9	678634	226508	448	11514	12	150	2587		Schicht 2 (Schnurkeramik)
130	8	Kratzer	Abschlag	311	Moor + 1b		56	34	16	30	678524	226510	448	6465	2	117	3272		Schicht 2 (Schnurkeramik)
130	9	Kratzer	Abschlag	146/002-E			40	34	15	17,8	678612		448	10797	6	150	4078		Schicht 2 (Schnurkeramik)
130	10	Kratzer	Kernscheibe	146/002-A	Moor		42	31	18	28,1	678520	226512	448	6456	8	117	3163		Schicht 2 (Schnurkeramik)
131	1	Kratzer	Abschlag	146/002-E		x	40	22	12	10,4	678546	226510	448	7402	6	123	3562		Schicht 2 (Schnurkeramik)
131	2	Kratzer	Abschlag	311	3b + 1a		30	25	13	13	678518	226513	448	4024	7	91	2245		Schicht 2 (Schnurkeramik)
131	3	Kratzer	Abschlag	102	Moor + 1a	x	32	30	10	14,1	678538		448	6823	2	117	3163 oder 3279		Schicht 2 (Schnurkeramik)
131	4	Kratzer	Abschlag	146/002		x	20	15	7	2,4	678632	226507	448	11429	4	149	4170		Schicht 2 (Schnurkeramik)
131	5	Kratzer	Abschlag	146/002-D			26	21	6	4	678622	226508	448	11067	5	149	4080		Schicht 2 (Schnurkeramik)
131	6	Kratzer	Abschlag	146/002-E			25	21	11	5,2	678529	226510	448	4182	5	97	UK 2472		Schicht 2 (Schnurkeramik)
131	7	Kratzer	Abschlag	146/002-E			18	22	6	2,5	678663	226489	448	12855	22	155	4349		Schicht 2 (Schnurkeramik)
131	8	Kratzer	Abschlag	146/002			12	11	3	0,5	678531	226507	448	6709	4	92	3148		Schicht 2 (Schnurkeramik)
131	9	Endretuschierte Grundform	Abschlag	146/002-A			32	32	4	6,8	678518	226513	448	6446	6	117	3163		Schicht 2 (Schnurkeramik)
131	10	Endretuschierte Grundform	Abschlag	146/002-A	Moor		26	44	8	8,4	678521	226512	448	6456	11	117	3163		Schicht 2 (Schnurkeramik)
131	11	Endretuschierte Grundform	Klinge	169	Moor	x	27	14	5	1,9	678595	226508	448	10055	3	134	3446		Schicht 2 (Schnurkeramik)
131	12	Endretuschierte Grundform	Lamelle	101	Moor + 1b		15	7	2	0,2	678519	226505	448	6251	13	92	3150		Schicht 2 (Schnurkeramik)
131	13	Spitze	Klinge	723		x	79	22	11	24,1	678613	226507	448	10803	5	150	4078		Schicht 2 (Schnurkeramik)
131	14	Spitze	Klinge	146/002-A	Moor		64	19	7	9,4	678520	226503	448	6325	1	113	3220		Schicht 2 (Schnurkeramik)
131	15	Spitze	Abschlag	146/002-D			59	21	8	10,4	678562	226511	448	8423	2	123	3694		Schicht 2 (Schnurkeramik)
131	16	Spitze	Klinge	102	Moor + 1b/ 0		46	16	6	5,1	678592	226499	448	9976	9	132	3840		Schicht 2 (Schnurkeramik)
131	17	Spitze	Klinge	146/002-D			28	13	4	1,8	678661	226486	448	12804	6	155	4349		Schicht 2 (Schnurkeramik)
131	18	Spitze	unbestimmt	Bergkristall			25	15	7	2,4	678573	226499	448	9198	4	131	3773		Schicht 2 (Schnurkeramik)
131	19	Spitze	Klinge	0	1b	x	28	11	2	0,6	678630	226507	448	11416	8	150	4141		Schicht 2 (Schnurkeramik)
131	20	Trapezspitze	Lamelle	146/002	Moor		16	10	2	0,5	678521	226506	448	4010	6	92	2249		Schicht 2 (Schnurkeramik)
132	1	Bohrer	Abschlag	627			14	16	4	0,8	678591	226501	448	9971	10	132	3840		Schicht 2 (Schnurkeramik)
132	2	Bohrer	unbestimmt	146/002-C		x	39	23	6	4	678619	226509	448	10979	8	150	4115		Schicht 2 (Schnurkeramik)
132	3	Bohrer	Abschlag	101	Moor + 1b	x	39	20	10	9,9	678549	226512	448	7537	5	123	3562		Schicht 2 (Schnurkeramik)
132	4	Bohrer	Abschlag	Radiolarit nicht näher bestimmt		x	23	12	5	1,2	678526	226503	448	6504	8	113	3220		Schicht 2 (Schnurkeramik)
132	5	Bohrer	Abschlag	620			40	33	5	4,6	678590	226501	448	9971	4	132	3840		Schicht 2 (Schnurkeramik)
132	6	Bohrer	Abschlag	102	1a	x	18	13	5	1	678519	226503	448	6366	9	113	3220		Schicht 2 (Schnurkeramik)
132	7	Bohrer	Abschlag	146/002-F			17	8	6	0,6	678555	226510	448	8248	24	125	3630		Schicht 2 (Schnurkeramik)
132	8	Kerbstück	Abschlag	146/002-A	Moor		45	16	5	3,8	678527	226511	448	4710	3	97	2562		Schicht 2 (Schnurkeramik)
132	9	Kerbstück	Abschlag	101	Moor + 1b		30	19	4	2,3	678519	226508	448	5485	5	92	2587		Schicht 2 (Schnurkeramik)
132	10	Kerbstück	Lamelle	146/002-E			34	12	4	1,6	678631	226507	448	11418	7	150	4173		Schicht 2 (Schnurkeramik)
132	11	Abschlag mit unifaziellen Flächenretuschen	Abschlag	146/002-E			46	21	9	8,9	678519	226510	448	6449	8	117	3163		Schicht 2 (Schnurkeramik)
132	12	Kombinationsgerät	Abschlag	146/002-D			29	26	9	8,5	678519	226505	448	6164	2	92	3150		Schicht 2 (Schnurkeramik)
132	13	Halbmöndchen	Abschlag	723	Moor		23	11	4	0,9	678528	226511	448	6540	10	117	3279		Schicht 2 (Schnurkeramik)
132	14	Halbmöndchen	Abschlag	146/002-A		x	22	8	6	0,9	678551	226512	448	8049	3	123	3660		Schicht 2 (Schnurkeramik)

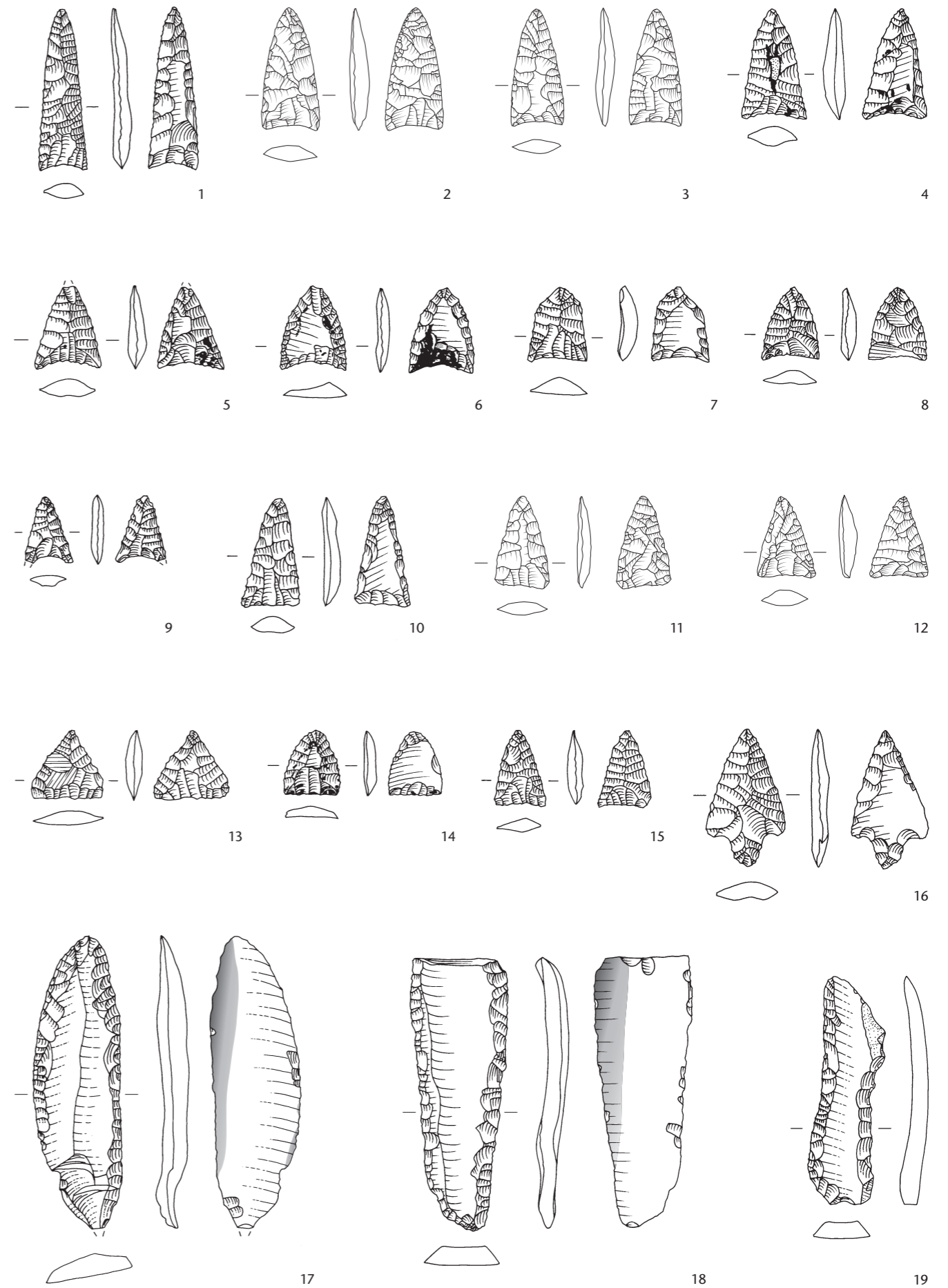
Taf.	Kat.	Typ Modifikation	Spezifische Grundform	Rohmaterial- typ	Patina (Jehanne Affolter)	Hitze- versehrt	Länge (mm)	Breite (mm)	Dicke (mm)	Gewicht (g)	Y-Koord.	X-Koord.	Ereignis	FK	Laufnr.	Feld	Pos.	Passtücke	Schicht
132	15	Halbmöndchen	Abschlag	645			21	9	4	0,7	678564	226510	448	8466	7	123	2478		Schicht 2 (Schnurkeramik)
132	16	Halbmöndchen	Abschlag	645			22	11	4	0,9	678665	226487	448	12986	10	155	4349		Schicht 2 (Schnurkeramik)
132	17	Halbmöndchen	Abschlag	162			19	7	6	0,8	678539	226507	448	6839	7	92	3350		Schicht 2 (Schnurkeramik)
132	18	Halbmöndchen	Abschlag	632		x	19	7	5	0,6	678525	226508	448	6499	4	92	3149		Schicht 2 (Schnurkeramik)
132	19	Halbmöndchen	Abschlag	146/002-E			19	9	4	0,6	678557	226504	448	8314	3	113	3220		Schicht 2 (Schnurkeramik)
132	20	Halbmöndchen	Abschlag	146/002-F			16	8	3	0,4	678705	226507	448	11418	12	150	4173		Schicht 2 (Schnurkeramik)
132	21	Halbmöndchen	Abschlag	622			10	12	6	0,5	678704	226509	448	10890	19	150	4078		Schicht 2 (Schnurkeramik)
133	1	Dolch	Klinge	723			101	22	8	23,9	678633	226505	448	11471	1	149	4085		Schicht 2 (Schnurkeramik)
133	2	Dolch	unbestimmt	282	Moor		101	22	8	19,4	678523	226510	448	6465	1	117	3272		Schicht 2 (Schnurkeramik)
133	3	Dolch	unbestimmt	157	Moor + 2a		65	25	7	12	678617	226507	448	10868	3	149	4080		Schicht 2 (Schnurkeramik)
133	4	Dolch	unbestimmt	282			38	20	6	5,1	678621	226508	448	11048	3	149	4081		Schicht 2 (Schnurkeramik)
133	5	Ausgesplittertes Stück	Abschlag	102	Moor + 1a/ 1b	x	42	26	9	12,2	678528	226511	448	4683	2	97	2562		Schicht 2 (Schnurkeramik)
133	6	Ausgesplittertes Stück	Abschlag	146/002-C			38	32	8	9,9	678649	226508	448	11842	15	150	3149/ 4184		Schicht 2 (Schnurkeramik)
133	7	Ausgesplittertes Stück	Abschlag	169			34	29	12	11,7	678519	226513	448	4204	5	91	2359		Schicht 2 (Schnurkeramik)
133	8	Ausgesplittertes Stück	Abschlag	311	Moor		39	31	17	16,6	678521	226507	448	3928	5	92	2249		Schicht 2 (Schnurkeramik)
133	9	Ausgesplittertes Stück	Abschlag	1		x	33	27	13	14	678521	226507	448	3881	17	92	2249		Schicht 2 (Schnurkeramik)
133	10	Ausgesplittertes Stück	Abschlag	146/002-C			24	26	8	6,8	678589	226499	448	9926	11	132	3840		Schicht 2 (Schnurkeramik)
133	11	Ausgesplittertes Stück	Abschlag	101	1a		30	10	6	2	678519	226506	448	5250	4	92	2361	FK 5294.3, Feld 92, Schicht 2 (Schnurkeramik)	Schicht 2 (Schnurkeramik)
133	11	Ausgesplittertes Stück	Abschlag	102	1b	x	28	11	5	1,9	678518	226506	448	5294	3	92	2361	FK 5250.4, Feld 92, Schicht 2 (Schnurkeramik)	Schicht 2 (Schnurkeramik)
134	1	Ausgesplittertes Stück	Abschlag	146/002-D			22	25	8	4,2	678645	226509	448	11617	2	150	4141		Schicht 2 (Schnurkeramik)
134	2	Ausgesplittertes Stück	Klinge	146/002			26	9	6	1,3	678519	226503	448	6366	7	113	3220	FK 8312.11, Feld 113, Schicht 2 (Schnurkeramik)	Schicht 2 (Schnurkeramik)
134	2	Ausgesplittertes Stück	Abschlag	146/002-E			26	16	8	3,9	678556	226504	448	8312	11	113	3220	FK 6366.7, Feld 113, Schicht 2 (Schnurkeramik)	Schicht 2 (Schnurkeramik)
134	3	Ausgesplittertes Stück	Abschlag	101	1b		18	19	11	3,3	678664	226487	448	12965	5	155	4349		Schicht 2 (Schnurkeramik)
134	4	Ausgesplittertes Stück	Abschlag	101	1a		27	15	8	2,9	678593		448	9994	5	132	3840		Schicht 2 (Schnurkeramik)
134	5	Ausgesplittertes Stück	Abschlag	146/002-E			28	14	13	7,1	678519	226514	448	4004	2	91	2245		Schicht 2 (Schnurkeramik)
134	6	Feuerschlagstein	Abschlag	102	Moor + 1a		39	25	8	11	678517	226510	448	6444	2	117	3163		Schicht 2 (Schnurkeramik)
134	7	Feuerschlagstein	Klinge	723			90	23	10	25,6	678662	226486	448	12818	5	155	4349		Schicht 2 (Schnurkeramik)
134	8	Feuerschlagstein	Klinge	101	Moor + 1b		59	23	10	14,8	678519	226511	448	3857	2	91	2244		Schicht 2 (Schnurkeramik)
134	9	Feuerschlagstein	Klinge	723			46	19	9	8,1	678518	226510	448	4100	15	91	2359		Schicht 2 (Schnurkeramik)
135	1	Pfeilspitze	unbestimmt	723			24	12	4	0,9	678567	226497	448	8952	20	130	3771		Schicht 2 (vermishtes Schichtinventar)
135	2	Pfeilspitze	unbestimmt	Bergkristall			24	17	4	1,5	678506	226503	448	3485	44	90	2050		Schicht 2 (vermishtes Schichtinventar)
135	3	Pfeilspitze	unbestimmt	Bergkristall			20	15	2	0,6	678503	226502	448	4556	11	100	2518		Schicht 2 (vermishtes Schichtinventar)
135	4	Pfeilspitze	Abschlag	Bergkristall			33	18	6	3	678512	226501	448	4295	5	99	2480		Schicht 2 (vermishtes Schichtinventar)
135	5	Kratzer	Abschlag	Bergkristall			39	32	11	11,8	678505	226503	448	4542	10	100	2518		Schicht 2 (vermishtes Schichtinventar)
135	6	Spitze	Klinge	723			76	18	9	14,6	678625	226494	448	11157	1	151	4149		Schicht 2 (vermishtes Schichtinventar)
135	7	Feuerschlagstein	Klinge	723			45	17	10	8,3	678571	226497	448	9100	4	130	3771		Schicht 2 (vermishtes Schichtinventar)
135	8	Dolch	Lamelle	146/002-A			106	32	10	30,6	678676	226487.2	448	13343	1	161	4422		Schicht 2 (vermishtes Schichtinventar)
135	9	Dolch	Klinge	723	1a		99	24	9	24,3	678511	226492	448	1386	2	45	221		Schicht 2 (vermishtes Schichtinventar)
136	1	Dolch	Klinge	723	1a		232	39	10	118	678700	226498.1	448	16946	1	180	4717		Schicht 2 (vermishtes Schichtinventar)
136	2	Dolch	Klinge	723			116	30	11	47,5	678699	226497.3	448	15898	1	175	4644		Schicht 2 (vermishtes Schichtinventar)
136	3	Dolch	Klinge	207	1a	x	76	21	7	14	678568	226496	448	9060	9	130	3771		Schicht 2 (vermishtes Schichtinventar)
137	1	Pfeilspitze	unbestimmt	102	1a	x	28	20	4	1,9	678684	226492	448	14258	12	160	4501		Schicht 3 (Früh-/Mittelbronzezeit)
137	2	Pfeilspitze	unbestimmt	146/002-C			33	18	7	2,4	678702	226503	448	17133	2	179	4727		Schicht 3 (Früh-/Mittelbronzezeit)
137	3	Pfeilspitze	unbestimmt	102	1a	x	28	12	4	1,1	678685	226494	448	14303	2	160	4501		Schicht 3 (Früh-/Mittelbronzezeit)
137	4	Pfeilspitze	unbestimmt	101	3b + 1a		23	19	4	1,3	678640	226483.5	448	12213	1	153	4275		Schicht 3 (Früh-/Mittelbronzezeit)
137	5	Pfeilspitze	unbestimmt	146/002-H			29	17	5	2,1	678655	226487	448	12664	81	155	4318		Schicht 3 (Früh-/Mittelbronzezeit)
137	6	Pfeilspitze	unbestimmt	198	1a	x	27	21	5	1,9			448	3145	33	85	OK 1907		Schicht 3 (Früh-/Mittelbronzezeit)
137	7	Pfeilspitze	Abschlag	146/002-C			12	14	2	0,3	678641	226484	448	12280	11	153	4275		Schicht 3 (Früh-/Mittelbronzezeit)
137	8	Lateralretuschierte Grundform	Lamelle	102	1b	x	45	11	4	2,8	678681	226492	448	14227	31	160	4501		Schicht 3 (Früh-/Mittelbronzezeit)
137	9	Lateralretuschierte Grundform	Lamelle	146/002-B	1a	x	37	11	3	1,8	678688	226491	448	15012	1	170	4599		Schicht 3 (Früh-/Mittelbronzezeit)
137	10	Lateralretuschierte Grundform	Klinge	146/002-E			23	16	3	1,5	678668	226486	448	13102	23	161	4394		Schicht 3 (Früh-/Mittelbronzezeit)
137	11	Lateralretuschierte Grundform	Abschlag	102	Moor + 1b		52	38	6	13,7	678690	226490	448	15057	26	171	4613		Schicht 3 (Früh-/Mittelbronzezeit)
137	12	Lateralretuschierte Grundform	Abschlag	102	2a + 1a		33	26	5	5	678670	226485	448	13195	46	161	4394		Schicht 3 (Früh-/Mittelbronzezeit)
137	13	Lateralretuschierte Grundform	Kernkantenabschlag	419	2a	x	34	11	22	10	678696	226499	448	15454	1	175	4642		Schicht 3 (Früh-/Mittelbronzezeit)
137	14	Lateralretuschierte Grundform	Abschlag	146/002		x	34	21	7	5,1	678667	226484	448	13066	100	158	4370		Schicht 3 (Früh-/Mittelbronzezeit)
137	15	Lateralretuschierte Grundform	Abschlag	146/002-A			29	20	5	3,1	678686	226498	448	14864	29	169	4591		Schicht 3 (Früh-/Mittelbronzezeit)
137	16	Lateralretuschierte Grundform	Abschlag	1	1a		23	12	6	1,6	678703	226503	448	17165	7	179	4731		Schicht 3 (Früh-/Mittelbronzezeit)
137	17	Kratzer	Abschlag	146/002-A	Moor + 2a		41	20	5	4,9	678679	226487	448	13837	40	162	4452		Schicht 3 (Früh-/Mittelbronzezeit)
137	18	Kratzer	Abschlag	146/002-B			25	23	8	5,6	678687	226497	448	14872	54	169	4591		Schicht 3 (Früh-/Mittelbronzezeit)
137	19	Kratzer	Abschlag	146/002	1b		17	16	4	1,8	678697	226493	448	15565	11	171	4613		Schicht 3 (Früh-/Mittelbronzezeit)
137	20	Kratzer	Klinge	146/002		x	16	13	3	0,6	678695	226496	448	15331	12	175	4641		Schicht 3 (Früh-/Mittelbronzezeit)
137	21	Kratzer	Abschlag	146/002	Moor		11	14	7	0,8	678682	226494	448	14229	28	160	4501		Schicht 3 (Früh-/Mittelbronzezeit)
138	1	Endretuschierte Grundform	Abschlag	146/002-H	Moor		36	19	5	3,6	678678	226488	448	13806	3	162	4452		Schicht 3 (Früh-/Mittelbronzezeit)
138	2	Endretuschierte Grundform	Abschlag	146/002-H	1a	x	32	16	8	3,5	678701	226500	448	16953	36	173	4692		Schicht 3 (Früh-/Mittelbronzezeit)
138	3	Endretuschierte Grundform	Abschlag	146/002-E	1a	x	13	22	5	1,5	678672	226488	448	13264	114	161	4394	FK 13264.116, Feld 161, Schicht 3 (Früh-/Mittelbronzezeit)	Schicht 3 (Früh-/Mittelbronzezeit)
138	3	Endretuschierte Grundform	Abschlag	146/002-E		x	13	19	5	1,4	678673	226488	448	13264	116	161	4394	FK 13264.114, Feld 161, Schicht 3 (Früh-/Mittelbronzezeit)	Schicht 3 (Früh-/Mittelbronzezeit)
138	4	Endretuschierte Grundform	Klinge	146/002-B	1a		21	15	4	1,1	678680	226487	448	14063	31	162	4452		Schicht 3 (Früh-/Mittelbronzezeit)
138	5	Endretuschierte Grundform	Abschlag	146/002-H			15	10	3	0,6	678694	226494	448	15275	13	170	4599		Schicht 3 (Früh-/Mittelbronzezeit)
138	6	Spitze	Abschlag	Bergkristall			28	20	6	3,1	678709	226486	448	12618	216	155	4318		Schicht 3 (Früh-/Mittelbronzezeit)
138	7	Spitze	Abschlag	723			13	12	2	0,4	678692	226490	448	15064	11	171	4613		Schicht 3 (Früh-/Mittelbronzezeit)
138	8	Spitze	Abschlag	146/002-B			14	10	4	0,6	678711	226496	448	15827	30	169	4590		Schicht 3 (Früh-/Mittelbronzezeit)
138	9	Spitze																	

Taf.	Kat.	Typ Modifikation	Spezifische Grundform	Rohmaterial- typ	Patina (Jehanne Affolter)	Hitze- versehrt	Länge (mm)	Breite (mm)	Dicke (mm)	Gewicht (g)	Y-Koord.	X-Koord.	Ereignis	FK	Laufnr.	Feld	Pos.	Passstücke	Schicht
138	15	Ausgesplittertes Stück	Abschlag	Bergkristall			26	14	7	3,2	678693	226491	448	15208	6	171	4613		Schicht 3 (Früh-/Mittelbronzezeit)
138	16	Ausgesplittertes Stück	Abschlag	260	Moor		22	23	9	5,4	678643	226487	448	12389	52	155	4296		Schicht 3 (Früh-/Mittelbronzezeit)
138	17	Ausgesplittertes Stück	Abschlag	102	1a	x	17	22	4	1,5	678656	226489	448	12665	88	155	4318		Schicht 3 (Früh-/Mittelbronzezeit)
138	18	Ausgesplittertes Stück	Abschlag	102	1b	x	18	15	5	1,4	678683	226490	448	14256	15	160	4501		Schicht 3 (Früh-/Mittelbronzezeit)
138	19	Ausgesplittertes Stück	Abschlag	146/002-A			19	11	7	1,3	678674	226487	448	13307	88	161	4394		Schicht 3 (Früh-/Mittelbronzezeit)
138	20	Feuerschlagstein	Klinge	102	3b + Moor + 1a		45	20	9	8,4	678642	226489	448	12386	1	155	4296		Schicht 3 (Früh-/Mittelbronzezeit)
138	21	Feuerschlagstein	Abschlag	146/002-A		x	40	20	10	11,5	678689	226490	448	15034	29	170	4599		Schicht 3 (Früh-/Mittelbronzezeit)
138	22	Feuerschlagstein	Abschlag	146/002-H	Moor + 1a	x	38	28	7	8,5	678669	226486	448	13172	13	161	4394		Schicht 3 (Früh-/Mittelbronzezeit)
139	1	Feuerschlagstein	Klinge	102	1a		34	18	10	7	678677	226485	448	13345	36	161	4394		Schicht 3 (Früh-/Mittelbronzezeit)
139	2	Feuerschlagstein	Abschlag	146/002-F			27	18	12	5,7	678654	226489	448	12662	121	155	4318		Schicht 3 (Früh-/Mittelbronzezeit)
139	3	Klopfstein	Knolle	Radiolarit nicht näher bestimmt	Moor	x	31	32	18	18,9	678658	226489	448	12745	45	155	4318		Schicht 3 (Früh-/Mittelbronzezeit)
139	4	Ausgesplittertes Stück	Klinge	723			80	24	10	27	678572	226503	448	9126	2	132	3798		Schicht 0.3 (vermishtes Schichtinventar)
139	5	Dolch	Klinge	723			67	35	10	30	678519	226487	448	690	1	43	UK 5		Schicht 0.3 (vermishtes Schichtinventar)
139	6	Dolch	unbestimmt	282	Moor	x	45	22	9	7	678513	226487	448	2273	1	45	UK 220		Schicht 0.3 (vermishtes Schichtinventar)
139	7	Dolch	Klinge	0	1b	x	107	27	10	44			448	6048	1	114	1		Schicht 4 (vermishtes Schichtinventar)
139	8	Dolch	Klinge	723	Moor + 1a		87	25	9	27	678675		448	13309	51	163	4399		Schicht 4 (vermishtes Schichtinventar)
140	1	Pfeilspitze	Abschlag	102	Moor + 2a		32	14	4	1,5	678604	226518	448	10426	13	142	3945		Schicht 5 (Früh/Mittelbronzezeit?)
140	2	Pfeilspitze	Abschlag	102	Moor + 1a	x	30	16	5	2,3	678605	226517	448	10428	22	142	3945		Schicht 5 (Früh/Mittelbronzezeit?)
140	3	Pfeilspitze	unbestimmt	146/002-C	Moor + 2a + 1a	x	27	15	4	1,6	678618	226517	448	10942	54	147	4076		Schicht 5 (Früh/Mittelbronzezeit?)
140	4	Pfeilspitze	unbestimmt	101	Moor + 2a	x	27	18	4	1,8	678616	226517	448	10846	37	146	4002		Schicht 5 (Früh/Mittelbronzezeit?)
140	5	Pfeilspitze	unbestimmt	146/002	Moor + 2a	x	26	17	4	1,3	678611	226516	448	10767	16	146	4002		Schicht 5 (Früh/Mittelbronzezeit?)
140	6	Pfeilspitze	unbestimmt	102	Moor + 2a + 1a		23	13	5	1,4	678610	226519	448	10704	24	144	3961		Schicht 5 (Früh/Mittelbronzezeit?)
140	7	Pfeilspitze	unbestimmt	620			24	13	6	1,3	678552	226521	448	5222	21	105	2784		Schicht 5 (Früh/Mittelbronzezeit?)
140	8	Pfeilspitze	unbestimmt	645	2a		27	17	4	1,9	678575	226528	448	9384	8	135	3819		Schicht 5 (Früh/Mittelbronzezeit?)
140	9	Pfeilspitze	unbestimmt	119			38	18	4	2,4	678601	226519	448	10417	16	142	3945		Schicht 5 (Früh/Mittelbronzezeit?)
140	10	Pfeilspitze	unbestimmt	620			33	17	8	2,5	678552	226513	448	8068	28	126	3632		Schicht 5 (Früh/Mittelbronzezeit?)
140	11	Pfeilspitze	unbestimmt	146/002	Moor + 2a + 1a	x	29	15	5	1,6	678615	226522	448	10837	4	143	3950		Schicht 5 (Früh/Mittelbronzezeit?)
140	12	Pfeilspitze	unbestimmt	146/002-C	2b	x	21	18	4	1,1	678550	226513	448	7765	27	126	3632		Schicht 5 (Früh/Mittelbronzezeit?)
140	13	Lateralretuschierte Grundform	Klinge	146/002-H	2a	x	39	23	5	5,9	678603	226517	448	10420	30	142	3945		Schicht 5 (Früh/Mittelbronzezeit?)
140	14	Lateralretuschierte Grundform	Lamelle	146/002	2a	x	28	11	4	1,7	678532	226518	448	6761	25	121	3341		Schicht 5 (Früh/Mittelbronzezeit?)
140	15	Klinge mit lateralen und ventralen Schäftungsretuschen	Klinge	101	2a	x	27	14	5	2,1	678602	226519	448	10417	17	142	3945		Schicht 5 (Früh/Mittelbronzezeit?)
140	16	Kratzer	Abschlag	146/002-B	Moor + 2a		34	21	12	11,9	678623	226517	448	11108	36	148	4077		Schicht 5 (Früh/Mittelbronzezeit?)
140	17	Kratzer	Abschlag	146/002-A	2a	x	14	12	5	0,9	678553	226513	448	8078	45	127	3669		Schicht 5 (Früh/Mittelbronzezeit?)
140	18	Endretuschierte Grundform	Abschlag	146/002	Moor + 2a		14	15	3	0,7	678554	226522	448	4958	7	104	2645		Schicht 5 (Früh/Mittelbronzezeit?)
140	19	Endretuschierte Grundform	Klinge	146/002	Moor + 2a		14	16	5	0,9	678609	226517	448	10703	38	144	3961		Schicht 5 (Früh/Mittelbronzezeit?)
140	20	Spitze	Klinge	146/002	Moor + 2a	x	35	11	6	2,8	678608	226518	448	10694	21	144	3961		Schicht 5 (Früh/Mittelbronzezeit?)
140	21	Spitze	Abschlag	146/002-A	Moor + 2a		26	12	6	1,9	678620	226517	448	11004	40	147	4076		Schicht 5 (Früh/Mittelbronzezeit?)
140	22	Bohrer	Abschlag	169	2a	x	18	11	5	0,9	678582	226529	448	9752	8	133	3799		Schicht 5 (Früh/Mittelbronzezeit?)
140	23	Bohrer	Abschlag	146/002	2a	x	21	13	6	1,3	678576	226526	448	9481	8	135	3819		Schicht 5 (Früh/Mittelbronzezeit?)
141	1	Pfeilspitze	unbestimmt	119			40	18	4	2,9			448	3131	69	81	1795		Schicht 5 (vermishtes Schichtinventar)
141	2	Kratzer	Abschlag	723			41	26	10	13,4			448	3459	8	87	2045		Schicht 5 (vermishtes Schichtinventar)
141	3	Feuerschlagstein	unbestimmt	157			66	19	7	11,6			448	2474	101	57	1419		Schicht 5 (vermishtes Schichtinventar)
141	4	Dolch	Klinge	723	Moor + 2a/ 0		119	35	10	61	678657	226484.9	448	12677	1	157	4345		Schicht 5 (vermishtes Schichtinventar)
141	5	Dolch	unbestimmt	282	2a		69	27	5	10,4	678505	226519	448	2147	1	53	1152		Schicht 5 (vermishtes Schichtinventar)
141	6	Dolch	Klinge	101	Moor + 1a		116	26	7	21,3			448	2811	14	73	1648		Schicht 5 (vermishtes Schichtinventar)
141	7	Dolch	Klinge	621	1b		43	25	7	5,9			448	2440	9	56	1393		Schicht 5 (vermishtes Schichtinventar)

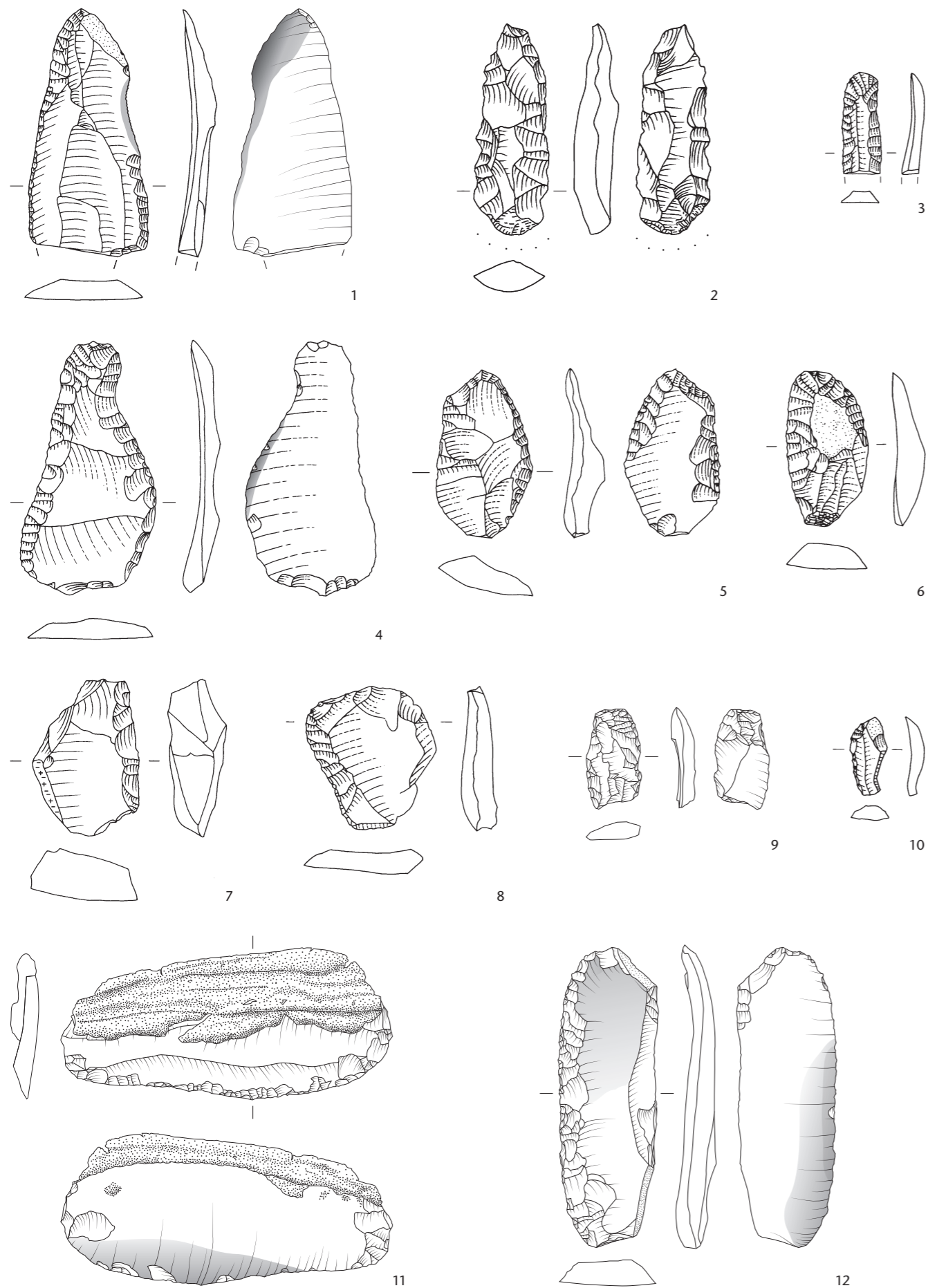
4.2 Tafeln 123–141

Signaturen Silices

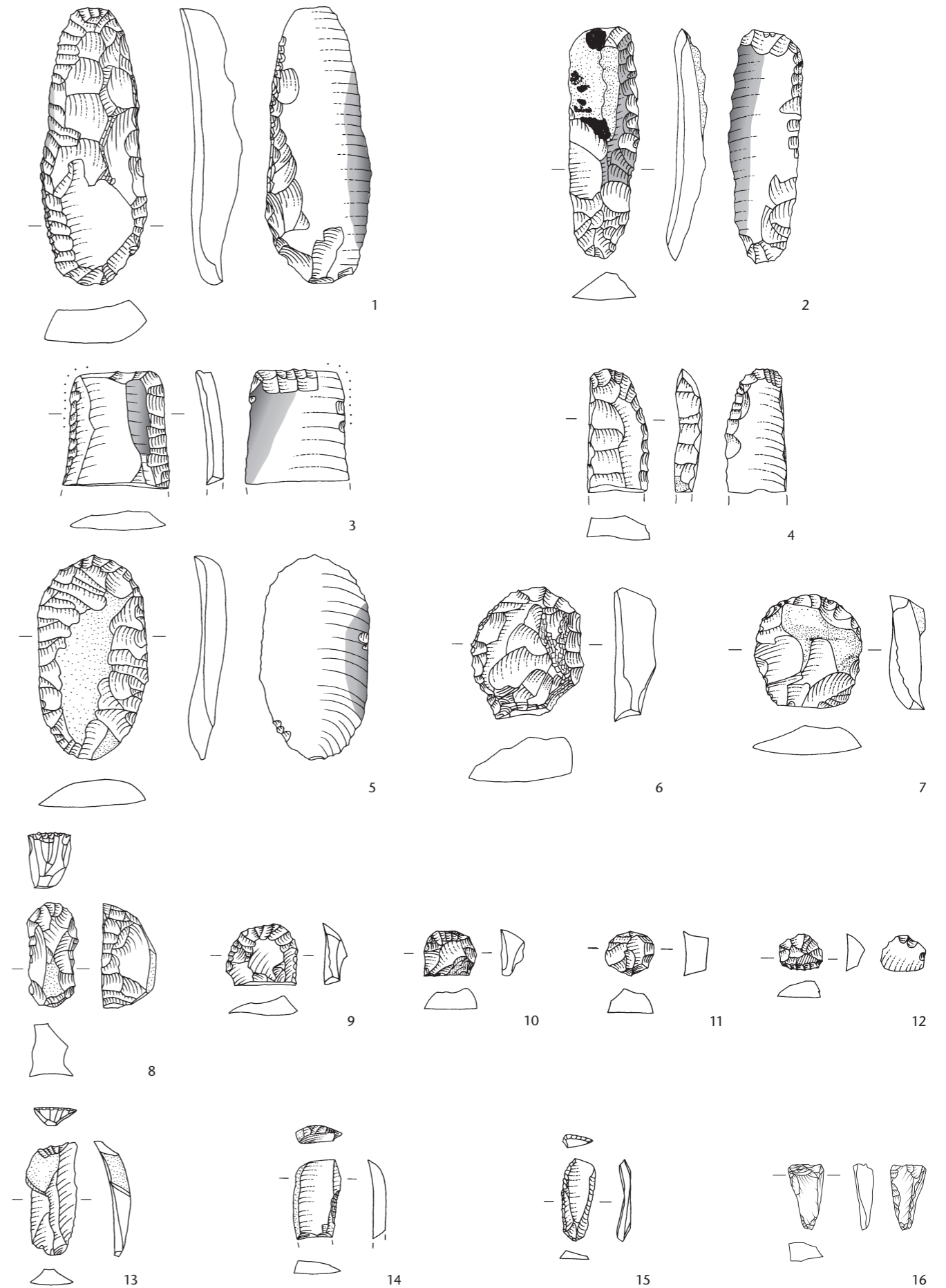
-  Kortex
-  Natürliche Kluffläche
-  Oberfläche Bergkristall
-  Prismenoberfläche
-  Thermische Abplatzungen
-  Klopfnarben
-  Verrundete Kanten
-  Gebrauchspolitur
-  Teerreste



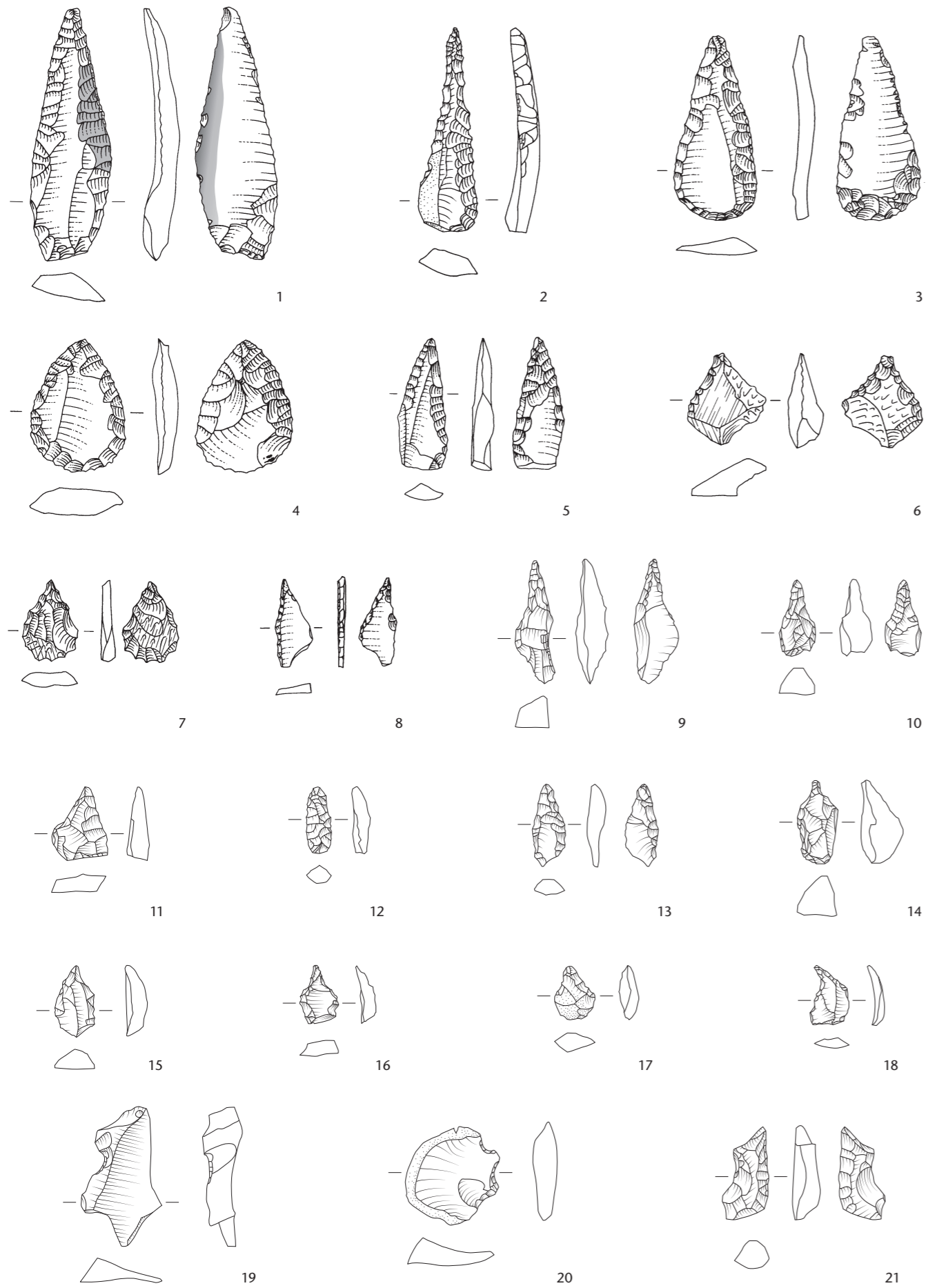
Tafel 123 Cham-Bachgraben. Silices.
Schicht 1 (Horgen): 1–16 Pfeilspitzen; 17–19 lateralretuschierte Klingen. M. 2:3.



Tafel 124 Cham-Bachgraben. Silices.
 Schicht 1 (Horgen): 1.2 lateralretuschierte Klingen; 3 lateralretuschierte Lamelle; 4-10 lateralretuschierte Abschlage;
 11.12 Klingen mit lateralen und ventralen Schaftungsretuschen. M. 2:3.



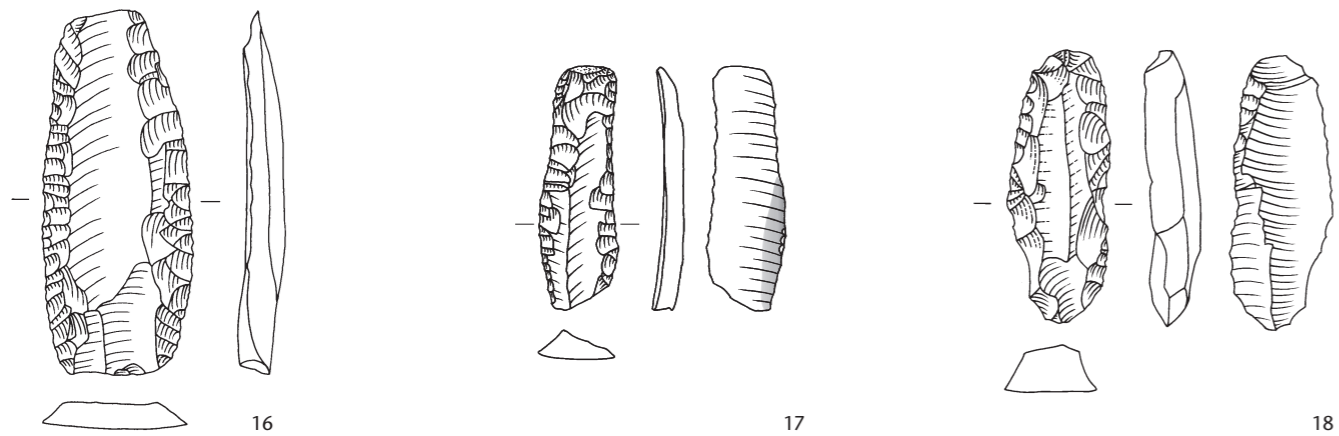
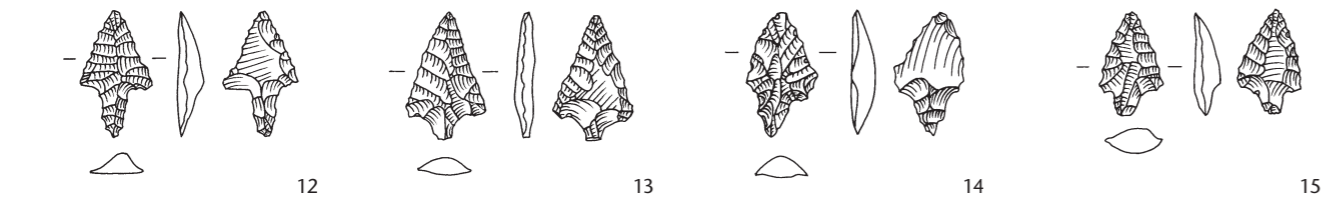
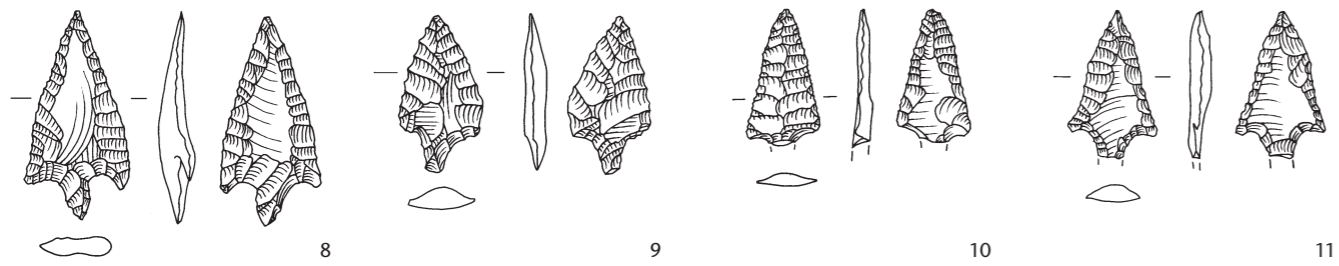
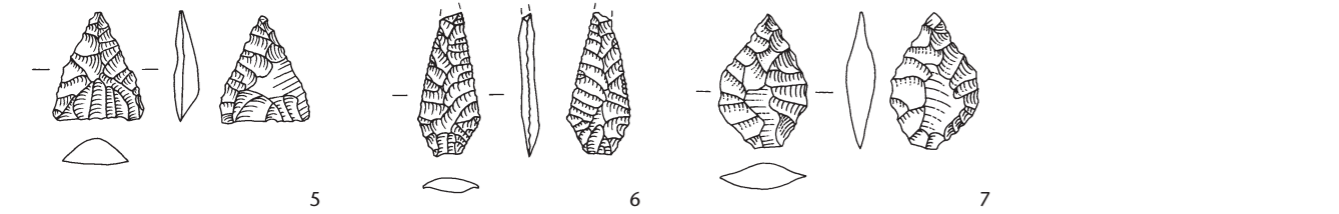
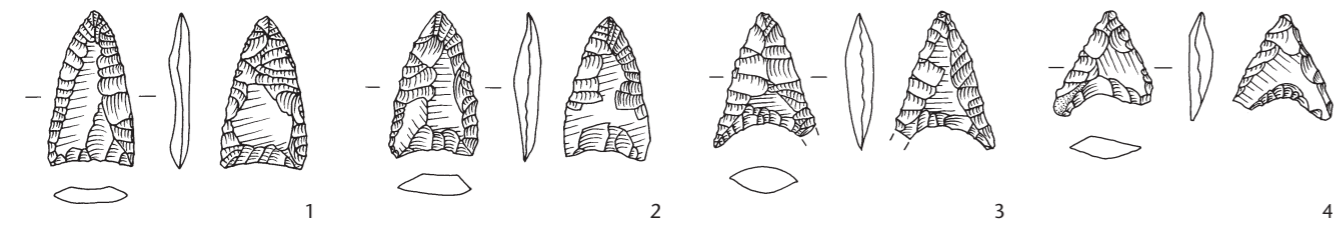
Tafel 125 Cham-Bachgraben. Silices.
 Schicht 1 (Horgen): 1-4 Klingen mit lateralen und ventralen Schaftungsretuschen; 5-12 Kratzer; 13.14 endretuschierte Klingen;
 15 endretuschierte Lamelle; 16 endretuschierter Abschlag. M. 2:3.



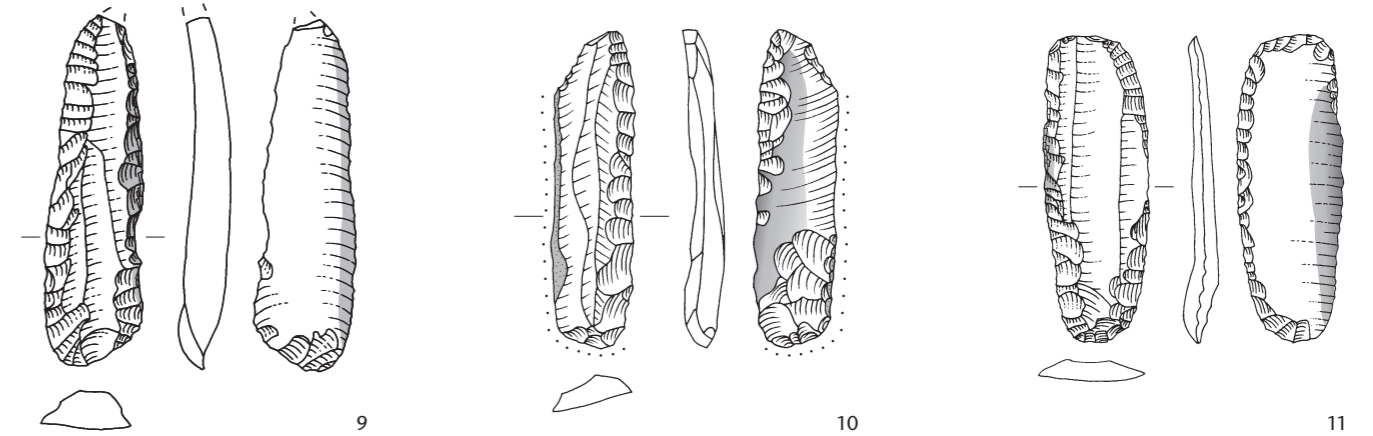
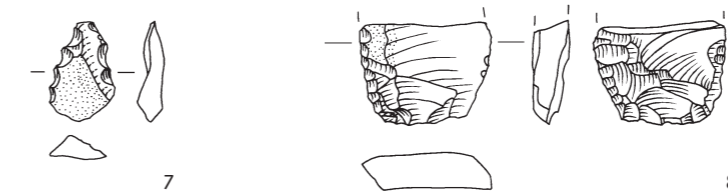
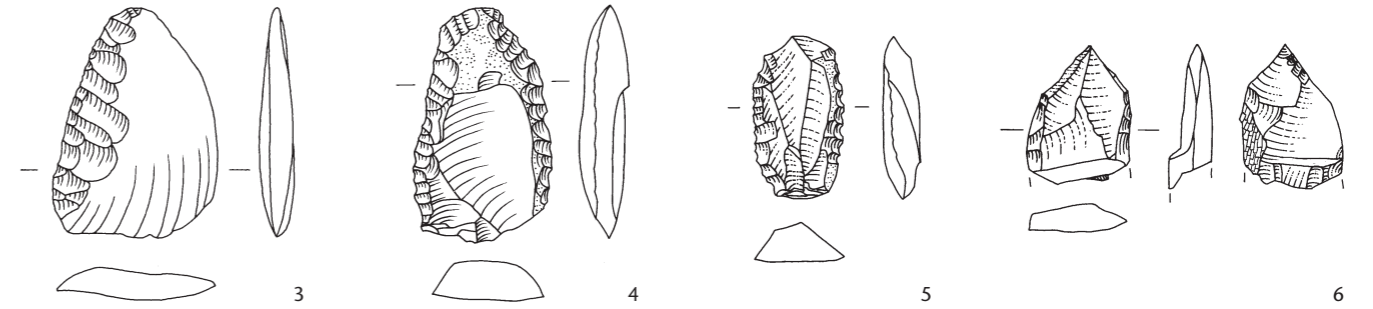
Tafel 126 Cham-Bachgraben. Silices.
Schicht 1 (Horgen): 1-8 Spitzen; 9-18 Bohrer; 19.20 Kerbstücke; 21 Kombinationsgerät. M. 2:3.



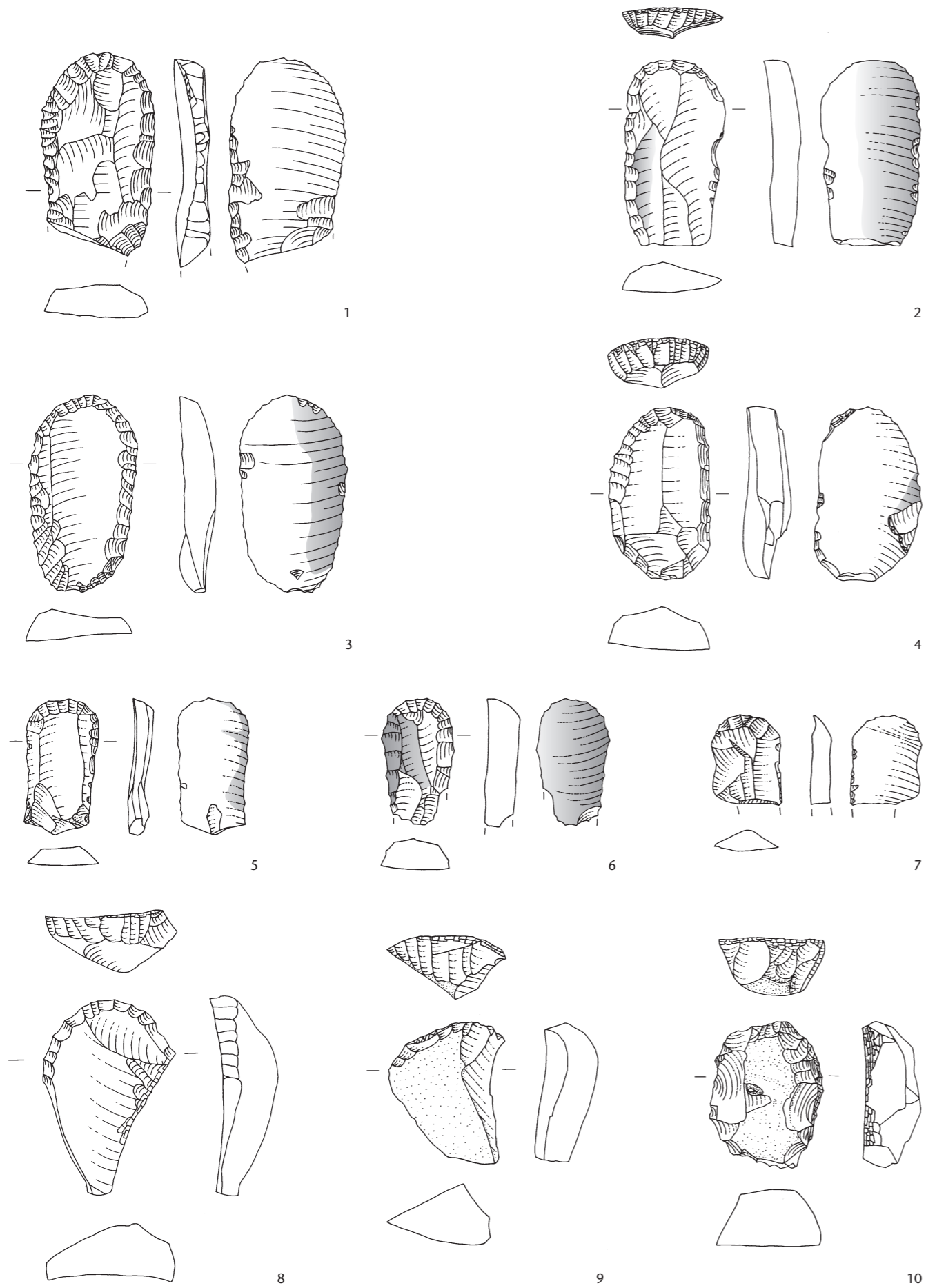
Tafel 127 Cham-Bachgraben. Silices.
Schicht 1 (Horgen): 1-5 Ausgesplitterte Stücke; 6-9 Feuerschlagsteine. M. 2:3.



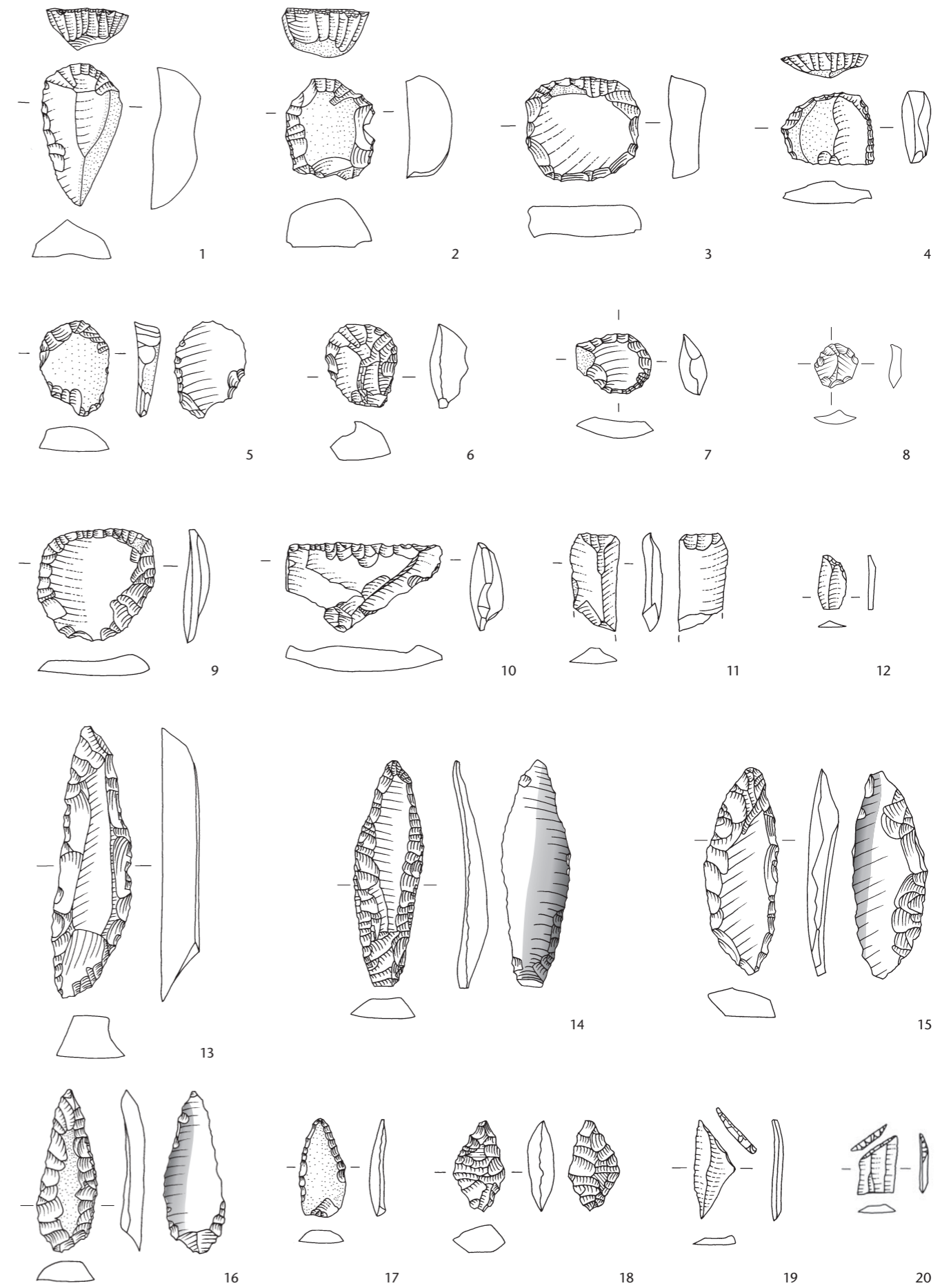
Tafel 128 Cham-Bachgraben. Silices.
Schicht 2 (Schnurkeramik): 1-15 Pfeilspitzen; 16-18 lateralretuschierte Klingen. M. 2:3.



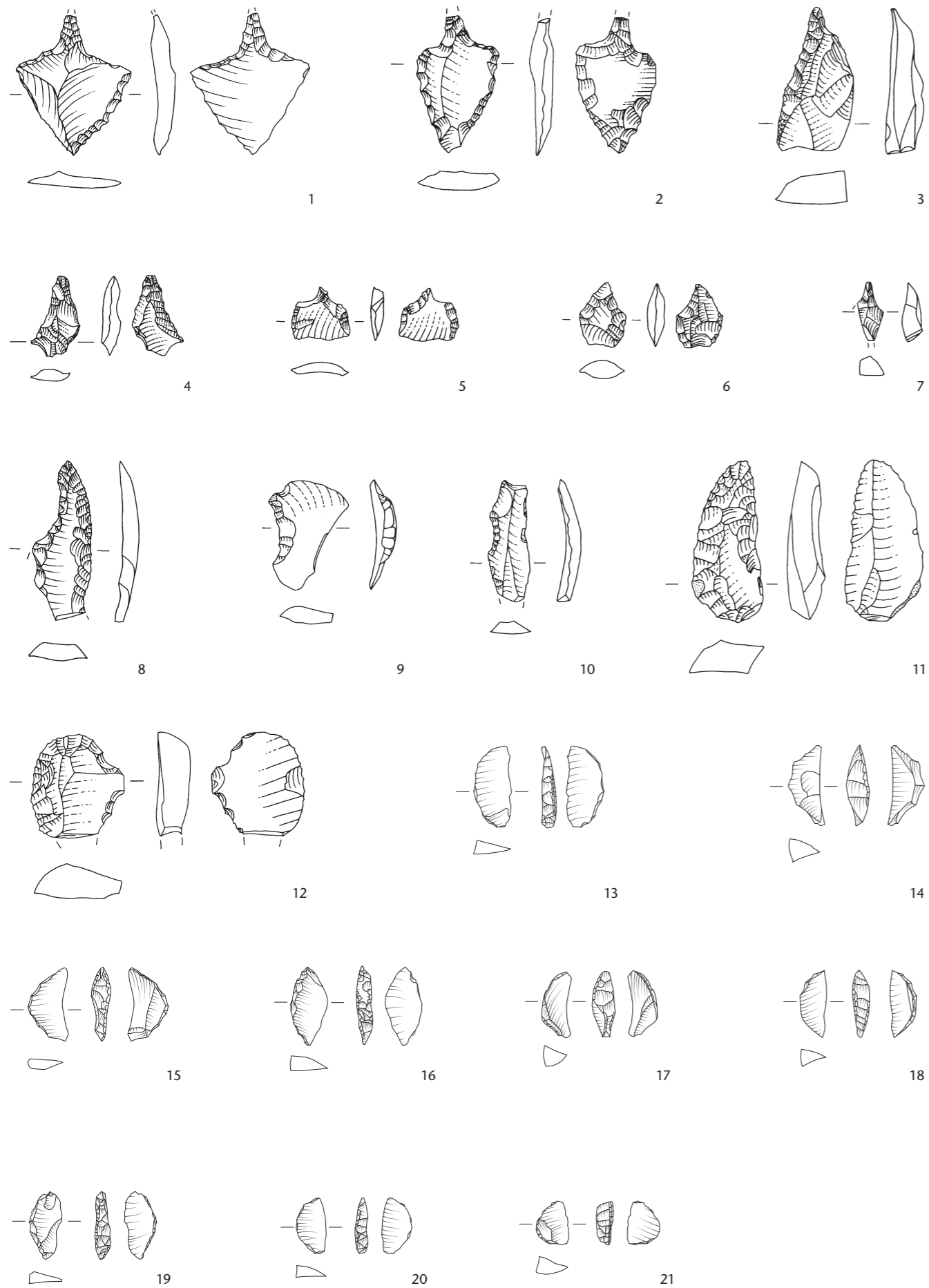
Tafel 129 Cham-Bachgraben. Silices.
Schicht 2 (Schnurkeramik): 1,2 lateralretuschierte Klingen; 3-8 lateralretuschierte Abschlage; 9-11 Klingen mit lateralen und ventralen Schaftungsretuschen. M. 2:3.



Tafel 130 Cham-Bachgraben. Silices.
Schicht 2 (Schnurkeramik): 1-10 Kratzer. M. 2:3.



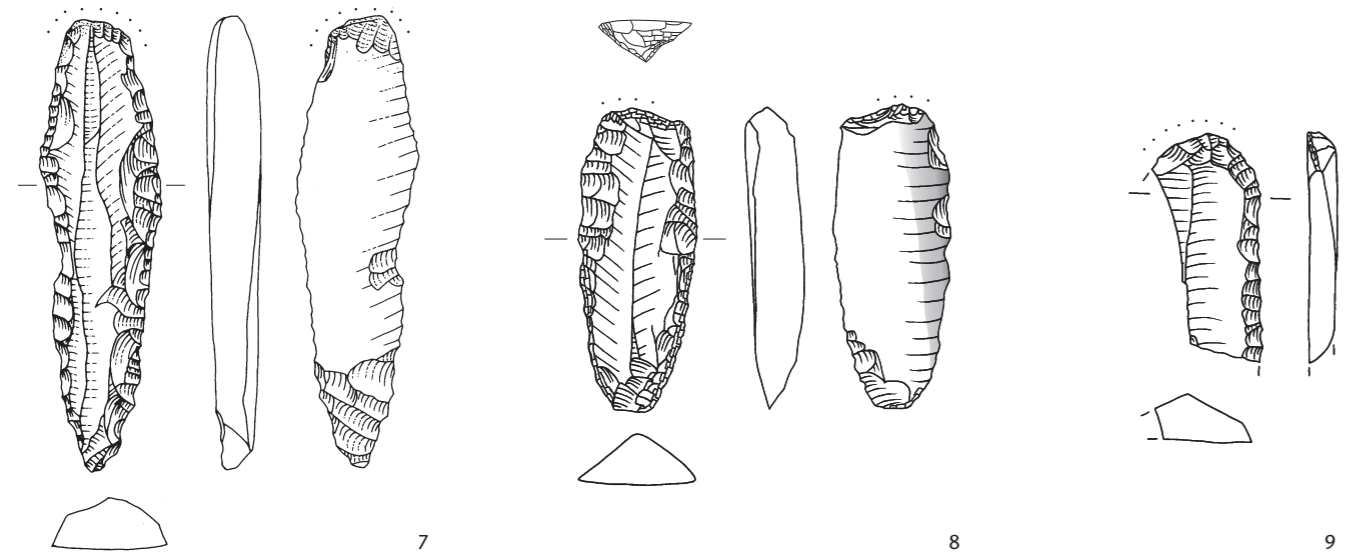
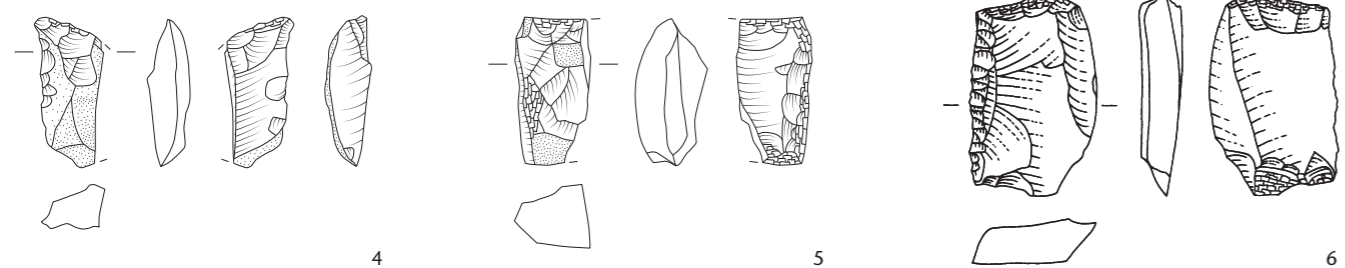
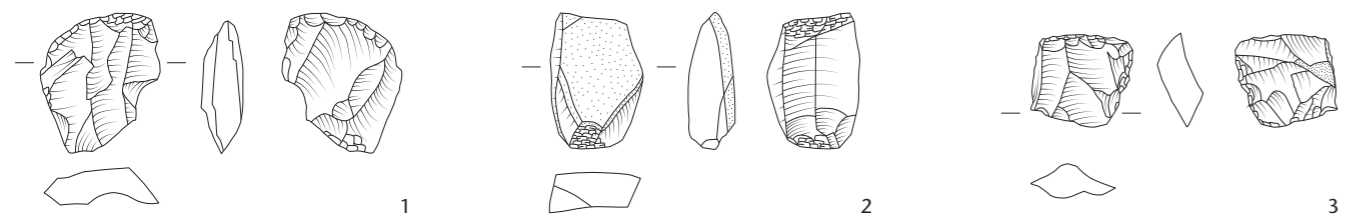
Tafel 131 Cham-Bachgraben. Silices.
Schicht 2 (Schnurkeramik): 1-8 Kratzer; 9.10 endretuschierte Abschlage; 11 endretuschierte Klinge; 12 endretuschierte Lamelle;
13-20 Spitzen. M. 2:3.



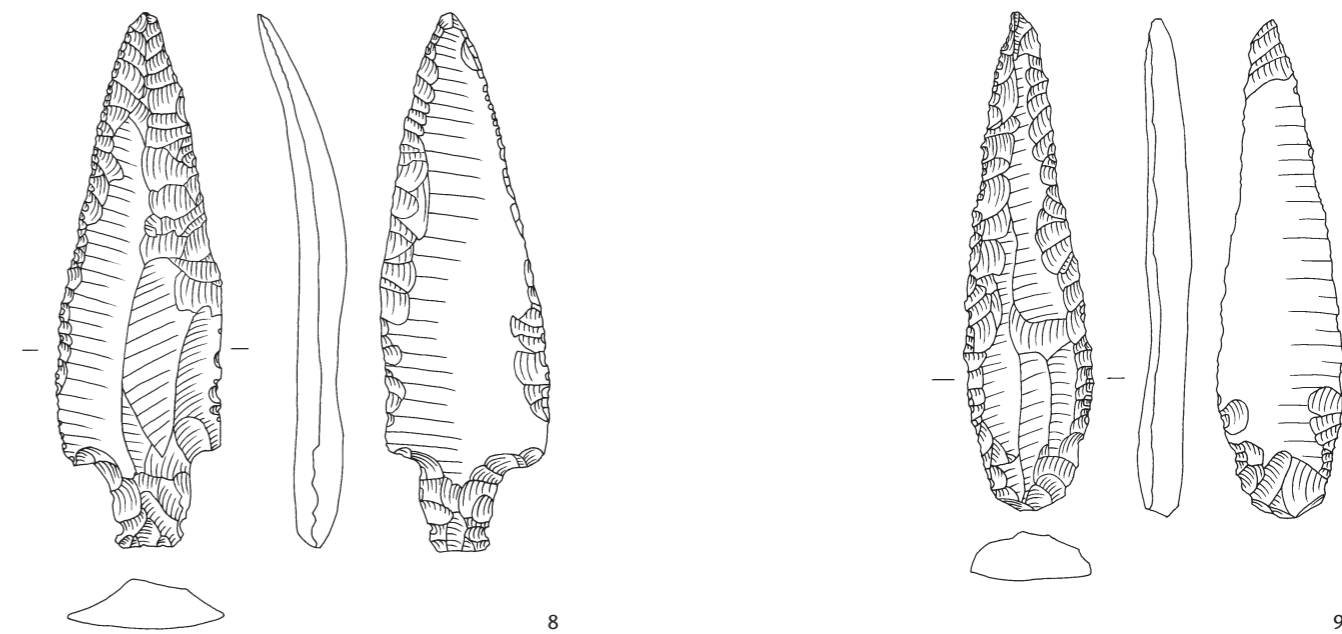
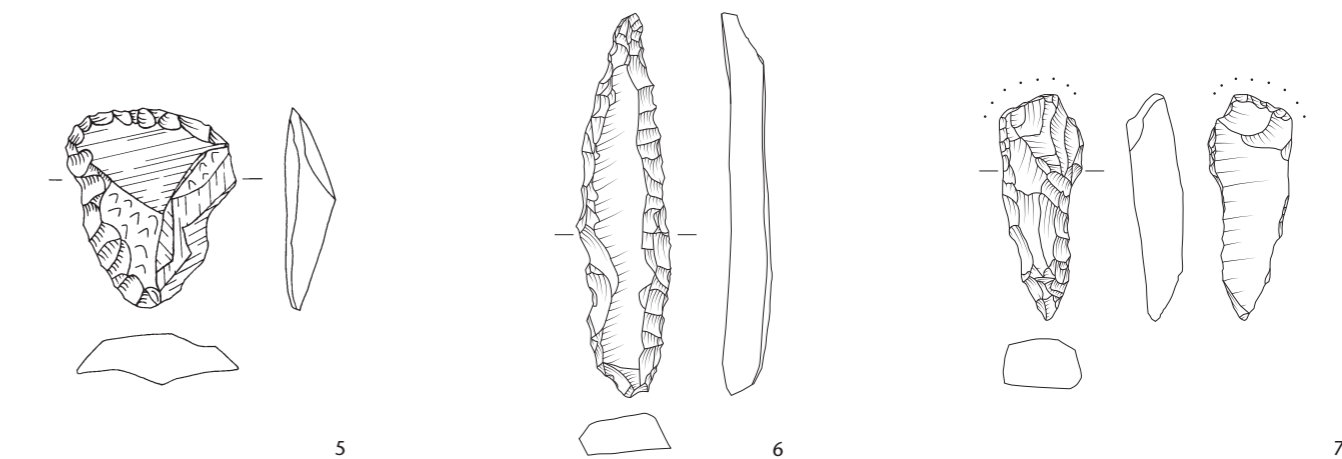
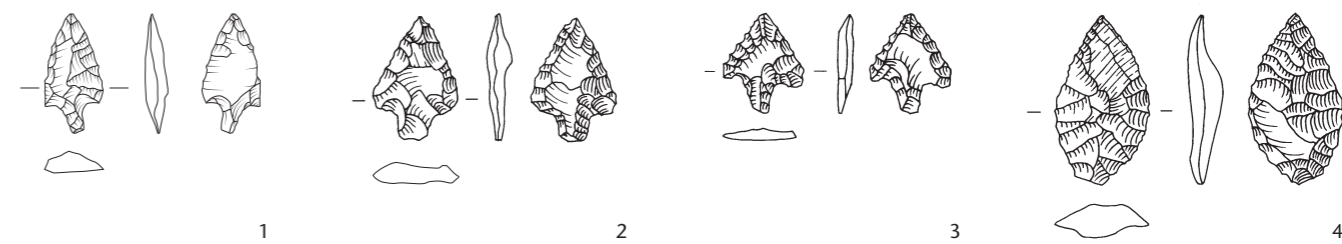
Tafel 132 Cham-Bachgraben. Silices.
 Schicht 2 (Schnurkeramik): 1-7 Bohrer; 8-10 Kerbstücke; 11 flächig retuschierter Abschlag; 12 Kombinationsgerät;
 13-21 Halbmondchen. M. 2:3.



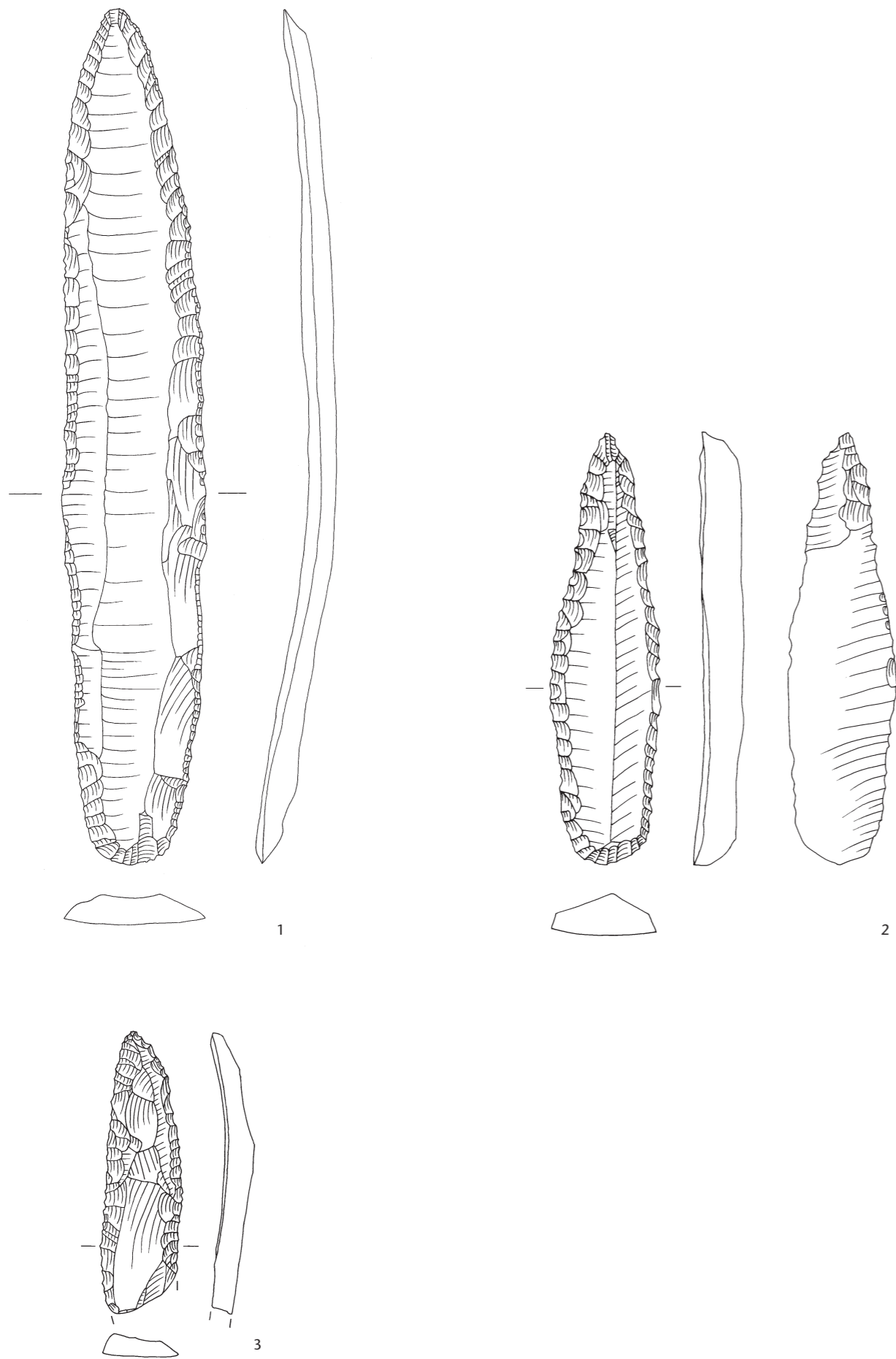
Tafel 133 Cham-Bachgraben. Silices.
 Schicht 2 (Schnurkeramik): 1-4 Dolchklingen; 5-11 Ausgesplitterte Stücke. M. 2:3.



Tafel 134 Cham-Bachgraben. Silices.
Schicht 2 (Schnurkeramik): 1–5 Ausgesplitterte Stücke; 6–9 Feuerschlagsteine. M. 2:3.



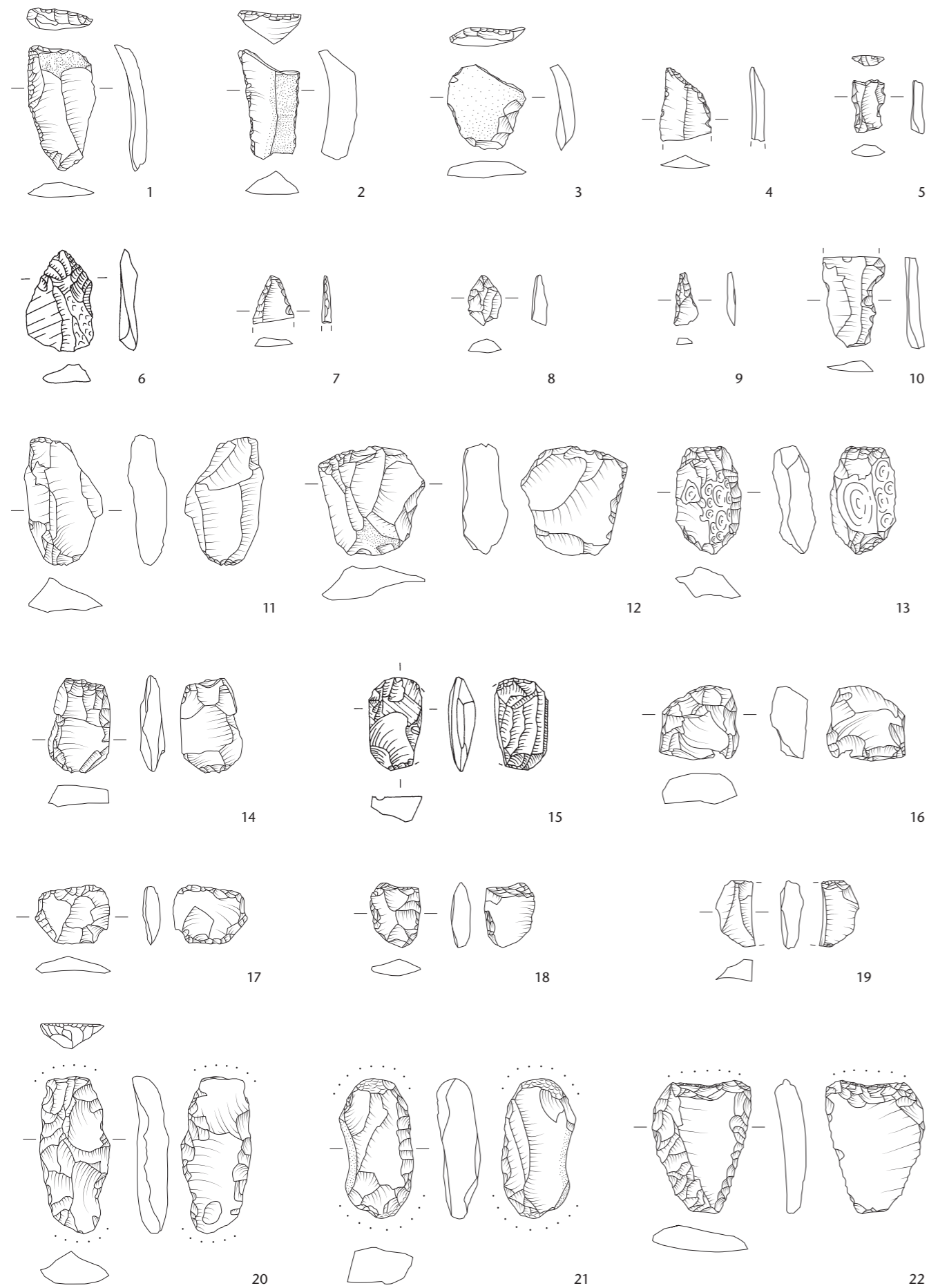
Tafel 135 Cham-Bachgraben. Silices.
Schicht 2 (vermishtes Schichtinventar): 1–4 Pfeilspitzen; 5 Kratzer; 6 Spitze; 7 Feuerschlagstein; 8,9 Dolchklingen. M. 2:3.



Tafel 136 Cham-Bachgraben. Silices.
Schicht 2 (vermishtes Schichtinventar): 1-3 Dolchklingen. M. 2:3.

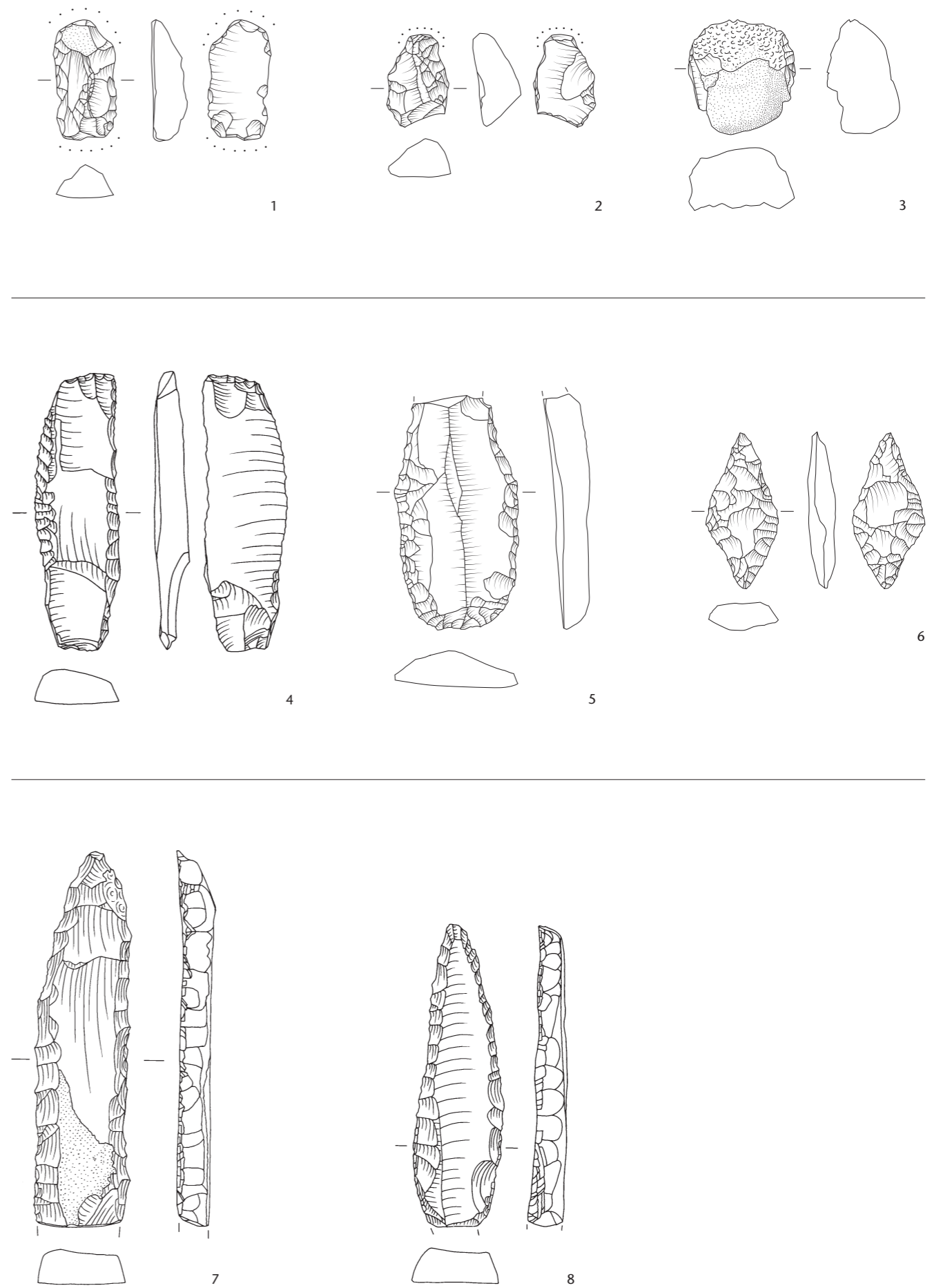


Tafel 137 Cham-Bachgraben. Silices.
Schicht 3 (Früh-/Mittelbronzezeit): 1-7 Pfeilspitzen; 8,9 lateralretuschierte Lamellen; 10 lateralretuschierte Klinge;
11-16 lateralretuschierte Abschläge; 17-21 Kratzer. M. 2:3.



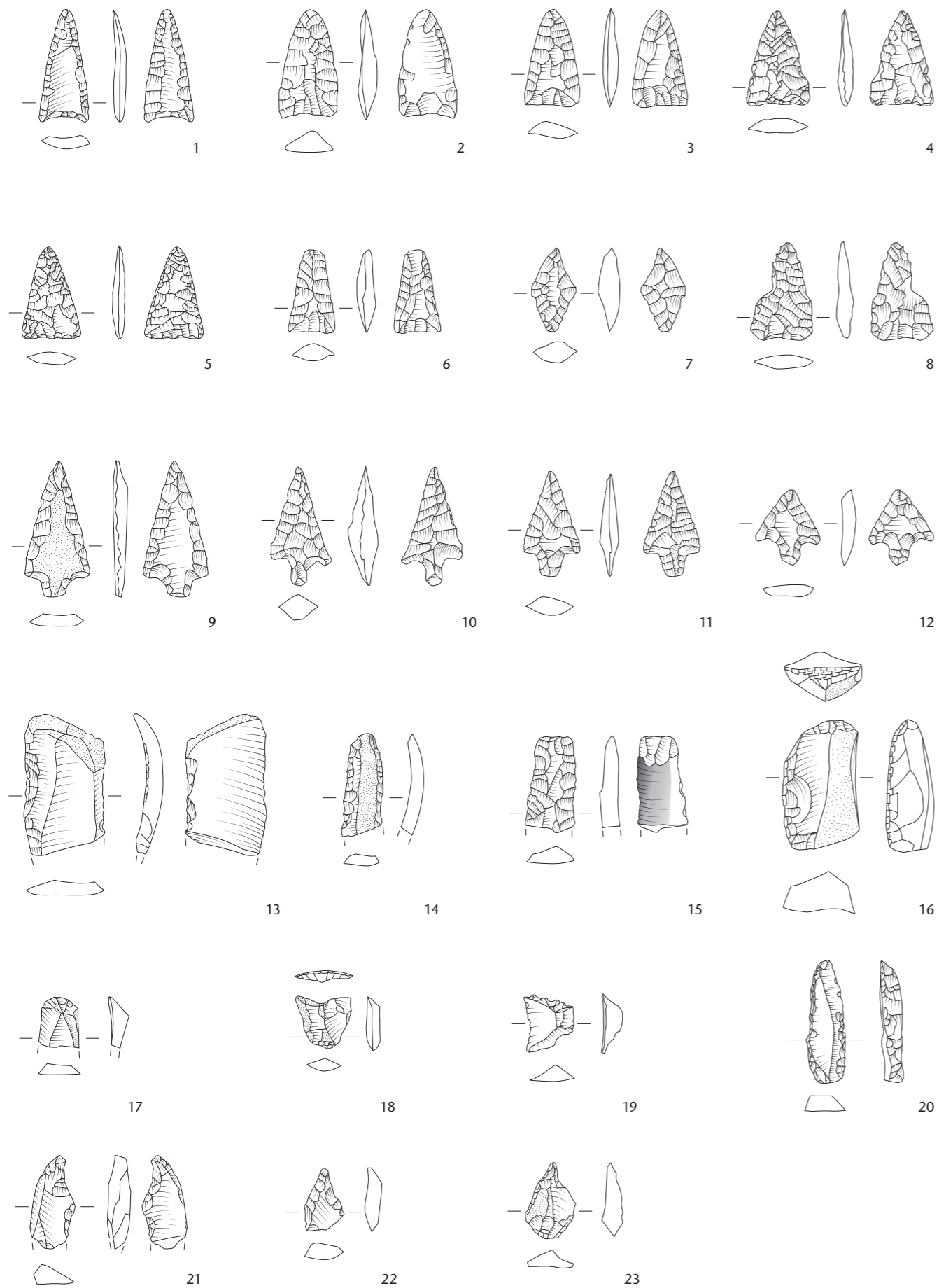
Tafel 138 Cham-Bachgraben. Silices.

Schicht 3 (Früh-/Mittelbronzezeit): 1-3.5 endretuschierte Abschläge; 4 endretuschierte Klinge; 6-9 Spitzen; 10 Kerbstück; 11-19 Ausgesplitterte Stücke; 20-22 Feuerschlagsteine. M. 2:3.

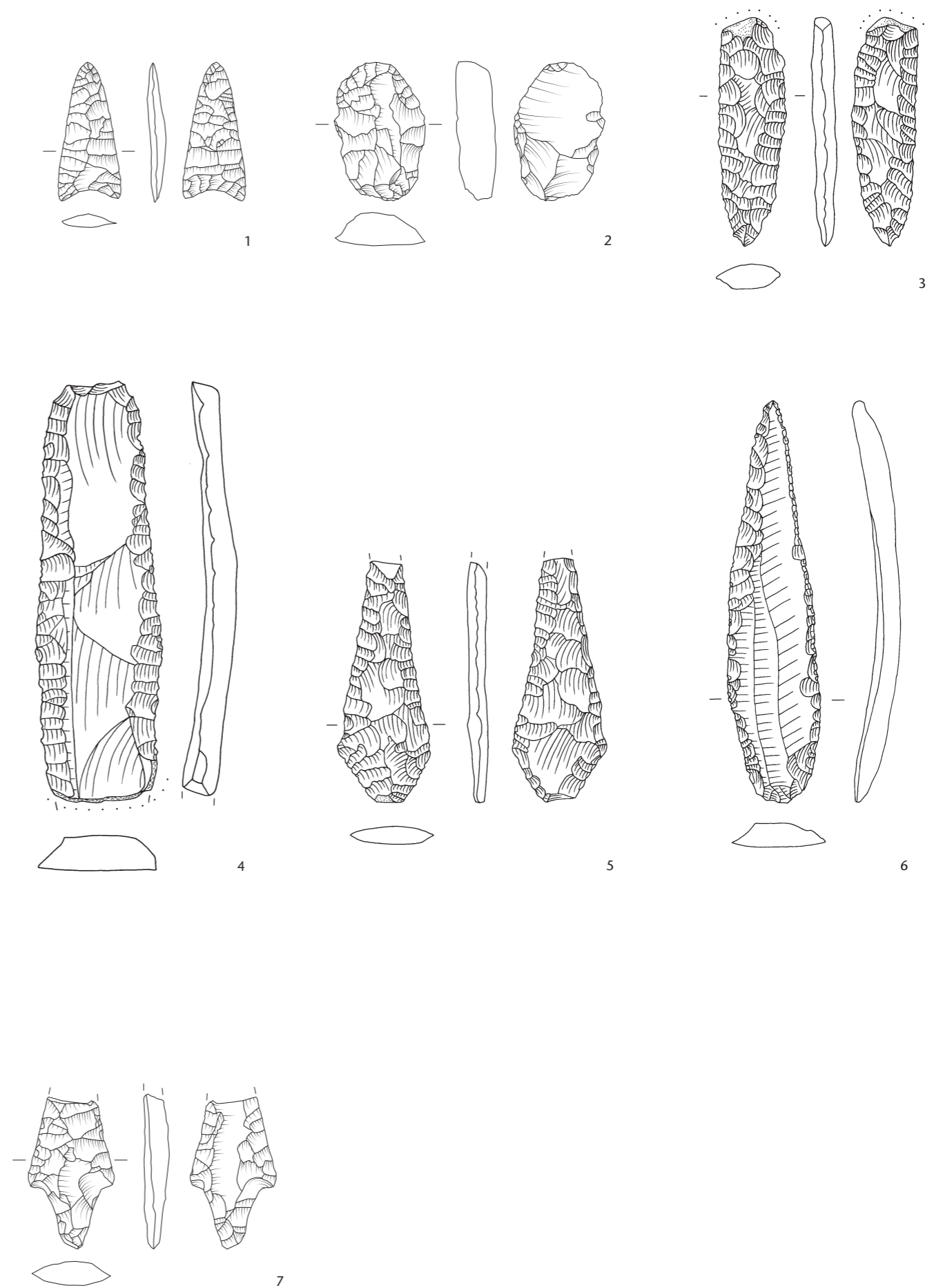


Tafel 139 Cham-Bachgraben. Silices.

Schicht 3 (Früh-/Mittelbronzezeit): 1.2 Feuerschlagsteine; 3 Klopstein. Schicht 0.3 (vermishtes Schichtinventar): 4 Ausgesplittertes Stück; 5.6 Dolchklingen. Schicht 4 (vermishtes Schichtinventar): 7.8 Dolchklingen. M. 2:3.



Tafel 140 Cham-Bachgraben. Silices.
 Schicht 5 (Früh-/Mittelbronzezeit?): 1-12 Pfeilspitzen; 13 lateralretuschierte Klinge; 14 lateralretuschierte Lamelle; 15 Klinge mit lateralen und ventralen Schäftungsretuschen; 16.17 Kratzer; 18 endretuschierter Abschlag; 19 endretuschierte Klinge; 20.21 Spitzen; 22.23 Bohrer. M. 2:3.




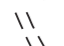
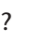











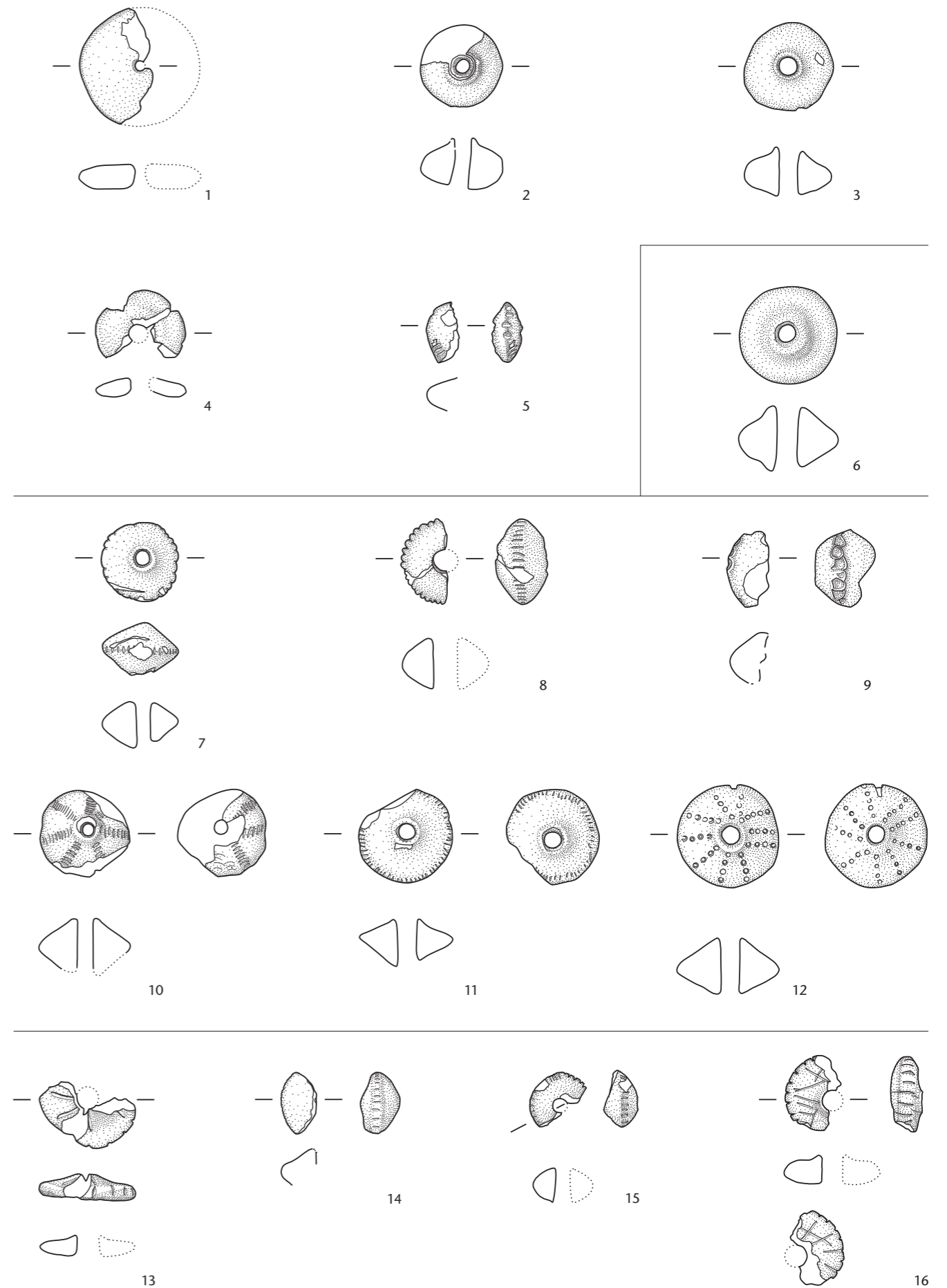
Tafel 141 Cham-Bachgraben. Silices.
 Schicht 5 (vermishtes Schichtinventar): 1 Pfeilspitze; 2 Kratzer; 3 Feuerschlagstein; 4-7 Dolchklingen. M. 2:3.

Zu Band 2, Kap. VI

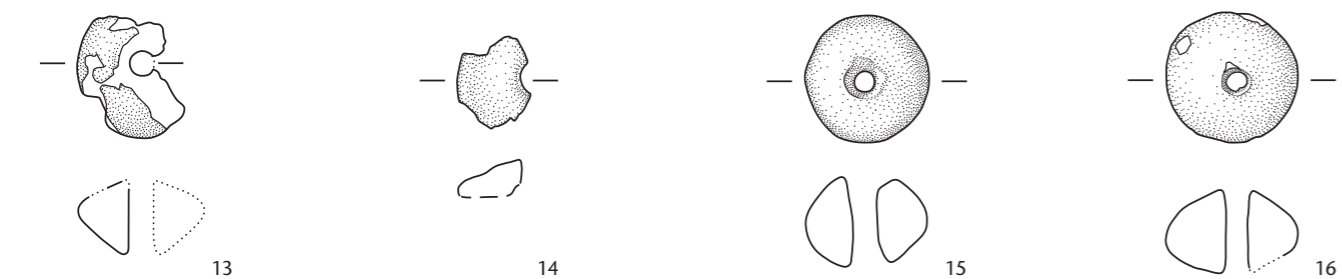
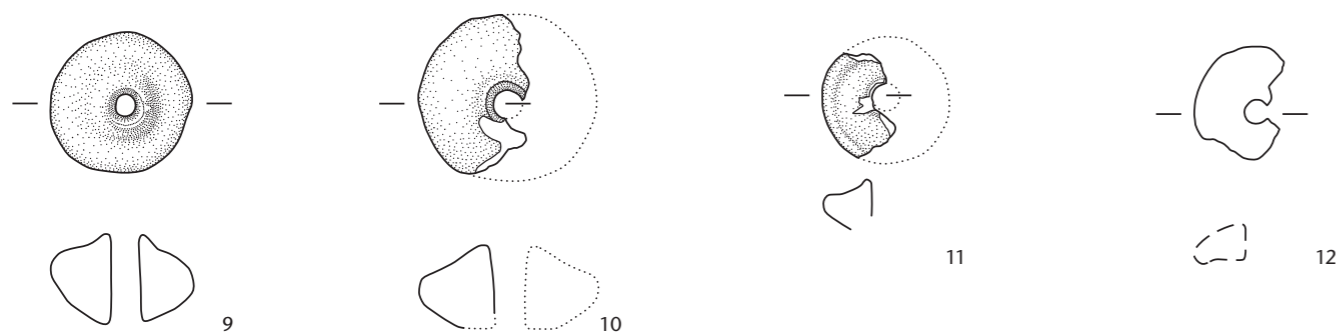
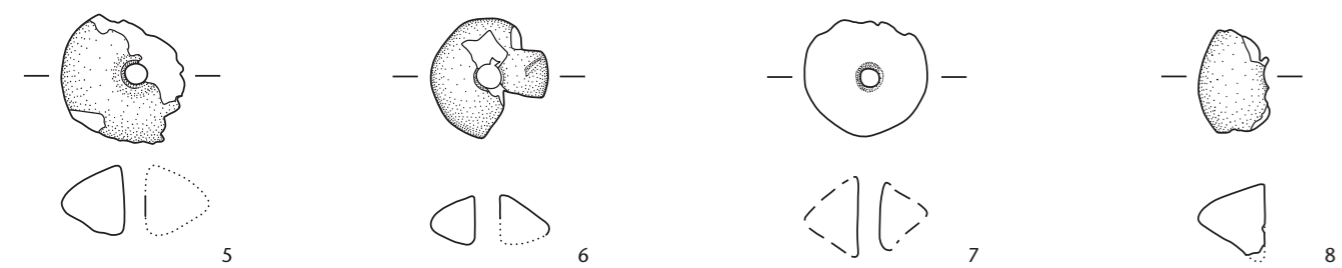
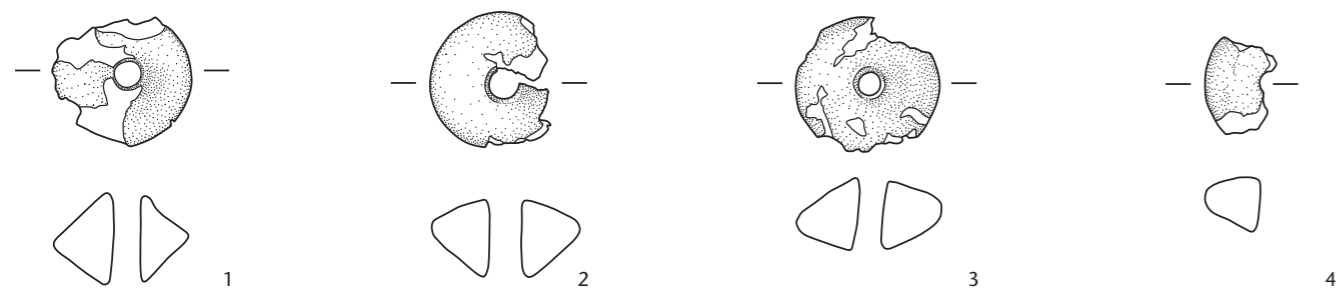
Taf.	Kat.	Angenommene Zeitstellung	Objekt	Typ	Gewicht (g)	Y-Koord.	X-Koord.	Ereignis	FK	Laufnr.	Feld	Pos.	Schicht
142	1	mittleres Horgen	Spinnwirtel	scheibenförmig, Klasse I	31	678521	226503	448	6340	1	113	3290	1 (Horgen)
142	2	Schnurkeramik?	Spinnwirtel	doppelkonisch, Klasse III	48	678522	226506	448	11824	1	149	4087	1 (Horgen)
142	3	Schnurkeramik?	Spinnwirtel	doppelkonisch, Klasse III	51	678515	226499	448	10586	2	132	3962	1 (Horgen)
142	4	mittleres Horgen	Spinnwirtel	scheibenförmig, Klasse I, mit konkaver Basis	14	678513	226511	448	2605	2	69	1546	1 (Horgen)
142	5	Schnurkeramik?	Spinnwirtel	unbestimmbar	8	678513	226499	448	4417	10	99	2522	1 (Horgen)
142	6	Schnurkeramik?	Spinnwirtel	doppelkonisch, Klasse III	84	678507	226495	448	9816	1	128	3841	0.1 (vermishtes Schichtinventar)
142	7	Schnurkeramik	Spinnwirtel	doppelkonisch, Klasse III	37	–	226509	448	10224	1	92	2361	2 (Schnurkeramik)
142	8	Schnurkeramik	Spinnwirtel	doppelkonisch, Klasse III	25	678519	226513	448	4204	4	91	2359	2 (Schnurkeramik)
142	9	Schnurkeramik	Spinnwirtel	doppelkonisch	26	678524	226508	448	11258	8	149	4151	2 (Schnurkeramik)
142	10	Schnurkeramik	Spinnwirtel	doppelkonisch, Klasse III	57	678520	226507	448	6169	4	92	2930	2 (Schnurkeramik)
142	11	Schnurkeramik	Spinnwirtel	doppelkonisch, Klasse III	45	678517	226508	448	11170	1	150	4141	2 (Schnurkeramik)
142	12	Schnurkeramik	Spinnwirtel	doppelkonisch, Klasse III	72	678533	226509	448	9854	1	134	3446	2 (Schnurkeramik)
142	13	Schnurkeramik? spätes Horgen?	Spinnwirtel	scheibenförmig, Klasse II	15	678516	226493	448	3124	1	70	1766	2 (vermishtes Schichtinventar)
142	14	Schnurkeramik?	Spinnwirtel	doppelkonisch	11	678543	226495	448	16367	17	175	4666	2 (vermishtes Schichtinventar)
142	15	Schnurkeramik?	Spinnwirtel	doppelkonisch, Klasse III	10	678503	226504	448	4552	5	100	2518	2 (vermishtes Schichtinventar)
142	16	Schnurkeramik? spätes Horgen?	Spinnwirtel	scheibenförmig, Klasse II	18	678512	226494	448	7157	10	107	3465	2 (vermishtes Schichtinventar)
143	1	Schnurkeramik	Spinnwirtel	doppelkonisch, Klasse III	56	678520	226506	448	4846	1	92	2361	2 (Schnurkeramik)
143	2	Schnurkeramik	Spinnwirtel	doppelkonisch, Klasse III	49	678514	226510	448	6536	20	117	3279	2 (Schnurkeramik)
143	3	Schnurkeramik	Spinnwirtel	doppelkonisch, Klasse III	56	678513	226510	448	2588	4	69	1538	2 (Schnurkeramik)
143	4	Schnurkeramik	Spinnwirtel	doppelkonisch	18	678525	226500	448	9349	24	131	3818	2 (Schnurkeramik)
143	5	Schnurkeramik	Spinnwirtel	doppelkonisch, Klasse III	39	678516	226509	448	11211	1	150	4141	2 (Schnurkeramik)
143	6	Schnurkeramik	Spinnwirtel	doppelkonisch, Klasse II	24	678520	226508	448	6171	1	92	2930	2 (Schnurkeramik)
143	7	Schnurkeramik	Spinnwirtel	doppelkonisch, Klasse III	43	678514	226509	448	11008	1	150	4078	2 (Schnurkeramik)
143	8	Schnurkeramik	Spinnwirtel	doppelkonisch	22	678517	226500	448	9965	3	132	3840	2 (Schnurkeramik)
143	9	Schnurkeramik?	Spinnwirtel	doppelkonisch, Klasse III	82	678510	226496	448	7161	8	107	3465	2 (vermishtes Schichtinventar)
143	10	Schnurkeramik?	Spinnwirtel	doppelkonisch, Klasse III	71	678512	226494	448	6986	9	107	3465	2 (vermishtes Schichtinventar)
143	11	Schnurkeramik?	Spinnwirtel	doppelkonisch	13	678536	226499	448	16956	5	176	4682	2 (vermishtes Schichtinventar)
143	12	Schnurkeramik?	Spinnwirtel	unbestimmbar	15	678536	226486	448	13836	12	163	4423	2 (vermishtes Schichtinventar)
143	13	Schnurkeramik?	Spinnwirtel	doppelkonisch, Klasse III	31	678513	226503	448	4312	1	99	2480	2 (vermishtes Schichtinventar)
143	14	Schnurkeramik?	Spinnwirtel	doppelkonisch	13	678512	226495	448	6795	14	107	3228	2 (vermishtes Schichtinventar)
143	15	Schnurkeramik?	Spinnwirtel	doppelkonisch, Klasse III	73	678506	226494	448	9308	1	128	3736	2 (vermishtes Schichtinventar)
143	16	Schnurkeramik?	Spinnwirtel	doppelkonisch, Klasse III	72	678537	226492	448	15656	1	171	4628/31	2 (vermishtes Schichtinventar)
144	1	Schnurkeramik?	Spinnwirtel	doppelkonisch, Klasse III	72	678537	226499	448	16101	1	176	4658	0.2 (vermishtes Schichtinventar)
144	2	Schnurkeramik?	Spinnwirtel	doppelkonisch, Klasse III	22	678535	226498	448	16038	5	176	4658	0.2 (vermishtes Schichtinventar)
144	3	Schnurkeramik?	Spinnwirtel	unbestimmbar	10	678535	226497	448	15796	18	176	4656	0.3 (vermishtes Schichtinventar)
144	4	Schnurkeramik?	Spinnwirtel	doppelkonisch, Klasse III	23	678524	226495	448	2548	2	65	1487	0.3 (vermishtes Schichtinventar)
144	5	Schnurkeramik?	Spinnwirtel	doppelkonisch, Klasse III	42	678520	226499	448	6007	11	113	3108	0.3 (vermishtes Schichtinventar)
144	6	Schnurkeramik?	Spinnwirtel	doppelkonisch, Klasse III	53	678529	226511	448	4250	14	97	2472	0.3 (vermishtes Schichtinventar)
144	7	Schnurkeramik?	Spinnwirtel	scheibenförmig, Klasse II	15	678531	226490	448	14790	1	167	4541	5 (vermishtes Schichtinventar)
144	8	Schnurkeramik?	Spinnwirtel	doppelkonisch, Klasse III	85	678535	226482	448	12576	1	156	4323	5 (vermishtes Schichtinventar)
144	9	Schnurkeramik?	Spinnwirtel	doppelkonisch, Klasse III	63	678530	226494	448	14571	1	167	4530	5 (vermishtes Schichtinventar)
144	10	Schnurkeramik?	Spinnwirtel	doppelkonisch, Klasse III	26	678525	226496	448	2653	4	65	1548	5 (vermishtes Schichtinventar)
144	11	Schnurkeramik?	Spinnwirtel	doppelkonisch, Klasse III	53	678530	226486	448	13798	1	164	4459	5 (vermishtes Schichtinventar)
144	12	Schnurkeramik?	Spinnwirtel	doppelkonisch, Klasse III	46	678536	226486	448	13107	1	163	4408	5 (vermishtes Schichtinventar)
145	1	mittleres Horgen	Webgewicht	kegelförmig	565	678519	226506	448	7727	1	92	3565	1 (Horgen)
145	2	mittleres Horgen	Webgewicht	kegelförmig	268	678520	226505	448	7840	1	92	3565	1 (Horgen)
145	3	mittleres Horgen	Webgewicht	kegelförmig	635	678521	226510	448	6031	1	91	2524	1 (Horgen)
145	4	mittleres Horgen	Webgewicht	kegelförmig	535	678520	226504	448	8391	1	113	3299	1 (Horgen)
145	5	mittleres Horgen	Webgewicht	kegelförmig	897	678519	226504	448	8389	2	113	3299	1 (Horgen)
145	6	mittleres Horgen	Webgewicht	kegelförmig	434	678511	226512	448	2647	1	69	1546	1 (Horgen)
146	1	mittleres Horgen?	Webgewicht	kegelförmig	428	678510	226497	448	8255	3	107	3687	1 (vermishtes Schichtinventar)
146	2	mittleres Horgen?	Webgewicht	kegelförmig	710	678510	226497	448	8255	6	107	3687	1 (vermishtes Schichtinventar)
146	3	mittleres Horgen	Webgewicht	ringförmig	747	678519	226504	448	8389	1	113	3299	1 (Horgen)
146	4	mittleres Horgen	Webgewicht	ringförmig	854	678519	226505	448	7724	1	92	3565	1 (Horgen)
146	5	mittleres Horgen	Webgewicht	ringförmig	1171	678520	226504	448	8393	1	113	3299	1 (Horgen)
146	6	mittleres Horgen	Webgewicht	ringförmig	1070	678519	226505	448	7723	1	92	3565	1 (Horgen)
147	1	mittleres Horgen	Webgewicht	ringförmig	465	678520	226504	448	8393	3	113	3299	1 (Horgen)
147	2	mittleres Horgen	Webgewicht	ringförmig	1027	678520	226505	448	7725	1	92	3565	1 (Horgen)
147	3	mittleres Horgen	Webgewicht	ringförmig	557	678520	226504	448	8393	4	113	3299	1 (Horgen)
147	4	mittleres Horgen	Webgewicht	ringförmig	1129	678520	226504	448	8393	2	113	3299	1 (Horgen)
148	1	Schnurkeramik	Webgewicht	ringförmig?	224	678521	226511	448	4740	1	91	2501	2 (Schnurkeramik)
148	2	Schnurkeramik	Webgewicht	ringförmig	684	678519	226511	448	4738	1	91	2500	2 (Schnurkeramik)
148	3	Schnurkeramik	Webgewicht	ringförmig	568	678520	226511	448	4741	1	91	2501	2 (Schnurkeramik)
148	4	Schnurkeramik	Webgewicht	ringförmig	380	678521	226511	448	4739	1	91	2501	2 (Schnurkeramik)
148	5	Schnurkeramik	Webgewicht	ringförmig	588	678522	226504	448	8908	1	131	3773	2 (Schnurkeramik)
148	6	Schnurkeramik	Webgewicht	ringförmig	799	678517	226508	448	11055	8	150	4141	2 (Schnurkeramik)
148	7	Schnurkeramik	Webgewicht	ringförmig	692	678521	226511	448	4740	2	91	2501	2 (Schnurkeramik)
148	8	Schnurkeramik?	Webgewicht	ringförmig	391	678516	226497	448	3046	1	70	1766	2 (vermishtes Schichtinventar)
148	9	Schnurkeramik?	Webgewicht	ringförmig	312	678517	226496	448	3199	1	70	1808	2 (vermishtes Schichtinventar)

Signaturen Gefäßkeramik und Textilkeramik

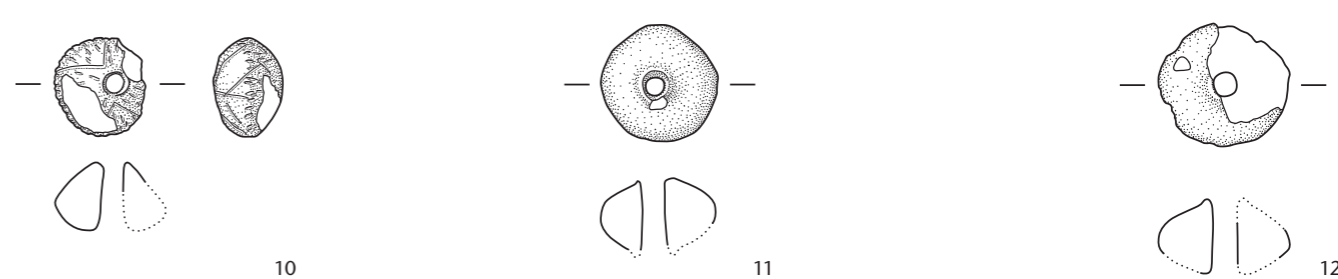
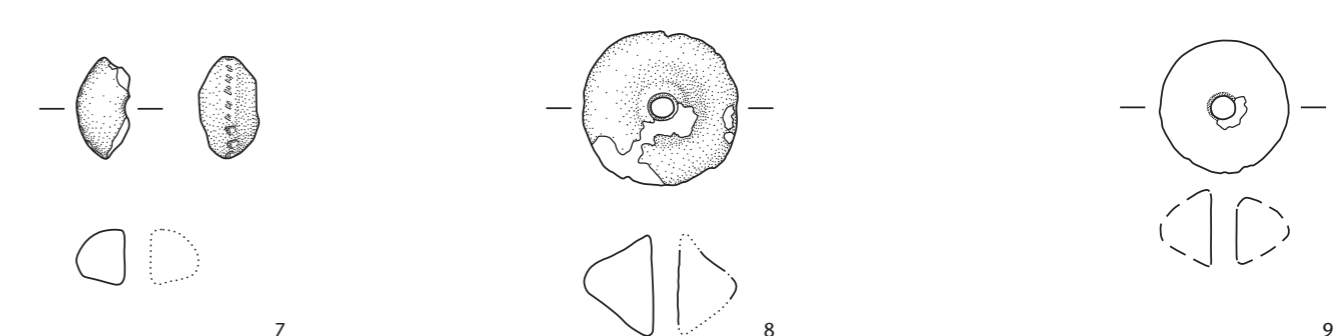
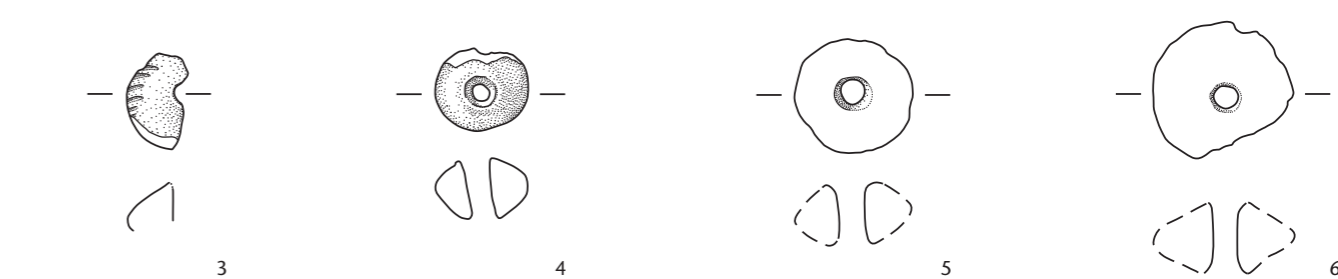
-  Intakte Oberfläche
-  Stark erodierte Oberfläche
-  Schnittebene intakt
-  Schnittebene stark erodiert
-  Unsicherer Mündungsdurchmesser
-  Angekohlte Speisekruste (schwarze Partie)
-  Gefäßprofil nicht durchgehend, sondern rekonstruiert
-  Angenommene Ergänzungen
-  Erhaltene Gefäßpartie in der Schnittebene (schwarz) mit Anzahl und Stellung der Lochreihen (durchgehend)
-  Erhaltene Gefäßpartie in der Schnittebene (schwarz) mit Anzahl und Stellung der Lochreihen (nicht durchgehend)
-  Erhaltene Gefäßpartie in der Schnittebene (schwarz) mit Anzahl und Stellung der Griffklappen sowie zugehörigen, aber nicht anpassenden Griffklappen (im Kreisinnern) und ergänzten Griffklappen (nicht schwarz), erschlossen aus der Anzahl der vorhandenen Griffklappen (gilt auch für Knubben)
-  Erhaltene Gefäßpartie in der Schnittebene (schwarz) mit Anzahl und Stellung der vorhandenen und ergänzten doppelgipfligen Griffklappen
-  Erhaltene Gefäßpartie in der Schnittebene (schwarz) mit Anzahl und Stellung der Ösen
-  Erhaltene Gefäßpartie in der Schnittebene (schwarz) mit Anzahl und Stellung der Henkel



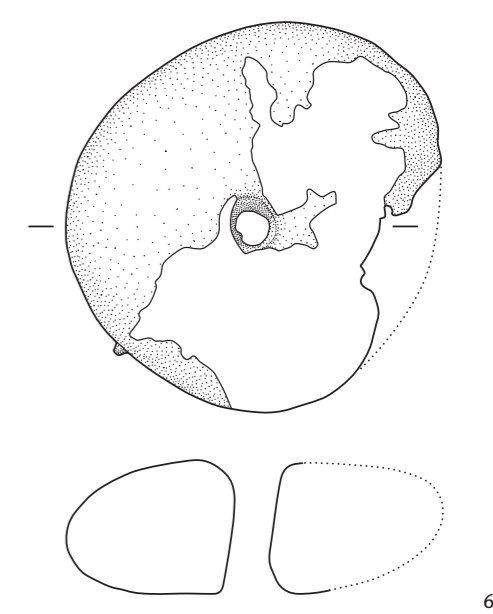
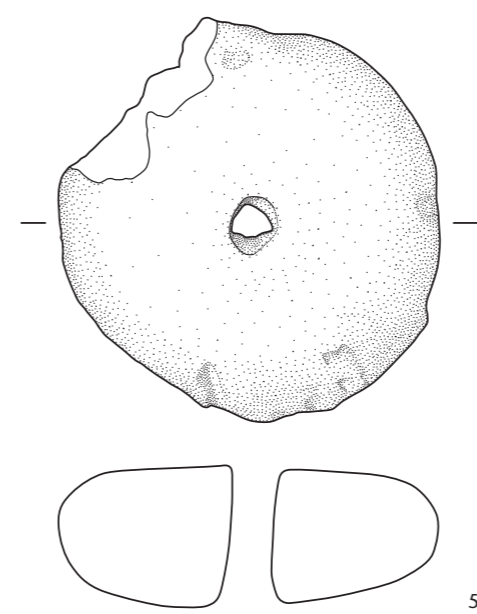
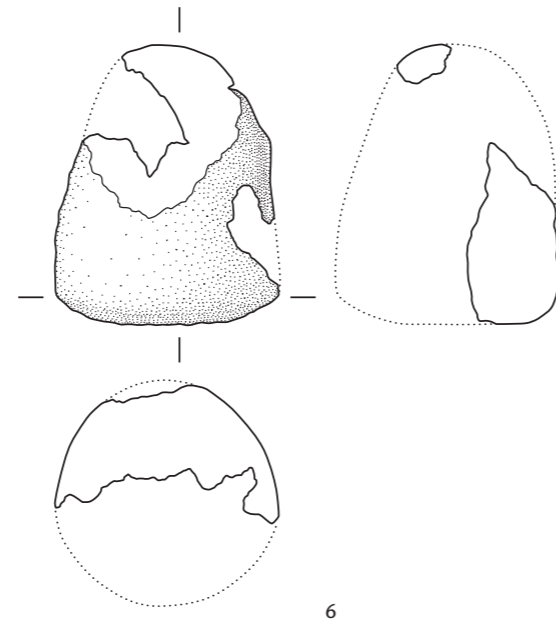
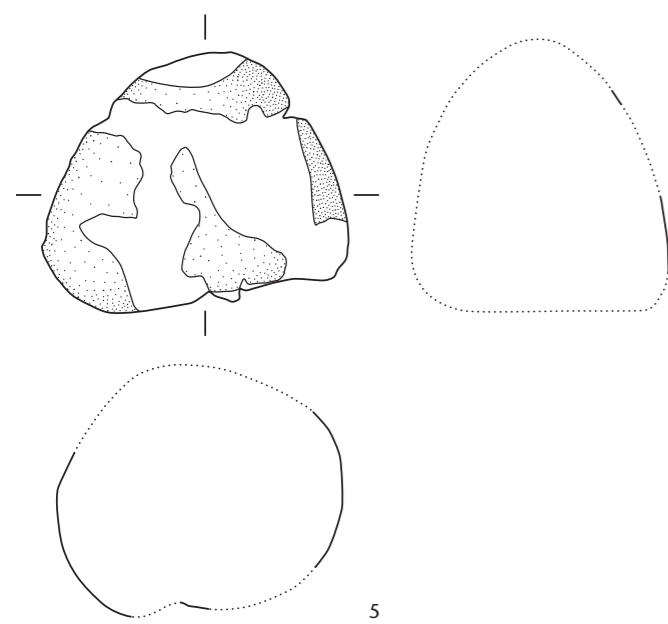
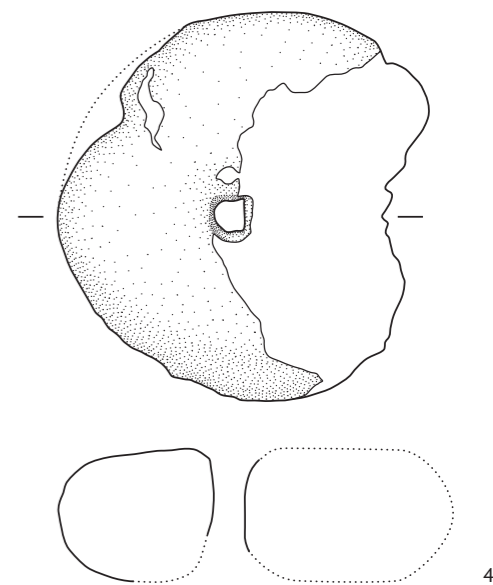
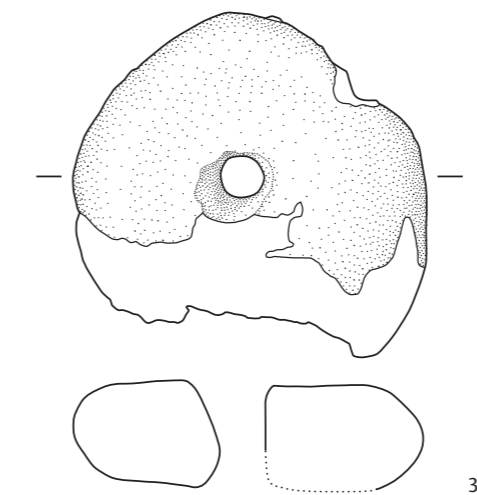
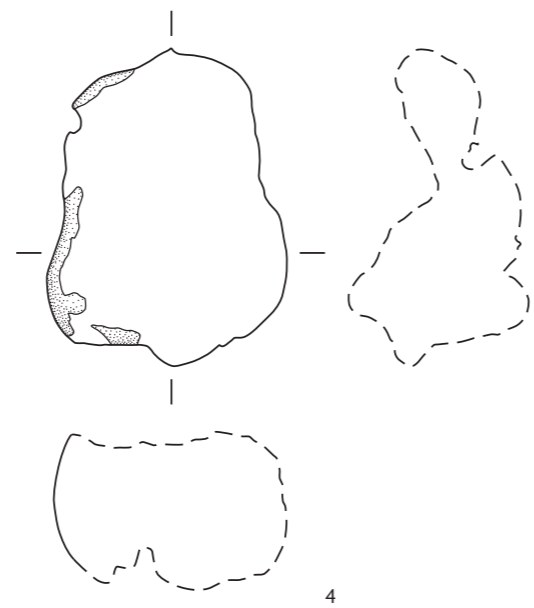
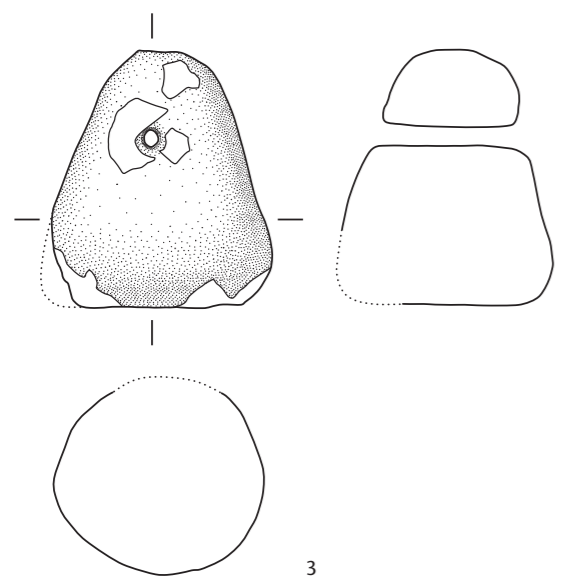
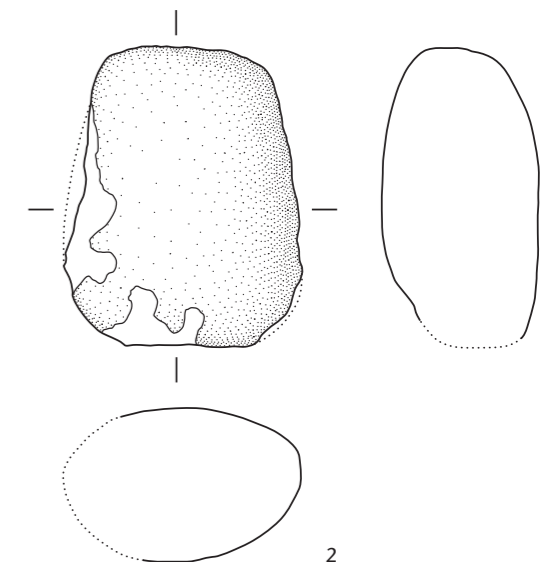
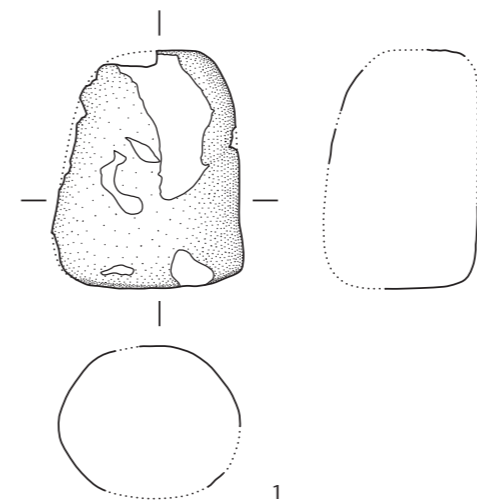
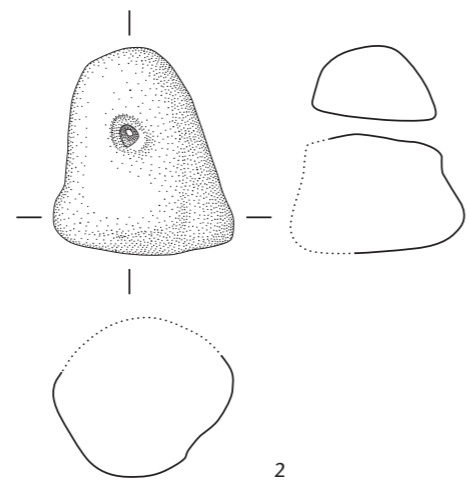
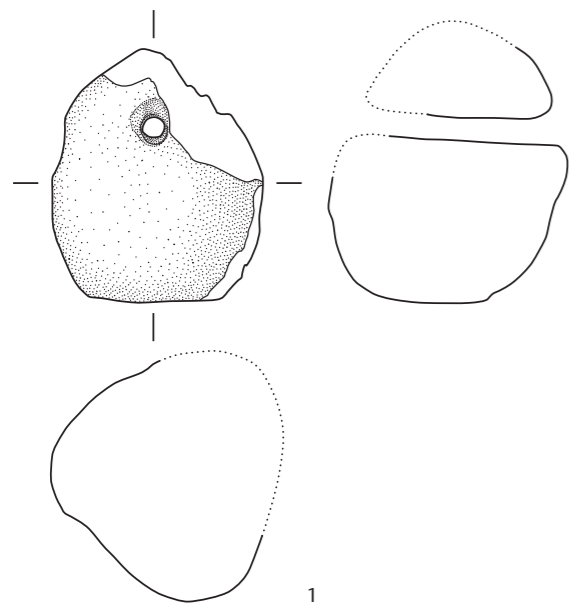
Tafel 142 Cham-Bachgraben. Textilkeramik.
 Schicht 1 (Horgen): 1–5 Spinnwirtel. Schicht 0.1 (vermishtes Schichtinventar): 6 Spinnwirtel. Schicht 2 (Schnurkeramik): 7–12 Spinnwirtel. Schicht 2 (vermishtes Schichtinventar): 13–16 Spinnwirtel. M. 1:3.



Tafel 143 Cham-Bachgraben. Textilkeramik.
 Schicht 2 (Schnurkeramik): 1–8 Spinnwirtel. Schicht 2 (vermischtes Schichtinventar): 9–16 Spinnwirtel. M. 1:3.

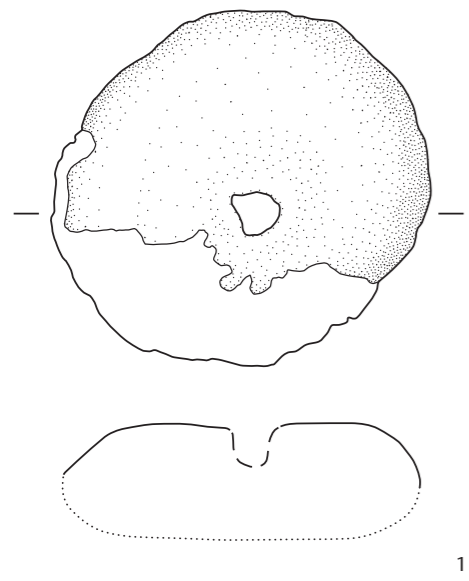


Tafel 144 Cham-Bachgraben. Textilkeramik.
 Schicht 0.2 (vermischtes Schichtinventar): 1.2 Spinnwirtel. Schicht 0.3 (vermischtes Schichtinventar): 3–6 Spinnwirtel.
 Schicht 5 (vermischtes Schichtinventar): 7–12 Spinnwirtel. M. 1:3.

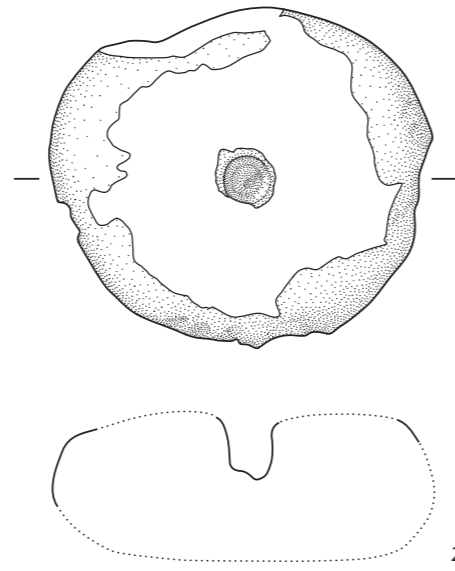


Tafel 145 Cham-Bachgraben. Textilkeramik.
Schicht 1 (Horgen): 1-6 Webgewichte. M. 1:3.

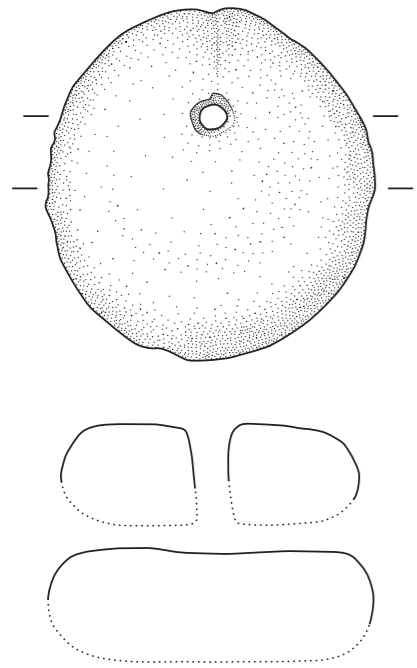
Tafel 146 Cham-Bachgraben. Textilkeramik.
Schicht 1 (vermishtes Schichtinventar): 1.2 Webgewichte. Schicht 1 (Horgen): 3-6 Webgewichte. M. 1:3.



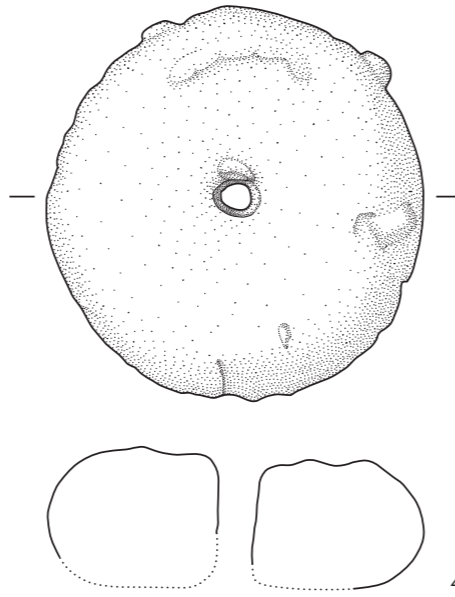
1



2

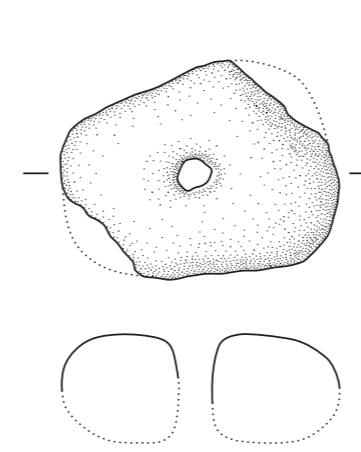


3

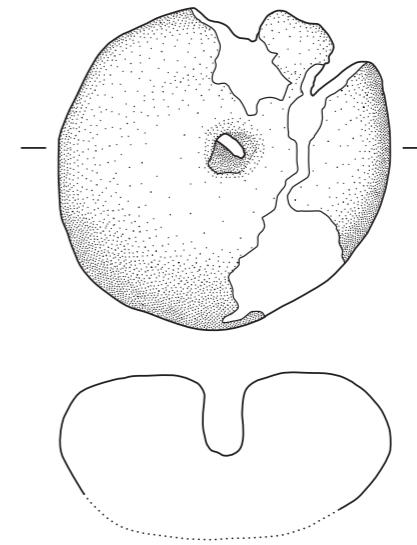


4

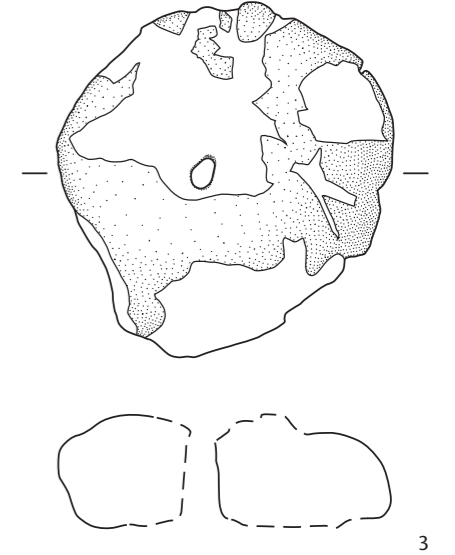
Tafel 147 Cham-Bachgraben. Textilkeramik.
Schicht 1 (Horgen): 1-4 Webgewichte. M. 1:3.



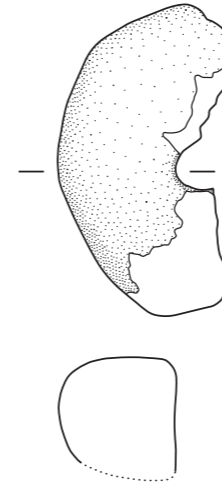
1



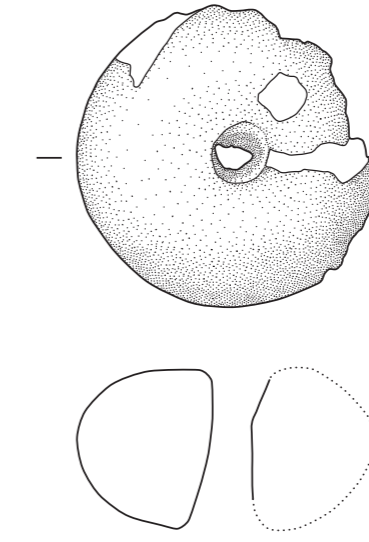
2



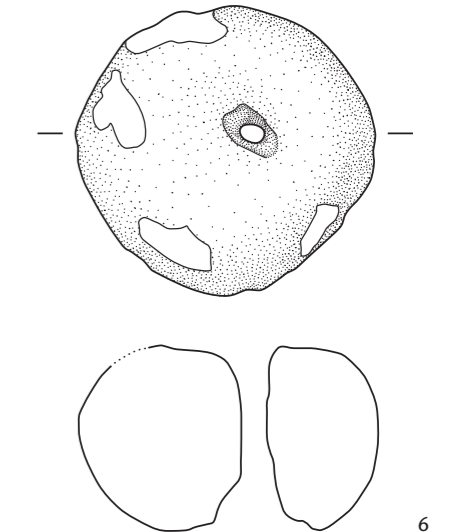
3



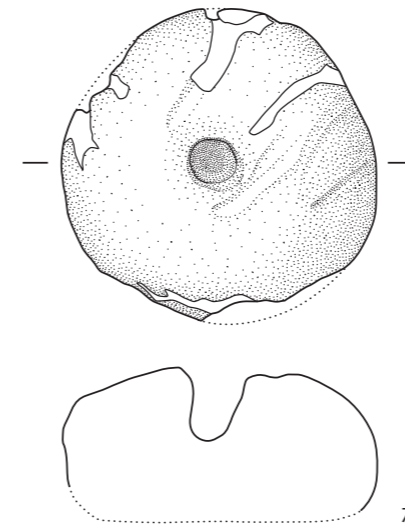
4



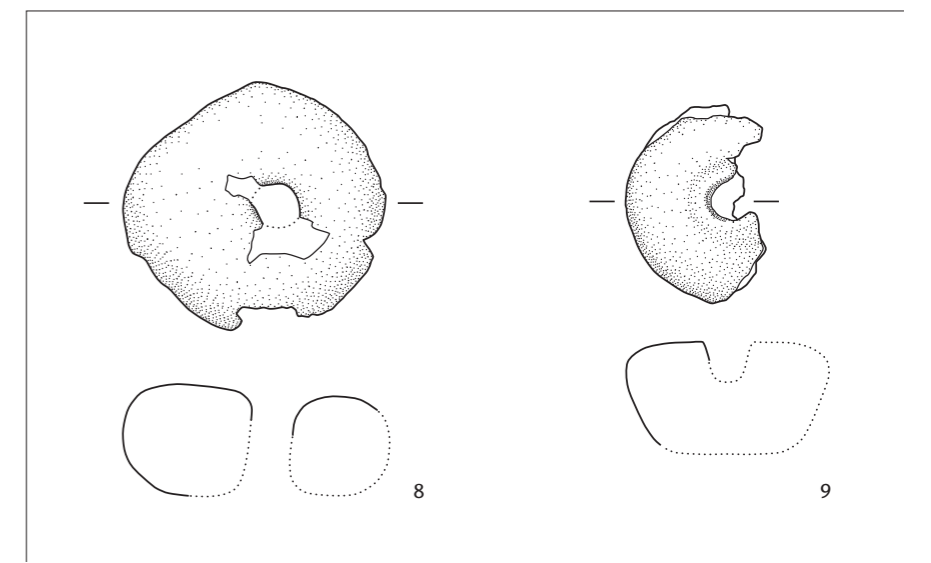
5



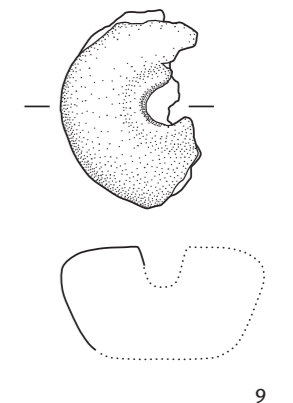
6



7



8



9

Tafel 148 Cham-Bachgraben. Textilkeramik.
Schicht 2 (Schnurkeramik): 1-7 Webgewichte. Schicht 2 (vermishtes Schichtinventar): 8.9 Webgewichte. M. 1:3.

6 Kupferfunde, Bronzefunde und Golddraht

Zu Band 2, Kap. VII–IX

6.1 Katalog Kupferfunde

Zu Band 2, Kap. VII

Eda Gross,
Gishan F. Schaeren

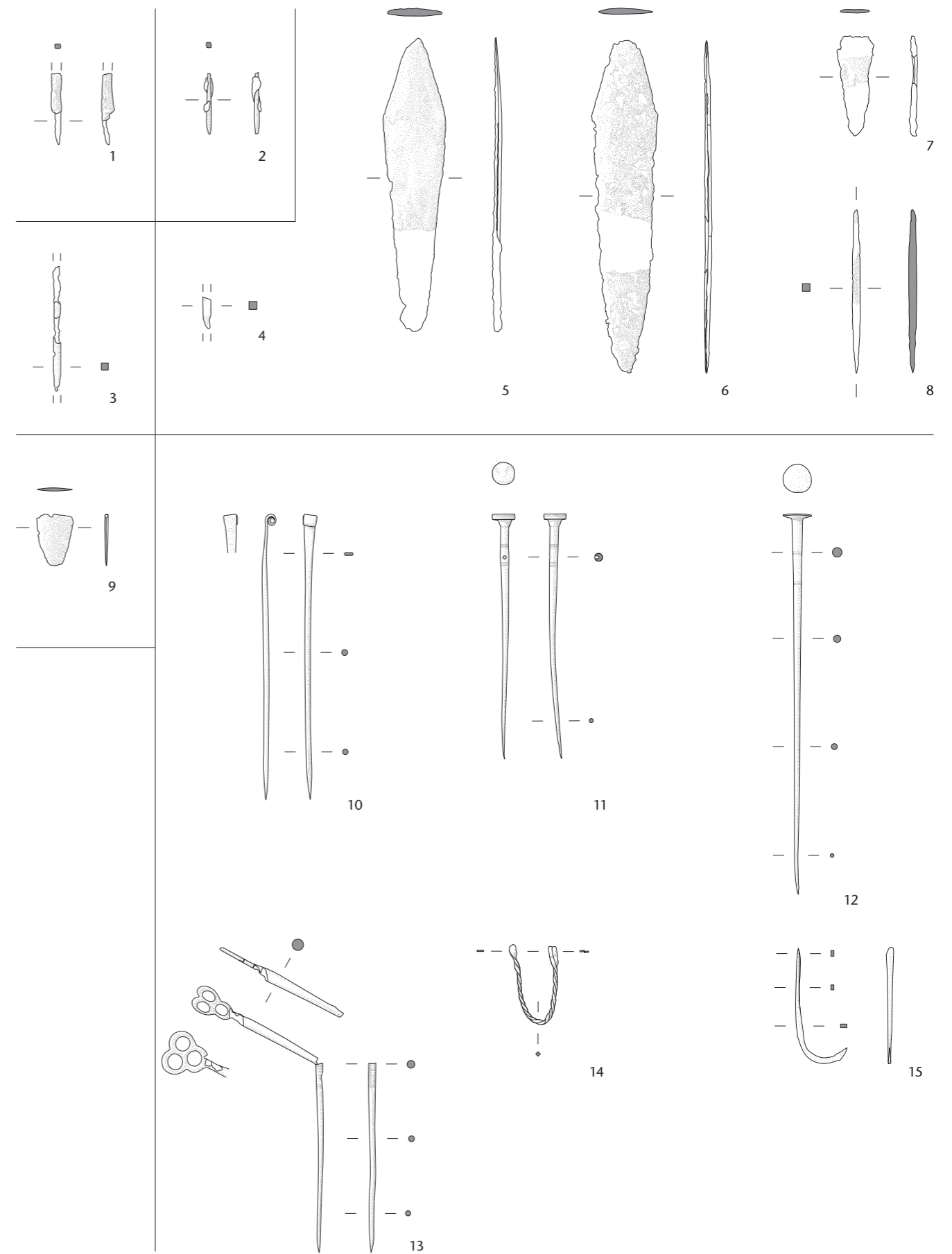
Taf.	Kat.	Fundobjekt	Fragmen- tierung	Länge (mm)	Breite (mm)	Dicke (mm)	Gewicht (g)	Y-Koord.	X-Koord.	Ereignis	FK	Laufnr.	Feld	Pos.	Schicht
149	1	Ahle*	Ja	25,5	—	—	0,5	678522	226509	448	11486	1	149	4086	1 (Horgen)
149	2	Ahle	Ja	22	1,6	1,6	0,4	678506	226495	448	10156	1	128	3842	1 (vermishtes Schichtinventar)
149	3	Ahle	Ja	47	2,53	2,3	0,7	678525	226513	448	8849	1	123	3728	0.1 (vermishtes Schichtinventar)
149	4	Ahle	Ja	13	3,53	3,4	0,65	678520	226514	448	4077	1	91	2359	2 (Schnurkeramik)
149	5	Dolch	Nein	112	24	2	16,7	678523	226512	448	7309	1	123	3573	2 (Schnurkeramik)
149	6	Dolch	Nein	127	25,4	2,2	26,5	678515	226500	448	9875	1	132	3840	2 (Schnurkeramik)
149	7	Dolchspitze	Ja	38	14,1	1,5	2,7	678517	226507	448	11052	1	150	4078	2 (Schnurkeramik)
149	8	Ahle	Nein	62	3	3	2,1	678512	226512	448	2600	1	69	1538	2 (Schnurkeramik)
149	9	Dolchspitze	Ja	20	13,6	1,5	1,1	678506	226494	448	9364	1	128	3736	2 (vermishtes Schichtinventar)

* geschäftet in Weiderütchen

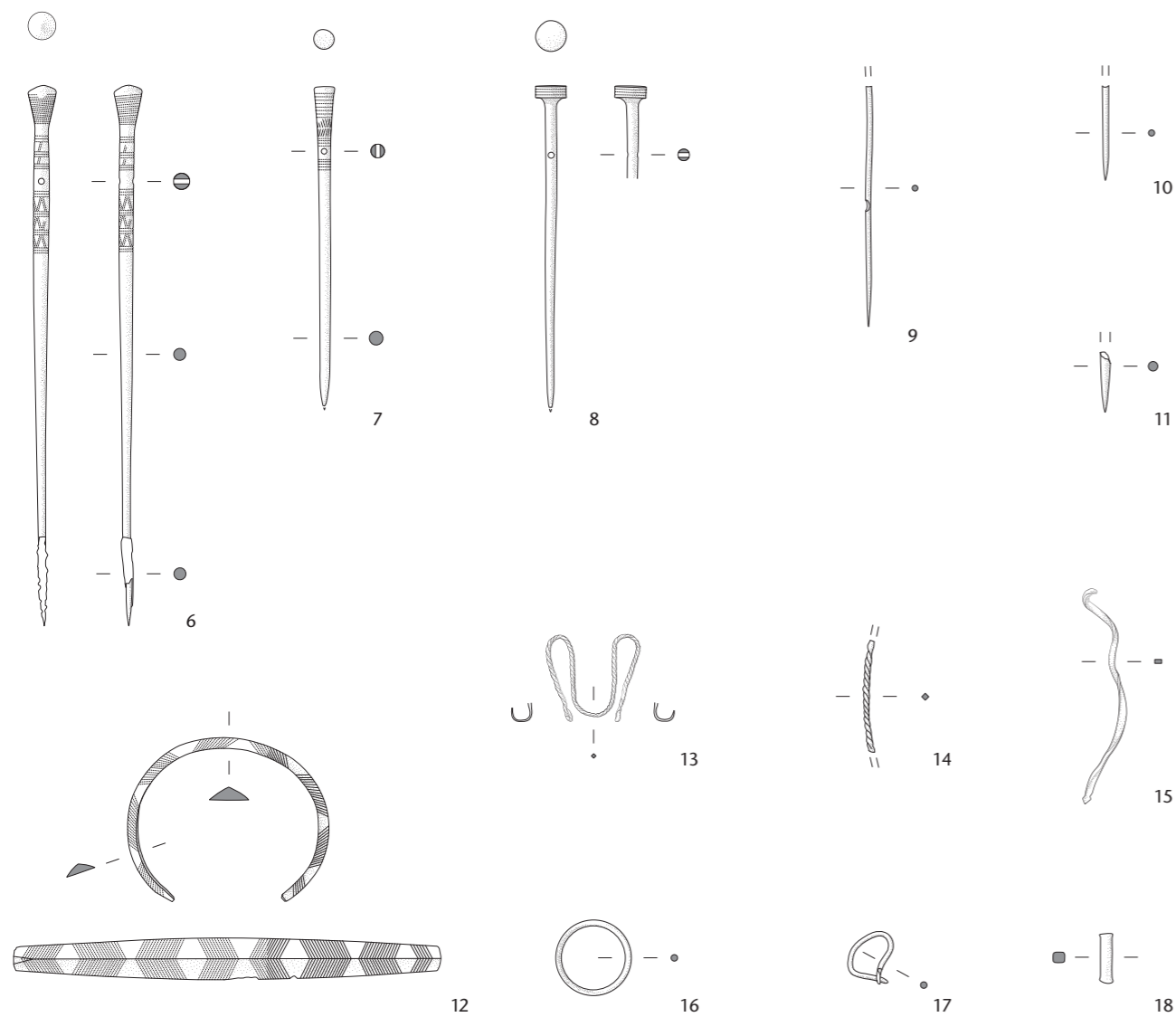
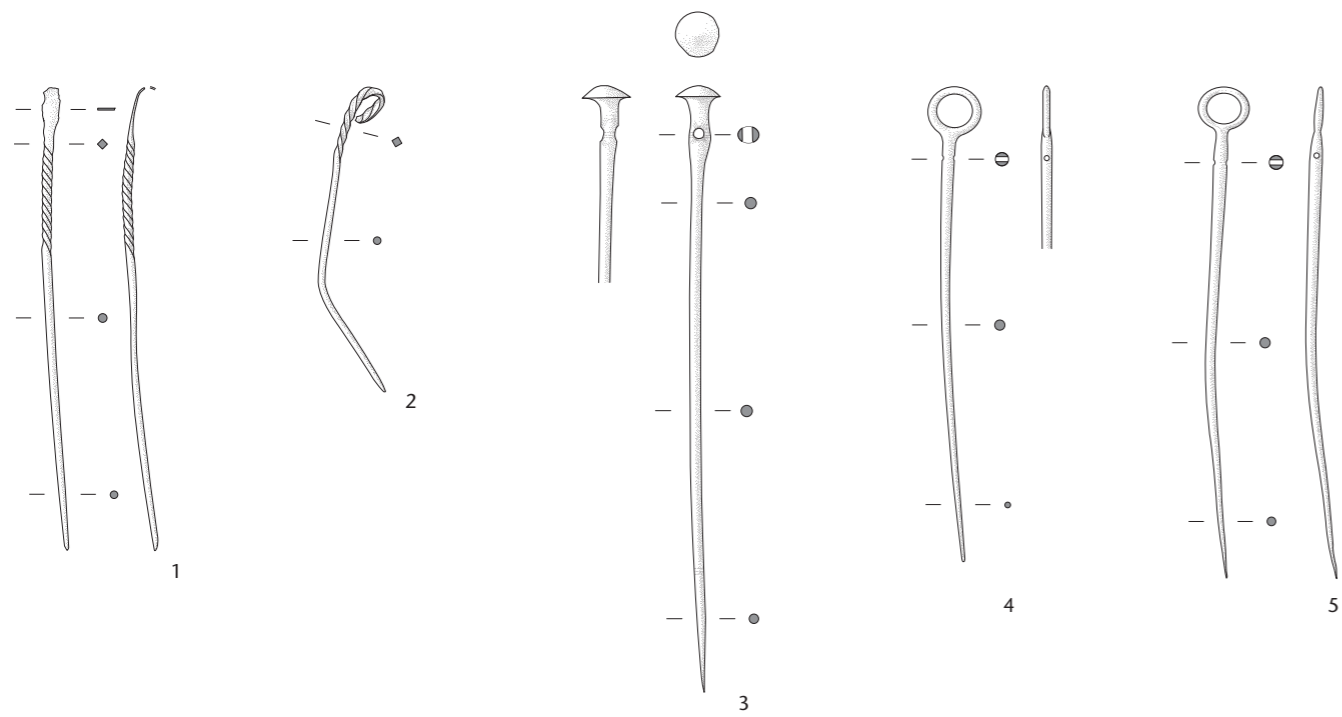
Zu Band 2, Kap. VIII und IX

Taf.	Kat.	Beschreibung	Fundgattung	max. Länge (cm)	Gewicht (g)	Grünfärbung	Organische Reste	Y-Koord.	X-Koord.	Ereignis	FK	Laufnr.	Feld	Pos.	Schicht
149	10	Nadel, Rollenkopf	Nadel	10,9	4,2	nicht grün		678522	226496	448	2742	1	65	1618	Schicht 2 (vermishtes Schichtinventar)
149	11	Nadel, zylindrischer Kopf, leichte Halschwelung und unvollständige Halslochung, horizontal umlaufende Strichgruppen an Kopf und Schaft, Kopfoberseite mit schwach erhaltener radialer Verzierung	Nadel	9,4	4,8	wenig grün		678517	226498	448	2887	1	70	1562	Schicht 2 (vermishtes Schichtinventar)
149	12	Nadel, scheibenförmiger Kopf, horizontal umlaufende Strichgruppen am Schaft	Nadel	14,5	7,2	nicht grün		678516	226497	448	2847	1	70	1562	Schicht 2 (vermishtes Schichtinventar)
149	13	Nadel, pilzköpfiger Ringkopf, Schaft alt geknickt, horizontal umlaufende Strichgruppe am Schaft	Nadel	11,1	5,7	wenig grün		678516	226496	448	2888	1	70	1562	Schicht 2 (vermishtes Schichtinventar)
149	14	Draht, fein, tordiert	Draht gedreht	3,2	0,6	nicht grün				448	2932	1	70	1562	Schicht 2 (vermishtes Schichtinventar)
149	15	Angelhaken, Ansätze eines Widerhakens	Bronze-Angelhaken	4,5	0,7	nicht grün		678503	226502	448	4556	1	100	2518	Schicht 2 (vermishtes Schichtinventar)
			Brösel	1,1	0,4	wenig grün		678517	226494	448	3076	1	70	1766	Schicht 2 (vermishtes Schichtinventar)
			Schlacke?	1,1	2,0	grün		678536	226486	448	13601	1	163	4423	Schicht 2 (vermishtes Schichtinventar)
			Brösel	0,7	0,1	grün		678541	226488	448	14038	1	162	4478	Schicht 2 (vermishtes Schichtinventar)
			Brösel	0,75	0,3	grün		678537	226491	448	15180	1	171	4623	Schicht 2 (vermishtes Schichtinventar)
150	1	Nadel, abgebrochener Kopf (wohl Rollenkopf), tordierter Hals	Nadel	12,2	3,3	grün		678545	226493	448	15294	1	170	4599	Schicht 3 (Früh-/Mittelbronzezeit)
150	2	Nadel, abgebrochener Kopf (wohl Rollenkopf), tordierter, sekundär zu Kopfrolle umgebogener Hals, stark gebogener Schaft	Nadel	8,1	2,4	nicht grün		678548	226492	448	14232	1	160	4501	Schicht 3 (Früh-/Mittelbronzezeit)
150	3	Nadel, Pilzkopf, Halsverdickung, Halslochung, schwach erhaltene horizontale und diagonale Strichbündel bei Halslochung, horizontales Strichbündel 3 cm oberhalb Spitze	Nadel	16,1	12,7	wenig grün		678545	226492	448	15293	1	170	4599	Schicht 3 (Früh-/Mittelbronzezeit)
150	4	Nadel, Ringkopf, Halslochung, leicht gebogener Schaft	Nadel	12,6	5,8	wenig grün		678548	226495	448	14829	1	169	4591	Schicht 3 (Früh-/Mittelbronzezeit)
150	5	Nadel, Ringkopf, Halslochung, leicht gebogener Schaft	Nadel	13,0	6,1	wenig grün		678548	226495	448	14830	1	169	4591	Schicht 3 (Früh-/Mittelbronzezeit)
150	6	Nadel, kolbenförmiger Kopf, Halslochung	Nadel	15,8	14,0	grün		678548	226492	448	14100	1	160	4501	Schicht 3 (Früh-/Mittelbronzezeit)
150	7	Nadel, konisch auslaufender Kopf, Halslochung	Nadel	9,35	7,6	nicht grün		678547	226495	448	14888	1	169	4591	Schicht 3 (Früh-/Mittelbronzezeit)
150	8	Nadel, zylindrischer Kopf, Halslochung, horizontal umlaufende Strichgruppen an Kopf	Nadel	9,4	6,0	grün		678545	226494	448	15295	1	170	4599	Schicht 3 (Früh-/Mittelbronzezeit)
150	9	Nadel, Fragment, Schaft mit Spitze	Nadelspitze	7,05	1,1	wenig grün		678545	226494	448	15297	1	170	4599	Schicht 3 (Früh-/Mittelbronzezeit)
150	10	Nadel, Fragment, Schaft mit Spitze	Nadelspitze	2,8	0,6	nicht grün		678546	226488	448	12656	1	155	4318	Schicht 3 (Früh-/Mittelbronzezeit)
150	11	Nadel, Fragment, Schaft mit Spitze	Nadelspitze	1,75	0,5	grün		678548	226486	448	12634	1	155	4318	Schicht 3 (Früh-/Mittelbronzezeit)
150	12	Armring, feine Fischgrätmuster	Armreif	5,9	18,5	grün		678546	226494	448	15777	1	160	4501	Schicht 3 (Früh-/Mittelbronzezeit)
150	13	Draht, fein, tordiert	Draht (?) gedreht	2,7	0,7	wenig grün		678545	226494	448	15296	1	170	4599	Schicht 3 (Früh-/Mittelbronzezeit)
150	14	Stab, tordiert	Fragment gedreht	3,2	0,4	wenig grün		678545	226494	448	15691	1	170	4599	Schicht 3 (Früh-/Mittelbronzezeit)
150	15	Draht, evtl. in die Länge gezogene Spirale	Metallstreifen	6,3	0,9	nicht grün		678545	226494	448	15298	1	170	4599	Schicht 3 (Früh-/Mittelbronzezeit)
150	16	Ringlein	Ring	2,2	0,4	grün		678548	226496	448	14897	1	169	4591	Schicht 3 (Früh-/Mittelbronzezeit)
150	17	Draht(ring)	Fragment drahtartig	1,6	0,6	grün		678547	226486	448	12582	1	155	4318	Schicht 3 (Früh-/Mittelbronzezeit)
150	18	Niete von Dolch	Niete?	1,4	1,1	nicht grün		678545	226488	448	13268	1	161	4394	Schicht 3 (Früh-/Mittelbronzezeit)
151	1	Lanzenspitze	Lanzenspitze	13,85	87,2	grün		678542	226499	448	15292	1	175	4642	Schicht 3 (Früh-/Mittelbronzezeit)
151	2	Pfeilspitze	Pfeilspitze	5,55	4,1	wenig grün		678541	226486	448	14040	1	162	4452	Schicht 3 (Früh-/Mittelbronzezeit)
151	3	Pfeilspitze	Pfeilspitze	3,0	0,8	nicht grün		678546	226493	448	15775	1	160	4501	Schicht 3 (Früh-/Mittelbronzezeit)
151	4	Pfeilspitze	Pfeilspitze?	2,0	0,8	grün		678545	226484	448	13044	1	158	4370	Schicht 3 (Früh-/Mittelbronzezeit)
151	5	Angelhaken	Angelhaken	3,9	0,9	nicht grün		678548	226494	448	14347	1	160	4501	Schicht 3 (Früh-/Mittelbronzezeit)
151	6	Nadelförmiges Werkzeug, beidseitig spitz zulaufend	Nadel	8,1	1,5	grün	wenig Reste an der Spitze, stark verbacken, Leder; nur wenig Narbe erhalten, z. T. noch Poren sichtbar	678547	226481	448	12222	1	153	4275	Schicht 3 (Früh-/Mittelbronzezeit)
151	7	Stabartiges Werkzeug	Fragment vierkantig	2,45	1,0	wenig grün		678540	226488	448	14037	1	162	4452	Schicht 3 (Früh-/Mittelbronzezeit)
151	8	Hülsenartiges Objekt, flach gedrückt	Fragment, hülsenartig	2,2	3,1	wenig grün		678544	226490	448	15083	1	170	4599	Schicht 3 (Früh-/Mittelbronzezeit)
151	9	Kleinfragment	Fragment	0,7	0,3	nicht grün		678548	226486	448	12716	1	155	4318	Schicht 3 (Früh-/Mittelbronzezeit)
151	10	Kleinfragment	Fragment	0,9	0,1	grün		678548	226485	448	12715	2	155	4318	Schicht 3 (Früh-/Mittelbronzezeit)
		Kurzes Fragment mit asymmetrisch dreieckigem Querschnitt, klingentypisch	Fragment	2,2	1,6	wenig grün		678546	226486	448	12581	1	155	4318	Schicht 3 (Früh-/Mittelbronzezeit)
		Produktionsrest	Schlacke?	0,95	0,7	grün		678548	226486	448	12614	1	155	4318	Schicht 3 (Früh-/Mittelbronzezeit)
		Produktionsrest	Schlacke?	1	0,4	grün		678547	226487	448	12643	1	155	4318	Schicht 3 (Früh-/Mittelbronzezeit)
		Produktionsrest oder Objekt?	stiftartiges Fragment	1,5	0,1	grün		678547	226489	448	12647	1	155	4318	Schicht 3 (Früh-/Mittelbronzezeit)
		Produktionsrest	flaches Fragment	2,25	0,2	grün		678547	226489	448	12647	2	155	4318	Schicht 3 (Früh-/Mittelbronzezeit)
		Produktionsrest	Fragment?	0,7	0,1	wenig grün		678546	226488	448	12656	2	155	4318	Schicht 3 (Früh-/Mittelbronzezeit)
		Produktionsrest	Brösel	1,85	5,4	wenig grün		678548	226489	448	12665	91	155	4318	Schicht 3 (Früh-/Mittelbronzezeit)
		Produktionsrest	Schlacke?	1,7	0,9	grün		678546	226489	448	12714	1	155	4318	Schicht 3 (Früh-/Mittelbronzezeit)
		Produktionsrest	Schlacke?	0,75	0,2	grün		678544	226483	448	13040	1	158	4370	Schicht 3 (Früh-/Mittelbronzezeit)
		Produktionsrest	Brösel	0,9	0,3	grün		678545	226484	448	13042	1	158	4370	Schicht 3 (Früh-/Mittelbronzezeit)
		Produktionsrest	Brösel	0,8	0,5	grün		678545	226488	448	13260	38	161	4394	Schicht 3 (Früh-/Mittelbronzezeit)
		Produktionsrest	Brösel	1,0	0,3	grün		678543	226488	448	13603	1	161	4394	Schicht 3 (Früh-/Mittelbronzezeit)
		Produktionsrest	Fragment?	1,6	3,4	grün		678540	226485	448	14039	1	162	4452	Schicht 3 (Früh-/Mittelbronzezeit)
		Produktionsrest	Brösel	1,2	0,9	wenig grün		678547	226492	448	14137	1	160	4501	Schicht 3 (Früh-/Mittelbronzezeit)
		Produktionsrest	Schlacke?	1,15	1,2	grün		678548	226494	448	14200	1	160	4501	Schicht 3 (Früh-/Mittelbronzezeit)
		Produktionsrest	Schlacke?	2,05	4,5	grün		678546	226490	448	14202	1	160	4501	Schicht 3 (Früh-/Mittelbronzezeit)
		Produktionsrest	Schlacke?	2,5	9,5	grün		678547	226490	448	14208	1	160	4501	Schicht 3 (Früh-/Mittelbronzezeit)
		Unterseite flach, auf der Oberseite eine feine Rippe, Spitze einer Sichel?	Fragment	1,75	0,7	nicht grün		678546	226493	448	15497	1	160	4501	Schicht 3 (Früh-/Mittelbronzezeit)
151	11	Dolch, Klingensplitter	Bronze-Dolch	8,8	13,9	wenig grün	an einer Seite Schichtmaterial oder Holz, ist zu breit für Stengel; die festen Fasern (fix auf dem Metall) sind parallel zur Längsrichtung des Dolchs; wenn Holz, evtl. Dolchscheide	678533	226493	448	14554	1	167	4530	Schicht 3 (vermishtes Schichtinventar)
151	12	Feines Blechlein	Fragment	1,55	0,1	grün		678533	226491	448	14632	10	167	4530	Schicht 3 (vermishtes Schichtinventar)
151	13	Nadel, bikonischer Kopf, leichte Halsverdickung, Halslochung, horizontales Strichbündel	Nadel	15,1	9,1	wenig grün		678524	226495	448	2575	1	65	1487	Schicht 0.3 (vermishtes Schichtinventar)
151	14	Dolch mit 3 Nieten	Dolch	11,25	24,3	wenig grün		678537	226497	448	15776	1	176	4656	Schicht 0.3 (vermishtes Schichtinventar)
151	15	Doppelspitze	Fragment	2,95	0,5	nicht grün		678546	226498	448	15686	1	169	4590	Schicht 0.3 (vermishtes Schichtinventar)
151	16	Kurzes Stück mit quadratischem Querschnitt	Spitze	2,4	0,9	grün		678525	226498	448	2576	1	65	1487	Schicht 0.3 (vermishtes Schichtinventar)
151	17	Kurzes Stück mit quadratischem Querschnitt, ein Ende spitz zulaufend, das andere aufgespalten	Fragment gegabelt	2,45	1,2	wenig grün		678548	226487	448	12443	1	155	4296	Schicht 0.3 (vermishtes Schichtinventar)
			Fragment?	0,9	0,2	grün		678527	226512	448	4180	12	97	2472	Schicht 0.3 (vermishtes Schichtinventar)
			Fragment?	0,8	0,1	grün		678527	226512	448	4180	12	97	2472	Schicht 0.3 (vermishtes Schichtinventar)
152	1	Nadel, konischer Kopf, Halslochung, horizontale und diagonale, schlecht erhaltene Strichbündel	Nadelkopf	4,2	5,7	wenig grün				448	12518	1	156	4316	Schicht 4 (vermishtes Schichtinventar)
152	2	Fragment eines Armrings?	Fragment	2,5	1,7	wenig grün		678547	226487	448	12441	1	155	4291	Schicht 4 (vermishtes Schichtinventar)
152	3	Feines sechsgliedriges Kettchen	Kettchen	2,5	0,6	wenig grün		678546	226485	448	12516	1	155	4291	Schicht 4 (vermishtes Schichtinventar)
152	4	Meisselartiges Gerät, quadratischer Querschnitt	Meissel?	6,9	7,1	wenig grün		678546	226487	448	12368	1	155	4291	Schicht 4 (vermishtes Schichtinventar)
152	5	Sehr dünnes stabartiges Objekt	Fragment vierkantig	3,1	0,2	nicht grün		678548	226485	448	12460	1	155	4291	Schicht 4 (vermishtes Schichtinventar)
152		Werkzeug?	Eisen-Fragment	2,2	0,5	nicht grün		678546	226487	448	12444	1	155	4291	Schicht 4 (vermishtes Schichtinventar)
152	6	Doppelspirale, feiner Draht	Draht gewickelt	2,5	1,3	nicht grün		678550	226516	448	6649	1	121	3341	Schicht 5 (Früh-/Mittelbronzezeit?)
152	7	Nadel Pilzkopf, Halslochung, schlecht erhaltenes horizontales Strichbündel oberhalb Lochung	Nadel	15,15	17,1										

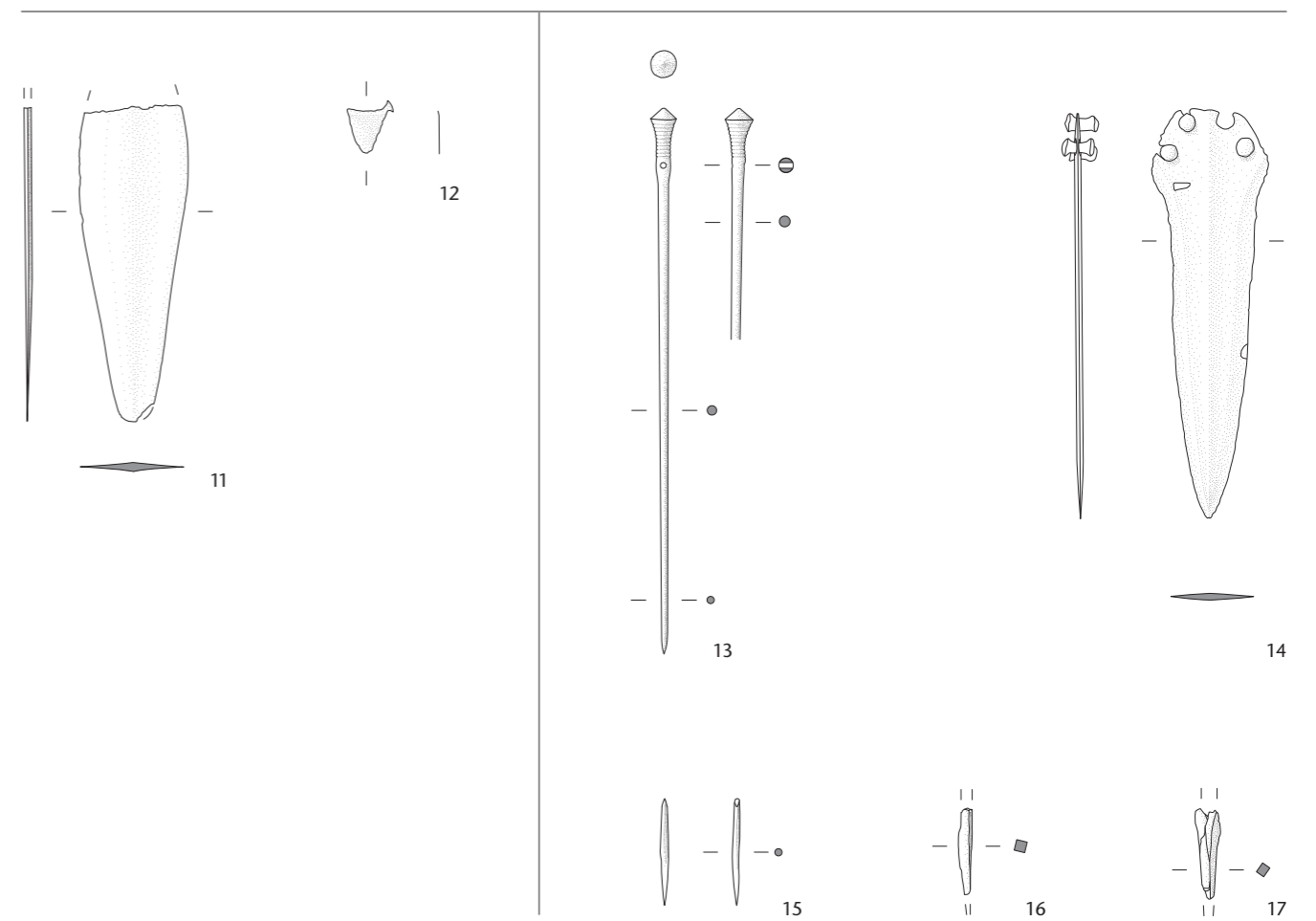
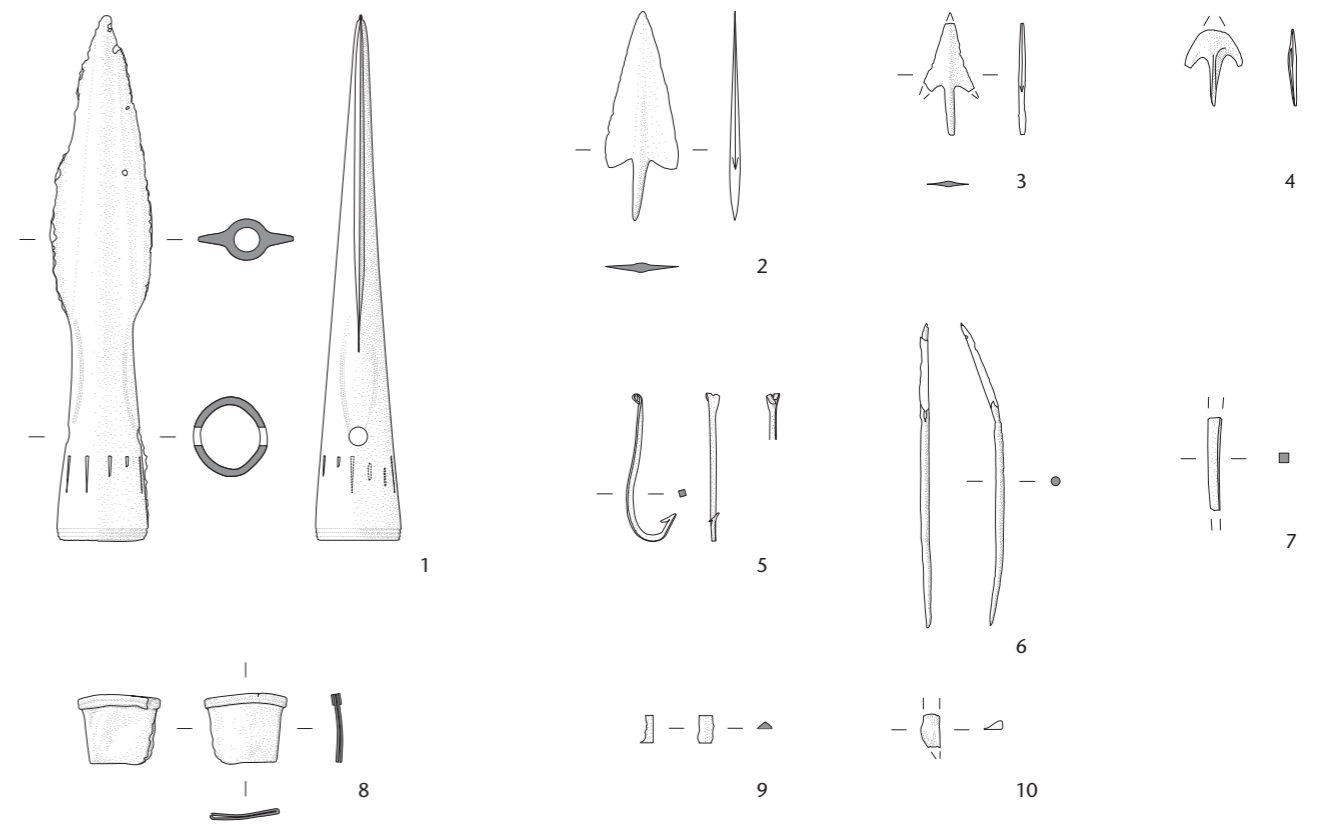
Taf.	Kat.	Beschreibung	Fundgattung	max. Länge (cm)	Gewicht (g)	Grünfärbung	Organische Reste	Y-Koord.	X-Koord.	Ereignis	FK	Laufnr.	Feld	Pos.	Schicht
152	8	Fragment eines Armrings(?) mit schwach erkennbarem Muster schräger Linienbündel	Fragment	2,7	1,5	nicht grün		678519	226493	448	1199	1	43	449	Schicht 5 (vermishtes Schichtinventar)
152	9	Dolchspitze?	Bronze-Dolchspitze	1,75	2,3	nicht grün		678517	226491	448	2296	5	44	1122	Schicht 5 (vermishtes Schichtinventar)
152	10	Angelhaken	Draht	4,55	0,6	nicht grün		678500	226522	448	458	3	49	226	Schicht 5 (vermishtes Schichtinventar)
		Produktionsrest	Brösel	0,8	0,1	wenig grün		678533	226482	448	12760	1	157	4345	Schicht 5 (vermishtes Schichtinventar)
		Produktionsrest	Schlacke?	4,5	57,4	grün		678536	226485	448	13108	1	163	4408	Schicht 5 (vermishtes Schichtinventar)
		Produktionsrest	Schlacke?	2,4	7,0	grün		678526	226488	448	14068	1	165	4406	Schicht 5 (vermishtes Schichtinventar)
		Produktionsrest	Fragment (?) in Brösel	1,8	1,9	grün		678518	226510	448	4555	1	91	2591	Pfahlschatten
		Produktionsrest	Fragment mit Bröseln	1,25	0,4	grün		678518	226510	448	4555	1	91	2591	Pfahlschatten
152	11	Dolch mit geschweiften Linienbündeln	Bronze-Dolch mit 2 Nieten	8,6	25,8	wenig grün	wahrscheinlich Leder auf einer Seite			448	1161	1	52	482	Störung
152	12	Dolch mit drei erhaltenen Nieten	Bronze-Dolch mit 3 Nieten	11,25	27,0	grün		678547	226484	448	12284	1	153	4279	Störung
			Fragment	3,9	9,4	nicht grün				448	3325	1	86	2047	Störung
152	13	Nadel, konischer Kopf, Halsverdickung, Halslochung, schwach erhaltene horizontale Linienbündel	Nadel	18,1	13,5	wenig grün	wenig Reste an der Spitze, stark verbacken, evtl. Leder			448	12469	1			Streufund
152	14	Drahtbündel	Golddraht	5,9	5,4			678562	226518	448	10776	1	146	4002	Schicht 5 (Früh-/Mittelbronzezeit?)



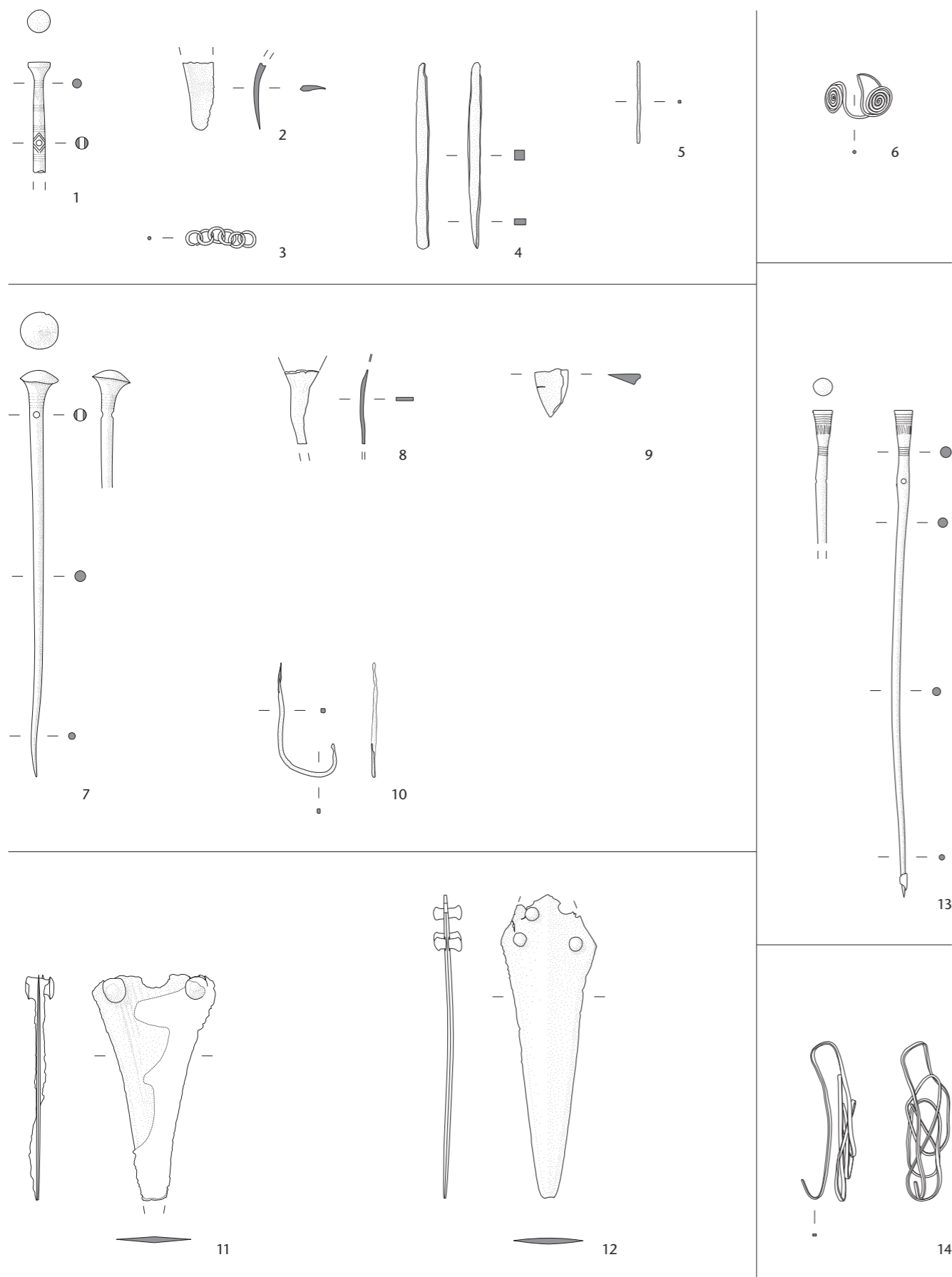
Tafel 149 Cham-Bachgraben. Kupferartefakte.
 Schicht 1 (Horgen): 1 Ahle. Schicht 1 (vermishtes Schichtinventar): 2 Ahle. Schicht 0.1 (vermishtes Schichtinventar): 3 Ahle.
 Schicht 2 (Schnurkeramik): 4 Ahle; 5–7 Dolche; 8 Ahle. Schicht 2 (vermishtes Schichtinventar): 9 Dolch. M. 1:2.
Bronzeartefakte.
 Schicht 2 (vermishtes Schichtinventar): 10–13 Schmucknadeln; 14 schmuckartiges Objekt; 15 Angelhaken. M. 1:2.



Tafel 150 Cham-Bachgraben. Bronzeartefakte.
Schicht 3 (Früh-/Mittelbronzezeit): 1–11 Schmucknadeln; 12 Armring; 13–17 schmuckartige Objekte; 18 Dolchniete. M. 1:2.



Tafel 151 Cham-Bachgraben. Bronzeartefakte.
Schicht 3 (Früh-/Mittelbronzezeit): 1 Lanzen Spitze; 2–4 Geschosspitzen; 5 Angelhaken; 6 stabartiges Werkzeug; 7 stabartiges Fragment; 8–10 unbestimmbare Fragmente. *Schicht 3 (vermishtes Schichtinventar):* 11 Dolch; 12 unbestimmbares Fragment. *Schicht 0.3 (vermishtes Schichtinventar):* 13 Schmucknadel; 14 Dolch; 15 stabartiges Werkzeug; 16.17 stabartige Fragmente. M. 1:2.



7 Bernsteinartefakte

Zu Band 2, Kap. X

Jochen Reinhard

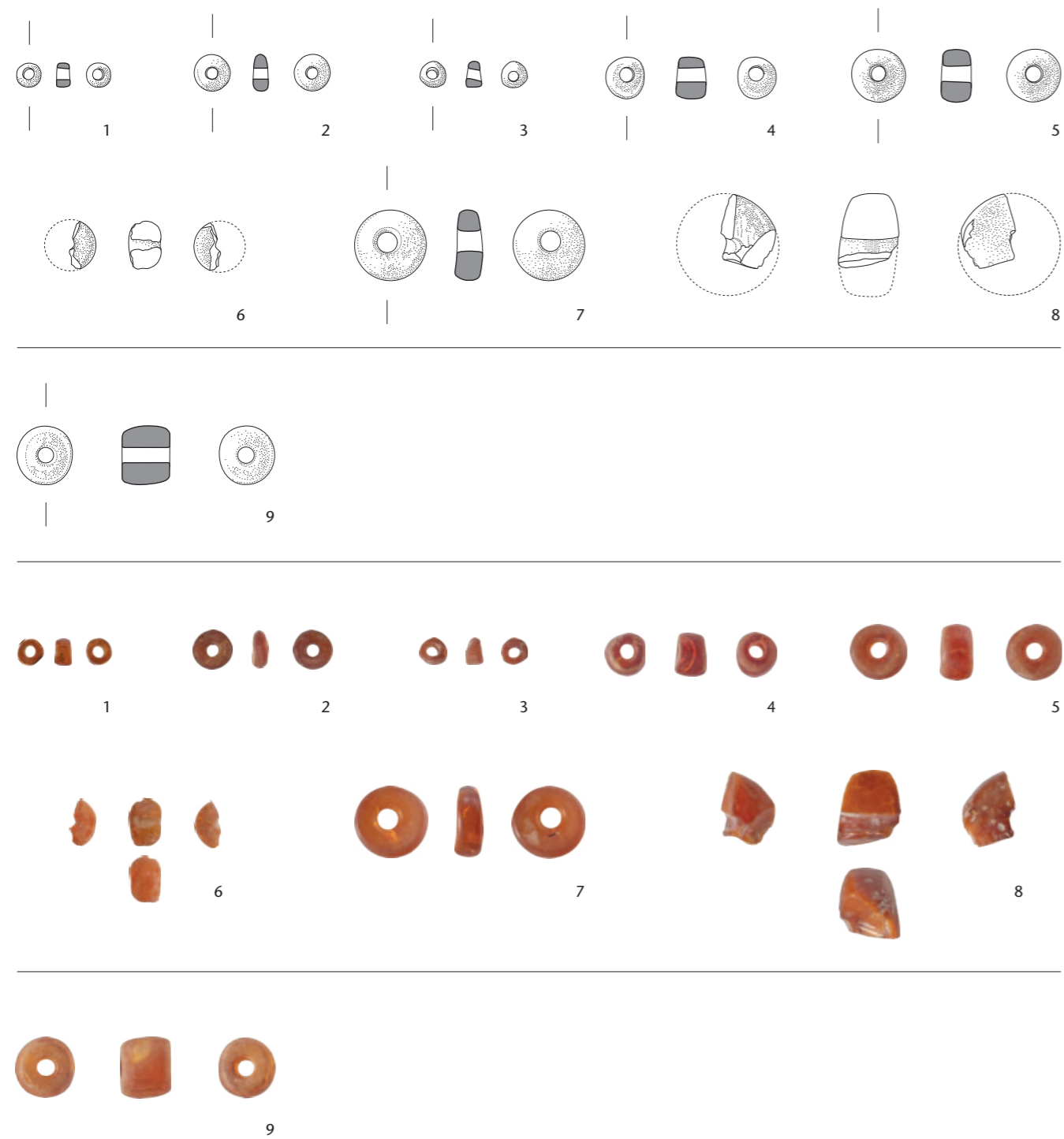
Tafel 152 Cham-Bachgraben. Bronzeartefakte.

Schicht 4 (vermishtes Schichtinventar): 1 Schmucknadel; 2 Armband (?); 3 schmuckartiges Objekt; 4 stabartiges Werkzeug; 5 stabartiges Fragment. Schicht 5 (Früh-/Mittelbronzezeit?): 6 schmuckartiges Objekt. Schicht 5 (vermishtes Schichtinventar): 7 Nadel; 8 Beinberge (?); 9 unbestimmtes Fragment; 10 Angelhaken. Störung: 11.12 Dolche. Streufund: 13 Schmucknadel. M. 1:2. Goldartefakt. Schicht 5 (Früh-/Mittelbronzezeit?): 14 Draht. M. 1:2.

7.1 Katalog Bernsteinartefakte

Taf.	Kat.	Fundobjekt	Fragmentierung	Rohmaterial	Typ	Durchmesser (mm)	Höhe (mm)	Lochdurchmesser (mm)	Dicke-Durchmesser-Verhältnis	Gewicht (g)	Y-Koord.	X-Koord.	Ereignis	FK	Laufnr.	Feld	Pos.	Schicht	Bemerkungen
153	1	Ringförmige Perle	vollständig	Baltischer Bernstein (Succinit)	2	4,5	2,6	2	5,78	< 0,1	678547	226482	448	12268	37	153	4275	Schicht 3 (Früh-/Mittelbronzezeit)	Transparent hellorange, nur wenig oberflächlich angewittert, zahlreiche Spannungsrisse. Grundfläche fast kreisrund, im Querschnitt nur leicht unregelmässig rechteckig mit abgerundeten Kanten. Seitenflächen glatt poliert, Enden mit etwas rauerer Oberfläche. Lochung glatt. Schlammgut.
153	2	Scheibenförmige Perle	vollständig	Baltischer Bernstein (Succinit)	1b	6,7	2,8	2,1	4,18	0,1	678547	226484	448	12273	18	153	4275	Schicht 3 (Früh-/Mittelbronzezeit)	Halbtransparent dunkelorange, zahlreiche Spannungsrisse. Oberflächlich überwiegend nur wenig verwittert, ein Ende deutlich stärker angegriffen. Grundfläche kreisrund, im Querschnitt unregelmässig scheibenförmig mit abgerundeten Seiten. Diese glatt poliert, Enden rau. Ein Ende bestossen und mit moderner (?) Abplatzung. Lochung glatt. Schlammgut.
153	3	Ringförmige Perle	vollständig	Baltischer Bernstein (Succinit)	2	4,6	2,8	1,8	6,09	< 0,1	678546	226487	448	12655	1	155	4318	Schicht 3 (Früh-/Mittelbronzezeit)	Wenig transparent dunkelorange, zahlreiche Spannungsrisse. Oberflächen leicht verwittert. Grundfläche unregelmässig rund, Querschnitt trapezförmig, unsorgfältig ausgeformt. Eine kleinere Abplatzung aussen. Lochung glatt, deutlich schräg verlaufend. Schlammgut.
153	4	Ringförmige Perle	vollständig	Baltischer Bernstein (Succinit)	2	7,4	5,2	2,7	7,03	0,2	678546	226487	448	12667	1	155	4318	Schicht 3 (Früh-/Mittelbronzezeit)	Kaum transparenter dunkelorange Bernstein mit zahlreichen Spannungsrisse. Seitenflächen glatt poliert, Übergänge zu den Enden deutlich bestossen. Grundfläche unregelmässig rund, im Querschnitt leicht trapezoid. Lochung teils glatt, teils rau, mit Fehlstelle unklarer Herkunft. Kante der Lochung durch den Kettenfaden (?) poliert. Blockbergung.
153	5	Scheibenförmige Perle	vollständig	Baltischer Bernstein (Succinit)	1b	9,6	5,5	3	5,73	0,3	678546	226487	448	12667	2	155	4318	Schicht 3 (Früh-/Mittelbronzezeit)	Halbtransparent dunkelorange, zahlreiche Spannungsrisse. Grundfläche fast kreisrund, im Querschnitt leicht unregelmässig abgerundet-rechteckig, nur minim trapezoid. Seitenflächen glatt poliert, Enden bestossen. Lochung überwiegend glatt, teils auch rau, mit konzentrischer Fehlstelle (Bohrspur?), Kante der Lochung durch den Kettenfaden (?) poliert. Blockbergung.
153	6	Abgeplattet-kugelige bis rundliche Perle	Fragment	Baltischer Bernstein (Succinit)	3a	(8,8)	5,4	(2,2)	(6,14)	0,1	678547	226488	448	12690	1	155	4318	Schicht 3 (Früh-/Mittelbronzezeit)	Halbtransparent orange, zahlreiche Spannungsrisse. Perle durch die Lochung gebrochen, nicht mehr ganz die Hälfte der Perle erhalten. Oberflächen bestossen, mit leichter Verwitterung, Bruchflächen weniger stark verwittert, aber ohne Fluoreszenz. Ein Ende im Übergang zur Seitenfläche weniger stark verwittert und glänzender (Tragepolitur?). Lochung rau, belagartig opak. Blockbergung.
153	7	Scheibenförmige Perle	vollständig	Baltischer Bernstein (Succinit)	1b	12,4	4,4	3,3	3,55	0,4	678544	226484	448	13045	1	158	4370	Schicht 3 (Früh-/Mittelbronzezeit)	Transparent orange, zahlreiche Spannungsrisse. Sehr gut erhalten, Enden kaum verwittert, Seitenflächen glatt poliert. Grundfläche fast kreisrund, Lochung leicht exzentrisch, Querschnitt minim trapezoid. Lochung mittig leicht rau, am dünneren Ende glatt (poliert), Kante der Lochung ebenfalls durch den Kettenfaden (?) poliert, wie abgefasst wirkend. Schlammgut.
153	8	Scheibenförmige Perle	Fragment	Baltischer Bernstein (Succinit)	1a	(17,2)	10	(3,5)	(5,81)	0,6	678545	226487	448	13330	1	161	4394	Schicht 3 (Früh-/Mittelbronzezeit)	Weitgehend opak und unverwittert. Alt gebrochen mit frisch wirkenden Bruchflächen, alte Oberflächen dagegen deutlich mit Dellen und Schrammen übersät, Bruchkanten z. T. verrundet. Insgesamt sehr sorgfältig ausgearbeitet wirkend, Übergang von den Seitenflächen zu den Enden recht scharf. Lochung glatt mit Ausnahme einer Kellenverletzung und einer Vertiefung (steckengebliebene Bohrung/verkanterter Bohrer?), hierin konzentrische Bohrrillen erkennbar. Blockbergung.
153	9	Tonnenförmige Perle	vollständig	Baltischer Bernstein (Succinit)	8	10,3	8,4	2,7	8,16	0,6	678548	226492	448	14528	1	160	4526	Schicht 2 (vermisches Schichtinventar)	Transparent hellorange, zahlreiche Spannungsrisse, kaum verwittert. Seitenflächen glatt, Enden deutlich bestossen. Grundfläche leicht unregelmässig rund, im Querschnitt leicht unregelmässig rechteckig mit aufgewölbten Seiten. Lochung rau, teilweise belagartig opak. Schlammgut.

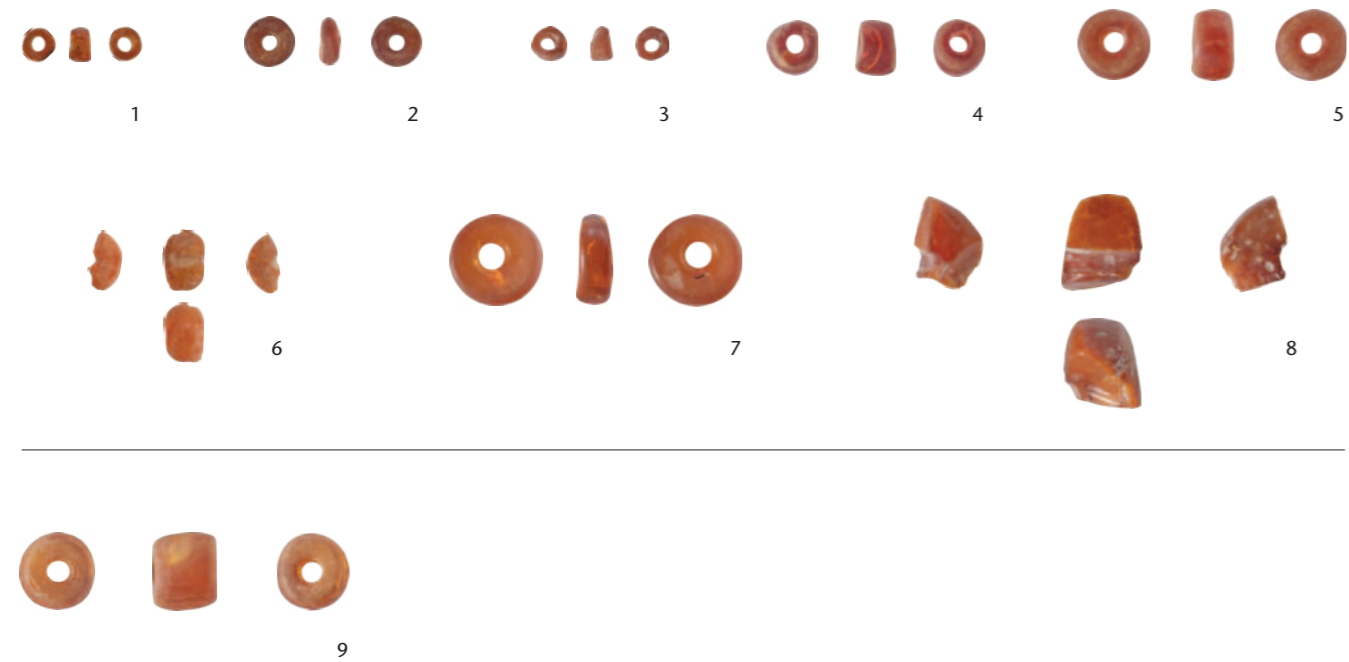
Typologie, Messstrecken und Dicke-Durchmesser-Verhältnis (Höhe / Durchmesser × 10) nach Woltermann 2016, 36–58; Angaben in Klammern bezeichnen rekonstruierte Masse.



8 Artefakte aus Quarzkeramik («Fayence»)

Jochen Reinhard

Zu Band 2, Kap. XI

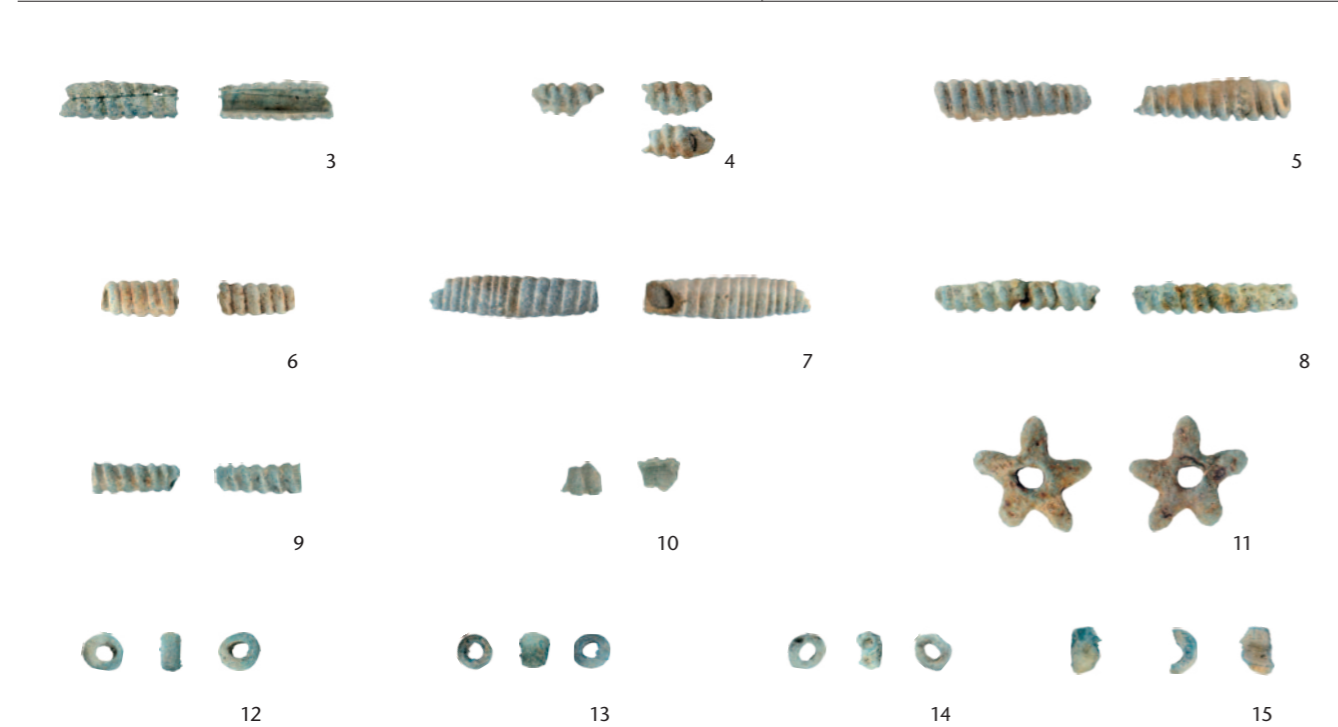
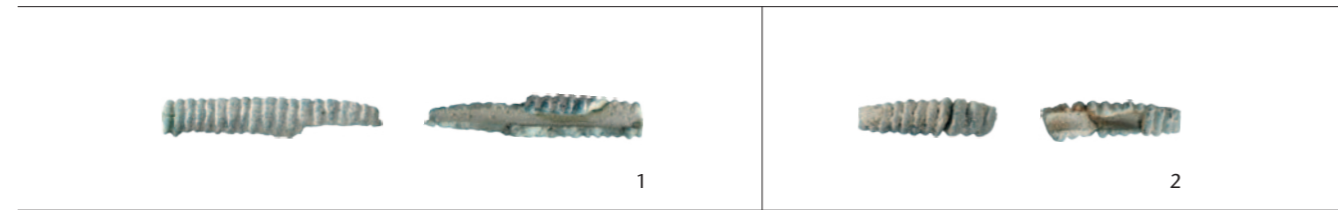
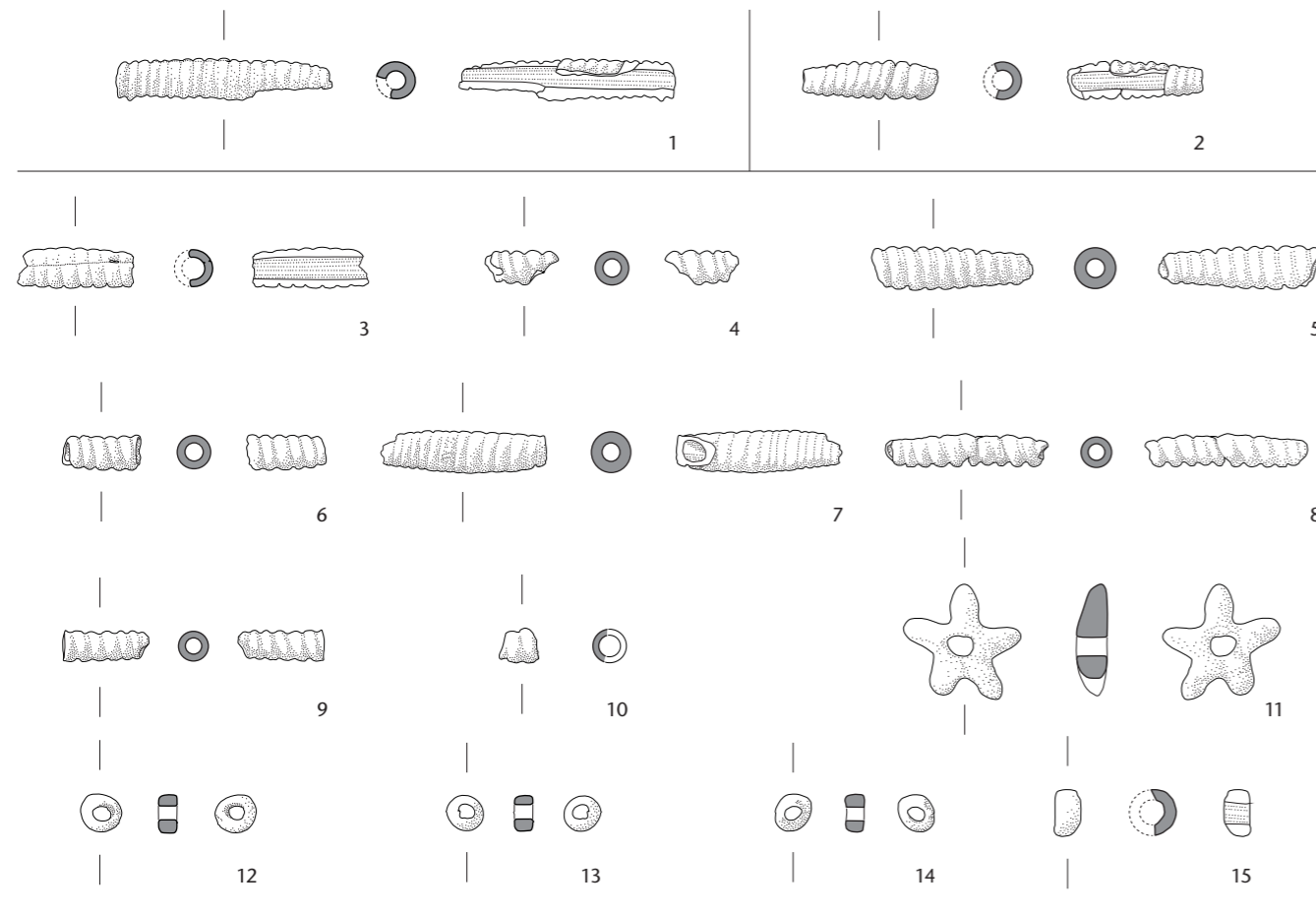


Tafel 153 Cham-Bachgraben. Bernsteinartefakte.
Schicht 3 (Früh-/Mittelbronzezeit): 1–8 Perlen. Schicht 2 (vermishtes Schichtinventar): 9 Perle. M. 1:1.

8.1 Katalog Artefakte aus Quarzkeramik («Fayence»)

Taf.	Kat.	Fundobjekt	Fragmentierung	Durchmesser (mm)	Höhe (mm)	Lochdurchmesser (mm)	Gewicht (g)	Y-Koord.	X-Koord.	Ereignis	FK	Laufnr.	Feld	Pos.	Passstücke	Schicht	Bemerkungen
154	1	Spiralig gerippte Perle	fragmentiert	5,8	> 29,3	2,5	0,4	678559	226522	448	4397	1	103	2519	–	Schicht 5 (Früh-/Mittelbronzezeit?)	Aussen hellgrünlich blau bis kräftig türkis mit deutlichen Kalkverkrustungen, Innenseite blasser, mit Halmabdruck und seekreidigen Sedimentauflagerungen. Perlenkörper unvollständig, mit frischen Brüchen, aus zwei Fragmenten bestehend. Spirale eng und nur wenig tief eingedrückt mit gerundetem Querschnitt, teils asymmetrisch bis leicht unterschneidend. Glasur gut abgrenzbar, teils dünn den Wellenlinien der Segmentierung folgend, teils auch dicker und gerade unter diesen durchlaufend. Länge nicht eindeutig rekonstruierbar, aber wohl weitgehend vollständig. Schlammgut.
154	2	Spiralig gerippte Perle	fragmentiert	5,4	> 18,7	2,5	0,2	678544	226494	448	15301	1	170	4597	–	Schicht 0.3 (vermisches Schichtinventar)	Aussen teils kräftig türkis mit deutlichen Kalkverkrustungen. Innenseite blasser und mit weisslich seekreidigen Sedimentresten überzogen, leichte Eisenoxidverfärbungen, Halmabdruck nur schwach erkennbar. Perlenkörper unvollständig, aus zwei Fragmenten bestehend, mit sowohl frisch wirkenden wie auch alten Brüchen, Letztere ebenfalls kalkverkrustet und Eisenoxidspuren aufweisend. Ein Ende vollständig, konisch zulaufend und im Querschnitt abgeplattet, das andere abgebrochen. Spirale uneinheitlich, zur Mitte mit dickeren Rippen, diese hier scharf eingeschnitten, zum erhaltenen Ende hin weniger tief und flauer. Glasur nicht abgrenzbar, Kern und Aussenseite identisch gefärbt. Schlammgut.
154	3	Spiralig gerippte Perle	fragmentiert	5,4	> 15,3	3,4	0,1	678546	226486	448	12618	210	155	4318	FK 12655.2, Feld 155, Schicht 3 (Früh-/Mittelbronzezeit)	Schicht 3 (Früh-/Mittelbronzezeit)	Oberflächen teils deutlich verwittert, teils kräftig türkis, zum Teil leichte Eisenoxidverfärbungen. Aussen auf dem weniger stark verwitterten Fragment glänzende, intensiv gefärbte Glasurreste, vor allem in den Vertiefungen der Spirale. Glasur im Bruch jedoch nicht abgrenzbar, Kern und Aussenseite identisch gefärbt. Spirale abgerundet mit steilen Flanken, eher regelmässig. Halmabdruck innen gut erkennbar, Innenseite matt. Perlenkörper unvollständig, aus zwei Fragmenten bestehend, auffällig dünnwandig. Nicht geklebte Brüche alt mit schwachen Sedimentauflagerungen. Schlammgut.
154	3	–	–	–	–	–	0,1	678546	226487	448	12655	2	155	4318	FK 12618.210, Feld 155, Schicht 3 (Früh-/Mittelbronzezeit)	Schicht 3 (Früh-/Mittelbronzezeit)	–
154	4	Spiralig gerippte Perle	fragmentiert	4,6	> 9,8	2,3	0,1	678546	226486	448	12635	1	155	4318	–	Schicht 3 (Früh-/Mittelbronzezeit)	Aussen hellgrünlich blau bis kräftig türkis mit deutlichen Verwitterungsspuren und Sedimentauflagerungen wie auch Verfärbungen durch Eisenoxid. Lochung mit Sedimentpfropf verstopft, Halmabdruck aber erkennbar. Fragmentiert, beide Enden alt abgebrochen, einige frische Abplatzungen. Bruch auf der einen Seite durchgefärbt, auf der anderen (dickeren) Seite ist das innere Drittel ungefärbt, die Innenseite matt. Spirale gut gerundet. Schlammgut.
154	5	Spiralig gerippte Perle	fragmentiert	5,7	> 21	2,4	0,4	678546	226488	448	12657	1	155	4318	–	Schicht 3 (Früh-/Mittelbronzezeit)	Aussen überwiegend grünlich blau, teils auch kräftiger türkis, im Bruch und auf der Innenseite dagegen ocker- bis tonfarben, diese Farbe tritt auch an der einseitig deutlich aberodierten Oberfläche zutage. Halmabdruck auf der Innenseite gut erkennbar; auf der Aussenseite kleben einzelne gerundete Quarzkörner sowie etwas weissliches bis rötlich braunes Sediment. Beide Enden abgebrochen, Perlenkörper jedoch wohl weitgehend vollständig, deutlich konisch zulaufend. Spirale gerundet mit steilen Flanken, wirkt sorgfältig gemacht, im erodierten Bereich deutlich eingeebnet. Schlammgut.
154	6	Spiralig gerippte Perle	fragmentiert	4,7	> 10,7	2,3	0,1	678548	226485	448	12718	1	155	4318	–	Schicht 3 (Früh-/Mittelbronzezeit)	Stark verwittert, nur noch auf einer Seite ist aussen stellenweise die türkise Färbung erkennbar, die andere Seite ist weisslich ent- bzw. verfärbt. Deutliche Eisenoxidverfärbungen und -krusten, leichte Sedimentanhaftungen. Innenseite matt, Halmabdruck gut erkennbar. Fragmentiert, beidseitig alt abgebrochen. Bruch durchgefärbt, gegen innen aber verlaufsartig weniger farbig. Spirale gerundet, regelmässig. Schlammgut.
154	7	Spiralig gerippte Perle	fragmentiert	5,8	> 22,1	2,6	0,4	678544	226485	448	13266	1	161	4394	–	Schicht 3 (Früh-/Mittelbronzezeit)	Aussen mit dünner Glasur von teils kräftig türkiser Farbe überzogen, einseitig jedoch (verwitterungsbedingt?) verblasst bis farblos. Anhaftend einzelne gerundete Quarzkörner. Innenseite mit Halmabdruck, teilweise auch weissliche Sedimentreste. Beide Enden alt beschädigt, Perlenkörper aber weitgehend vollständig. Enden leicht verjüngt. Im Bruch ocker- bis tonfarben, Grenze zwischen Glasur und Kern scharf. Spirale unregelmässig weit, gerundet, nur wenig stark eingedrückt. Schlammgut.
154	8	Spiralig gerippte Perle	fragmentiert	4,5	> 21,6	2	0,2	678545	226487	448	13287	1	161	4394	–	Schicht 3 (Früh-/Mittelbronzezeit)	Aussen hellgrünlich blau bis kräftig türkis mit deutlichen Verwitterungsspuren, leicht kalkverkrustet und eisenoxidverfärbt. Innenseite ebenfalls türkis, kaum merkbar weniger intensiv gefärbt. Perlenkörper auffallend dünn, dünnwandig und langgestreckt-zylindrisch, aus drei Fragmenten zusammengesetzt. Halmabdruck innen in restauriertem Zustand nicht eindeutig erkennbar, aber laut Marlu Kühn (IPNA) vorhanden. Fast vollständig, Enden alt leicht beschädigt, Lochung an einem Ende D-förmig zusammengedrückt. Spirale regelmässig, tief eingedrückt, gut gerundet. Blockbergung.
154	9	Spiralig gerippte Perle	fragmentiert	4,2	> 11,7	2,4	0,1	678546	226492	448	15662	1	160	4501	–	Schicht 3 (Früh-/Mittelbronzezeit)	Aussen hellgrünlich blau bis kräftig türkis mit weisslichen und eisenoxidverfärbten Verkrustungen, innen weissliche Sedimentanhaftungen, Halmabdruck schwach erkennbar. Auf und in der Oberfläche mehrere angerundete bis gerundete Quarzkörner. Ein Ende fast vollständig erhalten, dieses gleichmässig durchgefärbt. Das andere Ende mit modernem Bruch durch etwa die Perlenmitte, dieses zeigt einen weisslich bis hell ockerfarbenen Kern und eine sehr unterschiedlich dicke Glasur, die bis zu 50 % des Querschnitts einnimmt. Perlenkörper minim konisch. Spirale gleichmässig gewunden umlaufend, aber leicht unregelmässig-gerundet eingedrückt. Schlammgut.
154	10	Spiralig gerippte Perle?	fragmentiert	(4,6)	> 5,2	–	< 0,1	678545	226484	448	13041	2	158	4370	–	Schicht 3 (Früh-/Mittelbronzezeit)	Kleines, sehr dünnes Fragment, beidseitig einheitlich hellgrünlich blau mit leichten weisslichen Sedimentverkrustungen in den Vertiefungen der Spirale, diese gerundet eingedrückt. Abgeplattete Glasurschicht, eigentlicher Perlenkörper daher nicht erhalten, Innenseite und Bruch nicht beurteilbar. Schlammgut.
154	11	Sternförmige Perle	vollständig	15,8	4,8	3,7	0,5	678543	226484	448	13043	1	158	4370	–	Schicht 3 (Früh-/Mittelbronzezeit)	Kräftig türkise fünfstrahlige, (see-)sternförmige Perle. Leicht unsorgfältig gearbeitet, aber prinzipiell symmetrisch. Strahlen kräftig, tief herausgearbeitet, auch im Querschnitt spitz zulaufend. Vollständig, keine offensichtlichen Brüche oder Abplatzungen. Oberflächen partiell korrodiert, mit herstellungsbedingten Kerben (Fingernagel?), vor allem an diesen Stellen mit Eisenoxid verfärbt bis hin zu deutlichen Konkretionen. In der Oberfläche vereinzelt gerundete Quarzkörner. Lochung leicht verzogen, innen uncharakteristisch, ohne Halmabdruck. Eine Seite (herstellungsbedingt?) flach, die andere leicht gewölbt, aber ohne farbliche Abweichung. Schlammgut.
154	12	Ringförmige Perle	vollständig	5,5	2,7	2,5	0,1	678546	226485	448	12602	1	155	4318	–	Schicht 3 (Früh-/Mittelbronzezeit)	Weissliche bis kräftig türkise, vollständige ringförmige Perle. Die verblassten Bereiche scheinen korrodiert, hier ist der Kern sichtbar. Innen weisslich, matt, mit gut erkennbarem Halmabdruck. Schlammgut?
154	13	Ringförmige Perle	vollständig	4,9	3,4	–	< 0,1	678548	226487	448	12644	1	155	4318	–	Schicht 3 (Früh-/Mittelbronzezeit)	Vollständige, kräftig türkis gefärbte ringförmige Perle. Keine Abplatzungen oder Brüche. Oberfläche in der Lochung etwas weniger intensiv gefärbt, etwas Sedimentanhaftungen, Halmabdruck schwach erkennbar. Schlammgut.
154	14	Ringförmige Perle	vollständig	5,4	2,7	2,6	< 0,1	678545	226484	448	13041	1	158	4370	–	Schicht 3 (Früh-/Mittelbronzezeit)	Blass bläulich grüne, stark korrodierte Perle mit deutlichen Fehlstellen und (überwiegend modernen) Abplatzungen. Unregelmässig gearbeitet. Innen mit weisslichen Sedimentanhaftungen, Halmabdruck undeutlich, aber wohl vorhanden. Schlammgut.
154	15	Ringförmige Perle	fragmentiert	(6,3)	3,6	(3,3)	< 0,1	678543	226486	448	13267	1	161	4394	–	Schicht 3 (Früh-/Mittelbronzezeit)	Teils kräftig türkises und hier auffällig glatt-glasiges, teils blass bläulich grünes bis weisslich matt erodiertes Fragment einer Ringperle. Im Bruch ebenfalls blass bläulich grün, ockerfarbene bis farblose Partien im Kern dürften als Verfärbung durch Eisenoxide zu deuten sein. Oberfläche der Lochung matt, nur leicht eingefärbt, vergleichbar mit einer der Bruchflächen, Halmabdruck deutlich sichtbar. Schlammgut.

Messstrecken nach Woltermann 2016, 36–58; Angaben in Klammern bezeichnen rekonstruierte Masse; > bedeutet Mindestmass bei fragmentierten Stücken.



Tafel 154 Cham-Bachgraben. Artefakte aus Quarzkeramik («Fayence»).
 Schicht 5 (Früh-/Mittelbronzezeit?) 1 Perle. Schicht 0.3 (vermishtes Schichtinventar): 2 Perle. Schicht 3 (Früh-/Mittelbronzezeit): 3–15 Perlen. M. 1:1.

9 Textilreste

Fabienne Médard

Zu Band 2, Kap. XII

9.1 Katalog Textilreste

Taf.	Kat.	Objekt	Erhaltungszustand	Technische Daten	Interpretation	Material	Y-Koord.	X-Koord.	Ereignis	FK	Laufnr.	Feld	Pos.	Schicht
155	1	Florbüschel (4 Elemente) Schnüre (2 Elemente)	verkohlt	Florbüschel: ohne Drehung, etwa 10 mm breit Schnüre: S2z, Durchmesser ca. 1,5 mm	Möglicherweise Rand eines Zwinggeflechtes.	Bast, unbestimmt	678512	226508	448	5290	1	98	2565	Schicht 1 (Horgen)
155	2	Bündel aus Schnüren und Strängen	verkohlt	Schnüre: Z2s, Durchmesser ca. 2 mm, lockere Drehung	Die Anordnung der Elemente ermöglicht es nicht, das ursprüngliche Objekt zu identifizieren.	Eichenbast?	678519	226508	448	8254	1	92	3211	Schicht 1 (Horgen)
155	3	Knoten	verkohlt	Knoten: Länge: 10 mm/Durchmesser des Knotens: 15 mm/Durchmesser des Strangs: 4 mm Drehrichtung: s	Häufig angetroffenes Element mit vielfältigen Verwendungszwecken.	Eichenbast?	678528	226513	448	5904	4	97	2807	Schicht 1 (Horgen)
155	4	Seil	verkohlt	Seilfragment: Länge: 80 mm/Durchmesser: 12 mm/Durchmesser der einzelnen Stränge: 5 mm Drehrichtung: Z3s	Artefakt, das mit folgenden Elementen assoziiert werden kann: FK 448.11200.1, 448.11201.1, 448.11338.4 und 448.4819.1.	Lindenbast?	678523	226508	448	11131	1	149	4151	Schicht 2 (Schnurkeramik)
155	5	Seilfragmente (2 Elemente) Stränge (5 Elemente)	verkohlt	Seilfragment 1: Länge: 80 mm/Durchmesser: 12 mm/Durchmesser der einzelnen Stränge: 5–6 mm Seilfragment 2: Länge: 65 mm/Durchmesser: 14 mm/Durchmesser der einzelnen Stränge: 6 mm Drehrichtung: Z3s Strangfragment 1: Länge: 32 mm/Durchmesser: 6 mm Strangfragment 2: Länge: 40 mm/Durchmesser: 7 mm Strangfragment 3: Länge: 30 mm/Durchmesser: 7 mm Strangfragment 4: Länge: 25 mm/Durchmesser: 8 mm Strangfragment 5: Länge: 25 mm/Durchmesser: 7 mm Drehrichtung: s	Artefakte, die mit folgenden Elementen assoziiert werden können: FK 448.11131.1, 448.11200.1, 448.11201.1 und 448.11338.4.	Bast, unbestimmt	678521	226508	448	4819	1	92	2361	Schicht 2 (Schnurkeramik)
155	6	Seilfragmente (4 Elemente) Einzelstrang (1 Element)	verkohlt	Seilfragment 1: Länge: 130 mm/Durchmesser: 13 mm/Durchmesser der einzelnen Stränge: 5–6 mm Seilfragment 2: Länge: 65 mm/Durchmesser: 10 mm/Durchmesser der einzelnen Stränge: 5 mm Seilfragment 3: Länge: 55 mm/Durchmesser: 11 mm/Durchmesser der einzelnen Stränge: 6–7 mm Seilfragment 4: Länge: 45 mm/Durchmesser: 11 mm/Durchmesser der einzelnen Stränge: 5–6 mm Drehrichtung: Z3s Einzelstrang: Länge: 57 mm/Durchmesser: 4 mm Drehrichtung: s	Artefakte, die mit folgenden Elementen assoziiert werden können: FK 448.11131.1, 448.11201.1, 448.11338.4 und 448.4819.1.	Lindenbast	678523	226509	448	11200	1	149	4151	Schicht 2 (Schnurkeramik)
155	7	Seilfragment (1 Element) Einzelstrang (1 Element) Strangfragmente (2 Elemente)	verkohlt	Seilfragment: Länge: 100 mm/Durchmesser: 14 mm/Durchmesser der einzelnen Stränge: 5–6 mm Drehrichtung: Z3s Einzelstrang: Länge: 35 mm/Durchmesser: 5 mm Drehrichtung: s Strangfragmente: s-Drehung	Artefakte, die mit folgenden Elementen assoziiert werden können: FK 11131.1, 11200.1, 11201.1 und 4819.1.	Bast, unbestimmt	678523	226508	448	11338	4	149	4151	Schicht 2 (Schnurkeramik)
155	8	Seilfragmente (3 Elemente) Einzelstränge (2 Elemente) Strangfragmente (2 Elemente)	verkohlt	Seilfragment 1: Länge: 100 mm/Durchmesser: 11 mm/Durchmesser der einzelnen Stränge: 5 mm Seilfragment 2: Länge: 48 mm/Durchmesser: 10 mm/Durchmesser der einzelnen Stränge: 4–5 mm Seilfragment 3: Länge: 35 mm/Durchmesser: 20 mm/Durchmesser der einzelnen Stränge: 6–7 mm Drehrichtung: Z3s Strangfragment 1: Länge: 25 mm/Durchmesser: 5 mm Strangfragment 2: Länge: 25 mm/Durchmesser: 5 mm Drehrichtung: s Strangfragmente: s-Drehung	Artefakte, die mit folgenden Elementen assoziiert werden können: FK 11131.1, 11200.1, 11338.4 und 4819.1.	Lindenbast	678523	226508	448	11201	1	149	4151	Schicht 2 (Schnurkeramik)
155	9	Seilfragment (1 Element) Einzelstränge (4 Elemente) Strangfragmente (2 Elemente)	verkohlt	Seilfragment: Länge: 37 mm/Durchmesser: 15 mm/Durchmesser der einzelnen Stränge: ca. 5 mm Drehrichtung: Z3s Strangfragment 1: Länge: 60 mm/Durchmesser: 6–7 mm Strangfragment 2: Länge: 32 mm/Durchmesser: 5 mm Strangfragment 3: Länge: 32 mm/Durchmesser: 7 mm Strangfragment 4: Länge: 32 mm/Durchmesser: 7 mm Drehrichtung: s	Die Strangfragmente gehören wenn nicht zu dem vorgefundenen Seil, so doch zu einer Umsetzung der gleichen Art.	Lindenbast	678522	226510	448	8397	1	123	3694	Schicht 2 (Schnurkeramik)
155	10	Einzelstrang (1 Element) Faserbündel (1 Element) Holz	verkohlt	Strang: Länge: 25 mm/Durchmesser: 4 mm Drehrichtung: s Faserbündel: Länge: 30 mm/Durchmesser: 4 mm Drehrichtung: nicht erkennbar	Aufgrund der Koordinaten und des Aussehens gehört der Strang vermutlich zu FK 448.8398.1.	Lindenbast	678522	226511	448	8438	1	123	3694	Schicht 2 (Schnurkeramik)
155	11	Einzelstrang (1 Element)	verkohlt	Strang: Länge: 30 mm/Durchmesser: 3 mm Drehrichtung: s	Aufgrund der Koordinaten und des Aussehens gehört der Strang vermutlich zu FK 448.8438.1.	Bast, unbestimmt	678522	226511	448	8398	1	123	3694	Schicht 2 (Schnurkeramik)
155	12	Einzelstrang (1 Element)	verkohlt	Strang: Länge: 50 mm/Durchmesser: 7 mm Drehrichtung: s	Der Strang stammt von einem Seil, denn er trägt den Negativabdruck eines Elementes, mit dem er ursprünglich verzwirrt war.	Lindenbast?	678522	226510	448	8241	1	123	3573	Schicht 2 (Schnurkeramik)
155	13	Fragmente eines Zwinggeflechtes (2 Elemente)	verkohlt	Fragment 1: 29 × 22 mm Fragment 2: 26 × 20 mm Passiver Teil: leichte z-Drehung aufgrund der Handhabung; Durchmesser: ca. 2 mm; 3,5 Kettfäden/cm Aktiver Teil: s-Drehung; Durchmesser: 1,5 mm; 4,6 Einträge/cm Bindungsrichtung: Z	Dieselbe Umsetzung wie FK 448.11202.1.	Lindenbast?	678525	226507	448	11340	19	149	4151	Schicht 2 (Schnurkeramik)
155	14	Fragmente von Zwinggeflechtes (3 Elemente)	verkohlt	Fragment 1: 60 × 21 mm Fragment 2: 42 × 30 mm Fragment 3: 27 × 11 mm Passiver Teil: leichte z-Drehung aufgrund der Handhabung; Durchmesser: ca. 2 mm; 3,5 Kettfäden/cm Aktiver Teil: s-Drall; Durchmesser: 1,5 mm; 4,6 Einträge/cm Bindungsrichtung: Z	Dieselbe Umsetzung wie FK 448.11340.19.	Lindenbast?	678524	226508	448	11202	1	149	4151	Schicht 2 (Schnurkeramik)



Tafel 155 Cham-Bachgraben. Textilien.
Schicht 1 (Horgen): 1–3. Schicht 2 (Schnurkeramik): 4–14. M. 1:2.

10 Altfunde

Ulrich Eberli

Zu Band 2, Kap. XIII

10.1 Katalog Gefässkeramik (und Geweih)

Taf.	Kat.	Zeitstellung	Gefäßtyp	Magerung	Oberfläche	Kurzbeschreibung	Ereignis	FK	Laufnr.	Schicht
156	1	Schnurkeramik	Topf	grob	verstrichen	Fingertupfen im Rand- und Halsbereich	1026	1	2636	Streuung, Ausgrabung Speck
156	2	Schnurkeramik	unbestimmbar	grob	verstrichen	Eindruckverzierung im Halsbereich	1026	1	2667	Streuung, Ausgrabung Speck
156	3	Schnurkeramik	unbestimmbar	grob	verstrichen	Eindruckverzierung im Halsbereich	1026	1	2634	Streuung, Ausgrabung Speck
156	4	Schnurkeramik	unbestimmbar	grob	verstrichen	Fingertupfenleiste	1026	1	2657	Streuung, Ausgrabung Speck
156	5	Schnurkeramik	Becher	grob	verstrichen	Schnureindrücke	1026	1	8369	Streuung, Ausgrabung Speck
156	6	Schnurkeramik	unbestimmbar	grob	verstrichen	Bodenfragment	1026	1	2672	Streuung, Ausgrabung Speck
156	7	Schnurkeramik				Gewehzwischenfutter mit Dorn	1026	40	1	Streuung, Ausgrabung Speck

10.2 Katalog Felsgesteinsartefakte

Taf.	Kat.	Fundobjekt	Rohmaterial (petrographisch nicht bestimmt)	Länge (mm)	Breite (mm)	Dicke (mm)	Gewicht (g)	Ereignis	FK	Laufnr.	Schicht
156	8	Lochaxt (Nackenfragment)	Serpentinit				159	1026	31	2375	Streuung, Ausgrabung Speck
156	9	Halbfabrikat einer Lochaxt (Nackenfragment)	Amphibolit				286,8	1026	31	2373	Streuung, Ausgrabung Speck
156	10	Lochaxt	Diabas				278	1026	31	2374	Streuung, Ausgrabung Speck
157	1	Steinbeilklinge	Serpentinit	142	48	27	289,2	1026	30	2494	Streuung, Ausgrabung Speck
157	2	Steinbeilklinge	Serpentinit	128	48	26	249	1026	30	2491	Streuung, Ausgrabung Speck
157	3	Steinbeilklinge	Serpentinit	139	49	26	278,4	1026	30	2498	Streuung, Ausgrabung Speck
157	4	Steinbeilklinge	Serpentinit	134	51	35	419,2	1026	30	2493	Streuung, Ausgrabung Speck
157	5	Steinbeilklinge	unbestimmt	91	43	21	136,5	1026	30	2468	Streuung, Ausgrabung Speck
157	6	Steinbeilklinge	Serpentinit	88	43	20	120,5	1026	30	2481	Streuung, Ausgrabung Speck
157	7	Steinbeilklinge	Serpentinit 3	81	40	19	85,2	1026	30	2426	Streuung, Ausgrabung Speck
157	8	Steinbeilklinge	Serpentinit	74	40	27	133,5	1026	30	2433	Streuung, Ausgrabung Speck
157	9	Steinbeilklinge	Serpentinit	74,1	38	16	68,6	1026	30	2410	Streuung, Ausgrabung Speck
158	1	Steinbeilklinge	Serpentinit	55	38	14	49,5	1026	30	2214	Streuung, Ausgrabung Speck
158	2	Steinbeilklinge	Serpentinit	63	31	13	45,9	1026	30	2414	Streuung, Ausgrabung Speck
158	3	Steinbeilklinge	Serpentinit	56	33	15	41,3	1026	30	2383	Streuung, Ausgrabung Speck
158	4	Steinbeilklinge	Nephrit	49	30	12	23,9	1026	30	2188	Streuung, Ausgrabung Speck
158	5	Steinbeilklinge	Quarzit	67	25	12	36,3	1026	30	2206	Streuung, Ausgrabung Speck
158	6	Steinbeilklinge	Serpentinit	63	30	17	48,9	1026	30	2442	Streuung, Ausgrabung Speck
158	7	Steinbeilklinge (angesägt, verbrannt)	Serpentinit	92	43	31	185,3	1026	30	2475	Streuung, Ausgrabung Speck
158	8	Steinbeilklinge	Serpentinit	119	32	19	108,8	1026	30	2485	Streuung, Ausgrabung Speck
158	9	Steinbeilklinge	Serpentinit	85	21	12	39,2	1026	30	2477	Streuung, Ausgrabung Speck
158	10	Steinbeilklinge	Lydit	99	18	20	63,3	1026	30	2476	Streuung, Ausgrabung Speck
158	11	Steinbeilklinge	Serpentinit 3	72	35	10	30,4	1026	30	2452	Streuung, Ausgrabung Speck
158	12	Steinbeilklinge	Nephrit	54	10	18	21,5	1026	30	2202	Streuung, Ausgrabung Speck
158	13	Steinbeilklinge	Nephrit	53	17	9	10,5	1026	30	2197	Streuung, Ausgrabung Speck
158	14	Steinbeilklinge	Quarzit	58	28	8	24,1	1026	30	2201	Streuung, Ausgrabung Speck
159	1	Steinbeilklinge	Nephrit	41	19	5	7,9	1026	30	2192	Streuung, Ausgrabung Speck
159	2	Steinbeilklinge	Nephrit	45	22	10	16,2	1026	30	2190	Streuung, Ausgrabung Speck
159	3	Steinbeilklinge	Serpentinit	32	27	10	12,2	1026	30	2382	Streuung, Ausgrabung Speck
159	4	Steinbeilklinge	Nephrit	52	14	8	9,6	1026	30	2200	Streuung, Ausgrabung Speck
159	5	Steinbeilklinge	Diabas	73	51	26	133,9	1026	30	2407	Streuung, Ausgrabung Speck
159	6	Steinbeilklinge	Serpentinit	72	40	23	85,8	1026	30	2172	Streuung, Ausgrabung Speck
159	7	Steinbeilklinge	Serpentinit	64	46	25	97,1	1026	30	2169	Streuung, Ausgrabung Speck
159	8	Steinbeilklinge	Serpentinit	136	60	38	473,2	1026	30	2492	Streuung, Ausgrabung Speck
159	9	Steinbeilklinge	Amphibolit	111	50	35	358,5	1026	30	2184	Streuung, Ausgrabung Speck
159	10	Steinbeilklinge	Serpentinit	113	58	36	330	1026	30	2185	Streuung, Ausgrabung Speck

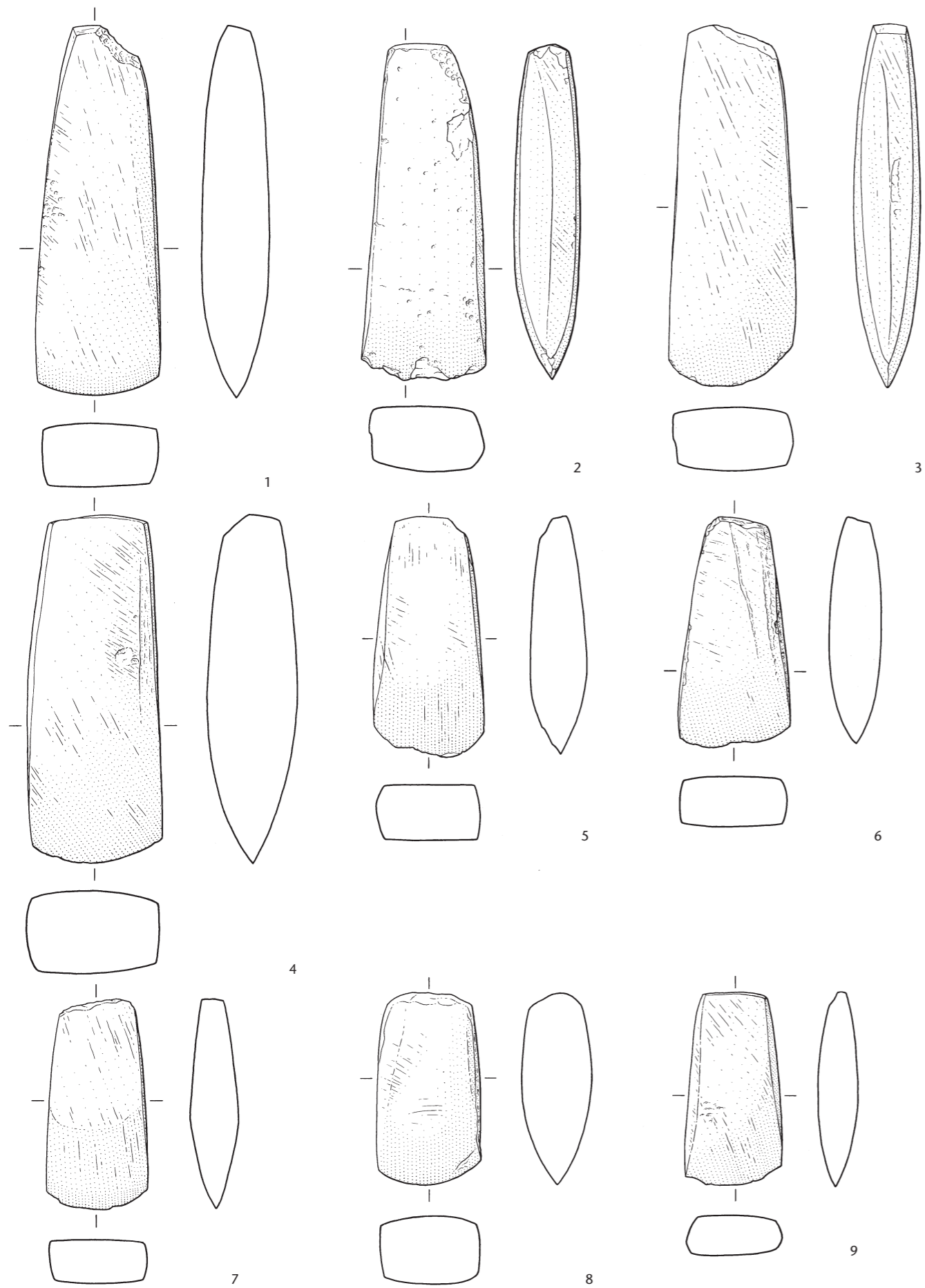
10.3 Katalog Silices

Taf.	Kat.	Typ Modifikation	Spezifische Grundform	Rohmaterialtyp	Patina (Jehanne Affolter)	Hitzeversehrt	Erhaltungszustand	Rinde (Jehanne Affolter)	Länge (mm)	Breite (mm)	Dicke (mm)	Gewicht (g)	Ereignis	FK	Laufnr.	Schicht	Angenommene Datierung
160	1	Pfeilspitze mit konkaver Basis	unbestimmt	366			ganz		44	14	5	2,9	1026	2359	20	Streufund, Ausgrabung Speck	Horgen
160	2	Pfeilspitze mit konkaver Basis	unbestimmt	146/002	Moor	x	ganz		36	18	6	3	1026	2351	20	Streufund, Ausgrabung Speck	Horgen
160	3	Pfeilspitze mit konkaver Basis	unbestimmt	146/002		x	ganz		32	20	4	2,2	1026	2350	20	Streufund, Ausgrabung Speck	Horgen
160	4	Rhombische Pfeilspitze	unbestimmt	179			ganz		48	18	6	4,1	1026	2340	20	Streufund, Ausgrabung Speck	Schnurkeramik
160	5	Rhombische Pfeilspitze	unbestimmt	146/002			ganz		42	16	8	4,4	1026	2340	20	Streufund, Ausgrabung Speck	Schnurkeramik
160	6	Gestielte Pfeilspitze	unbestimmt	146/002			ganz		33	18	4	2,5	1026	2341	20	Streufund, Ausgrabung Speck	Schnurkeramik
160	7	Gestielte Pfeilspitze	unbestimmt	101	Moor		ganz		34	26	6	2,6	1026	2343	20	Streufund, Ausgrabung Speck	Schnurkeramik
160	8	Kratzer	Abschlag	101	1	x	ganz		30	22	9	6,9	1026	7683	20	Streufund, Sammlung Grimmer	Horgen
160	9	Kratzer	Klinge	101	Moor		ganz		66	22	10	16,7	1026	2289	20	Streufund, Ausgrabung Speck	Horgen
160	10	Bohrer	Klinge	101		x	ganz		39	20	6	6,4	1026	2234	20	Streufund, Ausgrabung Speck	Horgen
160	11	Spitzenvarietät	Klinge	152			ganz		70	13	8	8,2	1026	2323	20	Streufund, Ausgrabung Speck	Horgen
160	12	Spitzenvarietät	Klinge	102	Moor		ganz		58	11	5	3,9	1026	2327	20	Streufund, Ausgrabung Speck	Horgen
160	13	Spitzenvarietät/Bohrer	Klinge	101	Moor	x	ganz		46	21	5	3,9	1026	2239	20	Streufund, Ausgrabung Speck	Horgen
161	1	Lateralretuschierte Klinge	Klinge	146/002	1		ganz		98	24	8	23,6	1026	2297	20	Streufund, Ausgrabung Speck	Horgen
161	2	Lateralretuschierte Klinge	Klinge	102			ganz		95	35	8	36,9	1026	2308	20	Streufund, Ausgrabung Speck	Horgen
161	3	Lateralretuschierte Klinge	Klinge	101			ganz		82	36	5	32,9	1026	2305	20	Streufund, Ausgrabung Speck	Horgen
161	4	Lateralretuschierte Klinge	Klinge	146/002			ganz		88	22	8	17,8	1026	2295	20	Streufund, Ausgrabung Speck	Horgen
161	5	Lateralretuschierte Klinge	Klinge	723	Moor	x	ganz		89	28	10	29,6	1026	2318	20	Streufund, Ausgrabung Speck	Horgen
161	6	Lateralretuschierte Klinge	Klinge	102			ganz		80	24	6	13,7	1026	2307	20	Streufund, Ausgrabung Speck	Horgen
161	7	Lateralretuschierte Klinge	Klinge	146/002			ganz		62	26	8	16,2	1026	2287	20	Streufund, Ausgrabung Speck	Horgen
161	8	Lateralretuschierte Klinge	Klinge	146/002			ganz		39	21	5	5,7	1026	2268	20	Streufund, Ausgrabung Speck	Horgen
161	9	Lateralretuschierte Klinge	Klinge	146/002			ganz	x	54	18	5	5,8	1026	2277	20	Streufund, Ausgrabung Speck	Horgen
162	1	Dolch	Klinge	723			ganz		211	41	10	112	1026	9219	20	Streufund, Sammlung Grimmer	Schnurkeramik
162	2	Dolch	Klinge	723			nur Griff erhalten		64	27	10	16,7	1026	7678	20	Streufund, Sammlung Grimmer	Schnurkeramik
162	3	Dolch	Klinge	282			Griff abgebrochen		79	26	6	12,8	1026	2319	20	Streufund, Ausgrabung Speck	Schnurkeramik
162	4	Dolch	Klinge	229			ganz		86	25	8	20,6	1026	2320	20	Streufund, Ausgrabung Speck	Horgen

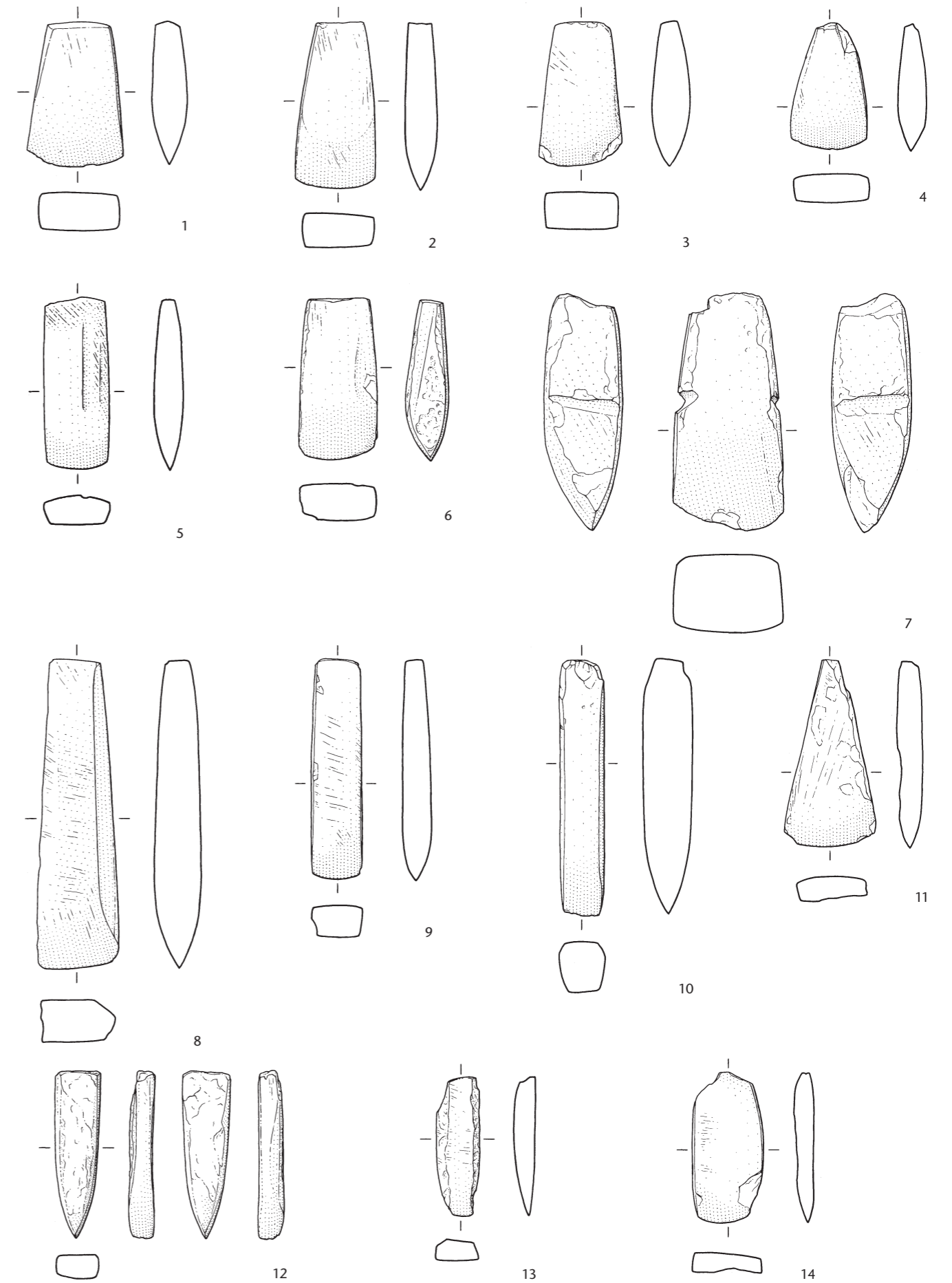


Tafel 156 Cham-Bachgraben. Altfunde.

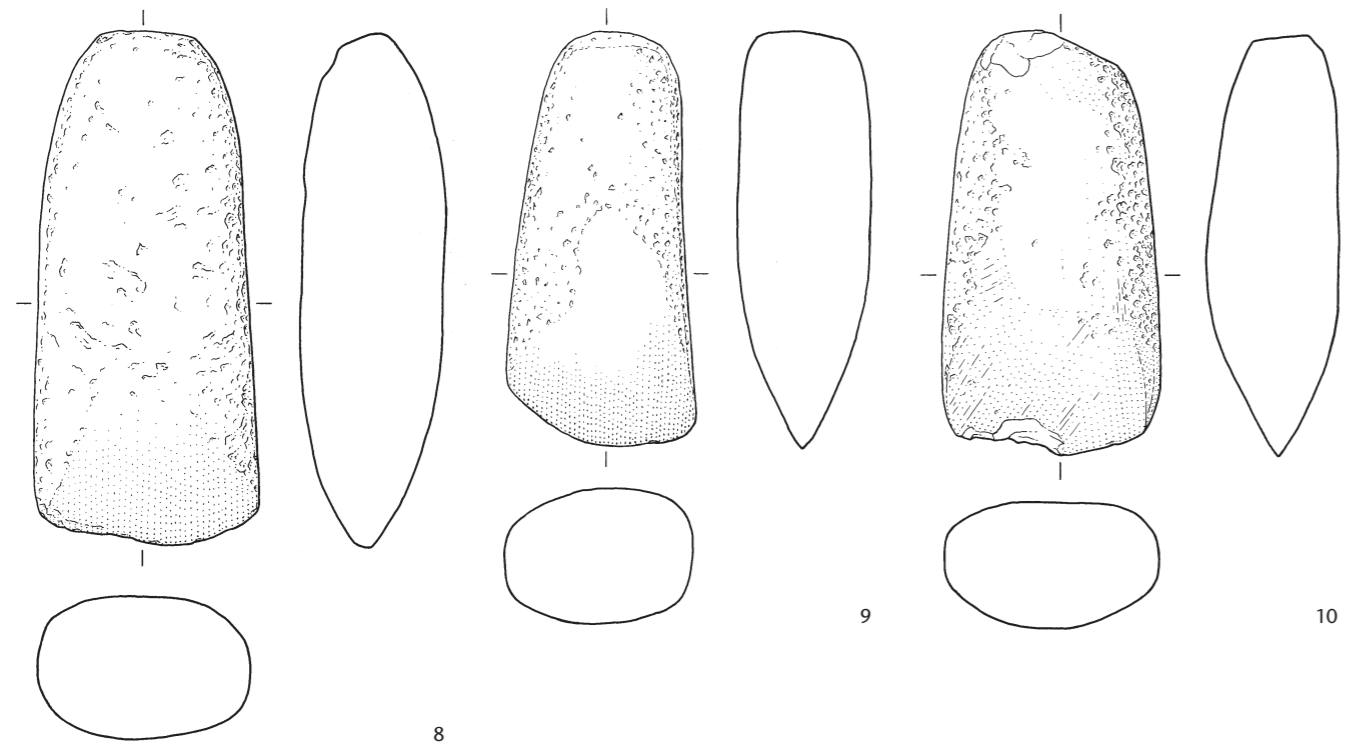
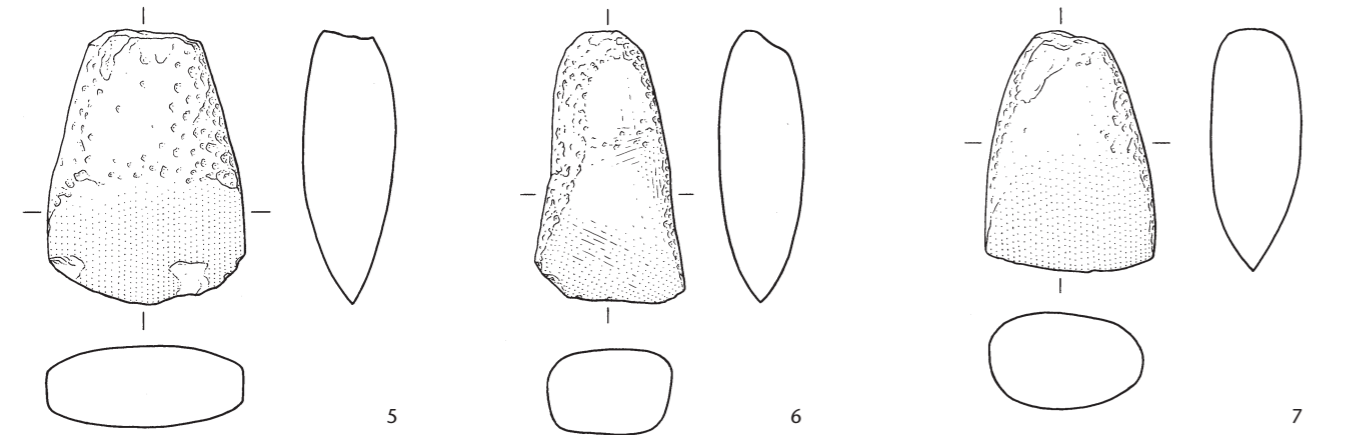
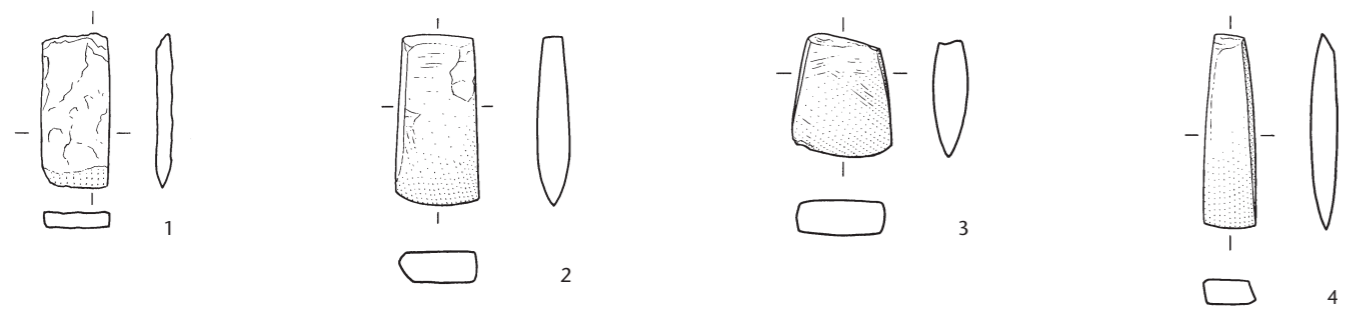
1–6 Keramik (Schnurkeramik); 7 Geweihzwischenfutter (Schnurkeramik); 8–10 Lochäxte (Pfyner Kultur/Zeitstellung fraglich/Horgen). 1–7 M. 1:3; 8–10 M. 1:2.



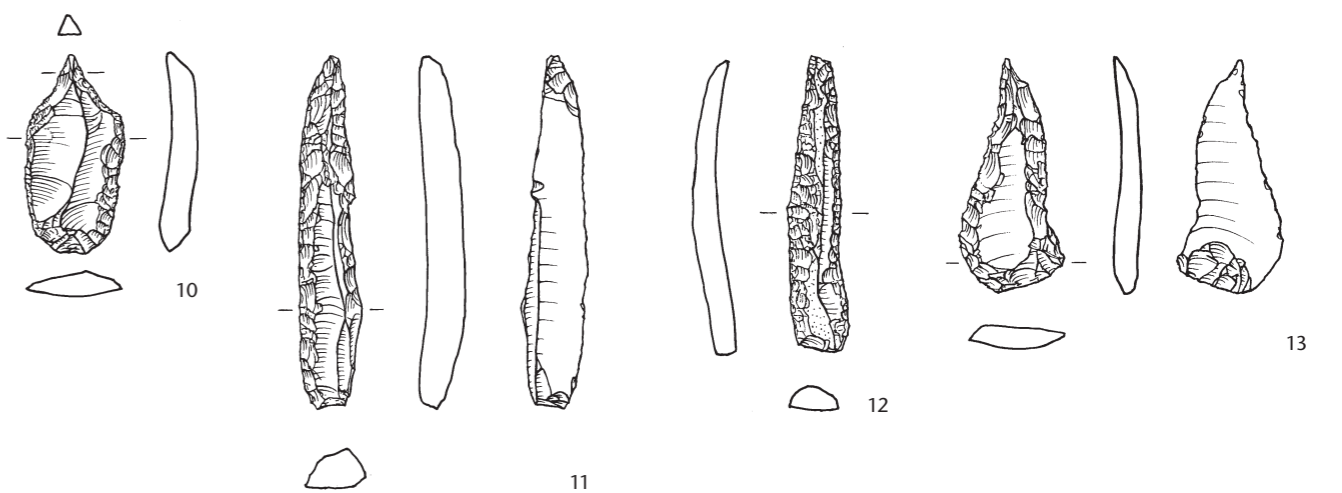
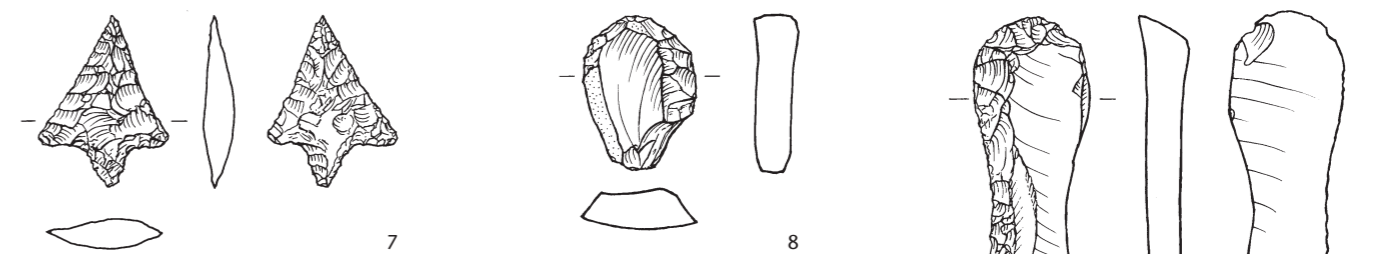
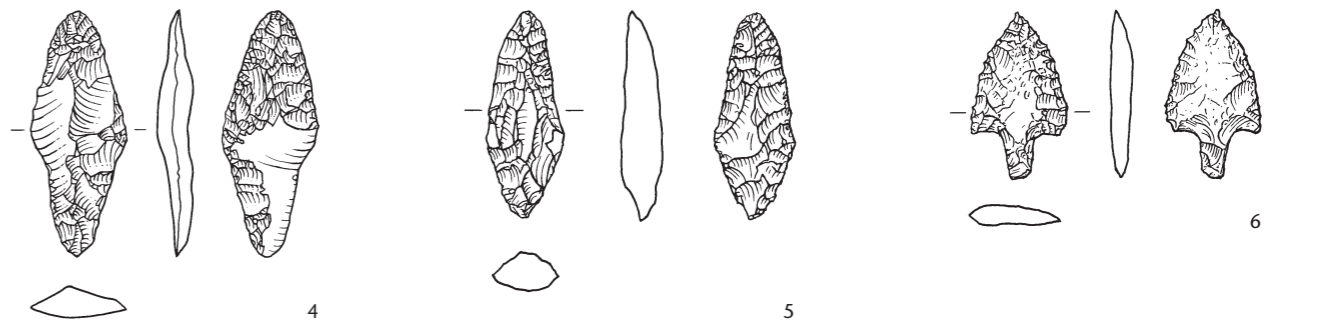
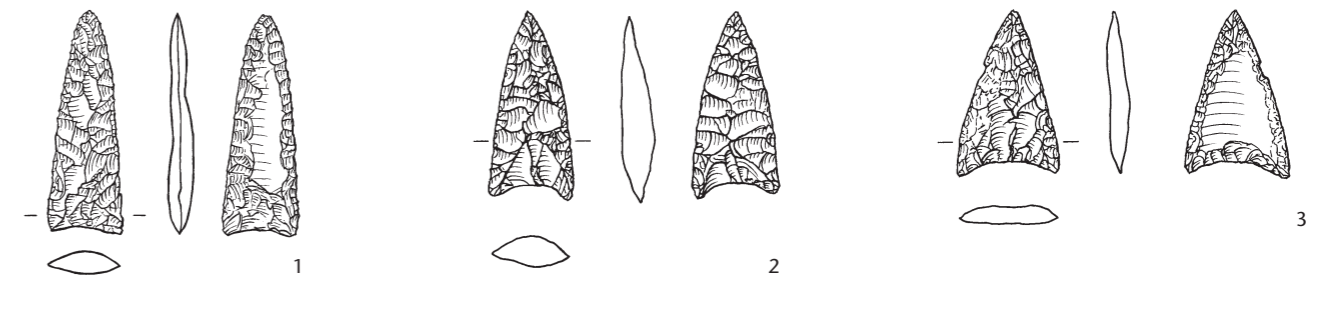
Tafel 157 Cham-Bachgraben. Altfunde.
1-9 Steinbeilklingen (Horgen). M. 1:2.



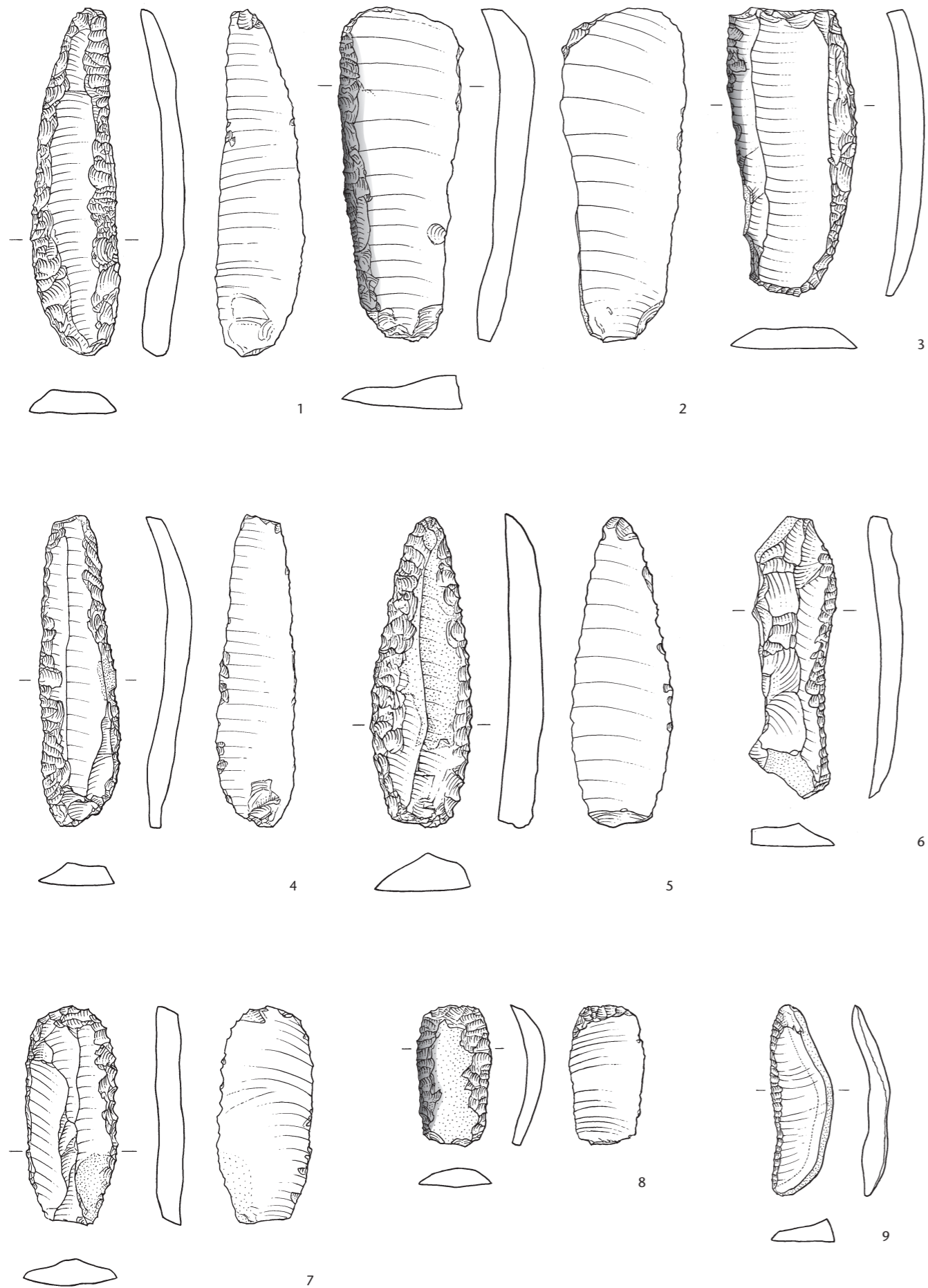
Tafel 158 Cham-Bachgraben. Altfunde.
1-14 Steinbeilklingen (Horgen). M. 1:2.



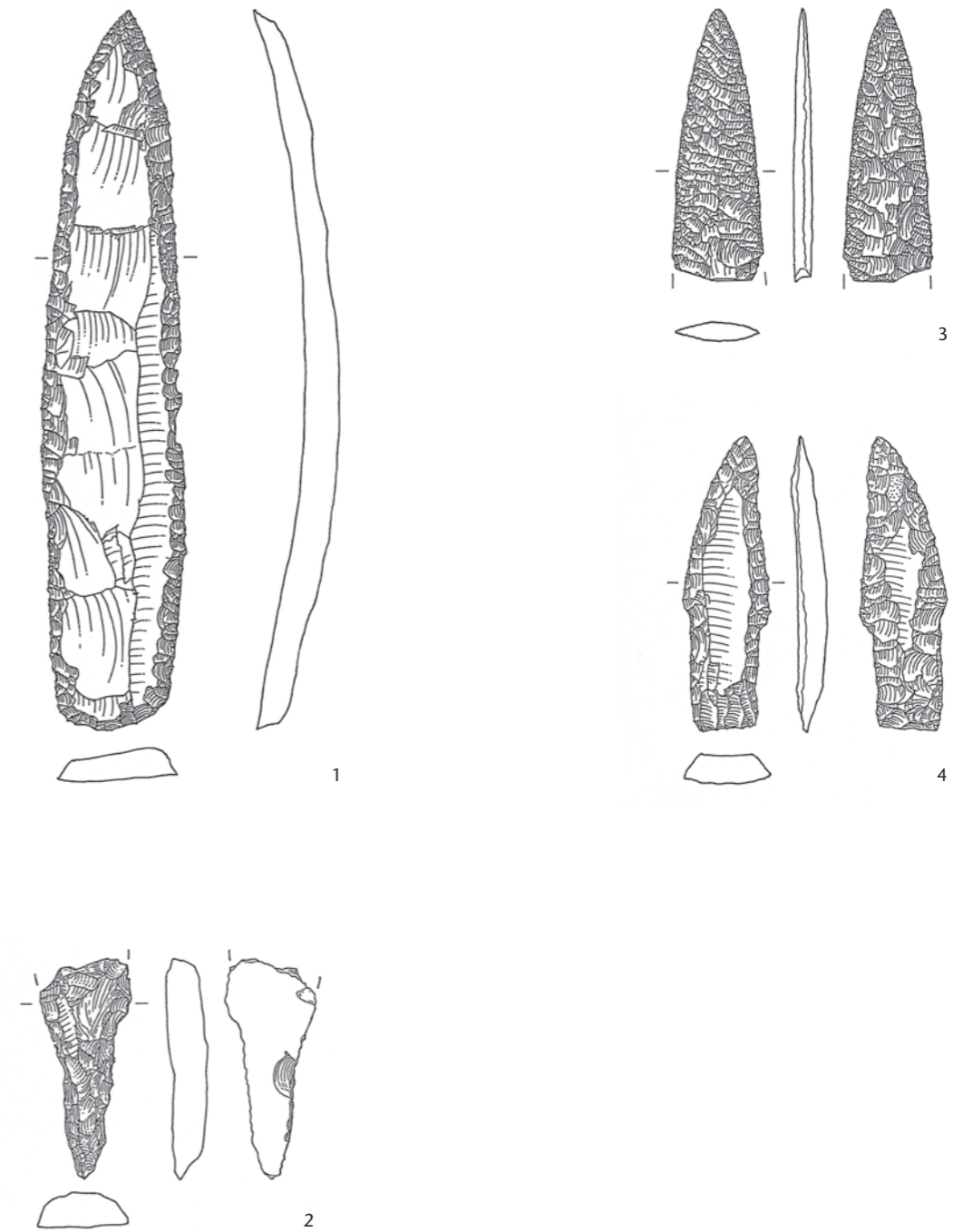
Tafel 159 Cham-Bachgraben. Altfunde.
1-4 Steinbeilklingen (Horgen); 5-7 Steinbeilklingen (Zeitstellung fraglich); 8-10 Steinbeilklingen (Pfyner Kultur). M. 1:2.



Tafel 160 Cham-Bachgraben. Altfunde.
1-7 Pfeilspitzen; 8,9 Kratzer; 10 Bohrer; 11-13 Spitzenvarietäten (Horgen/Schnurkeramik). M. 2:3.



Tafel 161 Cham-Bachgraben. Altfunde.
1-9 Retuschierte Klingen (Horgen/Schnurkeramik). M. 2:3.



Tafel 162 Cham-Bachgraben. Altfunde.
1-4 Dolchklingen (Horgen/Schnurkeramik). M. 2:3.

III. Verzeichnisse

1 Abkürzungsverzeichnis

1.1 Allgemeine Abkürzungen

a-/A-	sichere dendrochronologische Datierung/Korrelation (a: Einzelserie; A: Mittelkurve)	Min.	Minimum
Abb.	Abbildung	MIZ	Mindestindividuenzahl
Al/Bt	Bodenhorizonte (Al: Auswaschungshorizont; Bt: Verwitterungshorizont)	MK	Mittelkurve
Anh.	Anhang (Bd. 3, Kap. I)	MM	Mikromorphologieprobe
Anm.	Anmerkung	M.S.	Mikroschicht
AOM	amorphes organisches Material	Munsell	Munsell Soil Color Chart
A.S.	archäologische Schicht	n	Anzahl
b-/B-	unsichere dendrochronologische Datierung/Korrelation (b: Einzelserie; B: Mittelkurve)	n. a.	nicht im Tafelkatalog (Bd. 3, Kap. II) abgebildet
Band 1–3	Verweis auf die Teilbände 1–3 der vorliegenden Publikation	n. Chr.	nach Christi Geburt (historisches bzw. dendrochronologisches Datum)
Bd.	Band	Nr./-nr./n°	Nummer/-nummer/numéro
BP	before present (unkalibriertes ¹⁴ C-Datum vor heute, das heisst 1950)	OK	Oberkante/oberkant
BS	Bodenscherbe	organ.	organisch
Bz + Stufe	Stufe der Bronzezeit	pl.	planche/plate (Tafel)
CAD	Computer-Aided Design	Pos.	Positionsnummer
cal AD	kalibriertes ¹⁴ C-Datum n. Chr.	PPL	linear polarisiertes Licht (Durchlicht-Mikroskopie)
cal BC	kalibriertes ¹⁴ C-Datum v. Chr.	ppm	Parts per million (Teilchen pro Million = mg/kg)
Dép.	Département	R	Rammsondierung
DG	Dendrogruppe	r	recto (auf Vorderseite)
dir.	directeur (Schriftleiter)	Red.	Redaktion
ed./éd./Ed.	editore/éditeur/Editor (Herausgeber)	REM	Rasterelektronenmikroskop(ie)
EMPA	Elektronenmikrosonde-Analytik	μ-RFA	Mikro-Röntgenfluoreszenzanalyse
Ereignis	Ereignisnummer des ADA ZG	RS	Randscherbe
et al.	et alii (und andere [Autorinnen und Autoren])	SBZ	Spätbronzezeit
evtl.	eventuell	S.E.	Schichtereignis
f.	und folgende (Seite)	SG	Spätglazial
FBZ	Frühbronzezeit	s. l.	sensu lato (im weiteren Sinne)
fig.	figura/figure (Abbildung)	SOND	Sondierung
FK	Fundkomplex	Sp.	Spalte
fol.	folio (auf Folioblatt)	s. str.	sensu stricto (im engeren Sinne)
FT-IR/IFTR/FTIR	Fourier-Transformation-Infrarot (-Spektroskopie)	s. v.	sub voce (unter dem Stichwort)
GB	Gefrierkernbohrung	Tab.	Tabelle
GIS	Geoinformationssystem	Taf.	Tafel (ohne weitere Angabe Verweis auf Tafeln in Bd. 3, Kap. II)
GPS	Global Positioning System	Tafelkatalog	Bd. 3, Kap. II (Katalog und Tafeln)
H	Holozän	Überarb.	Überarbeitung
HK	Holzkohle	UK	Unterkante/unterkant
Hrsg.	Herausgeber	unpubl.	unpubliziert
ill.	illustration (Abbildung)	usw.	und so weiter
inkl.	inklusive (einschliesslich)	v	verso (auf Rückseite)
Inv.	Inventarnummer	v. a.	vor allem
Jh.	Jahrhundert	v. Chr.	vor Christi Geburt (historisches bzw. dendrochronologisches Datum)
Kat.	Katalognummer	vol.	volume (Band)
Koord.	Koordinate (bezogen auf die Landeskoordinaten LV03)	WS	Wandscherbe
LA-ICP-MS	Laser-Ablation-Massenspektrometrie	XPL	kreuzpolarisiertes Licht (Durchlicht-Mikroskopie)
Laufnr.	Laufnummer	XRD	Röntgendiffraktions-Analytik
LOC	loss of crown (Kronenverlust)	(p)XRF	(portable) Röntgenfluoreszenz-Analytik
m ü. M.	Meter über Meer (nivellierte Höhe ohne Berücksichtigung des Erdschwerfeldes)		
M.	Massstab		
Max.	Maximum		
MBZ	Mittelbronzezeit		

2 Literaturverzeichnis

2.1 Quellen

- Acta Murensia: Aarau, Staatsarchiv Aargau, AA/4947 – Acta Murensia.
<https://doi.org/10.5076/e-codices-saa-4947>.
 QW I, 2: Schiess, T./Meyer, B. (Hrsg., 1937) Quellenwerk zur Entstehung der Schweizerischen Eidgenossenschaft. Urkunden, Chroniken, Hofrechte, Rödel und Jahrbücher bis zum Beginn des XV. Jahrhunderts. Abteilung 1: Urkunden, Bd. 2: Von Anfang 1292 bis Ende 1332. Aarau.
 UBZG I: Gruber, E./Iten, A./Zumbach, A. (Hrsg., 1964) Urkundenbuch von Stadt und Amt Zug. Vom Eintritt in den Bund bis zum Ausgang des Mittelalters 1352–1528. Bd. I: 1352–1490 (Nr. 1–1536). Zug.

2.2 Literatur

1.2 Literatur und Institutionen

- ADA ZG Amt für Denkmalpflege und Archäologie des Kantons Zug
 AfS Zürich Amt für Städtebau der Stadt Zürich
 AS Archäologie Schweiz (Gesellschaft)
 as. Archäologie Schweiz (Zeitschrift)
 BAR British Archaeological Reports
 CAR Cahiers d'Archéologie Romande
 CIETA Centre international d'étude des textiles anciens
 CRA Collection de recherches archéologiques Der Neue Pauly. Enzyklopädie der Antike
 DNP Eidgenössische Technische Hochschule Zürich
 ETH Zürich
 HLS Historisches Lexikon der Schweiz
 IPNA Integrative Prähistorische und Naturwissenschaftliche Archäologie der Universität Basel
 JbAS Jahrbuch Archäologie Schweiz
 JbSGU(F) Jahrbuch der Schweizerischen Gesellschaft für Ur- (und Früh)geschichte
 KMUZ Kantonales Museum für Urgeschichte(n) Zug
 LDA Thüringen Landesamt für Denkmalpflege und Archäologie Thüringen
 NMBE Naturhistorisches Museum Bern
 SPM II Die Schweiz vom Paläolithikum bis zum frühen Mittelalter II: Neolithikum (W. E. Stöckli/U. Niffeler/E. Gross-Klee, Hrsg., Basel 1995)
 SPM III Die Schweiz vom Paläolithikum bis zum frühen Mittelalter III: Bronzezeit (St. Hochuli/U. Niffeler/V. Rychner, Hrsg., Basel 1998)
 UWAD Unterwasserarchäologie und Dendroarchäologie, AfS Zürich

- Achour-Uster, Ch. (2002) Artefakte aus Felsstein. In: Achour-Uster/Eberli/Ebersbach et al. 2002, 62–68.
 Achour-Uster, Ch./Kunz, J. (2001) Autobahngrabungen. Die mittelbronzezeitliche Siedlungsstelle von Birmensdorf-Stoffel. Grabungen 1995–1996. Zürcher Archäologie 4. Zürich/Egg.
 Achour-Uster, Ch./Eberli, U./Ebersbach, R. et al. (2002) Die Seeufersiedlungen in Horgen. Die neolithischen und bronzezeitlichen Fundstellen Dampfschiffsteg und Scheller. Monographien der Kantonsarchäologie Zürich 36. Zürich/Egg.
 Affolter, J. (2002) Provenance des silex préhistoriques du Jura et des régions limitrophes. Archéologie neuchâteloise 28. Neuchâtel.
 Affolter, J. (2016) Patina, Konkretion und weitere Diagenese der Silices. In: Harb/Bleicher (Hrsg.) 2016, 118–126.
 Affolter, J./Suter, P. J. (2017) Felsgesteinsartefakte. In: P. J. Suter, Um 2700 v. Chr. Wandel und Kontinuität in den Ufersiedlungen am Bielersee 1. Bern, 332–355.
 Altorfer, K. (2010) Die prähistorischen Feuchtbodensiedlungen am Südrand des Pfäffikersees. Eine archäologische Bestandesaufnahme der Stationen Wetzikon-Robenhausen und Wetzikon-Himmerich. Monographien der Kantonsarchäologie Zürich 41. Zürich/Egg.
 Altorfer, K. (2015) Von der Abbaustelle ins neolithische Uferdorf – Neue montanarchäologische Forschungen im Lägerngebiet. Minaria Helvetica 36, 3–21.
 Altorfer, K. (2023) Rohstoffversorgung, Kommunikationsnetze und Silixtechnologie vom Ende des 5. bis zur Mitte des 3. Jt. v. Chr. Monographien der Kantonsarchäologie Zürich 58. Zürich.
 Altorfer, K./Affolter, J. (2010) Die neolithischen Dolche aus dem Kanton Zürich. In: Matuschik/Strahm/Eberschweiler et al. (Hrsg.) 2010, 297–315.
 Altorfer, K./Affolter, J. (2011) Schaffhauser Silix-Vorkommen und Nutzung. Wirtschaftsarchäologische Untersuchungen an den Silices der jungneolithischen Stationen Büttenhardt-Zelg, Schaffhausen (Herblingen)-Grüthalde und Lohn-Setzi. Beiträge zur Schaffhauser Archäologie 5. Schaffhausen.
 Altorfer, K./Conscience, A.-C. (2005) Seeufersiedlungen. Meilen-Schellen. Die neolithischen und spätbronzezeitlichen Funde und Befunde der Untersuchungen 1934–1996. Zürcher Archäologie 18. Zürich/Egg.
 Amacher, U. (1996) Zürcher Fischerei im Spätmittelalter. Mitteilungen der Antiquarischen Gesellschaft in Zürich 63. Zürich.

- Amber, P. (1995) Les mines préhistoriques de Cabrières (Hérault): quinze ans de recherches. État de la question. Bulletin de la Société préhistorique française 92/4, 499–508.
- Amber, P./Laroche, M./Figueroa-Larre, V. et al. (2009) Cabrières et la métallurgie de la transition de l'Âge du bronze et du premier Âge du fer (Launacien pro Parte): État de la question. Bulletin du Musée d'Anthropologie préhistorique de Monaco 49, 100–114.
- Ambühl, E. (1929) Petrographie und Geologie des zentralen Gotthardmassivs südlich Andermatt. Schweizerische mineralogische und petrographische Mitteilungen 9/2, 265–441.
- Ambühl, E./Huber, H.M./Niggli, E. et al. (2008) Blatt 1232 Oberalp. Geologischer Atlas der Schweiz 1:25 000, Karte 126. Bundesamt für Landestopografie. Wabern.
- Ammann, J.F. (1987) Entstehung und Sicherheitsaspekte des Zuger Seeufers. Zuger Neujahrsblatt, 47–63.
- Ammann, J.F. (1993a) Knopflis Pionierat früherer Flussbaukunst. Zuger Neujahrsblatt, 39–49.
- Ammann, J.F. (1993b) Zur Geologie der Lorze. Zuger Neujahrsblatt, 51–61.
- Angelini, I. (2018) Annexe 10: Archaeometric analysis of the amber. In: Gallay/Burri-Wyser/Menna et al. 2018, 317–322.
- Angelini, I./Olmeda, G. (2018) Annexe 11: Archaeometric study of the vitreous materials beads. In: Gallay/Burri-Wyser/Menna et al. 2018, 323–339.
- Angelini, I./Vidale, M. (2020) The Bronze Age amber industry in northern Italy in light of high-resolution 3D imaging. ArcheoSciences – Revue d'archéométrie 44/2, 237–249.
- Angelini, I./Gratuzze, B./Artioli, G. (2019) Glass and other vitreous materials through history. In: G. Artioli/R. Oberti (Eds.), The contribution of mineralogy to cultural heritage. University textbook. European Mineralogical Union Notes in Mineralogy 20, 87–150.
- Angelini, I./Artioli, G./Bellintani, P. et al. (2005) Protohistoric vitreous materials of Italy from early faience to final Bronze Age glasses. In: M.-D. Nenna (éd.), Annales du 16^e Congrès de l'Association Internationale pour l'Histoire du Verre, London, 7–13 septembre 2003. Nottingham, 32–36.
- Angelini, I./Artioli, G./Polla, A. et al. (2006) Early bronze age Faience from north Italy and Slovakia: A comparative archaeometric study. In: J. Perez-Arategui (Ed.), 34th International Symposium on Archaeometry. 3–7 May 2004, Zaragoza, Spain. Publication número 2.621 de la Institución «Fernando el Católico». Saragossa, 371–378.
- Anliker, E./de Capitani, A./Lötscher, Ch. (2009) Aeschi SO-Burgäschisee-Ost: Die Grabung der Ufersiedlung 1944 und die Nachuntersuchung 1945. Befunde und Silices. JbAS 92, 65–96.
- Archäologisches Landesmuseum Baden-Württemberg/Landesamt für Denkmalpflege Baden-Württemberg (Hrsg., 2016) 4.000 Jahre Pfahlbauten. Ausstellungskatalog. Ostfildern.
- Babel, U. (1975) Micromorphology of Soil Organic Matter. In: J. E. Gieseking (Ed.), Soil Components 1: Organic Components. Berlin, 369–473.
- Baeriswyl, A./Lüscher, R. (2009) Biel, Gerbergasse/Freiestrasse. Archäologische Ausgrabungen in einem suburbanen Gewerbequartier. Jahrbuch des Archäologischen Dienstes des Kantons Bern, 54–61.
- Baioni, M. (2016) Fantastische Holzerhaltung. Pfahlbauten in Norditalien. In: Archäologisches Landesmuseum Baden-Württemberg/Landesamt für Denkmalpflege Baden-Württemberg (Hrsg.) 2016, 228–231.
- Baioni, M./Ferrari, V./Leandri, F. (2007) Il monumento naturale de «i Lagazzi» di Piadena. Nucleo Territoriale 14. Cremona.
- Bandi, H. G./Sangmeister, E./Spycher, H. et al. (1973) Seeberg, Burgäschisee-Süd 6. Steingeräte und Kupferfunde. Acta Bernensia 2. Bern.
- Barfield, L. (2001) Beaker lithics in northern Italy. In: F. Nicolis (Ed.), Bell Beakers today. Pottery, people, culture, symbols in prehistoric Europe: Proceedings of the International Colloquium Riva del Garda (Trento, Italy), 11–16 May 1998. Trento, 507–518.
- Barge, H. (1982) Les parures du Néolithique ancien au début de l'Âge des métaux en Languedoc. Éditions du Centre National de la Recherche Scientifique. Paris.
- Bauer, I./Weiss, J. (1998) Keramik. In: SPM III, 260–268.
- Baum, T./Bleicher, N. (2019) Schichten und Siedlungsphasen im Zürcher Seefeld. In: Baum/Bleicher/Ebersbach et al. 2019, 238–252.
- Baum, T./Bleicher, N./Ebersbach, R. et al. (2019) Jungsteinzeitliche Ufersiedlungen im Zürcher Seefeld. Ausgrabungen Kanalisationsanierung, Pressehaus, AKAD, Utoquai, Bd. 3: Die Siedlungsgeschichte. Monographien der Kantonsarchäologie Zürich 52. Zürich/Egg.
- Bayerisches Landesamt für Umwelt (2017) Grosse Teichmuschel (*Anodonta cygnea*). https://www3.lis.tum.de/fileadmin/w00bds/aquasys/upload/Muschelkoordination/Artensteckbriefe/Merkblatt_Grosse_Teichmuschel.pdf (Stand 2017; aufgerufen 18.5.2022)
- Bearth, P. (1967) Die Ophiolithe der Zone von Zermatt-Saas Fee. Beiträge zur geologischen Karte der Schweiz. Neue Folge 132. Bern.
- Beck, C.W. (1997a) Zur Herkunftsbestimmung von Bernstein. In: Ganzelewski/Slota (Hrsg.) 1997, 59–61.
- Beck, C.W. (1997b) Hauterive-Champrevéyres 10. Détermination de la provenance des résines fossiles par l'analyse spectrale en infrarouge. In: D. Leesch, Un campement magdalénien au bord du lac de Neuchâtel. Cadre chronologique et culturel, mobilier et structures, analyse spatiale (secteur 1). Archéologie neuchâteloise 19. Neuchâtel, 105–107.
- Beck, C.W./Heider, J.A. (1994) Bronzezeitliche Bernsteinperlen aus Reinach (BL). In: C. Fischer/B. Kaufmann, Bronze, Bernstein und Keramik. Urnengräber der Spätbronzezeit in Reinach BL. Archäologie und Museum 30. Liestal, 64–65.
- Beck, C.W./Stout, E.C. (2000) The Origin of the Prehistoric Amber Finds in Southwestern Switzerland. In: R. C. de Marinis/S. Biaggio Simona (edd.), I Leponti tra mito e realtà, vol. 2. Locarno, 41–61.
- Beck, C.W./Takagi, Y. (1997) Zur Herkunft bronzezeitlicher Bernsteinfunde in Neftenbach ZH und Weinigen ZH. In: C. Fischer, Innovation und Tradition in der Mittel- und Spätbronzezeit. Gräber und Siedlungen in Neftenbach, Fällanden, Dietikon, Pfäffikon und Erlenbach. Monographien der Kantonsarchäologie Zürich 28. Zürich/Egg, 135–137.
- Beck, C.W./Hartnett, H.E./Phocas, J.G. (1993) Hauterive-Champrevéyres 9. The origin of amber found at Hauterive-Champrevéyres, Switzerland. In: Rychnier-Faraggi 1993, 119–121.
- Beck, H.C./Stone, J.F.S. (1936) Faience Beads of the British Bronze Age. Archaeologia 85, 203–252.
- Beckmann, T. (1997) Präparation bodenkundlicher Dünnschliffe für mikromorphologische Untersuchungen. In: K. Stahr (Hrsg.), Mikromorphologische Methoden in der Bodenkunde. Ergebnisse eines Workshops der DBG, Kommission VII, 9.–11. Oktober 1995 an der Universität Hohenheim. Hohenheimer Bodenkundliche Hefte 40, 89–103.
- Becze-Deák, J./Langohr, R. (2000) Podzolisation, peat development and dopplerte – soil characteristics of a challenging profile at the Ramskapelle Polder (West Flanders – Belgium). In: G. Louwagie/R. Langohr (Eds.), Thematic Day. Soils and Palaeoenvironment Reconstruction. Applications in Geo- and Archaeopedology. 10 November 1999, Laboratory of Soil Science Ghent University. Pedologie-Themata 8, 113–122.
- Bellintani, P. (2002) Bernsteinstrassen, Glasstrassen. Archäologische Zeugnisse aus dem Etschtal im Rahmen der Beziehungen zwischen den Mittelmeerländern und dem transalpinen Europa während der Bronzezeit. In: G. Schneckeburger (Hrsg.), Über die Alpen. Menschen – Wege – Waren. ALManach 7/8. Stuttgart, 39–48.
- Bellintani, P. (2014) Baltic Amber, Alpine Copper and Glass Beads from the Po Plain. Amber Trade at the Time of Campestrin and Frattesina. Padusa 50, 111–139.
- Bellintani, P. (2015) Bronze Age Vitreous Materials in Italy. In: I. Lazar (éd.), Annales du 19^e Congrès de l'Association Internationale pour l'Histoire du Verre, Piran, 17–21 septembre 2012. Koper, 15–21.
- Benguerel, S./Brem, H./Ebersbach, R. et al. (2020) Der Orkopf – eine Fundstelle auf der Landesgrenze. Archäologie im Thurgau 20, Siedlungsarchäologie im Alpenvorland XIV. Romanshorn.
- Berger, B./Classen, E. (2012) Restaurierung und Konservierung von Bernsteinfunden aus mittelbronzezeitlichen Grabhügeln. Restaurierung und Archäologie 5, 51–72.
- Bertini, M./Izmer, A./Vanhaecke, F. et al. (2012) Critical evaluation of quantitative methods for the multi-elemental analysis of ancient glasses using laser ablation inductively coupled plasma mass spectrometry. Journal of Analytical Atomic Spectrometry 28/1, 77–91.
- Bertone, A. (2004) Planimetria dei villaggi del Lago di Viverone ed architettura delle abitazioni. Ipotesi ricostruttiva. In: A. Bertone/L. Fozzati (edd.), La civiltà di Viverone. La conquista di una nuova frontiera nell'Europa del II millennio a. C. Biella, 13–24.
- Bērziņš, V. (2008) Särnate: Living by a Coastal Lake during the East Baltic Neolithic. Acta Universitatis Ouluensis B Humaniora 86. Oulu.
- Besse, M./Doppler, Th. (2012) Beigaben im Kollektivgrab von Spreitenbach. In: Th. Doppler (Hrsg.), Spreitenbach-Moosweg (Aargau, Schweiz): Ein Kollektivgrab um 2500 v. Chr. Antiqua 51. Basel, 75–84.
- Bill, J. (1983) Der Glockenbecher von Hochdorf-Baldeg. Helvetia Archaeologica 14/55–56, 167–172.
- Bill, J. (1995) Goldenes Bronzezeitalter. Die Bronzezeit im Kanton Luzern. Archäologische Schriften Luzern 6. Luzern.
- Billamboz, A. (2004) Dendrochronologische Untersuchungen von Ufersiedlungen im Osten der Sipplinger Bucht. Grabungen 1998–99, Schnitte 40 und 140. In: A. Billamboz/S. Riehl/E. Schmidt et al., Siedlungen der Pfyn Kultur im Osten der Pfahlbaubucht von Sipplinger, Bodenseekreis. Naturwissenschaftliche Untersuchungen. Hemmenhofener Skripte 4/2. Freiburg im Breisgau, 97–109.
- Billamboz, A. (2006) Dendroarchäologische Untersuchungen in den neolithischen Ufersiedlungen von Hornstaad-Hörnle. In: Landesamt für Denkmalpflege im Regierungspräsidium Stuttgart (Hrsg.) 2006, 297–414.
- Billamboz, A. (2009) Jahrringuntersuchungen in der Siedlung Forschner und weiteren bronze- und eisenzeitlichen Feuchtbodensiedlungen Südwestdeutschlands. Aussagen der angewandten Dendrochronologie in der Feuchtbodenarchäologie. In: Landesamt für Denkmalpflege im Regierungspräsidium Stuttgart (Hrsg.) 2009, 399–555.
- Billamboz, A. (2014) Regional patterns of settlement and woodland developments: Dendroarchaeology in the Neolithic pile-dwellings on Lake Constance (Germany). The Holocene 24/10, 1278–1287.
- Billamboz, A./Königer, J. (2008) Dendroarchäologische Untersuchungen zur Besiedlungs- und Landschaftsentwicklung im Neolithikum des westlichen Bodenseegebietes. In: W. Dörfler/J. Müller (Hrsg.), Umwelt – Wirtschaft – Siedlungen im 3. vorchristlichen Jahrtausend Mitteleuropas und Südkandinaviens. Internationale Tagung Kiel 4.–6. November 2005. Offa-Bücher 84. Neumünster, 317–334.
- Billaud, Y./Marguet, A. (1999) Mise en évidence d'une occupation littorale de l'Âge du Bronze ancien dans les lacs alpins français: Les Mongets (Lac d'Annecy, Sévrier, Haute-Savoie). In: A. Beeching/J. Vital (éds.), Préhistoire de l'espace habité en France du Sud. Actualité de la recherche. Actes des Premières Rencontres méridionales de Préhistoire récente, Valence 1994. Travaux du C. A. P. 1. Valence, 121–128.
- Bini, A./Buoncristiani, J./Couterrand, S. et al. (2009) Die Schweiz während des letzteiszeitlichen Maximums (LGM). Karte 1:500 000. Bundesamt für Landesgeologie. Wabern.
- Bleicher, N. (2006) Die Kleinhölzer von Hornstaad-Hörnle IA. Archäologische und dendrochronologische Untersuchungen zur Bedeutung einer Fundgattung und zur Schichtgenese. In: Landesamt für Denkmalpflege im Regierungspräsidium Stuttgart (Hrsg.) 2006, 419–454.
- Bleicher, N. (2009a) 0448.03, Alpenblick II, Holzartenbestimmung. Unpubl. Bericht im Archiv Archäologie, ADA ZG, Ereignis 448.
- Bleicher, N. (2009b) Altes Holz in neuem Licht. Archäologische und dendrochronologische Untersuchungen an spätneolithischen Feuchtbodensiedlungen in Oberschwaben. Materialhefte zur Archäologie in Baden-Württemberg 83. Stuttgart.
- Bleicher, N. (2009c) Stabilität und Dynamik von Dörfern und Siedlungsgemeinschaften aus dendroarchäologischer Sicht. JbAS 92, 239–246.
- Bleicher, N. (2014) Four levels of patterns in tree-rings: an archaeological approach to dendroecology. Vegetation History and Archaeobotany 23/5, 615–627.
- Bleicher, N. (2015a) Dendrochronologie und Pfahlfeldanalyse. In: Ebersbach/Ruckstuhl/Bleicher 2015a, 122–165.
- Bleicher, N. (2015b) Theorien und Interpretationen zu Topographie und Architektur. In: Bleicher/Harb (Hrsg.) 2015, 198–202.
- Bleicher, N. (2017) Dorforgangorganisation und Hausbau. In: Bleicher/Harb (Hrsg.) 2017, 202–214.
- Bleicher, N. (2019) Siedlungsdynamik und Organisation. In: Baum/Bleicher/Ebersbach et al. 2019, 259–262.
- Bleicher, N./Burger, M. (2015) Dendroarchäologie und Pfahlfeldanalyse in den neolithischen Siedlungen von Zürich-Parkhaus Opéra. In: Bleicher/Harb (Hrsg.) 2015, 100–146.
- Bleicher, N./Harb, Ch. (Hrsg., 2015) Zürich-Parkhaus Opéra. Eine neolithische Feuchtbodenfundstelle, Bd. 1: Befunde, Schichten und Dendroarchäologie. Monographien der Kantonsarchäologie Zürich 48. Zürich/Egg.
- Bleicher, N./Harb, Ch. (Hrsg., 2017) Zürich-Parkhaus Opéra. Eine neolithische Feuchtbodenfundstelle, Bd. 3: Naturwissenschaftliche Analysen und Synthese. Monographien der Kantonsarchäologie Zürich 50. Zürich/Egg.
- Bleicher, N./Harb, Ch. (2018) Settlement and social organisation in the late fourth millennium BC in Central Europe: The waterlogged site of Zurich-Parkhaus Opéra. Antiquity 92 (365), 1210–1230.

- Bleicher, N./Ruckstuhl, B. (2015) Die archäologischen Befunde. In: Bleicher/Harb (Hrsg.) 2015, 50–99.
- Bleicher, N./Schubert, C. (2015) Why are they still there? A model of accumulation and decay of organic prehistoric cultural deposits. *Journal of Archaeological Science* 61, 277–286.
- Bleicher, N./Walder, F. (2019) Dendroarchäologie von Zürich-Kanalisationssanierung, Zürich-Akad und Zürich-Pressehaus. In: Baum/Bleicher/Ebersbach et al. 2019, 173–217.
- Bleicher, N./Antolin, F./Gobet, E. et al. (2017) Umwelt-, Landschaft- und Besiedlungsgeschichte. In: Bleicher/Harb (Hrsg.) 2017, 226–231.
- Bleicher, N./Friedrich, R./Gross, E. et al. (2022) Die Radiokarbondatierung von Cham-Eslen. In: Huber/Harb (Hrsg.) 2022, 144–169.
- Bleicher, N./Gleich, Ph./Ries, M.-C. et al. (2021) Durch diese Hohle Gasse muss er kommen, der grüne Stein vom Gotthard. Ein Werkstattbericht aus der neolithischen Pfahlbausiedlung in Immensee SZ-Dorfplatz. *Mitteilungen des Historischen Vereins des Kantons Schwyz* 113, 19–54.
- Bleicher, N./Walder, F./Gut, U. et al. (2020) The Zurich method for sapwood estimation. *Dendrochronologia* 64, 1–4.
- Bleuer, E./Hardmeyer, B. (1993) Zürich «Mozartstrasse». Neolithische und bronzezeitliche Ufersiedlungen, Bd. 3: Die neolithische Keramik. Zürcher Denkmalpflege, Archäologische Monographien 18. Zürich/Egg.
- Bleuer, E./Gerber, Y./Haenicke, Ch. et al. (1993) Jungsteinzeitliche Ufersiedlungen im Zürcher Seefeld. Ausgrabungen Kanalisationssanierung 1986–1988, Bd. 2: Tafeln. Zürcher Denkmalpflege, Archäologische Monographien 23. Zürich/Egg.
- Bluijiené, A. (2013) Entstehung – Vorkommen – Gewinnung. In: Quast/Erdrich (Hrsg.) 2013, 9–15.
- Blume, H.-P./Brümmer, G. W./Horn, R. et al. (2010) Scheffer/Schachtschabel: Lehrbuch der Bodenkunde, 16. Auflage. Berlin/Heidelberg.
- Bodmer-Beder, A. (1902) Petrographische Untersuchungen von Steinwerkzeugen und ihrer Rohmaterialien aus schweizerischen Pfahlbaustätten. Neues Jahrbuch für Mineralogie, Geologie und Paläontologie XVI, 166–198.
- Bollacher, Ch. (1999) Die Keramik aus dem endneolithischen Moordorf Dullenried bei Bad Buchau, Lkr. Biberach. In: Schlichtherle/Strobel (Hrsg.) 1999, 31–34.
- Bolliger, M. (2018) Die Schnurkeramik am Zürichsee. In: *forschen & schützen*, Fachbericht Nr. 2. Zürich, 68–71. https://www.stadt-zuerich.ch/epaper/hbd/afs/forschen_schuetzen_output/web/flipviewerexpress.html (aufgerufen 17.2.2022).
- Bordreuil, M. (1986) Les éléments de collier en pierre. In: P. Pétrequin (dir.), *Les sites littoraux néolithiques de Clairvaux-les-Lacs (Jura)*, vol. I: Problématique générale. L'exemple de la station III. Paris, 223–238.
- Borrello, M. A. (2003) Les parures en coquillages marins des sites néolithiques suisses. *JbSGUF* 86, 167–177.
- Boschetti, C./Gratuze, B./Schibille, N. (2020) Commercial and social significance of glass beads in migration-period Italy: The cemetery of Campo Marchione. *Oxford Journal of Archaeology* 34/1, 1–24.
- Boschetti-Maradi, A./Hofmann, T. (2012) «Archäologische Stadtgeschichte»: Eine erste Übersicht. In: A. Boschetti-Maradi, *Archäologie der Stadt Zug*, Bd. 1: Baugeschichte der Altstadt und Fundkomplexe bis 1600. Ausgrabung und Bauuntersuchung im Haus Oberaltstadt 13. Kunstgeschichte und Archäologie im Kanton Zug 6.1. Zug, 31–60.
- Boschetti-Maradi, A./de Capitani, A./Hochuli, St. et al. (Hrsg., 2012) *Form, Zeit, Raum. Grundlagen für eine Geschichte aus dem Boden*. Festschrift für Werner E. Stöckli zu seinem 65. Geburtstag. Antiqua 50. Basel.
- Brandt, J. (1999) Khar-Mohre – die Entschlüsselung einer iranischen Glasurtechnik und ihre Bezüge zur Ägyptischen Fayence. In: Busz/Gercke (Hrsg.) 1999, 170–187.
- Brems, D./Degryse, P. (2014) Trace Element Analysis in Provenancing Roman Glass-Making. *Archaeometry* 56, 116–136.
- Bresson, L.-M./Valentin, C. (1994) Soil surface crust formation: contribution of micromorphology. In: A. J. Ringrose-Voase/G. S. Humphreys (Eds.), *Soil micromorphology: Studies in Management and Genesis: proceedings of the IXth International Working Meeting on Soil Micromorphology*. Development in Soil Science 22, 737–762.
- Bretscher-Gisiger, Ch./Sieber, Ch. (Hrsg., 2012) *Acta Murensia*. Die Akten des Klosters Muri mit der Genealogie der frühen Habsburger (Edition, Übersetzung, Kommentar, Digitalfaksimile nach der Handschrift StAAG AA/4947). Basel.
- Briffa, K./Jones, P. (1990) Basic Chronology Statistics and Assessment. In: Cook/Kairiūkštis (Eds.) 1990, 137–152.
- Bronk Ramsey, C. (2009) Bayesian analysis of radiocarbon dates. *Radiocarbon* 51/1, 337–360.
- Bronk Ramsey, C./van der Plicht, J./Weninger, B. (2001) 'Wiggle matching' radiocarbon dates. *Radiocarbon* 43/2A, 381–389.
- Brönnimann, D. (2010) Die Sedimente im Gebiet des Zürcher Fraumünsters. Ein geoarchäologischer Versuch einer Umweltrekonstruktion. Unpubl. Masterarbeit am Insitut für Prähistorische und Naturwissenschaftliche Archäologie der Universität Basel. Basel.
- Brönnimann, D./Pümpin, Ch./Ismail-Meyer, K. et al. (2017) Excrements of Omnivores and Carnivores. In: Nicosia/Stoops (Eds.) 2017, 67–82.
- Brunner, M./von Felten, J./Hinze, M. et al. (2020) Central European Early Bronze Age chronology revisited: A Bayesian examination of large-scale radiocarbon dating. *PLoS ONE* 15(12): e0243719. <https://doi.org/10.1371/journal.pone.0243719>.
- Bucher, K./Grapes, R. (2009) The Eclogite-facies Allalin Gabbro of the Zermatt–Saas Ophiolite, Western Alps: A Record of Subduction Zone Hydration. *Journal of Petrology* 50/8, 1405–1442.
- Bullock, P./Fedoroff, N./Jongierius, A. et al. (1985) *Handbook for Soil Thin Section Description*. Wolverhampton.
- Bundesamt für Strassen ASTRA (Hrsg., 2007²) *Historische Verkehrswege im Kanton Zug*. Bern. https://www.ivs.admin.ch/images/dienstleistungen/downloads/kantonshefte/PDF/zg_kantonsheft.pdf (Stand Dezember 2020, aufgerufen 17.2.2022).
- Burri-Wyser, E. (2012a) La céramique. In: Winiger/Burri-Wyser (Hrsg.) 2012, 153–213.
- Burri-Wyser, E. (2012b) L'industrie lithique taillée. In: Winiger/Burri-Wyser (Hrsg.) 2012, 223–250.
- Burri, Th./Eggenberger, U./Hofmann, B. et al. (2019) Einsatz der PXRF-Analytik zur petrographischen Klassierung eines umfassenden Fundinventars an Gesteinsartefakten. Das Beispiel der neolithisch-frühbronzezeitlichen Seeufersiedlung Cham-Bachgraben (Kt. Zug/CH). *Archäologisches Korrespondenzblatt* 49, 479–506.
- Busz, R./Gercke, P. (Hrsg., 1999) *Türkis und Azur. Quarzkeramik im Orient und Okzident*. Kassel.
- Büttler, M. (1940/41) Über Strandlinienverschiebungen des Zugersees: das Problem eines urzeitlichen Binnensees. *JbSGU* 32, 218–221.
- Cann, J./Renfrew, C. (1964) The Characterization of Obsidian and its application to the Mediterranean Region. *Proceedings of the Prehistoric Society* 30, 111–133.
- Canti, M. G. (2003a) Aspects of the chemical and microscopic characteristics of plant ashes found in archaeological soils. *Catena* 54, 339–361.
- Canti, M. G. (2003b) Earthworm activity and archaeological stratigraphy: a review of products and processes. *Journal of Archaeological Science* 30, 135–148.
- Canti, M. G. (2007) Deposition and taphonomy of earthworm granules in relation to their interpretative potential in Quaternary stratigraphy. *Journal of Quaternary Science* 22, 111–118.
- de Capitani, A. (2002) Gefässkeramik. In: de Capitani/Deschler-Erb/Leuzinger et al. 2002, 135–276.
- de Capitani, A. (2013) Egolzwil 3. Die Keramik der neolithischen Seeufersiedlung. *Archäologische Schriften Luzern* 15/1. Luzern.
- de Capitani, A./Schaeren, G. (2010a) Cham Bachgraben, Alpenblick II: Rettungsgrabung. *Tugium* 26, 17 f.
- de Capitani, A./Schaeren, G. F. (2010b) Cham ZG Bachgraben, Alpenblick II. *JbAS* 93, 213.
- de Capitani, A./Reinhard, J./Schaeren, G. (2011a) Cham ZG, Bachgraben, Alpenblick II. *JbAS* 94, 228.
- de Capitani, A./Reinhard, J./Schaeren, G. (2011b) Cham Bachgraben, Alpenblick II: Rettungsgrabung. *Tugium* 27, 19–21.
- de Capitani, A./Deschler-Erb, S./Leuzinger, U. et al. (2002) Die jungsteinzeitliche Seeufersiedlung Arbon-Bleiche 3: Funde. *Archäologie im Thurgau* 11. Frauenfeld.
- Caravatti, P. (1987) Die Untersuchung von Bernstein mittels der ¹³C Festkörper NMR-Spektroskopie. *Germania* 65/1, 208–212 (In: Steinhauser/Primas 1987, 203–214).
- Carozza, L./Mille, B. (2007) Chalcolithique et complexification sociale: quelle place pour le métal dans la définition du processus de mutation des sociétés de la fin du Néolithique en France? In: J. Guilaine (éd.), *Le chalcolithique et la construction des inégalités*, vol. 1: Le continent européen. Paris, 153–189.
- Carter, T. (2014) The Contribution of Obsidian Characterization Studies to Early Prehistoric Archaeology. In: M. Yamada/A. Ono (Eds.), *Lithic Raw Material Exploitation and Circulation in Prehistory. A Comparative Perspective in Diverse Palaeoenvironments*. Études et Recherches Archéologiques de l'Université de Liège (ERAUL) 138. Liège, 23–33.
- Cattin, F./Villa, I. M./Besse, M. (2009) Copper supply during the Final Neolithic at the Saint-Blaise/Bains des Dames site (Neuchâtel, Switzerland). *Archaeological and Anthropological Sciences* 1, 161–176.
- Cevy, Ch./Günther, D./Hubert, V. et al. (2006) Archäometrische Untersuchungen jungsteinzeitlicher und bronzezeitlicher Metallobjekte aus der Sammlung des Schweizerischen Landesmuseums in Zürich, Endbericht COST Aktion G8 (“Non-Destructive Analysis and Testing of Museum Objects”). Unpubl. Bericht Schweizerisches Nationalmuseum Zürich im Archiv Archäologie, ADA ZG, Ereignis 448.
- Cherel, A.-Fr./Gratuze, B./Simon, P. (2018) Les perles en faïence et en verre de l'âge du Bronze découvertes en Bretagne: nouvelles données, nouvelles approches. Étude typo-chronologique, composition, provenance. *Bulletin de la Société préhistorique française* 115/2, 327–360.
- Clark, N. D. L. (2012) *Mythos Bernstein*. Darmstadt.
- Cocchi-Genick, D. (1996) *Manuale di Preistoria III: L'età del rame*, vol. 1 (Firenze).
- Compagnoni, R./Rolfo, F./Castelli, D. (2012) Jadeitite from the Monviso meta-ophiolite, western Alps: Occurrence and genesis. *European Journal of Mineralogy* 24/2, 333–343.
- Compagnoni, R./Rolfo, F./Manavella, F. et al. (2007) Jadeitite in the Monviso meta-ophiolite, Piemonte Zone, Italian western Alps. *Periodico di Mineralogia* 76/2–3, 79–89.
- Conscience, A.-C. (2001) Frühbronzezeitliche Uferdörfer aus Zürich-Mozartstrasse – eine folgenreiche Neudatierung. Mit einem Exkurs von Eduard Gross: Ein kritischer Blick zurück. *JbSGUF* 84, 147–157.
- Conscience, A.-C. (2005) Seeufersiedlungen. Wädenswil-Vorder Au. Eine Seeufersiedlung am Übergang vom 17. zum 16. Jh. v. Chr. im Rahmen der Frühbronzezeit am Zürichsee, unter besonderer Berücksichtigung der frühbronzezeitlichen Funde und Befunde von Meilen-Schellen. *Zürcher Archäologie* 19. Zürich/Egg.
- Conscience, A.-C./Eberschweiler, B. (2001) Zwei bemerkenswerte Fundplätze der frühen Bronzezeit im Greifensee. *JbSGUF* 84, 136–146.
- Conte, S./Arletti, R./Mermati, F. et al. (2016) Unravelling the Iron Age glass trade in southern Italy: the first trace-element analyses. *European Journal of Mineralogy* 28/2, 409–433.
- Conte, S./Matarese, I./Vezzalini, G. et al. (2019) How much is known about glassy materials in Bronze and Iron Age Italy? New data and general overview. *Archaeological and Anthropological Science* 10/4, 1813–1841.
- Cook, E. R. (1985) A time series analysis approach to tree ring standardization. Unpubl. Thesis University of Arizona.
- Cook, E. R. (1990) A conceptual linear aggregate model for tree rings. In: Cook/Kairiūkštis (Eds.) 1990, 98–104.
- Cook, E. R./Kairiūkštis, L. (Eds., 1990) *Methods of dendrochronology. Applications in the environmental science*. Dordrecht/Boston.
- Cook, E./Peters, K. (1981) *The Smoothing Spline. A New Approach to Standardizing Forest Interior Tree-Ring Width Series for Dendroclimatic Studies*. *Tree-Ring Bulletin* 41, 45–53.
- Coombs, D. (1998) Les dépôts rituels de bronzes à Flag-Fen. In: C. Mordant/M. Pernot/V. Rychner (éds.), *L'Atelier du bronzier en XX^e au VIII^e siècle avant notre ère*. Actes du colloque international Bronze '96, Neuchâtel et Dijon III: Production, circulation et consommation du bronze. Paris.
- Courty, M.-A./Goldberg, P./Macphail, R. (1989) *Soils and Micromorphology in Archaeology*. Cambridge.
- Crivelli, C. (2008a) Armatures de projectiles en roches tenaces du Néolithique moyen et final de Suisse et des régions limitrophes. Répartition, caractérisation et interprétation d'une industrie particulière, vol. 1: Texte – Planches – Annexes. Unpubl. Diplomarbeit der Universität Genf. Genf.
- Crivelli, C. (2008b) Armatures de projectiles en roches tenaces du Néolithique moyen et final de Suisse et des régions limitrophes. Répartition, caractérisation et interprétation d'une industrie particulière, vol. 2: Catalogue. Unpubl. Diplomarbeit der Universität Genf. Genf.
- Croutsch, Ch. (2005) Techniques et sociétés néolithiques. Le sciage des roches tenaces au nord-ouest des Alpes (4300–2450 av. J.-C.). *BAR International Series* 1361. Oxford.
- Cutler, A. H. (1995) Taphonomic implications of shell surface textures in Bahia la Choya, northern Gulf of California. *Palaeogeography, Palaeoclimatology, Palaeoecology* 114, 219–240.
- Cwaliński, M. (2014) The influx of amber to the circum-Adriatic areas during the Bronze Age. Proposition of an interpretative model. *Fontes Archaeologici Posnanienses* 50/2, 183–199.

- Czesla, E. (1990) Siedlungsdynamik auf steinzeitlichen Fundplätzen. Methodische Aspekte zur Analyse latenter Strukturen. *Studies in Modern Archaeology* 2. Bonn.
- Dalcher, P. (1957) Die Fischereiterminologie im Urkundenbuch von Stadt und Amt Zug 1352 bis 1528. Beiträge zur schweizerdeutschen Mundartforschung 7. Frauenfeld.
- D'Amico, C./Starnini, E. (2012) Circulation and provenance of the Neolithic "greenstone" in Italy. Circulation et origine des « roches vertes » dans le Néolithique d'Italie du Nord. In: Pétrequin/Cassen/Errera et al. (éds.) 2012, 728–743.
- D'Amico, C./Camp, R./Felice, G. et al. (1995) Eclogites and jades as prehistoric implements in Europe. A case of petrology applied to Cultural Heritage. *European Journal of Mineralogy* 7/1, 29–41.
- D'Amico, C./Starnini, E./Gasparotto, G. et al. (2003) Eclogites, jades and other HP-metaophiolites employed for prehistoric polished stone implements in Italy and Europe. *Periodico di Mineralogia* 73, 17–42.
- David-Elbiali, M. (2000) La Suisse occidentale au II^e millénaire av. J.-C. Chronologie, culture, intégration européenne. *CAR* 80. Lausanne.
- David-Elbiali, M. (2005a) Étude du mobilier des inhumations. In: Mariéthoz 2005, 70–87.
- David-Elbiali, M. (2005b) Le mobilier hors structure. In: Mariéthoz 2005, 113–117.
- David-Elbiali, M. (2022) D'un usage cohérent des méthodes de mesure du temps de l'âge du Bronze. In: C. Marcigny/T. Lachenal/P.-Y. Milcent et al. (éds.), Mesurer le temps de l'âge du Bronze. Journée thématique de l'APRAB (Saint-Germain-en-Laye, 6 mars 2020). Supplément n° 8 au Bulletin de l'Association pour la Promotion des Recherches sur l'âge du Bronze. Dijon, 77–84.
- David-Elbiali, M./Angelini, I./Olmeda, G. (2018) La parure en ambre et en verre. In: Gallay/Burri-Wyser/Menna et al. 2018, 156–164.
- Deák, J./Gebhardt, A./Lewis, H. et al. (2017) Soils Disturbed by Vegetation Clearance and Tillage. In: Nicosia/Stoops (Eds.) 2017, 233–264.
- Degryse, P./Boyce, A./Erb-Satullo, N. et al. (2010) Isotopic discriminants between Late Bronze Age Glasses from Egypt and the Near East. *Archaeometry* 52, 380–388.
- Della Casa, Ph. (2004) Die Grüngestein-, Felsgestein- und Kalksteinindustrien. In: Primas/Della Casa/Jochum Zimmermann et al. 2004, 97–103.
- Della Casa, Ph. (2005) Lithic resources in the early prehistory of the Alps. *Archaeometry* 47/2, 221–234.
- De Marinis, R. (2006) Aspetti della metallurgia dell'età del Bronzo nella penisola italiana. *Rivista di Scienze Preistoriche* LVI, 211–272.
- Demesy, M./Huguenin, G./Raguin, E. et al. (1967) Nouvelles haches perforées de la Haute-Saône et des départements voisins. *Bulletin de la Société préhistorique française* 64, Études et travaux 2, 339–346.
- Dietemann, P./Baumer, U. (2013) Untersuchungsbericht vom 18. September 2008 zu Pechfunden aus dem schweizerischen Neolithikum. In: de Capitani 2013, 157–163.
- Diethelm, I. (1989) Aphanit – ein pseudowissenschaftlicher Begriff? Eine mineralogisch-petrographische Bilanz. *JbSGUF* 72, 201–214.
- Dietrich, V. (1967) Vulkanismus in den oberen penninischen Decken Graubündens. *Geologische Rundschau* 57, 246–264.
- Dietrich, V. (1969) Die Ophiolite des Oberhalbsteins (Graubünden) und das Ophiolithmaterial der ostschweizerischen Molasseablagerungen: Ein petrographischer Vergleich. Bern.
- Dietrich, V. (1980) The distribution of ophiolites in the Alps. *Ophioliti* 1, 7–51.
- Dietrich, V. J. (2006) Die Meta-Basalte der Iberger Klippen. *Eclogae Geologicae Helveticae* 99/1, 123–129.
- Dietrich, V./de Quervain, F. (1968) Die Nephrit-Talklagerstätte Scortaseo (Puschlav, Kanton Graubünden). Übersicht der weiteren Nephritfunde der Schweizer Alpen insbesondere der Vorkommen im Oberhalbstein (Graubünden). Beiträge zur Geologie der Schweiz, geotechnische Serie 46. Bern.
- Dillier, O. (2012) Experiment zur Verwendung von spätbronzezeitlichen Brandgruben für die Flachsverarbeitung. Anzeiger Arbeitsgemeinschaft für Experimentelle Archäologie Schweiz/Groupe de Travail pour l'Archéologie Experimentale Suisse 2012, 8–10.
- Dittli, B. (1992) Orts- und Flurnamen im Kanton Zug. Typologie, Chronologie, Siedlungsgeschichte. Beiträge zur Zuger Geschichte 10. Altdorf.
- Dittli, B. (2007a) Zuger Ortsnamen. Lexikon der Siedlungs-, Flur- und Gewässernamen im Kanton Zug. Lokalisierung, Deutung, Geschichten, Bd. 1: A–C. Zug.
- Dittli, B. (2007b) Zuger Ortsnamen. Lexikon der Siedlungs-, Flur- und Gewässernamen im Kanton Zug. Lokalisierung, Deutung, Geschichten, Bd. 2: D–Hi. Zug.
- Dittli, B. (2007c) Zuger Ortsnamen. Lexikon der Siedlungs-, Flur- und Gewässernamen im Kanton Zug. Lokalisierung, Deutung, Geschichten, Bd. 4: R–S. Zug.
- Dittli, B. (2007d) Zuger Ortsnamen. Lexikon der Siedlungs-, Flur- und Gewässernamen im Kanton Zug. Lokalisierung, Deutung, Geschichten, Bd. 5: T–Z. Zug.
- Dittmann, A. (1990) Das Kochen mit Steinen. Ein Beitrag zur Entwicklungsgeschichte der Nahrungszubereitung. *Marburger Studien zur Völkerkunde* 7. Berlin.
- Donati, P. (1972/73) Archäologischer Fundbericht, Bellinzona TI, Carasso. *JbSGUF* 57, 208–216.
- Doppler, Th./Schibler, J./Röder, B. et al. (2010) Archäobiologie als sozialgeschichtliche Informationsquelle. Ein bislang vernachlässigtes Forschungspotential. In: E. Classen/Th. Doppler/B. Ramminger (Hrsg.), Familie – Verwandtschaft – Sozialstrukturen: Sozialarchäologische Forschungen zu neolithischen Befunden. *Berichte der Arbeitsgemeinschaft Neolithikum* 1. Loogh, 119–139.
- Doswald, St. (2018) Kanton Zug III. Inventar der Fundmünzen der Schweiz 13. Bern.
- Dresely, V. (2004) Schnurkeramik und Schnurkeramik im Taubertal. *Forschungen und Berichte zur Vor- und Frühgeschichte in Baden-Württemberg* 81. Stuttgart.
- Eberli, U. (2002) Steinbeilklingen. In: Achour-Uster/Eberli/Ebersbach et al. 2002, 127–136.
- Eberli, U. (2004a) Die schnurkeramische Kultur im Kanton Zug. *Tugium* 20, 175–187.
- Eberli, U. (2004b) Charakterisierung des Rohmaterials. In: Primas/Della Casa/Jochum Zimmermann et al. 2004, 103 f.
- Eberli, U. (2010a) Urgeschichtliche Fischerei am Zugersee. *Tugium* 26, 83–89.
- Eberli, U. (2010b) Die horgenzzeitliche Siedlung Pfäffikon-Burg, Bd. 1: Text. *Monographien der Kantonsarchäologie Zürich* 40/1. Zürich/Egg.
- Eberli, U. (2010c) Die horgenzzeitliche Siedlung Pfäffikon-Burg, Bd. 2: Tabellen, Herdstellenkomplexe, Katalog, Tafeln. *Monographien der Kantonsarchäologie Zürich* 40/2. Zürich/Egg.
- Eberli, U. (2010d) Diverse Steinartefakte. In: Eberli 2010b, 145–152.
- Eberli, U./Altorfer, K. (2009) Feuersteindolche aus dem Museum für Urgeschichte(n) in Zug. *Tugium* 25, 141–154.
- Eberli, U./Michel-Tobler, Ch. (2010a) Steinbeilklingenproduktion. In: Eberli 2010b, 94–110.
- Eberli, U./Michel-Tobler, Ch. (2010b) Steinbeilklingen. In: Eberli 2010b, 111–129.
- Ebersbach, R. (2009) Gachnang-Niederwil TG, Egelsee: Neuinterpretation der Baubefunde. *JbAS* 92, 97–116.
- Ebersbach, R. (2010) Vom Entstehen und Vergehen. Überlegungen zur Dynamik von Feuchtbodenhäusern und -siedlungen. In: Matuschik/Strahm/Eberschweiler et al. (Hrsg.) 2010, 41–50.
- Ebersbach, R. (2019) Schichten und Profile. In: Baum/Bleicher/Ebersbach et al. 2019, 39–61.
- Ebersbach, R./Baum, T. (2019) Einleitung. In: Baum/Bleicher/Ebersbach et al. 2019, 17–39.
- Ebersbach, R./Ruckstuhl, B. (2015a) Schichten und Profile. In: Ebersbach/Ruckstuhl/Bleicher 2015a, 30–57.
- Ebersbach, R./Ruckstuhl, B. (2015b) Befunde. In: Ebersbach/Ruckstuhl/Bleicher 2015a, 58–121.
- Ebersbach, R./Bleicher, N./Bolliger, M. (2016) Siedeln ohne Bauvorschriften. Vielfalt vor 4500 Jahren. In: Archäologisches Landesmuseum Baden-Württemberg/Landesamt für Denkmalpflege Baden-Württemberg (Hrsg.) 2016, 128–131.
- Ebersbach, R./Ruckstuhl, B./Bleicher, N. (2015a) Zürich «Mozartstrasse». Neolithische und bronzezeitliche Ufersiedlungen, Bd. 5: Die neolithischen Befunde und die Dendroarchäologie. *Monographien der Kantonsarchäologie Zürich* 47. Zürich/Egg.
- Ebersbach, R./Ruckstuhl, B./Bleicher, N. (2015b) Grabung, Dokumentation und Auswertungen. In: Ebersbach/Ruckstuhl/Bleicher 2015a, 12–29.
- Ebersbach, R./Ruckstuhl, B./Bleicher, N. (2015c) Synthese: Neolithische Siedlungsorganisation am Platz Zürich-Mozartstrasse. In: Ebersbach/Ruckstuhl/Bleicher 2015a, 166–203.
- Eberschweiler, B. (1999) Die jüngsten endneolithischen Ufersiedlungen am Zürichsee. *JbSGUF* 82, 39–54.
- Eberschweiler, B. (2004a) Bronzezeitliches Schwemmgut vom «Chollerpark» in Steinhausen (Kanton Zug). *Bemerkenswerte Holzfunde vom nördlichen Zugersee sowie weitere bronzezeitliche Hölzer von Fundplätzen an Gewässern der Zentral- und Ostschweiz. Antiqua* 37. Basel.
- Eberschweiler, B. (2004b) Ur- und frühgeschichtliche Verkehrswege über den Zürichsee. Erste Ergebnisse aus den taucharchäologischen Untersuchungen beim Seedamm. *Mitteilungen des Historischen Vereins des Kantons Schwyz* 96, 11–32.
- Eberschweiler, B./Königer, J./Schlichtherle, H. et al. (Hrsg., 2001) Aktuelles zur Frühbronzezeit und frühen Mittelbronzezeit im nördlichen Alpenvorland. *Rundgespräch Hemmenhofen* 6. Mai 2000. Hemmenhofener Skripte 2. Freiburg im Breisgau.
- Egg, M./Spindler, K. (2009) Kleidung und Ausrüstung der kupferzeitlichen Gletschermumie aus den Ötztaler Alpen. *Monographie des Römisch-Germanischen Zentralmuseums* 77. Mainz.
- Eggers, T. O. (2001) Süswasserschwämme – Tiere auf den zweiten Blick. *Naturschutz Nachrichten* 20:1/21:1/22:2, 14–17.
- Eggmann, M. (2008) Geochemical aspects of municipal solid waste incineration bottom ash and implications for disposal. Unpubl. Dissertation der Universität Bern. Bern.
- Eissing, T./Furrer, B./King, S. et al. (2012) Vorindustrieller Holzbau in Südwestdeutschland und deutschsprachigen Schweiz. *Terminologie und Systematik. Südwestdeutsche Beiträge zur historischen Bau-forschung. Sonderband. Esslingen.*
- Elbiali, N. (1989a) Zug-Schützenmatt, Station littorale du Horgen ancien. *JbSGUF* 72, 7–42.
- Elbiali, N. (1989b) Zug, Schützenmatt – Eine Seefüfersiedlung der älteren Horgener Kultur. *Tugium* 5, 97–142.
- Elsener, F. (1974) Die Fischfache im Zürichsee zwischen Rapperswil und Hurden, zugleich ein Beitrag zur Rechts- und Sozialgeschichte der Leihe im Spätmittelalter und in der beginnenden Neuzeit. In: H. Grees (Hrsg.), *Die Europäische Kulturlandschaft im Wandel. Festschrift für Karl Heinz Schröder*. Kiel, 69–82.
- Faivre, D. (Ed., 2016) *Iron oxides: from nature to applications*. Weinheim.
- Fasnacht, W. (2016) Felsgesteinsartefakte. In: Harb/Bleicher (Hrsg.) 2016, 88–108.
- Feldmann, M. (2016) Ausflug in die Glarner Geologie. 300 Millionen Jahre faszinierende Erdgeschichte. Glarus.
- Fettes, D./Desmons, J. (Eds., 2011) *Metamorphic rocks. A classification and glossary of terms. Recommendations of the International Union of Geological Sciences Subcommission on the Systematics of Metamorphic Rocks*. Cambridge/New York.
- Fischer, C. (1997) Innovation und Tradition in der Mittel- und Spätbronzezeit. Gräber und Siedlungen in Neftenbach, Fällanden, Dietikon, Pfäffikon und Erlenbach. *Monographien der Kantonsarchäologie Zürich* 28. Zürich/Egg.
- Fischer, F. (1971) Die frühbronzezeitliche Ansiedlung in der Bleiche bei Arbon TG. *Schriften zur Ur- und Frühgeschichte der Schweiz* 17. Basel.
- Fischer, J. (2006) Funde und Befunde aus den Grabungen und Sondagen 1983–1988. Ufersiedlungen der Horgener Kultur im Strandbad von Allensbach, Kreis Konstanz. *Hemmenhofener Skripte* 6. Freiburg im Breisgau.
- Floss, H. (Hrsg., 2012) *Steinartefakte vom Altpaläolithikum bis in die Neuzeit*. Tübingen.
- Föllmi, K. B./Ouwehand, P. J. (1987) Garschella-Formation und Götzis-Schichten (Aptian-Coniacian): neue stratigraphische Daten aus dem Helvetikum der Ostschweiz und des Vorarlberges. *Eclogae Geologicae Helveticae* 80/1, 141–191.
- Frei Paroz, L./Joye, C./Robert, M. (2014) Les vestiges néolithiques d'Alle-Sur Noir Bois (Jura). *Silex, pierre polie et céramique. Fouille 1994 de N. Pousaz. Avec la collaboration de Jehanne Affolter*. *JbAS* 2014, 7–50.
- Frey, P. (1993) *Kantonsarchäologie Zug, «Alpenblick»/Gemeinde Cham: Archäologische Sondierungen 1993, Koordinatenliste der Gefrierkern-Sondierungen*. Unpubl. Bericht im Archiv Archäologie, ADA ZG, Ereignis 448.
- Freytet, P./Verrecchia, E. P. (2002) Lacustrine and palustrine carbonate petrography: an overview. *Journal of Paleolimnology* 27, 221–237.
- Furestier, R. (2007) Les industries lithiques campaniformes du sud-est de la France. *BAR International Series* 1684. Oxford.
- Furestier, R. (2010) La percussion directe dure au campaniforme. Modalités d'application et difficultés d'interprétation. *PALEO, Numéro spécial*, 2009–2010, 189–200.
- Furger, A. R. (1980) Die Siedlungsreste der Horgener Kultur. Die neolithischen Ufersiedlungen von Twann, Bd. 7. Bern.
- Furger, A. R. (1981) Die Kleinfunde aus den Horgener Schichten. Die neolithischen Ufersiedlungen von Twann, Bd. 13. *Schriftenreihe der Erziehungsdirektion des Kantons Bern*. Bern.
- Furger, A./Müller, F. (1991) *Gold der Helvetier. Keltische Kostbarkeiten aus der Schweiz. Ausstellungskatalog*. Zürich.
- Gallay, A./Chaix, L. (1984) Le site préhistorique du Petit Chasseur (Sion, Valais), vol. 5: Le dolmen MXI. *Texte et planches*. *CAR* 31. Lausanne.
- Gallay, A./Burri-Wyser, E./Menna, F. et al. (2018) *Tolochenaz (VD) – La Caroline. Du Mésolithique à l'époque romaine en passant par la nécropole du Boiron*. *CAR* 168. Lausanne.

- Ganzelewski, M. (1997a) Aussehen und «Eigenschaften» von Bernstein. In: Ganzelewski/Slotta (Hrsg.) 1997, 19–26.
- Ganzelewski, M. (1997b) Entstehung und Lagerstätten des Baltischen Bernsteins. In: Ganzelewski/Slotta (Hrsg.) 1997, 11–18.
- Ganzelewski, M./Slotta, R. (Hrsg., 1997) *Bernstein – Tränen der Götter*. Ausstellungskatalog Bochum. Veröffentlichungen aus dem Deutschen Bergbau-Museum 64. Essen/Bochum.
- du Gardin, C. (2002) L'ambre et sa circulation dans l'Europe protohistorique. In: J. Guilaine (éd.), *Matériaux, productions, circulations du Néolithique à l'Âge du Bronze*. Paris, 213–235.
- Gebhard, R./Krause, R. (2016) Bernstorf. Archäologisch-naturwissenschaftliche Analysen der Gold- und Bernsteinfunde vom Bernstorf Berg bei Kranzberg, Oberbayern. *Bernstorf-Forschungen 1*. Abhandlungen und Bestandskataloge der Archäologischen Staatssammlung 3 (= Frankfurter Archäologische Schriften 31). München.
- Gebhard, R./Rieder, K. H. (2002) Zwei bronzezeitliche Bernsteinobjekte mit Bild- und Schriftzeichen aus Bernstorf (Lkr. Freising). *Germania* 80, 115–133.
- Gehlen, B. (2012) Die Silexgeräte der Linienbandkeramik, des frühen Mittelneolithikums und der Rössener Kultur. In: Floss (Hrsg.) 2012, 717–764.
- Gerber, Ch./Tremblay, L./Frey-Kupper, S. et al. (2015) Court, Pâturage de l'Envers. Une verrerie forestière jurassienne du début du 18^e siècle, vol. 4: Le mobilier en verre, métal, pierre et autres matériaux. Bern.
- Gerber, Y./Haenicke, Ch./Hardmeyer, B. (1994) Jungsteinzeitliche Ufersiedlungen im Zürcher Seefeld. Ausgrabungen Kanalisationssanierung 1986–1988, Bd. 1: Die Keramik. *Zürcher Denkmalpflege, Archäologische Monographien 22*. Zürich/Egg.
- Gerloff, S. (2010) Von Troja an die Saale, von Wessex nach Mykene – Chronologie, Fernverbindungen und Zinnrouten der Frühbronzezeit Mittel- und Westeuropas. In: H. Meller/F. Bertemes (Hrsg.), *Der Griff nach den Sternen*. Internationales Symposium in Halle (Saale) 16.–21. Februar 2005. Tagungen des Landesmuseums für Vorgeschichte Halle 5. Halle (Saale), 603–639.
- Gil, G./Barnes, J. D./Boschi, Ch. et al. (2015) Origin of serpentinite-related nephrites from Gogolów-Jordanów Massif, Poland. *Geological Quarterly* 59/3, 457–472.
- Girod, F. (2005) Annexe 6. Résultats des analyses d'une perle de la structure ST4 de Vufflens-la-Ville et d'une perle de la tombe 3 du Petit-Chasseur par spectroscopie infrarouge. In: Mariéthoz 2005, 154.
- Giustetto, R./Compagnoni, R. (2014) Petrographic classification of unusual high-pressure metamorphic rocks. *European Journal of Mineralogy* 26/5, 635–642.
- Gnepf Horisberger, U./Hämmerle, S. (2001) Cham-Oberwil, Hof (Kanton Zug). Befunde und Funde aus der Glockenbecherkultur und der Bronzezeit. *Antiqua* 33. Basel.
- Goldberg, P./Macphail, R. I. (2006) *Practical and Theoretical Geoarchaeology*. Oxford.
- Golec, M./Bartík, J./Chrząstek, T. (2021) Der Hort von Bánov in Mähren. *Archäologie in Deutschland* 2021/4, 42 f.
- Golloch, A./Lühr, Ch. (2000) Bernsteinanalytik. In: H. Günzler/A. Müfit Bahadır/K. Danzer et al. (Hrsg.), *Analytiker-Taschenbuch 21*. Berlin/Heidelberg, 179–212.
- Gottardi, C. (2021) Messungen Gottardi 2021_Bachgraben (7–9) und Äbnetwald (10–13).xlsx. Unpubl. Bericht im Archiv Archäologie, ADA ZG, Ereignis 448.
- Graf, M. (1986) Das Fundmaterial der schnurkeramischen Schicht der neolithischen Seeufersiedlung Zürich-Mythenschloss. Unpubl. Lizentiatsarbeit Universität Zürich. Zürich.
- Graf, M. (1987) Zwei datierte Fundkomplexe der schnurkeramischen Kultur aus der Seeufersiedlung Zürich-Mythenschloss. *Zeitschrift für schweizerische Archäologie und Kunstgeschichte* 44, 153–160.
- Gratuze, B. (2013) Provenance Analysis of Glass Artefacts. In: K. Janssens (Ed.), *Modern Methods for Analysing Archaeological and Historical Glass I*. Chichester, 311–343.
- Gratuze, B./Billaud, Y. (2014) Inventaire des perles en verre et en faïence de l'Âge du Bronze originaires des ateliers de la région de Frattesina retrouvées en France. In: S. Ciappi/A. Larese/M. Uboldi (edd.), *Il vetro in età protostorica in Italia*. Atti delle XVI Giornate Nazionali di Studio sul Vetro, Adria (RO), 12–13 maggio 2012. Cremona, 25–37.
- Gratuze, B./Blet-Lemarquand, M./Barrandon, J. N. (2001) Mass spectrometry with laser sampling: A new tool to characterize archaeological materials. *Journal of Radioanalytical and Nuclear Chemistry* 247/3, 645–656.
- Gratuze, B./Louboutin, C./Billaud, Y. (1998) Les perles protohistoriques en verre du Musée des Antiquités nationales. *Antiquités Nationales* 30, 11–24.
- Gratuze, B./Koenig, M.-P./Plouin, S. et al. (2013) Les perles en faïence et en verre de l'âge du Bronze: contextes archéologiques et analyses pour l'Alsace et la Lorraine. *Cahiers Alsaciennes d'Archéologie, d'Art et d'Histoire* 56, 21–45.
- Grisse, A. (2006) Früh- und mittelkupferzeitliche Streitaxte im westlichen Mitteleuropa. Saarbrücker Beiträge zur Altertumskunde 82. Saarbrücken/Bonn.
- Grömer, K./Kern, D. (2010) Technical data and experiments on corded ware. *Journal of Archaeological Science* 37, 3136–3145.
- Gross, E. (1980) Grabungsbericht Hünenberg-Chämleten, Strandbad 1980. Unpubl. Bericht im Archiv Archäologie, ADA ZG, Ereignis 88.
- Gross, E. (1991) Die Sammlung Hans Iseli in Lüscherz. Ufersiedlungen am Bielersee 3. Schriftenreihe der Erziehungsdirektion des Kantons Bern. Bern.
- Gross-Klee, E. (1999) Glockenbecher: ihre Chronologie und ihr zeitliches Verhältnis zur Schnurkeramik aufgrund von ¹⁴C-Daten. *JbSGUF* 82, 55–64.
- Gross-Klee, E./Hochuli, St. (2002) Die jungsteinzeitliche Doppelaxt von Cham-Eslen. Gesamtbericht über einen einzigartigen Fund aus dem Zugersee. *Tugium* 18, 69–101.
- Gross, E./Huber, R. (2018) Thinking outside the Box: Life beyond 'House – Farmstead – Village' in Neolithic Wetland Sites. *Archäologische Informationen* 41, 255–274. <https://doi.org/10.11588/ai.2018.0.56946>.
- Gross, E./Ritzmann, Ch. (1990) Die neolithischen und bronzezeitlichen Siedlungen im Zürcher Seefeld. In: Höneisen (Hrsg.) 1990, 161–176.
- Gross, E./Schaeren, G./Villa, I. (2017) Die jungsteinzeitliche Kupferbeilklinge von Zug-Riedmatt. Ein Schlüsselfund zur Chronologie und Metallurgie in der zweiten Hälfte des 4. Jahrtausends v. Chr. *Tugium* 33, 79–89.
- Gross, E./Bleuer, E./Hardmeyer, B. et al. (1992) Zürich «Mozartstrasse». Neolithische und bronzezeitliche Ufersiedlungen, Bd. 2: Tafeln. *Berichte der Zürcher Denkmalpflege, Monographien 17*. Zürich.
- Gross, E./Brombacher, Ch./Dick, M. et al. (1987) Zürich «Mozartstrasse». Neolithische und bronzezeitliche Ufersiedlungen, Bd. 1. *Berichte der Zürcher Denkmalpflege, Monographien 4*. Zürich.
- Gross, E./Huber, R./Schaeren, G. F. et al. (2013) Wohnen mit Seesicht – damals wie heute bevorzugt. *as*. 36/2, 29–37.
- Gross, E./van Willigen, S./Villa, I. M. et al. (2021) Diversity of resources and volatility of metallurgical networks – multi-methodological provenance analysis of neolithic and EBA-copper-artefacts from Switzerland and eastern France. *Journal of Archaeological and Anthropological Sciences* 13/180, 1–34. <https://doi.org/10.1007/s12520-021-01423-z>.
- Gruber, E. (1958) Das Mittelalter. In: O. Wolf (Hrsg.), *Geschichte von Cham*. Festgabe zur 1100-Jahr-Feier der Gemeinde Cham. Cham, 91–184.
- Guhl, R. (2016) Cham-Bachgraben_Oktober_2016_Übersicht.pdf. Unpubl. Bericht im Archiv Archäologie, ADA ZG, Ereignis 448.
- Häberle, S./Hüster Plogmann, H. (2019) Fish exploitation in medieval and early modern Switzerland: evidence from the ichthyoarchaeological record and historical sources. *International Journal of Osteoarchaeology* 29, 420–431. <https://doi.org/10.1002/oa.2794>.
- Haenicke, Ch. (1994) Die Schnurkeramik. In: Gerber/Haenicke/Hardmeyer 1994, 107–157.
- Hafner, A. (1995) Die frühe Bronzezeit in der Westschweiz. Funde und Befunde aus Siedlungen, Gräbern und Horten der entwickelten Frühbronzezeit. Ufersiedlungen am Bielersee 5. Bern.
- Hafner, A. (2010) Ufersiedlungen mit Palisaden am Bielersee. Hinweise auf Verteidigungssysteme in neolithischen und bronzezeitlichen Pfahlbauten. In: Matuschik/Strahm/Eberschweiler et al. (Hrsg.) 2010, 357–376.
- Hafner, A./Suter, P. J. (2000) –3400. Die Entwicklung der Bauerngesellschaften im 4. Jahrtausend v. Chr. am Bielersee aufgrund der Rettungsgrabungen von Nidau und Sutz-Lattrigen. Ufersiedlungen am Bielersee 6. Schriftenreihe der Erziehungsdirektion des Kantons Bern. Bern.
- Hafner, A./Suter, P. J. (2003) Das Neolithikum der Schweiz. https://www.jungsteinsite.uni-kiel.de/pdf/2003_hafnersuter_text.pdf (aufgerufen 26.9.2022).
- Hafner, A./Stapfer, R./Francuz, J. (2016) Die Bucht von Sutz-Lattrigen. Vom Neolithikum bis in die Bronzezeit. In: Archäologisches Landesmuseum Baden-Württemberg/Landesamt für Denkmalpflege Baden-Württemberg (Hrsg.) 2016, 116–118.
- Hafner, S. (1996a) Befund. In: *Kantonsarchäologie Zug* (Hrsg.) 1996, 37–62.
- Hafner, S. (1996b) Keramik. In: *Kantonsarchäologie Zug* (Hrsg.) 1996, 111–113.
- Hafner, S. (1996c) Steinbeilklingen. In: *Kantonsarchäologie Zug* (Hrsg.) 1996, 89–98.
- Hafner, S. (1996d) Produktionsreste der Beilklingenherstellung – Werkstücke und Splitter mit Sägeschnitt und/oder Pickung. In: *Kantonsarchäologie Zug* (Hrsg.) 1996, 98–109.
- Hafner, S. (1996e) Sägeplättchen. In: *Kantonsarchäologie Zug* (Hrsg.) 1996, 110 f.
- Hafner, S. (1996f) Silex. In: *Kantonsarchäologie Zug* (Hrsg.) 1996, 114–116.
- Hafner, S./Hochuli, St. (1996) Die Stellung von Hünenberg-Chämleten innerhalb der Horgener Kultur der Schweiz. In: *Kantonsarchäologie Zug* (Hrsg.) 1996, 121–140.
- Hafner, S./Gross-Klee, E./Sormaz, T. (1996) Naturwissenschaftliche Untersuchungen des Holzmaterials. In: *Kantonsarchäologie Zug* (Hrsg.) 1996, 63–88.
- Hägele, D. (2006) Morphogenese, Wachstum und Ökologie der modernen Süßwasser-Onkoide der Alz. Unpubl. Dissertation an der Ludwig-Maximilians-Universität München. München.
- Hahn, J. (1991) Erkennen und Bestimmen von Stein- und Knochenartefakten. Einführung in die Artefaktmorphologie. *Archaeologica Venatoria* 10. Tübingen.
- Hahn, J. (1997) Die Beile von Ehrenstein. In: J. Lüning/U. Sommer/K. A. Achilles et al., *Das jungsteinzeitliche Dorf Ehrenstein (Gemeinde Blaustein, Alb-Donau-Kreis)*. Ausgrabung 1960, Teil III: Die Funde. *Forschungen und Berichte zur Vor- und Frühgeschichte in Baden-Württemberg* 58. Stuttgart, 285–306.
- Hajdas, I. (2016a) Results of AMS 14C analysis of sample material submitted to AMS laboratory, ETH Zurich. Unpubl. Bericht Nr. 4512, 9. Mai 2016 im Archiv Archäologie, ADA ZG, Ereignis 448.
- Hajdas, I. (2016b) Results of AMS 14C analysis of sample material submitted to AMS laboratory, ETH Zurich. Unpubl. Bericht Nr. 4728, 31. Oktober 2016 im Archiv Archäologie, ADA ZG, Ereignis 448.
- Hajdas, I. (2018) Results of AMS 14C analysis of sample material submitted to AMS laboratory, ETH Zurich. Unpubl. Bericht Nr. 5344, 23. Januar 2018 im Archiv Archäologie, ADA ZG, Ereignisse 1905 und 1952.
- Hall, E. T. (1960) X-ray fluorescent analysis applied to archaeology. *Archaeometry* 3/1, 29–35.
- Hansson, S. V./Rydberg, J./Kylander, M. (2013) Evaluating paleoproxies for peat decomposition and their relationship to peat geochemistry. *The Holocene* 23, 1666–1671.
- Hantke, R. (1978) *Eiszeitalter, Bd. 1: Die jüngste Erdgeschichte der Schweiz und ihrer Nachbargebiete. Klima, Flora, Fauna, Mensch. Alt- und Mittelpleistozän. Vogesen, Schwarzwald, Schwäbische Alb*. Thun.
- Hantke, R. (2006a) Blatt 1151 Rigi. *Geologischer Atlas der Schweiz 1:25 000, Karte 116*. Bundesamt für Landestopographie. Wabern.
- Hantke, R. (2006b) Blatt 1151 Rigi. *Geologischer Atlas der Schweiz 1:25 000, Erläuterungen 116*. Bundesamt für Landestopographie, Wabern.
- Harb, Ch. (2016a) Einleitung. In: Harb/Bleicher (Hrsg.) 2016, 12–15.
- Harb, Ch. (2016b) Holme. In: Harb/Bleicher (Hrsg.) 2016, 142–147.
- Harb, Ch. (2016c) Textilerkeramik. In: Harb/Bleicher (Hrsg.) 2016, 197–204.
- Harb, Ch./Bleicher, N. (Hrsg., 2016) *Zürich-Parkhaus Opéra. Eine neolithische Feuchtbodenfundstelle, Bd. 2: Funde*. *Monographien der Kantonsarchäologie Zürich* 49/2. Zürich/Egg.
- Harding, A. (1971) The Earliest Glass in Europe. *Archeologické rozhledy* 23, 188–200.
- Harding, A./Warren, St. E. (1973) Early Bronze Age faience beads from Central Europe. *Antiquity* 47, 64–66.
- Hardmeyer, B. (1993a) Die Horgener Keramik. In: Bleuer/Hardmeyer 1993, 263–289.
- Hardmeyer, B. (1993b) Die Schnurkeramik. In: Bleuer/Hardmeyer 1993, 292–340.
- Hardmeyer, B./Maggetti, M./Weiss, J. (1995) Keramik. In: SPM II, 174–183.
- Harlow, G. E./Sorensen, S. S. (2005) Jade (Nephrite and Jadeitite) and Serpentine: Metasomatic Connections. *International Geology Review* 47/2, 113–146.
- Harlow, G. E./Tatsuki, T./Sorensen, S. S. (2015) Jadeitites and Plate Tectonics. *Annual Review of Earth and Planetary Sciences* 43/1, 105–138.
- Hartmann, G. (1994) Late-medieval Glass Manufacture in the Eichsfeld Region (Thuringia, Germany). *Chemie der Erde* 54, 103–128.
- Hasenfraz, A./Raemaekers, D. C. M. (2006) Niederwil, eine Siedlung der Pfyn-Kultur, Bd. 5: Anorganische Funde, Palynologie und Synthese. *Archäologie im Thurgau* 13. Frauenfeld.
- Hauptmann, A./Klein, S. (1999) Über die Bildung von Glasuren in alten Kupferschmelzöfen. In: Busz/Gercke (Hrsg.) 1999, 114–121.

- Heegee, A. (2010a) Keramik um 1800. Das historisch datierte Küchen- und Tischgeschirr von Bern, Brunneggshalde. Bern.
- Heegee, A. (2010b) Die Burg Hohenklingen ob Stein am Rhein II: Adelsburg, Hochwacht, Kuranstalt – Forschungen zur materiellen Kultur. Schaffhauser Archäologie 9. Schaffhausen.
- Heegee, A. (2016) Die Ausgrabung auf dem Kirchhügel von Bendorf, Gemeinde Gamprin, Fürstentum Liechtenstein, Bd. 2: Die Geschirrkemik vom 12. bis 20. Jahrhundert. Vaduz.
- Heinen, M. (2012) Mikrolithen. In: Floss (Hrsg.) 2012, 599–620.
- Henderson, J. (1985) The raw materials of early glass production. *Oxford Journal of Archaeology* 4/3, 267–291.
- Henderson, J. (1993) Chemical analysis of the glass and faience from Hauterive-Champréveyres, Switzerland. In: Rychner-Faraggi 1993, 111–117.
- Henderson, J. (2013) Ancient glass. An interdisciplinary exploration. Cambridge.
- Henderson, J./Evans, J./Bellintani, P. et al. (2015) Production, mixing and provenance of Late Bronze Age mixed alkali glasses from northern Italy: an isotopic approach. *Journal of Archaeological Science* 55, 1–8.
- Hep Harb, A./Löttscher, Ch. (2005) Neolithische Ufersiedlungen von Cham-Sankt Andreas (Kanton Zug). *Antiqua* 39. Basel.
- Herb, Ch./Willburger, N. (2016) Glas. Von den Anfängen bis ins Frühe Mittelalter. Archäologie in Deutschland, Sonderheft 9. Darmstadt.
- Heumüller, M. (2009) Der Schmuck der jungneolithischen Seeufersiedlung Hornstaad-Hörnle IA im Rahmen des mitteleuropäischen Mittel- und jungneolithikums. Siedlungsarchäologie im Alpenvorland X. Forschungen und Berichte zur Ur- und Frühgeschichte in Baden-Württemberg 112. Stuttgart.
- Hirsch, K. (1987) Bernsteinverarbeitung in der Jungsteinzeit. Archäologische Informationen 10/2, 185–193.
- Hochuli, St. (1994) Arbon-Bleiche. Die neolithischen und bronzezeitlichen Seeufersiedlungen. Ausgrabungen 1885–1991. Archäologie im Thurgau 2. Frauenfeld.
- Hochuli, St. (1995) Die frühe und mittlere Bronzezeit im Kanton Zug. *Tugium* 11, 74–96.
- Hochuli, St. (1998) Bernstein. In: SPM III, 293 f.
- Hochuli, St. (2001) Archäologische Belege der älteren Frühbronzezeit aus der Zentral- und Ostschweiz. In: Eberschweiler/Königer/Schlichtherle et al. (Hrsg.) 2001, 137–146.
- Hochuli, St. (2009) «Ächt keltische Töpferwaare und Celtensteine». 150 Jahre Pfahlbauforschung im Kanton Zug. *Tugium* 25, 77–109.
- Hochuli, St. (2015/16) Geheimnisvoller Baarer Hausberg. 100 Jahre archäologische Forschung auf der Baarburg. 35. Baarer Heimatbuch, 120–126.
- Hochuli, St. (2019) Geheimnisvolle Baarburg. In: A. Faessler (Red.), *Ausflug in die Vergangenheit – Archäologische Streifzüge durch den Kanton Zug*. Basel, 142–149.
- Hochuli, St./Maise, Ch. (1998) Geräte und Schmuck aus Stein. In: SPM III, 269–273.
- Hochuli, St./Schaeren, G. F. (2022) Das spätbronzezeitliche Goldblechband von Cham-Oberwil ZG «Äbnetwald». Mit einem Beitrag von Markus Binggeli: Zur Technologie des Goldblechbandes. *JbAS* 105, 209–218.
- Hochuli, St./Königer, J./Ruoff, U. (1994) Der absolutchronologische Rahmen der Frühbronzezeit in der Ostschweiz und in Südwestdeutschland. *Archäologisches Korrespondenzblatt* 24, 269–282.
- Hoffmann, R. (2000) Medieval Fishing. In: P. Squarriti (Ed.), *Working with Water in Medieval Europe. Technology and Resource-Use. Technology and Change in History* 3. Leiden/Boston/Köln, 331–393.
- Hoffmann, R. C. (2005) A brief history of aquatic resource use in medieval Europe. *Helgoland Marine Research* 59/1, 22–30. <https://doi.org/10.1007/s10152-004-0203-5>.
- Hoffstadt, J. (2005) Die Untersuchung der Silexartefakte aus der Ufersiedlung Hornstaad-Hörnle IA. Siedlungsarchäologie im Alpenvorland VII. Forschungen und Berichte zur Vor- und Frühgeschichte in Baden-Württemberg 90. Stuttgart.
- Hofmann, D./Ebersbach, R./Doppler, Th. et al. (2016) The life and times of the house: multi-scalar perspectives on settlement from the Neolithic of the Alpine foreland. *European Journal of Archaeology* 19, 596–630.
- Honegger, M. (2001) L'industrie lithique taillée du Néolithique moyen et final de Suisse. *CRA Monographies* 24. Paris.
- Honegger, M. (2006) Grandes lames et poignards dans le Néolithique final du nord des Alpes. In: Vaquer/Briois (éds.) 2006, 43–56.
- Honegger, M. (2007) Die geschlagenen Steinartefakte. In: Röder/Huber 2007, 204–219.
- Höneisen, M. (Hrsg., 1990) Die ersten Bauern. Pfahlbaufunde Europas. Forschungsberichte zur Ausstellung im schweizerischen Landesmuseum und zum Erlebnispark/Ausstellung Pfahlbauland in Zürich 28. April bis 30. September 1990, Bd. 1: Schweiz. Zürich.
- Höpken, C. (2003) Herstellung quarkeramischer Melonenperlen im römischen Flottenlager Köln Alteburg: Terminologie – Technologie – Befund. In: B. Liesen/U. Brandl (Hrsg.), *Römische Keramik, Herstellung und Handel. Kolloquium Xanten, 15.–17. Juni 2000. Xantener Berichte* 13. Mainz, 353–363.
- Hoppe, P. (2013) Die St. Galler Sensenhammerschmiede von 1635/36 in Cham und die zweite Absenkung des Zugersees. Ein bisher unbekanntes Stück Zuger Wirtschafts- und Wasserbaugeschichte mit konfessionellen Zwischentönen. *Tugium* 29, 71–90.
- Huber, A. (2018a) Eine jungsteinzeitliche Korbreuse von Maur ZH-Schiffplände. *Archäologie im Kanton Zug* 03, 7–26.
- Huber, R. (2007) Die Befunde der Rettungsgrabungen 1988–91. In: Röder/Huber 2007, 143–180.
- Huber, R. (2018b) Eine kurze «Fischerei-Zeitreise» durch den (Vor-)Alpenraum. *Österreichs Fischerei* 71/2–3, 59–72.
- Huber, R./Harb, Ch. (Hrsg., 2022) *Fischerhütten des frühen Jungneolithikums in Cham-Eslen (Kanton Zug)*. Antiqua 56. Basel.
- Huber, R./Ismail-Meyer, K. (2007) Taucharchäologie und Mikromorphologie. Neue Möglichkeiten für die Grabungstechnik in Cham ZG-Eslen. *JbAS* 90, 127–134.
- Huber, R./Ismail-Meyer, K. (2012) Cham-Eslen (Kanton Zug, Schweiz): ein jungneolithisches Haus mit (fast) allem Drum und Dran? Taphonomische Aspekte einer Seeufersiedlung. In: T. Link/D. Schimmelpfenning (Hrsg.), *Taphonomische Forschungen (nicht nur) zum Neolithikum. Fokus Jungsteinzeit. Berichte der Arbeitsgemeinschaft Neolithikum* 3. Kerpen-Loogh, 83–106.
- Huber, R./Reinhard, J. (2016) Das letzte Zuger Mammut? Eine Baugrube als Fenster in die späte Eiszeit. *Tugium* 32, 103–110.
- Huber, R./Schaeren, G. (2009) Zum Stand der Pfahlbauforschung im Kanton Zug. *Tugium* 25, 111–140.
- Huber, R./Gross, E./Jecker, D. et al. (2020) Delta(ge)schichten: Das Delta der Lorze als Siedlungs- und Lebensraum vom Spätglazial bis heute. *Tugium* 36, 101–128.
- Hubert, V./Wörle, M. (2012) BE_12_10062.doc. Sammlungszentrum Schweizerisches Nationalmuseum. Unpubl. Bericht im Archiv Archäologie, ADA ZG, Ereignis 448.
- Hubert, V./Wörle, M. (2015) 15.10357_Kupferobjekte Cham.pdf. Sammlungszentrum Schweizerisches Nationalmuseum. Unpubl. Bericht im Archiv Archäologie, ADA ZG, Ereignis 448.
- Hubert, V./Wörle, M. (2016) 16.10005_Kupferdolche_Ergänzung.pdf. Sammlungszentrum Schweizerisches Nationalmuseum. Unpubl. Bericht im Archiv Archäologie, ADA ZG, Ereignis 448.
- Hügi, Th. (1945) Beobachtungen an Steinwerkzeugen. *Eclogae Geologicae Helveticae* 38, 417–421.
- Hügi, Th. (1947) Petrographische Untersuchungen an Steinwerkzeugen des Pfahlbaues Burgäschisee Ost. In: St. Pinösch, *Der Pfahlbau Burgäschisee Ost. Jahrbuch für Solothurnische Geschichte* 20, 108–115.
- Hügi, Th. (1948) Chemische Untersuchungen an Steinwerkzeugen. Schweizerische mineralogische und petrographische Mitteilungen 28/1, 157–164.
- Hügi, U. (2000) Seeufersiedlungen. Meilen-Rorenhaab. *Zürcher Archäologie* 1. Zürich/Egg.
- Hügi, U. (2006) Stansstad NW Kehrsiten. Neolithische Seeufersiedlungen am Alpennordrand. *JbAS* 89, 7–23.
- Hügi, U./Michel-Tobler, Ch. (2004) Oberrieden ZH-Riet – eine frühhorizontale Siedlung. *JbSGUF* 87, 7–31.
- Hüster Plogmann, H. (2006) ... der Mensch lebt nicht vom Brot allein. In: H. Hüster Plogmann (Hrsg.), *Fisch und Fischer aus zwei Jahrtausenden. Eine fischereiwirtschaftliche Zeitreise durch die Nordwestschweiz. Forschungen in Augst* 39. Augst, 189–198.
- Imhof, W. (2012) Bär, Wolf und Luchs im Muotatal. Muotatal.
- Ismail-Meyer, K. (2010a) Cham-Alpenblick. Unpubl. Aktennotiz zu den Dünnschliffen CHAL 2.3 und 3.1 (Proben FK 272 und 273). Unpubl. Bericht Universität Basel im Archiv Archäologie, ADA ZG, Ereignis 448.
- Ismail-Meyer, K. (2010b) Mikromorphologische Analyse zweier Profilkolonnen aus den Tauchsondagen von 1999 und 2007. In: Altorfer 2010, 86–96.
- Ismail-Meyer, K. (2017) Plant remains. In: Nicosia/Stoops (Eds.) 2017, 121–135.
- Ismail-Meyer, K. (2018) Pfäffikon-Usterstrasse 39, 2016.052: Bericht über die mikromorphologische Untersuchung der Proben FK 134.1 bis 3. Unpubl. Vorbericht Universität Basel. Basel.
- Ismail-Meyer, K. (2022) Mikromorphologie. In: Huber/Harb (Hrsg.) 2022, 80–124.
- Ismail-Meyer, K./Rentzel, Ph. (2004) Mikromorphologische Untersuchung der Schichtabfolge. In: St. Jacomet/U. Leuzinger/J. Schibler (Hrsg.), *Die jungsteinzeitliche Seeufersiedlung Arbon-Bleiche 3: Umwelt und Wirtschaft. Archäologie im Thurgau* 12. Frauenfeld, 66–80.
- Ismail-Meyer, K./Lindbo, D. L./Stolt, M. H. (2018²) Soil organic matter. In: Stoops/Marcelino/Mees 2018, 471–512.
- Ismail-Meyer, K./Pümpin, Ch./Rentzel, Ph. (2022²) Paludal Settings: Wetland Geoarchaeology. In: A. S. Gilbert et al. (Eds.), *Encyclopedia of Geoarchaeology. Encyclopedia of Earth Sciences Series*. Cham. https://doi.org/10.1007/978-3-030-44600-0_158-1.
- Ismail-Meyer, K./Rentzel, Ph./Wiemann, Ph. (2013) Neolithic Lakeshore Settlements in Switzerland: New Insights on Site Formation Processes from Micro-morphology. *Geoarchaeology* 28, 317–339.
- Ismail-Meyer, K./Vach, W./Rentzel, Ph. (2020) Do Still Waters Run Deep? Formation Processes of Natural and Anthropogenic Deposits in the Neolithic Wetland Site Zug-Riedmatt (Switzerland). *Geoarchaeology* 35/6, 921–951.
- Iten, A. (1920) Die ehemaligen Fischerei-Rechte der Stadt Zug im Zugersee. Historisch-dogmatische Studie. Zug.
- Itten, M. (1970) Die Horgener Kultur. Basel.
- Jeberien, A. (2003) Archäologischer Bernstein. Untersuchung verschiedener Festigungsmöglichkeiten. Hamburg.
- Jecker, D. (2014) Zug, Rothuswiese: Naturwissenschaftliche Untersuchung. *Tugium* 30, 56 f.
- Jecker, D./Lanzrein-Dohme, I./Huber, R. et al. (2013) Mehr als Müll! Zwei mittelbronzezeitliche Siedlungsgruben von Zug-Rothuswiese. *JbAS* 96, 7–58.
- Jochum Zimmermann, E. (2016) *Gewehartefakte*. In: Harb/Bleicher (Hrsg.) 2016, 180–183.
- Joos, M. (1991) Zur Bedeutung der Steinhäufen (tènevières) von Yverdon VD-Avenue des Sports. *JbSGUF* 74, 195–199.
- Joye, C. (2008) Le village du Cortailod classique: étude de l'outillage en roches polies. Hauterive-Champréveyres 15. *Archéologie neuchâteloise* 40. Hauterive.
- Joye, C. (2013) Haches et haches-marteaux en roches tenaces. De l'utilitaire à l'affichage social au Néolithique final. Saint-Blaise/Bains des Dames, vol. 5. *Archéologie neuchâteloise* 52. Hauterive.
- Junkmanns, J. (1999) Wiedergefunden: Pfeilbogenfragmente, Schlagfeuerzeug und Birkenpechölstein im Museum für Urgeschichte(n) Zug. *as. 22/4*, 161–169.
- Junkmanns, J. (2001) Vom «Urnenharz» zum Birkenteer. *Tugium* 17, 83–90.
- Kaczmarczyk, A./Vandiver, P. B. (2008) Faience production in Egypt. In: Tite/Shortland (Eds.) 2008, 57–91.
- Kantonsarchäologie Zug (Hrsg., 1996) Die jungsteinzeitlichen Seeufersiedlungen von Hünenberg-Chämleten ZG. *Antiqua* 28. Basel.
- Karkanias, P./Goldberg, P. (2018) Phosphatic Features. In: Stoops/Marcelino/Mees 2018, 323–346.
- Karkanias, P./Pavlopoulos, K./Kouli, K. et al. (2011) Palaeoenvironments and site formation processes at the Neolithic lakeside settlement of Dispilio, Kastoria, Northern Greece. *Geoarchaeology* 26, 83–117.
- Kaufmann, F. J. (1865) Ueber den Dopplerit von Obbürgen und über das Verhältniss des Dopplerits zu Torf und mineralischen Kohlen, nebst Bemerkungen über künstliche pechkohlenartige Substanzen. *Jahrbuch der kaiserlich-königlichen geologischen Reichsanstalt* 15, 283–296.
- Kaul, F. (2018) Middle Bronze Age Long Distance Exchange. Early Glass, Amber and Guest-Friendship, Xenia. In: B. Nessel/D. Neumann/M. Bartelheim (Hrsg.), *Bronzezeitlicher Transport. Akteure, Mittel und Wege. RessourcenKulturen* 8. Tübingen, 189–211.
- Keefer, E. (1990) Die «Siedlung Forscher» am Federsee und ihre mittelbronzezeitlichen Funde. *Bericht der Römisch-Germanischen Kommission* 71, 38–51.
- Kegler-Graiewski, N. (2007) Beile – Äxte – Mahlsteine. Zur Rohmaterialversorgung im Jung- und Spätneolithikum. Unpubl. Dissertation im Fach Ur- und Frühgeschichte der Philosophischen Fakultät der Universität zu Köln. Köln.

Keller, B./Wyssling, G./Kistler, R. et al. (2014) Geothermie Kanton Zug. Ungedruckte Vertiefungsstudie. Beurteilung konkurrierende Nutzungen, Erschwernisse und No-Gos. geoform Geologische Beratungen und Studien AG, Geologisches Büro Dr. Lorenz Wyssling AG, geosfer AG, GeoWell GmbH, Keller + Lorenz AG, Luzern. <https://www.zg.ch/behoerden/baudirektion/amt-fuer-umweltschutz/a-bis-z-publikationen/berichte/listingblock.2016-10-13.5526705922/vertiefungs-studie-tiefengeothermie-keller-lorenz.pdf/view?search-term=vertiefungsstudie%20> (aufgerufen 18.2.2022).

Keller-Tarnuzzer, K. (1945) I. Grosse Untersuchungen. *JbSGU* 36, 19–26.

Keller, O./Krayss, E. (2005) Der Rhein-Linth-Gletscher im letzten Hochglazial, 1. Teil: Einleitung; Aufbau und Abschmelzen des Rhein-Linth-Gletschers im Oberen Würm. *Vierteljahrsschrift der Naturforschenden Gesellschaft in Zürich* 150/1–2, 19–32.

Kelterborn, P. (1997) Herstellung und Gebrauch von neolithischen Pfeilspitzen. *Tugium* 13, 51 f.

Kelterborn, P. (2000) Analysen und Experimente zu Herstellung und Gebrauch von Horgener Pfeilspitzen. *JbSGUF* 83, 37–64.

Kelts, K.R. (1978) Geological and Sedimentary Evolution of Lakes Zurich and Zug, Switzerland. Unpubl. Dissertation an der Eidgenössischen Technischen Hochschule Zürich. Zürich. <https://www.research-collection.ethz.ch/handle/20.500.11850/137094> (aufgerufen 18.2.2022).

Kenward, H./Hall, A. (2000) Decay of delicate organic remains in shallow urban deposits: are we at a watershed? *Antiquity* 74, 519–525.

Kienholz, A. (2011) Die Silices aus der neolithischen Siedlung Egolzwil 3. Unpubl. Masterarbeit Universität Bern. Bern.

Kienholz, A. (2016a) Spitzen aus Felsgestein. In: Harb/Bleicher (Hrsg.) 2016, 103.

Kienholz, A. (2016b) Silices. In: Harb/Bleicher (Hrsg.) 2016, 109–138.

Kienholz, A. (2021) Silices. In: A. Huber/A. Kienholz, Otelfingen-Harbernach. Eine jungsteinzeitliche Siedlung des 38. Jh. v. Chr. am Lägerensüdfuss. Monographien der Kantonsarchäologie Zürich 55. Zürich/Egg, 92–115.

Klimscha, F./Karlsen, H.-J./Hansen, Sv. et al. (Hrsg., 2021) Vom künstlichen Stein zum Massenprodukt. Innovationen in der Glastechnik und ihre sozialen Folgen zwischen Bronzezeit und Antike. Berlin Studies of the Ancient World 67. Berlin.

Kloof, St. (2015) Mit Einbaum und Paddel zum Fischfang. Holzartefakte von endmesolithischen und frühneolithischen Küstensiedlungen an der südwestlichen Ostseeküste. Untersuchungen und Materialien zur Steinzeit in Schleswig-Holstein und im Ostseeraum 6. Kiel/Hamburg.

Koban, C.G./Schweigert, G. (1993) Microbial Origin of Travertine Fabrics – Two Examples from Southern Germany (Pleistocene Stuttgart Travertines and Miocene Riedöschingen Travertine). *Facies* 29, 251–264.

Koch, L.C. (2014) Bronzezeitliches Glas. Die Frage nach seiner Herkunft, Antworten durch chemische Analysen und das Problem ihrer Interpretation. In: Nessel/Heske/Brandherm (Hrsg.) 2014, 87–98.

Koch, L.C. (2020) An Overview of Vitreous Materials in Bronze Age Italy and Brief Perspectives on the Iron Age. In: St. W. E. Blum/T. Efe/T. L. Kienlin et al. (Eds.), From Past to Present. Studies in Memory of Manfred O. Korfmann. *Studia Troica Monographien* 11. Bonn, 409–426.

Koch, L.C. (2021) Glas und glasartiges Material in Italien zur Bronze- und Früheisenzeit – Forschungsstand und Perspektiven. In: Klimscha/Karlsen/Hansen et al. (Hrsg.) 2021, 67–103.

Koivisto, S. (2017) Archaeology of Finnish Wetlands. With Special Reference to Studies of Stone Age Stationary Wooden Fishing Structures. Helsinki. <https://helda.helsinki.fi/handle/10138/219417> (aufgerufen 18.2.2022).

Kolb, M. (1993) Die Horgener Siedlungen in Sipplingen. Ergebnisse taucharchäologischer Untersuchungen im Sipplinger Osthafen 1982–1987. Unpubl. Dissertation Universität Freiburg im Breisgau. Freiburg im Breisgau.

Kolb, M. (1997) Die Seeufersiedlung Sipplingen und die Entwicklung der Horgener Kultur am Bodensee. In: H. Schlichtherle (Hrsg.), Pfahlbauten rund um die Alpen. Stuttgart, 22–28.

Koller, H. (2017) Fische im Flechtwerk. Ein reiches Inventar mittelalterlicher Reusen aus dem Bibersee in Cham. *Tugium* 33, 129–152.

Königer, J. (1995) Eine stark befestigte Pfahlbausiedlung der jüngeren Frühbronzezeit in der Oberen Güll bei Konstanz-Egg, Kreis Konstanz. Archäologische Ausgrabungen in Baden-Württemberg 1994, 65–73.

Königer, J. (1999) Nussdorf-Strandbad. Das Fundmaterial der Horgener Siedlung an der Liebesinsel, Überlingen-Nussdorf, Bodenseekreis. In: Schlichtherle/Strobel (Hrsg.) 1999, 19–30.

Königer, J. (2002) Oggelshausen-Bruckgraben – Funde und Befunde aus einer eisenzeitlichen Fischfanganlage im südlichen Federseeried, Gde. Oggelshausen, Krs. Biberach. *Jahrbuch Heimat- und Altertumsverein Heidenheim an der Brenz e. V.* 2001/2002, 34–56.

Königer, J. (2006) Die frühbronzezeitlichen Ufersiedlungen von Bodman-Schachen I – Befunde und Funde aus den Tauchsondagen 1982–1984 und 1986. Landesamt für Denkmalpflege im Regierungspräsidium Stuttgart (Hrsg.), Siedlungsarchäologie im Alpenvorland VIII. Forschungen und Berichte zur Vor- und Frühgeschichte in Baden-Württemberg 85. Stuttgart.

Königer, J. (2007) Funde und Befunde aus den Tauchsondagen 1987, 1988 und 2005 und weiteres Fundmaterial aus den Sammlungen Klaus Kiefer und Hans-Joachim Krass. In: J. Königer/K.-H. Steppan/J. Wahl, Bodman-Weiler II – eine Ufersiedlung der Horgener Kultur vor Bodman, Kreis Konstanz. Hemmenhofener Skripte 7. Freiburg im Breisgau, 9–54.

Königer, J. (2016) Verkehrsgünstig und befestigt. Bronzezeitliche Pfahlbauten rund um die Alpen. In: Archäologisches Landesmuseum Baden-Württemberg/Landesamt für Denkmalpflege Baden-Württemberg (Hrsg.) 2016, 216–219.

Königer, J./Schlichtherle, H. (2009) Die Siedlung Forschner im siedlungsarchäologischen Kontext des nördlichen Alpenvorlandes. In: Landesamt für Denkmalpflege im Regierungspräsidium Stuttgart (Hrsg.) 2009, 361–397.

Kooistra, M.J. (2015) Descripción de los componentes orgánicos del suelo. In: J. C. Loaiza/G. Stoops/R. M. Poch et al. (edd.), *Manual de Micromorfología de Suelos y Técnicas Complementarias*. Medellín, 261–292.

Kotai, S. (2010) Geweihartefakte. In: Eberli 2010b, 176–192.

Kramis, S. (2008) Oberriet SG-Montlingen, Kapf: neue Ausgrabungen am Südhang der Höhsiedlung. *JbAS* 91, 116–126.

Krause, R. (1988) Die endneolithischen und frühbronzezeitlichen Grabfunde auf der Nordstadterrasse von Singen am Hohentwiel. Forschungen und Berichte zur Vor- und Frühgeschichte in Baden-Württemberg 32. Stuttgart.

Krenn-Leeb, A. (2011) Zwischen Buckliger Welt und Kleinen Karpaten. Die Lebenswelt der Wieselburg-Kultur. Archäologie Österreichs 22/1, 11–26 (= A. Krenn-Leeb [Hrsg.], Lebenswelten. Archäologische Spurensuche in der Region Hainburger Pforte/Römerland. Begleitbroschüre zur Sonderausstellung im Stadtmuseum Wienertor anlässlich der NÖ Landesausstellung 2011).

Krumbiegel, G. (1997) Bernstein (Succinit) – Die Bitterfelder Lagerstätte. In: Ganzelewski/Slotta (Hrsg.) 1997, 89–100.

Krumbiegel, G./Krumbiegel, B. (1997) Bernsteinlagerstätten und -vorkommen in aller Welt. In: Ganzelewski/Slotta (Hrsg.) 1997, 31–46.

Kühne, K. (1999) Antike kieselkeramische Sinterwerkstoffe. In: Busz/Gercke (Hrsg.) 1999, 104–110.

Küster, H.-J. (2010) Geschichte der Landschaft in Mitteleuropa. Von der Eiszeit bis zur Gegenwart. München.

Kutscher, S. (2019) Vor dem Glas: Fayence in der Frühbronzezeit. *Bayerische Archäologie* 2019/4, 14–16.

Kutscher, S. (2020) Ein Beitrag zu frühbronzezeitlichen Fayenceperlen in Süddeutschland: die Nekropole «Bichlmannstrasse» aus der Gemeinde Eching, Lkr. Landshut. Mit einem anthropologischen Beitrag von Eva Kropf. In: L. Husty/K. Schmotz (Hrsg.), Vorträge des 38. Niederbayerischen Archäologentages. Rahden/Westfalen, 41–95.

Labhart, T.P. (2012) Blatt 1231 Urseren. Geologischer Atlas der Schweiz 1:25 000, Karte 133. Bundesamt für Landestopografie. Wabern.

Labhart, T.P./Renner, F. (2012) Blatt 1231 Urseren. Geologischer Atlas der Schweiz 1:25 000, Erläuterungen 133. Bundesamt für Landestopografie. Wabern.

Labhart, T.P./Gisler, C./Renner, F. et al. (2015) Blatt 1211 Meiental. Geologischer Atlas der Schweiz 1:25 000, Erläuterungen 146. Bundesamt für Landestopografie. Wabern.

Labhart, T.P./Schwizer, B./Gisler, C. et al. (2015) Blatt 1211 Meiental. Geologischer Atlas der Schweiz 1:25 000, Karte 146. Bundesamt für Landestopografie. Wabern.

Landesamt für Denkmalpflege im Regierungspräsidium Stuttgart (Hrsg., 2006) Siedlungsarchäologie im Alpenvorland IX. Hornstaad-Hörnle IA. Die Befunde einer jungneolithischen Pfahlbausiedlung am westlichen Bodensee. Forschungen und Berichte zur Vor- und Frühgeschichte in Baden-Württemberg 98/1. Stuttgart.

Landesamt für Denkmalpflege im Regierungspräsidium Stuttgart (Hrsg., 2009) Siedlungsarchäologie im Alpenvorland XI. Die früh- und mittelbronzezeitliche «Siedlung Forschner» im Federseemoor. Befunde und Dendrochronologie. Forschungen und Berichte zur Vor- und Frühgeschichte in Baden-Württemberg 113. Stuttgart.

Lanz, M. (2010) Untersuchung Pfahlbauersiedlung Cham-Alpenblick. Auffandungen, Seespiegeländerungen und Setzungen während der letzten 3000–5000 Jahre. Unpubl. Bachelorarbeit an der Hochschule Rapperswil im Archiv Archäologie, ADA ZG, Ereignis 448.

Le Brun-Ricalens, F. (2006) Les pièces esquillées: état des connaissances après un siècle de reconnaissance. *Paléo* 18, 95–114.

Leineweber, R./Lübke, H./Hellmund, M. et al. (2011) A Late Neolithic Fishing Fence in Lake Arendsee, Sachsen-Anhalt, Germany. In: J. Benjamin/C. Bonsall/C. Pickard et al. (Eds.), *Submerged Prehistory*. Oxford, 173–185.

Le Maitre, R.W./Streckeisen, A./Zanettin, B. et al. (2002) Igneous Rocks: A Classification and Glossary of Terms. Recommendations of the International Union of Geological Sciences Subcommission on the Systematics of Igneous Rocks. Cambridge.

Lemercier, O. (2004) Les campaniformes dans le Sud-Est de la France. *Monographies d'Archéologie Méditerranéenne*. Lattes.

Lendi, P. (2012) Aufweitung der Lorze bei der Spinnerei in der Gemeinde Baar. *Ingenieurbiologie Mitteilungsblatt* 1, 24–27.

Leu, W. (1986) Lithostratigraphie und Tektonik der nordpenninischen Sedimente in der Region Bedretto-Baceno-Visp. *Ecolgae Geologicae Helvetiae* 79/3, 769–824.

Leuzinger, U. (1997) Die jungsteinzeitlichen Kupferfunde aus dem Kanton Thurgau. *as.* 20/2, 51–53.

Leuzinger, U. (2000) Die jungsteinzeitliche Seeufersiedlung Arbon-Bleiche 3: Befunde. Archäologie im Thurgau 9. Frauenfeld.

Leuzinger, U. (2002) Steinartefakte. In: de Capitani/Deschler-Erb/Leuzinger et al. 2002, 22–75.

Leuzinger, U. (2003) Der Goldbecher von Eschenz (Kanton Thurgau, Schweiz). In: Germanisches Nationalmuseum (Hrsg.), *Gold und Kult der Bronzezeit*. Nürnberg, 121–125.

Leuzinger, U. (2007) Pfyn-Breitenloo. Die jungsteinzeitliche Pfahlbausiedlung. Archäologie im Thurgau 14. Frauenfeld.

Locatelli, D./Winiger, A. (2017) Les haches perforées de la station paléolithique de Concise. *Objet de labeur, objet de valeur? Archéologie vaudoise, Chroniques* 2016, 22–33.

Löffler, H./Mainberger, M. (2005) Historische «Fischreiser» am Überlingersee. *Plattform* 11/12, 2002/2003, 144–149.

Löffler, I./Bode, M. (2017) Metallanalyse. In: Suter 2017a, 200–231.

Löffler, I./Suter, P.J. (2017) Kupferartefakte. In: Suter 2017a, 372–381.

Lombardo, T./Grolimund, D./Kienholz, A. et al. (2015) The use of flint-stone fragments as “fire-strikers” during the Neolithic period: Complementary micro-analytical evidences. *Microchemical Journal*. <http://dx.doi.org/10.1016/j.microc.2015.11.007>.

Lötscher, Ch. (2005) Geräte aus Stein. In: Hep Harb/Lötscher 2005, 76–142.

Lötscher, Ch. (2014) Das jungsteinzeitliche Silexbergwerk im Chalhofen bei Olten. Archäologie und Denkmalpflege im Kanton Solothurn 19, 11–40.

Lozovsky, V.M./Lozovskaya, O.V. (2016) New Evidence of the Fishing Economy of Stone Age Waterlogged Sites in Central and North-Western Russia: The Example of Zamosťje 2. In: P. Uino/K. Nordqvist (Eds.), *New Sites, New Methods. Proceedings of the Finnish-Russian Archaeological Symposium, Helsinki, 19–21 November 2014*. Iskos 21. Vaasa, 85–100.

Lutterotti, L./Dell'Amore F./Angelucci, D. et al. (2016) Combined X-ray diffraction and fluorescence analysis in the cultural heritage field. *Microchemical Journal* 126, 423–430.

Maczynska, M. (1999) Schellenberg-Borscht. Ein prähistorischer Siedlungsplatz im Fürstentum Liechtenstein, Bd. 2: Tafeln. Triesen.

Maggetti, M./Suter, P.J. (2017) Mineralogisch-petrografische und chemische Untersuchungen der Keramik. In: Suter 2017a, 236–239.

Maier, S./Schaeren, G. (2018) Steinhausen, Sennweidstrasse 28: Aushubbegleitung. *Tugium* 34, 33–35.

Mainberger, M./Mörtl, M./Fischer, Ph. (2008) Fischreiser am Bodensee – erste Schritte zu einer archäologischen und ökologischen Bestandesaufnahme. Archäologische Ausgrabungen in Baden-Württemberg 2007, 254–257.

- Mallet, N. (1992) Le Grand-Pressigny. Ses relations avec la civilisation Saône-Rhône. Supplément au bulletin de la Société des Amis du Musée du Grand-Pressigny, vol. 1 et 2. Argenton-sur-Creuse.
- Mallet, N./Ihuel, E./Verjux, Ch. (2012) La diffusion des Silex du Grand-Pressigny au Néolithique. In: J.-C. Marquet/C. Vejoux (éds.), L'Europe déjà, à la fin des temps préhistoriques. Actes de la table-ronde internationale, Tours (Indre-et-Loire, France), 7 septembre 2007. 38^e Supplément à la Revue Archéologique du Centre de la France. Tours, 131–148.
- Manconi, R./Pronzato, R. (2016) Phylum Porifera. In: J. H. Throp/C. Rogers (Eds.), Keys to Nearctic Fauna. Thorp and Covich's Freshwater Invertebrates. Fourth Edition. Vol. II. Boston, 39–83.
- Mangold, C./Enay, R. (2004) Carte Géologique de la France à 1:50 000, Feuille 652: Nantua, notice explicative. Bureau de recherches géologiques et minières. Orléans.
- Manolakakis, L. (2006) Les très grandes lames de Varna (Bulgarie) quelle fonction? In: Vaquer/Briols (éds.) 2006, 5–23.
- Manser, J. (1995) Archäologie im Kanton Luzern 1994. Sempach, Gerbegasse 3. Jahrbuch der Historischen Gesellschaft Luzern 13, 107 f.
- Manser, J. (1996) Archäologie im Kanton Luzern 1995. Sursee, Surengasse 4. Jahrbuch der Historischen Gesellschaft Luzern 14, 160 f.
- Maquignon, Y./Decrouez, D. (2020) Der Plaffeit, ein paläogener Bernstein aus der Schweiz. Schweizer Strahler 2020/4, 15–21.
- Maréchal, D./Pétrequin, A.-M./Pétrequin, P. et al. (1999) Les parures du Néolithique final à Chalain et Clairvaux. Gallia Préhistoire 40, 141–203.
- Mariéthoz, F. (2005) Enquête autour d'un tumulus de l'Âge du Bronze. Vufflens-la-Ville, En Sency (VD, Suisse). CAR 100. Lausanne.
- Marti, A. (2001) Fundmeldung Unterägeri, Seerfer. Tugium 17, 30.
- Matuschik, I./Strahm, Ch./Eberschweiler, B. et al. (Hrsg., 2010) Vernetzungen. Aspekte siedlungsarchäologischer Forschung. Festschrift für Helmut Schlichtherle. Freiburg im Breisgau.
- McKerrell, H. (1976) Prehistoric Trade in Blue Glazed Faience. In: R. Cesario (ed.), Applicazione dei metodi nucleari nel campo delle opere d'arte. Atti dei Convegni Lincei 11. Rom, 297–316.
- Mead, S.M. (1968) The art of taaniko weaving. A study of its cultural context, technique, style, and development. Wellington (New Zealand).
- Médard, F. (2006) Les activités de filage au Néolithique sur le Plateau suisse. Analyse technique, économique et sociale. CRA Monographies 28. Paris.
- Médard, F. (2010a) L'art du tissage au Néolithique. IV^{ème}–III^{ème} millénaire avant J.-C. en Suisse. CRA Monographies 30. Paris.
- Médard, F. (2010b) Les Pesons – Die Webgewichte. In: Eberli 2010b, 220–222.
- Médard, F. (2019) 00448_Textilien. Unpubl. Bericht im Archiv Archäologie, ADA ZG, Ereignis 448.
- Ménillet, F./Coulon, M./Fourquin, C. et al. (1986) Carte Géologique de la France, 1:50 000, Feuille 412: Thann, notice explicative. Bureau de recherches géologiques et minières. Orléans.
- Meyer, J. (1983) Mineralogie und Petrologie des Allalingsabbros. Unpubl. Dissertation Universität Basel. Basel.
- Meyer, P. (2012) Bitsch, Massaboden (Wallis, CH). Jungneolithische und glockenbecherzeitliche Siedlung. Habitat du Néolithique moyen et du Campaniforme. CAR 127, Archaeologia Vallesiana 9. Lausanne.
- Michel, Ch. (2018) UNESCO-Fundstelle Wädenswil-Vorder Au. In: forschen & schützen, Fachbericht Nr. 2. Zürich, 47–53. https://www.stadt-zuerich.ch/epaper/hbd/afs/forschen_schuetzen_output/web/flipview/werxpress.html (aufgerufen 18.2.2022).
- Michel, Ch./Bleicher, N./Hüster Plogmann, H. et al. (2012) Pfahlbauten am Vierwaldstättersee – Der steinzeitliche Siedlungsplatz in Kehrsiten. as. 35/2, 56–71.
- Michel-Tobler, Ch. (2010a) Überlegungen zur Beilschäftung. In: Eberli 2010b, 129–137.
- Michel-Tobler, Ch. (2010b) Schleifsteine. In: Eberli 2010b, 137–146.
- Michel-Tobler, Ch. (2010c) Silexartefakte. In: Eberli 2010b, 153–161.
- Mildner, St. (2019) Das älteste echte Glas in Mitteleuropa. Bayerische Archäologie 2019/4, 17–19.
- Mille, B./Artoli, G. (2017) Les objets launaciens: composition élémentaire du métal, composition isotopique du plomb. In: J. Guilaine/L. Carozza/D. Garcia et al. (eds.), Launac et le launacien. Dépôts des bronzes protohistoriques du sud de la Gaule. Montpellier, 123–177.
- Million, S./Billamboz, A. (2015) Bauen mit Esche: Dendroarchäologische Untersuchungen in den neolithischen Ufersiedlungen des Degersees. In: Landesamt für Denkmalpflege im Regierungspräsidium Stuttgart (Hrsg.), Pfahlbausiedlungen am Degersee. Archäologische und naturwissenschaftliche Untersuchungen. Materialhefte zur Archäologie in Baden-Württemberg 102. Darmstadt, 285–302.
- Million, S./Mainberger, M./Nelle, O. (2020) Pfähle und Baustrukturen aus der 1. Hälfte des 2. Jts. v. Chr. In: Benguerel/Brem/Ebersbach et al. 2020, 98–116.
- Morosoli, R. (2007) Knopfli. In: Historisches Lexikon der Schweiz (HLS), Version vom 21.8.2007. <https://hls-dhs-dss.ch/de/articles/025384/2007-08-21/> (aufgerufen 18.2.2022).
- Moser, P. (1999) Steinhausen ZG, Sumpfstrasse, ESEC (8-889-99). Holzkonstruktionen aus dem frühen Hochmittelalter. Bericht über die Ausgrabungen von 1999 (98). Unpubl. Bericht im Archiv Archäologie, ADA ZG, Ereignis 889.
- Mottet, E. (2001) Bell Beakers and beyond: flint daggers of northern Italy between technology and typology. In: F. Nicolis (Ed.), Bell Beakers today. Pottery, people, culture, symbols in prehistoric Europe. Proceedings of the International Colloquium, Riva del Garda 11–16 May 1998, vol. II. Trento, 519–545.
- Mottet, E. (2006) Les Lames de poignards bifaciaux en silex de l'Italie septentrionale: sources d'approvisionnement, technologie et diffusion. In: Vaquer/Briols (éds.) 2006, 25–42.
- Müller, F. (1993) Argumente zur Deutung von «Pfahlbaubronzen». JbSGUF 76, 71–92.
- Müller, H.-P. (1971) Geologische Untersuchungen in der subalpinen Molasse zwischen Einsiedeln und oberem Zürichsee (Kt. Schwyz). Zürich.
- Müller, J./Lohrke, B. (2009) Neue absolutchronologische Daten für die süddeutsche Hügelgräberbronzezeit. Germania 87, 25–39.
- Muscheler, R./Rundgren, M. (2014) Datierungsbericht des Radiocarbon Dating Laboratory der Universität Lund. Unpubl. Bericht im Archiv Archäologie, ADA ZG, Ereignis 1986.
- Nagy, P. (2005) Spuren früher Wassernutzung im Gebiet der Nordostschweiz. In: J. Klápšte (Ed.), Water Management in Medieval Rural Economy. Rurality 5, 27.9.–2.10.2003 Lyon/Villard-Sallet. Památky Archeologické, Supplementum 17. Prag, 199–207.
- Nagy, P./Rast-Eicher, A. (2015) Neue bronze- und eisenzeitliche Grabfunde aus Rafz ZH-Im Freien. JbAS 98, 117–124.
- Nagy, P./Schwarz, P.-A. (2017) Archäologische Prospektionen im Brünigggebiet. Vorbericht zur Prospektionskampagne 2015 in Lungern OW und Meiringen BE. JbAS 100, 163–182.
- de Navarro, J.M. (1925) Prehistoric routes between northern Europe and Italy defined by the amber trade. The Geographical Journal 66/6, 481–507.
- Nessel, B./Heske, I./Brandherm, D. (Hrsg., 2014) Ressourcen und Rohstoffe in der Bronzezeit. Nutzung – Distribution – Kontrolle. Beiträge zur Sitzung der Arbeitsgemeinschaft Bronzezeit auf der Jahrestagung des Mittel- und Ostdeutschen Verbandes für Altertumforschung in Brandenburg an der Havel, 16.–17. April 2012. Arbeitsberichte zur Bodendenkmalpflege in Brandenburg 26. Wünsdorf.
- Neugebauer, Ch./Neugebauer, J.-W. (1997) Franzhausen. Das frühbronzezeitliche Gräberfeld, Bd. I. Fundberichte aus Österreich, Materialheft A 5. Wien.
- Nicosia, C./Stoops, G. (Eds., 2017) Archaeological Soil and Sediment Micromorphology. Chichester.
- Nielsen, E.H. (1989) Sutz-Rütte. Katalog der Alt- und Lesefunde der Station Sutz V. Ufersiedlungen am Bielersee 2. Bern.
- Nielsen, E.H. (2009) Paläolithikum und Mesolithikum in der Zentralschweiz: Mensch und Umwelt zwischen 17 000 und 5500 v. Chr. Archäologische Schriften Luzern 13. Luzern.
- Nielsen, E.H. (2011) In die Ferne schweifen ... Prestigeobjekte aus Luzerner Pfahlbauten. as. 34/1, 32–35.
- Niggli, E./Niggli, M./Lützenkirchen, V. (2008) Blatt 1232 Oberalppass. Geologischer Atlas der Schweiz 1:25 000, Erläuterungen 126. Bundesamt für Landestopografie. Wabern.
- Nightingale, G. (2021) Mykenisches Glas: Technologie und Nutzung. In: Klimscha/Karlsen/Hansen et al. (Hrsg.) 2021, 29–65.
- Nisbet, E.G./Dietrich, V.J./Esenwein, A. (1979) Routine trace element determination in silicate minerals and rocks by X-Ray Fluorescence. Fortschritte der Mineralogie 57/2, 264–279.
- Nyffeler, J. (2015) Abfall oder Zufall? Untersuchungen zu verbrannten Axtfragmenten der neolithischen Siedlung Gachnang/Niederwil-Egelsee. Experimentelle Archäologie in Europa – Bilanz 2015. EXAR Heft 14, 21–31.
- O'Sullivan, A. (2003) Place, memory and identity among estuarine fishing communities: interpreting the archaeology of early medieval fish weirs. World Archaeology 35/3, 449–468. <https://doi.org/10.1080/0043824042000185810>.
- Osman, K.T. (2013) Soils: Principles, properties and management. Dordrecht/Heidelberg/New York/London.
- Osterwalder, Ch. (1971a) Die mittlere Bronzezeit im schweizerischen Mittelland und Jura. Monographien zur Ur- und Frühgeschichte der Schweiz 19. Basel.
- Osterwalder, Ch. (1971b) Die mittlere Bronzezeit im Mittelland und Jura. In: Schweizerische Gesellschaft für Ur- und Frühgeschichte (Hrsg.), Ur- und Frühgeschichtliche Archäologie der Schweiz, Bd. III: Die Bronzezeit. Basel, 27–40.
- Othenin-Girard, B. (1997) Le Campaniforme d'Alle, Noir Bois (Jura, Suisse). Cahier d'Archéologie Jurassienne 7. Porrentruy.
- Othenin-Girard, B./Affolter, J. (2018) Le Campaniforme dans le Seeland bernois. Nouvelles traces d'habitats. JbSGUF 101, 45–79.
- Ottiger, R./Freimoser, M./Jäckli, H. et al. (1990) Blatt 1131 Zug. Geologischer Atlas der Schweiz 1:25 000, Atlasblatt 89. Bern-Ittigen.
- Pausewein, R.-R./Reiche, I. (2015) Untersuchungsbericht 108_120814. Rathgen-Forschungslabor der Staatlichen Museen zu Berlin. Unpubl. Bericht im Archiv Archäologie, ADA ZG, Ereignis 448.
- Pausewein, R.-R./Gómez Sánchez, E./Simon, St. (2012) Untersuchungsbericht 27_040312. Rathgen-Forschungslabor der Staatlichen Museen zu Berlin. Unpubl. Bericht im Archiv Archäologie, ADA ZG, Ereignis 448.
- Pedersen, L. (2013) Eelers in Danish Waters – Interaction Between Men and Their Marine Environment over 8000 Years. In: M.-Y. Daire/C. Dupont/A. Baudry et al. (Eds.), Anciens peuplements littoraux et relations Homme/Milieu sur les côtes de l'Europe atlantique. Ancient Maritime Communities and the Relationship between People and Environment along the European Atlantic Coasts. BAR International Series 2570, 163–173.
- Pelletier, L./Müntener, O./Kalt, A. et al. (2008) Emplacement of ultramafic rocks into the continental crust monitored by light and other trace elements: An example from the Geisspfad body (Swiss-Italian Alps). Chemical Geology 255/1, 143–159.
- Peters, Tj. (2005a) Blatt 1257 St. Moritz. Geologischer Atlas der Schweiz 1:25 000, Karte 118. Bundesamt für Wasser und Geologie. Bern-Ittigen.
- Peters, Tj. (2005b) Blatt 1257 St. Moritz. Geologischer Atlas der Schweiz 1:25 000, Erläuterungen 118. Bundesamt für Wasser und Geologie. Bern-Ittigen.
- Peters, Tj./Dietrich, V.J. (2008) Blatt 1256 Bivio. Geologischer Atlas der Schweiz 1:25 000, Erläuterungen 124. Bundesamt für Landestopografie. Bern.
- Peters, Tj./Dietrich, V.J./Ziegeler, W.H. et al. (2007) Blatt 1256 Bivio. Geologischer Atlas der Schweiz 1:25 000, Karte 124. Bundesamt für Landestopografie, Bern.
- Pétrequin, P. (dir., 1986) Les sites littoraux néolithiques de Clairvaux-les-Lacs (Jura), vol. I: Problématique générale. L'exemple de la station III. Paris, 223–228.
- Pétrequin, P. (1998) Perdus ou jetés? Les objets de parure du Néolithique de Chalain et Clairvaux (Jura, France). In: B. Fritsch/M. Maute/I. Matuschick et al. (Hrsg.), Tradition und Innovation. Prähistorische Archäologie als historische Wissenschaft. Festschrift für Christian Strahm. Studia honoraria 3. Rahden/Westfalen, 183–200.
- Pétrequin, P./Jeunesse, Ch. (1995) La hache de pierre. Carrières vosgiennes et échanges de lames polies pendant le Néolithique (5400–2100 av. J.-C.). Archéologie de Franche-Comté. Paris.
- Pétrequin, P./Pétrequin, A.-M. (2021a) La Préhistoire du Jura et l'Europe néolithique en 100 mots-clés, vol. 2. Les cahiers de la Maison des Sciences de l'Homme et de l'Environnement Claude Nicolas Ledoux. Besançon.
- Pétrequin, P./Pétrequin, A.-M. (2021b) La Préhistoire du Jura et l'Europe néolithique en 100 mots-clés, vol. 3. Les cahiers de la Maison des Sciences de l'Homme et de l'Environnement Claude Nicolas Ledoux. Besançon.
- Pétrequin, A.-M./Pétrequin, P./Gross, E. (2021) Andermatt UR, St. Annafirn, Gemsstock-Wetterstation. JbAS 104, 140.
- Pétrequin, P./Cassen, S./Errera, M. et al. (éds., 2012) Jade: Grandes haches alpines du néolithique européen, V^e et IV^e millénaires avant J.-C. Les Cahiers de la MSHE Ledoux 17. Presses Universitaires de Franche-Comté et Centre de Recherche Archéologique de la Vallée de l'Ain 1224. Besançon.
- Pétrequin, P./Croutsch, Ch./Errera, M. et al. (2012) Approche des productions valaisannes en amphibolite calcique (néphrite). In: Pétrequin/Cassen/Errera et al. (éds.) 2012, 184–213.

- Pfeifer, H.-R./Biino, R./Ménot, P. et al. (1993) Ultra-mafic rocks in the Pre-Mesozoic basement of the Central and external western Alps. In: J. F. Raumer/F. Neubauer (Eds.), *Pre-Mesozoic Geology in the Alps*. Berlin, 119–143.
- Pflederer, T. (2008) Ammersee, Prospektion an Fischereianlagen. BGfU (Bayerische Gesellschaft für Unterwasserarchäologie) Jahresbericht 2008, 2 f.
- Pictet, A./Delamette, M./Matrion, B. (2016) The Perte-du-Rhône Formation, a new Cretaceous (Aptian-Cenomanian) lithostratigraphic unit in the Jura mountains (France and Switzerland). *Swiss Journal of Geosciences* 109/2, 221–240.
- Plisson, H./Mallet, N./Bocquet, A. et al. (2002) Utilisation et rôle des outils en silex du Grand-Pressigny dans les villages de Charavines et de Portalban (Néolithique final). *Bulletin de la Société préhistorique française* 99/4, 793–811.
- Plumettaz, N./Pillone, D./Thew, N. (2011) Aménagements fluviaux de La Thielle au Moyen Âge. Pêche et moulin de Pré de la Mottaz. *Archéologie neuchâtoise* 48. Hauterive.
- Potts, P. J./West, M. (Eds., 2008) *Portable X-ray fluorescence spectrometry. Capabilities for in situ analysis*. Cambridge.
- Preiswerk, H. (1926) Nephrit von Haudères (Wallis). *Schweizerische mineralogische und petrographische Mitteilungen* 6/2, 267–277.
- Primas, M. (1979) Archäologische Untersuchungen in Tamins GR: die spätneolithische Station «Crestis». *JbSGUF* 62, 13–27.
- Primas, M. (1985) Cazis-Petrushügel in Graubünden: Neolithikum, Bronzezeit, Spätmittelalter. *Zürcher Studien zur Archäologie*. Zürich.
- Primas, M. (2008) Bronzezeit zwischen Elbe und Po. Strukturwandel in Zentraleuropa 2200–800 v. Chr. *Universitätsforschungen zur Prähistorischen Archäologie* 150. Bonn.
- Primas, M./Della Casa, Ph./Jochum Zimmermann, E. et al. (2004) Wartau – Ur- und frühgeschichtliche Siedlungen und Brandopferplatz im Alpenrheintal (Kanton St. Gallen, Schweiz), Bd. 2: Bronzezeit, Kupferzeit, Mesolithikum. *Universitätsforschungen zur prähistorischen Archäologie* 108. Bonn.
- Pümpin, Ch./Wiemann, Ph./Rentzel, Ph. (2015) Mikromorphologische Untersuchung der Schichtabfolgen. In: Bleicher/Harb (Hrsg.) 2015, 152–197.
- Purovski, T. (2020) New Data on the Technology of Faience Production in Central Europe in the Early Bronze Age. *Archaeometry* 62/3, 563–576.
- Quast, D./Erdrich, M. (Hrsg., 2013) *Die Bernsteinstrasse. Archäologie in Deutschland Sonderheft 4/2014, Jahrgang 2/2013*. Darmstadt.
- de Quervain, F. (1928) Zur Petrographie und Geologie der Taveyannaz-Gesteine. *Schweizerische mineralogische und petrographische Mitteilungen* 8/1, 1–86.
- de Quervain, F. (1969) *Die nutzbaren Gesteine der Schweiz*. Bern.
- van Raden, U. J./Colombaroli, D./Gilli, A. et al. (2013) High-resolution late-glacial chronology for the Gerzensee lake record (Switzerland): $\delta^{18}\text{O}$ correlation between a Gerzensee-stack and NGRIP. *Palaeogeography, Palaeoclimatology, Palaeoecology* 391, 13–24.
- Rageth, J. (1976) Die bronzezeitliche Siedlung auf dem Padnal bei Savognin (Oberhalbstein GR), Grabungen 1971 und 1972. *JbSGUF* 59, 123–179.
- Rageth, J. (2002) Ein spätneolithischer Siedlungskomplex von Untervaz, Haselboden. *Jahresbericht des Archäologischen Dienstes Graubünden* 2001, 35–58.
- Ramseyer, D. (1987) Delley/Portalban II. Contribution à l'étude du Néolithique en Suisse occidentale. *Archéologie fribourgeoise/Freiburger Archäologie* 3. Fribourg.
- Ramseyer, D. (1995) Schmuck. In: SPM II, 188–193.
- Ramseyer, D. (2000) Muntelier/Fischergässli. Un habitat néolithique au bord du lac Morat (3895 à 3820 avant J.-C.). *Archéologie fribourgeoise/Freiburger Archäologie* 15. Fribourg.
- Ramseyer, D./Michel, R. (1990) Muntelier/Platzbünden, Bd. 1: Horgensiedlung. *Archéologie fribourgeoise/Freiburger Archäologie* 6. Fribourg.
- Rast-Eicher, A. (1997) Die Textilien. In: Schibler/Hüster-Plogmann/Jacomet et al. 1997, 300–328.
- Rast-Eicher, A. (2012) Katalog_A.Rast_Alpenblick 2012.doc. Unpubl. Bericht im Archiv Archäologie, ADA ZG, Ereignis 448.
- Rast-Eicher, A. (2013) Alpenblick 2013.docx. Unpubl. Bericht im Archiv Archäologie, ADA ZG, Ereignis 448.
- Rast-Eicher, A. (2016a) *Fibres. Microscopy of archaeological textiles and furs*. *Archaeolingua*. Budapest.
- Rast-Eicher, A. (2016b) *Alpenblick_organisch 2016.pdf*. Unpubl. Bericht im Archiv Archäologie, ADA ZG, Ereignis 448.
- Rast-Eicher, A./Dietrich, A. (2015) Neolithische und bronzezeitliche Gewebe und Geflechte – die Funde aus den Seeufersiedlungen im Kanton Zürich. *Monographien der Kantonsarchäologie Zürich* 46. Zürich/Egg.
- Rehren, T. (2008) A review of factors affecting the composition of early Egyptian glasses and faience: alkali and alkali earth oxides. *Journal of Archaeological Science* 35, 1345–1354.
- Rehren, T./Connolly, P./Schibille, N. et al. (2015) Changes in glass consumption in Pergamon (Turkey) from Hellenistic to late Byzantine and Islamic times. *Journal of Archaeological Science* 55, 266–279.
- Reinhard, J. (2018) Steinhausen, Sumpfstrasse 18: Baggersondierung und Aushubüberwachung. *Frühbronzezeitliches Holz im Sumpf. Tugium* 34, 16 f.
- Reinhard, J./Schaeren, G. F. (2012a) Cham, Bachgraben, Zugerstrasse 112 (Alpenblick II): Rettungsgrabung. *Tugium* 28, 25 f.
- Reinhard, J./Schaeren, G. (2012b) Cham ZG, Bachgraben, Zugerstrasse 112 (Alpenblick II). *JbAS* 95, 168.
- Reinhard, J./Schaeren, G. (2014a) Cham, Bachgraben, Zugerstrasse 112: Ausgrabung. *Tugium* 30, 30 f.
- Reinhard, J./Schaeren, G. (2014b) Cham ZG, Bachgraben, Zugerstrasse 112. *JbAS* 97, 206.
- Reinhard, J./Schaeren, G. (2014c) Cham, Bachgraben, Alpenblick II: Aushubüberwachung/Baubegleitung. *Tugium* 30, 29 f.
- Reinhard, J./Steiner-Osimitz, St. (2016) Unverhofft kommt oft: Wiederentdeckung der ehemaligen Ziegelei auf der Schützenmatt in Zug. 33. Bericht der Stiftung Ziegeleimuseum, 51–62.
- Reitmaier, Th. (2014) Form follows function – eine neue Deutung der sogenannten Steinscheibe mit Quaste des Südtiroler Eismannes. *Archäologisches Korrespondenzblatt* 44/1, 29–40.
- Rentzel, Ph. (2007) Rettungsgrabungen Sumpfstrasse-West 1998/99: geologische Untersuchungen. In: Röder/Huber 2007, 73–80.
- Rentzel, Ph./Röder, B. (2007) Seespiegel und Ufernutzung in der Sennweid. In: Röder/Huber 2007, 99–112.
- Rentzel, Ph./Nicosia, C./Gebhardt, A. et al. (2017) Trampling, Poaching and the Effect of Traffic. In: Nicosia/Stoops (Eds.) 2017, 281–298.
- Resano, M./García-Ruiz, E./Vanhaecke, F. (2010) Laser ablation-inductively coupled plasma mass spectrometry in archaeometric research. *Mass Spectrometry Reviews* 29, 55–78.
- Rigert, E./Jacomet, St./Hosch, S. et al. (2005) Eine Fundstelle der Glockenbecherzeit in Wetzikon ZH-Kempten, Tösstalstrasse 32–36. *JbSGUF* 88, 87–118.
- Ritzmann, Ch. (1986) Typologische Untersuchung an den Silexartefakten aus den neolithischen Seeufersiedlungen von Zürich-Mozartstrasse. Unpubl. Diplomarbeit am Labor für Ur- und Frühgeschichte der Universität Basel. Basel.
- Ritzmann, Ch. (1987) Die Silexartefakte der neolithischen Schichten. In: E. Gross/Ch. Brombacher/M. Dick et al., Zürich «Mozartstrasse». *Neolithische und bronzezeitliche Ufersiedlungen*, Bd. 1. *Berichte der Zürcher Denkmalpflege, Archäologische Monographien* 4. Zürich, 182–187.
- Robinson, Ch./Baczyńska, B./Polańska, M. (2004) The Origins of Faience in Poland. *Sprawodania archeologiczne* 56, 79–121.
- Röder, B./Gross, E. (2007) Die Keramikfunde. In: Röder/Huber 2007, 222–237.
- Röder, B./Huber, R. (2007) Archäologie in Steinhausen «Sennweid» (Kanton Zug). *Ergebnisse der Untersuchungen von 1942 bis 2000. Antiqua* 41. Basel.
- Rönnyby, J. (2007) Maritime Durées: Long-Term Structures in a Coastal Landscape. *Journal of Maritime Archaeology* 2/2, 65–82. <https://doi.org/10.1007/s11457-007-9021-7>.
- Röpke, A./Stobbe, A./Oeggli, K. et al. (2011) Late-Holocene land-use history and environmental changes at the high altitudes of St Antönien (Switzerland, Northern Alps): Combined evidence from pollen, soil and tree-ring analyses. *The Holocene* 21/3, 485–498.
- Rösch, M. (2016) Mit Feuer und Pflug, Landnutzung und Landschaftswandel. In: *Archäologisches Landesmuseum Baden-Württemberg/Landesamt für Denkmalpflege Baden-Württemberg (Hrsg.) 2016*, 304–308.
- Roth Heege, E. (2007) Früh- und hochmittelalterliche Fischfanganlagen am Zugersee: Ergebnisse der Rettungsgrabungen Sumpfstrasse-West 1998/99. In: Röder/Huber 2007, 181–197.
- Ruckstuhl, B. (1984) Die neolithischen und frühbronzezeitlichen Beiklingenfunde von Zürich-Mozartstrasse. Unpubl. Lizentiatsarbeit am Historischen Seminar der Universität Zürich. Zürich.
- Ruckstuhl, B. (1987) Die Gesteinsbestimmungen am Beiklingenmaterial. In: Gross/Brombacher/Dick et al. 1987, 177–181.
- Ruckstuhl, B. (2007a) Die Artefakte aus Felsgestein. In: Röder/Huber 2007, 238–248.
- Ruckstuhl, B. (2007b) Schmuck und Mollusken. In: Röder/Huber 2007, 249–251.
- Ruckstuhl, B. (2016) Steinbeiklingen und Steinbeiklingenartefakte. In: Harb/Bleicher (Hrsg.) 2016, 64–87.
- Ruoff, U. (1995) Neues von der Dendrochronologie. Ein Bericht aus dem 25jährigen Zürcher Labor für Dendrochronologie. *Zürcher Denkmalpflege, Bericht* 1993/94, 126–130.
- Ruoff, U. (2007) Dendrochronologische Auswertungen der Rettungsgrabungen 1988–91 und der Rettungsgrabung Cosmetochem. In: Röder/Huber 2007, 119–142.
- Rychner, V. (1998a) Gold. In: SPM III, 253–256.
- Rychner, V. (1998b) Glas und Fayence. In: SPM III, 291–293.
- Rychner-Faraggi, A.-M. (1993) *Hauterive-Champrevéyres*, vol. 9: Métal et parure au Bronze final. *Archéologie neuchâtoise* 17. Neuchâtel.
- Santallier, D./Fillion, J.-P./Mignot, A. (1998) À propos de ce que l'on appelle les «roches vertes» en archéologie. *Revue d'Archéométrie* 22, 45–55.
- Santopadre, P./Verità, M. (2000) Analyses of the production technologies of Italian vitreous materials of the Bronze Age. *Journal of Glass Studies* 42, 25–40.
- Schaer, A. (2021) Entdeckung, Nachgrabung und erste Untersuchung am Grabfund von Prêles, Les Combettes. In: Schaer/Brechbühl/Senn et al. 2021, 8–26.
- Schaer, A./Brechbühl, S./Senn, M. et al. (2021) Das bronzezeitliche Grab und die Bronzehand von Prêles. *Ergebnisse der Table ronde vom 30. Oktober 2019 in Bern. Hefte zur Archäologie im Kanton Bern* 8. Bern.
- Scherer, Th. (2011) ZG Prospektion Aegerisee. Unpubl. Bericht im Archiv Archäologie, ADA ZG, Ereignis 1306.2.
- Scherer, Th./Wiemann, Ph. (2008) Freienbach SZ-Hurden Rosshorn: Ur- und frühgeschichtliche Wege und Brücken über den Zürichsee. *JbAS* 91, 7–38.
- Schibille, N./Meek, A./Tobias, B. et al. (2016) Comprehensive Chemical Characterisation of Byzantine Glass Weights. *PLoS ONE* 11/12, e0168289. <https://doi.org/10.1371/journal.pone.0168289>.
- Schibler, J. (1987) Die Hirschgeweihartefakte. In: Gross/Brombacher/Dick et al. 1987, 156–165.
- Schibler, J. (1997) Knochen- und Geweihartefakte. In: Schibler/Hüster-Plogmann/Jacomet et al. 1997, 122–219.
- Schibler, J. (2007) Chronologische Wertung der Knochen- und Geweihartefakte. In: Röder/Huber 2007, 271–274.
- Schibler, J./Hüster-Plogmann, H./Jacomet, St. et al. (1997) Ökonomie und Ökologie neolithischer und bronzezeitlicher Ufersiedlungen am Zürichsee. *Ergebnisse der Ausgrabungen Mozartstrasse, Kanalisationssanierung Seefeld, AKAD/Pressehaus und Mythenschloss in Zürich. Monographien der Kantonsarchäologie Zürich* 20. Zürich/Egg.
- Schiedt, H.-U. (2000) «... und das sol ein offene landtstras sin». *Historische Verkehrswege und historischer Landverkehr im Kanton Zug. Tugium* 16, 61–77.
- Schlichtherle, H. (1992) Jungsteinzeitliche Erntegeräte am Bodensee. *Plattform* 1, 1992, 24–44.
- Schlichtherle, H. (2004) Grosse Häuser – kleine Häuser. *Archäologische Befunde zum Siedlungswandel am neolithischen Federsee. In: Landesdenkmalamt Baden-Württemberg (Hrsg.), Ökonomischer und ökologischer Wandel am vorgeschichtlichen Federsee. Archäologische und naturwissenschaftliche Untersuchungen. Hemmenhofener Skripte* 5. Freiburg im Breisgau, 13–55.
- Schlichtherle, H. (2006) Jungsteinzeitliche Dolche aus den Pfahlbauten des Bodenseeraumes. *Plattform* 13/14, 2004/2005, 62–86.
- Schlichtherle, H./Billamboz, A. (2015) *Architecturale, sociale, écologique: Les trois dimensions de la maison palafittique dans les villages lacustres et palustres néolithiques du sud-ouest de l'Allemagne*. In: A. D. Pierre-Jérôme Rey (éd.), *L'homme et son environnement: des lacs, des montagnes et des rivières. Bulles d'archéologie offertes à André Marguet. Revue archéologique de l'Est* 40. Dijon, 99–114.
- Schlichtherle, H./Strobel, M. (Hrsg., 1999) *Aktuelles zu Horgen – Cham – Goldberg III – Schnurkeramik in Süddeutschland. Rundgespräch Hemmenhofen* 26. Juni 1998. Gaienhofen-Hemmenhofen.
- Schlick-Nolte, B. (1999) Ägyptische Fayence und Ägyptisch Blau im Alten Ägypten. In: Busz/Gercke (Hrsg.) 1999, 12–51.
- Schmidheiny, M. (2010) Die frühbronzezeitliche Inselsiedlung Rapperswil-Jona SG-Technikum. *JbAS* 93, 101–122.

- Schmidheiny, M. (2011) Zürich «Mozartstrasse». Neolithische und bronzezeitliche Ufersiedlungen, Bd. 4: Die frühbronzezeitliche Besiedlung. Monographien der Kantonsarchäologie Zürich 42. Zürich/Egg.
- Schoch, W. H. (2020) Cham-Bachgraben, 2 448.04 10, Steinobst-Kerne. Bericht CAPI.200515.1, Labor für quartäre Hölzer. Unpubl. Bericht im Archiv Archäologie, ADA ZG, Ereignis 448.
- Schoch, W. H. (2016a) Cham Alpenblick, Fischfische, Holzartenbestimmung. Unpubl. Bericht im Archiv Archäologie, ADA ZG, Ereignis 448.
- Schoch, W. H. (2016b) 448.04, Cham Bachgraben, Ahle, 448, 11486.1, Holz vom Griffrest. Unpubl. Bericht im Archiv Archäologie, ADA ZG, Ereignis 448.
- Schöttle, M. (1968) Die Sedimente des Gnaden-sees. Archiv für Hydrobiologie, Supplement 35, 256–308.
- Schumpf, M. (2010) Neolithische Siedlungsreste von Cham, Bachgraben-Alpenblick. Die Sondiergrabung 2007 und Keramik sowie Silices der Altfunde. Unpubl. Lizentiatsarbeit der Universität Bern. Bern.
- Schwab, H. (1990) Archéologie de la 2^e correction des eaux du Jura, vol. 1: Les Celtes sur la Broye et la Thielle. Archéologie fribourgeoise/Freiburger Archäologie 5. Fribourg.
- Schwab, H. (1999) Archéologie de la 2^e correction des eaux du Jura, vol. 2: Les premiers paysans sur la Broye et la Thielle. Archéologie fribourgeoise/Freiburger Archäologie 14. Fribourg.
- Schwab, H./Beck, C. W. (1985) Gagat und Bernstein auf dem Rentierjägerhalt Moosbühl bei Moosseedorf (Kanton Bern). In: R. Fellmann/G. Germann/K. Zimmermann (Hrsg.), Jagen und Sammeln. Festschrift für Hans-Georg Bandi zum 65. Geburtstag (3. September 1985). Jahrbuch des Bernischen Historischen Museums 63/64, 236–266.
- Schweingruber, F. (1990³) Mikroskopische Holz-anatomie. Formenspektren mitteleuropäischer Stamm- und Zweighölzer zur Bestimmung von rezentem und subfossilem Material. Birmensdorf.
- Schweizerisches Nationalmuseum (Hrsg., 2005) Blicke auf die Schweizer Vergangenheit. Regards sur le passé suisse. Flugbilder von Georg Gerster. Zürich.
- Schwenzer, S. (1997) «Wanderer, kommst du nach Spa ...» Der Opferplatz von Berlin-Spandau. Ein Heiligtum für Krieger, Händler und Reisende. In A. Hänsel/B. Hänsel (Hrsg.), Gaben an die Götter. Schätze der Bronzezeit Europas. Berlin, 61–66.
- Sebag, D./Copard, Y./Di-Giovanni, C. (2006) Palynofacies as useful tool to study origins and transfers of particulate organic matter in recent terrestrial environments: Synopsis and prospects. Earth-Science Reviews 79, 241–259.
- Seeberger, F. (1977) Steinzeitliches Feuerschlagen. Ein experimenteller Beitrag zur Archäologie. Archäologisches Korrespondenzblatt 7, 195–201.
- Seifert, M./Sormaz, T. (1996) Resultate der Dendrochronologie in den urgeschichtlichen Ufersiedlungen am Zugersee. Archäologie der Schweiz 19, 53–58.
- Seiler-Baldinger, A./Médard, F. (2014) Les textiles cordés: armures et techniques. Bulletin de liaison du CIETA 84/85, années 2007–2008, 21–37.
- Senn, M./Beck, B./Cattin, F. (2021) Archäometallurgische Untersuchungen der Metallfunde von Prêles, Les Combettes. In: Schaer/Brechbühl/Senn et al. 2021, 39–58.
- Shackley, M. S. (Ed., 2011) X-Ray Fluorescence Spectrometry (XRF) in Geoarchaeology. New York.
- Shepherd, I. A. G./Shepherd, A. N. (2001) A Cordoned Urn burial with faience from 102 Findhorn, Moray. Proceedings of the Society of Antiquaries of Scotland 131, 101–128.
- Sheridan, A./Shortland, A. (2003) Supernatural power dressing. British Archaeology 70, 18–23.
- Sheridan, A./Shortland, A. (2004) '... beads which have given rise to so much dogmatism, controversy and rash speculation': faience in Early Bronze Age Britain and Ireland. In: I. A. G. Shepherd/G. J. Barclay (Eds.), Scotland in Ancient Europe. The Neolithic and Early Bronze Age of Scotland in their European Context. Edinburgh, 263–279.
- Sheridan, A./Eremin, K./Shortland, A. (2005) Understanding Bronze Age Faience in Britain and Ireland. In: P. B. Vandiver/J. M. Mass/A. Murray (Eds.), Materials Issues in Art and Archaeology VII. Materials Research Society Symposium Proceedings 852. Warrendale, 217–229.
- Shortland, A./Rehren, T. (2020) Glass. In: M. P. Richards/K. Britton (Eds.), Archaeological science. An introduction. Cambridge/New York, 347–364.
- Shortland, A./Shishlina, N./Egorkov, A. (2007) Origin and Production of Faience Beads in the North Caucasus and the Northwest Caspian Sea Region in the Bronze Age. In: B. Lyonnet (éd.), Les cultures du Caucase (VI^e–III^e millénaires avant notre ère). Leurs relations avec le Proche-Orient. Paris, 269–283.
- Shortland, A./Degryse, P./Walton, M. et al. (2011) The evaporitic deposits of Lake Fazda (Wadi Natrun, Egypt) and their use in Roman glass production. Archaeometry 53/5, 916–929.
- Siqin, B./Quian, R./Zhuo, S. et al. (2012) Glow discharge mass spectrometry studies on nephrite minerals formed by different metallogenic mechanisms and geological environments. International Journal of Mass Spectrometry 309, 206–211.
- Sirelius, U. T. (1906) Über die Sperrfischerei bei den finnisch-ugrischen Völkern. Eine vergleichende ethnographische Untersuchung. Helsingfors.
- Soom, M. (1984) Bernstein vom Nordrand der Schweizer Alpen. Bernstein-Neuigkeiten. Stuttgarter Beiträge zur Naturkunde, Serie C, Nr. 18, 15–20.
- Speck, J. (1953) Geröllstudien in der subalpinen Molasse am Zugersee und Versuch einer paläogeographischen Auswertung. Zug.
- Speck, J. (1990) Die neolithischen und bronzezeitlichen Pfahlbauten am Zugersee. In: Höneisen (Hrsg.) 1990, 231–244.
- Speck, J. (1991) Neolithische und bronzezeitliche Ufersiedlungen am Zugersee. Schriften des Kantonalen Museums für Urgeschichte Zug 40. Zug.
- Speck, J. (1993) Stadtbaumeister Jost Knopfli und die «Abgrabung» des Zugersees 1591/92. Zuger Neujahrsblatt, 22–38.
- Spillmann, P./Labhart, T./Brücker, W. et al. (2012) Geologie des Kantons Uri. Altdorf.
- Spring, M. (2000) Die frühbronzezeitliche Seeufersiedlung von Hochdorf-Baldegg (LU). Unpubl. Lizentiatsarbeit Universität Zürich. Zürich.
- Spring, M. (2001) Die frühbronzezeitlichen Baubefunde von Hochdorf-Baldegg (LU) neu interpretiert. In: Eberschweiler/Königer/Schlichtherle et al. (Hrsg.) 2001, 133–136.
- Spycher, H. (1973) Die geschliffenen Steingeräte in der Cortailod-Siedlung Seeberg, Burgäschisee-Süd. In: Bandi/Sangmeister/Spycher et al. 1973, 91–148.
- Stahl, Ch. (2006) Mitteleuropäische Bernsteinfunde von der Frühbronze- bis zur Frühlatènezeit. Ihre Verbreitung, Formgebung, Zeitstellung und Herkunft. Würzburger Studien zur Sprache & Kultur. Dettelbach.
- Stahlschmidt, R. (1990) Nagelschmied. In: R. Reith (Hrsg.), Lexikon des alten Handwerks. Vom Spätmittelalter bis ins 20. Jahrhundert. München, 176–181.
- Stalder, H. A./Wagner, A./Graeser, S. et al. (1998) Mineralienlexikon der Schweiz. Basel.
- Standke, G. (2008) Bitterfelder Bernstein gleich Baltischer Bernstein? – Eine geologische Raum-Zeit-Betrachtung und genetische Schlussfolgerungen. In: Arbeitskreis Geowissenschaftliche Aspekte in Bergbaugebieten (AK Bergbaufolgen; Hrsg.), Bd. II. Bitterfelder Bernsteinkolloquium. Bitterfelder Bernstein versus Baltischer Bernstein – Hypothesen, Fakten, Fragen. 24. Treffen des Arbeitskreises Bergbaufolgen der DGG. Exkursionsführer und Veröffentlichungen der Deutschen Gesellschaft für Geowissenschaften 236. Hannover, 11–33.
- Stapfer, R. (2012) Kontakte nach Westen. Zur Verbreitung des Néolithique moyen bourguignon in der Schweiz. In: Boschetti-Maradi/de Capitani/Hochuli et al. (Hrsg.) 2012, 105–115.
- Stapfer, R./Heitz, C./Hinz, M. et al. (2018) Portable Röntgenfluoreszenzanalyse (pXRF): Mit dem «Labor in der Hand» der Vergangenheit auf der Spur. In: Th. Burri/R. Stapfer (Hrsg.), Naturwissenschaftliche Methoden in der Archäologie. Mitteilungen der Naturforschenden Gesellschaft in Bern, Neue Folge 75. Bern, 136–155.
- Steinhauser, R./Primas, M. (1987) Der Bernsteinfund vom Montlingerberg (Kt. St. Gallen, Schweiz). Germania 65/1, 203–214.
- Steppan, K. (2007) Geweihartefakte. In: Röder/Huber 2007. Basel, 261–263.
- Stockhammer, P. W./Massy, K./Knipper, C. et al. (2015) Rewriting the Central European Early Bronze Age Chronology: Evidence from Large-Scale Radiocarbon Dating. PLoS ONE 10(10): e0139705. <https://doi:10.1371/journal.pone.0139705>.
- Stöckli, W. E. (2009) Chronologie und Regionalität des jüngeren Neolithikums (4300–2400 v. Chr.). Antiqua 45. Basel.
- Stöckli, W. E. (2016) Urgeschichte der Schweiz im Überblick (15 000 v. Chr. – Christi Geburt). Die Konstruktion einer Urgeschichte. Antiqua 54. Basel.
- Stone, J. F. S./Thomas, L. C. (1956) The Use and Distribution of Faience in the Ancient East and Prehistoric Europe. Proceedings of the Prehistoric Society 22, 37–84.
- Stoops, G./Marcelino, V./Mees, F. (2018²) Interpretation of Micromorphological Features of Soils and Regoliths. Amsterdam.
- Strahm, Ch. (1961/62) Geschäftete Dolchklängen des Spätneolithikums. Jahrbuch des Bernischen Historischen Museums 41/42, 447–477.
- Strahm, Ch. (1971) Die Gliederung der schnurkeramischen Kultur in der Schweiz. Acta Bernensia 6. Bern.
- Strahm, Ch. (1973) Les fouilles d'Yverdon. JbSGU 57, 7–16.
- Strahm, Ch. (1980) Deux types de bouton de parure du Néolithique final. In: H. Camps-Fabrer (éd.), L'industrie en os et en bois de cervidé durant le Néolithique et l'Âge des métaux. Deuxième réunion du groupe de travail n° 3 sur l'industrie de l'os préhistorique. Éditions du Centre National de la Recherche Scientifique. Saint-Germain-en-Laye, 183–194.
- Strobel, M. (2000) Alleshausen-Hartöschle. Eine Siedlung der Schussenrieder Kultur im nördlichen Federseemoor (Kr. Biberach). Die Ausgrabungen 1984, 1992 und 1993. In: Landesamt für Denkmalpflege im Regierungspräsidium Stuttgart (Hrsg.), Berichte zu Ufer- und Moorsiedlungen Südwestdeutschlands III. Materialhefte zur Archäologie in Baden-Württemberg 52. Stuttgart, 123–229.
- Suter, P. J. (1987) Zürich «Kleiner Hafner». Tauchgrabungen 1981–1984. Berichte der Zürcher Denkmalpflege, Monographien 3. Zürich.
- Suter, P. J. (2017a) Um 2700 v. Chr. – Wandel und Kontinuität in den Ufersiedlungen am Bielersee, Bd. 1. Bern.
- Suter, P. J. (2017b) Um 2700 v. Chr. – Wandel und Kontinuität in den Ufersiedlungen am Bielersee, Bd. 2. Bern.
- Suter, P. J./Francuz, J. (2017) Siedlungskammer Sutz-Lattrigen. In: Suter 2017a, 16–61.
- Swart-Poelman, J. M./Hasenfratz, A. (2006) Loch-äxte. In: Hasenfratz/Raemaekers 2006, 116–124.
- Tarot, J. (2000) Die bronzezeitlichen Lanzenspitzen der Schweiz unter Einbeziehung von Liechtenstein und Vorarlberg. Universitätsforschungen zur prähistorischen Archäologie 66. Bonn.
- Tegel, W. (2020) Pfähle und Baustrukturen aus der 2. Hälfte des 4. Jts. v. Chr. In: Benguerel/Brem/Ebersbach et al. 2020, 92–97.
- Théobald, N./Thiébaud, J./Bernatzky, M. (1974) Carte Géologique de la France à 1:50 000, Feuille 411: Giromagny, notice explicative. Bureau de recherches géologiques et minières. Orléans.
- Thévenin, A. (1961) Contribution à l'étude du Néolithique et du Chalcolithique de la région de Montbéliard et ses régions voisines. Les haches et les instruments en quartzite micacé. Bulletin de la Société d'Histoire Naturelle du Pays de Montbéliard, 62–73.
- Thirault, E. (2002) Le site néolithique de Bessans/Le Château (Savoie) et la question des armatures perçantes en roches tenaces polies dans les Alpes occidentales. In: H. Darteville (éd.), Actes de la cinquième session des Rencontres méridionales de Préhistoire récente. Auvergne et Midi. Actualité de la recherche, Clermont-Ferrand, 8–9 novembre 2002, Préhistoire du Sud-Ouest, Supplément 9. Cressensac, 421–444.
- Thirault, E. (2007) Les pointes polies alpines des IV^e et III^e millénaires av. J.-C.: caractérisation expérimentale de la chaîne opératoire de fabrication. Bulletin de la Société préhistorique française 104, 89–100.
- Thirault, E./Santallier, D./Véra, R. (1999) Les matériaux lithiques polis du Néolithique rhône-alpin: de la caractérisation à l'interprétation archéologique. In: A. Beeching (éd.), Circulations et identités culturelles alpines à la fin de la Préhistoire. Matériaux pour une étude (programme collectif CIRCALP 1997/1998). Travaux du Centre d'Archéologie Préhistorique de Valence 2. Valence, 259–296.
- Tite, M. S./Shortland, A. J. (Eds., 2008) Production Technology of Faience and Related Early Vitreous Materials. Oxford University School of Archaeology Monograph 72. Oxford.
- Tite, M. S./Shortland, A. J./Angelini, I. (2008) Faience Production in Northern and Western Europe. In: Tite/Shortland (Eds.) 2008, 129–146.
- Tite, M. S./Shortland, A. J./Vandiver, P. B. (2008) Raw Materials and Fabrication Methods used in the Production of Faience. In: Tite/Shortland (Eds.) 2008, 37–55.
- Tobler, Ch. (2002) Seeufersiedlungen. Erlenbach-Winkel. Grabung 1977/78. Zürcher Archäologie 7. Zürich/Egg.
- Torke, W./Königer, J. (2009) Die Ausgrabungen in der Siedlung Forschner. Stratigraphie, Baubefunde und Baustrukturen. In: Landesamt für Denkmalpflege Baden-Württemberg (Hrsg.) 2009, 71–360.
- Truffa Giachet, M./Gratuzé, B./Ozainne, S. et al. (2019) A Phoenician glass eye bead from 7th–5th c. cal BCE Nin-Bère 3, Mali: Compositional characterisation by LA-ICP-MS. Journal of Archaeological Science, Reports 24, 748–758.
- Trümpy, R. (2006) Geologie der Iberger Klippen und ihrer Flysch-Unterlage. Eclogae Geologicae Helveticae 99, 79–121.

Tsujimori, T./Harlow, G. E. (2012) Petrogenetic relationships between jadeite and associated high-pressure and low-temperature metamorphic rocks in worldwide jadeite localities: A review. *European Journal of Mineralogy* 24/2, 371–390.

Turner-Walker, G./Jans, M. (2008) Reconstructing taphonomic histories using histological analysis. *Palaeogeography, Palaeoclimatology, Palaeoecology* 266, 227–235.

Ulrich, R. (1890) *Catalog der Sammlungen der antiquarischen Gesellschaft in Zürich, I. Theil: Vorrömische Abtheilung*. Zürich.

Unz, Ch. (1982) Das spätbronzezeitliche Frauengrab aus Binningen BL. as. 5/4, 194–201.

Valentin, C./Bresson, L.-M. (1992) Morphology, genesis and classification of surface crusts in loamy and sandy soils. *Geoderma* 55, 225–245.

Valotteau, F./Pétrequin, P./Rossi, M. (2013) Lames polies néolithiques en roches noires vosgiennes. État de la question pour le Luxembourg et les régions limitrophes. *Bulletin de la Société Préhistorique Luxembourgeoise* 35, 115–203.

Vaquier, J./Briois, F. (éds.) 2006 *La fin de l'Âge de Pierre en Europe du Sud. Matériaux et productions lithiques taillées remarquables dans le Néolithique et le Chalcolithique du sud de l'Europe. Actes de la table ronde de l'Ehess, Carcassonne, 5–6 septembre 2003*. Toulouse.

Varberg, J./Gratuze, B./Kaul, F. et al. (2016) Mesopotamian glass from Late Bronze Age Egypt, Romania, Germany, and Denmark. *Journal of Archaeological Science* 74, 184–194.

Verkooijen, K. (2017) Report and Catalogue of the Amber found at Bernstorf, near Kranzberg, Freising district, Bavaria, Germany. *Jahresschrift für Mitteldeutsche Vorgeschichte* 96, 139–230.

Vettel, A. (1999) Die Entdeckung der blauen Glasur. In: Busz/Gercke (Hrsg.) 1999, 126–143.

Viollier, D./Reutter, L. (1916) Contribution à l'étude de l'ambre préhistorique. *Anzeiger für Schweizerische Altertumskunde* 18/3, 169–182.

Vogt, E. (1937) Geflechte und Gewebe der Steinzeit. *Monographien zur Ur- und Frühgeschichte der Schweiz. Antiqua* 1. Basel.

Vogt, S. (2000) Der spätneolithische/kupferzeitliche Siedlungsplatz Castaneda-Pian del Remit. In: Ph. Della Casa, Mesolcina praehistorica. Universitätsforschungen zur prähistorischen Archäologie 67. Egg, 97–111.

de Vries, P. (1997) Baltisches Gold aus Kauscha, Weisseritzkreis. *Archäologie aktuell im Freistaat Sachsen* 5, 120–124.

Wagner, B./Nowak, A./Bulska, E. et al. (2012) Critical assessment of the elemental composition of Corning archeological reference glasses by LA-ICP-MS. *Analytical and Bioanalytical Chemistry* 402/4, 1667–1677.

Walder, F. (2016a) Bericht Nr. 1816_A, Unterwasserarchäologie und Dendrochronologie (UWAD), Amt für Städtebau der Stadt Zürich (AFS). Unpubl. Bericht im Archiv Archäologie, ADA ZG, Ereignis 448.

Walder, F. (2016b) Bericht Nr. 1816_B, Unterwasserarchäologie und Dendrochronologie (UWAD), Amt für Städtebau der Stadt Zürich (AFS). Unpubl. Bericht im Archiv Archäologie, ADA ZG, Ereignis 448.

Walder, F. (2016c) Bericht Nr. 1816_C, Unterwasserarchäologie und Dendrochronologie (UWAD), Amt für Städtebau der Stadt Zürich (AFS). Unpubl. Bericht im Archiv Archäologie, ADA ZG, Ereignis 448.

Wang, Y./Rehren, Th./Tan, Y. et al. (2020) New evidence for the transcontinental spread of early faience. *Journal of Archaeological Science* 116, 105093. <https://doi.org/10.1016/j.jas.2020.105093>.

Wartke, R.-B. (1999) Quarzkeramik in Vorderasien. In: Busz/Gercke (Hrsg.) 1999, 52–65.

Weber, K./Schaeren, G. (2013) Kurzbericht Steinhäuser, Rigiblick, S-Bahnhaltestelle: Aushubbegleitung. *Tugium* 29, 44 f.

Weber, K./Huber, R./Schaeren, G. (2015) Kurzbericht Cham, Bibersee: Aushubbüberwachung, Rettungsgrabung. *Tugium* 31, 33–35.

Weber, K./Lüdin, B./Schaeren, G. (2014) Kurzbericht Hünenberg ZG, Dersbachstrasse 61. *JbAS* 97, 200 f.

Weber, M. (2016) Horgener Keramik. In: Harb/Bleicher (Hrsg.) 2016, 20–57.

Weber, R. (2009) Hochhausbebauung «Alpenblick II», Parzelle Nr. 2312, Cham. Baugrunduntersuchung, Kapitel 5: Geologie und Wasserverhältnisse. Bericht Nr. 8916-2, Geotechnisches Büro Dr. von Moos AG Zürich vom 1. Juli 2009. Unpubl. Bericht im Archiv Archäologie, ADA ZG, Ereignis 448.

Wedepohl, K. H. (2003) *Glas in Antike und Mittelalter. Geschichte eines Werkstoffs*. Stuttgart.

Wedepohl, K. H./Simon, K. (2010) The chemical composition of medieval wood ash glass from Central Europe. *Chemie der Erde* 70, 89–97.

Weibel, V. (2012) *Schwyz Namenbuch. Die Orts- und Flurnamen des Kantons Schwyz, Bd. 3: He–Pi. Schwyz*.

Weiner, J. (2012) Feuerschlagsteine und Feuerzeugung. In: Floss (Hrsg.) 2012, 943–960.

Weiss, R.-M. (1998) Ein Grabfund der frühen Bronzezeit aus Mangolding, Lkr. Regensburg. Ein Beitrag zum frühesten Glas in Mitteleuropa. *Beiträge zur Archäologie der Oberpfalz* 2, 225–240.

Weiss, St. (2005) Bernstein aus der Schweiz. *Lapis* 30/5, 16–19, 50.

Weitschat, W. (1997) Bernstein in der Deutschen Bucht und in Jütland auf 3., 4., 5. oder 6. Lagerstätte. In: Ganzelewski/Slota (Hrsg.) 1997, 77–82.

Widmer, A. B. (2012) Die Siedlungsreste aus dem jüngeren Neolithikum von Zug-Vorstadt, Rettungsgrabungen 1991. *JbAS* 95, 35–76.

Widmer, A. B./Boschetti-Maradi, T. (2012) Nadeln aus Pitten. Zur Typologie und Chronologie der Mittelbronzezeit. In: Boschetti-Maradi/de Capitani/Hochuli et al. (Hrsg.) 2012, 147–158.

Wiemann, Ph. (2016) Mikromorphologische Untersuchungen zu syn- und postsedimentären Veränderungen sowie Auflassungsprozessen an Schichtsequenzen in prähistorischen Seeufersiedlungen. Unpubl. Dissertation an der Universität Basel. Basel. <https://edoc.unibas.ch/42531>.

Wiemann, Ph./Kühn, M./Heitz-Weniger, A. et al. (2012) Zurich-Alpenquai: a multidisciplinary approach to the chronological development of a Late Bronze Age lakeside settlement in the northern Circum-Alpine Region. *Journal of Wetland Archaeology* 12, 58–85.

Willms, Ch. (1980) Die Felsgesteinsartefakte der Cortaillod-Schichten. Die neolithischen Ufersiedlungen von Twann, Bd. 9. Schriftenreihe der Erziehungsdirektion des Kantons Bern. Bern.

Winet, I. (2014) Die Keramikensembles und ihre Bedeutung. In: C. Schucany/I. Winet, Schmiede – Heiligtum – Wassermühle. Cham-Hagendorn (Kanton Zug) in römischer Zeit. Grabungen 1944/45 und 2003/04. *Antiqua* 52. Basel, 266–276.

Winiger, A. (2012a) Le site et la séquence du Bronze ancien. In: Winiger/Burri-Wyser (Hrsg.) 2012, 11–33.

Winiger, A. (2012b) Architecture des villages. In: Winiger/Burri-Wyser (Hrsg.) 2012, 35–135.

Winiger, A. (2016) Einheitlich und durchgeplant. Architektonische Entwicklungen in den Seeufersiedlungen von Concise-Sous Colachoz. In: Archäologisches Landesmuseum Baden-Württemberg/Landesamt für Denkmalpflege Baden-Württemberg (Hrsg.) 2016, 232–234.

Winiger, A. (2019) Les stations lacustres de Clendy à Yverdon-les-Bains (Vaud, Suisse): contexte environnemental, datations, stratigraphie et structures architecturales. CAR 174. Lausanne.

Winiger, A./Burri-Wyser, E. (Hrsg., 2012) *La station lacustre de Concise 5. Les villages du Bronze ancien: architecture et mobilier*. CAR 135. Lausanne.

Winiger, J. (1981) Feldmeilen Vorderfeld. Der Übergang von der Pfyn zur Horgener Kultur. *Antiqua* 8. Frauenfeld.

Winiger, J. (1993) Dendrodatierte Schnurkeramik in der Schweiz. *Praehistorica* 20. Praha, 9–118.

Winiger, S./Kempf, U. (2018) Renaturierung Alte Lorze, Baar/Zug. Abschnitt Schochenmühle bis Steinhäuserbrücke. Gewässer Nr. 1045. Schwerpunkte Natur und Erholungsnutzung. Bauprojekt. Ungedruckter Technischer Bericht. Baudirektion – Tiefbauamt – Wasserbau und baulicher Gewässerschutz, Kanton Zug 40. Zug. <https://docplayer.org/81818059-Renaturierung-alte-lorze-baar-zug.html> (aufgerufen 29.9.2022).

Wolf, C. (1992) Schnurkeramik und Civilisation Saône-Rhône in der Westschweiz: ein Beispiel für die Auseinandersetzung zwischen einer lokalen und einer überregionalen Kulturercheinung. In: Ch. Strahlm/H. Buchvaldek (Hrsg.), *Die kontinentaleuropäischen Gruppen der Kultur mit Schnurkeramik. Schnurkeramik Symposium* (1990). *Praehistorica* 19. Praha, 187–198.

Wolf, C. (1993) Die Seeufersiedlung Yverdon, Avenue des Sports (Kanton Waadt). Eine kulturgeschichtliche und chronologische Studie zum Endneolithikum der Westschweiz und angrenzender Gebiete. *Freiburger Archäologische Studien* 1, Forschungen aus dem Institut für Ur- und Frühgeschichte der Universität Freiburg im Breisgau. CAR 59. Lausanne.

Woltermann, G. (2014) Bernsteinschmuckproduktion in der Hügelgräberbronzezeit. In: Nessel/Heske/Brandherm (Hrsg.) 2014, 74–86.

Woltermann, G. (2016) Die prähistorischen Bernsteinartefakte aus Deutschland vom Paläolithikum bis zur Bronzezeit. *Methodische Forschungen zu Lagerstättengeneese, Distributionsstrukturen und sozioökonomischem Kontext. Universitätsforschungen zur Prähistorischen Archäologie* 290. Bonn.

Wunderlich, Ch.-H. (2017) Studien zur Verwitterung und Fluoreszenz von Succinit («Baltischer Bernstein»). *Jahresschrift für Mitteldeutsche Vorgeschichte* 96, 231–246.

Wyss, R. (1986) Die Urseren-Zone. Lithostratigraphie und Tektonik. *Eclogae Geologicae Helveticae* 79/3, 731–767.

Xia, N. (2014) *Ancient Egyptian Beads*. Berlin/Heidelberg.

Zápotocký, M. (1992) Streitaxte des mitteleuropäischen Äneolithikums. Quellen und Forschungen zur prähistorischen und provinzialrömischen Archäologie 6. Weinheim.

Zehnder, K. (2016) Geologie. In: Harb/Bleicher (Hrsg.) 2016, 88–91.

3 Abbildungsnachweise

3.1 Textabbildungen Band 1

- 1: Kartenhintergrund Luftbild Bundesamt für Landestopografie swisstopo. Überarb. ADA ZG, Eva Kläui.
- 2: Kartenhintergrund Grundstückskatasterplan des Amts für Grundbuch und Geoinformation des Kantons Zug. Überarb. ADA ZG, Eva Kläui.
- 3: Flying camera, Beat Krähenbühl. Überarb. ADA ZG, Eva Kläui.
- 4: Kartenhintergrund Luftbild Bundesamt für Landestopografie swisstopo. Überarb. ADA ZG, Eva Kläui.
- 5: ADA ZG, Archiv Archäologie, Ereignis 1026, S.13. Überarb. ADA ZG, Eva Kläui.
- 6: Bundesamt für Landestopografie swisstopo, Luftbild Bildnummer 19310550011414. Überarb. ADA ZG, Eva Kläui.
- 7, 8: Foto ADA ZG, Daniel Möckli. Überarb. ADA ZG, Eva Kläui.
- 9: ADA ZG, Silvia Hlavová. Überarb. ADA ZG, Eva Kläui.
- 10: Bundesamt für Landestopografie swisstopo, Luftbild Bildnummer 19420370010489. Überarb. ADA ZG, Eva Kläui.
- 11: ADA ZG, Archiv Archäologie, Ereignis 1026, S.17. Überarb. ADA ZG, Eva Kläui.
- 12, 13: Luftbild Amt für Grundbuch und Geoinformation des Kantons Zug. Überarb. ADA ZG, Eva Kläui.
- 14: Flying camera, Beat Krähenbühl. Überarb. ADA ZG, Eva Kläui.
- 15–17: ADA ZG, Silvia Hlavová. Überarb. ADA ZG, Eva Kläui.
- 18: ADA ZG, Annick de Capitani.
- 19: ADA ZG, Silvia Hlavová. Überarb. ADA ZG, Eva Kläui.
- 20: ADA ZG, Jochen Reinhard. Überarb. ADA ZG, Eva Kläui.
- 21, 22: ADA ZG, David Jecker. Überarb. ADA ZG, Eva Kläui.
- 23: ADA ZG, Jochen Reinhard. Überarb. ADA ZG, Eva Kläui.
- 24: ADA ZG, Daniel Möckli. Überarb. ADA ZG, Eva Kläui.
- 25, 26: ADA ZG, Silvia Hlavová. Überarb. ADA ZG, Eva Kläui.
- 27: ADA ZG, Daniel Möckli. Überarb. ADA ZG, Eva Kläui.
- 28: ADA ZG, Gishan Schaeren. Überarb. ADA ZG, Eva Kläui.
- 29, 30: ADA ZG, Daniel Möckli. Überarb. ADA ZG, Eva Kläui.
- 31: ADA ZG, Anna Kienholz. Überarb. ADA ZG, Eva Kläui.
- 32–35: ADA ZG, Silvia Hlavová. Überarb. ADA ZG, Eva Kläui.
- 36: Kartenhintergrund Bundesamt für Landestopografie swisstopo. Überarb. ADA ZG, Eva Kläui.
- 37: ADA ZG, Silvia Hlavová. Überarb. ADA ZG, Eva Kläui.
- 38: ADA ZG, Jochen Reinhard. Überarb. ADA ZG, Eva Kläui.
- 39: ADA ZG, Silvia Hlavová. Überarb. ADA ZG, Eva Kläui.
- 40: ADA ZG, Eva Kläui.
- 41: ADA ZG, Annick de Capitani.
- 42–44: ADA ZG, Silvia Hlavová. Überarb. ADA ZG, Eva Kläui.
- 45: ADA ZG, David Jecker. Überarb. ADA ZG, Eva Kläui.
- 46: ADA ZG, Daniel Möckli. Überarb. ADA ZG, Eva Kläui.
- 47: ADA ZG, Jochen Reinhard. Überarb. ADA ZG, Eva Kläui.
- 48: ADA ZG, Silvia Hlavová. Überarb. ADA ZG, Eva Kläui.
- 49: ADA ZG, Jochen Reinhard. Überarb. ADA ZG, Eva Kläui.
- 50–53: ADA ZG, Silvia Hlavová. Überarb. ADA ZG, Eva Kläui.
- 54: ADA ZG, Jochen Reinhard. Überarb. ADA ZG, Eva Kläui.
- 55: ADA ZG, Daniel Möckli. Überarb. ADA ZG, Eva Kläui.
- 56: ADA ZG, Silvia Hlavová. Überarb. ADA ZG, Eva Kläui.
- 57, 58: ADA ZG, Daniel Möckli. Überarb. ADA ZG, Eva Kläui.
- 59: ADA ZG, Oliver Dillier. Überarb. ADA ZG, Eva Kläui.
- 60: ADA ZG, David Jecker. Überarb. ADA ZG, Eva Kläui.
- 61: ADA ZG, Daniel Möckli. Überarb. ADA ZG, Eva Kläui.
- 62: ADA ZG, Silvia Hlavová. Überarb. ADA ZG, Eva Kläui.
- 63: ADA ZG, David Jecker. Überarb. ADA ZG, Eva Kläui.
- 64: ADA ZG, Jochen Reinhard. Überarb. ADA ZG, Eva Kläui.
- 65: ADA ZG, David Jecker. Überarb. ADA ZG, Eva Kläui.
- 66: ADA ZG, Jochen Reinhard. Überarb. ADA ZG, Eva Kläui.

67: ADA ZG, Eva Kläui.
68: ADA ZG, Daniel Möckli. Überarb. ADA ZG, Eva Kläui.
69: ADA ZG, Silvia Hlavová. Überarb. ADA ZG, Eva Kläui.
70, 71: ADA ZG, David Jecker. Überarb. ADA ZG, Eva Kläui.
72–76: ADA ZG, Silvia Hlavová. Überarb. ADA ZG, Eva Kläui.
77, 78: ADA ZG, Daniel Möckli. Überarb. ADA ZG, Eva Kläui.
79–81: ADA ZG, David Jecker. Überarb. ADA ZG, Eva Kläui.
82: ADA ZG, Silvia Hlavová. Überarb. ADA ZG, Eva Kläui.
83: ADA ZG, Jochen Reinhard. Überarb. ADA ZG, Eva Kläui.
84: ADA ZG, Daniel Möckli. Überarb. ADA ZG, Eva Kläui.
85: ADA ZG, Simon Jeanloz. Überarb. ADA ZG, Eva Kläui.
86: ADA ZG, Daniel Möckli. Überarb. ADA ZG, Eva Kläui.
87–89: ADA ZG, Silvia Hlavová. Überarb. ADA ZG, Eva Kläui.
90: ADA ZG, Jochen Reinhard. Überarb. ADA ZG, Eva Kläui.
91: ADA ZG, David Jecker. Überarb. ADA ZG, Eva Kläui.
92: ADA ZG, Jochen Reinhard. Überarb. ADA ZG, Eva Kläui.
93: ADA ZG, Silvia Hlavová. Überarb. ADA ZG, Eva Kläui.
94: ADA ZG, Daniel Möckli. Überarb. ADA ZG, Eva Kläui.
95, 96: ADA ZG, Jochen Reinhard. Überarb. ADA ZG, Eva Kläui.
97: ADA ZG, Daniel Möckli. Überarb. ADA ZG, Eva Kläui.
98: ADA ZG, David Jecker. Überarb. ADA ZG, Eva Kläui.
99–101: ADA ZG, Eva Kläui.
102: ADA ZG, Daniel Möckli. Überarb. ADA ZG, Eva Kläui.
103: Grundlagen swisstopo DHM25/geologische Karte (Geologischer Atlas der Schweiz, Blatt 1131, Ottiger/Freimoser/Jäckli et al. 1990), IPNA, Reto Jagher. Überarb. ADA ZG, Eva Kläui.
104: Foto IPNA, Kristin Ismail-Meyer. Überarb. ADA ZG, Eva Kläui.
105: ADA ZG, Silvia Hlavová. Überarb. ADA ZG, Eva Kläui.
106: Foto IPNA, Christine Pümpin. Überarb. ADA ZG, Eva Kläui.
107: ADA ZG, Annick de Capitani.
108: Grafik IPNA, Christine Pümpin. Überarb. ADA ZG, Silvia Hlavová/Eva Kläui.
109: Grafik IPNA, Christine Pümpin. Überarb. ADA ZG, Eva Kläui.
110: Foto IPNA, Christine Pümpin. Überarb. ADA ZG, Eva Kläui.
111: Grafik IPNA, Christine Pümpin. Überarb. ADA ZG, Silvia Hlavová/Eva Kläui.
112: ADA ZG, Daniel Möckli. Überarb. ADA ZG, Eva Kläui.
113: UWAD, AFS Zürich, Niels Bleicher.
114–117: UWAD, AFS Zürich, Niels Bleicher. Überarb. ADA ZG, Eva Kläui.
118: ADA ZG, Renata Huber/UWAD, AFS Zürich, Niels Bleicher. Überarb. ADA ZG, Eva Kläui.
119, 120: UWAD, AFS Zürich, Niels Bleicher. Überarb. ADA ZG, Eva Kläui.
121: UWAD, AFS Zürich, Niels Bleicher.
122: UWAD, AFS Zürich, Niels Bleicher. Überarb. ADA ZG, Eva Kläui.
123: UWAD, AFS Zürich, Niels Bleicher.
124: UWAD, AFS Zürich, Niels Bleicher. Überarb. ADA ZG, Eva Kläui.
125: UWAD, AFS Zürich, Niels Bleicher.
126: UWAD, AFS Zürich, Niels Bleicher. Überarb. ADA ZG, Eva Kläui.
127: UWAD, AFS Zürich, Niels Bleicher.
128–152: UWAD, AFS Zürich, Niels Bleicher. Überarb. ADA ZG, Eva Kläui.
153: ADA ZG, Eva Kläui.
154–156: ADA ZG, Silvia Hlavová. Überarb. ADA ZG, Eva Kläui.
157: ADA ZG, Annick de Capitani.
158, 159: ADA ZG, Silvia Hlavová. Überarb. ADA ZG, Eva Kläui.
160: Foto ADA ZG, Res Eichenberger. Überarb. ADA ZG, Eva Kläui.
161: ADA ZG, Silvia Hlavová. Überarb. ADA ZG, Eva Kläui.
162: ADA ZG, Annick de Capitani.
163–170: ADA ZG, Silvia Hlavová. Überarb. ADA ZG, Eva Kläui.
171: Foto ADA ZG, Res Eichenberger. Überarb. ADA ZG, Eva Kläui.
172, 173: ADA ZG, Annick de Capitani.
174: ADA ZG, Silvia Hlavová. Überarb. ADA ZG, Eva Kläui.
175: ADA ZG, Daniel Möckli. Überarb. ADA ZG, Eva Kläui.
176: ADA ZG, Jochen Reinhard. Überarb. ADA ZG, Eva Kläui.
177: ADA ZG, Annick de Capitani. Überarb. ADA ZG, Eva Kläui.
178: William Clements, Kantonsarchäologie Luzern. Überarb. ADA ZG, Eva Kläui.
179–184: ADA ZG, Silvia Hlavová. Überarb. ADA ZG, Eva Kläui.
185–187: Foto ADA ZG, Res Eichenberger. Überarb. ADA ZG, Eva Kläui.
188–194: ADA ZG, Silvia Hlavová. Überarb. ADA ZG, Eva Kläui.
195: ADA ZG, Benedikt Lüdin. Überarb. ADA ZG, Eva Kläui.
196: ADA ZG, Jochen Reinhard. Überarb. ADA ZG, Eva Kläui.
197: ADA ZG, Renata Huber.
198: ADA ZG, Res Eichenberger. Überarb. ADA ZG, Eva Kläui.
199: ADA ZG, Renata Huber.
200: ADA ZG, Renata Huber. Überarb. ADA ZG, Eva Kläui.
201: ADA ZG, Renata Huber.
202: ADA ZG, Renata Huber (Kartenhintergrund digitales Geländemodell des Amtes für Grundbuch und Geoinformation des Kantons Zug auf Grundlage einer LiDAR-Befliegung von 2013, 10-m-Raster; dargestellt ist eine Überlagerung von Schummerung und sky view factor). Überarb. ADA ZG, Eva Kläui.
203: ADA ZG, Renata Huber. Überarb. ADA ZG, Eva Kläui.
204: Tableaux topographiques, pittoresques, physiques, historiques, moraux, politiques, littéraires, de la Suisse. A Paris : de l'Imprimerie de Clousier, MDCCLXXX–MDCCLXXXVI [1780–1786]. ETH-Bibliothek Zürich, Rar 10120, <https://doi.org/10.3931/e-rara-35769> / Public Domain Mark, S. 1278. Überarb. ADA ZG, Eva Kläui.
205: Kantonsarchäologie Zürich, Simon Vogt. Überarb. ADA ZG, Eva Kläui.
206: ADA ZG, Miriam Winteregg. Überarb. ADA ZG, Eva Kläui.
207: ADA ZG, Christian Regg. Überarb. ADA ZG, Eva Kläui.
208: ADA ZG, Renata Huber (digitales Geländemodell des Amtes für Grundbuch und Geoinformation des Kantons Zug auf Grundlage einer LiDAR-Befliegung von 2013, 10-m-Raster). Überarb. ADA ZG, Eva Kläui.
209: ADA ZG, Renata Huber.
210: Renata Huber. Überarb. ADA ZG, Eva Kläui.
211, 212: ADA ZG, Jochen Reinhard. Überarb. ADA ZG, Eva Kläui.
213: ADA ZG, Dino Zimmermann. Überarb. ADA ZG, Eva Kläui.
214: ADA ZG, Silvia Hlavová. Überarb. ADA ZG, Eva Kläui.
215: ADA ZG, Daniel Möckli. Überarb. ADA ZG, Eva Kläui.
216: ADA ZG, Res Eichenberger. Überarb. ADA ZG, Eva Kläui.
217: UWAD, AFS Zürich, Felix Walder.
218: ADA ZG, Archiv Denkmalpflege, Sammlung Walter Nigg, Bild ID 109960, Bildautor unbekannt. Überarb. ADA ZG, Eva Kläui.
219: ADA ZG, Daniel Möckli. Überarb. ADA ZG, Eva Kläui.
220: ADA ZG, David Jecker. Überarb. ADA ZG, Eva Kläui.
221: ADA ZG, Silvia Hlavová. Überarb. ADA ZG, Eva Kläui.
222: ADA ZG, Jochen Reinhard. Überarb. ADA ZG, Eva Kläui.
223: ADA ZG, Daniel Möckli. Überarb. ADA ZG, Eva Kläui.

224: ADA ZG, Jochen Reinhard. Überarb. ADA ZG, Eva Kläui.
225: ADA ZG, David Jecker. Überarb. ADA ZG, Eva Kläui.
226: UWAD, AFS Zürich, Felix Walder.
227: ADA ZG, Daniel Möckli. Überarb. ADA ZG, Eva Kläui.
228: ADA ZG, Jochen Reinhard. Überarb. ADA ZG, Eva Kläui.
229: ADA ZG, Res Eichenberger. Überarb. ADA ZG, Eva Kläui.
230: Labor für quartäre Hölzer, Langnau am Albis, Werner H. Schoch.
231: UWAD, AFS Zürich, Felix Walder.

3.2 Textabbildungen Band 2

1: ADA ZG, Silvia Hlavová. Überarb. ADA ZG, Eva Kläui.
2, 3: ADA ZG, Eva Kläui.
4–7: ADA ZG, Silvia Hlavová. Überarb. ADA ZG, Eva Kläui.
8–11: ADA ZG, Annick de Capitani.
12–15: ADA ZG, Res Eichenberger. Überarb. ADA ZG, Eva Kläui.
16–22: ADA ZG, Annick de Capitani.
23: Stumme Europakarte Kantonsarchäologie Zürich. Überarb. ADA ZG, Eva Kläui.
24: ADA ZG, Res Eichenberger. Überarb. ADA ZG, Eva Kläui.
25: 1–3: Primas 1979, Abb. 9, 27, 28; 10, 34; 4–6: ADA ZG, Eva Kläui. Zusammenstellung ADA ZG, Eva Kläui.
26, 27: ADA ZG, Annick de Capitani.
28–38: ADA ZG, Res Eichenberger. Überarb. ADA ZG, Eva Kläui.
39: ADA ZG, Annick de Capitani.
40: 1: Dresely 2004, Taf. 12, 8; 2, 3: ADA ZG, Eva Kläui. Zusammenstellung ADA ZG, Eva Kläui.
41–51: ADA ZG, Annick de Capitani.
52: ADA ZG, Silvia Hlavová. Überarb. ADA ZG, Eva Kläui.
53: Stumme Europakarte Kantonsarchäologie Zürich. Überarb. ADA ZG, Eva Kläui.
54–62: ADA ZG, Annick de Capitani.
63: ADA ZG, Eva Kläui.
64, 65: ADA ZG, Annick de Capitani.
66–71: ADA ZG, Res Eichenberger. Überarb. ADA ZG, Eva Kläui.
72: ADA ZG, Silvia Hlavová. Überarb. ADA ZG, Eva Kläui.
73–86: ADA ZG, Res Eichenberger. Überarb. ADA ZG, Eva Kläui.
87: ADA ZG, Silvia Hlavová. Überarb. ADA ZG, Eva Kläui.
88–100: ADA ZG, Annick de Capitani.
101, 102: ADA ZG, Silvia Hlavová. Überarb. ADA ZG, Eva Kläui.
103: Stumme Europakarte Kantonsarchäologie Zürich. Überarb. ADA ZG, Eva Kläui.
104–113: ADA ZG, Annick de Capitani.
114: ADA ZG, Eva Kläui.
115: ADA ZG, Annick de Capitani.
116: ADA ZG, Silvia Hlavová. Überarb. ADA ZG, Eva Kläui.
117–119: ADA ZG, Anna Barbara Widmer.
120–122: ADA ZG, Res Eichenberger. Überarb. ADA ZG, Eva Kläui.
123–128: ADA ZG, Anna Barbara Widmer.
129: ADA ZG, Res Eichenberger. Überarb. ADA ZG, Eva Kläui.
130, 131: ADA ZG, Anna Barbara Widmer.
132: ADA ZG, Salvatore Pungitore/Christine Rungger. Überarb. ADA ZG, Eva Kläui.
133–136: ADA ZG, Anna Barbara Widmer.
137–142: ADA ZG, Res Eichenberger. Überarb. ADA ZG, Eva Kläui.
143: ADA ZG, Maria Ellend Wittwer. Überarb. ADA ZG, Eva Kläui.
144–146: ADA ZG, Res Eichenberger. Überarb. ADA ZG, Eva Kläui.
147, 148: ADA ZG, Silvia Hlavová. Überarb. ADA ZG, Eva Kläui.

149, 150: ADA ZG, Anna Barbara Widmer.
151, 152: ADA ZG, Silvia Hlavová. Überarb. ADA ZG, Eva Kläui.
153, 154: ADA ZG, Anna Barbara Widmer.
155–158: ADA ZG, Res Eichenberger. Überarb. ADA ZG, Eva Kläui.
159: ADA ZG, Anna Barbara Widmer.
160: ADA ZG, Res Eichenberger. Überarb. ADA ZG, Eva Kläui.
161: ADA ZG, Anna Barbara Widmer.
162: ADA ZG, Silvia Hlavová. Überarb. ADA ZG, Eva Kläui.
163–165: ADA ZG, Anna Barbara Widmer.
166–170: ADA ZG, Res Eichenberger. Überarb. ADA ZG, Eva Kläui.
171, 172: ADA ZG, Anna Barbara Widmer.
173–176: ADA ZG, Res Eichenberger. Überarb. ADA ZG, Eva Kläui.
177: ADA ZG, Anna Barbara Widmer.
178–184: ADA ZG, Res Eichenberger. Überarb. ADA ZG, Eva Kläui.
185: NMBE, Thomas Burri. ADA ZG, Anna Barbara Widmer.
186: NMBE, Thomas Burri. Überarb. ADA ZG, Eva Kläui.
187: NMBE, Thomas Burri/Fachstelle für Sekundärrohstoffe, Institut für Geologie, Universität Bern, Urs Eggenberger. Überarb. ADA ZG, Eva Kläui.
188: Topographische Kartengrundlage Bundesamt für Landestopographie, Vergleichsicherungskarte: Bundesamt für Landestopographie und Bini/Buoncrisiani/Couterrand et al. 2009. Überarb. NMBE, Thomas Burri/ADA ZG, Eva Kläui.
189: NMBE, Thomas Burri. Überarb. ADA ZG, Eva Kläui.
190, 191: NMBE, Thomas Burri/Fachstelle für Sekundärrohstoffe, Institut für Geologie, Universität Bern, Urs Eggenberger. Überarb. ADA ZG, Eva Kläui.
192: NMBE, Thomas Burri. Überarb. ADA ZG, Eva Kläui.
193–197: NMBE, Thomas Burri/Fachstelle für Sekundärrohstoffe, Institut für Geologie, Universität Bern, Urs Eggenberger. Überarb. ADA ZG, Eva Kläui.
198: Grundlagen Bundesamt für Landestopographie. Überarb. NMBE, Thomas Burri/ADA ZG, Eva Kläui.
199: ADA ZG, Anna Kienholz.
200: ADA ZG, Anna Kienholz/Silvia Hlavová. Überarb. ADA ZG, Eva Kläui.
201–203: ADA ZG, Anna Kienholz.
204: ADA ZG, Anna Kienholz/Silvia Hlavová. Überarb. ADA ZG, Eva Kläui.
205, 206: ADA ZG, Anna Kienholz.
207: Stumme Europakarte Kantonsarchäologie Zürich. Überarb. ADA ZG, Anna Kienholz/Eva Kläui.
208: ADA ZG, Res Eichenberger. Überarb. ADA ZG, Eva Kläui.
209–218: ADA ZG, Anna Kienholz.
219: ADA ZG, Res Eichenberger. Überarb. ADA ZG, Eva Kläui.
220–222: ADA ZG, Anna Kienholz.
223–225: ADA ZG, Res Eichenberger. Überarb. ADA ZG, Eva Kläui.
226, 227: ADA ZG, Anna Kienholz.
228–230: ADA ZG, Res Eichenberger. Überarb. ADA ZG, Eva Kläui.
231: ADA ZG, Sabina Nüssli Bouzid/Christine Rungger. Überarb. ADA ZG, Eva Kläui.
232, 233: ADA ZG, Res Eichenberger. Überarb. ADA ZG, Eva Kläui.
234: ADA ZG, Sabina Nüssli Bouzid/Christine Rungger. Überarb. ADA ZG, Eva Kläui.
235: Eberli/Altorf 2009, Abb. 3. Überarb. ADA ZG, Eva Kläui.
236: ADA ZG, Sabina Nüssli Bouzid/Christine Rungger. Überarb. ADA ZG, Eva Kläui.
237: ADA ZG, Res Eichenberger. Überarb. ADA ZG, Eva Kläui.
238: ADA ZG, Sabina Nüssli Bouzid/Christine Rungger. Überarb. ADA ZG, Eva Kläui.

239–241: ADA ZG, Anna Kienholz/Silvia Hlavová. Überarb. ADA ZG, Eva Kläui.
 242–249: ADA ZG, Anna Kienholz.
 250: ADA ZG, Res Eichenberger. Überarb. ADA ZG, Eva Kläui.
 251–254: ADA ZG, Annick de Capitani.
 255: ADA ZG, Silvia Hlavová. Überarb. ADA ZG, Eva Kläui.
 256: ADA ZG, Res Eichenberger. Überarb. ADA ZG, Eva Kläui.
 257: ADA ZG, Annick de Capitani.
 258: ADA ZG, Silvia Hlavová. Überarb. ADA ZG, Eva Kläui.
 259: Pläne ADA ZG, Kerstin Staub/Georg Hänni. Überarb. ADA ZG, Eva Kläui.
 260: ADA ZG, Silvia Hlavová. Überarb. ADA ZG, Eva Kläui.
 261: Pläne ADA ZG, Kerstin Staub/Anna Kienholz. Überarb. ADA ZG, Eva Kläui.
 262: ADA ZG, Silvia Hlavová. Überarb. ADA ZG, Salvatore Pungitore/Eva Kläui.
 263–265: ADA ZG, Res Eichenberger. Überarb. ADA ZG, Eva Kläui.
 266: Strahm 1971, Abb. 36. Überarb. ADA ZG, Salvatore Pungitore.
 267: Kartengrundlage Kantonsarchäologie Zürich. Fundpunkte Fontbouisse-Dolche nach Pétrequin/Pétrequin 2021b, fig. 1524. Lokalisierung der Minengebiete nach Mille/Artioli 2017. Überarb. ADA ZG, Salvatore Pungitore/Eva Kläui.
 268: ADA ZG, Eda Gross/Gishan F. Schaeren.
 269: Grafik vereinfacht nach Gross/van Willigen/Villa et al. 2021, 180, fig. 20. Überarb. ADA ZG, Salvatore Pungitore/Eva Kläui.
 270, 271: ADA ZG, Stefan Hochuli.
 272–277: ADA ZG, Res Eichenberger. Überarb. ADA ZG, Eva Kläui.
 278: ADA ZG, Res Eichenberger. Überarb. ArchoTex, Antoinette Rast-Eicher/ADA ZG, Eva Kläui.
 279, 280: ArchoTex, Antoinette Rast-Eicher. Überarb. ADA ZG, Eva Kläui.
 281–290: ADA ZG, Res Eichenberger. Überarb. ADA ZG, Eva Kläui.
 291, 292: ADA ZG, Eva Kläui.
 293, 294: ADA ZG, Silvia Hlavová. Überarb. ADA ZG, Eva Kläui.
 295: ADA ZG, Res Eichenberger. Überarb. ADA ZG, Eva Kläui.
 296, 297: ADA ZG, Markus Binggeli. Überarb. ADA ZG, Eva Kläui.
 298: ADA ZG, Res Eichenberger. Überarb. ADA ZG, Eva Kläui.
 299: ADA ZG, Silvia Hlavová. Überarb. ADA ZG, Eva Kläui.
 300: ADA ZG, Maria Ellend Wittwer. Überarb. ADA ZG, Eva Kläui.
 301: Rathgen-Forschungslabor Berlin, Regine-Ricarda Pausewein/Ina Reiche. Überarb. ADA ZG, Eva Kläui.
 302: ADA ZG, Res Eichenberger. Überarb. ADA ZG, Eva Kläui.
 303: ADA ZG, Silvia Hlavová. Überarb. ADA ZG, Eva Kläui.
 304: ADA ZG, Jochen Reinhard. Überarb. ADA ZG, Eva Kläui.
 305: LDA Thüringen, Oliver Mecking.
 306: LDA Thüringen, Oliver Mecking.
 307–315: LDA Thüringen, Oliver Mecking. Überarb. ADA ZG, Eva Kläui.
 316: Anatex, Fabienne Médard.
 317: Fotos ADA ZG, Maria Ellend Wittwer. Überarb. ADA ZG, Eva Kläui.
 318: Fotos Anatex, Fabienne Médard, IS2M-UHA/CNRS, Stephan Knopf. Überarb. ADA ZG, Eva Kläui.
 319, 320: Anatex, Fabienne Médard.
 321: Abbildung nach Rast-Eicher/Dietrich 2015, Abb. 182. Überarb. ADA ZG, Eva Kläui.
 322: Schema Anatex, Fabienne Médard. Foto ADA ZG, Maria Ellend Wittwer. Überarb. ADA ZG, Eva Kläui.
 323: Anatex, Fabienne Médard.
 324: Schema ADA ZG, Silvia Hlavová, Fotos ADA ZG, Maria

Ellend Wittwer. Überarb. ADA ZG, Eva Kläui.
 325: Schema Anatex, Fabienne Médard, Foto ADA ZG, Maria Ellend Wittwer. Überarb. ADA ZG, Eva Kläui.
 326: Abbildung nach Mead 1968, pl. 21. Überarb. ADA ZG, Eva Kläui.
 327: KMUZ, Ulrich Eberli.
 328–331: KMUZ, Res Eichenberger. Überarb. ADA ZG, Eva Kläui.
 332: KMUZ, Ulrich Eberli.
 333–338: KMUZ, Res Eichenberger. Überarb. ADA ZG, Eva Kläui.
 339: KMUZ, Ulrich Eberli.
 340–343: KMUZ, Res Eichenberger. Überarb. ADA ZG, Eva Kläui.
 344: KMUZ, Ulrich Eberli.
 345, 346: KMUZ, Res Eichenberger. Überarb. ADA ZG, Eva Kläui.

3.3 Anhang

Anhang 1: ADA ZG, Annick de Capitani.
 Anhang 2: IPNA, Kristin Ismail-Meyer.
 Anhang 3: IPNA, Kristin Ismail-Meyer.
 Anhang 4: UWAD, AfS Zürich, Niels Bleicher. Überarb. ADA ZG, Eva Kläui.
 Anhang 5: UWAD, AfS Zürich, Niels Bleicher. Überarb. ADA ZG, Eva Kläui.
 Anhang 6: UWAD, AfS Zürich, Niels Bleicher.
 Anhang 7: UWAD, AfS Zürich, Niels Bleicher. Überarb. ADA ZG, Eva Kläui.
 Anhang 8: UWAD, AfS Zürich, Niels Bleicher.
 Anhang 9: Ar-Geo-Lab, Neuchâtel, Jehanne Affolter. Überarb. ADA ZG, Eva Kläui.
 Anhang 10, 11: ADA ZG, Stefan Hochuli.
 Online-Anhang 1: IPNA, Kristin Ismail-Meyer, Christine Pümpin.
 Online-Anhang 2: UWAD, AfS Zürich, Niels Bleicher.
 Online-Anhang 3: UWAD, AfS Zürich, Niels Bleicher. Überarb. ADA ZG, Eva Kläui.
 Online-Anhang 4: ADA ZG, Renata Huber.
 Online-Anhang 5: ADA ZG, Renata Huber.
 Online-Anhang 6: NMBE, Thomas Burri.
 Online-Anhang 7: NMBE, Thomas Burri.
 Online-Anhang 8: NMBE, Thomas Burri.

3.4 Tafeln

Tafelmontagen ADA ZG, Eva Kläui.
 Taf. 1,1: ADA ZG, Eva Kläui. Foto ADA ZG, Lorenz Schober.
 Taf. 1,2: ADA ZG, Eva Kläui. Foto ADA ZG, David Jecker.
 Taf. 1,3: ADA ZG, Eva Kläui. Foto ADA ZG, Anna Kienholz.
 Taf. 2,1: ADA ZG, Eva Kläui. Foto ADA ZG, Anna Kienholz.
 Taf. 2,2: ADA ZG, Eva Kläui. Foto ADA ZG, David Jecker.
 Taf. 2,3: ADA ZG, Eva Kläui. Foto ADA ZG, Daniel Möckli.
 Taf. 3,1.2: ADA ZG, Eva Kläui. Foto ADA ZG, David Jecker.
 Taf. 3,3: ADA ZG, Eva Kläui. Foto ADA ZG, Jochen Reinhard.
 Taf. 4,1: ADA ZG, Eva Kläui. Foto ADA ZG, Jochen Reinhard.
 Taf. 4,2–4: ADA ZG, Eva Kläui. Foto ADA ZG, Daniel Möckli.
 Taf. 5,1: ADA ZG, Eva Kläui. Foto ADA ZG, Daniel Möckli.
 Taf. 5,2.3: ADA ZG, Eva Kläui. Foto ADA ZG, Jochen Reinhard.
 Taf. 6,1–3: ADA ZG, Eva Kläui. Foto ADA ZG, David Jecker.
 Taf. 7–21: IPNA, Sarah Lo Russo, ADA ZG, Eva Kläui. Fotos Anschliffe ADA ZG, Res Eichenberger, Dünnschliffe IPNA, Beatrix Ritter.
 Taf. 22–35: ADA ZG, Eva Kläui. Fotos IPNA, Kristin Ismail-Meyer, Christine Pümpin.
 Taf. 36,1: ADA ZG, Vorzeichnung Monika Oberhänsli, Reinzeichnung Eva Kläui.

Taf. 36,2: ADA ZG, Vorzeichnung Margrit Ackermann, Reinzeichnung Eva Kläui.
 Taf. 37,1: ADA ZG, Vorzeichnung Monika Oberhänsli, Reinzeichnung Eva Kläui.
 Taf. 37,2: ADA ZG, Vorzeichnung Annick de Capitani, Reinzeichnung Eva Kläui.
 Taf. 37,3: ADA ZG, Vorzeichnung Jasmin Frei, Reinzeichnung Eva Kläui.
 Taf. 38,1: ADA ZG, Vorzeichnung Jasmin Frei, Reinzeichnung Eva Kläui.
 Taf. 38,2: ADA ZG, Vorzeichnung Monika Oberhänsli, Reinzeichnung Eva Kläui.
 Taf. 39,1: ADA ZG, Vorzeichnung Margrit Ackermann, Reinzeichnung Eva Kläui.
 Taf. 39,2.3: ADA ZG, Vorzeichnung Monika Oberhänsli, Reinzeichnung Eva Kläui.
 Taf. 40,1.3: ADA ZG, Vorzeichnung Annick de Capitani, Reinzeichnung Eva Kläui.
 Taf. 40,2.5: ADA ZG, Vorzeichnung Monika Oberhänsli, Reinzeichnung Eva Kläui.
 Taf. 40,4: ADA ZG, Vorzeichnung Margrit Ackermann, Reinzeichnung Eva Kläui.
 Taf. 41,1: ADA ZG, Vorzeichnung Margrit Ackermann, Reinzeichnung Eva Kläui.
 Taf. 41,2.5.6: ADA ZG, Vorzeichnung Monika Oberhänsli, Reinzeichnung Eva Kläui.
 Taf. 41,3.4.7.8: ADA ZG, Vorzeichnung Annick de Capitani, Reinzeichnung Eva Kläui.
 Taf. 42,1.5: ADA ZG, Vorzeichnung Margrit Ackermann, Reinzeichnung Eva Kläui.
 Taf. 42,2: ADA ZG, Vorzeichnung Katja Tschan, Reinzeichnung Eva Kläui.
 Taf. 42,3.4: ADA ZG, Vorzeichnung Monika Oberhänsli, Reinzeichnung Eva Kläui.
 Taf. 43,1.2.4: ADA ZG, Vorzeichnung Monika Oberhänsli, Reinzeichnung Eva Kläui.
 Taf. 43,3: ADA ZG, Vorzeichnung Margrit Ackermann, Reinzeichnung Eva Kläui.
 Taf. 44,1.2.4.5: ADA ZG, Vorzeichnung Monika Oberhänsli, Reinzeichnung Eva Kläui.
 Taf. 44,3: ADA ZG, Vorzeichnung Annick de Capitani, Reinzeichnung Eva Kläui.
 Taf. 44,6: ADA ZG, Vorzeichnung Margrit Ackermann, Reinzeichnung Eva Kläui.
 Taf. 45,1–3: ADA ZG, Vorzeichnung Annick de Capitani, Reinzeichnung Eva Kläui.
 Taf. 45,4.5.7–9.11: ADA ZG, Vorzeichnung Monika Oberhänsli, Reinzeichnung Eva Kläui.
 Taf. 45,6: ADA ZG, Vorzeichnung Katja Tschan, Reinzeichnung Eva Kläui.
 Taf. 45,10: ADA ZG, Vorzeichnung Margrit Ackermann, Reinzeichnung Eva Kläui.
 Taf. 46,1–3.6.8.10–12.14: ADA ZG, Vorzeichnung Monika Oberhänsli, Reinzeichnung Eva Kläui.
 Taf. 46,4.13.15: ADA ZG, Vorzeichnung Annick de Capitani, Reinzeichnung Eva Kläui.
 Taf. 46,5.9: ADA ZG, Vorzeichnung Margrit Ackermann, Reinzeichnung Eva Kläui.
 Taf. 47,1.2: ADA ZG, Vorzeichnung Monika Oberhänsli, Reinzeichnung Eva Kläui.
 Taf. 47,3: ADA ZG, Vorzeichnung Margrit Ackermann, Reinzeichnung Eva Kläui.
 Taf. 48,1: ADA ZG, Vorzeichnung Margrit Ackermann, Reinzeichnung Eva Kläui.
 Taf. 48,2.3: ADA ZG, Vorzeichnung Monika Oberhänsli, Reinzeichnung Eva Kläui.
 Taf. 48,4: ADA ZG, Vorzeichnung Annick de Capitani, Reinzeichnung Eva Kläui.
 Taf. 49,1.2.5: ADA ZG, Vorzeichnung Monika Oberhänsli, Reinzeichnung Eva Kläui.

Taf. 49,3.6: ADA ZG, Vorzeichnung Margrit Ackermann, Reinzeichnung Eva Kläui.
 Taf. 49,4: ADA ZG, Vorzeichnung Annick de Capitani, Reinzeichnung Eva Kläui.
 Taf. 50,1.2.5.7–9: ADA ZG, Vorzeichnung Monika Oberhänsli, Reinzeichnung Eva Kläui.
 Taf. 50,3: ADA ZG, Vorzeichnung Annick de Capitani, Reinzeichnung Eva Kläui.
 Taf. 50,4.6: ADA ZG, Vorzeichnung Margrit Ackermann, Reinzeichnung Eva Kläui.
 Taf. 51,1.3.4: ADA ZG, Vorzeichnung Monika Oberhänsli, Reinzeichnung Eva Kläui.
 Taf. 51,2: ADA ZG, Vorzeichnung Margrit Ackermann, Reinzeichnung Eva Kläui.
 Taf. 51,5: ADA ZG, Vorzeichnung Katja Tschan, Reinzeichnung Eva Kläui.
 Taf. 51,6: ADA ZG, Vorzeichnung Jasmin Frei, Reinzeichnung Eva Kläui.
 Taf. 52,1–3.5.8–13: ADA ZG, Vorzeichnung Monika Oberhänsli, Reinzeichnung Eva Kläui.
 Taf. 52,4: ADA ZG, Vorzeichnung Katja Tschan, Reinzeichnung Eva Kläui.
 Taf. 52,6.7: ADA ZG, Vorzeichnung Annick de Capitani, Reinzeichnung Eva Kläui.
 Taf. 53,1.6.8.9.11: ADA ZG, Vorzeichnung Monika Oberhänsli, Reinzeichnung Eva Kläui.
 Taf. 53,2.10: ADA ZG, Vorzeichnung Katja Tschan, Reinzeichnung Eva Kläui.
 Taf. 53,3.4.7: ADA ZG, Vorzeichnung Margrit Ackermann, Reinzeichnung Eva Kläui.
 Taf. 53,5: ADA ZG, Vorzeichnung Annick de Capitani, Reinzeichnung Eva Kläui.
 Taf. 54,1.4.11.12: ADA ZG, Vorzeichnung Monika Oberhänsli, Reinzeichnung Eva Kläui.
 Taf. 54,2.5.6.8–10: ADA ZG, Vorzeichnung Annick de Capitani, Reinzeichnung Eva Kläui.
 Taf. 54,3: ADA ZG, Vorzeichnung Jasmin Frei, Reinzeichnung Eva Kläui.
 Taf. 54,7: ADA ZG, Vorzeichnung Katja Tschan, Reinzeichnung Eva Kläui.
 Taf. 55,1.9.17: ADA ZG, Vorzeichnung Margrit Ackermann, Reinzeichnung Eva Kläui.
 Taf. 55,2.8.12.18: ADA ZG, Vorzeichnung Annick de Capitani, Reinzeichnung Eva Kläui.
 Taf. 55,3–6.10.11.14–16: ADA ZG, Vorzeichnung Monika Oberhänsli, Reinzeichnung Eva Kläui.
 Taf. 55,7.13: ADA ZG, Vorzeichnung Katja Tschan, Reinzeichnung Eva Kläui.
 Taf. 56,1.3–6.9.11: ADA ZG, Vorzeichnung Monika Oberhänsli, Reinzeichnung Eva Kläui.
 Taf. 56,2.7: ADA ZG, Vorzeichnung Annick de Capitani, Reinzeichnung Eva Kläui.
 Taf. 56,8.10: ADA ZG, Vorzeichnung Jasmin Frei, Reinzeichnung Eva Kläui.
 Taf. 57,1.7.8: ADA ZG, Vorzeichnung Monika Oberhänsli, Reinzeichnung Eva Kläui.
 Taf. 57,2.3: ADA ZG, Vorzeichnung Katja Tschan, Reinzeichnung Eva Kläui.
 Taf. 57,4.6.9: ADA ZG, Vorzeichnung Margrit Ackermann, Reinzeichnung Eva Kläui.
 Taf. 57,5: ADA ZG, Vorzeichnung Annick de Capitani, Reinzeichnung Eva Kläui.
 Taf. 58,1.5.8.9.11: ADA ZG, Vorzeichnung Monika Oberhänsli, Reinzeichnung Eva Kläui.
 Taf. 58,2.4.6.10: ADA ZG, Vorzeichnung Annick de Capitani, Reinzeichnung Eva Kläui.
 Taf. 58,3.7: ADA ZG, Vorzeichnung Margrit Ackermann, Reinzeichnung Eva Kläui.
 Taf. 59,1.4.6.10: ADA ZG, Vorzeichnung Monika Oberhänsli, Reinzeichnung Eva Kläui.

Taf. 59,2.3.8: ADA ZG, Vorzeichnung Annick de Capitani, Reinzeichnung Eva Kläui.
 Taf. 59,5: ADA ZG, Vorzeichnung Margrit Ackermann, Reinzeichnung Eva Kläui.
 Taf. 59,7.9: ADA ZG, Vorzeichnung Jasmin Frei, Reinzeichnung Eva Kläui.
 Taf. 60,1.3.7.9.11–13: ADA ZG, Vorzeichnung Monika Oberhänsli, Reinzeichnung Eva Kläui.
 Taf. 60,2.4: ADA ZG, Vorzeichnung Katja Tschan, Reinzeichnung Eva Kläui.
 Taf. 60,5.6: ADA ZG, Vorzeichnung Annick de Capitani, Reinzeichnung Eva Kläui.
 Taf. 60,8: ADA ZG, Vorzeichnung Margrit Ackermann, Reinzeichnung Eva Kläui.
 Taf. 60,10: ADA ZG, Vorzeichnung Jasmin Frei, Reinzeichnung Eva Kläui.
 Taf. 61,1.2.4.5.7.8: ADA ZG, Vorzeichnung Monika Oberhänsli, Reinzeichnung Eva Kläui.
 Taf. 61,3.6.9: ADA ZG, Vorzeichnung Annick de Capitani, Reinzeichnung Eva Kläui.
 Taf. 61,10: ADA ZG, Vorzeichnung Margrit Ackermann, Reinzeichnung Eva Kläui.
 Taf. 62,1.4–8.10.13.14: ADA ZG, Vorzeichnung Monika Oberhänsli, Reinzeichnung Eva Kläui.
 Taf. 62,2.3.9.11.12: ADA ZG, Vorzeichnung Annick de Capitani, Reinzeichnung Eva Kläui.
 Taf. 63,1.7: ADA ZG, Vorzeichnung Annick de Capitani, Reinzeichnung Eva Kläui.
 Taf. 63,2.3.5.6.8.11.12.14–17: ADA ZG, Vorzeichnung Monika Oberhänsli, Reinzeichnung Eva Kläui.
 Taf. 63,4.9.13: ADA ZG, Vorzeichnung Jasmin Frei, Reinzeichnung Eva Kläui.
 Taf. 63,10: ADA ZG, Vorzeichnung Katja Tschan, Reinzeichnung Eva Kläui.
 Taf. 64,1.4.5.8: ADA ZG, Vorzeichnung Annick de Capitani, Reinzeichnung Eva Kläui.
 Taf. 64,2.7.10–13: ADA ZG, Vorzeichnung Monika Oberhänsli, Reinzeichnung Eva Kläui.
 Taf. 64,3.14–16: ADA ZG, Vorzeichnung Katja Tschan, Reinzeichnung Eva Kläui.
 Taf. 64,6.9.17: ADA ZG, Vorzeichnung Jasmin Frei, Reinzeichnung Eva Kläui.
 Taf. 65,1.2: ADA ZG, Vorzeichnung Katja Tschan, Reinzeichnung Eva Kläui.
 Taf. 65,3.4: ADA ZG, Vorzeichnung Jasmin Frei, Reinzeichnung Eva Kläui.
 Taf. 66,1.2: ADA ZG, Vorzeichnung Jasmin Frei, Reinzeichnung Eva Kläui.
 Taf. 66,3: ADA ZG, Vorzeichnung Katja Tschan, Reinzeichnung Eva Kläui.
 Taf. 67,1: ADA ZG, Vorzeichnung Jasmin Frei, Reinzeichnung Eva Kläui.
 Taf. 67,2: ADA ZG, Vorzeichnung Katja Tschan, Reinzeichnung Eva Kläui.
 Taf. 68,1.2.4: ADA ZG, Vorzeichnung Katja Tschan, Reinzeichnung Eva Kläui.
 Taf. 68,3: ADA ZG, Vorzeichnung Annick de Capitani, Reinzeichnung Eva Kläui.
 Taf. 69,1–3: ADA ZG, Vorzeichnung Jasmin Frei, Reinzeichnung Eva Kläui.
 Taf. 70,1: ADA ZG, Vorzeichnung Eva Kläui, Reinzeichnung Eva Kläui.
 Taf. 70,2: ADA ZG, Vorzeichnung Katja Tschan, Reinzeichnung Eva Kläui.
 Taf. 71,1.3.5.6: ADA ZG, Vorzeichnung Jasmin Frei, Reinzeichnung Eva Kläui.
 Taf. 71,2.4: ADA ZG, Vorzeichnung Annick de Capitani, Reinzeichnung Eva Kläui.
 Taf. 72,1–3.8: ADA ZG, Vorzeichnung Katja Tschan, Reinzeichnung Eva Kläui.

Taf. 72,4: ADA ZG, Vorzeichnung Annick de Capitani, Reinzeichnung Eva Kläui.
 Taf. 72,5–7.9.10: ADA ZG, Vorzeichnung Jasmin Frei, Reinzeichnung Eva Kläui.
 Taf. 73,1.2.7–9.11: ADA ZG, Vorzeichnung Jasmin Frei, Reinzeichnung Eva Kläui.
 Taf. 73,3–6.10: ADA ZG, Vorzeichnung Katja Tschan, Reinzeichnung Eva Kläui.
 Taf. 74,1–4.6.8.9.11–14.16–18.20: ADA ZG, Vorzeichnung Jasmin Frei, Reinzeichnung Eva Kläui.
 Taf. 74,5.7.10: ADA ZG, Vorzeichnung Annick de Capitani, Reinzeichnung Eva Kläui.
 Taf. 74,15.19: ADA ZG, Vorzeichnung Katja Tschan, Reinzeichnung Eva Kläui.
 Taf. 75,1: ADA ZG, Vorzeichnung Annick de Capitani, Reinzeichnung Eva Kläui.
 Taf. 75,2.4.5.8.10–13: ADA ZG, Vorzeichnung Jasmin Frei, Reinzeichnung Eva Kläui.
 Taf. 75,3.6.7.9: ADA ZG, Vorzeichnung Katja Tschan, Reinzeichnung Eva Kläui.
 Taf. 76,1–4.9–11.13.14.16: ADA ZG, Vorzeichnung Jasmin Frei, Reinzeichnung Eva Kläui.
 Taf. 76,5–8.17: ADA ZG, Vorzeichnung Katja Tschan, Reinzeichnung Eva Kläui.
 Taf. 76,12: ADA ZG, Vorzeichnung Margrit Ackermann, Reinzeichnung Eva Kläui.
 Taf. 76,15: ADA ZG, Vorzeichnung Annick de Capitani, Reinzeichnung Eva Kläui.
 Taf. 77,1.3.4.6.8.11–15: ADA ZG, Vorzeichnung Jasmin Frei, Reinzeichnung Eva Kläui.
 Taf. 77,2.5.9.16: ADA ZG, Vorzeichnung Katja Tschan, Reinzeichnung Eva Kläui.
 Taf. 77,10.17: ADA ZG, Vorzeichnung Annick de Capitani, Reinzeichnung Eva Kläui.
 Taf. 78,1.3.7.17: ADA ZG, Vorzeichnung Katja Tschan, Reinzeichnung Eva Kläui.
 Taf. 78,2.4–6.8.10–16.18.19: ADA ZG, Vorzeichnung Jasmin Frei, Reinzeichnung Eva Kläui.
 Taf. 78,9: ADA ZG, Vorzeichnung Annick de Capitani, Reinzeichnung Eva Kläui.
 Taf. 79,1.2.4.6–13.15–17: ADA ZG, Vorzeichnung Jasmin Frei, Reinzeichnung Eva Kläui.
 Taf. 79,3.5.14: ADA ZG, Vorzeichnung Katja Tschan, Reinzeichnung Eva Kläui.
 Taf. 80,1.6.7.11.12.14: ADA ZG, Vorzeichnung Katja Tschan, Reinzeichnung Eva Kläui.
 Taf. 80,2–5.8–10.15: ADA ZG, Vorzeichnung Jasmin Frei, Reinzeichnung Eva Kläui.
 Taf. 80,13: ADA ZG, Vorzeichnung Annick de Capitani, Reinzeichnung Eva Kläui.
 Taf. 81,1.3–5.7.9.11: ADA ZG, Vorzeichnung Jasmin Frei, Reinzeichnung Eva Kläui.
 Taf. 81,2.6.8.10.13.14: ADA ZG, Vorzeichnung Katja Tschan, Reinzeichnung Eva Kläui.
 Taf. 81,12: ADA ZG, Vorzeichnung Annick de Capitani, Reinzeichnung Eva Kläui.
 Taf. 82,1.5–7.9.11.15.19–22: ADA ZG, Vorzeichnung Jasmin Frei, Reinzeichnung Eva Kläui.
 Taf. 82,2: ADA ZG, Vorzeichnung Katja Tschan, Reinzeichnung Eva Kläui.
 Taf. 82,3.16: ADA ZG, Vorzeichnung Annick de Capitani, Reinzeichnung Eva Kläui.
 Taf. 82,4.8.12.13.18: ADA ZG, Vorzeichnung Monika Oberhänsli, Reinzeichnung Eva Kläui.
 Taf. 82,10.14.17: ADA ZG, Vorzeichnung Margrit Ackermann, Reinzeichnung Eva Kläui.
 Taf. 83,1: ADA ZG, Vorzeichnung Annick de Capitani, Reinzeichnung Eva Kläui.
 Taf. 83,2: ADA ZG, Vorzeichnung Katja Tschan, Reinzeichnung Eva Kläui.

Taf. 83,3: ADA ZG, Vorzeichnung Jasmin Frei, Reinzeichnung Eva Kläui.
 Taf. 83,4–7: ADA ZG, Vorzeichnung Monika Oberhänsli, Reinzeichnung Eva Kläui.
 Taf. 84,1.2.5.8: ADA ZG, Vorzeichnung Annick de Capitani, Reinzeichnung Eva Kläui.
 Taf. 84,3.4: ADA ZG, Vorzeichnung Katja Tschan, Reinzeichnung Eva Kläui.
 Taf. 84,6: ADA ZG, Vorzeichnung Jasmin Frei, Reinzeichnung Eva Kläui.
 Taf. 84,7: ADA ZG, Vorzeichnung Monika Oberhänsli, Reinzeichnung Eva Kläui.
 Taf. 85,1: ADA ZG, Vorzeichnung Annick de Capitani, Reinzeichnung Eva Kläui.
 Taf. 85,2–4.10.12.18: ADA ZG, Vorzeichnung Jasmin Frei, Reinzeichnung Eva Kläui.
 Taf. 85,5.7–9.13.14.16: ADA ZG, Vorzeichnung Katja Tschan, Reinzeichnung Eva Kläui.
 Taf. 85,6.11.15: ADA ZG, Vorzeichnung Monika Oberhänsli, Reinzeichnung Eva Kläui.
 Taf. 85,17: ADA ZG, Vorzeichnung Margrit Ackermann, Reinzeichnung Eva Kläui.
 Taf. 86,1.3–5.13: ADA ZG, Vorzeichnung Katja Tschan, Reinzeichnung Eva Kläui.
 Taf. 86,2.8.9: ADA ZG, Vorzeichnung Jasmin Frei, Reinzeichnung Eva Kläui.
 Taf. 86,6.11: ADA ZG, Vorzeichnung Monika Oberhänsli, Reinzeichnung Eva Kläui.
 Taf. 86,7: ADA ZG, Vorzeichnung Annick de Capitani, Reinzeichnung Eva Kläui.
 Taf. 86,10.12.14: ADA ZG, Vorzeichnung Margrit Ackermann, Reinzeichnung Eva Kläui.
 Taf. 87,1.3.4.7.10.12.13.15: ADA ZG, Vorzeichnung Jasmin Frei, Reinzeichnung Eva Kläui.
 Taf. 87,2.6.8.11: ADA ZG, Vorzeichnung Katja Tschan, Reinzeichnung Eva Kläui.
 Taf. 87,5.9.14: ADA ZG, Vorzeichnung Monika Oberhänsli, Reinzeichnung Eva Kläui.
 Taf. 88,1.8.11.12: ADA ZG, Vorzeichnung Jasmin Frei, Reinzeichnung Eva Kläui.
 Taf. 88,2–5.7.10: ADA ZG, Vorzeichnung Katja Tschan, Reinzeichnung Eva Kläui.
 Taf. 88,6.9: ADA ZG, Vorzeichnung Monika Oberhänsli, Reinzeichnung Eva Kläui.
 Taf. 89,1–5.7.10–12: ADA ZG, Vorzeichnung Jasmin Frei, Reinzeichnung Eva Kläui.
 Taf. 89,6.8.9.13: ADA ZG, Vorzeichnung Katja Tschan, Reinzeichnung Eva Kläui.
 Taf. 90,1.3.4.11.12: ADA ZG, Vorzeichnung Katja Tschan, Reinzeichnung Eva Kläui.
 Taf. 90,2.6–10: ADA ZG, Vorzeichnung Jasmin Frei, Reinzeichnung Eva Kläui.
 Taf. 90,5: ADA ZG, Vorzeichnung Monika Oberhänsli, Reinzeichnung Eva Kläui.
 Taf. 91,1.2.4.6.7.10: ADA ZG, Vorzeichnung Katja Tschan, Reinzeichnung Eva Kläui.
 Taf. 91,3.5.9.11.12: ADA ZG, Vorzeichnung Jasmin Frei, Reinzeichnung Eva Kläui.
 Taf. 91,8: ADA ZG, Vorzeichnung Monika Oberhänsli, Reinzeichnung Eva Kläui.
 Taf. 92,1.4.13.17.18: ADA ZG, Vorzeichnung Annick de Capitani, Reinzeichnung Eva Kläui.
 Taf. 92,2.3.6.9.11.14.16: ADA ZG, Vorzeichnung Jasmin Frei, Reinzeichnung Eva Kläui.
 Taf. 92,5.10.12.15: ADA ZG, Vorzeichnung Katja Tschan, Reinzeichnung Eva Kläui.
 Taf. 93,1.2.5.7.10: ADA ZG, Vorzeichnung Katja Tschan, Reinzeichnung Eva Kläui.
 Taf. 93,3.4.6.8.9.12.13: ADA ZG, Vorzeichnung Jasmin Frei, Reinzeichnung Eva Kläui.

Taf. 93,11: ADA ZG, Vorzeichnung Annick de Capitani, Reinzeichnung Eva Kläui.
 Taf. 94,1.5–7.9.11.12.15: ADA ZG, Vorzeichnung Katja Tschan, Reinzeichnung Eva Kläui.
 Taf. 94,2.3.8.10.13.16: ADA ZG, Vorzeichnung Jasmin Frei, Reinzeichnung Eva Kläui.
 Taf. 94,4.14: ADA ZG, Vorzeichnung Annick de Capitani, Reinzeichnung Eva Kläui.
 Taf. 95,1.3.4.6–8.10–12: ADA ZG, Vorzeichnung Jasmin Frei, Reinzeichnung Eva Kläui.
 Taf. 95,2.9: ADA ZG, Vorzeichnung Katja Tschan, Reinzeichnung Eva Kläui.
 Taf. 95,5: ADA ZG, Vorzeichnung Annick de Capitani, Reinzeichnung Eva Kläui.
 Taf. 96,1.4.6: ADA ZG, Vorzeichnung Katja Tschan, Reinzeichnung Eva Kläui.
 Taf. 96,2.3.5.7–12: ADA ZG, Vorzeichnung Jasmin Frei, Reinzeichnung Eva Kläui.
 Taf. 97,1.5.7.8: ADA ZG, Vorzeichnung Jasmin Frei, Reinzeichnung Eva Kläui.
 Taf. 97,2.6.9: ADA ZG, Vorzeichnung Monika Oberhänsli, Reinzeichnung Eva Kläui.
 Taf. 97,3: ADA ZG, Vorzeichnung Margrit Ackermann, Reinzeichnung Eva Kläui.
 Taf. 97,4.10: ADA ZG, Vorzeichnung Katja Tschan, Reinzeichnung Eva Kläui.
 Taf. 98,1–11: ADA ZG, Vorzeichnung Salvatore Pungitore, Reinzeichnung Christine Rungger.
 Taf. 99,1–16: ADA ZG, Vorzeichnung Salvatore Pungitore, Reinzeichnung Christine Rungger.
 Taf. 100,1–9: ADA ZG, Vorzeichnung Salvatore Pungitore, Reinzeichnung Christine Rungger.
 Taf. 100,10: ADA ZG, Salvatore Pungitore.
 Taf. 100,11.12: ADA ZG, Vorzeichnung Salvatore Pungitore, Reinzeichnung Christine Rungger.
 Taf. 100,13: ADA ZG, Salvatore Pungitore.
 Taf. 100,14–22: ADA ZG, Vorzeichnung Salvatore Pungitore, Reinzeichnung Christine Rungger.
 Taf. 101,1–16: ADA ZG, Vorzeichnung Salvatore Pungitore, Reinzeichnung Christine Rungger.
 Taf. 101,17–21: ADA ZG, Christine Rungger.
 Taf. 102,1–4: ADA ZG, Christine Rungger.
 Taf. 103,1.2: ADA ZG, Christine Rungger.
 Taf. 103,3.4: ADA ZG, Vorzeichnung Salvatore Pungitore, Reinzeichnung Christine Rungger.
 Taf. 103,5.6: ADA ZG, Christine Rungger.
 Taf. 104,1–8: ADA ZG, Christine Rungger.
 Taf. 105,1–5: ADA ZG, Christine Rungger.
 Taf. 106,1–3: ADA ZG, Christine Rungger.
 Taf. 106,4–9: ADA ZG, Vorzeichnung Salvatore Pungitore, Reinzeichnung Christine Rungger.
 Taf. 107,1: ADA ZG, Christine Rungger.
 Taf. 107,2–14: ADA ZG, Vorzeichnung Silvia Pfister, Reinzeichnung Christine Rungger.
 Taf. 108,1–9: ADA ZG, Vorzeichnung Salvatore Pungitore, Reinzeichnung Christine Rungger.
 Taf. 109,1–10: ADA ZG, Vorzeichnung Salvatore Pungitore, Reinzeichnung Christine Rungger.
 Taf. 110,1–14: ADA ZG, Vorzeichnung Salvatore Pungitore, Reinzeichnung Christine Rungger.
 Taf. 111,1–5: ADA ZG, Vorzeichnung Salvatore Pungitore, Reinzeichnung Christine Rungger.
 Taf. 111,6: ADA ZG, Salvatore Pungitore.
 Taf. 111,7–15: ADA ZG, Vorzeichnung Salvatore Pungitore, Reinzeichnung Christine Rungger.
 Taf. 112,1–7: ADA ZG, Vorzeichnung Salvatore Pungitore, Reinzeichnung Christine Rungger.
 Taf. 112,8: ADA ZG, Salvatore Pungitore.
 Taf. 112,9–15: ADA ZG, Vorzeichnung Salvatore Pungitore,

Reinzeichnung Christine Rungger.
 Taf. 112,16: ADA ZG, Salvatore Pungitore.
 Taf. 112,17: ADA ZG, Vorzeichnung Salvatore Pungitore, Reinzeichnung Christine Rungger.
 Taf. 113,1–6: ADA ZG, Christine Rungger.
 Taf. 113,7.8: ADA ZG, Vorzeichnung Salvatore Pungitore, Reinzeichnung Christine Rungger.
 Taf. 114,1–5: ADA ZG, Christine Rungger.
 Taf. 115,1.2: ADA ZG, Christine Rungger.
 Taf. 115,3–7: ADA ZG, Vorzeichnung Salvatore Pungitore, Reinzeichnung Christine Rungger.
 Taf. 116,1: ADA ZG, Christine Rungger.
 Taf. 116,2–11: ADA ZG, Vorzeichnung Silvia Pfister, Reinzeichnung Christine Rungger.
 Taf. 116,12.13: ADA ZG, Vorzeichnung Salvatore Pungitore, Reinzeichnung Christine Rungger.
 Taf. 117,1–4: ADA ZG, Vorzeichnung Salvatore Pungitore, Reinzeichnung Christine Rungger.
 Taf. 118,1.2: ADA ZG, Vorzeichnung Salvatore Pungitore, Reinzeichnung Christine Rungger.
 Taf. 118,3–9: ADA ZG, Vorzeichnung Silvia Pfister, Reinzeichnung Christine Rungger.
 Taf. 119,1–14: ADA ZG, Vorzeichnung Silvia Pfister, Reinzeichnung Christine Rungger.
 Taf. 119,15: ADA ZG, Christine Rungger.
 Taf. 119,16–19: ADA ZG, Vorzeichnung Silvia Pfister, Reinzeichnung Christine Rungger.
 Taf. 120,1–5: ADA ZG, Vorzeichnung Salvatore Pungitore, Reinzeichnung Christine Rungger.
 Taf. 120,6: ADA ZG, Christine Rungger.
 Taf. 120,7.8: ADA ZG, Vorzeichnung Salvatore Pungitore, Reinzeichnung Christine Rungger.
 Taf. 120,9: ADA ZG, Vorzeichnung Silvia Pfister, Reinzeichnung Christine Rungger.
 Taf. 121,1.2: ADA ZG, Vorzeichnung Salvatore Pungitore, Reinzeichnung Christine Rungger.
 Taf. 121,3: ADA ZG, Vorzeichnung Silvia Pfister, Reinzeichnung Christine Rungger.
 Taf. 121,4–7: ADA ZG, Vorzeichnung Salvatore Pungitore, Reinzeichnung Christine Rungger.
 Taf. 122,1-21: ADA ZG, Vorzeichnung Silvia Pfister, Reinzeichnung Christine Rungger.
 Taf. 122,22: ADA ZG, Vorzeichnung Salvatore Pungitore, Reinzeichnung Christine Rungger.
 Taf. 123,1: ADA ZG, Sabina Nüssli Bouzid.
 Taf. 123,2.3: ADA ZG, Christine Rungger.
 Taf. 123,4–10: ADA ZG, Sabina Nüssli Bouzid.
 Taf. 123,11.12: ADA ZG, Christine Rungger.
 Taf. 123,13–19: ADA ZG, Sabina Nüssli Bouzid.
 Taf. 124,1: ADA ZG, Sabina Nüssli Bouzid, Christine Rungger.
 Taf. 124,2–8: ADA ZG, Sabina Nüssli Bouzid.
 Taf. 124,9: ADA ZG, Christine Rungger.
 Taf. 124,10: ADA ZG, Sabina Nüssli Bouzid.
 Taf. 124,11.12: ADA ZG, Christine Rungger.
 Taf. 125,1–15: ADA ZG, Sabina Nüssli Bouzid.
 Taf. 125,16: ADA ZG, Christine Rungger.
 Taf. 126,1–8: ADA ZG, Sabina Nüssli Bouzid.
 Taf. 126,9–18: ADA ZG, Christine Rungger.
 Taf. 126,19–21: ADA ZG, Sabina Nüssli Bouzid, Christine Rungger.
 Taf. 127,1–9: ADA ZG, Sabina Nüssli Bouzid, Christine Rungger.
 Taf. 128,1–18: ADA ZG, Sabina Nüssli Bouzid.
 Taf. 129,1–11: ADA ZG, Sabina Nüssli Bouzid.
 Taf. 130,1–10: ADA ZG, Sabina Nüssli Bouzid.
 Taf. 131,1–7: ADA ZG, Sabina Nüssli Bouzid.
 Taf. 131,8: ADA ZG, Sabina Nüssli Bouzid, Christine Rungger.
 Taf. 131,9–20: ADA ZG, Sabina Nüssli Bouzid.

Taf. 132,1–12: ADA ZG, Sabina Nüssli Bouzid.
 Taf. 132,13: ADA ZG, Christine Rungger.
 Taf. 132,14.15: ADA ZG, Sabina Nüssli Bouzid, Christine Rungger.
 Taf. 132,16: ADA ZG, Christine Rungger.
 Taf. 132,17.18: ADA ZG, Sabina Nüssli Bouzid, Christine Rungger.
 Taf. 132,19–21: ADA ZG, Christine Rungger.
 Taf. 133,1: ADA ZG, Sabina Nüssli Bouzid.
 Taf. 133,2: ADA ZG, Christine Rungger.
 Taf. 133,3.4: ADA ZG, Sabina Nüssli Bouzid.
 Taf. 133,5–11: ADA ZG, Sabina Nüssli Bouzid, Christine Rungger.
 Taf. 134,1–5: ADA ZG, Sabina Nüssli Bouzid, Christine Rungger.
 Taf. 134,6–9: ADA ZG, Sabina Nüssli Bouzid.
 Taf. 135,1: ADA ZG, Christine Rungger.
 Taf. 135,2–5: ADA ZG, Sabina Nüssli Bouzid, Christine Rungger.
 Taf. 135,6.7: ADA ZG, Christine Rungger.
 Taf. 135,8.9: ADA ZG, Sabina Nüssli Bouzid.
 Taf. 136,1–3: ADA ZG, Sabina Nüssli Bouzid.
 Taf. 137,1–21: ADA ZG, Christine Rungger.
 Taf. 138,1–5: ADA ZG, Christine Rungger.
 Taf. 138,6: ADA ZG, Sabina Nüssli Bouzid, Christine Rungger.
 Taf. 138,7–14: ADA ZG, Christine Rungger.
 Taf. 138,15: ADA ZG, Sabina Nüssli Bouzid, Christine Rungger.
 Taf. 138,16–22: ADA ZG, Christine Rungger.
 Taf. 139,1–3: ADA ZG, Christine Rungger.
 Taf. 139,4: ADA ZG, Sabina Nüssli Bouzid.
 Taf. 139,5.6: ADA ZG, Christine Rungger.
 Taf. 139,7.8: ADA ZG, Sabina Nüssli Bouzid.
 Taf. 140,1–3: ADA ZG, Sabina Nüssli Bouzid, Christine Rungger.
 Taf. 140,4.5: ADA ZG, Christine Rungger.
 Taf. 140,6–18: ADA ZG, Sabina Nüssli Bouzid, Christine Rungger.
 Taf. 140,19.20: ADA ZG, Christine Rungger.
 Taf. 140,21–23: ADA ZG, Sabina Nüssli Bouzid, Christine Rungger.
 Taf. 141,1.2: ADA ZG, Christine Rungger.
 Taf. 141,3–6: ADA ZG, Sabina Nüssli Bouzid.
 Taf. 141,7: ADA ZG, Christine Rungger.
 Taf. 142,1–13: ADA ZG, Vorzeichnung Annick de Capitani, Reinzeichnung Eva Kläui.
 Taf. 142,14: ADA ZG, Vorzeichnung Jasmin Frei, Reinzeichnung Eva Kläui.
 Taf. 142,15.16: ADA ZG, Vorzeichnung Annick de Capitani, Reinzeichnung Eva Kläui.
 Taf. 143,1–10: ADA ZG, Vorzeichnung Annick de Capitani, Reinzeichnung Eva Kläui.
 Taf. 143,11.12: ADA ZG, Vorzeichnung Jasmin Frei, Reinzeichnung Eva Kläui.
 Taf. 143,13–15: ADA ZG, Vorzeichnung Annick de Capitani, Reinzeichnung Eva Kläui.
 Taf. 143,16: ADA ZG, Vorzeichnung Jasmin Frei, Reinzeichnung Eva Kläui.
 Taf. 144,1: ADA ZG, Vorzeichnung Annick de Capitani, Reinzeichnung Eva Kläui.
 Taf. 144,2: ADA ZG, Vorzeichnung Jasmin Frei, Reinzeichnung Eva Kläui.
 Taf. 144,3–6: ADA ZG, Vorzeichnung Annick de Capitani, Reinzeichnung Eva Kläui.
 Taf. 144,7: ADA ZG, Vorzeichnung Katja Tschan, Reinzeichnung Eva Kläui.
 Taf. 144,8.9: ADA ZG, Vorzeichnung Jasmin Frei, Reinzeichnung Eva Kläui.

Taf. 144,10: ADA ZG, Vorzeichnung Monika Oberhänsli, Reinzeichnung Eva Kläui.
 Taf. 144,11.12: ADA ZG, Vorzeichnung Annick de Capitani, Reinzeichnung Eva Kläui.
 Taf. 145,1.2: ADA ZG, Vorzeichnung Annick de Capitani, Reinzeichnung Eva Kläui.
 Taf. 145,3: ADA ZG, Vorzeichnung Monika Oberhänsli, Reinzeichnung Eva Kläui.
 Taf. 145,4: ADA ZG, Vorzeichnung Annick de Capitani, Reinzeichnung Eva Kläui.
 Taf. 145,5: ADA ZG, Vorzeichnung Monika Oberhänsli, Reinzeichnung Eva Kläui.
 Taf. 145,6: ADA ZG, Vorzeichnung Jasmin Frei, Reinzeichnung Eva Kläui.
 Taf. 146,1–6: ADA ZG, Vorzeichnung Annick de Capitani, Reinzeichnung Eva Kläui.
 Taf. 147,1–4: ADA ZG, Vorzeichnung Annick de Capitani, Reinzeichnung Eva Kläui.
 Taf. 148,1–6: ADA ZG, Vorzeichnung Annick de Capitani, Reinzeichnung Eva Kläui.
 Taf. 148,7–9: ADA ZG, Vorzeichnung Monika Oberhänsli, Reinzeichnung Eva Kläui.
 Taf. 149,1–9: ADA ZG, Eva Kläui, Salvatore Pungitore.
 Taf. 149,10–15: ADA ZG, Salvatore Pungitore.
 Taf. 150,1–18: ADA ZG, Salvatore Pungitore.
 Taf. 151,1–17: ADA ZG, Salvatore Pungitore.
 Taf. 152,1–14: ADA ZG, Salvatore Pungitore.
 Taf. 153,1–9: Zeichnungen ADA ZG, Salvatore Pungitore. Fotos ADA ZG, Res Eichenberger.
 Taf. 154,1–15: Zeichnungen ADA ZG, Salvatore Pungitore. Fotos ADA ZG Res Eichenberger.
 Taf. 155: Fotos ADA ZG, Maria Ellend Wittwer.
 Taf. 156,1–4: buntherhund Illustration Zürich, Anita Dettwiler/ Daniela Hoesli Moser.
 Taf. 156,5.6: ADA ZG, Eva Kläui.
 Taf. 156,7: buntherhund Illustration Zürich, Anita Dettwiler/ Daniela Hoesli Moser.
 Taf. 156,8–10: Oculus Illustration Zürich, Sibylle Heusser/ Marcus Moser.
 Taf. 157,1–9: Oculus Illustration Zürich, Sibylle Heusser/ Marcus Moser.
 Taf. 158,1–14: Oculus Illustration Zürich, Sibylle Heusser/ Marcus Moser.
 Taf. 159,1–10: Oculus Illustration Zürich, Sibylle Heusser/ Marcus Moser.
 Taf. 160,1–13: Oculus Illustration Zürich, Sibylle Heusser/ Marcus Moser.
 Taf. 161,1–9: Oculus Illustration Zürich, Sibylle Heusser/ Marcus Moser.
 Taf. 162,1–4: Oculus Illustration Zürich, Sibylle Heusser/ Marcus Moser.

3.5 Beilagen

1–6: ADA ZG, Silvia Hlavová. Überarb. ADA ZG, Eva Kläui.

3.6 Umschläge

Umschlaggestaltung ADA ZG, Eva Kläui.

Band 1: Fotos ADA ZG, Michael Burkard/Anna Kienholz/ Daniel Möckli/Jochen Reinhard.

Band 2: Fotos ADA ZG, Res Eichenberger.

Band 3: Zeichnungen ADA ZG, Eva Kläui/Sabina Nüssli Bouzid/Silvia Pfister/Salvatore Pungitore/Christine Rungger.

Band 4/Begleitmappe: Zeichnung ADA ZG, Silvia Hlavová/ Eva Kläui.

3.7 Vorsatz

Band 1: ADA ZG, Eva Kläui.

4 Alphabetisches Verzeichnis der Autorinnen und Autoren

■ Jehanne Affolter
Ar-Geo-Lab
Dîme 86
CH-2000 Neuchâtel
affolterjs@bluewin.ch

■ Markus Binggeli
Gaselstrasse 30
CH-3098 Schliern bei Köniz
binggelim@sunrise.ch

■ Niels Bleicher
Labor für Dendroarchäologie des Amtes für
Städtebau der Stadt Zürich
Seefeldstrasse 317
CH-8008 Zürich
niels.bleicher@zuerich.ch

■ Thomas Burri
Naturhistorisches Museum Bern
Bernastrasse 15
CH-3005 Bern
thomas.burri@nmbe.ch

■ Annick de Capitani
Amt für Denkmalpflege und Archäologie
des Kantons Zug
Hofstrasse 15
CH-6300 Zug
annick.decapitani@zg.ch

■ Despoina Diamantopoulou
Hochstrasse 75
CH-4053 Basel
despoina.diamantopoulou3@gmail.com

■ Ulrich Eberli
Kantonales Museum für Urgeschichte(n)
Hofstrasse 15
CH-6300 Zug
ulrich.eberli@zg.ch

■ Urs Eggenberger
Universität Bern, Institut für Geologie
Baltzerstrasse 1+3
CH-3012 Bern
usse@geo.unibe.ch

■ Frank Gfeller
ArchaeoLytics
Pelikanstrasse 17
CH-9008 St. Gallen
frank.gfeller@archaeolytics.ch

■ Eda Gross
Seefeldstrasse 317
CH-8008 Zürich
eda.gross@gmail.com

■ Urs Gut
Wüflingerstrasse 54
CH-8400 Winterthur
u.gut@posteo.de

■ Stefan Hochuli
Langholzstrasse 36b
CH-6333 Hünenberg See
hochulistefan@icloud.com

■ Beda Hofmann
Naturhistorisches Museum Bern
Bernastrasse 15
CH-3005 Bern
beda.hofmann@nmbe.ch

■ Renata Huber
Amt für Denkmalpflege und Archäologie
des Kantons Zug
Hofstrasse 15
CH-6300 Zug
renata.huber@zg.ch

■ Kristin Ismail-Meyer
Universität Basel, IPNA (Integrative Prähistorische
und Naturwissenschaftliche Archäologie)
Spalenring 145
CH-4055 Basel
k.ismail-meyer@unibas.ch

■ Anna Kienholz
Dienststelle Hochschulbildung und Kultur,
Denkmalpflege und Archäologie
Libellenrain 15
CH-6002 Luzern
anna.kienholz@lu.ch

■ Oliver Mecking
Thüringisches Landesamt für Denkmalpflege
und Archäologie
Humboldtstrasse 11
D-99432 Weimar
oliver.mecking@tlda.thueringen.de

■ Fabienne Médard
Anatex, Laboratoire d'analyse de l'outillage et des
textiles anciens
8, rue de la prévôté
F-68250 Rouffach
fabienne.medard@anatex.fr

■ Christine Pümpin
Universität Basel, IPNA (Integrative Prähistorische
und Naturwissenschaftliche Archäologie)
Spalenring 145
CH-4055 Basel
christine.puempin@unibas.ch

■ Antoinette Rast-Eicher
ArcheoTex, Büro für archäologische Textilien
Hengert 5a
CH-3995 Ernen
info@archeotex.ch

■ Jochen Reinhard
Amt für Denkmalpflege und Archäologie
des Kantons Zug
Hofstrasse 15
CH-6300 Zug
jochen.reinhard@zg.ch

■ Gishan Schaeren
Amt für Denkmalpflege und Archäologie
des Kantons Zug
Hofstrasse 15
CH-6300 Zug
gishan.schaeren@zg.ch

■ Felix Walder
Labor für Dendroarchäologie des Amtes für Städtebau
der Stadt Zürich
Seefeldstrasse 317
CH-8008 Zürich
felix.walder@zuerich.ch

■ Anna Barbara Widmer
Schlossstrasse 124
CH-3067 Boll
annabarbara.widmer@bluewin.ch

AS-Publikationen Publications d'AS Pubblicazioni d'AS

(in Klammern: Preise für AS-Mitglieder)
(entre parenthèses: prix pour membres de l'AS)
(tra parentesi: prezzo per membri dell'AS)

Antiqua

Veröffentlichungen der Archäologie Schweiz
Publications d'Archéologie Suisse
Pubblicazioni d'Archeologia Svizzera
Publications of Swiss Archaeology
ISBN 978-3-908006-....

Die Bände 1–25 sind ebenfalls noch bestellbar.

- 26 ■ Markus Höneisen (Hrsg.), Frühgeschichte der Region Stein am Rhein. Archäologische Forschungen am Ausfluss des Untersees (= Schaffhauser Archäologie 1). Basel/Schaffhausen 1993. -18-X. Fr. 98.– (Fr. 75.–).
- 27 ■ Caty Schucany, Aqua Helveticae. Zum Romanisierungsprozess am Beispiel des römischen Baden. Basel 1996. -19-8. Fr. 128.– (Fr. 89.–).
- 28 ■ Kantonsarchäologie Zug (Hrsg.), Die jungsteinzeitlichen Seeufersiedlungen von Hünenberg-Chämlethen ZG. Basel 1996. -20-1. Fr. 87.– (Fr. 59.–).
- 29 ■ Hanspeter Spycher/Caty Schucany (Hrsg.), Die Ausgrabungen im Kino Elite im Rahmen der bisherigen Untersuchungen der Solothurner Altstadt. Basel 1997. -21-X. Fr. 92.– (Fr. 65.–).
- 30 ■ Martin Peter Schindler, Der Hortfund von Arbedo TI und die Bronzedepotfunde des Alpenraums vom 6. bis zum 4. Jh. v. Chr. – Il ripostiglio di Arbedo TI e i ripostigli di bronzi della regione alpina dal VI all'inizio del IV sec. a. C. Basel 1998. -22-8. Fr. 125.– (Fr. 95.–).
- 31 ■ Caty Schucany/Stefanie Martin-Kilcher/Ludwig Berger/Daniel Paunier (Hrsg.), Römische Keramik in der Schweiz – Céramique romaine en Suisse – Ceramica romana in Svizzera. Basel 1999. -23-6. Fr. 59.– (Fr. 47.–).
- 32 ■ Martin A. Guggisberg, Der Goldschatz von Erstfeld. Ein keltischer Bilderzyklus zwischen Mitteleuropa und der Mittelmeerwelt. Basel 2000. -24-4. Fr. 98.– (Fr. 75.–).
- 33 ■ Ursula Gnepf Horisberger/Sandy Hämmerle, Cham-Oberwil, Hof (Kanton Zug). Befunde und Funde aus der Glockenbecherkultur und der Bronzezeit. Basel 2001. -25-2. Fr. 119.– (Fr. 84.–).
- 34 ■ Claudia Neukom, Corpus Signorum Imperii Romani. Schweiz I,7: Das übrige helvetische Gebiet. Mit einem Nachtrag zu CSIR Schweiz III, Funde in Basel und Liestal. Basel 2002. -26-0. Fr. 98.– (Fr. 75.–).
- 35 ■ Renata Windler/Michel Fuchs (Hrsg.), De l'Antiquité tardive au Haut Moyen-Âge (300–800) – Kontinuität und Neubeginn. Basel 2002. -27-9. Fr. 74.– (Fr. 49.–).
- 36 ■ Martin Bossert/Claudia Neukom, Corpus Signorum Imperii Romani. Schweiz II: Gallia Narbonensis: Colonia Iulia Vienna: Genava – Vallis Poenina – Raetia – Italia. Basel 2004. -28-7. Fr. 69.– (Fr. 55.–).
- 37 ■ Beat Eberschweiler, Bronzezeitliches Schwemmgut vom «Chollerpark» in Steinhausen (Kanton Zug). Bemerkenswerte Holzfunde vom nördlichen Zugersee sowie weitere bronzezeitliche Hölzer von Fundplätzen an Gewässern der Zentral- und Ostschweiz. Basel 2004. -29-5. Fr. 92.– (65.–).
- 38 ■ Paul Gutzwiller, Die bronze- und hallstattzeitlichen Fundstellen des Kantons Solothurn. Ein Beitrag zur metallzeitlichen Siedlungsgeschichte der Nordwestschweiz. Basel 2004. -30-9. Fr. 98.– (75.–).
- 39 ■ Andrea Hep Harb/Christoph Lötscher, Neolithische Seeufersiedlungen von Cham-Sankt Andreas (Kanton Zug). Basel 2005. -31-7. Fr. 92.– (65.–).

- 40 ■ Albert Hafner/Urs Niffeler/Ulrich Ruoff (Hrsg.), Die neue Sicht – Une nouvelle interprétation de l'histoire – The New View. Unterwasserarchäologie und Geschichtsbild – L'apport de l'archéologie subaquatique – Underwater Archaeology on the Historical Picture. Akten des 2. Internationalen Kongresses für Unterwasserarchäologie – Actes du 2^e Congrès International d'Archéologie Subaquatique – Proceedings of the 2nd International Congress on Underwater Archaeology, Rüschiikon bei Zürich, 21.–24. Oktober 2004. Basel 2006. -32-5. Fr. 69.– (49.–).
- 41 ■ Brigitte Röder/Renata Huber, Archäologie in Steinhausen «Sennweid» (ZG). Ergebnisse der Untersuchungen von 1942–2000. Basel 2007. -33-6. Fr. 115.– (84.–).
- 42 ■ Jakob Obrecht/Paul Gutzwiller, Die Loppburg – eine befestigte Höhensiedlung. Basel 2007. -34-3. Fr. 59.– (Fr. 39.–).
- 43 ■ Daniel Castella/Marie-France Meylan Krause (dir.), Topographie sacrée et rituels. Les cas d'Aventicum, capitale des Helvètes. Actes du colloque international d'Avenches, 2–4 novembre 2006. Basel 2008. -35-0. Fr. 69.– (49.–).
- 44 ■ Antoinette Rast-Eicher, Textilien, Wolle, Schafe der Eisenzeit in der Schweiz. Basel 2008. -36-7. Fr. 65.– (49.–).
- 45 ■ Werner E. Stöckli, Chronologie und Regionalität des jüngeren Neolithikums (4300–2400 v. Chr.) im Schweizer Mittelland, in Süddeutschland und in Ostfrankreich aufgrund der Keramik und der absoluten Datierungen, ausgehend von den Forschungen in den Feuchtbodensiedlungen der Schweiz. Basel 2009. -37-6. Fr. 95.– (69.–).
- 46 ■ Pierre Harb/Mirjam Wullschlegler, Der römische Gutshof von Langendorf, Kanton Solothurn. Ausgrabungen an der Hüslerhofstrasse 1993, 1994 und 2002. Basel 2010. -38-1. Fr. 98.– (75.–).
- 47 ■ Christa Ebnöther/Regula Schatzmann, oleum non perdidit. Festschrift für Stefanie Martin-Kilcher zu ihrem 65. Geburtstag. Basel 2010. -39-8. Fr. 130.– (98.–).
- 48 ■ Katharina Müller, Gräber, Gaben, Generationen: Der frühmittelalterliche Friedhof (7. Jahrhundert) von der Früebergstrasse in Baar (Kanton Zug). Basel 2010. -40-4 (2 Bde.). Fr. 160.– (Fr. 128.–).
- 49 ■ Jakob Obrecht/Anita Springer/Emil Weber, Stans NW vor dem grossen Dorfbrand von 1713. Basel 2011. -41-1. Fr. 59.– (Fr. 42.–).
- 50 ■ Adriano Boschetti-Maradi/Annick de Capitani/Stefan Hochuli/Urs Niffeler (Hrsg.), Form, Zeit und Raum: Grundlagen für eine Geschichte aus dem Boden. Festschrift für Werner E. Stöckli zu seinem 65. Geburtstag. Basel 2012. -42-8. Fr. 49.– (Fr. 39.–).
- 51 ■ Thomas Doppler (Hrsg./éd.), Spreitenbach-Moosweg (Aargau, Schweiz): ein Kollektivgrab um 2500 v. Chr. – Spreitenbach-Moosweg (Argovie, Suisse): une sépulture collective vers 2500 av. J.-C. Basel 2012. -43-5. Fr. 85.– (Fr. 65.–).
- 52 ■ Caty Schucany/Ines Winet, Schmiede – Heiligtum – Wassermühle. Cham-Hagendorn (Kanton Zug) in römischer Zeit. Grabungen 1944/45 und 2003/04. Basel 2014. -44-2. Fr. 120.– (100.–).
- 53 ■ Sophie Delbarre-Bärtschi, Les mosaïques romaines en Suisse. Avec un complément de l'inventaire de Victorine von Gonzenbach, publié en 1961. Basel 2014. -45-9. Fr. 95.– (69.–).
- 54 ■ Werner E. Stöckli, Urgeschichte der Schweiz im Überblick (15 000 v. Chr. – Christi Geburt). Die Konstruktion einer Urgeschichte. Basel 2016. -46-6. Fr. 89.– (69.–).
- 55 ■ Yves Dubois/Urs Niffeler (dir.), Pictores per provincias II – status quaestionis. Actes du 13^e Colloque de l'Association Internationale pour la Peinture Murale Antique (AIPMA), Université de Lausanne, 12–16 septembre 2016. Basel 2018. -47-3. Fr. 149.– (119.–).
- 56 ■ Renata Huber/Christian Harb (Hrsg.), Fischerhütten des frühen Jungneolithikums in Cham-Eslen (Kanton Zug). Basel 2022. Fr. 98.– (76.–).

SPM Die Schweiz vom Paläolithikum bis zum Mittelalter

SPM La Suisse du Paléolithique au Moyen-Âge

SPM La Svizzera dal Paleolitico al Medioevo

ISBN 978-3-908006-....

- I ■ Jean-Marie Le Tensorer/Urs Niffeler (wissenschaftliche Leitung und Red.), Paläolithikum und Mesolithikum. Basel 1993. -50-3. Fr. 98.– (73.–).
- II ■ Werner E. Stöckli/Urs Niffeler/Eduard Gross-Klee (Hrsg.), Neolithikum – Néolithique – Neolitico. Basel 1995. -51-1. Fr. 128.– (95.–).
- III ■ Stefan Hochuli/Urs Niffeler/Valentin Rychner (Hrsg.), Bronzezeit – Âge du Bronze – Età del Bronzo. Basel 1998. -52-X. Fr. 144.– (107.–).
- IV ■ Felix Müller/Gilbert Kaenel/Geneviève Lüscher (Hrsg.), Eisenzeit – Âge du Fer – Età del Ferro. Basel 1999. -53-8. Fr. 128.– (95.–).
- V ■ Laurent Flutsch/Urs Niffeler/Frédéric Rossi (Hrsg./dir.), Römische Zeit. Époque romaine. Età Romana. Basel 2002. Deutsche Version: -54-6/französische Version -55-4. Fr. 144.– (107.–).
- VI ■ Renata Windler/Reto Marti/Urs Niffeler/Lucie Steiner (Hrsg.), Frühmittelalter – Haut Moyen-Âge – Alto Medioevo. Basel 2005. -56-2. Fr. 144.– (107.–).
- VII ■ Urs Niffeler/Reto Marti (Projektleitung und wissenschaftliche Leitung), Archäologie der Zeit von 800 bis 1350 – L'archéologie de la période de 800 à 1350 – L'archeologia del periodo tra l'800 al 1350. Basel 2014. -58-9. Fr. 144.– (107.–).
- VIII ■ Urs Niffeler (Projektleitung), Archäologie der Zeit von 1350 bis 1850 – L'archéologie de la période entre 1350 et 1850 – L'archeologia del periodo tra il 1350 ed il 1850. Basel 2020. -49-7. Fr. 135.– (98.–).

Actes du colloque SPM VIII – Kolloquiumsakten zu SPM VIII

■ Archäologie Schweiz AS/Schweizerische Arbeitsgemeinschaft für die Archäologie des Mittelalters und der Neuzeit SAM/Schweizerischer Burgenverein SBV (Hrsg.), Die Schweiz von 1350 bis 1850 im Spiegel archäologischer Quellen. Akten des Kolloquiums in Bern, 25.–26.1.2018. ISBN 978-3-908006-48-0. Fr. 95.– (65.–).
Version en ligne à consulter gratuitement/
Online-Version gratis zu konsultieren unter:
www.archaeologie-schweiz.ch.

Didaktische Mappe

■ Christian Foppa/Peter Raimann/Urs Niffeler, Urgeschichte. Leben in ur- und frühgeschichtlicher Zeit. Basel 2011². ISBN 978-3-908006-78-7. Fr. 65.– (Fr. 49.–).

Bestelladresse

Archäologie Schweiz
Petersgraben 51
CH-4051 Basel
info@archaeologie-schweiz.ch
www.archaeologie-schweiz.ch